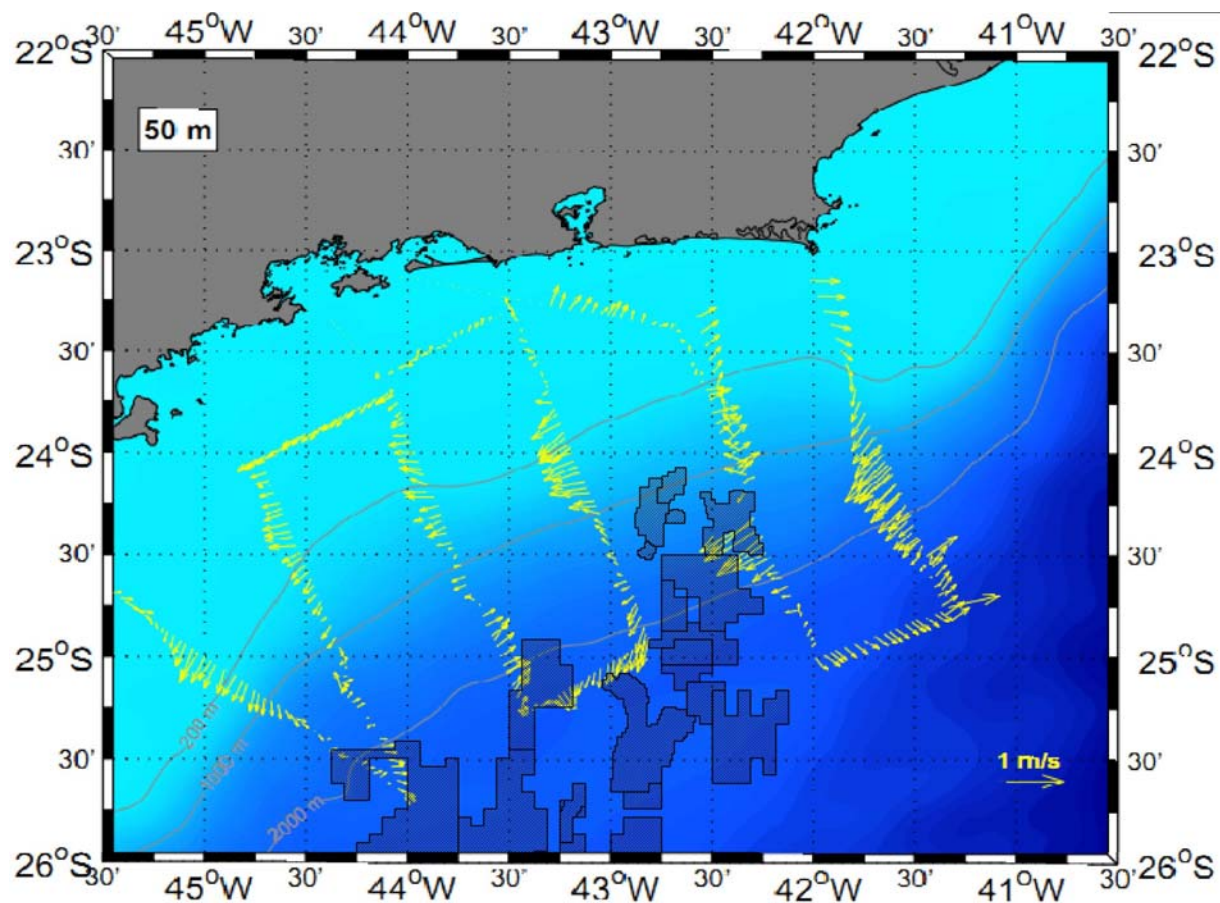


## Anexo II.5.1.2-C

### II.5.1.2 - Oceanografia

#### Plataforma Continental - Correntes

Pereira (2009) apresentou medições diretas realizadas na região do empreendimento entre os dias 22 e 29/09/2003, englobando regiões da PC, TC e OP. As medidas foram realizadas com um correntógrafo *Acoustic Doppler Current Profile* - ADCP instalado no casco do Navio Oceanográfico Wladimir Besnard, da Universidade de São Paulo. Foram apresentados resultados para as profundidades de 50 m, 100 m, 150 m e 200 m (**Figura II.5.1.2-1 a Figura II.5.1.2-4**). Nestes resultados, Pereira (2009) destaca, nas proximidades da superfície, correntes fluindo para o NE na PCI, e para SW na PCM, PCE e TC, confirmando as direções médias descritas na literatura.



Fonte: adaptado de PEREIRA (2009)

**Figura II.5.1.2-1** – Vetores de velocidade de corrente a 50 m obtidos entre os dias 22 e 29/09/2003.

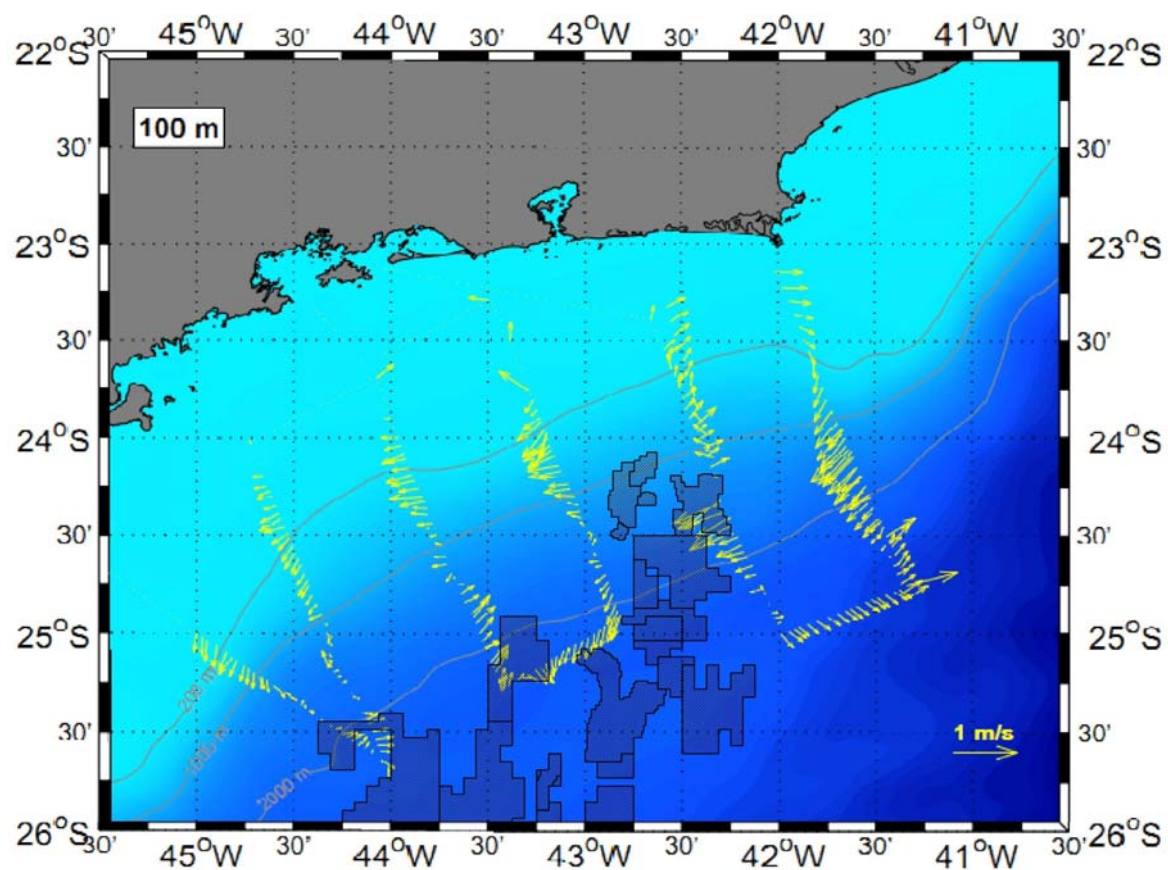


Coordenador da Equipe



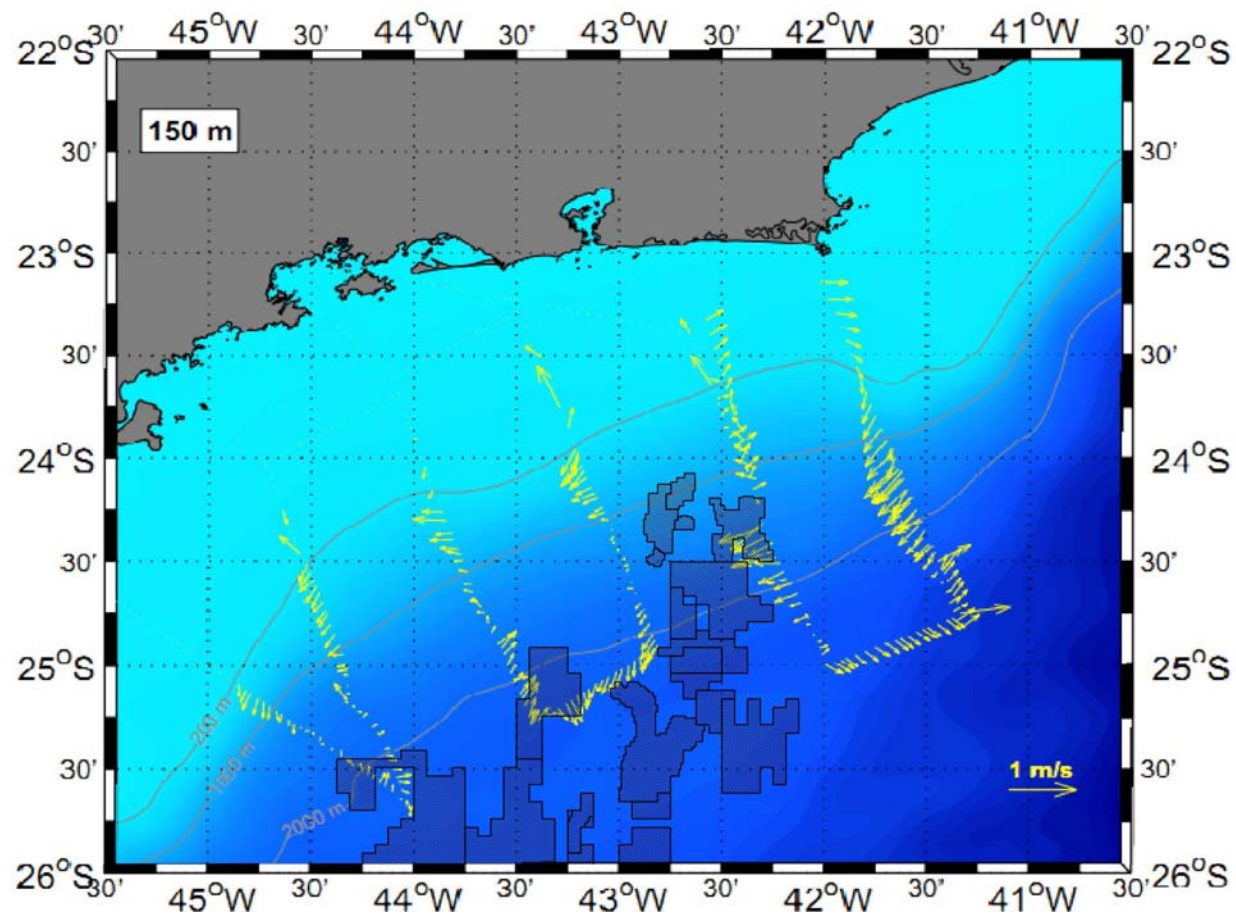
Técnico Responsável

Revisão 00  
06/2014



Fonte: adaptado de PEREIRA (2009)

**Figura II.5.1.2-2** – Vetores de velocidade de corrente a 100 m obtidos entre os dias 22 e 29/09/2003.

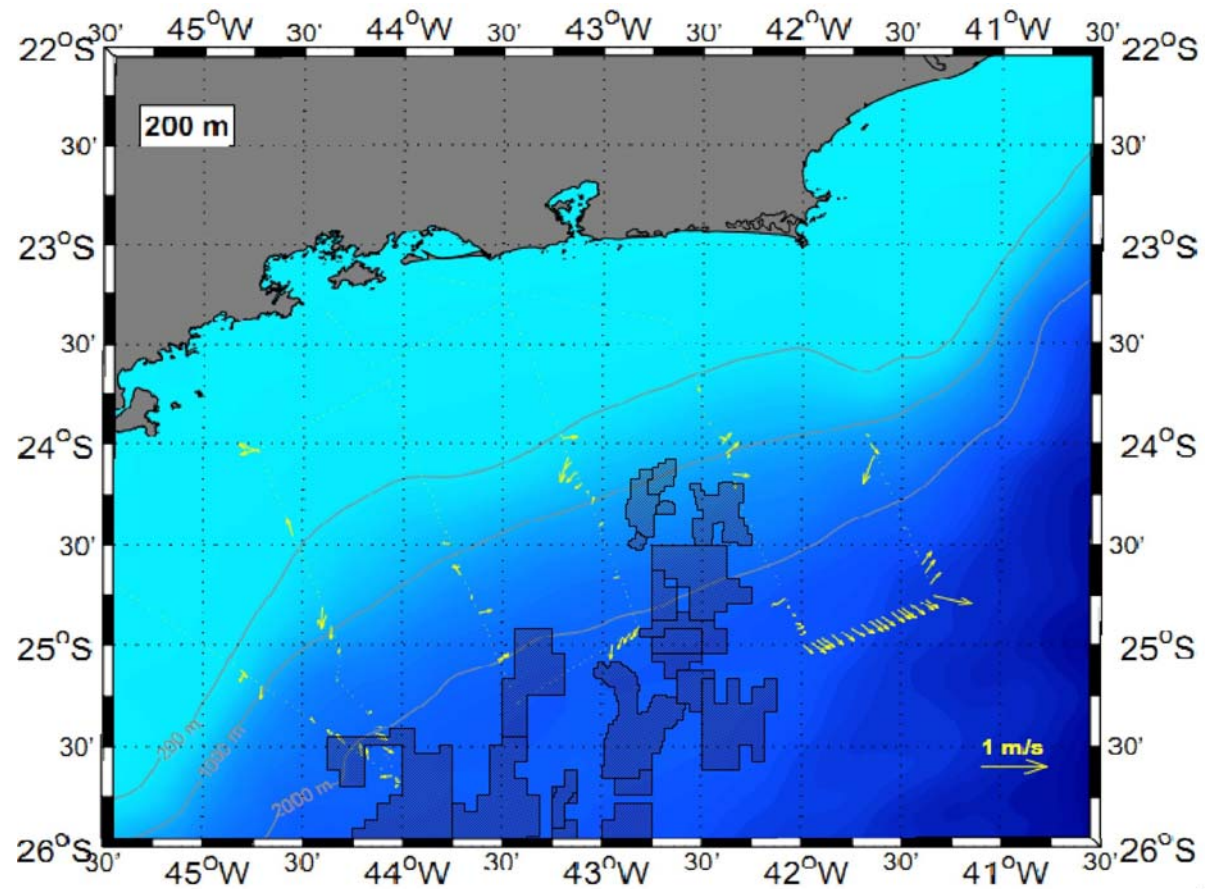


Fonte: adaptado de PEREIRA (2009)

**Figura II.5.1.2-3** – Vetores de velocidade de corrente a 150 m obtidos entre os dias 22 e 29/09/2003.







Fonte: adaptado de PEREIRA (2009)

**Figura II.5.1.2-4** – Vetores de velocidade de corrente a 200 m obtidos entre os dias 22 e 29/09/2003.

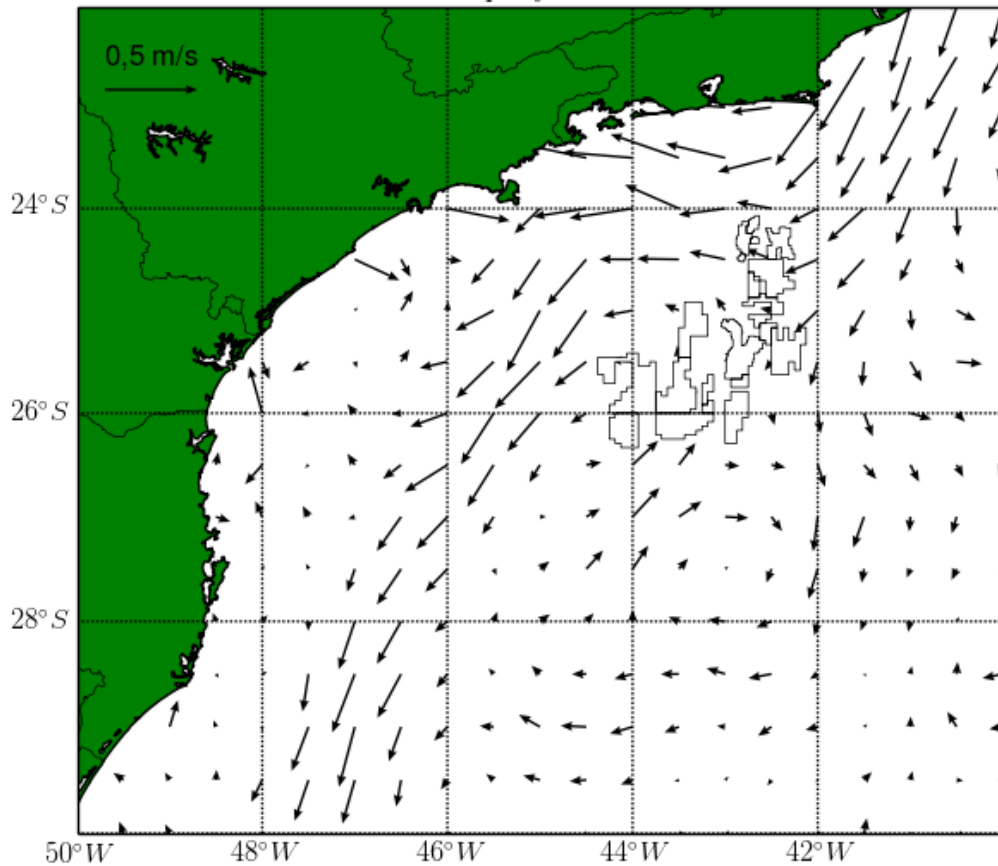
## Talude e Oceano Profundo - Correntes

A partir de derivadores lançados entre os anos de 1990 e 2004, Lumpkin & Garrafo (2005) obtiveram campos mensais médios de velocidade superficial de correntes com resolução de 1°, por todo o globo. Da **Figura II.5.1.2-5** a **Figura II.5.1.2-16** são apresentados os resultados para todos os meses. A **Figura II.5.1.2-17** mostra a quantidade de derivadores-dia por grau<sup>2</sup> observados para a obtenção deste dados.

Sobre o empreendimento, principalmente na porção norte, sobre o TC, destaca-se um fluxo direcionado para sudoeste em todos os meses do ano, identificando claramente o domínio da CB sobre a região. Destacam-se os meses de junho e julho como sendo os que apresentam as menores intensidades médias sobre o empreendimento e os meses de setembro, outubro e novembro com maiores intensidades. Importante ressaltar que estes meses do ano foram os que apresentaram a maior quantidade de eventos extremos de intensidade de ventos provenientes do ASAS, que sopra na mesma direção da CB na região.

Para a porção mais ao sul do empreendimento, e mais oceânica, observa-se que não ocorre uma direção preferencial da corrente, denotando uma região de ocorrência de meandramentos e possíveis vórtices da Corrente do Brasil.

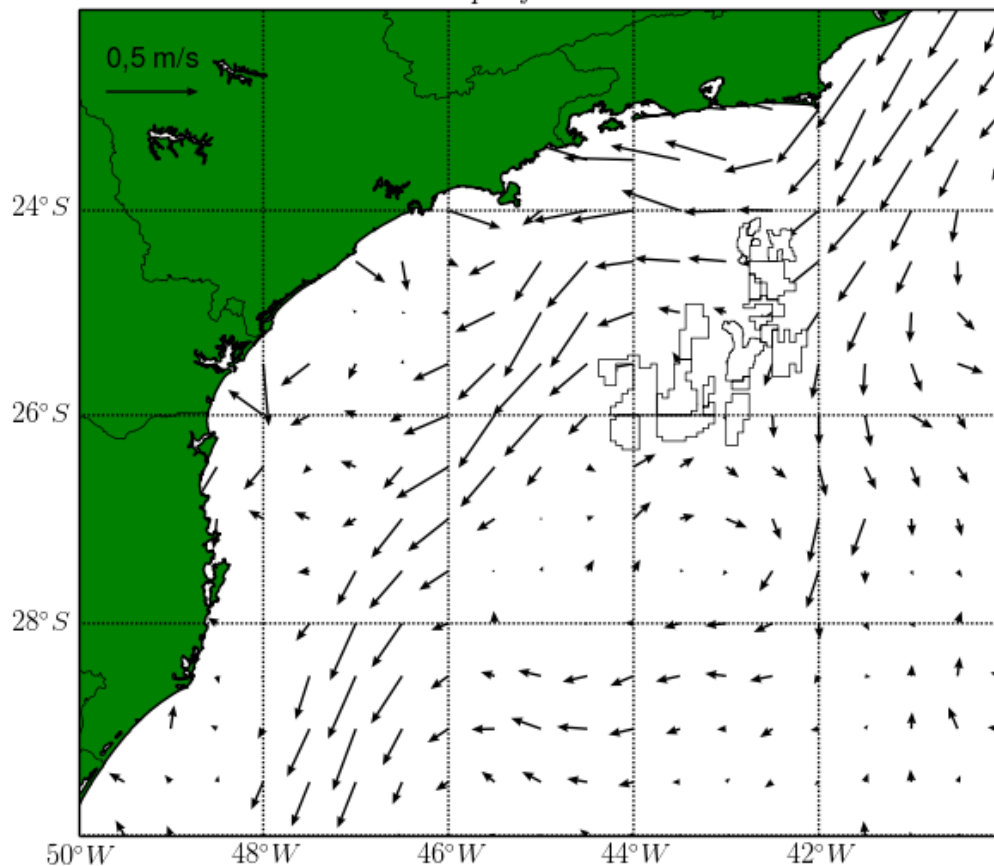


*Corrente Superficial – Janeiro*

Fonte: LUMPKIN & GARRAFFO (2005).

**Figura II.5.1.2-5** – Correntes superficiais médias no mês de janeiro (1990-2004) obtidas a partir de dados de boias de deriva oceanográficas. Os vetores indicam a direção, e as cores, a intensidade das correntes.

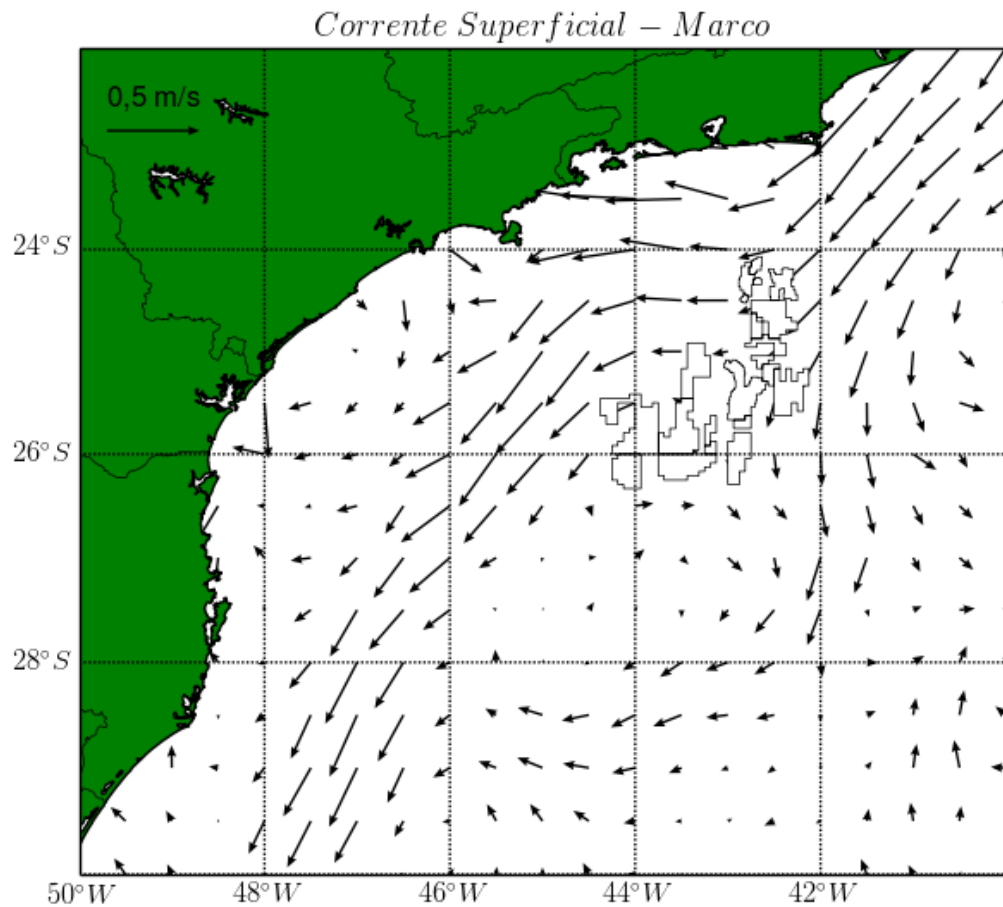
*Corrente Superficial – Fevereiro*



Fonte: LUMPKIN & GARRAFFO (2005).

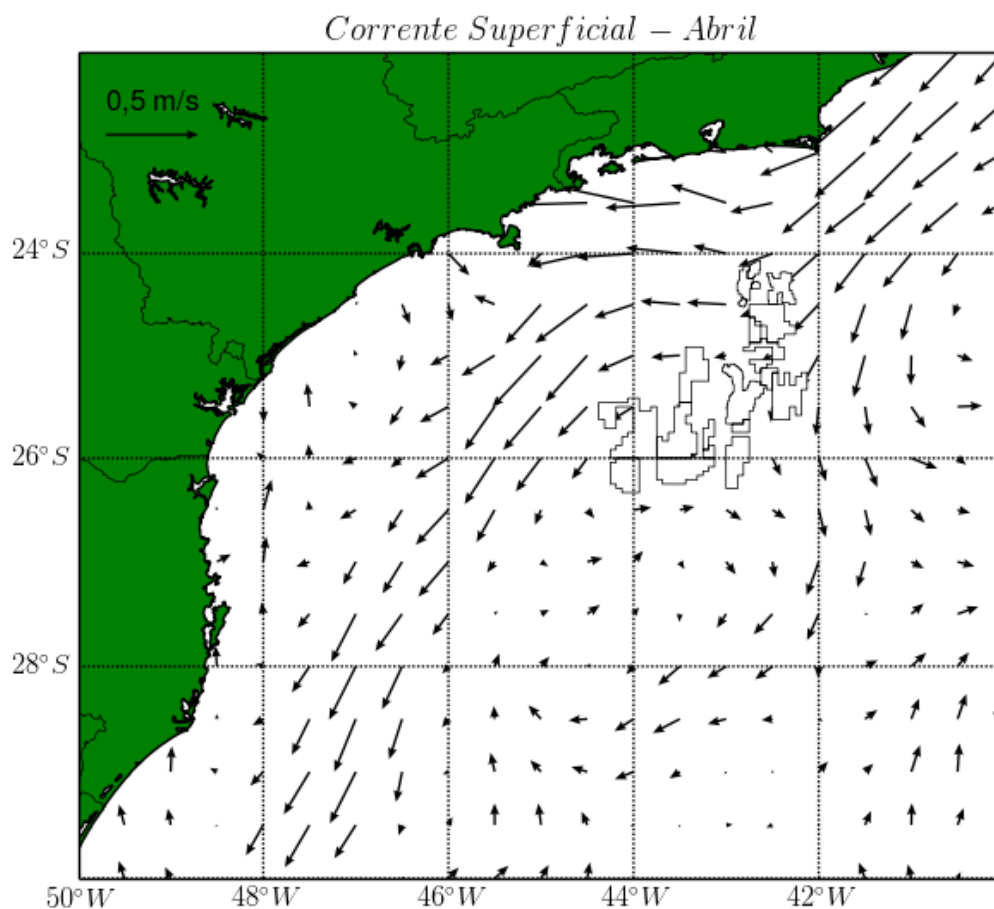
**Figura II.5.1.2-6** – Correntes superficiais médias no mês de fevereiro (1990-2004) obtidas a partir de dados de boias de deriva oceanográficas. Os vetores indicam a direção, e as cores, a intensidade das correntes.





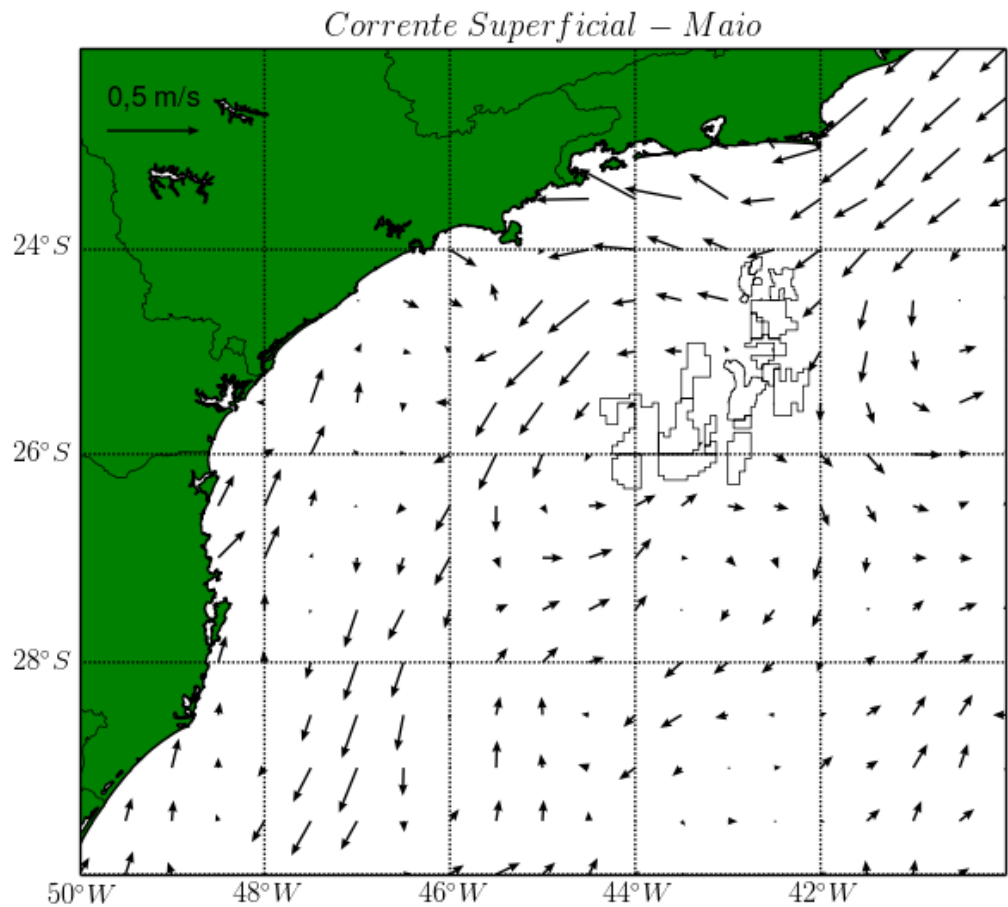
Fonte: LUMPKIN & GARRAFFO (2005).

**Figura II.5.1.2-7** – Correntes superficiais médias no mês de março (1990-2004) obtidas a partir de dados de boias de deriva oceanográficas. Os vetores indicam a direção, e as cores, a intensidade das correntes.



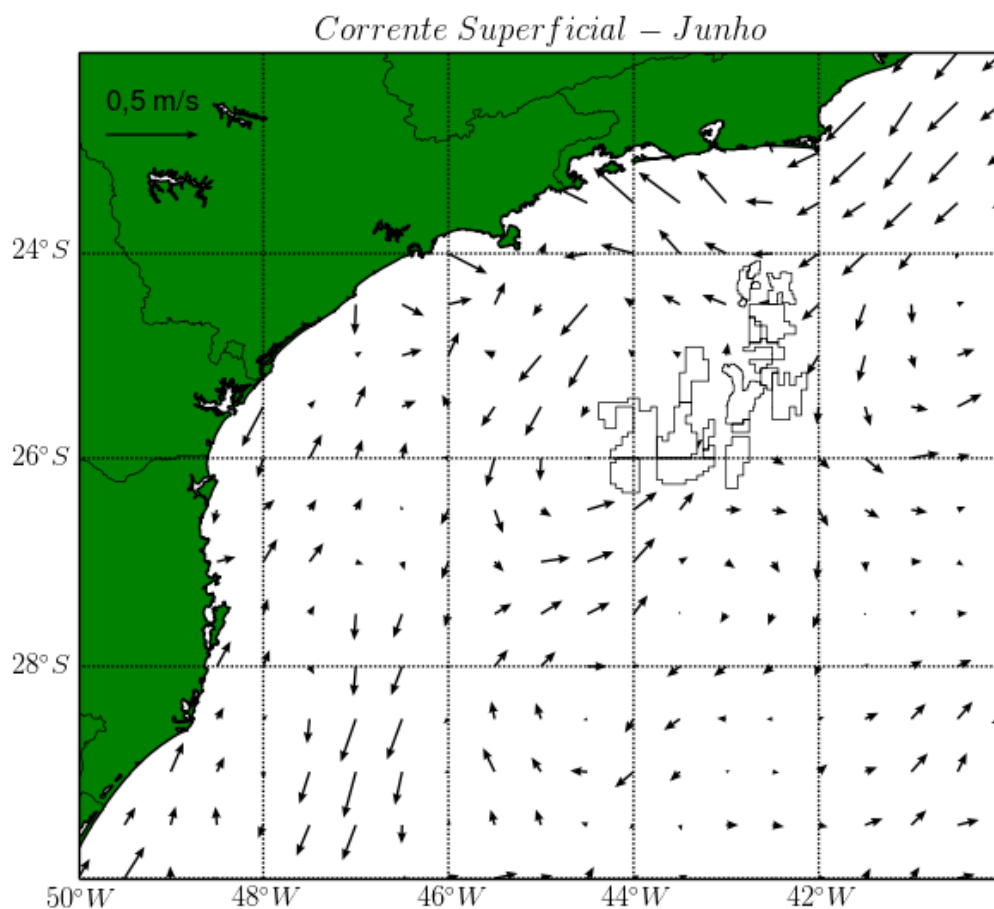
Fonte: LUMPKIN & GARRAFFO (2005).

**Figura II.5.1.2-8** – Correntes superficiais médias no mês de abril (1990-2004) obtidas a partir de dados de boias de deriva oceanográficas. Os vetores indicam a direção, e as cores, a intensidade das correntes.



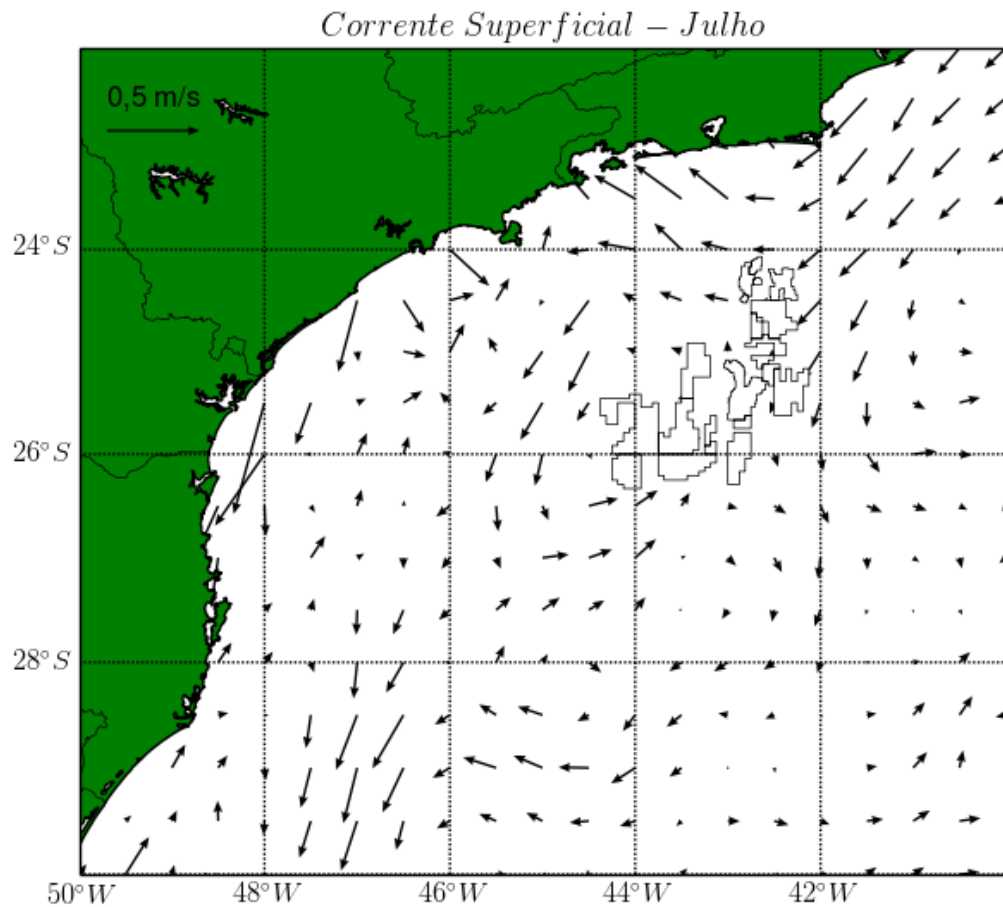
Fonte: LUMPKIN & GARRAFFO (2005).

**Figura II.5.1.2-9** – Correntes superficiais médias no mês de maio (1990-2004) obtidas a partir de dados de boias de deriva oceanográficas. Os vetores indicam a direção, e as cores, a intensidade das correntes.



Fonte: LUMPKIN & GARRAFFO (2005).

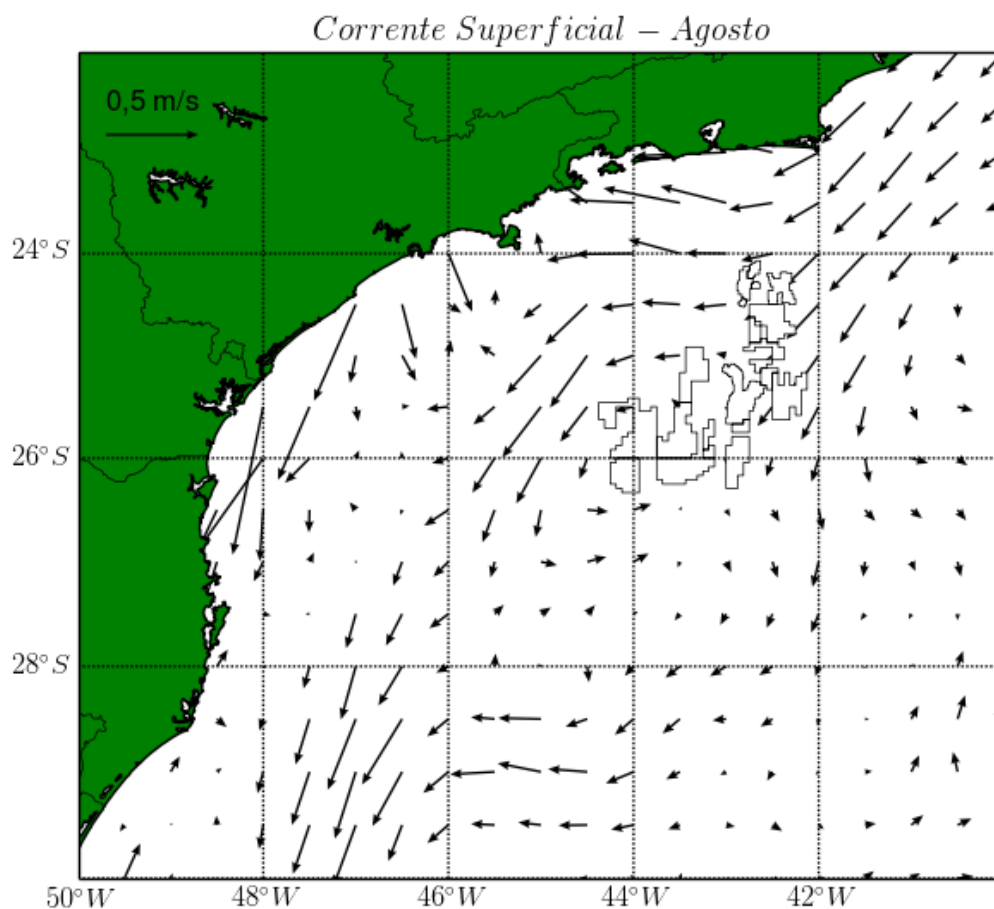
**Figura II.5.1.2-10** – Correntes superficiais médias no mês de junho (1990-2004) obtidas a partir de dados de boias de deriva oceanográficas. Os vetores indicam a direção, e as cores, a intensidade das correntes.



Fonte: LUMPKIN & GARRAFFO (2005).

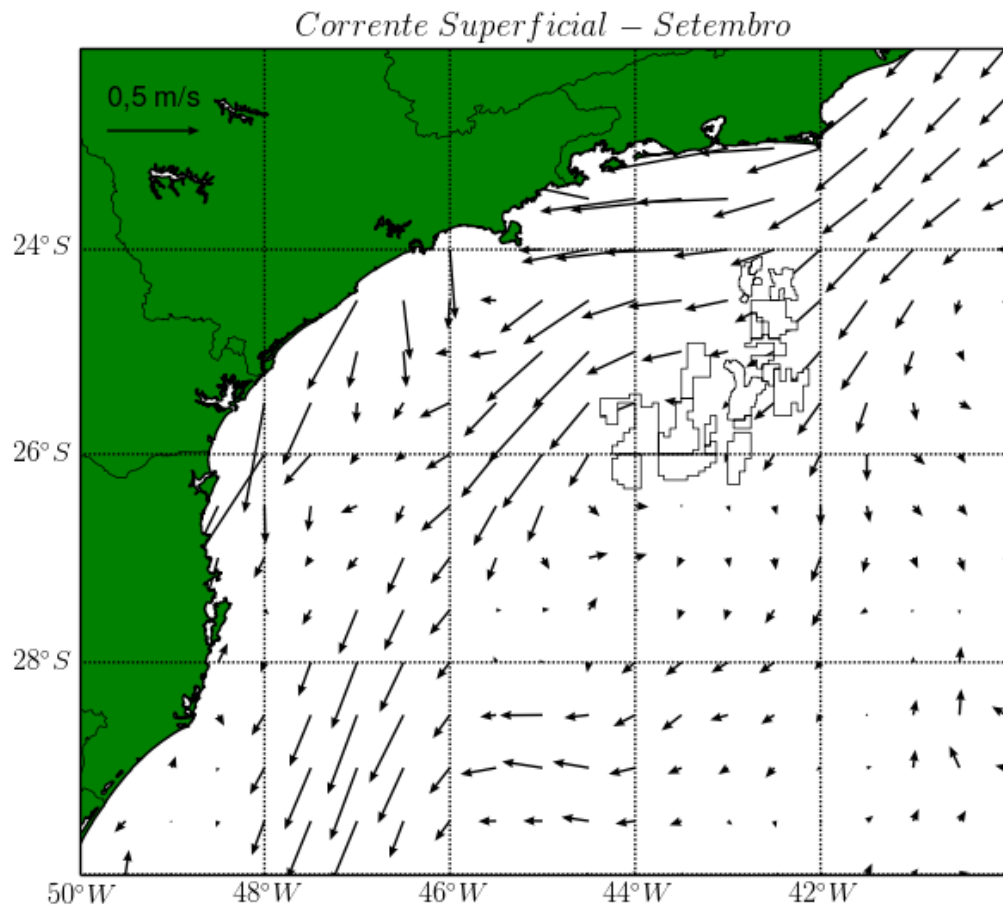
**Figura II.5.1.2-11** – Correntes superficiais médias no mês de julho (1990-2004) obtidas a partir de dados de boias de deriva oceanográficas. Os vetores indicam a direção, e as cores, a intensidade das correntes.





Fonte: LUMPKIN & GARRAFFO (2005).

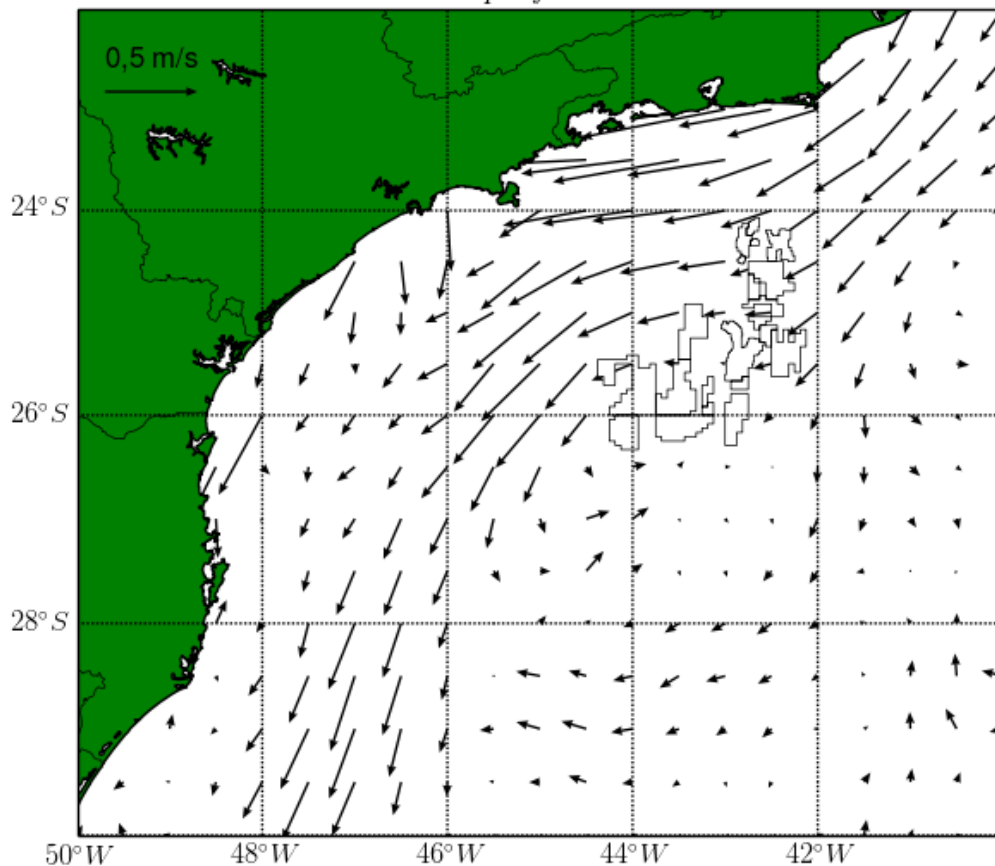
**Figura II.5.1.2-12** – Correntes superficiais médias no mês de agosto (1990-2004) obtidas a partir de dados de boias de deriva oceanográficas. Os vetores indicam a direção, e as cores, a intensidade das correntes.



Fonte: LUMPKIN & GARRAFFO (2005).

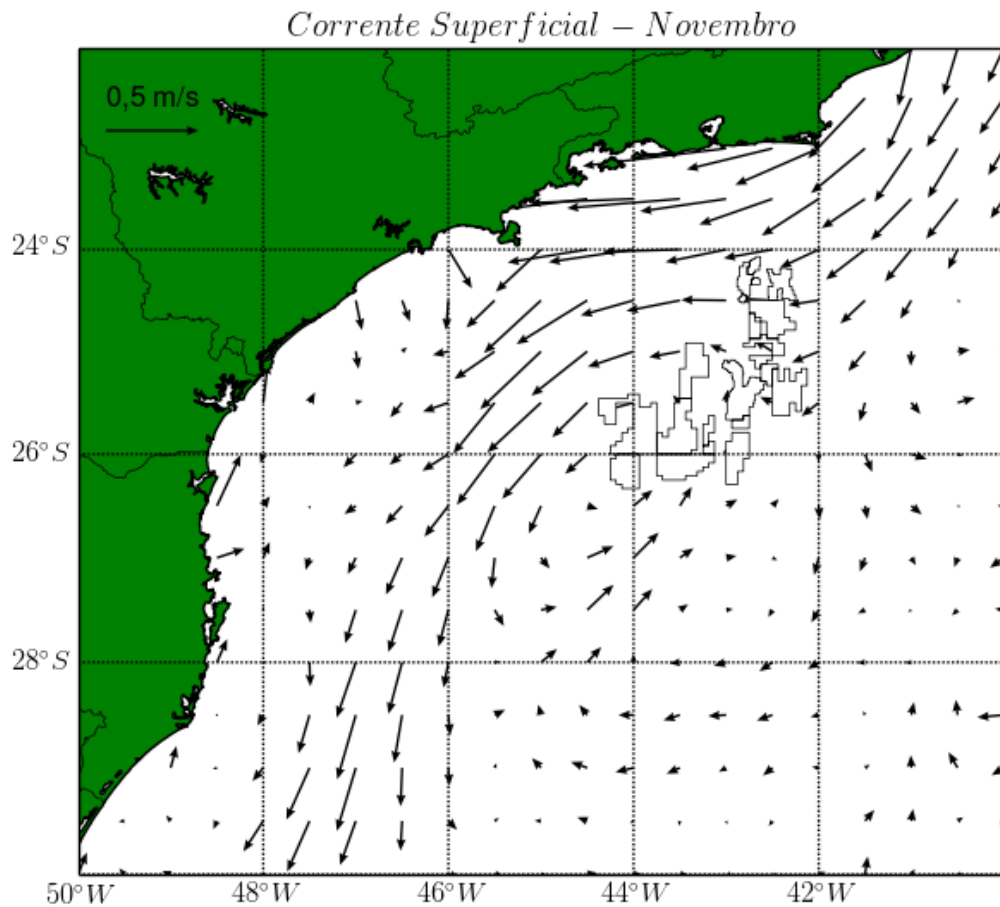
**Figura II.5.1.2-13** – Correntes superficiais médias no mês de setembro (1990-2004) obtidas a partir de dados de boias de deriva oceanográficas. Os vetores indicam a direção, e as cores, a intensidade das correntes.

*Corrente Superficial – Outubro*



Fonte: LUMPKIN & GARRAFFO (2005).

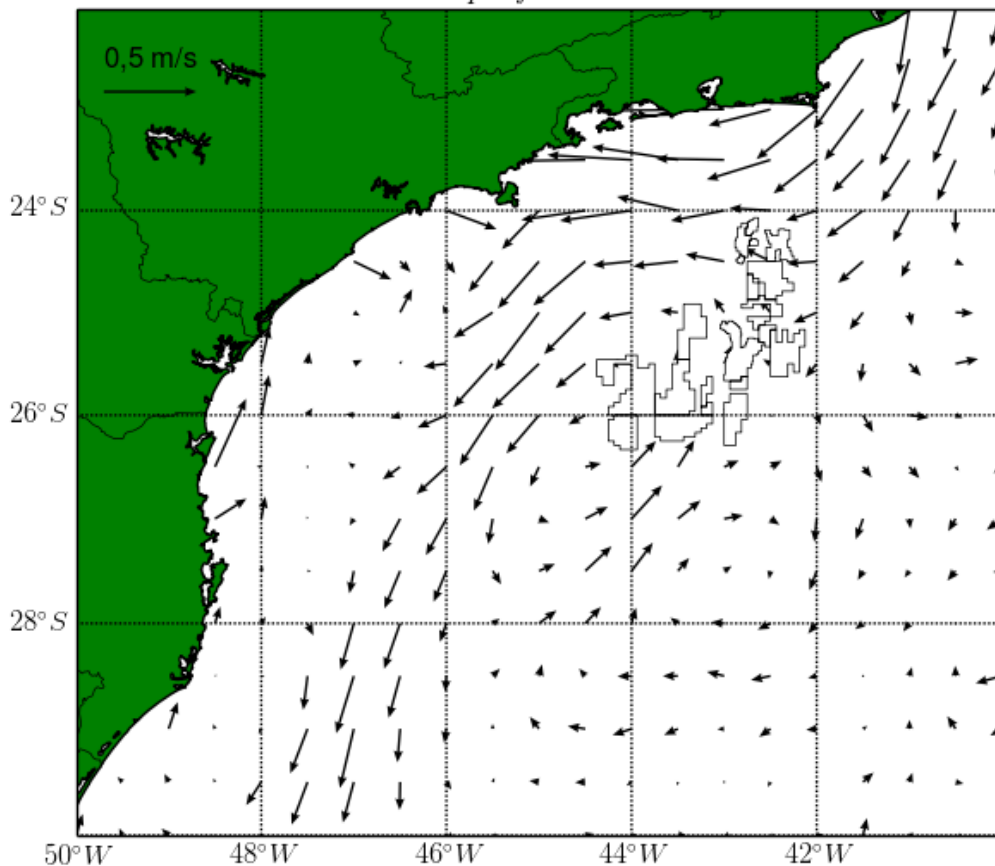
**Figura II.5.1.2-14** – Correntes superficiais médias no mês de outubro (1990-2004) obtidas a partir de dados de boias de deriva oceanográficas. Os vetores indicam a direção, e as cores, a intensidade das correntes.



Fonte: LUMPKIN & GARRAFFO (2005).

**Figura II.5.1.2-15** – Correntes superficiais médias no mês de novembro (1990-2004) obtidas a partir de dados de boias de deriva oceanográficas. Os vetores indicam a direção, e as cores, a intensidade das correntes.

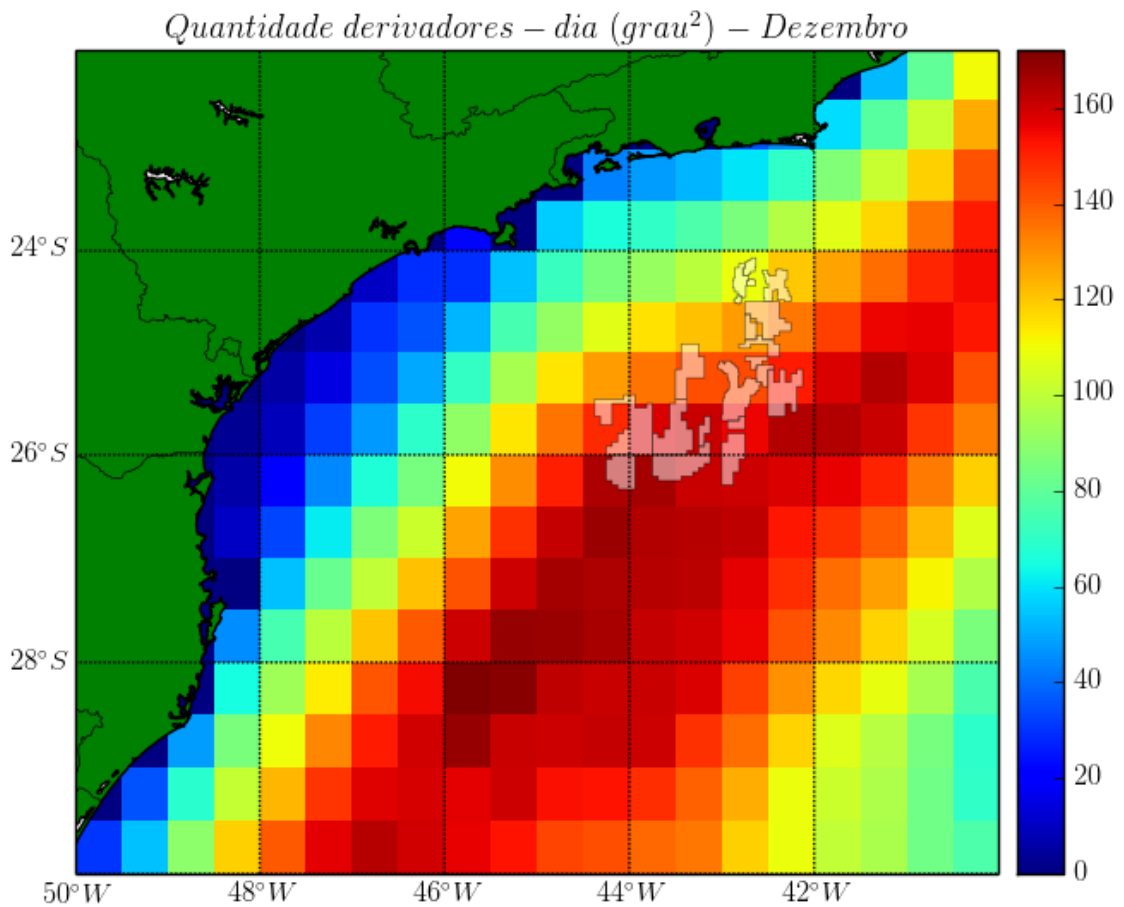
*Corrente Superficial – Dezembro*



Fonte: LUMPKIN & GARRAFFO (2005).

**Figura II.5.1.2-16** – Correntes superficiais médias no mês de dezembro (1990-2004) obtidas a partir de dados de boias de deriva oceanográficas. Os vetores indicam a direção, e as cores, a intensidade das correntes.

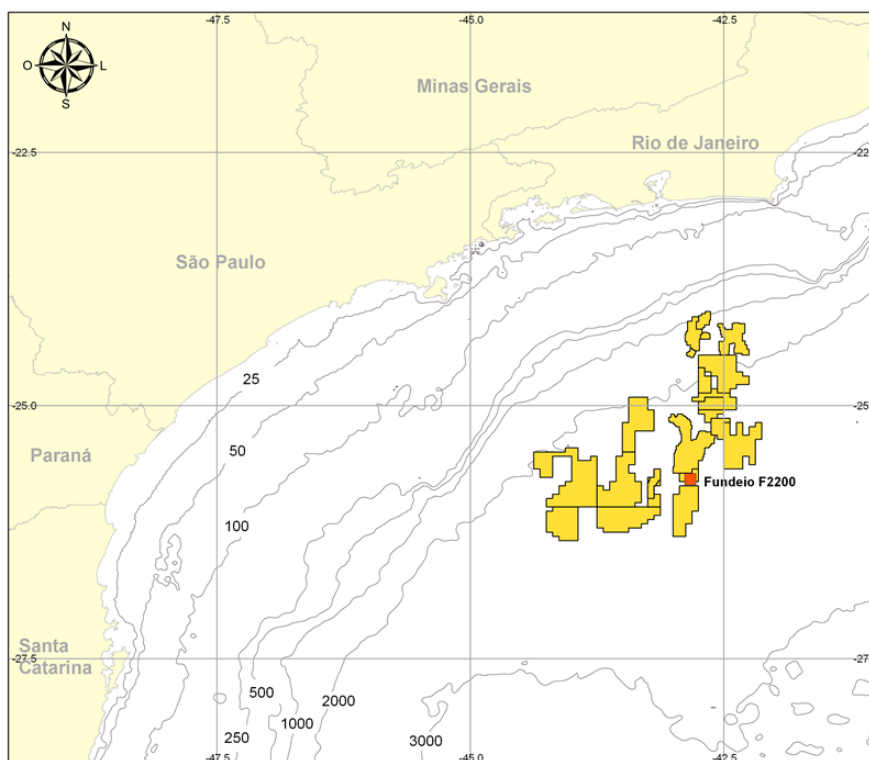




Fonte: LUMPKIN & GARRAFFO (2005).

**Figura II.5.1.2-17** – Quantidade de derivadores (1990-2004) observados para os dados da **Figura II.5.1.2-5** a **Figura II.5.1.2-16**.

Belo (2011) caracterizou a variabilidade vertical do OP na Bacia de Santos a partir de dados coletados no período entre 03/2008 e 04/2010 em um fundeio localizado na profundidade de 2.200 m, com medições em diversos níveis. A localização deste fundeio com relação aos blocos do Pré-Sal pode ser visualizada na **Figura II.5.1.2-18**.



**Figura II.5.1.2-18** – Local de coleta (F2200) de dados na região do polo Pré-Sal da Bacia de Santos apresentado por Belo (2011). Os polígonos amarelos indicam os blocos do Pré-Sal. Os números indicam a profundidade em m.

Na **Figura II.5.1.2-19**, mostra as distribuições de corrente daquele fundo por classes de direção nas profundidades de 53, 133, 363, 797, 1.615 e 2.173 m para o período de 03/2008 e 04/2010, e a **Tabela II.5.1.2-1** as estatísticas sumárias deste fundo para o período entre 05/2008 e 10/2009. Os gráficos e as tabela evidenciam que as correntes têm grande variabilidade direcional, não existindo uma direção predominante nos primeiros 130 m da coluna d'água, coincidindo com as correntes observadas na **Figura II.5.1.2-5** a **Figura II.5.1.2-16**. Belo (2011) destaca que pode ser admitido que as direções Sudeste e Nordeste se destaquem com provável contribuição dos meandros da CB e da passagem de vórtices pela região do OP adjacente ao TC.

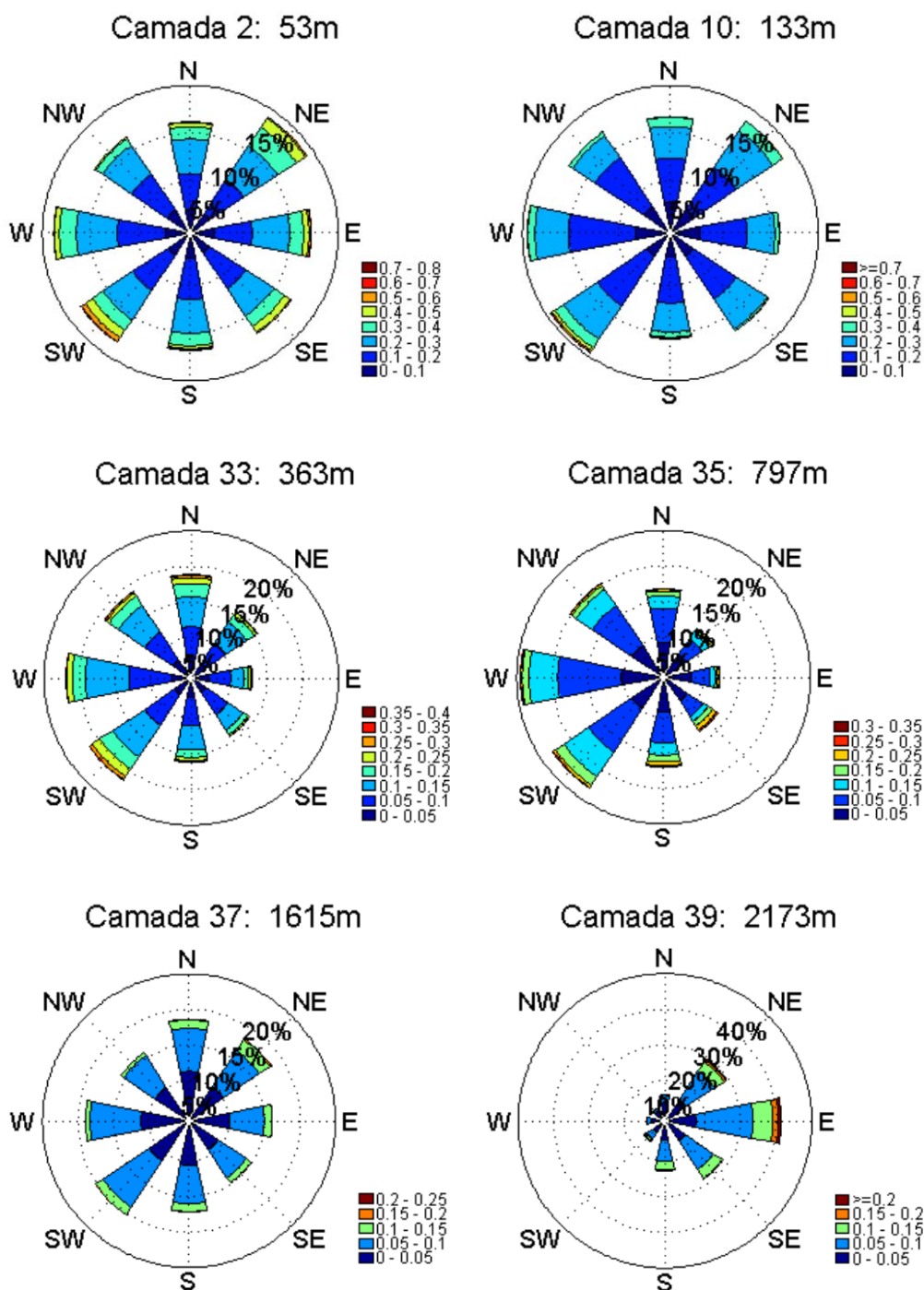
Conforme se aproxima do nível de 400 m, este autor observou uma variação do padrão de correntes na região, predominando as de direção para Oeste, e que

se tornam mais intensas até o nível de 800 m. Junto ao fundo, as correntes apresentam direção predominante para Leste.

**Tabela II.5.1.2-1 – Estatística sumária do Fundeio F2200 para o subconjunto da série no período entre 05/2008 e 10/2009.**

Profundidade (m)	Direção média (°)	Intensidade média (m/s)	Desvio padrão da intensidade (m/s)	Intensidade máxima (m/s)
52	261	0,22	0,09	0,53
102	263	0,20	0,08	0,55
152	266	0,18	0,07	0,44
202	273	0,16	0,07	0,42
252	277	0,14	0,06	0,38
302	281	0,13	0,05	0,36
352	281	0,12	0,05	0,31
800	275	0,08	0,04	0,24
1200	264	0,06	0,03	0,20
1600	284	0,05	0,03	0,26
2000	220	0,05	0,03	0,18
2195	109	0,07	0,04	0,21

Fonte: adaptado de Belo (2011).



Fonte: adaptado de Belo (2011).

**Figura II.5.1.2-19** – Distribuição das correntes para fundeio instrumentado instalado em 2200 m na área do Pré-Sal da Bacia de Santos. As circunferências mostram a frequência de ocorrência em cada direção (convenção vetorial), onde o Norte aponta para cima e o Leste para a direita. As cores das barras descrevem a intensidade da corrente, de acordo com a escala graduada. Dados entre 03/2008 e 04/2010.

Desta maneira, seguindo o arcabouço teórico apresentado, para a região do TC e OP da área de estudo, o regime de correntes subinerciais tem uma configuração complexa. Sobre o TC, da superfície a aproximadamente 500 m de profundidade, está localizada a CB fluindo para S/SE. Abaixo desta, na coluna de água, está a CCI fluindo para o Norte, até a profundidade aproximada de 2.000 m. Nas proximidades do fundo marinho existe a CCP fluindo para S. Na região do OP adjacente ao TC, na área de estudo, os regimes de correntes não apresentam direção preferencial, denotando um regime fortemente influenciado por meandramentos e vórtices das correntes localizadas no TC.

Para verificar a variabilidade e estatísticas desta estrutura de correntes no TC e OP da área de estudo foram analisados dados coletados *in situ*. O programa *Deep Ocean*, integrante do *World Ocean Circulation Experiment (WOCE)*, instalou dois fundeios, BW333 e BM334, na Bacia de Santos, no TC e OP a Sudoeste da área de estudo, que registraram intensidade e direção de correntes em diversos níveis de profundidade, entre 01/1991 e 11/1992.

A PETROBRAS coletou dados entre 06/2008 e 02/2009 no TC nas proximidades da área de estudo do Projeto Etapa 2, na profundidade de 500 m, denominado BS500, em 20 profundidades diferentes: 6, 9, 11, 14, 16, 19, 21, 24, 26, 29, 31, 33, 36, 38, 41, 43, 46, 49, 51 e 55 m.

As representações dessas correntes, ao longo do tempo, são apresentadas da **Figura II.5.1.2-20** até a **Figura II.5.1.2-24**, para os fundeios BW333, BM334 e BS500. Para facilitar a visualização, nestes gráficos estão mostradas somente as correntes subinerciais, que foram obtidas à partir da filtragem dos dados com filtro do tipo Lanczos quadrado, com frequência de corte de 40 h (Walter & Heston, 1982).

Os primeiros momentos estatísticos das correntes totais destes fundeios, mensalmente, estão dispostos da **Tabela II.5.1.2-2** até a **Tabela II.5.1.2-6**.



**Tabela II.5.1.2-2 – Primeiros momentos estatísticos da intensidade das correntes coletadas pelo fundeio BW333 do programa WOCE. Méd – média; Mín. – mínima; Máx – máxima; DP – desvio padrão.**

Prof. (m)	Janeiro				Fevereiro				Março			
	Intensidade (m/s)				Intensidade (m/s)				Intensidade (m/s)			
	Méd.	Mín.	Máx.	DP	Méd.	Mín.	Máx.	DP	Méd.	Mín.	Máx.	DP
230	0,38	0,12	0,94	0,18	0,28	0,01	0,58	0,11	0,43	0,06	0,85	0,16
475	0,22	0,01	0,58	0,10	0,17	0,01	0,47	0,09	0,27	0,01	0,68	0,12
680	0,16	0,01	0,41	0,08	0,10	0,01	0,54	0,09	0,15	0,01	0,50	0,10
885	0,14	0,01	0,32	0,08	0,10	0,01	0,31	0,07	0,10	0,01	0,37	0,08
Prof. (m)	Abril				Maio				Junho			
230	0,23	0,01	0,70	0,12	0,31	0,01	0,66	0,16	0,35	0,07	0,74	0,13
475	0,13	0,01	0,52	0,10	0,17	0,01	0,46	0,10	0,20	0,01	0,46	0,08
680	0,08	0,01	0,36	0,08	0,11	0,01	0,37	0,08	0,10	0,01	0,46	0,09
885	0,10	0,01	0,31	0,08	0,14	0,01	0,41	0,09	0,09	0,01	0,44	0,08
Prof. (m)	Julho				Agosto				Setembro			
230	0,33	0,03	0,76	0,14	0,35	0,02	0,76	0,13	0,32	0,02	0,72	0,12
475	0,20	0,01	0,45	0,07	0,18	0,01	0,47	0,07	0,20	0,01	0,54	0,12
680	0,11	0,01	0,42	0,09	0,07	0,01	0,27	0,05	0,11	0,01	0,40	0,08
885	0,11	0,01	0,37	0,08	0,08	0,01	0,27	0,06	0,09	0,01	0,36	0,08
Prof. (m)	Outubro				Novembro				Dezembro			
230	0,31	0,01	0,86	0,20	0,46	0,12	0,87	0,15	0,43	0,14	0,68	0,13
475	0,18	0,01	0,60	0,12	0,27	0,01	0,58	0,09	0,22	0,08	0,39	0,06
680	0,13	0,01	0,40	0,08	0,14	0,01	0,35	0,08	0,11	0,01	0,29	0,07
885	0,15	0,01	0,35	0,08	0,09	0,01	0,31	0,07	0,07	0,01	0,24	0,07

Fonte de dados: Fundeio WOCE BW333

**Tabela II.5.1.2-3 – Primeiros momentos estatísticos da intensidade das correntes coletadas pelo fundeio BM334 do programa WOCE. Méd – média; Mín. – mínima; Máx – máxima; DP – desvio padrão.**

Prof. (m)	Janeiro				Fevereiro				Março			
	Intensidade (m/s)				Intensidade (m/s)				Intensidade (m/s)			
	Méd.	Mín.	Máx.	DP	Méd.	Mín.	Máx.	DP	Méd.	Mín.	Máx.	DP
<b>230</b>	0,26	0,01	0,63	0,16	0,23	0,01	0,57	0,16	0,20	0,01	0,55	0,10
<b>470</b>	0,17	0,01	0,45	0,10	0,17	0,01	0,52	0,12	0,18	0,01	0,53	0,09
<b>870</b>	0,12	0,01	0,41	0,09	0,12	0,01	0,35	0,09	0,11	0,01	0,40	0,09
<b>1370</b>	0,08	0,01	0,22	0,05	0,09	0,01	0,28	0,06	0,11	0,01	0,36	0,07
<b>2140</b>	0,08	0,01	0,35	0,07	0,06	0,01	0,27	0,06	0,07	0,01	0,25	0,06
Prof. (m)	Abril				Maio				Junho			
<b>230</b>	0,13	0,01	0,41	0,09	0,17	0,01	0,41	0,10	0,20	0,01	0,53	0,11
<b>470</b>	0,11	0,01	0,40	0,08	0,12	0,01	0,29	0,07	0,15	0,01	0,36	0,08
<b>870</b>	0,06	0,01	0,31	0,06	0,07	0,01	0,18	0,04	0,07	0,01	0,25	0,05
<b>1370</b>	0,08	0,01	0,32	0,06	0,07	0,01	0,21	0,05	0,06	0,01	0,23	0,05
<b>2140</b>	0,06	0,01	0,26	0,05	0,06	0,01	0,37	0,06	0,07	0,01	0,29	0,06
Prof. (m)	Julho				Agosto				Setembro			
<b>230</b>	0,09	0,01	0,27	0,06	0,12	0,01	0,41	0,08	0,19	0,01	0,38	0,09
<b>470</b>	0,09	0,01	0,23	0,05	0,09	0,01	0,30	0,06	0,11	0,01	0,28	0,06
<b>870</b>	0,06	0,01	0,19	0,04	0,06	0,01	0,36	0,05	0,06	0,01	0,22	0,05
<b>1370</b>	0,05	0,01	0,18	0,04	0,06	0,01	0,21	0,04	0,06	0,01	0,19	0,04
<b>2140</b>	0,05	0,01	0,23	0,05	0,07	0,01	0,33	0,06	0,04	0,01	0,26	0,04
Prof. (m)	Outubro				Novembro				Dezembro			
<b>230</b>	0,19	0,01	0,39	0,09	0,16	0,01	0,38	0,09	0,18	0,01	0,30	0,06
<b>470</b>	0,12	0,01	0,27	0,05	0,12	0,01	0,30	0,07	0,14	0,02	0,26	0,04
<b>870</b>	0,07	0,01	0,20	0,04	0,08	0,01	0,28	0,06	0,08	0,01	0,19	0,05
<b>1370</b>	0,05	0,01	0,23	0,04	0,06	0,01	0,19	0,05	0,06	0,01	0,21	0,04
<b>2140</b>	0,05	0,01	0,23	0,05	0,03	0,01	0,26	0,04	0,05	0,01	0,25	0,05

Fonte de dados: Fundeio WOCE BM334.

**Tabela II.5.1.2-4 – Primeiros momentos estatísticos da intensidade das correntes coletadas pelo fundeio BS500 da PETROBRAS para os meses de janeiro, fevereiro e junho. Méd – média; Mín. – mínima; Máx – máxima; DP – desvio padrão.**

Prof. (m)	Janeiro				Fevereiro				Junho			
	Intensidade (m/s)				Intensidade (m/s)				Intensidade (m/s)			
	Méd.	Mín.	Máx.	DP	Méd.	Mín.	Máx.	DP	Méd.	Mín.	Máx.	DP
6	0,45	0,08	0,77	0,11	0,31	0,09	0,52	0,10	0,31	0,01	0,90	0,15
9	0,68	0,15	1,13	0,16	0,47	0,05	0,78	0,14	0,48	0,02	1,55	0,24
11	0,68	0,16	1,12	0,16	0,47	0,02	0,78	0,14	0,49	0,02	1,51	0,24
14	0,68	0,14	1,08	0,15	0,47	0,03	0,76	0,13	0,50	0,01	1,40	0,24
16	0,68	0,13	1,08	0,15	0,48	0,01	0,72	0,12	0,50	0,00	1,49	0,24
19	0,67	0,11	1,05	0,15	0,48	0,08	0,77	0,12	0,50	0,02	1,40	0,22
21	0,66	0,17	1,05	0,15	0,48	0,05	0,89	0,11	0,50	0,00	1,51	0,22
24	0,66	0,23	1,03	0,15	0,47	0,08	0,83	0,11	0,51	0,02	1,34	0,22
26	0,65	0,27	1,04	0,15	0,47	0,14	0,81	0,11	0,51	0,02	1,24	0,22
29	0,65	0,27	1,06	0,15	0,47	0,21	0,89	0,12	0,52	0,02	1,38	0,22
31	0,65	0,24	1,02	0,15	0,47	0,18	0,80	0,12	0,53	0,02	1,49	0,23
33	0,65	0,30	1,03	0,15	0,46	0,15	0,98	0,12	0,54	0,01	1,55	0,23
36	0,64	0,26	1,04	0,14	0,45	0,10	0,81	0,12	0,54	0,02	1,30	0,22
38	0,64	0,28	1,04	0,15	0,44	0,11	0,76	0,11	0,54	0,03	1,47	0,21
41	0,64	0,29	1,06	0,15	0,43	0,12	0,73	0,11	0,54	0,07	1,50	0,22
43	0,64	0,26	1,09	0,15	0,43	0,13	0,76	0,12	0,54	0,01	1,47	0,20
46	0,64	0,25	1,06	0,15	0,42	0,15	0,92	0,12	0,55	0,06	1,37	0,21
49	0,63	0,25	1,13	0,15	0,42	0,11	1,00	0,12	0,55	0,06	1,37	0,20
51	0,63	0,24	1,09	0,15	0,41	0,06	0,89	0,13	0,56	0,05	1,29	0,21
55	0,63	0,28	1,36	0,16	0,40	0,06	1,80	0,15	0,54	0,10	1,27	0,19

Fonte de dados: Fundeio PETROBRAS BS500

**Tabela II.5.1.2-5 –** Primeiros momentos estatísticos da intensidade das correntes coletadas pelo fundeio BS500 da PETROBRAS para os meses de julho, agosto e setembro. Méd – média; Mín. – mínima; Máx – máxima; DP – desvio padrão.

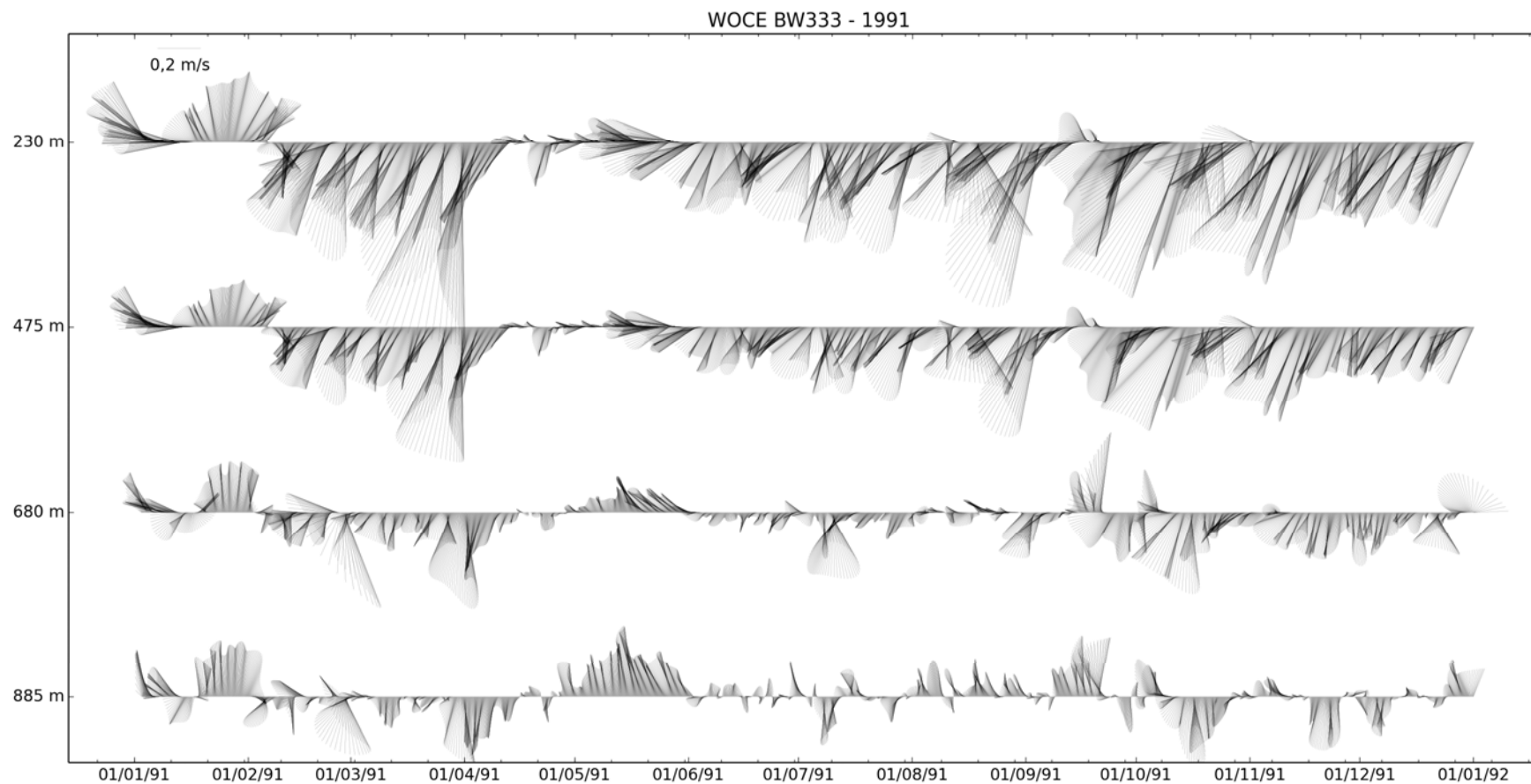
Prof. (m)	Julho				Agosto				Setembro			
	Intensidade (m/s)				Intensidade (m/s)				Intensidade (m/s)			
	Méd.	Mín.	Máx.	DP	Méd.	Mín.	Máx.	DP	Méd.	Mín.	Máx.	DP
6	0,20	0,01	0,44	0,08	0,34	0,03	0,62	0,11	0,39	0,10	0,67	0,10
9	0,29	0,01	0,68	0,12	0,50	0,07	0,94	0,17	0,59	0,18	1,01	0,15
11	0,30	0,01	0,70	0,12	0,51	0,12	0,92	0,16	0,59	0,16	1,02	0,15
14	0,30	0,02	0,73	0,12	0,51	0,13	0,95	0,16	0,59	0,18	1,02	0,15
16	0,31	0,02	0,76	0,12	0,51	0,13	0,95	0,16	0,60	0,18	1,00	0,15
19	0,32	0,02	0,75	0,12	0,51	0,12	0,91	0,16	0,60	0,15	1,01	0,15
21	0,32	0,03	0,78	0,13	0,51	0,12	0,90	0,15	0,61	0,19	0,96	0,15
24	0,32	0,01	0,76	0,13	0,51	0,13	0,90	0,15	0,60	0,18	0,94	0,16
26	0,32	0,00	0,79	0,13	0,51	0,13	0,90	0,16	0,62	0,21	0,94	0,16
29	0,32	0,01	0,79	0,14	0,52	0,11	0,94	0,15	0,63	0,22	1,03	0,16
31	0,33	0,01	0,78	0,14	0,52	0,11	0,91	0,15	0,63	0,24	1,01	0,16
33	0,33	0,03	0,79	0,14	0,52	0,10	0,90	0,15	0,64	0,24	1,04	0,17
36	0,33	0,02	0,80	0,13	0,52	0,12	0,89	0,15	0,64	0,21	1,03	0,17
38	0,33	0,02	0,79	0,14	0,52	0,12	0,87	0,15	0,64	0,20	1,07	0,17
41	0,33	0,01	0,82	0,14	0,52	0,13	0,86	0,15	0,64	0,21	1,08	0,17
43	0,34	0,05	0,80	0,14	0,52	0,11	0,86	0,15	0,65	0,22	1,07	0,17
46	0,34	0,01	0,81	0,14	0,51	0,12	0,84	0,15	0,65	0,22	1,06	0,17
49	0,34	0,02	0,82	0,14	0,51	0,12	0,85	0,15	0,65	0,21	1,06	0,18
51	0,34	0,01	0,81	0,14	0,51	0,14	0,85	0,15	0,65	0,19	1,06	0,17
55	0,34	0,01	0,85	0,14	0,51	0,13	0,84	0,15	0,64	0,20	1,06	0,18

Fonte de dados: Fundeio PETROBRAS BS500

**Tabela II.5.1.2-6 –** Primeiros momentos estatísticos da intensidade das correntes coletadas pelo fundeio BS500 da PETROBRAS para os meses de outubro, novembro e dezembro. Méd – média; Mín. – mínima; Máx – máxima; DP – desvio padrão.

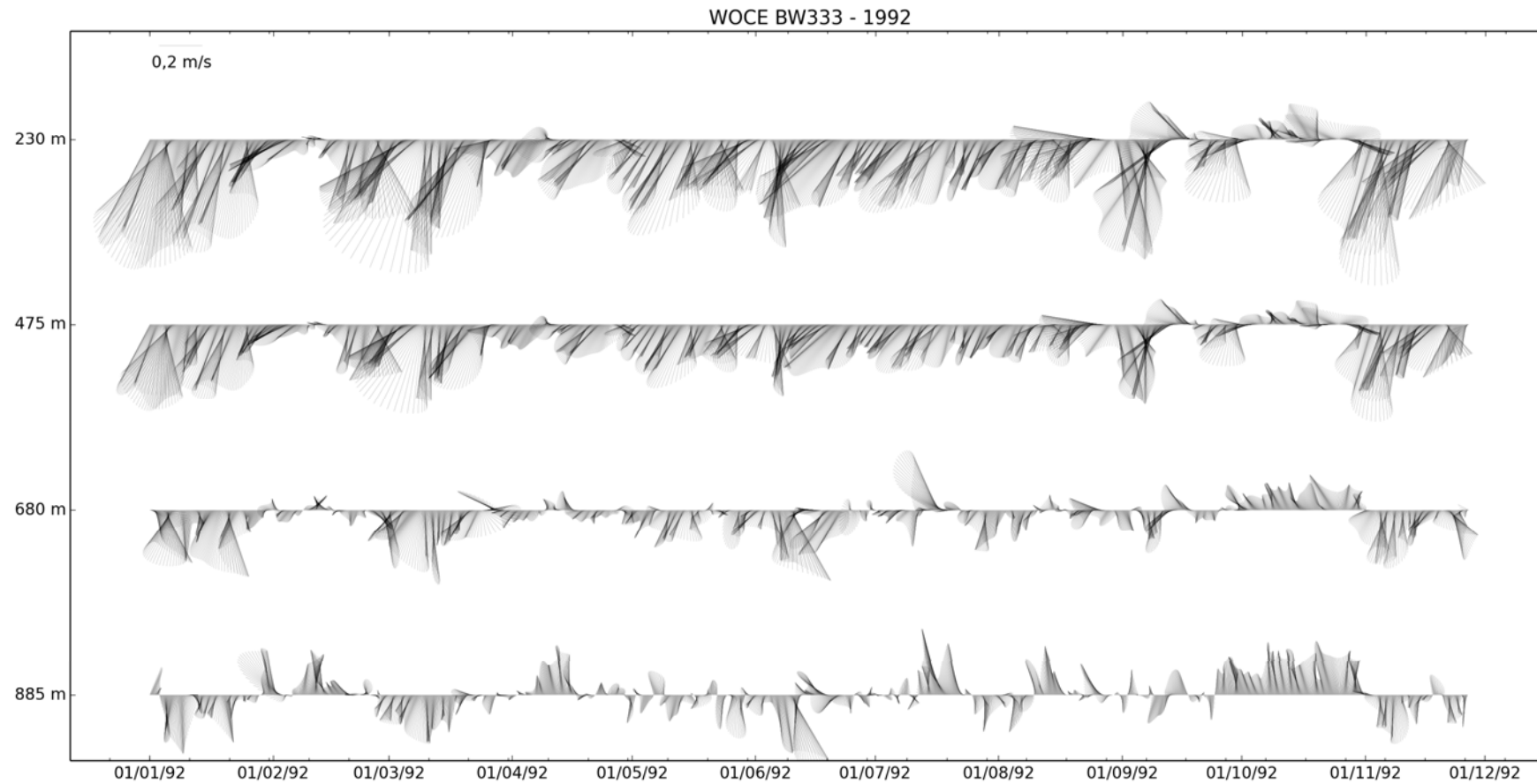
Prof. (m)	Outubro				Novembro				Dezembro			
	Intensidade (m/s)				Intensidade (m/s)				Intensidade (m/s)			
	Méd.	Mín.	Máx.	DP	Méd.	Mín.	Máx.	DP	Méd.	Mín.	Máx.	DP
6	0,21	0,01	0,66	0,15	0,46	0,05	0,72	0,12	0,48	0,19	0,78	0,11
9	0,32	0,00	1,00	0,23	0,69	0,09	1,08	0,18	0,73	0,29	1,25	0,16
11	0,32	0,01	1,01	0,23	0,69	0,10	1,07	0,18	0,72	0,31	1,22	0,16
14	0,32	0,02	1,00	0,23	0,68	0,09	1,06	0,18	0,72	0,31	1,19	0,16
16	0,32	0,02	1,01	0,23	0,68	0,10	1,05	0,18	0,72	0,30	1,18	0,15
19	0,32	0,00	1,01	0,23	0,68	0,08	1,06	0,18	0,72	0,31	1,16	0,15
21	0,32	0,02	0,99	0,23	0,67	0,10	1,05	0,18	0,72	0,32	1,11	0,15
24	0,32	0,01	0,99	0,23	0,67	0,13	1,03	0,18	0,72	0,31	1,10	0,15
26	0,32	0,01	0,99	0,23	0,66	0,15	1,05	0,19	0,71	0,33	1,07	0,15
29	0,32	0,02	0,99	0,23	0,66	0,17	1,03	0,19	0,72	0,32	1,10	0,15
31	0,32	0,01	0,96	0,23	0,65	0,13	1,05	0,20	0,72	0,30	1,09	0,15
33	0,32	0,01	0,97	0,22	0,65	0,11	1,09	0,21	0,72	0,30	1,13	0,15
36	0,32	0,01	0,96	0,22	0,64	0,12	1,07	0,21	0,72	0,28	1,14	0,15
38	0,31	0,01	0,92	0,21	0,63	0,12	1,07	0,21	0,72	0,29	1,09	0,15
41	0,31	0,01	0,92	0,21	0,62	0,09	1,04	0,21	0,72	0,28	1,11	0,15
43	0,31	0,01	0,90	0,20	0,61	0,08	1,04	0,21	0,71	0,26	1,10	0,16
46	0,31	0,01	0,86	0,20	0,60	0,04	1,02	0,21	0,71	0,26	1,10	0,16
49	0,31	0,00	0,89	0,19	0,59	0,10	1,09	0,21	0,70	0,24	1,10	0,16
51	0,31	0,01	0,87	0,19	0,59	0,12	1,10	0,21	0,70	0,26	1,08	0,16
55	0,31	0,01	0,86	0,19	0,57	0,10	1,01	0,21	0,69	0,26	1,09	0,15

Fonte de dados: Fundeio PETROBRAS BS500



Fonte de dados: Fundeio WOCE BW333.

**Figura II.5.1.2-20** – Vetores de velocidade de corrente a 230, 475, 680 e 885 m de profundidade, para o ano de 1991, coletados pelo fundeio BW333 do projeto WOCE, a Sudoeste da região dos empreendimentos. O Norte aponta para cima e o Leste, para direita. O vetor referência está localizado no canto superior esquerdo.



Fonte de dados: Fundeio WOCE BW333.

**Figura II.5.1.2-21** – Vetores de velocidade de corrente a 230, 475, 680 e 885 m de profundidade, para o ano de 1992, coletados pelo fundeio BW333 do projeto WOCE, a Sudoeste da região dos empreendimentos. O Norte aponta para cima e o Leste, para direita. O vetor referência está localizado no canto superior esquerdo.



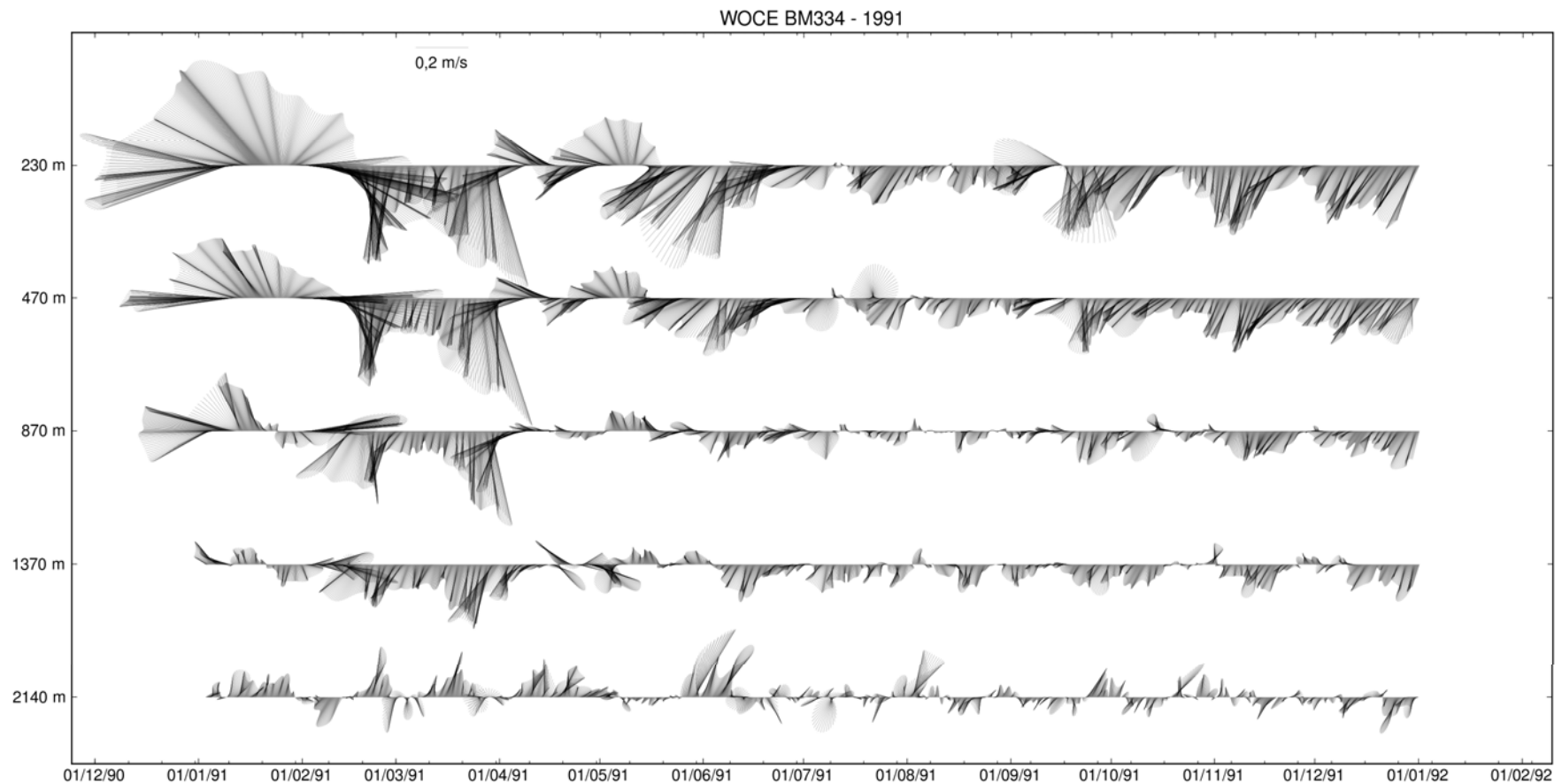
Coordenador da Equipe



Técnico Responsável

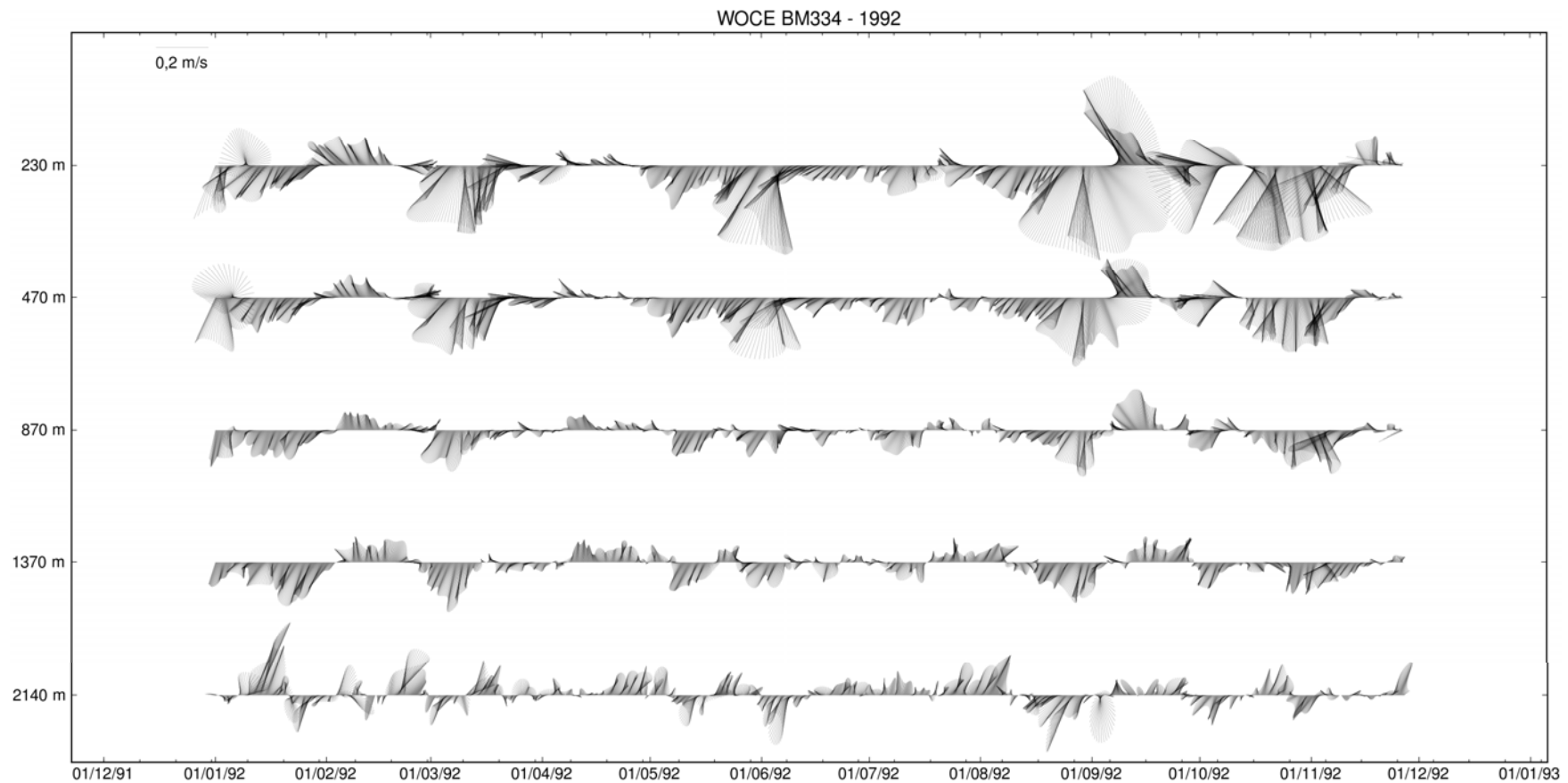
Revisão 00  
06/2014





Fonte de dados: Fundeio WOCE BM334.

**Figura II.5.1.2-22** – Vetores de velocidade de corrente a 230, 470, 870, 1370 e 2140 m de profundidade para o ano de 1991, coletados pelo fundeio BM334 do projeto WOCE, a Sudoeste da região dos empreendimentos. O Norte aponta para cima e o Leste, para direita. O vetor referência está localizado no canto superior esquerdo.



Fonte de dados: Fundeio WOCE BM334.

**Figura II.5.1.2-23** – Vetores de velocidade de corrente a 230, 470, 870, 1370 e 2140 m de profundidade para o ano de 1992, coletados pelo fundeio BM334 do projeto WOCE, a Sudoeste da região dos empreendimentos. O Norte aponta para cima e o Leste, para direita. O vetor referência está localizado no canto superior esquerdo.

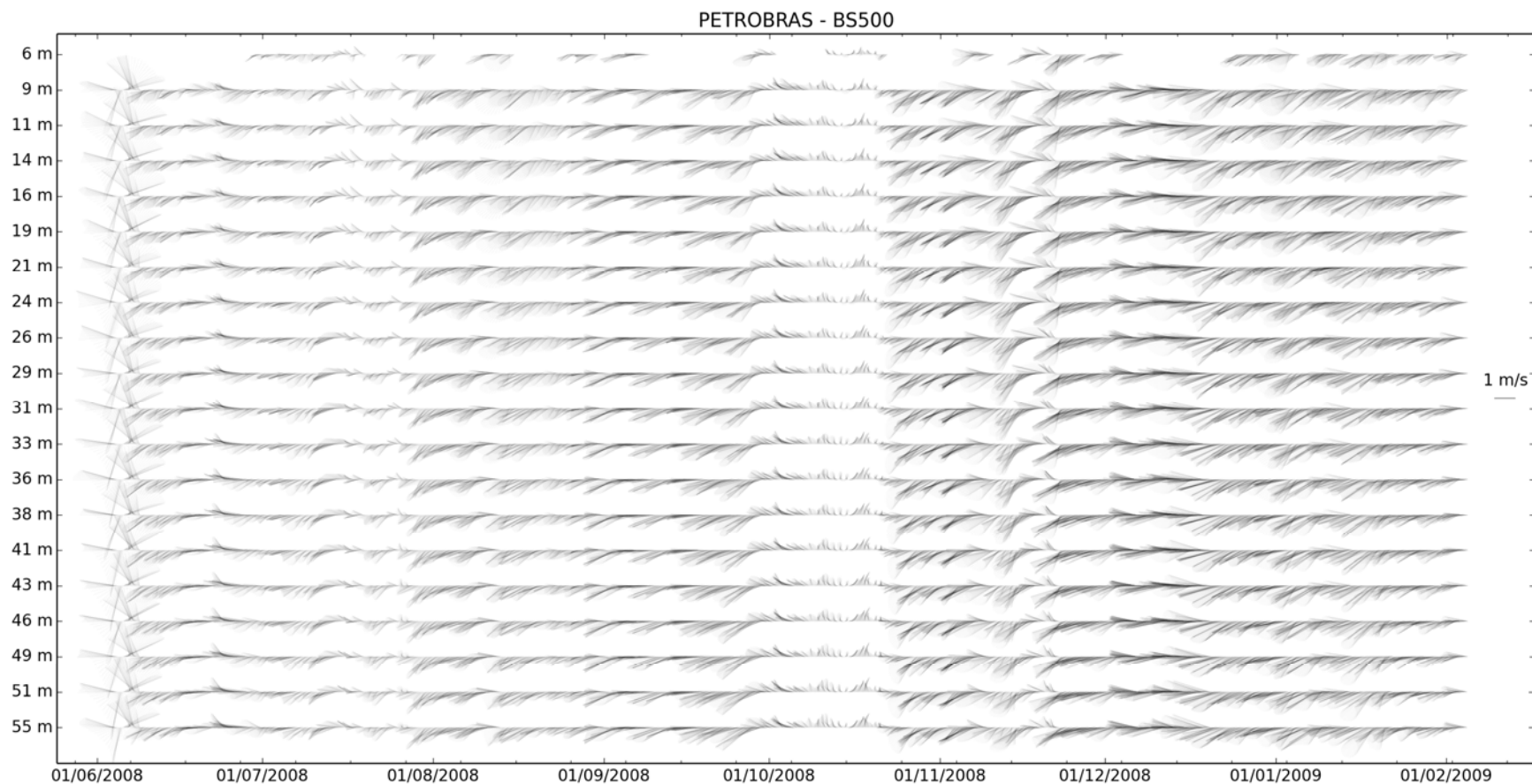


Coordenador da Equipe



Técnico Responsável

Revisão 00  
06/2014



Fonte de dados: Fundeio BS500 PETROBRAS

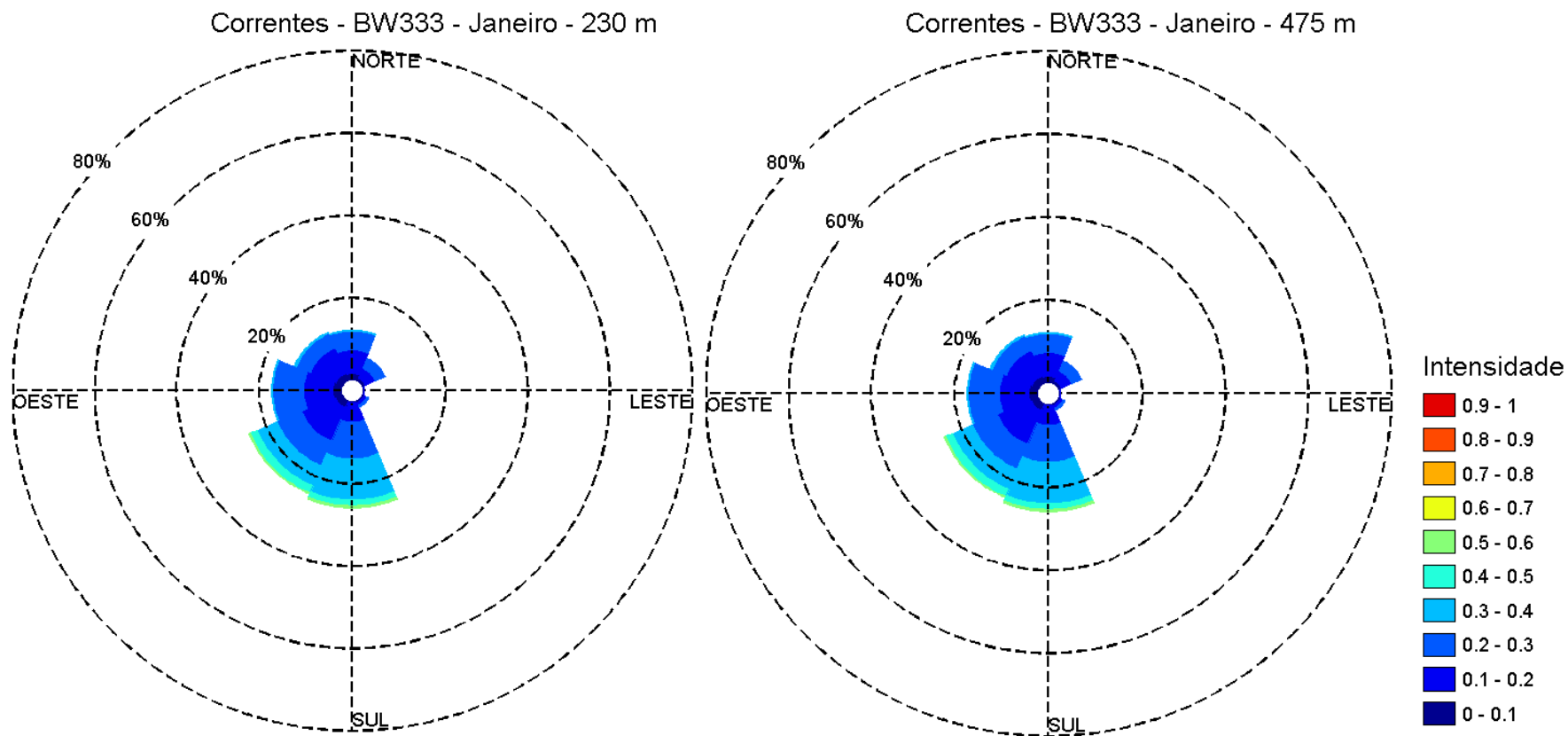
**Figura II.5.1.2-24** – Vetores de velocidade de corrente de 6 m a 55 m de profundidade ao longo dos anos de 2008 e 2009, coletados pelo fundeio BS500 da PETROBRAS. O Norte aponta para cima e o Leste, para direita. O vetor referência está localizado na porção central esquerda direita.

Para os fundeios WOCE (**Tabela II.5.1.2-2 e Tabela II.5.1.2-3 e Figura II.5.1.2-20 a Figura II.5.1.2-23**), mostram que a média da intensidade das correntes diminui com o aumento da profundidade. Para o fundeio BW333 nas profundidades de 230 m e 475 m as maiores intensidades médias ocorreram no mês de novembro e nas profundidades de 680 m e 885 m nos meses de janeiro e outubro, respectivamente. As menores intensidades médias foram observadas nos meses de abril, para as duas primeiras profundidades, e agosto e dezembro para as duas últimas. Para o fundeio BM334 cada profundidade apresentou um mês diferente para as maiores e menores intensidades médias. Em 230 m o mês com maior intensidade média foi janeiro e o menor julho. Em 470 m março e julho/agosto, 870 m jan/fevereiro e abril/julho/agosto/setembro, 1370 março e julho/outubro e 2140 janeiro e novembro, como sendo os meses com maiores e menores intensidades médias, respectivamente.

Para o fundeio BS500 da PETROBRAS destaca-se a homogeneidade das correntes ao longo das profundidades coletadas, tanto direccionalmente quanto nas estatísticas da intensidade das correntes. Nos meses de janeiro e fevereiro observou-se grande homogeneidade com correntes médias máximas ocorrendo em superfície, com janeiro sendo mais intenso que fevereiro. Já para os meses de junho e julho os máximos de intensidade da corrente ocorreram em subsuperfície, próximo a 50 m de profundidade. Este fenômeno também foi observado no mês de setembro. Agosto e outubro foram meses que tiveram correntes praticamente homogêneas ao longo dos 55 m iniciais de coluna de água e novembro e dezembro com maiores intensidades próximos a superfície. O mês de dezembro foi o que apresentou maior intensidade média da corrente e julho a menor.

Diagramas direcionais das correntes do fundeio BW333 estão apresentados da **Figura II.5.1.2-25 a Figura II.5.1.2-48**. Para o fundeio BM334 são apresentadas desde a **Figura II.5.1.2-49** até a **Figura II.5.1.2-84** e para o fundeio BS500 da **Figura II.5.1.2-85 a Figura II.5.1.2-174**. Estas figuras contemplam todos os meses e profundidades coletadas em todos os fundeios.

Na sequência, da **Tabela II.5.1.2-7 a Tabela II.5.1.2-294** são apresentadas tabelas de ocorrência conjunta de intensidade e direção da corrente para os 3 fundeios analisados, em todas as profundidades e meses de coleta de dados.



Fonte de dados: Fundeio WOCE BW333

**Figura II.5.1.2-25** – Distribuição direcional da frequência de ocorrência da corrente, de acordo com a intensidade (escala graduada de cores - m/s). As circunferências mostram a frequência de ocorrência em cada direção. Dados do fundeio WOCE BW333 para as profundidades de 230 m (esquerda) e 475 m (direita) no mês de janeiro.

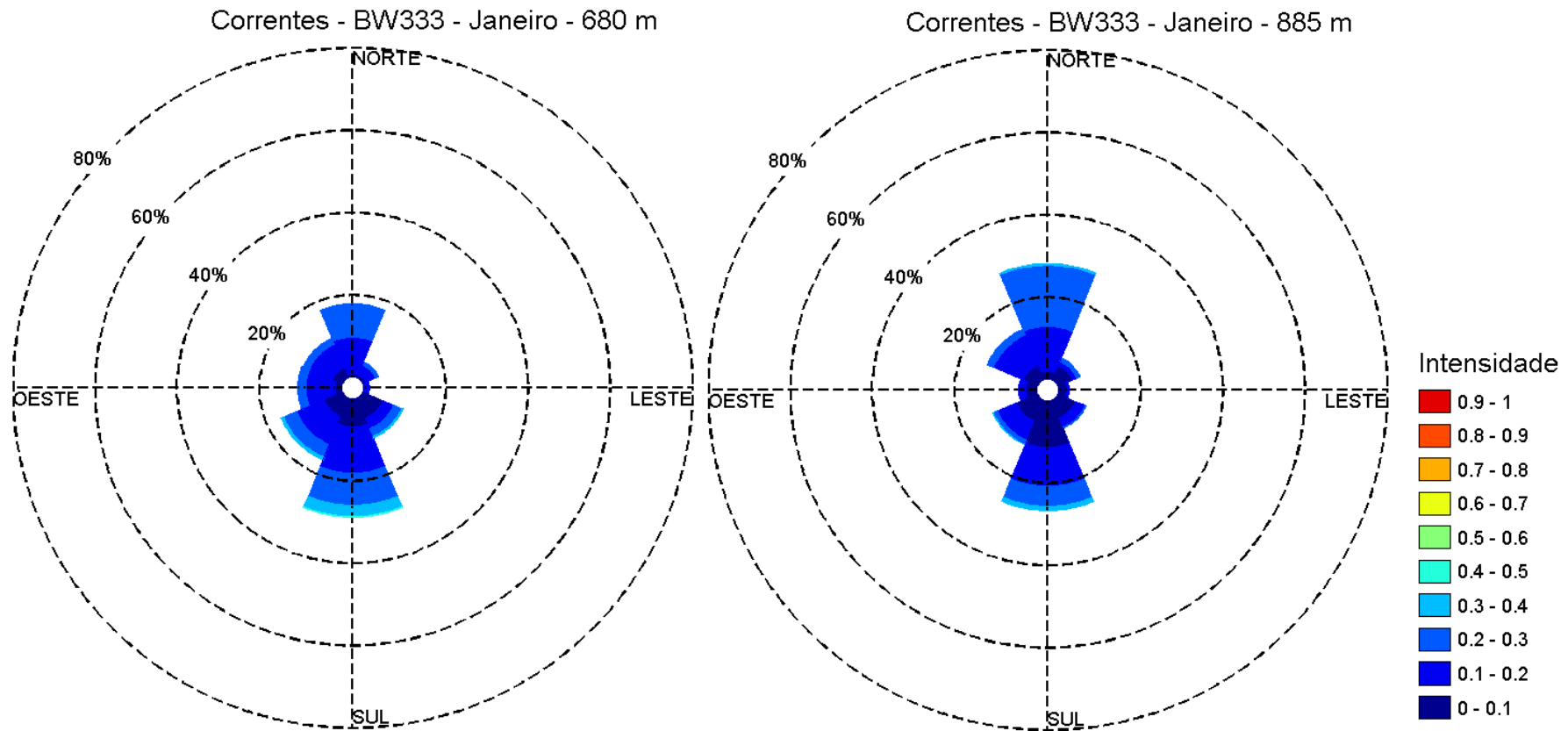


Coordenador da Equipe



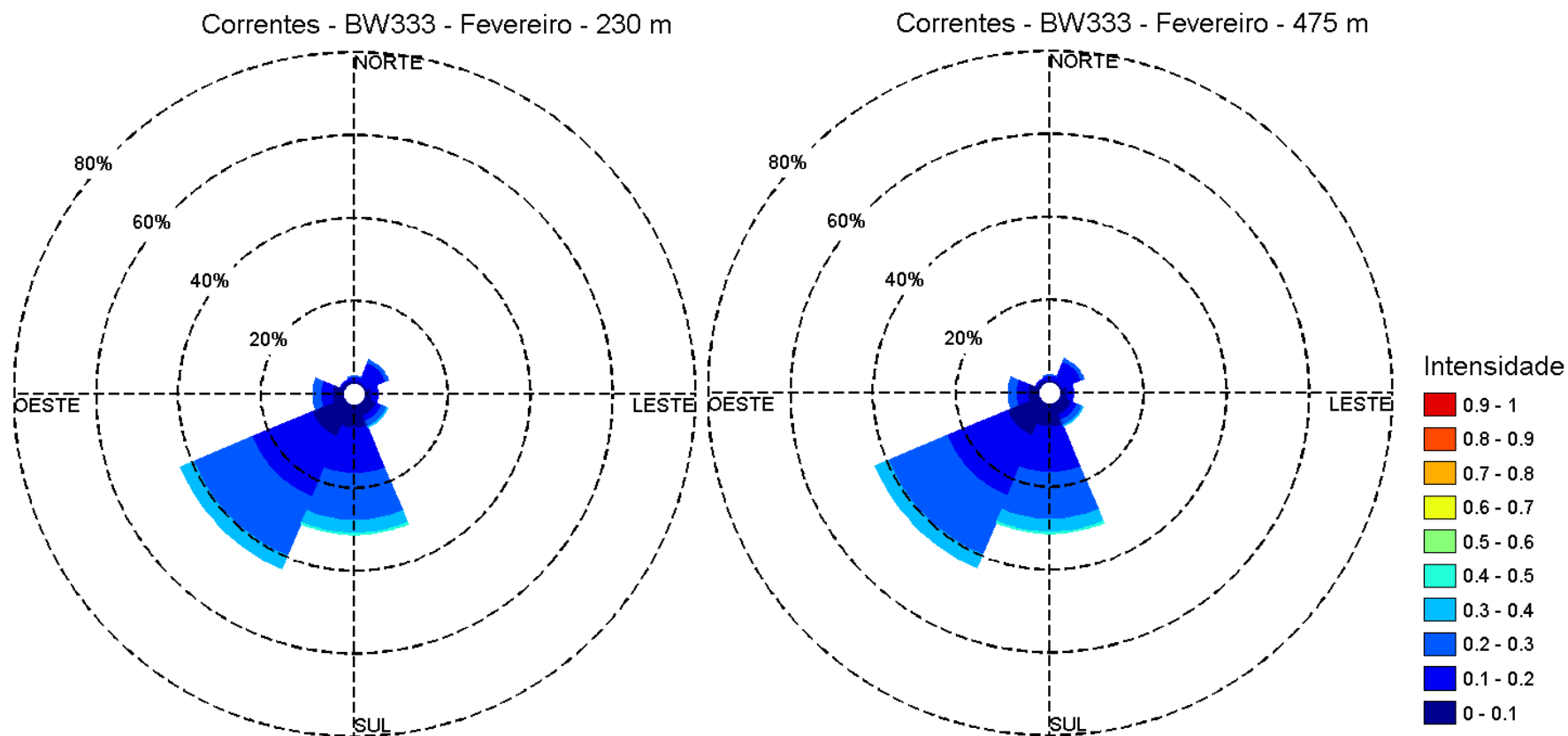
Técnico Responsável

Revisão 00  
06/2014



Fonte de dados: Fundeio WOCE BW333

**Figura II.5.1.2-26** – Distribuição direcional da frequência de ocorrência da corrente, de acordo com a intensidade (escala graduada de cores - m/s). As circunferências mostram a frequência de ocorrência em cada direção. Dados do fundeio WOCE BW333 para as profundidades de 680 m (esquerda) e 885 m (direita) no mês de janeiro.



Fonte de dados: Fundeio WOCE BW333

**Figura II.5.1.2-27** – Distribuição direcional da frequência de ocorrência da corrente, de acordo com a intensidade (escala graduada de cores - m/s). As circunferências mostram a frequência de ocorrência em cada direção. Dados do fundeio WOCE BW333 para as profundidades de 230 m (esquerda) e 475 m (direita) no mês de fevereiro.



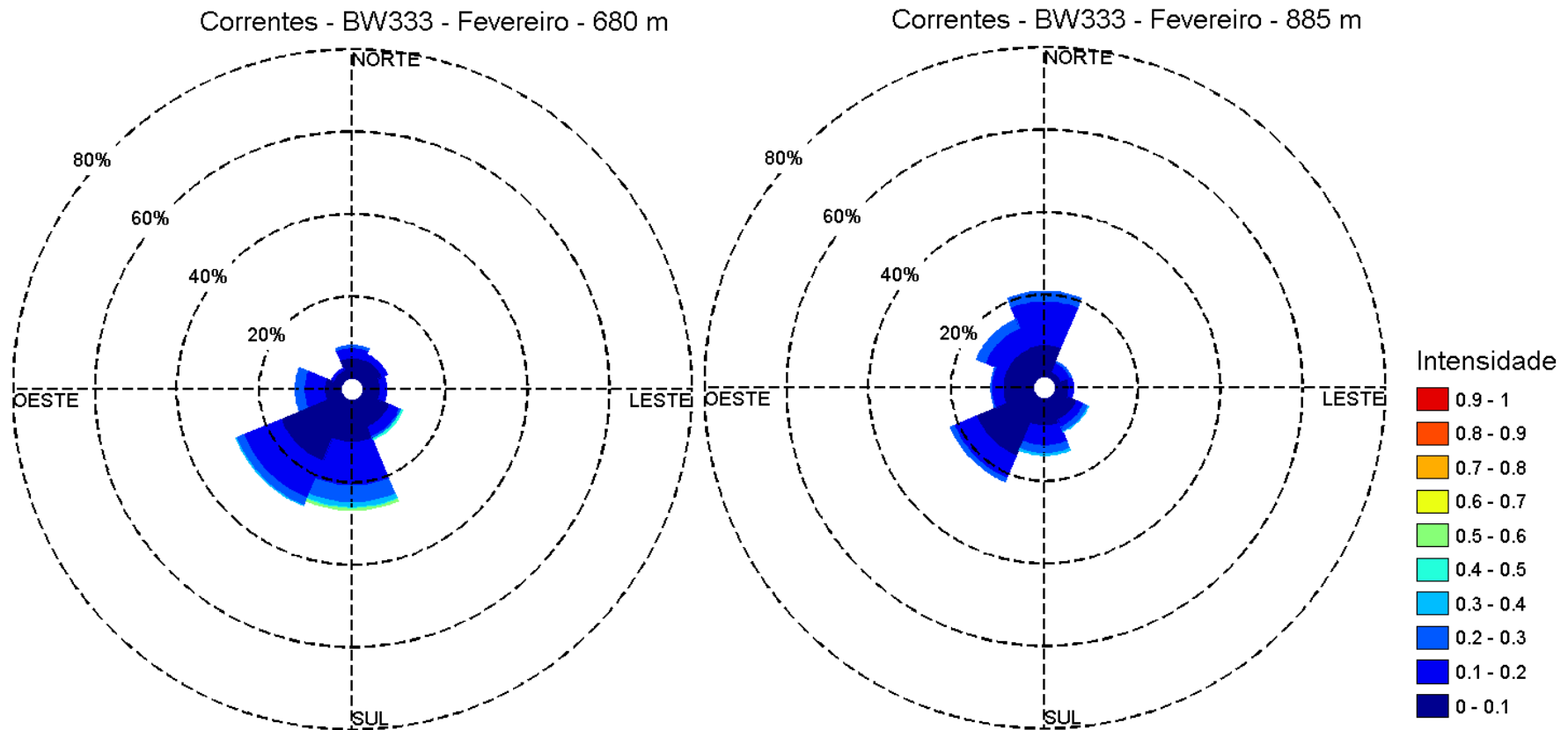
Coordenador da Equipe



Técnico Responsável

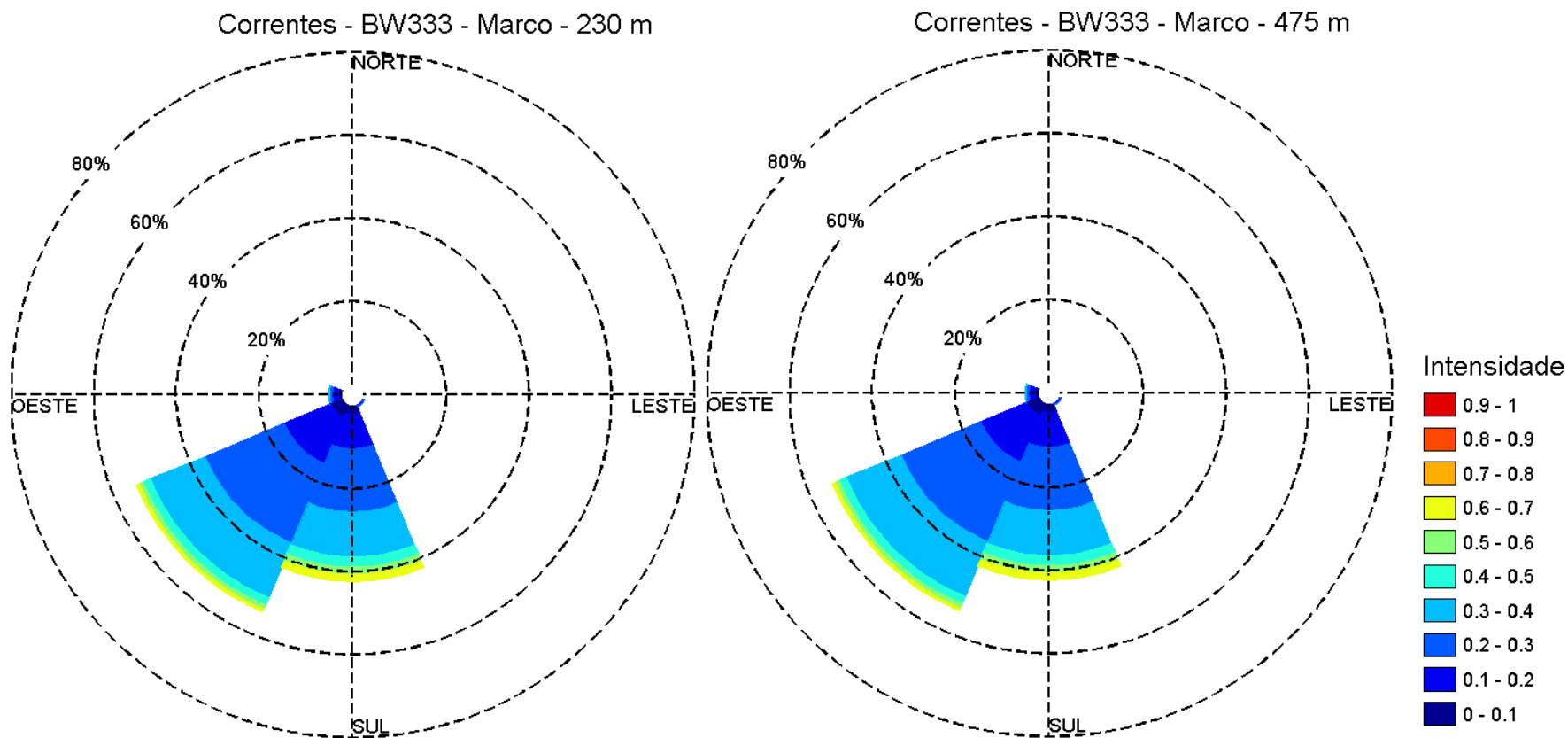
Revisão 00  
06/2014





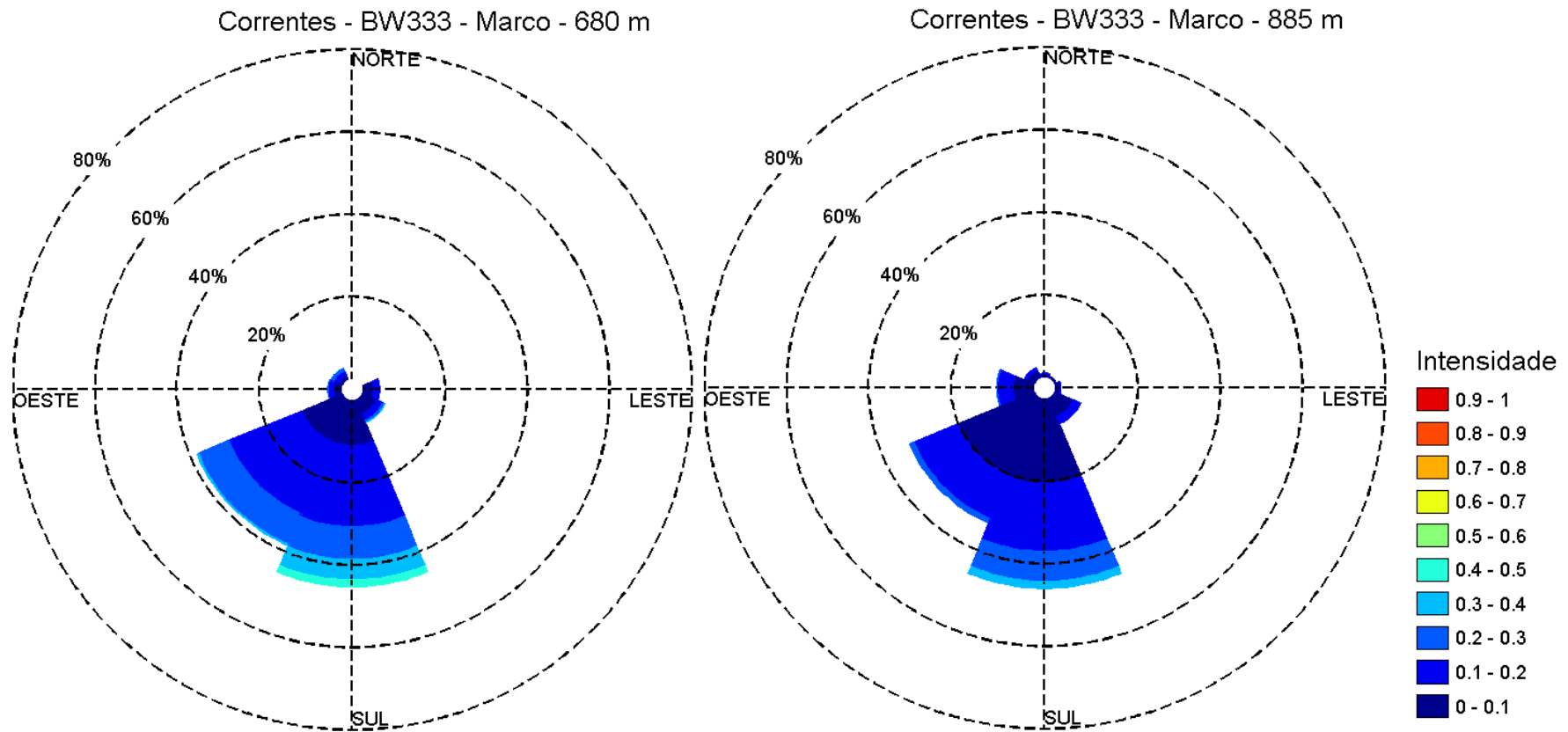
Fonte de dados: Fundeio WOCE BW333

**Figura II.5.1.2-28** – Distribuição direcional da frequência de ocorrência da corrente, de acordo com a intensidade (escala graduada de cores - m/s). As circunferências mostram a frequência de ocorrência em cada direção. Dados do fundeio WOCE BW333 para as profundidades de 680 m (esquerda) e 885 m (direita) no mês de fevereiro.



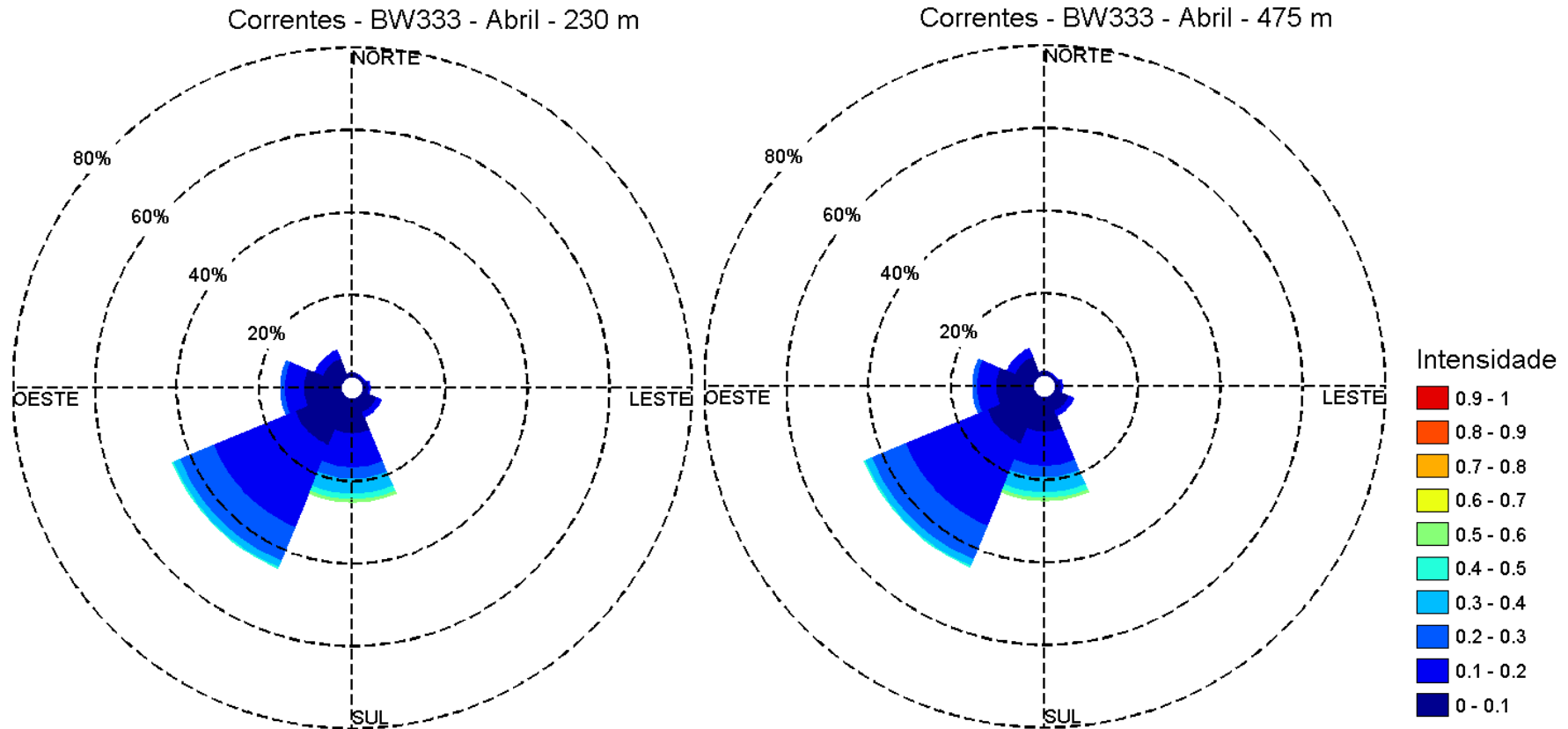
Fonte de dados: Fundeio WOCE BW333

**Figura II.5.1.2-29** – Distribuição direcional da frequência de ocorrência da corrente, de acordo com a intensidade (escala graduada de cores - m/s). As circunferências mostram a frequência de ocorrência em cada direção. Dados do fundeio WOCE BW333 para as profundidades de 230 m (esquerda) e 475 m (direita) no mês de março.

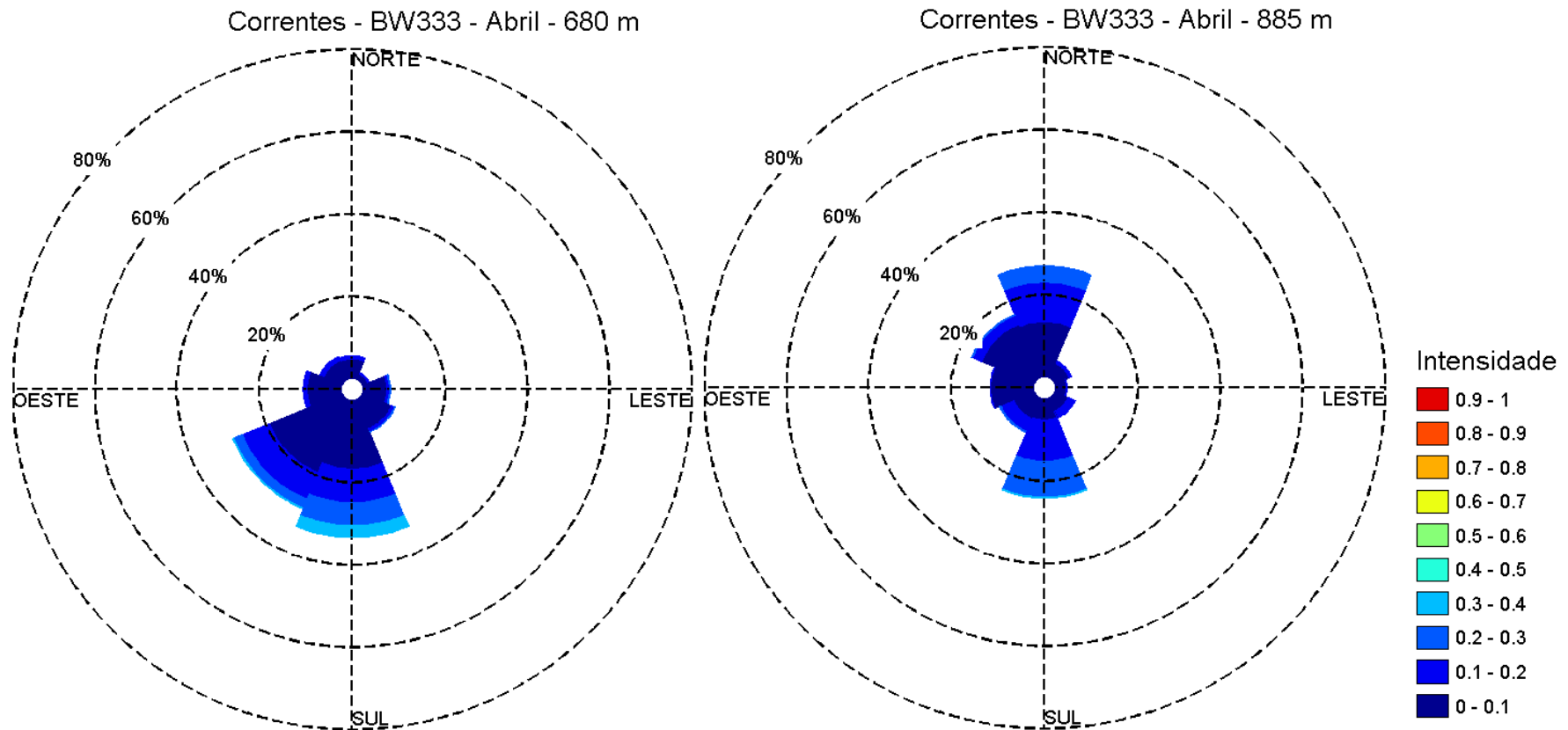


Fonte de dados: Fundeio WOCE BW333

**Figura II.5.1.2-30** – Distribuição direcional da frequência de ocorrência da corrente, de acordo com a intensidade (escala graduada de cores - m/s). As circunferências mostram a frequência de ocorrência em cada direção. Dados do fundeio WOCE BW333 para as profundidades de 680 m (esquerda) e 885 m (direita) no mês de março.

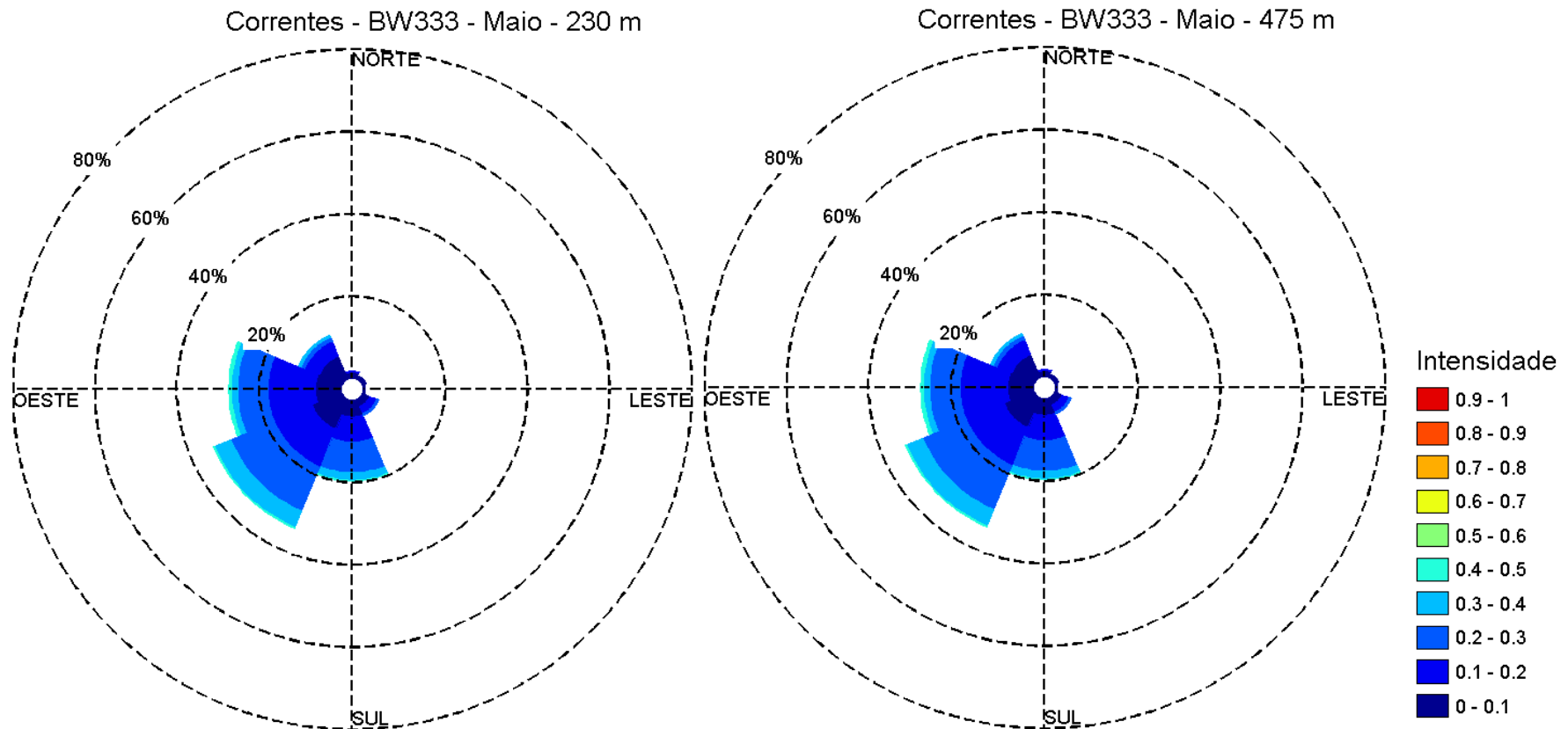


**Figura II.5.1.2-31** – Distribuição direcional da frequência de ocorrência da corrente, de acordo com a intensidade (escala graduada de cores - m/s). As circunferências mostram a frequência de ocorrência em cada direção. Dados do fundeio WOCE BW333 para as profundidades de 230 m (esquerda) e 475 m (direita) no mês de abril.

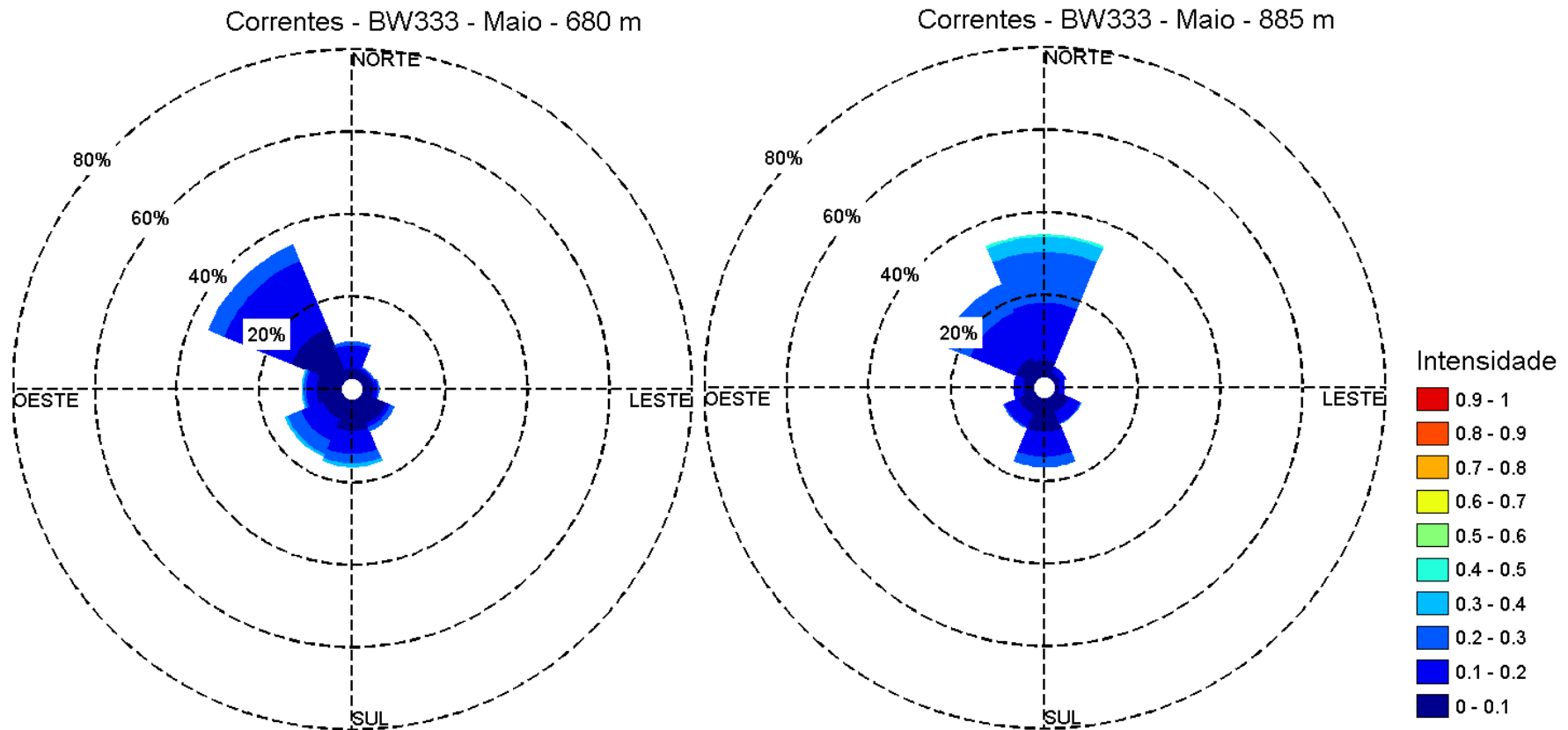


Fonte de dados: Fundeio WOCE BW333

**Figura II.5.1.2-32** – Distribuição direcional da frequência de ocorrência da corrente, de acordo com a intensidade (escala graduada de cores - m/s). As circunferências mostram a frequência de ocorrência em cada direção. Dados do fundeio WOCE BW333 para as profundidades de 680 m (esquerda) e 885 m (direita) no mês de abril.



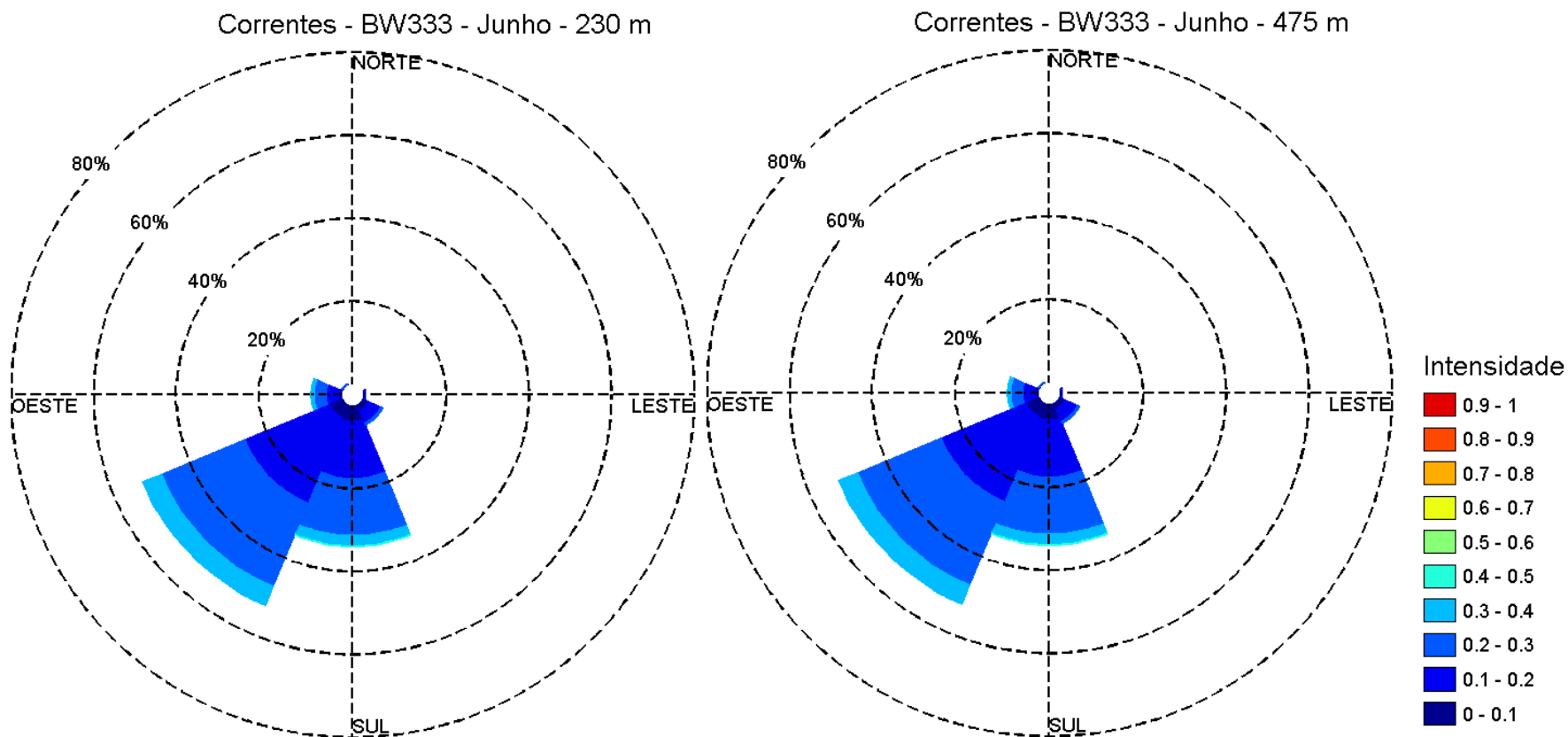
**Figura II.5.1.2-33** – Distribuição direcional da frequência de ocorrência da corrente, de acordo com a intensidade (escala graduada de cores - m/s). As circunferências mostram a frequência de ocorrência em cada direção. Dados do fundeio WOCE BW333 para as profundidades de 230 m (esquerda) e 475 m (direita) no mês de maio.



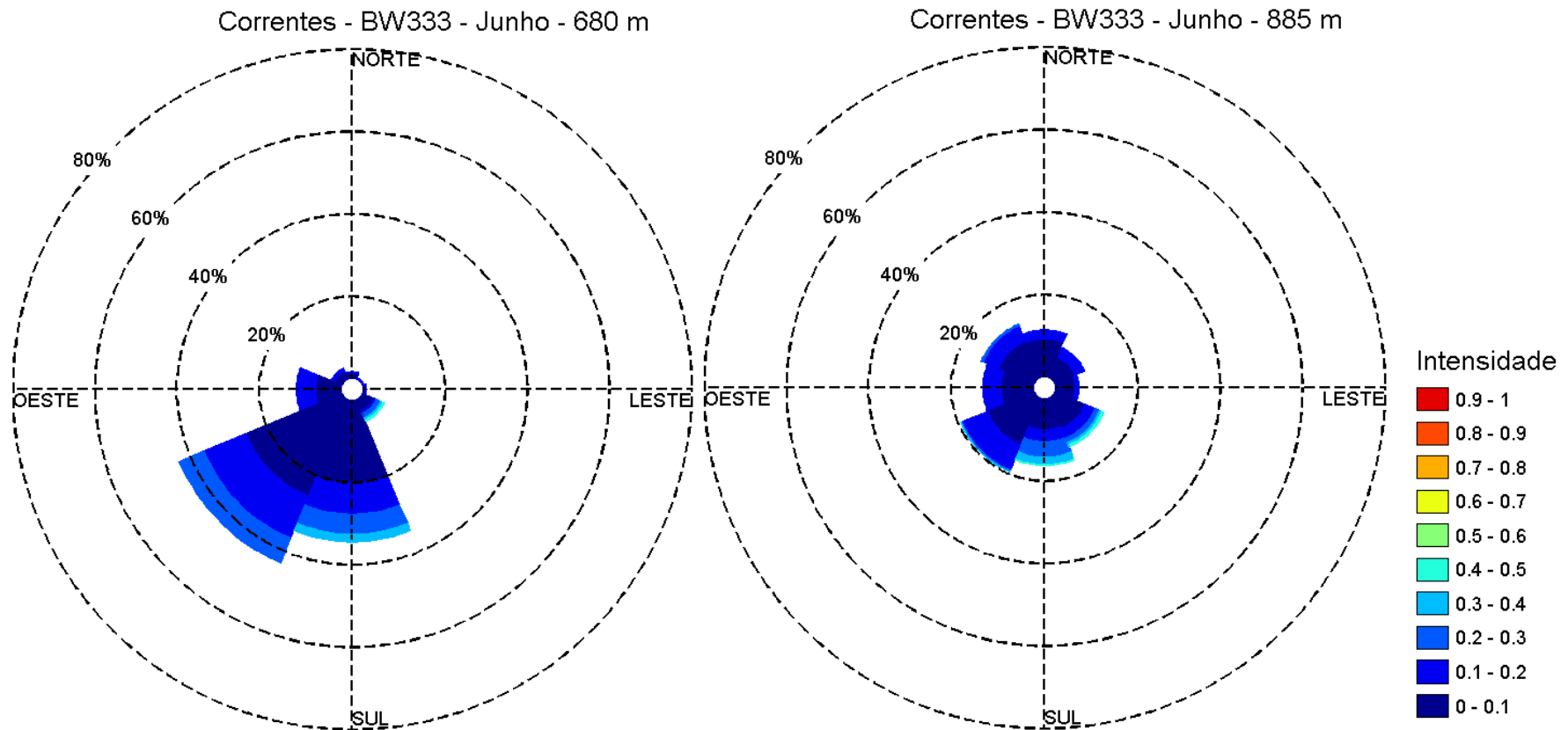
Fonte de dados: Fundeio WOCE BW333

**Figura II.5.1.2-34** – Distribuição direcional da frequência de ocorrência da corrente, de acordo com a intensidade (escala graduada de cores - m/s). As circunferências mostram a frequência de ocorrência em cada direção. Dados do fundeio WOCE BW333 para as profundidades de 680 m (esquerda) e 885 m (direita) no mês de maio.



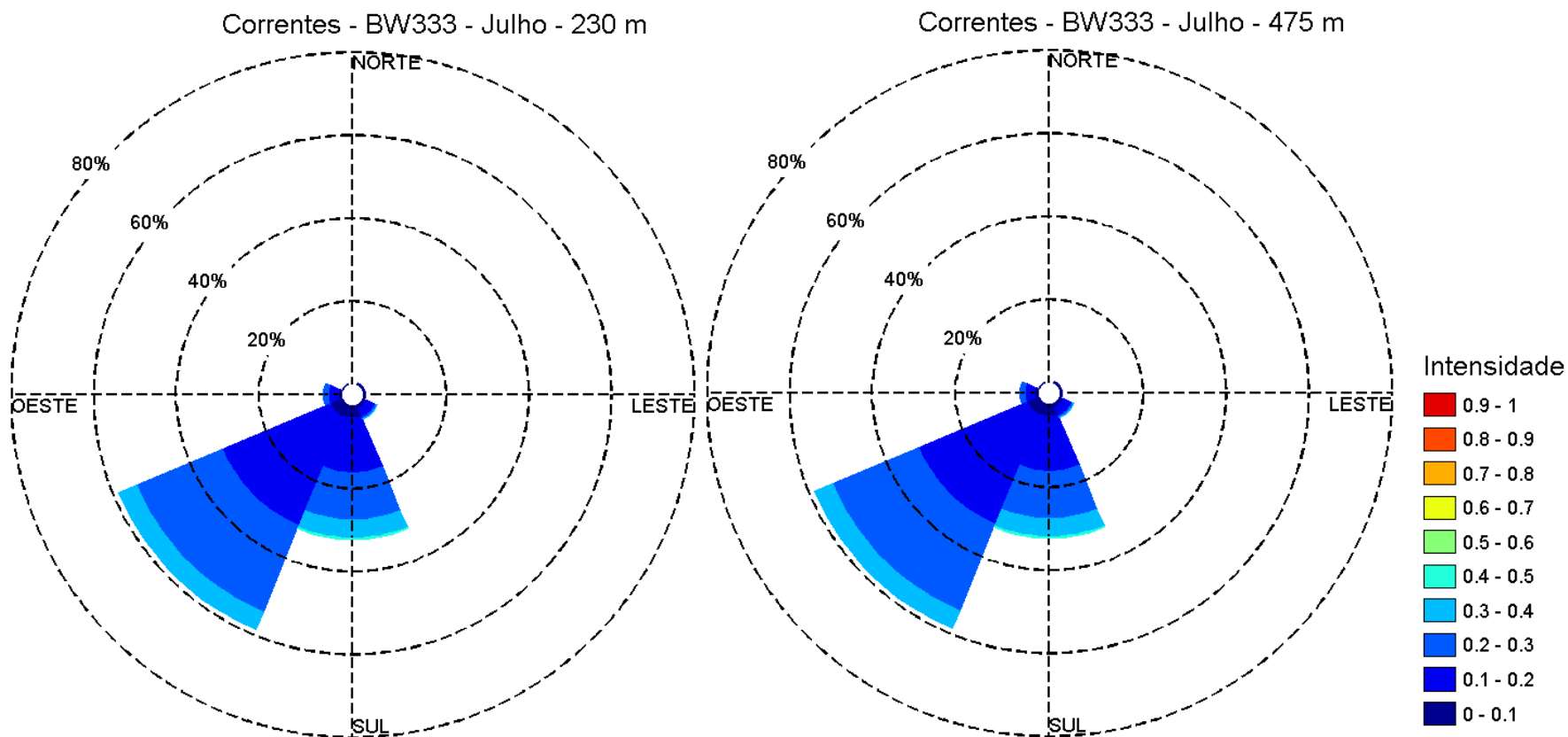


**Figura II.5.1.2-35** – Distribuição direcional da frequência de ocorrência da corrente, de acordo com a intensidade (escala graduada de cores - m/s). As circunferências mostram a frequência de ocorrência em cada direção. Dados do fundeio WOCE BW333 para as profundidades de 230 m (esquerda) e 475 m (direita) no mês de junho.

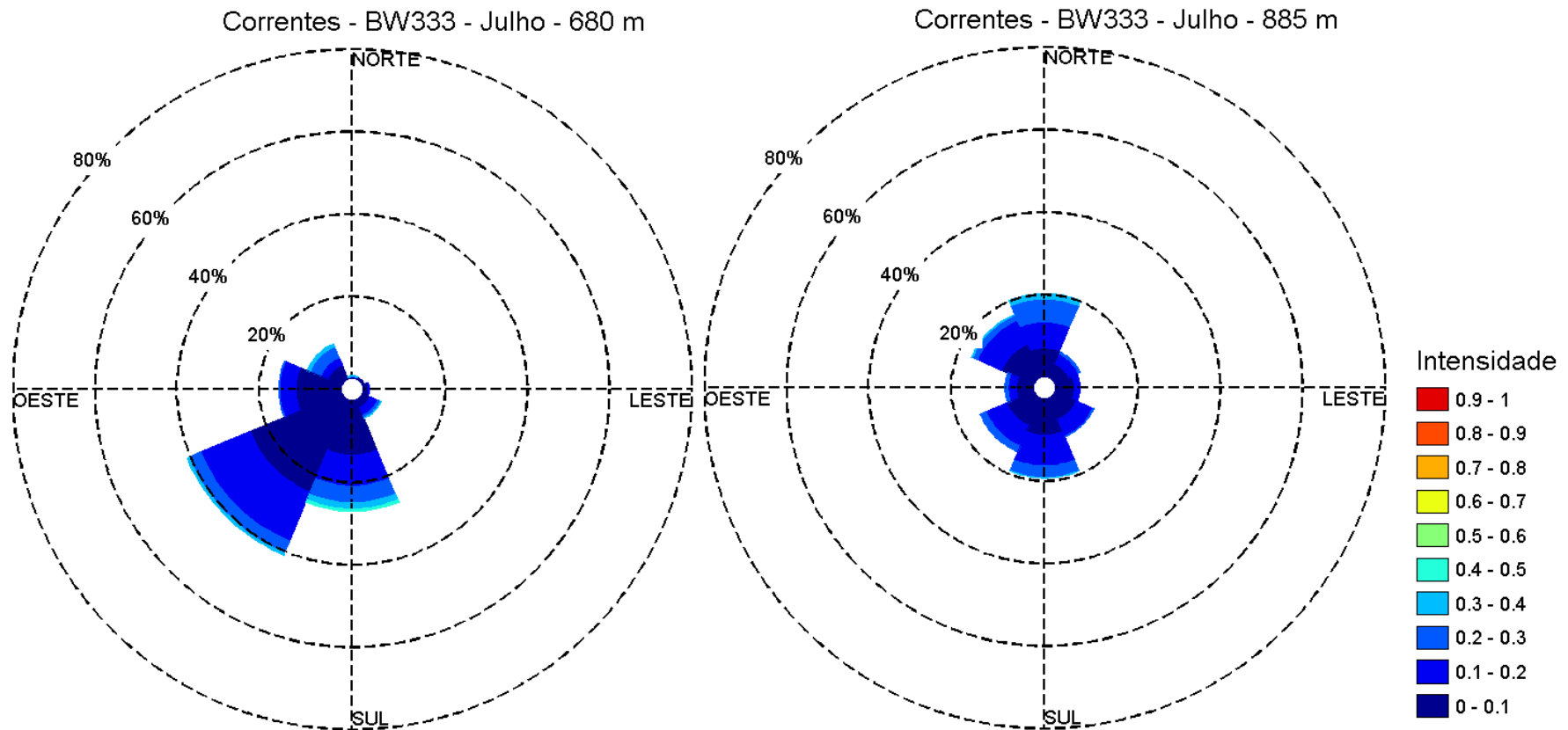


Fonte de dados: Fundeio WOCE BW333

**Figura II.5.1.2-36** – Distribuição direcional da frequência de ocorrência da corrente, de acordo com a intensidade (escala graduada de cores - m/s). As circunferências mostram a frequência de ocorrência em cada direção. Dados do fundeio WOCE BW333 para as profundidades de 680 m (esquerda) e 885 m (direita) no mês de junho.

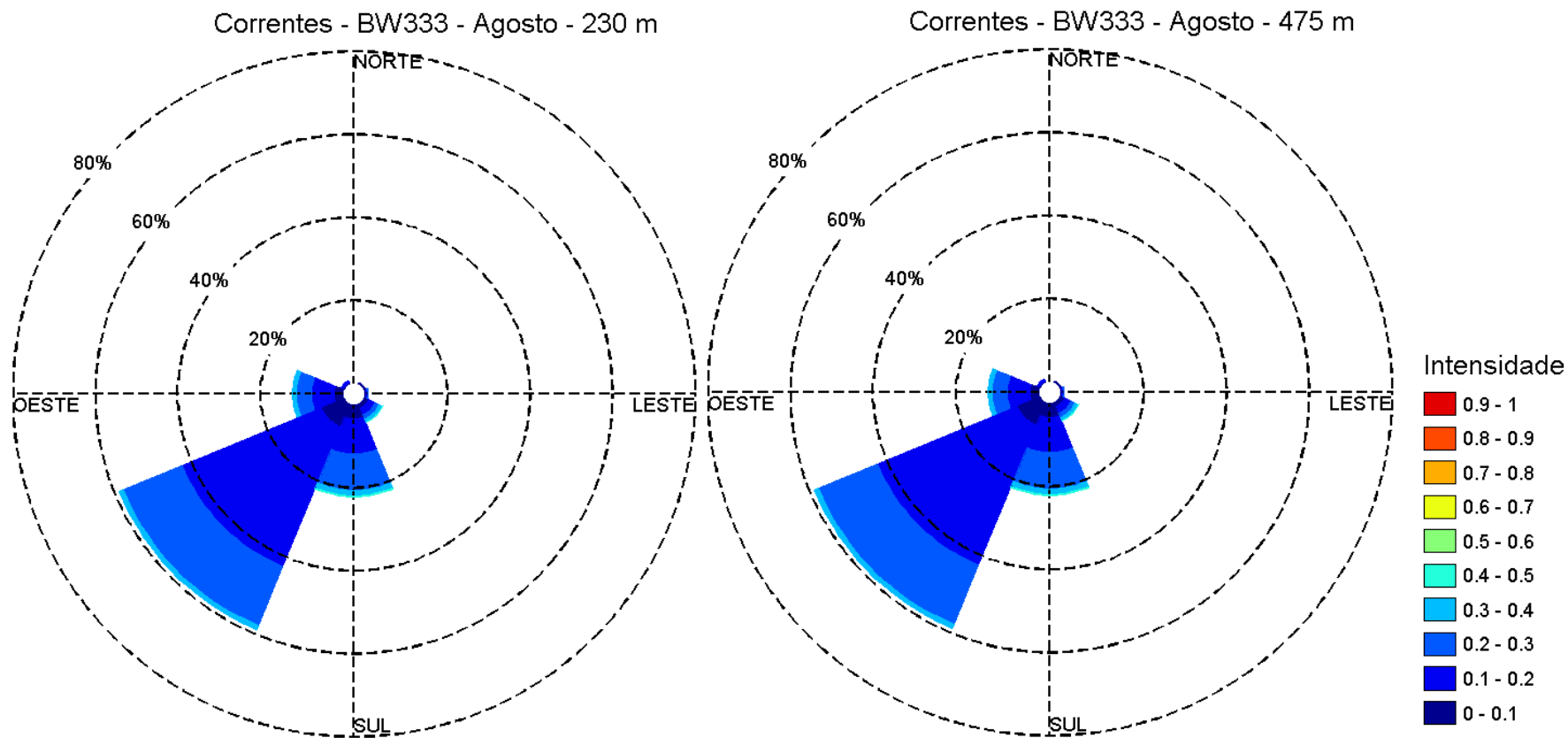


**Figura II.5.1.2-37** – Distribuição direcional da frequência de ocorrência da corrente, de acordo com a intensidade (escala graduada de cores - m/s). As circunferências mostram a frequência de ocorrência em cada direção. Dados do fundeio WOCE BW333 para as profundidades de 230 m (esquerda) e 475 m (direita) no mês de julho.

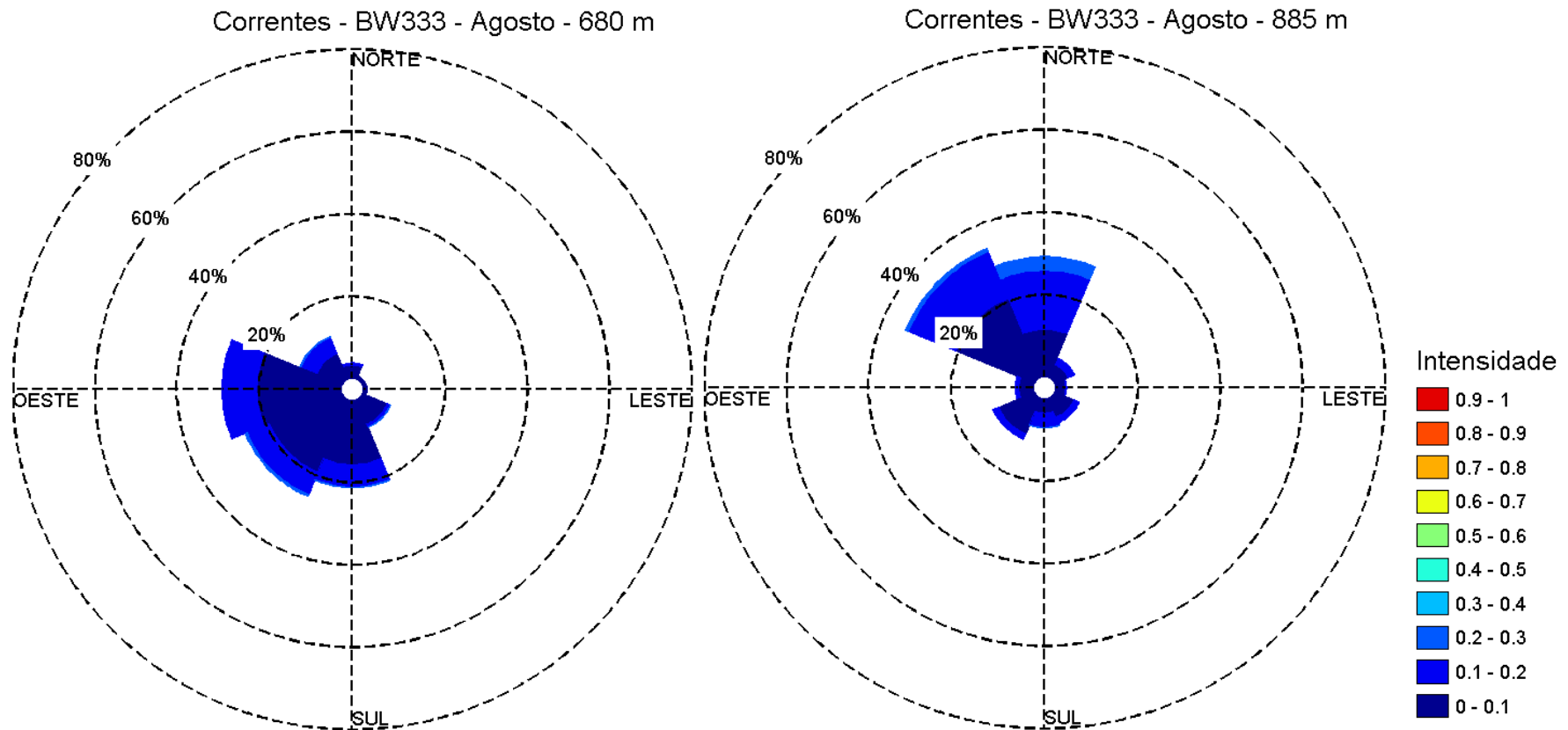


Fonte de dados: Fundeio WOCE BW333

**Figura II.5.1.2-38** – Distribuição direcional da frequência de ocorrência da corrente, de acordo com a intensidade (escala graduada de cores - m/s). As circunferências mostram a frequência de ocorrência em cada direção. Dados do fundeio WOCE BW333 para as profundidades de 680 m (esquerda) e 885 m (direita) no mês de julho.

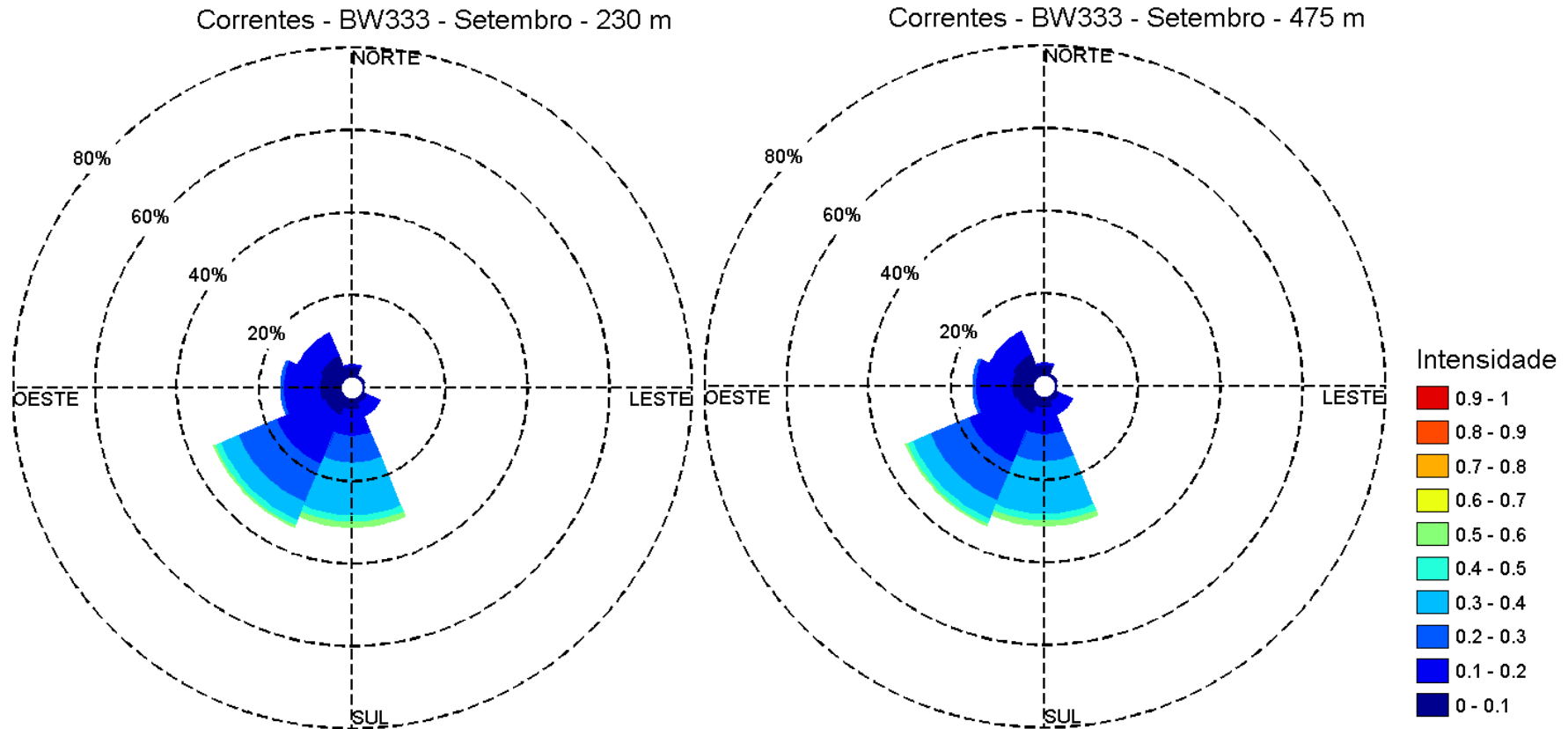


**Figura II.5.1.2-39** – Distribuição direcional da frequência de ocorrência da corrente, de acordo com a intensidade (escala graduada de cores - m/s). As circunferências mostram a frequência de ocorrência em cada direção. Dados do fundeio WOCE BW333 para as profundidades de 230 m (esquerda) e 475 m (direita) no mês de agosto.



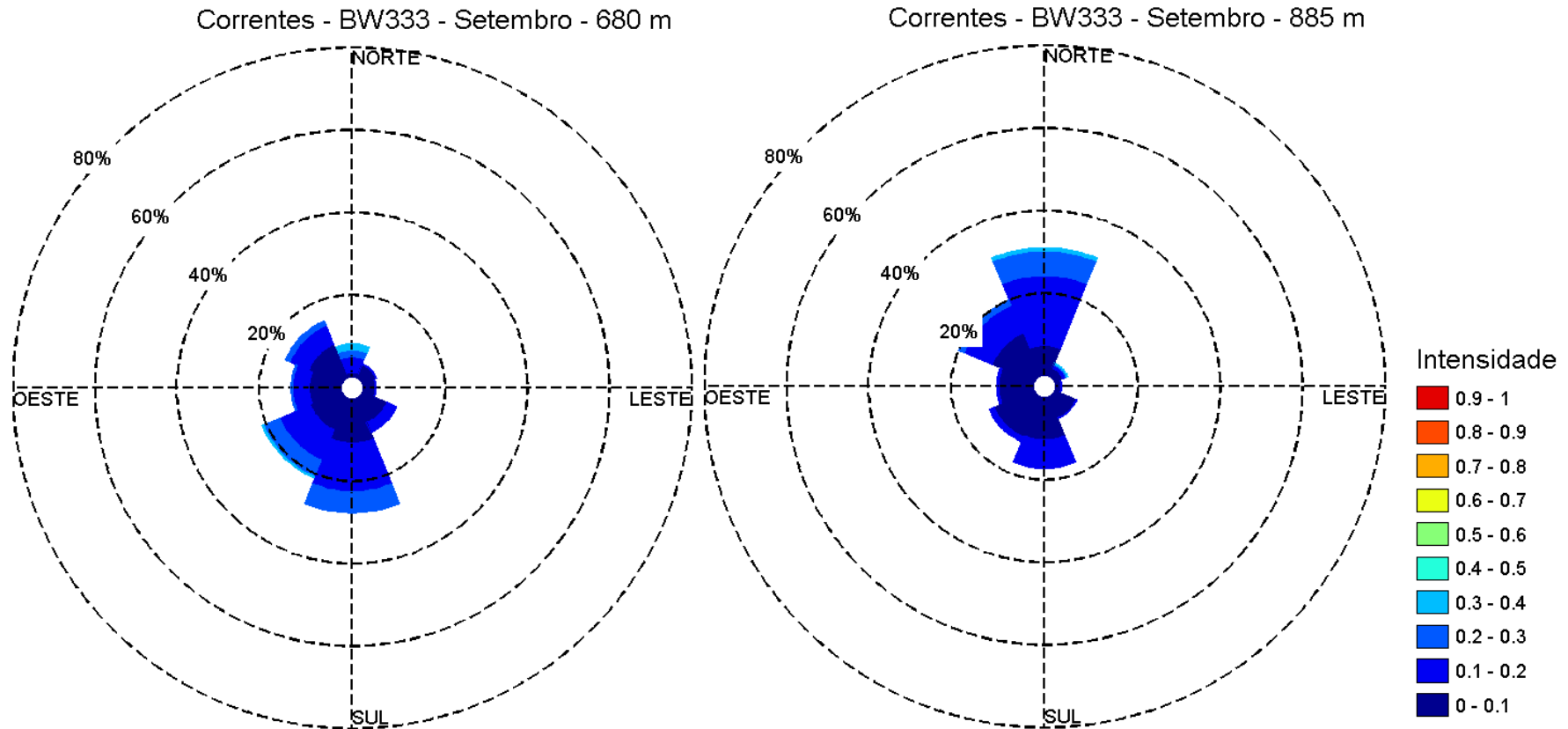
Fonte de dados: Fundeio WOCE BW333

**Figura II.5.1.2-40** – Distribuição direcional da frequência de ocorrência da corrente, de acordo com a intensidade (escala graduada de cores - m/s). As circunferências mostram a frequência de ocorrência em cada direção. Dados do fundeio WOCE BW333 para as profundidades de 680 m (esquerda) e 885 m (direita) no mês de agosto.



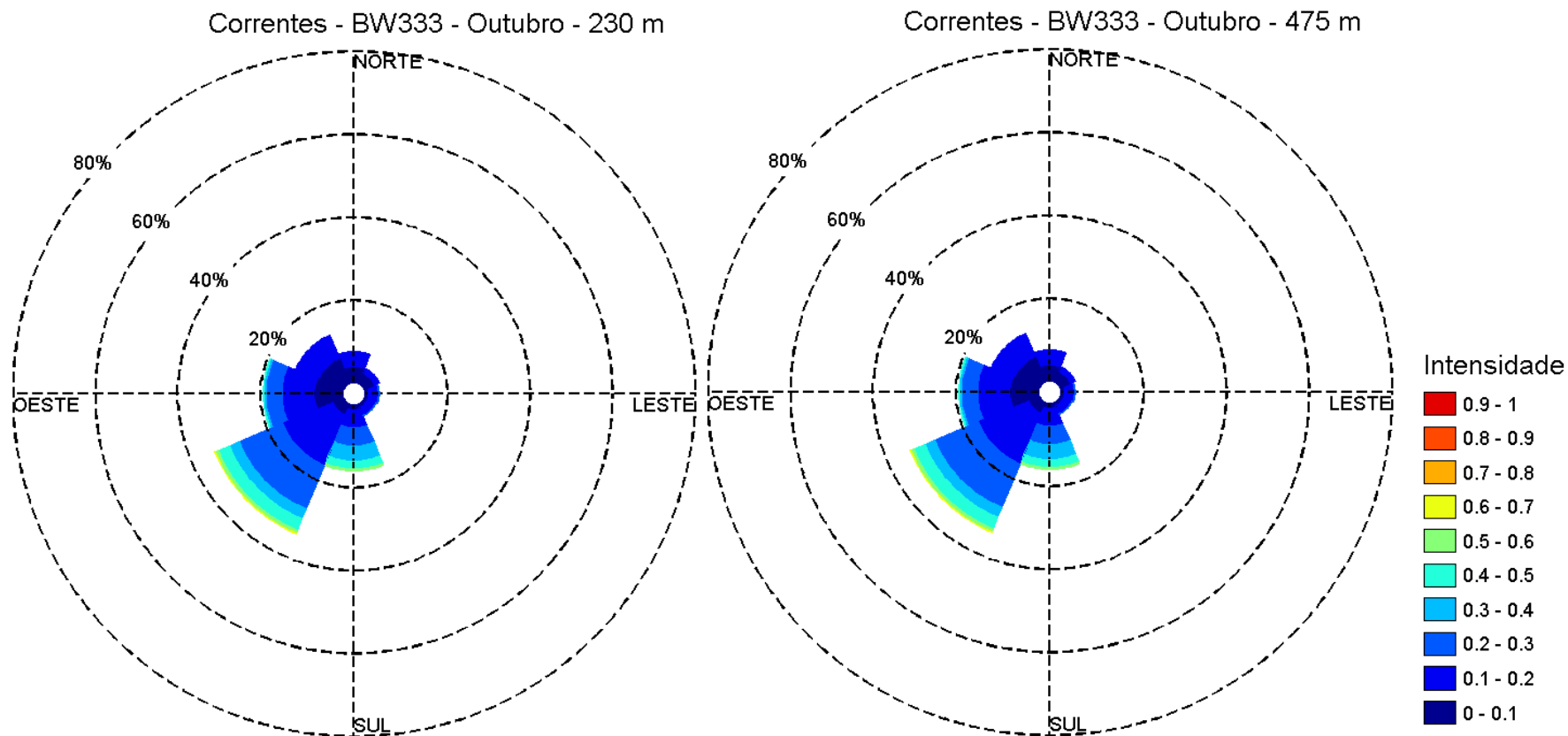
**Figura II.5.1.2-41** – Distribuição direcional da frequência de ocorrência da corrente, de acordo com a intensidade (escala graduada de cores - m/s). As circunferências mostram a frequência de ocorrência em cada direção. Dados do fundeio WOCE BW333 para as profundidades de 230 m (esquerda) e 475 m (direita) no mês de setembro.



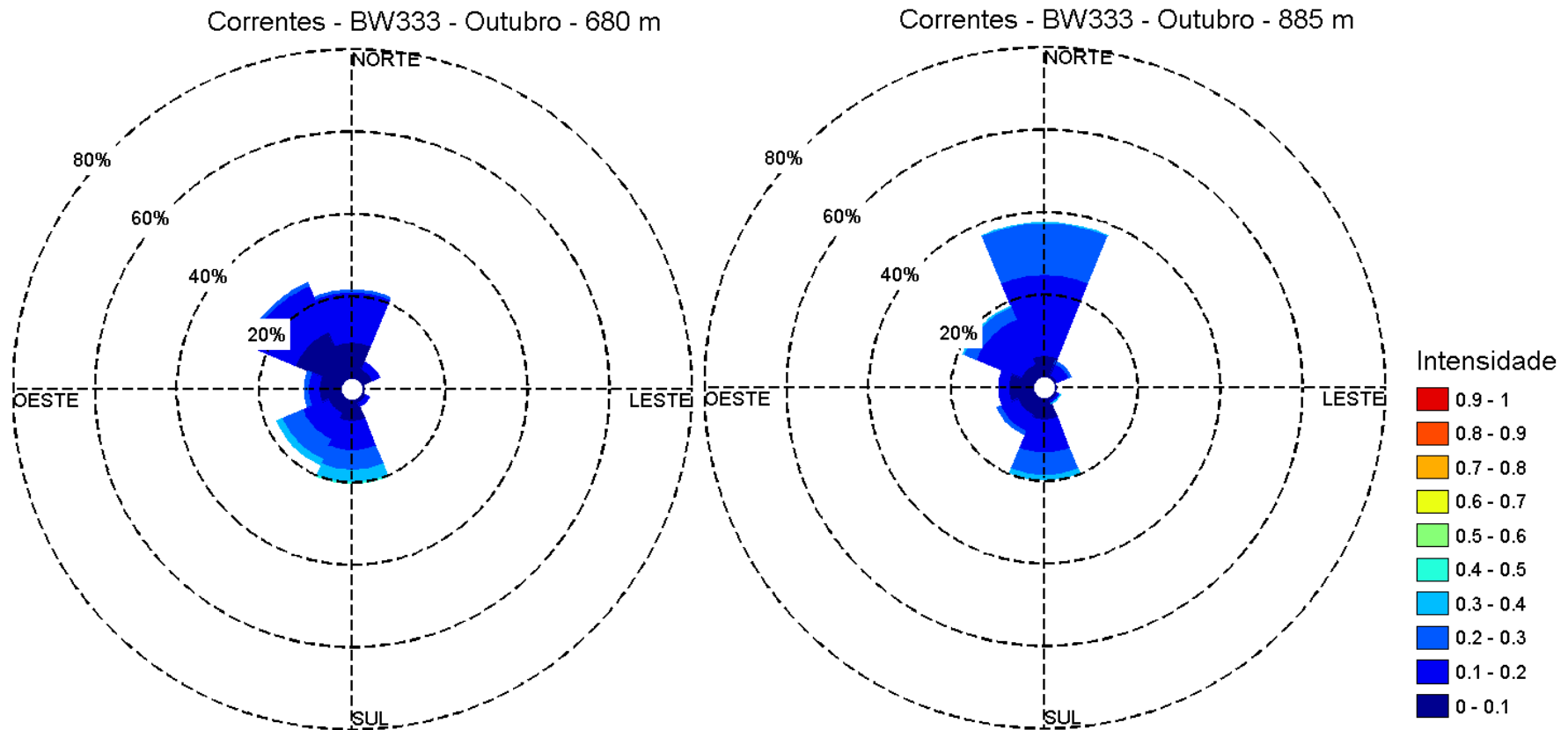


Fonte de dados: Fundeio WOCE BW333

**Figura II.5.1.2-42** – Distribuição direcional da frequência de ocorrência da corrente, de acordo com a intensidade (escala graduada de cores - m/s). As circunferências mostram a frequência de ocorrência em cada direção. Dados do fundeio WOCE BW333 para as profundidades de 680 m (esquerda) e 885 m (direita) no mês de setembro.



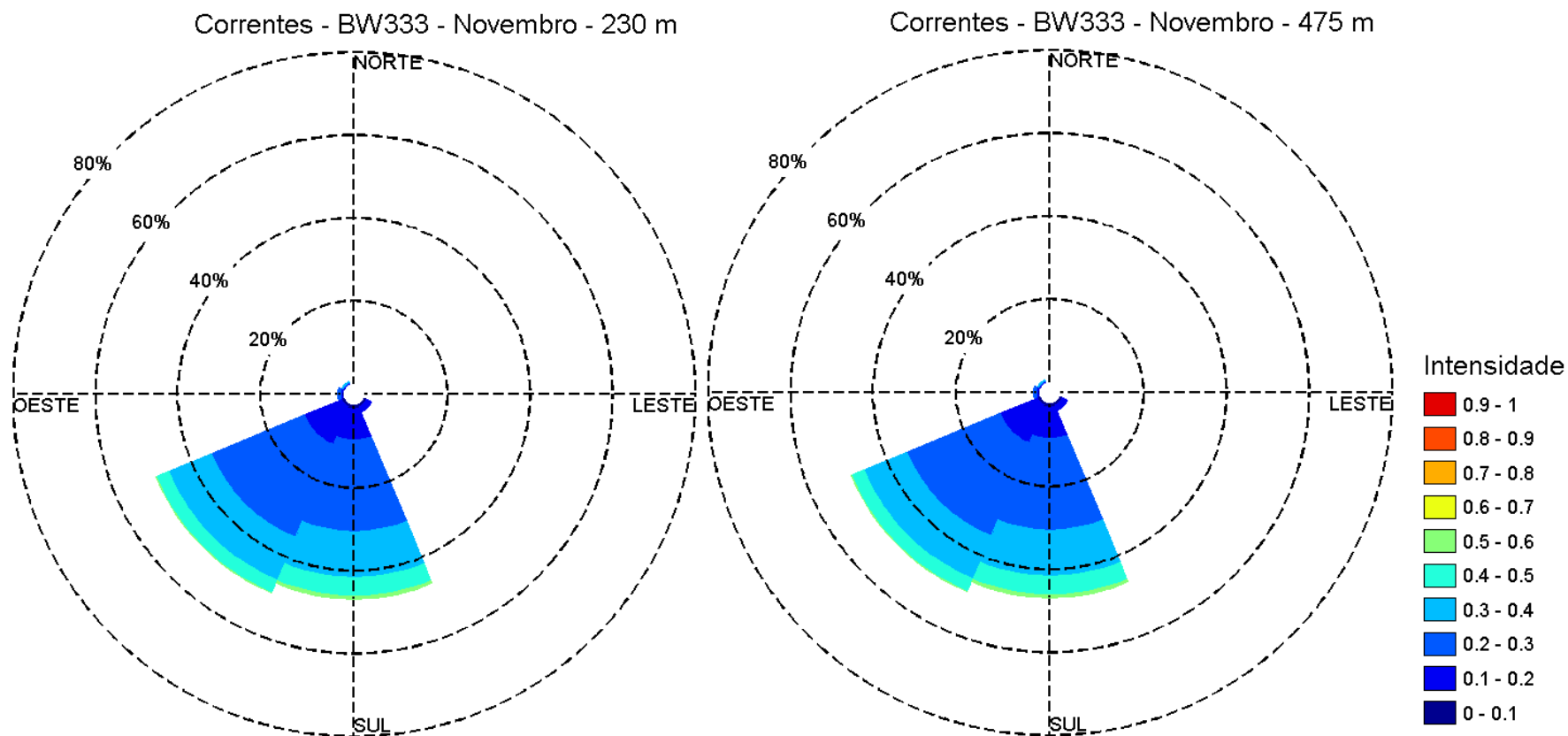
**Figura II.5.1.2-43** – Distribuição direcional da frequência de ocorrência da corrente, de acordo com a intensidade (escala graduada de cores - m/s). As circunferências mostram a frequência de ocorrência em cada direção. Dados do fundeio WOCE BW333 para as profundidades de 230 m (esquerda) e 475 m (direita) no mês de outubro.



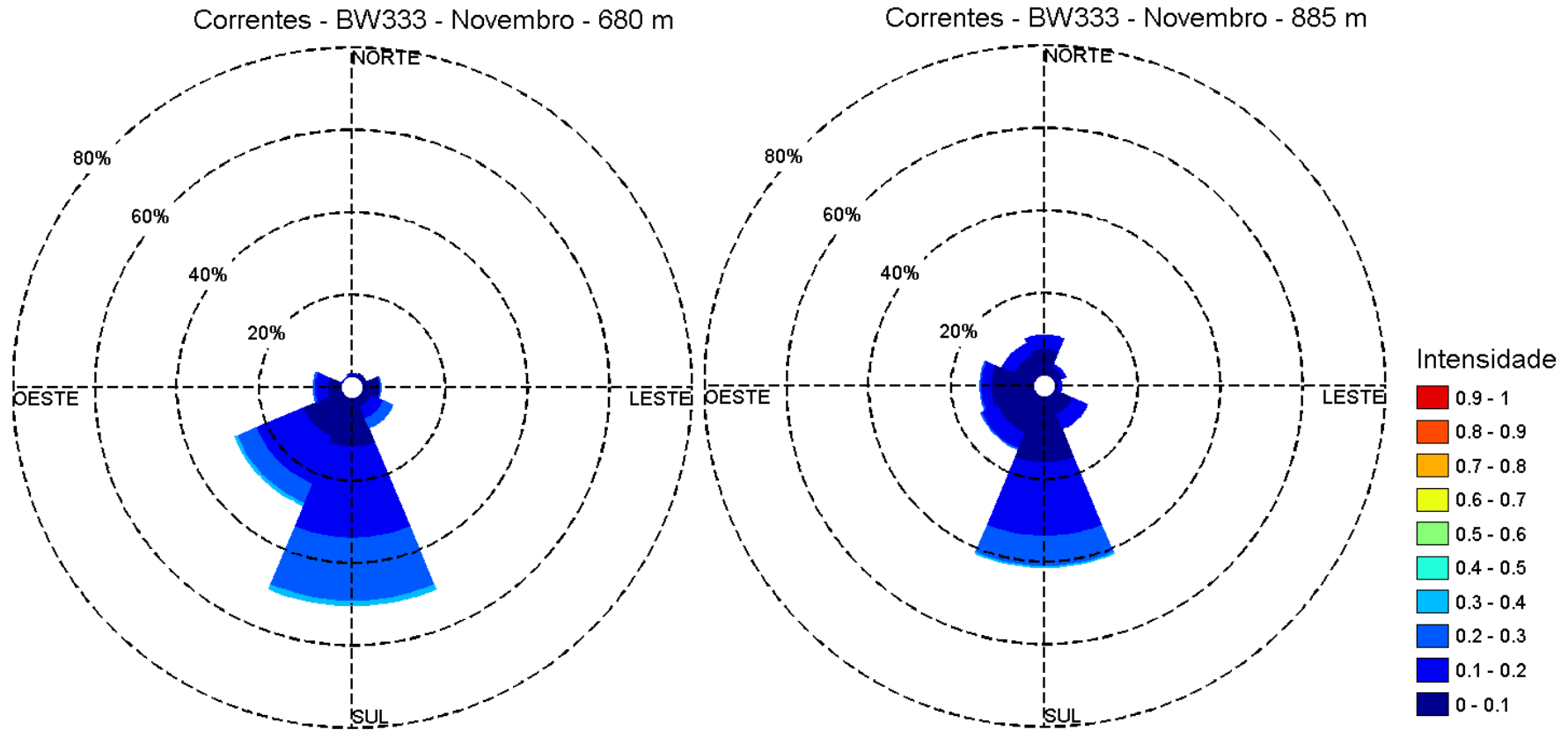
Fonte de dados: Fundeio WOCE BW333

**Figura II.5.1.2-44** – Distribuição direcional da frequência de ocorrência da corrente, de acordo com a intensidade (escala graduada de cores - m/s). As circunferências mostram a frequência de ocorrência em cada direção. Dados do fundeio WOCE BW333 para as profundidades de 680 m (esquerda) e 885 m (direita) no mês de outubro.





**Figura II.5.1.2-45** – Distribuição direcional da frequência de ocorrência da corrente, de acordo com a intensidade (escala graduada de cores - m/s). As circunferências mostram a frequência de ocorrência em cada direção. Dados do fundeio WOCE BW333 para as profundidades de 230 m (esquerda) e 475 m (direita) no mês de novembro.



Fonte de dados: Fundeio WOCE BW333

**Figura II.5.1.2-46** – Distribuição direcional da frequência de ocorrência da corrente, de acordo com a intensidade (escala graduada de cores - m/s). As circunferências mostram a frequência de ocorrência em cada direção. Dados do fundeio WOCE BW333 para as profundidades de 680 m (esquerda) e 885 m (direita) no mês de novembro.

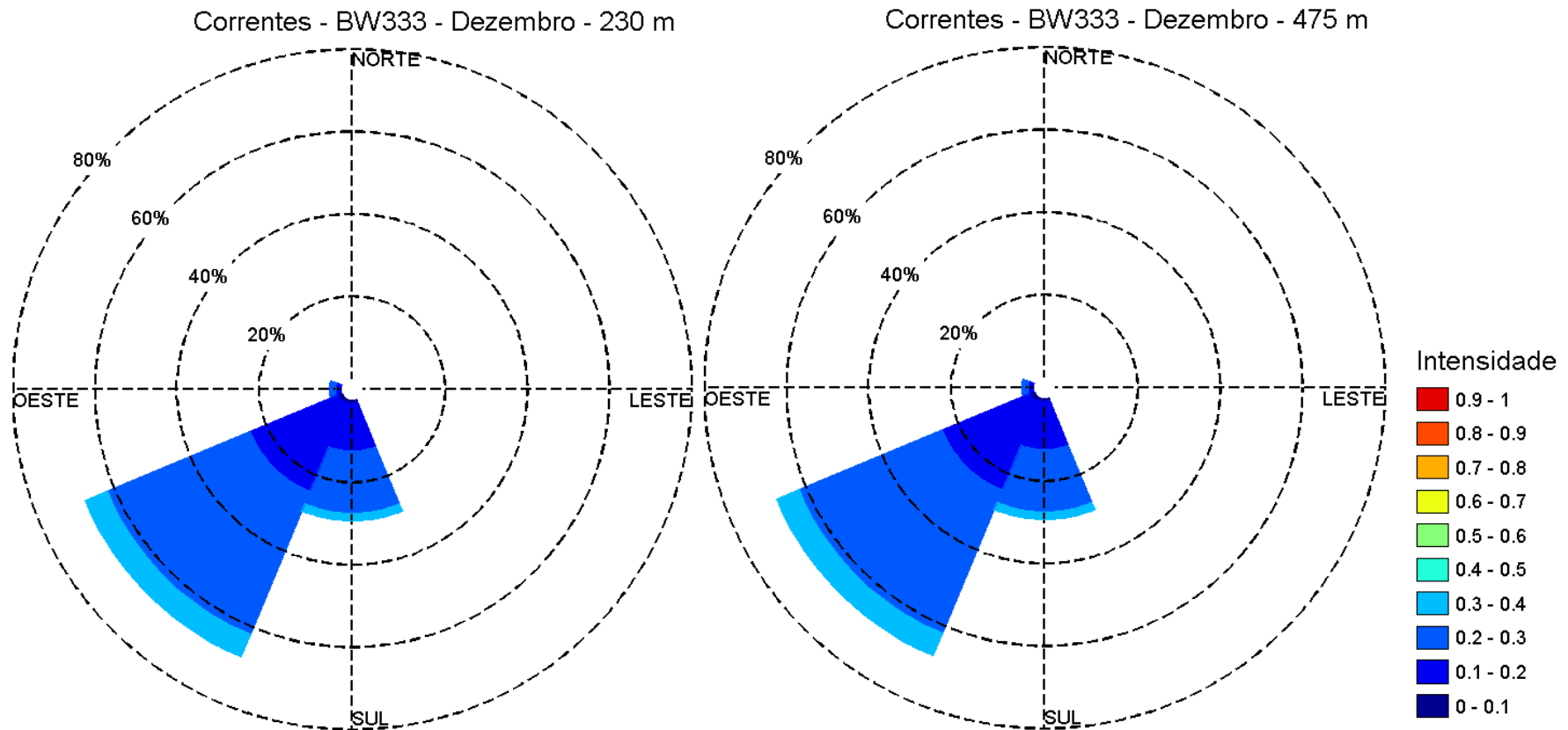


Coordenador da Equipe

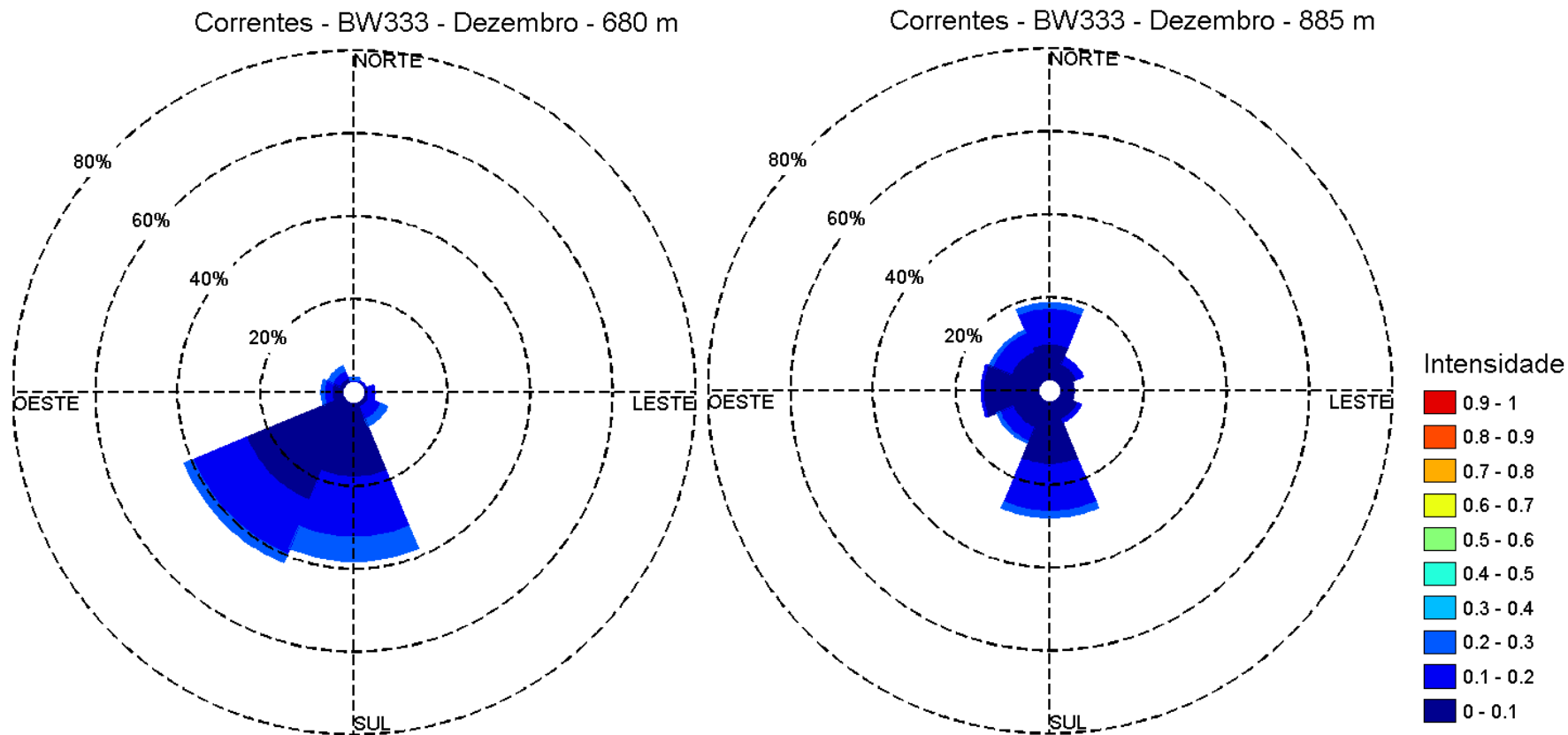


Técnico Responsável

Revisão 00  
06/2014

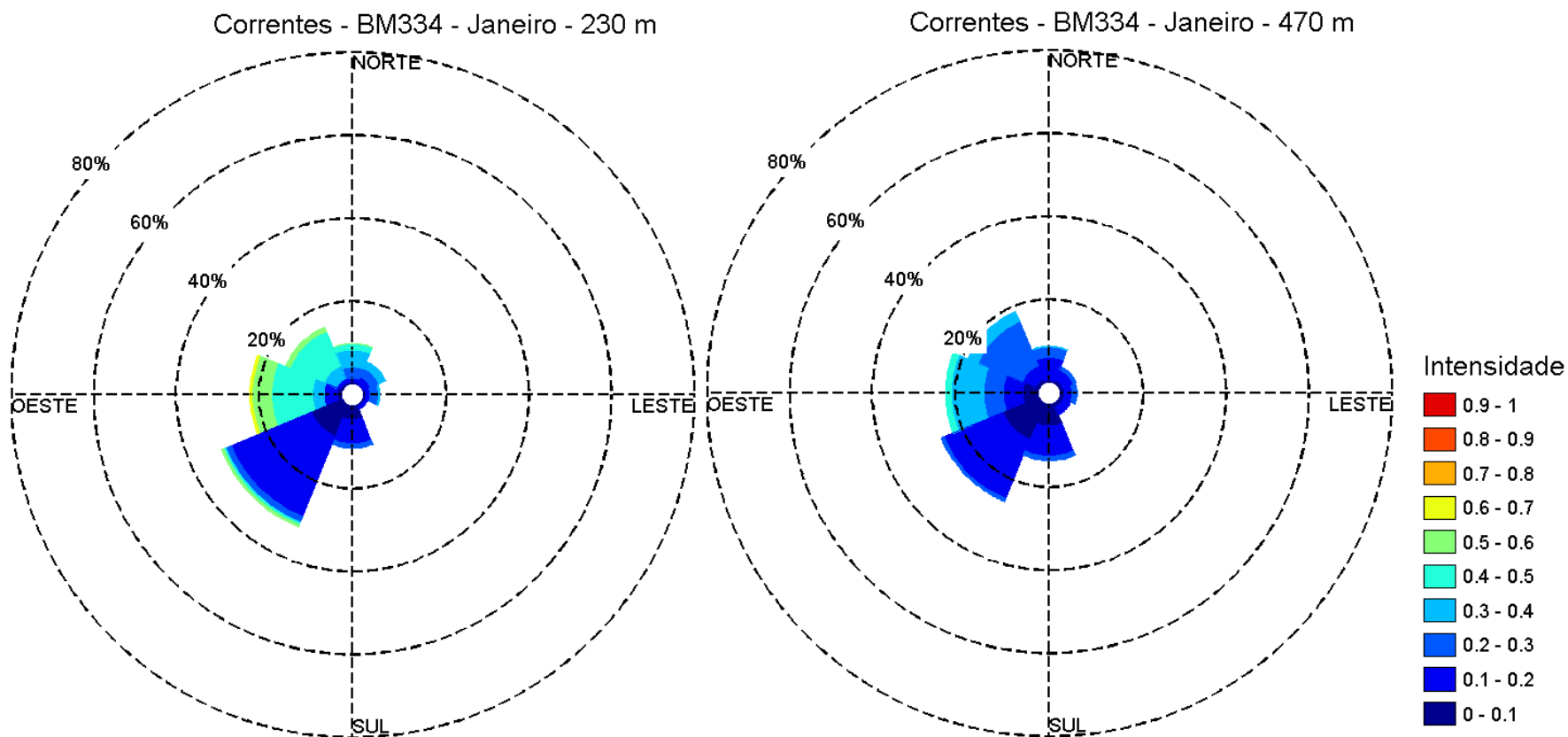


**Figura II.5.1.2-47** – Distribuição direcional da frequência de ocorrência da corrente, de acordo com a intensidade (escala graduada de cores - m/s). As circunferências mostram a frequência de ocorrência em cada direção. Dados do fundeio WOCE BW333 para as profundidades de 230 m (esquerda) e 475 m (direita) no mês de dezembro.



Fonte de dados: Fundeio WOCE BW333

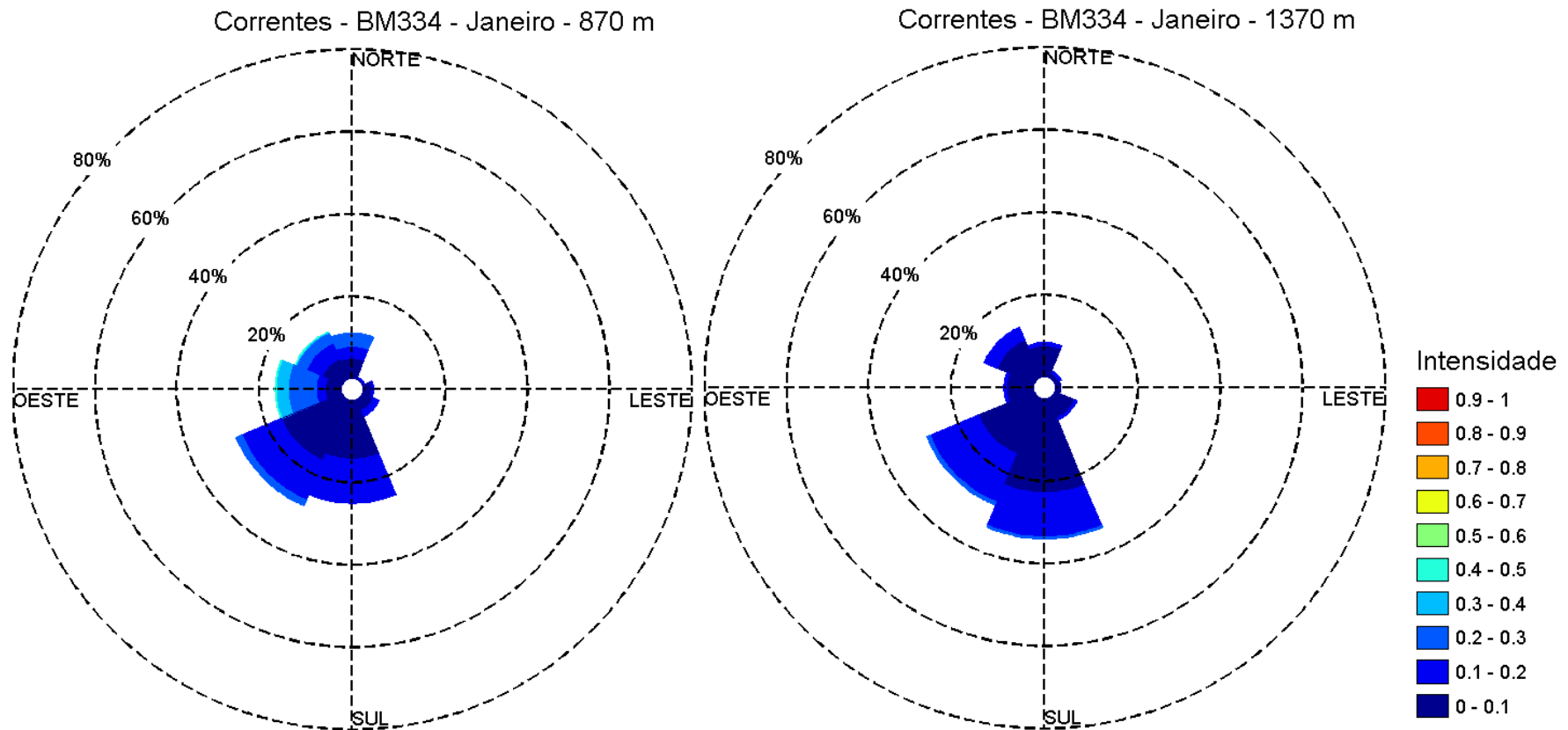
**Figura II.5.1.2-48** – Distribuição direcional da frequência de ocorrência da corrente, de acordo com a intensidade (escala graduada de cores - m/s). As circunferências mostram a frequência de ocorrência em cada direção. Dados do fundeio WOCE BW333 para as profundidades de 680 m (esquerda) e 885 m (direita) no mês de dezembro.



Fonte de dados: Fundeio WOCE BM334

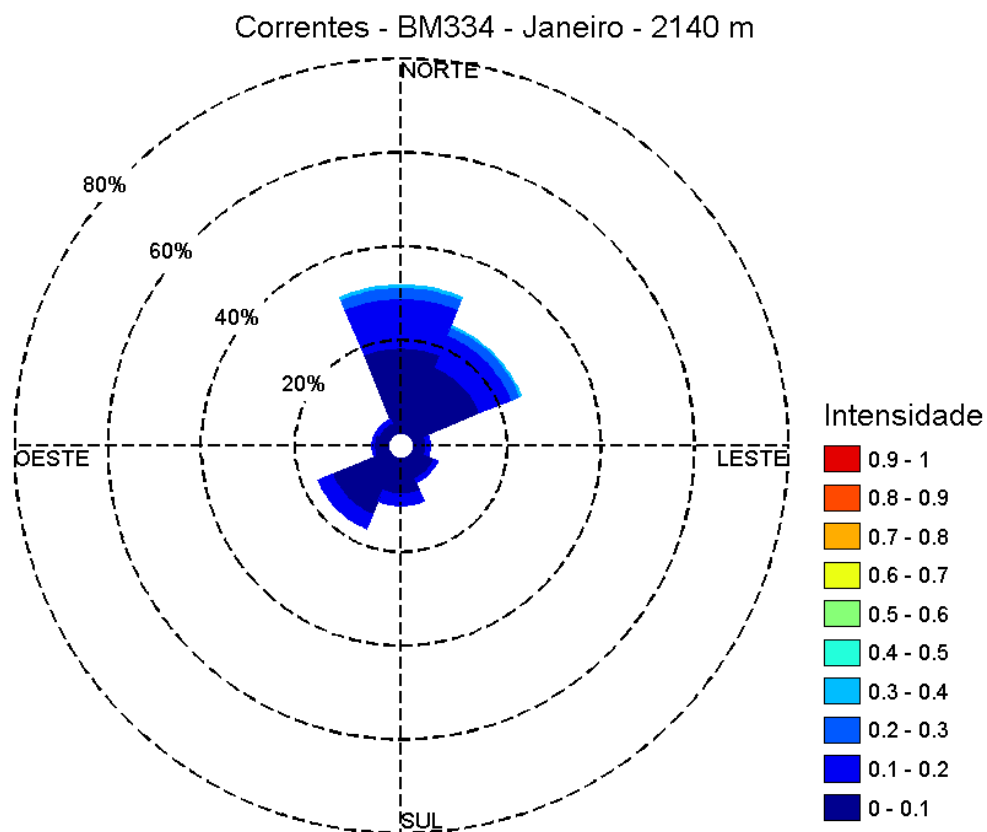
**Figura II.5.1.2-49** – Distribuição direcional da frequência de ocorrência da corrente, de acordo com a intensidade (escala graduada de cores - m/s). As circunferências mostram a frequência de ocorrência em cada direção. Dados do fundeio WOCE BW333 para as profundidades de 230 m (esquerda) e 470 m (direita) no mês de janeiro.





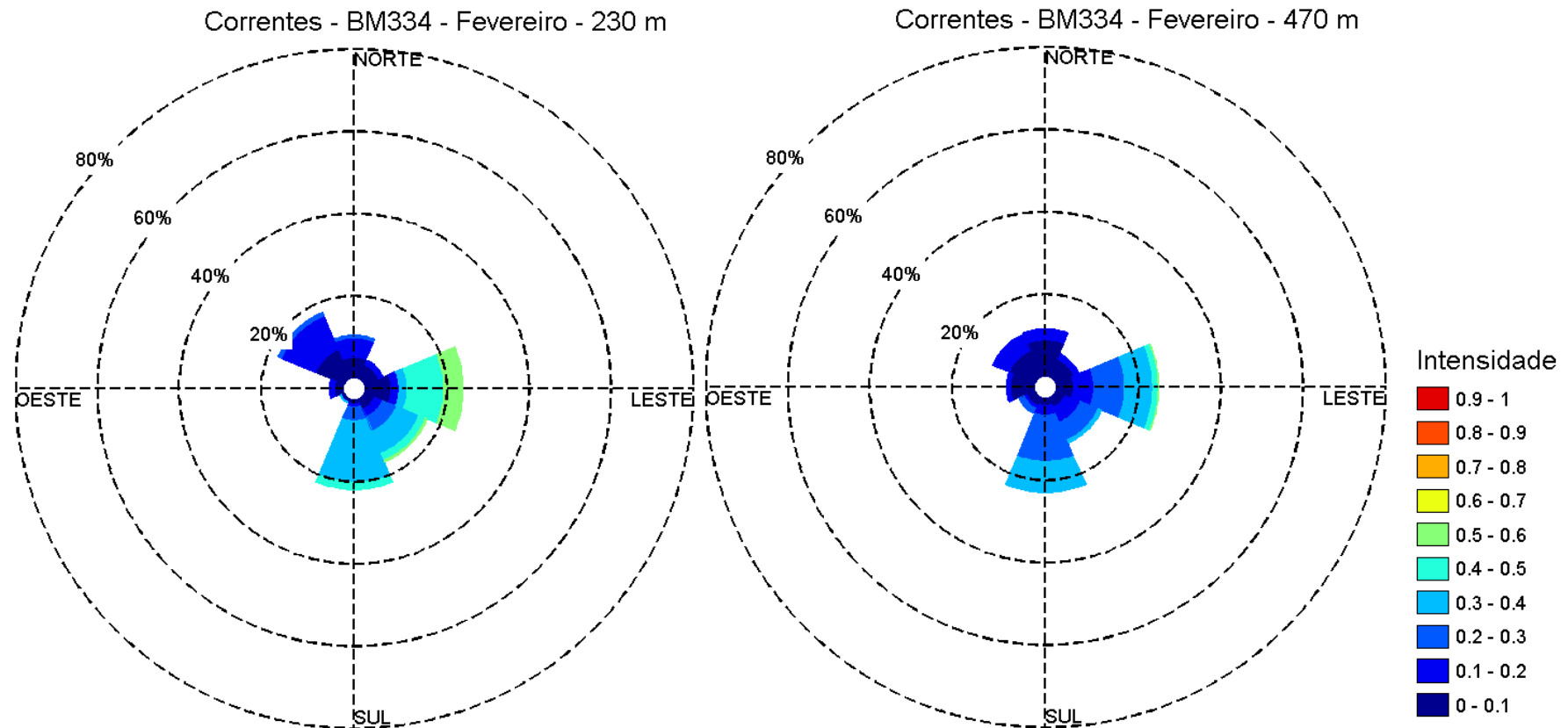
Fonte de dados: Fundeio WOCE BM334

**Figura II.5.1.2-50** – Distribuição direcional da frequência de ocorrência da corrente, de acordo com a intensidade (escala graduada de cores - m/s). As circunferências mostram a frequência de ocorrência em cada direção. Dados do fundeio WOCE BW333 para as profundidades de 870 m (esquerda) e 1370 m (direita) no mês de janeiro.

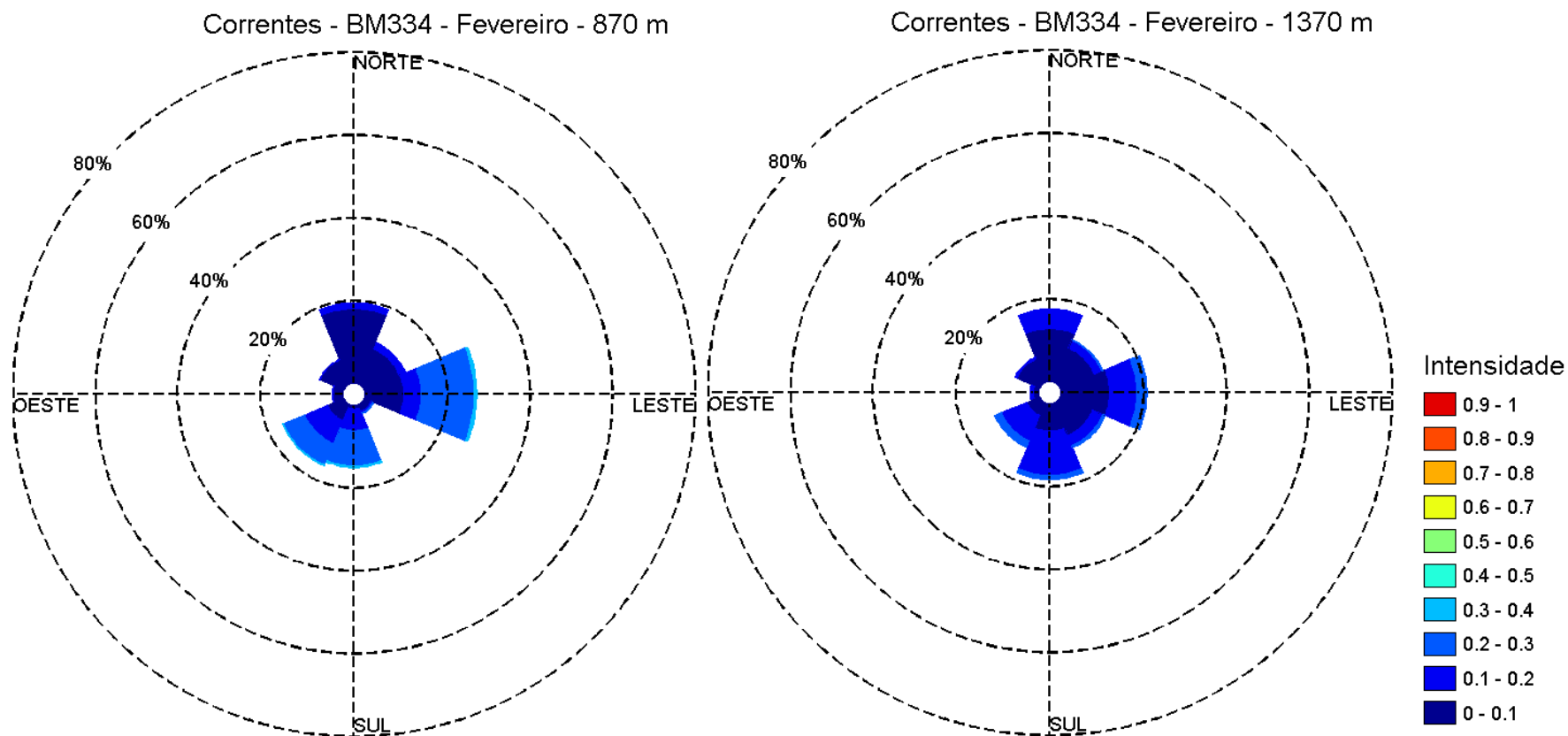


Fonte de dados: Fundeio WOCE BM334

**Figura II.5.1.2-51** – Distribuição direcional da frequência de ocorrência da corrente, de acordo com a intensidade (escala graduada de cores - m/s). As circunferências mostram a frequência de ocorrência em cada direção. Dados do fundeio WOCE BW333 para a profundidade de 2140 no mês de janeiro.

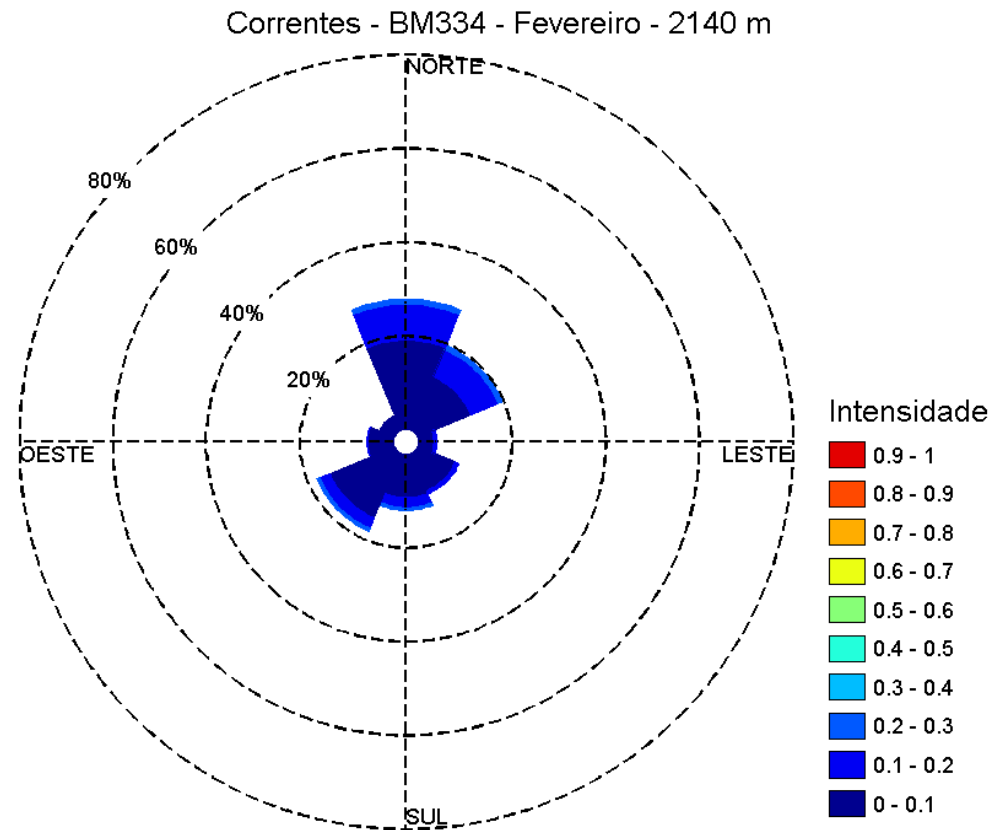


**Figura II.5.1.2-52** – Distribuição direcional da frequência de ocorrência da corrente, de acordo com a intensidade (escala graduada de cores - m/s). As circunferências mostram a frequência de ocorrência em cada direção. Dados do fundeio WOCE BW333 para as profundidades de 230 m (esquerda) e 470 m (direita) no mês de fevereiro.



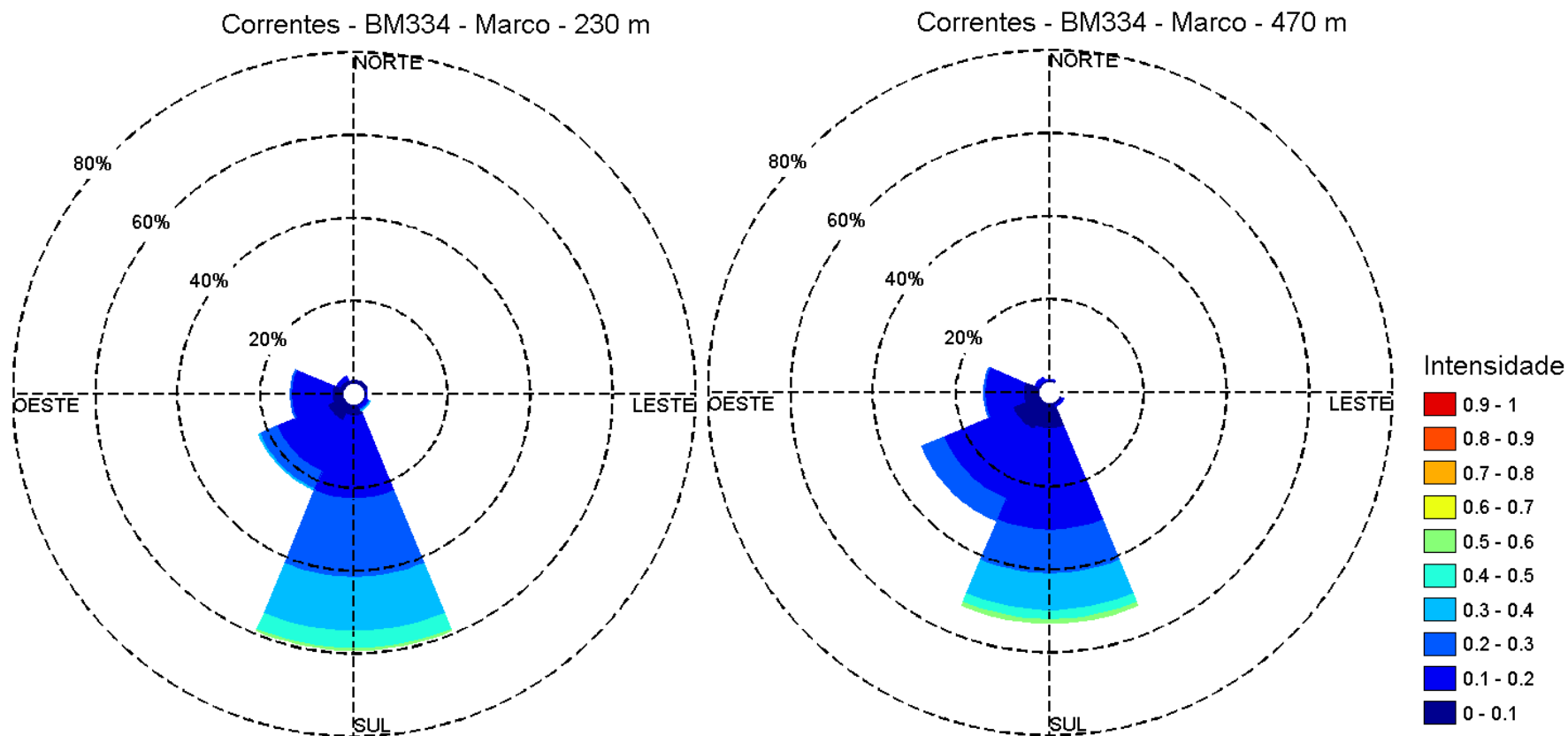
Fonte de dados: Fundeio WOCE BM334

**Figura II.5.1.2-53** – Distribuição direcional da frequência de ocorrência da corrente, de acordo com a intensidade (escala graduada de cores - m/s). As circunferências mostram a frequência de ocorrência em cada direção. Dados do fundeio WOCE BW333 para as profundidades de 870 m (esquerda) e 1370 m (direita) no mês de fevereiro.



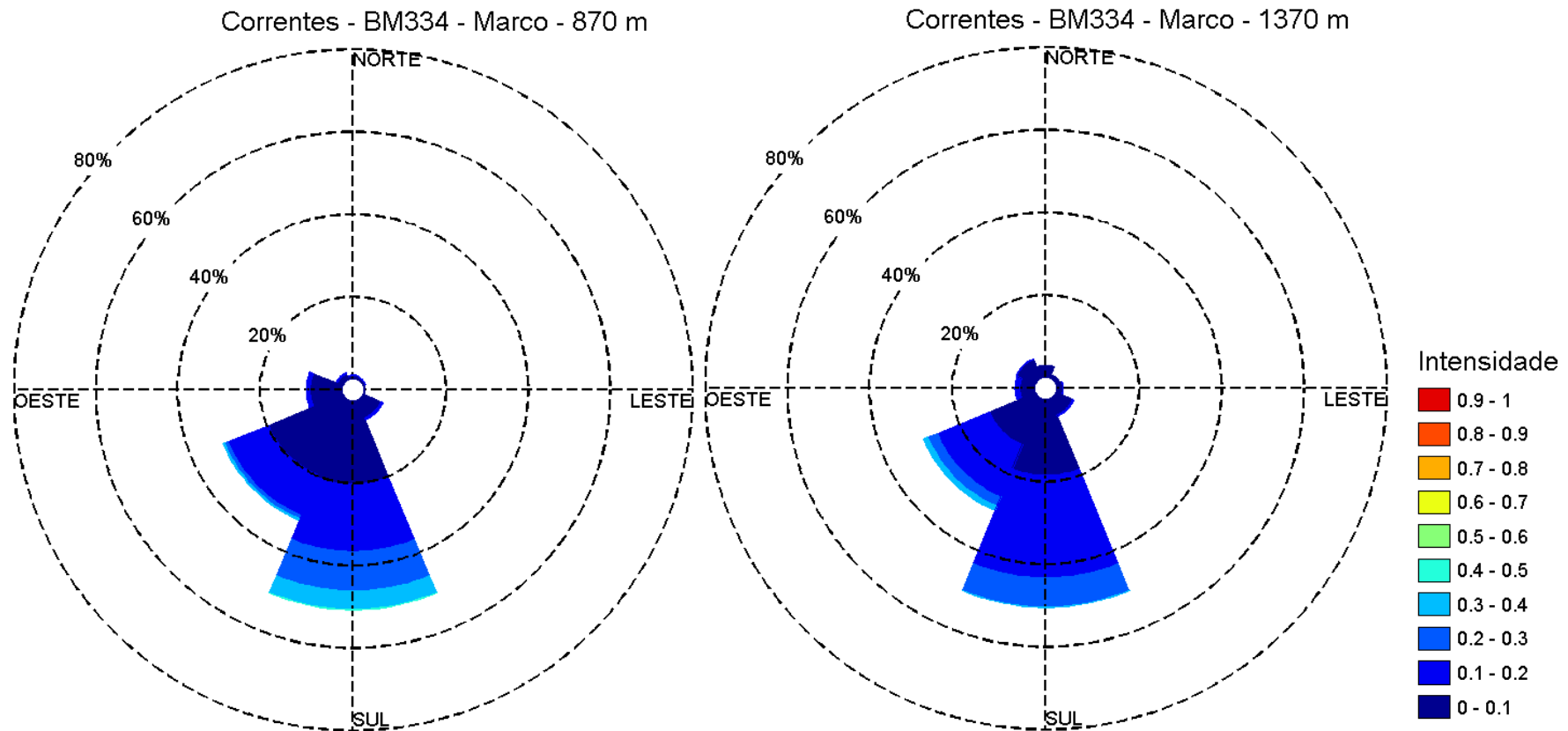
Fonte de dados: Fundeio WOCE BM334

**Figura II.5.1.2-54** – Distribuição direcional da frequência de ocorrência da corrente, de acordo com a intensidade (escala graduada de cores - m/s). As circunferências mostram a frequência de ocorrência em cada direção. Dados do fundeio WOCE BW333 para a profundidade de 2140 no mês de fevereiro.



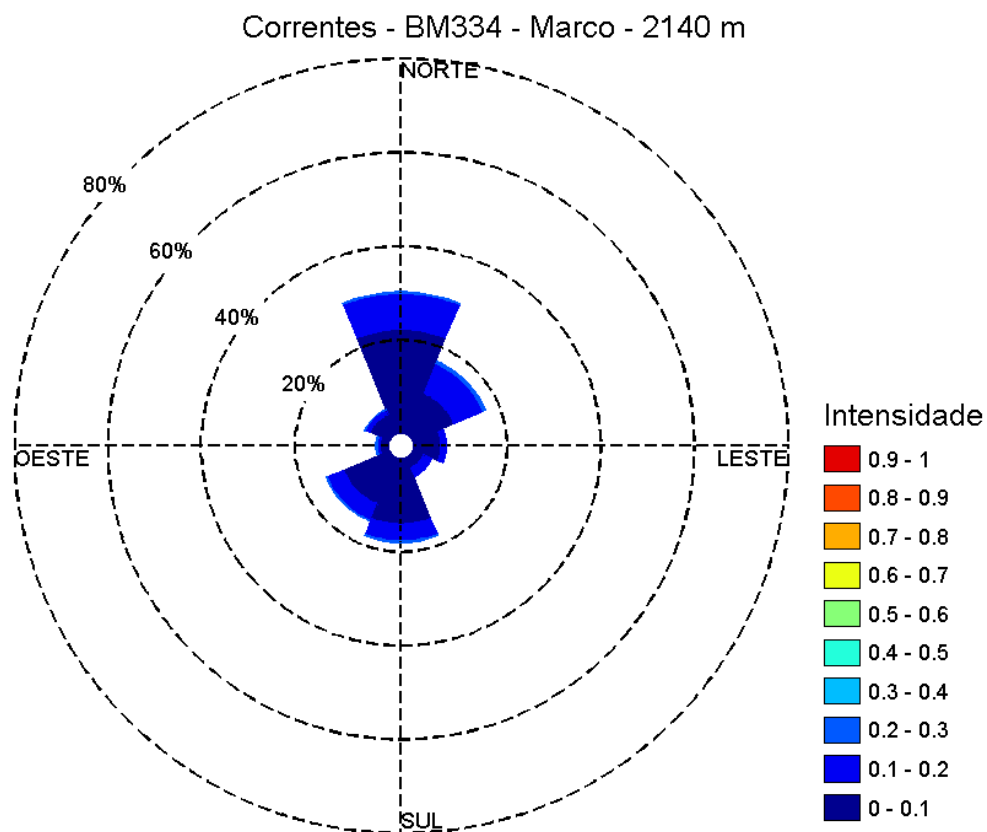
Fonte de dados: Fundeio WOCE BM334

**Figura II.5.1.2-55** – Distribuição direcional da frequência de ocorrência da corrente, de acordo com a intensidade (escala graduada de cores - m/s). As circunferências mostram a frequência de ocorrência em cada direção. Dados do fundeio WOCE BW333 para as profundidades de 230 m (esquerda) e 470 m (direita) no mês de março.



Fonte de dados: Fundeio WOCE BM334

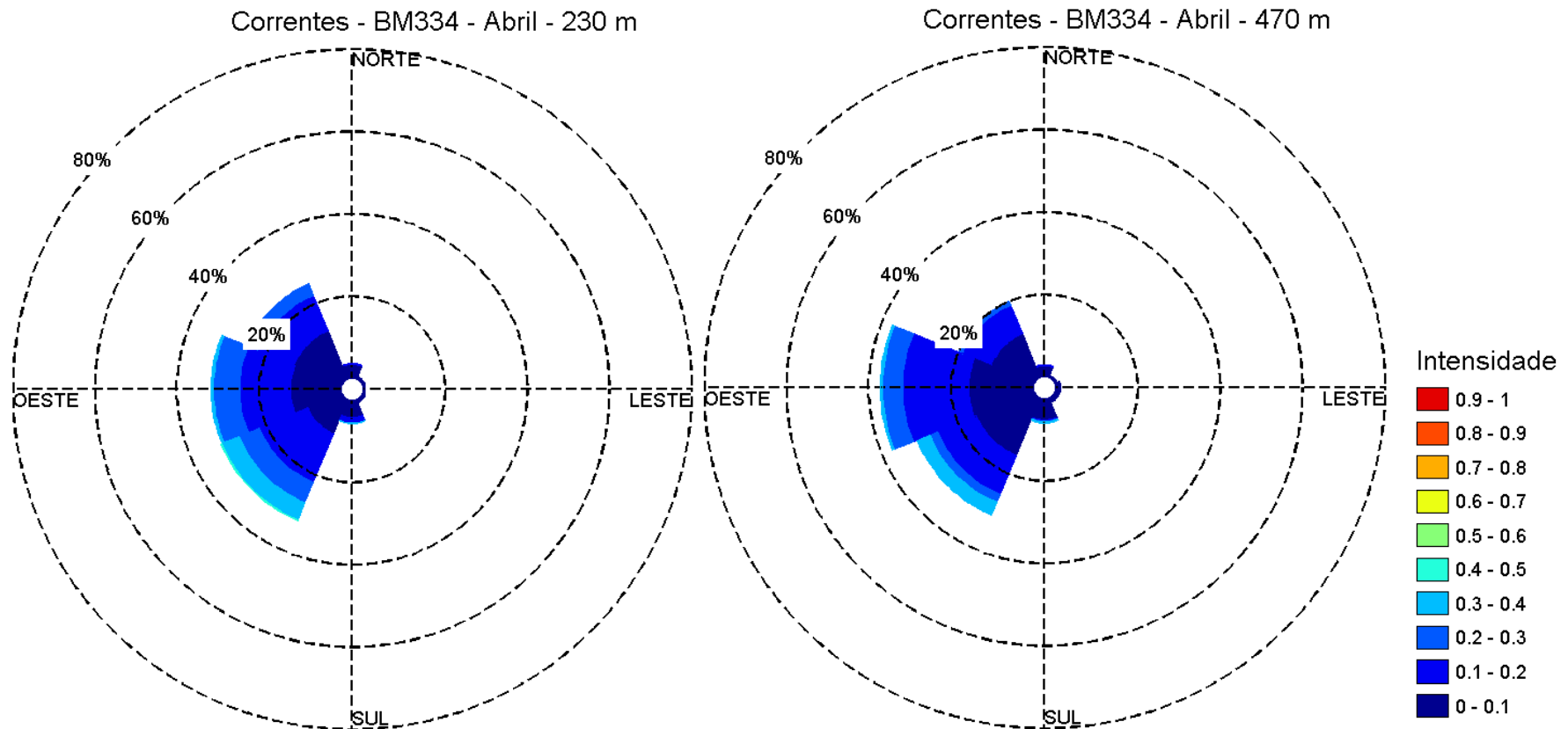
**Figura II.5.1.2-56** – Distribuição direcional da frequência de ocorrência da corrente, de acordo com a intensidade (escala graduada de cores - m/s). As circunferências mostram a frequência de ocorrência em cada direção. Dados do fundeio WOCE BW333 para as profundidades de 870 m (esquerda) e 1370 m (direita) no mês de março.



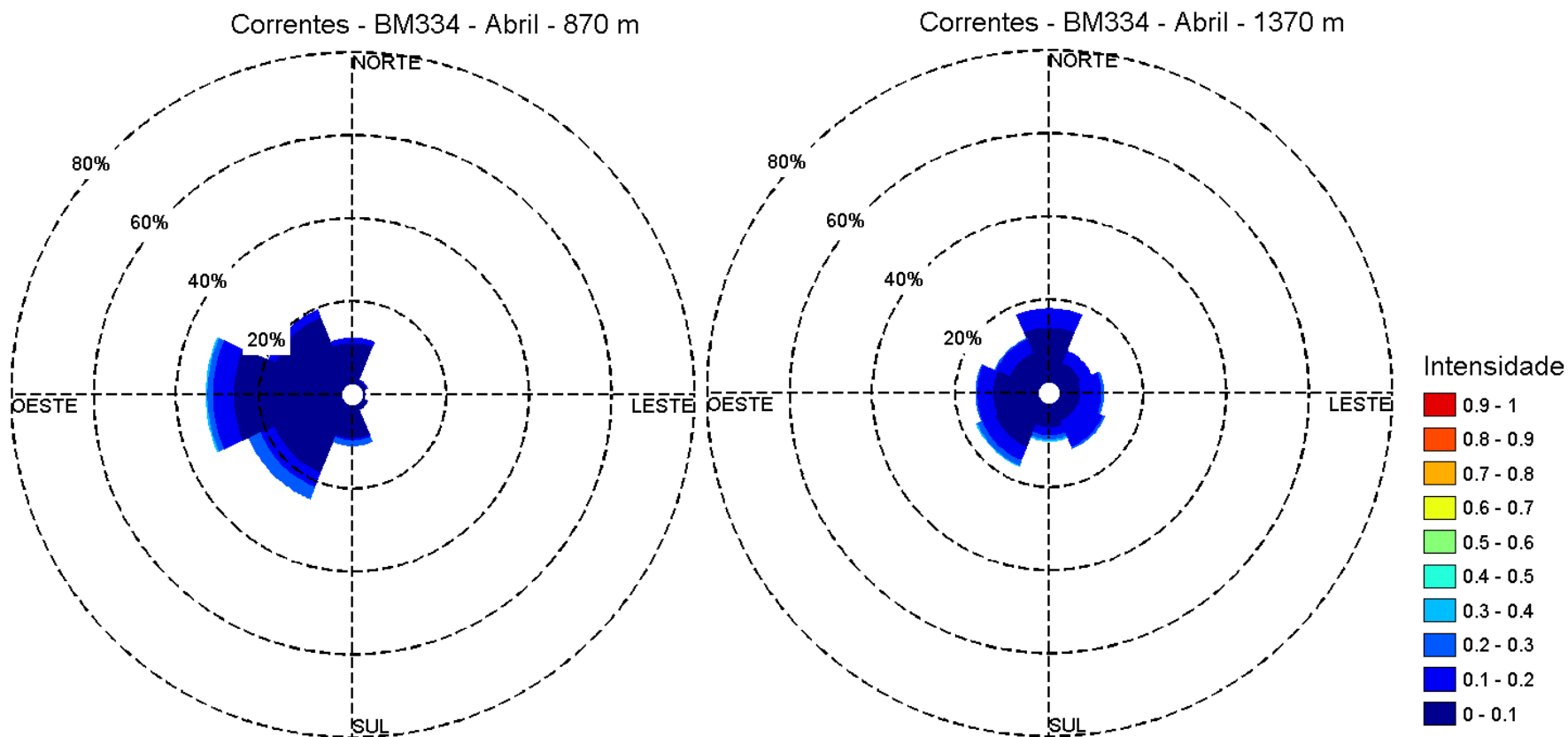
Fonte de dados: Fundeio WOCE BM334

**Figura II.5.1.2-57** – Distribuição direcional da frequência de ocorrência da corrente, de acordo com a intensidade (escala graduada de cores - m/s). As circunferências mostram a frequência de ocorrência em cada direção. Dados do fundeio WOCE BW333 para a profundidade de 2140 no mês de março.

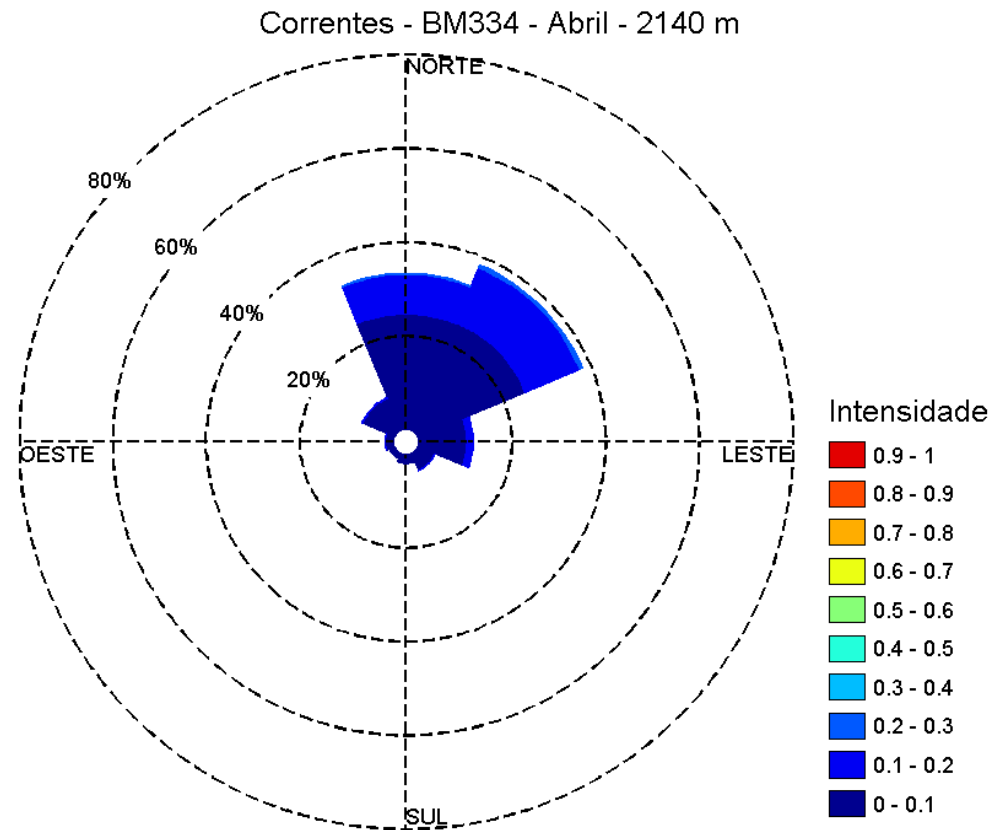




**Figura II.5.1.2-58** – Distribuição direcional da frequência de ocorrência da corrente, de acordo com a intensidade (escala graduada de cores - m/s). As circunferências mostram a frequência de ocorrência em cada direção. Dados do fundeio WOCE BW333 para as profundidades de 230 m (esquerda) e 470 m (direita) no mês de abril.



**Figura II.5.1.2-59** – Distribuição direcional da frequência de ocorrência da corrente, de acordo com a intensidade (escala graduada de cores - m/s). As circunferências mostram a frequência de ocorrência em cada direção. Dados do fundeio WOCE BW333 para as profundidades de 870 m (esquerda) e 1370 m (direita) no mês de abril.



Fonte de dados: Fundeio WOCE BM334

**Figura II.5.1.2-60** – Distribuição direcional da frequência de ocorrência da corrente, de acordo com a intensidade (escala graduada de cores - m/s). As circunferências mostram a frequência de ocorrência em cada direção. Dados do fundeio WOCE BW333 para a profundidade de 2140 no mês de abril.

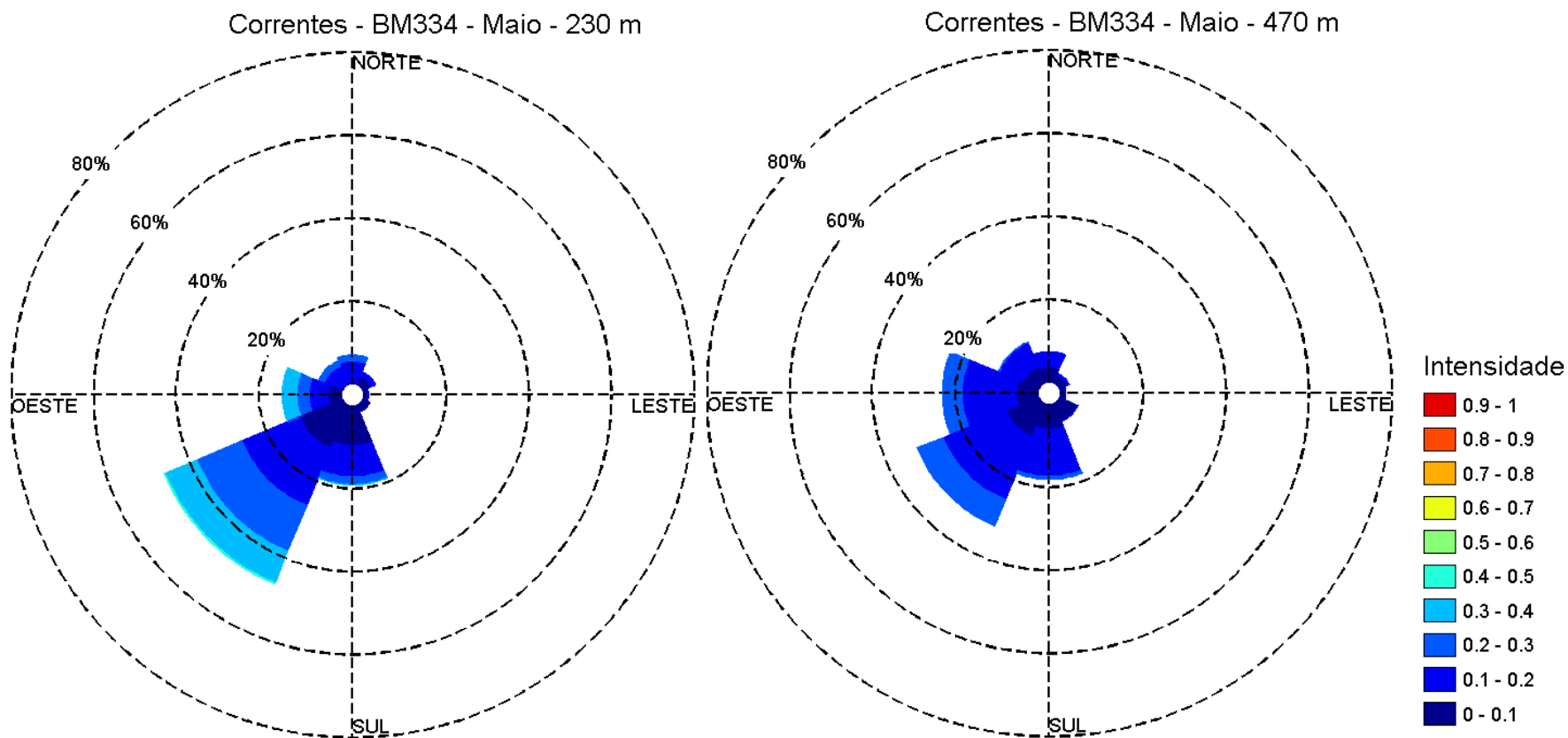


Coordenador da Equipe



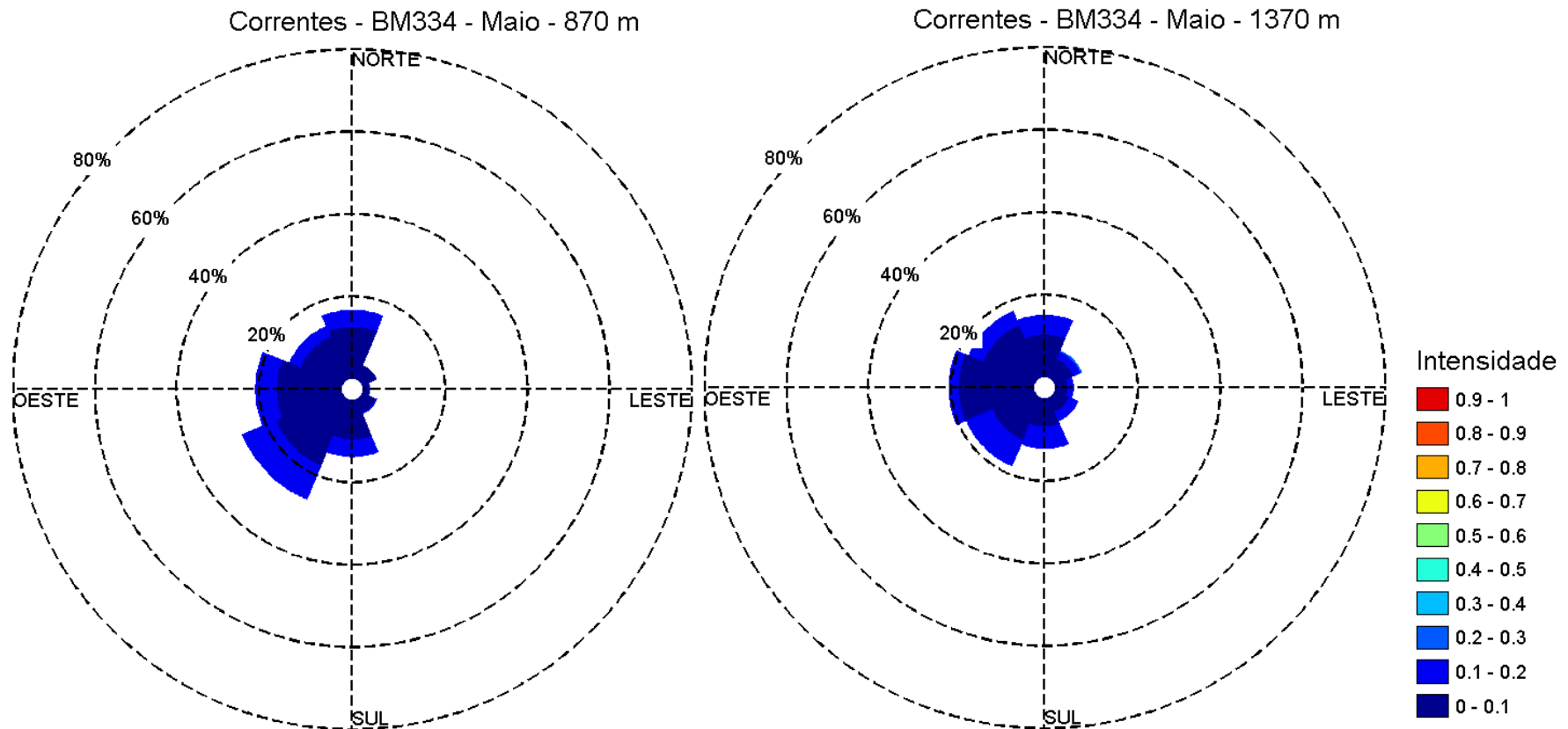
Técnico Responsável

Revisão 00  
06/2014



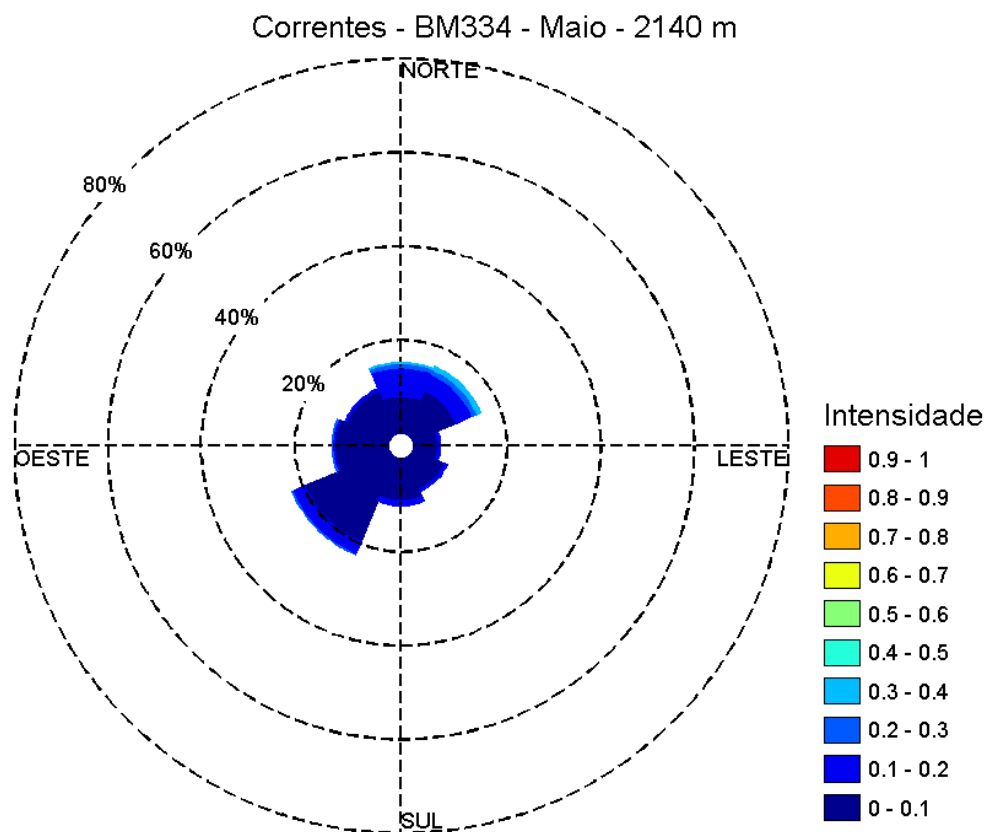
Fonte de dados: Fundeio WOCE BM334

**Figura II.5.1.2-61** – Distribuição direcional da frequência de ocorrência da corrente, de acordo com a intensidade (escala graduada de cores - m/s). As circunferências mostram a frequência de ocorrência em cada direção. Dados do fundeio WOCE BW333 para as profundidades de 230 m (esquerda) e 470 m (direita) no mês de maio.



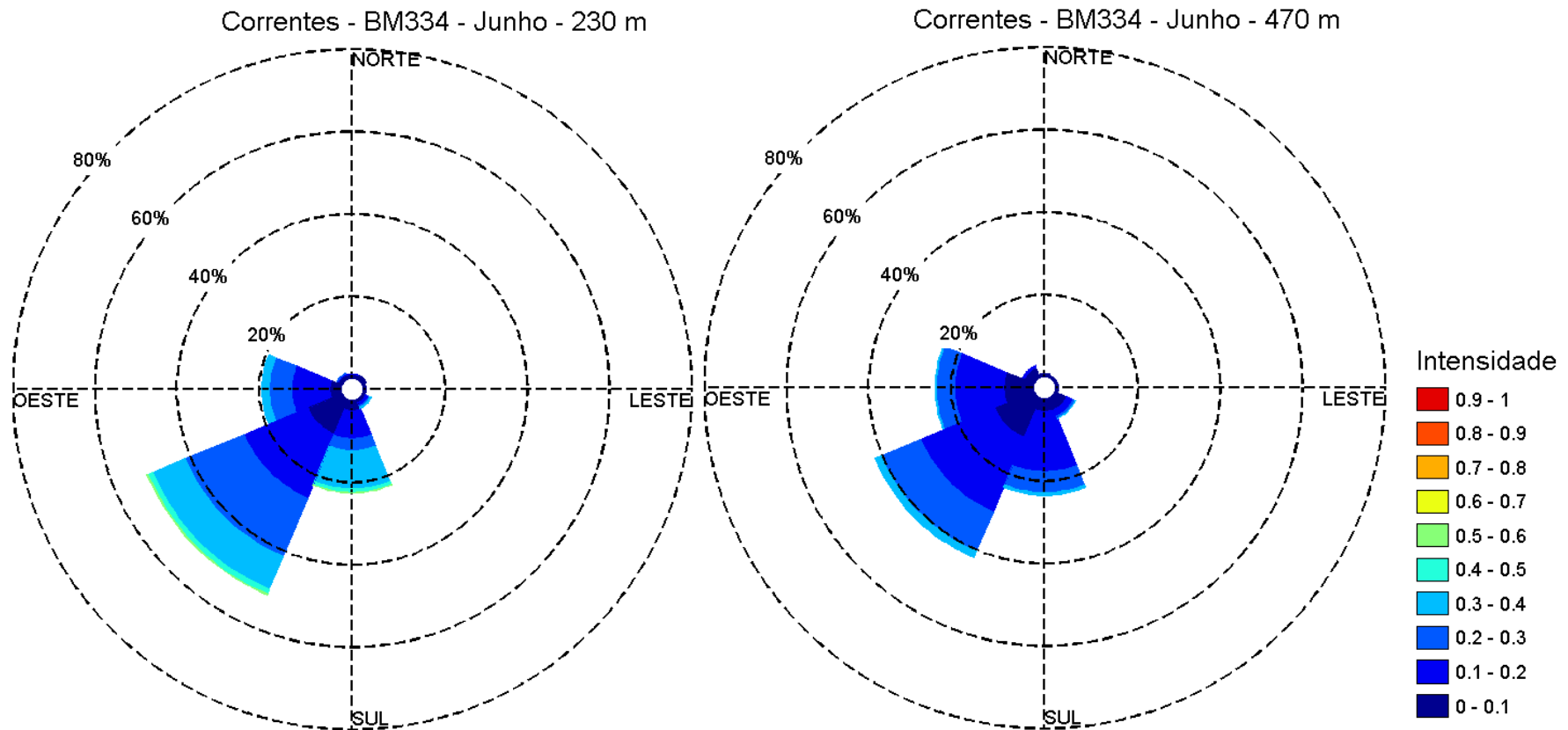
Fonte de dados: Fundeio WOCE BM334

**Figura II.5.1.2-62** – Distribuição direcional da frequência de ocorrência da corrente, de acordo com a intensidade (escala graduada de cores - m/s). As circunferências mostram a frequência de ocorrência em cada direção. Dados do fundeio WOCE BW333 para as profundidades de 870 m (esquerda) e 1370 m (direita) no mês de maio.



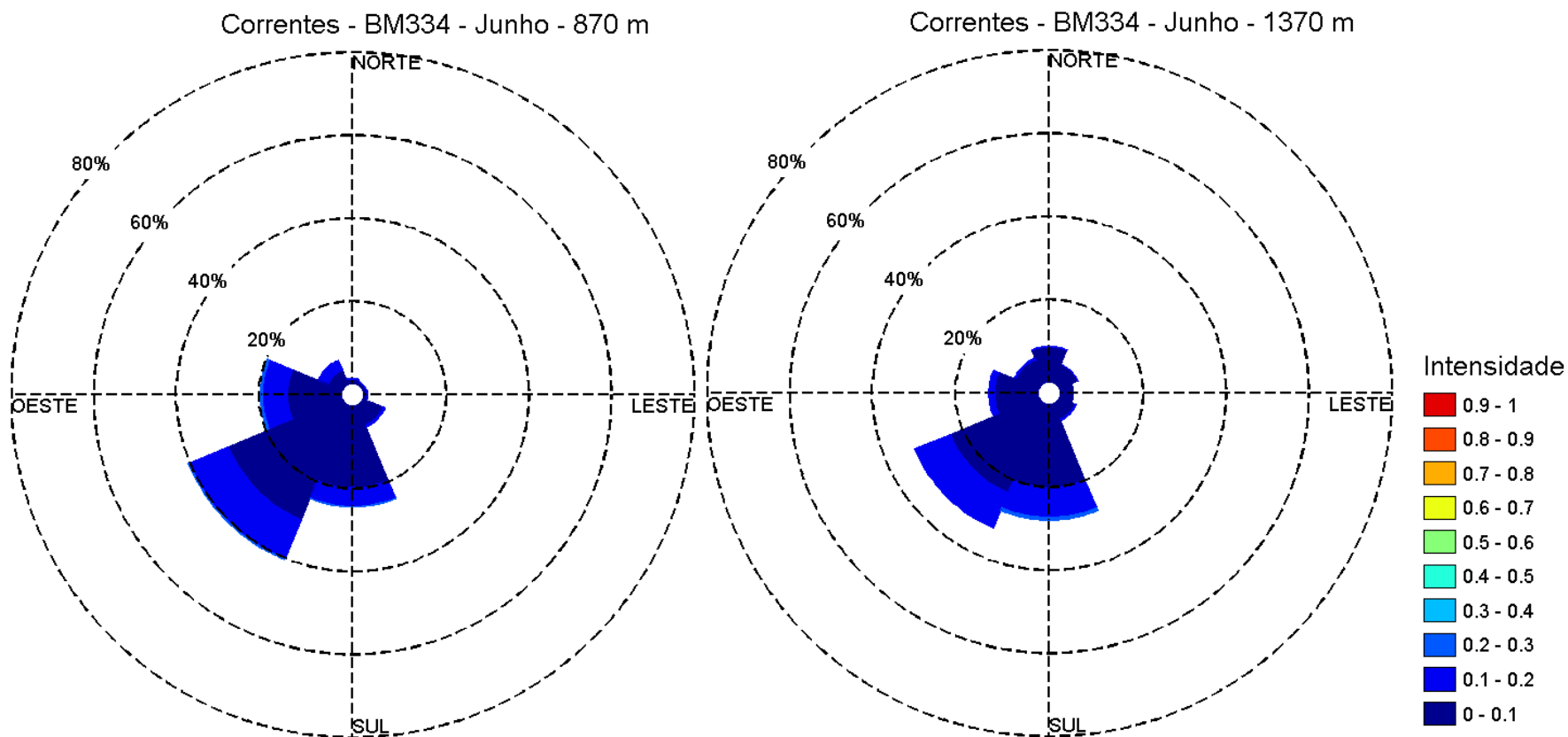
Fonte de dados: Fundeio WOCE BM334

**Figura II.5.1.2-63** – Distribuição direcional da frequência de ocorrência da corrente, de acordo com a intensidade (escala graduada de cores - m/s). As circunferências mostram a frequência de ocorrência em cada direção. Dados do fundeio WOCE BW333 para a profundidade de 2140 no mês de maio.



Fonte de dados: Fundeio WOCE BM334

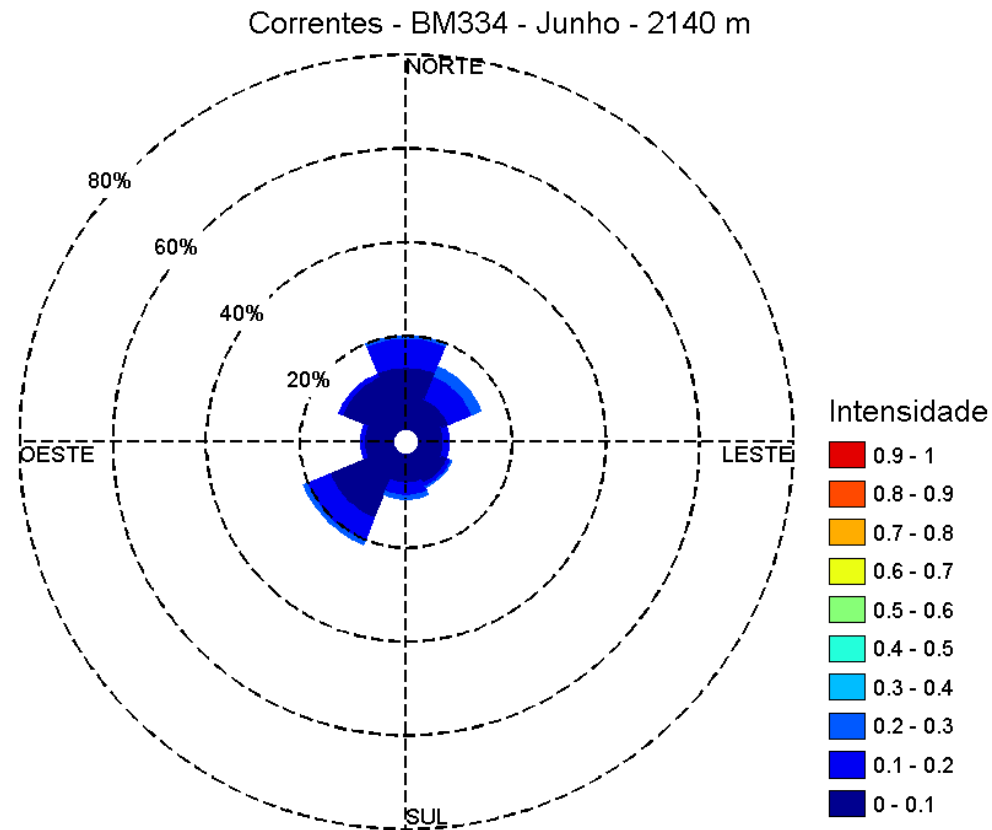
**Figura II.5.1.2-64** – Distribuição direcional da frequência de ocorrência da corrente, de acordo com a intensidade (escala graduada de cores - m/s). As circunferências mostram a frequência de ocorrência em cada direção. Dados do fundeio WOCE BW333 para as profundidades de 230 m (esquerda) e 470 m (direita) no mês de junho.



Fonte de dados: Fundeio WOCE BM334

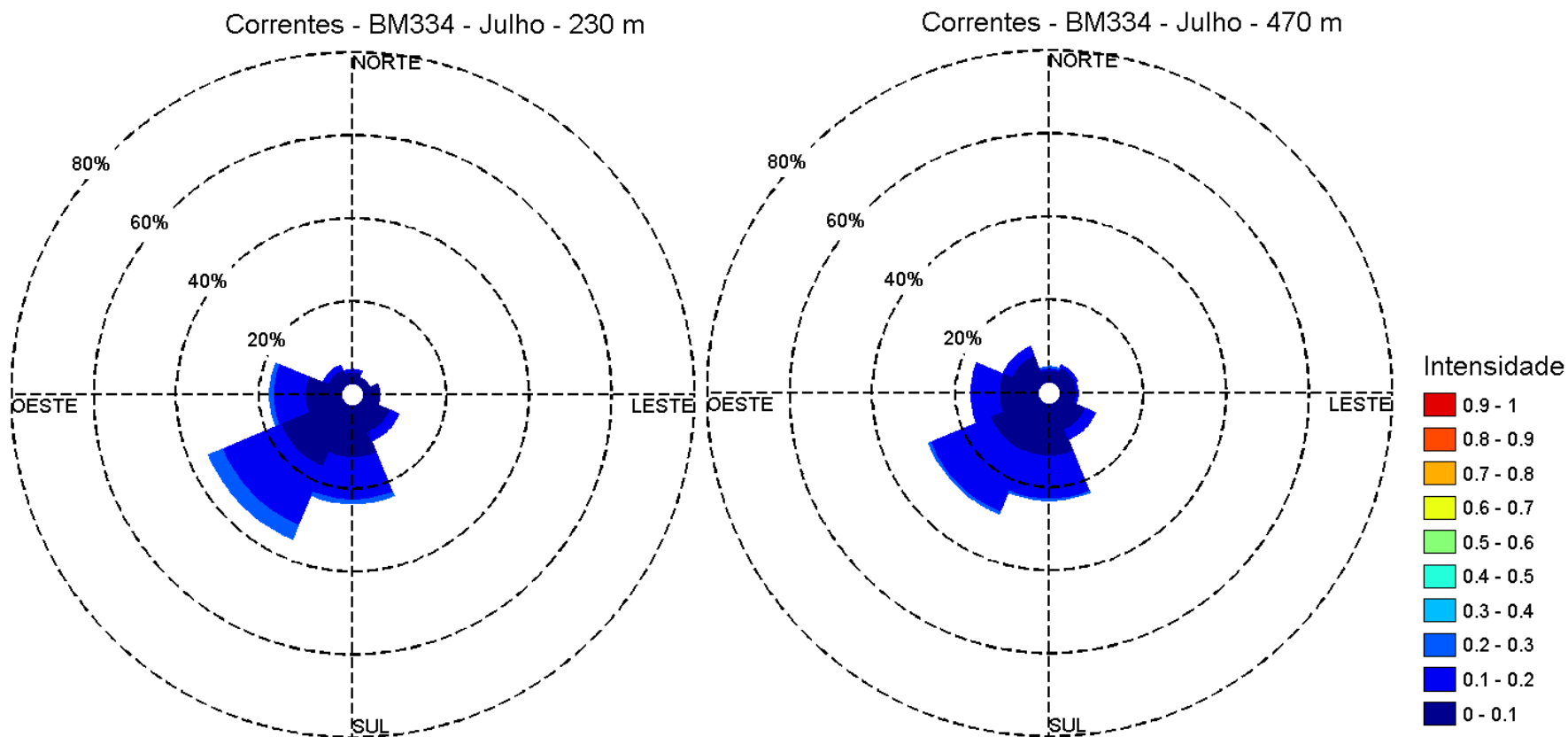
**Figura II.5.1.2-65** – Distribuição direcional da frequência de ocorrência da corrente, de acordo com a intensidade (escala graduada de cores - m/s). As circunferências mostram a frequência de ocorrência em cada direção. Dados do fundeio WOCE BW333 para as profundidades de 870 m (esquerda) e 1370 m (direita) no mês de junho.





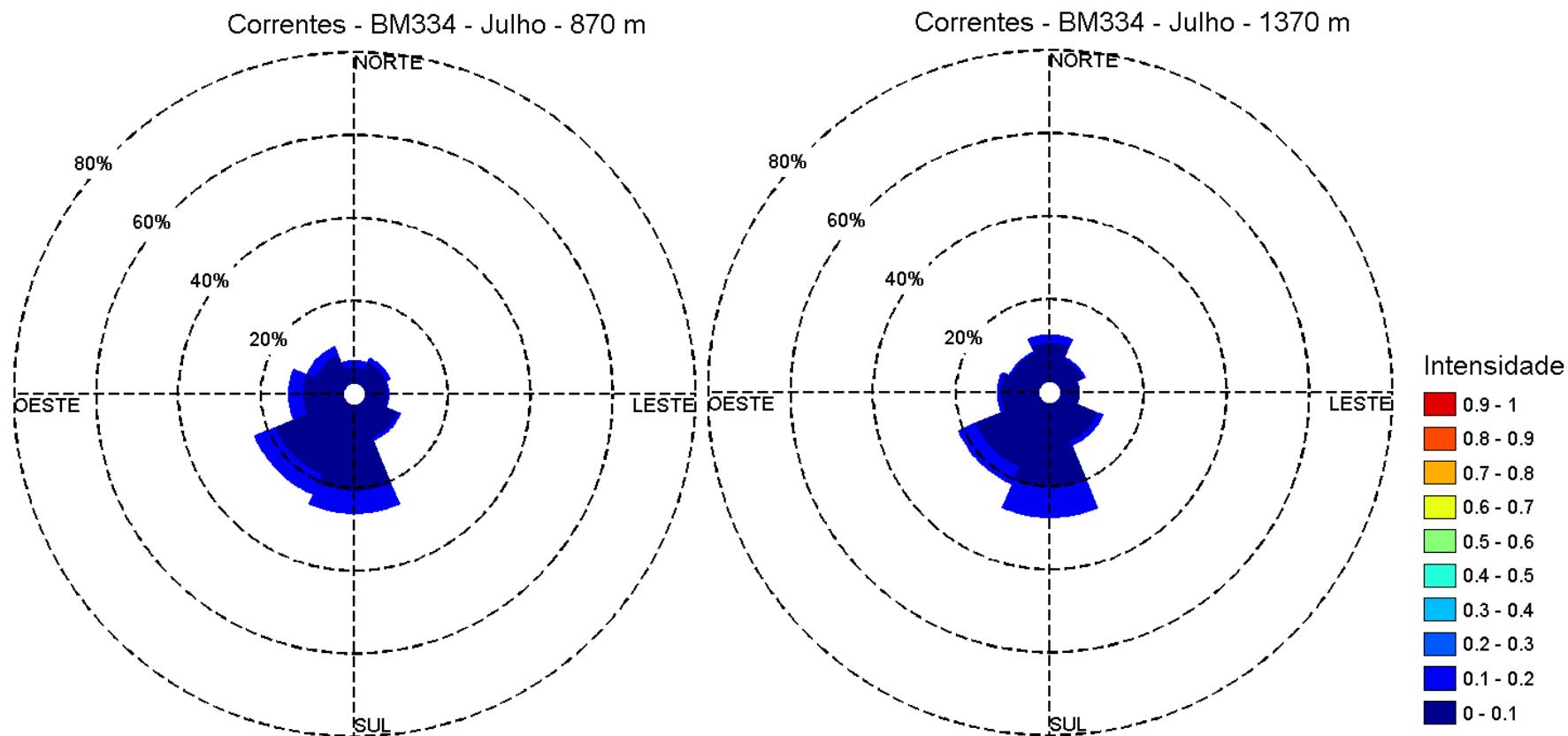
Fonte de dados: Fundeio WOCE BM334

**Figura II.5.1.2-66** – Distribuição direcional da frequência de ocorrência da corrente, de acordo com a intensidade (escala graduada de cores - m/s). As circunferências mostram a frequência de ocorrência em cada direção. Dados do fundeio WOCE BW333 para a profundidade de 2140 no mês de junho.



Fonte de dados: Fundeio WOCE BM334

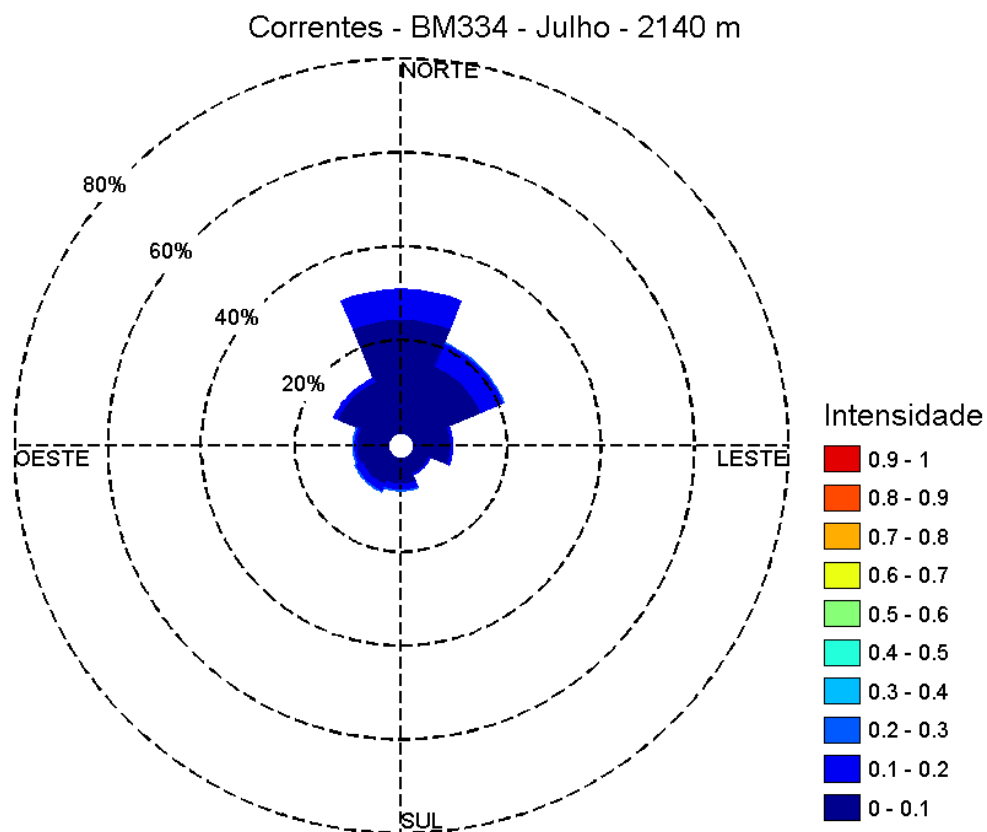
**Figura II.5.1.2-67** – Distribuição direcional da frequência de ocorrência da corrente, de acordo com a intensidade (escala graduada de cores - m/s). As circunferências mostram a frequência de ocorrência em cada direção. Dados do fundeio WOCE BW333 para as profundidades de 230 m (esquerda) e 470 m (direita) no mês de julho.



Fonte de dados: Fundeio WOCE BM334

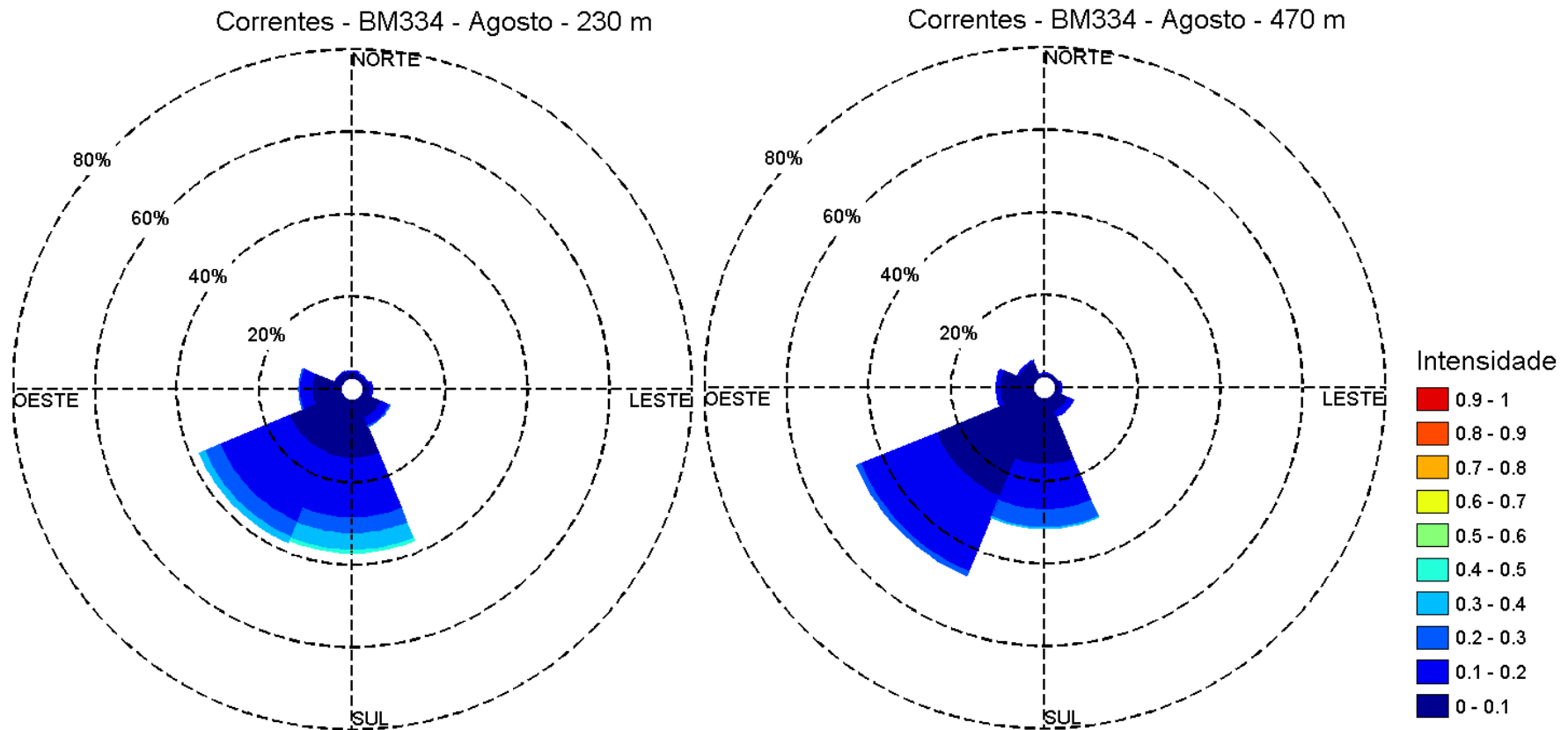
**Figura II.5.1.2-68** – Distribuição direcional da frequência de ocorrência da corrente, de acordo com a intensidade (escala graduada de cores - m/s). As circunferências mostram a frequência de ocorrência em cada direção. Dados do fundeio WOCE BW333 para as profundidades de 870 m (esquerda) e 1370 m (direita) no mês de julho.





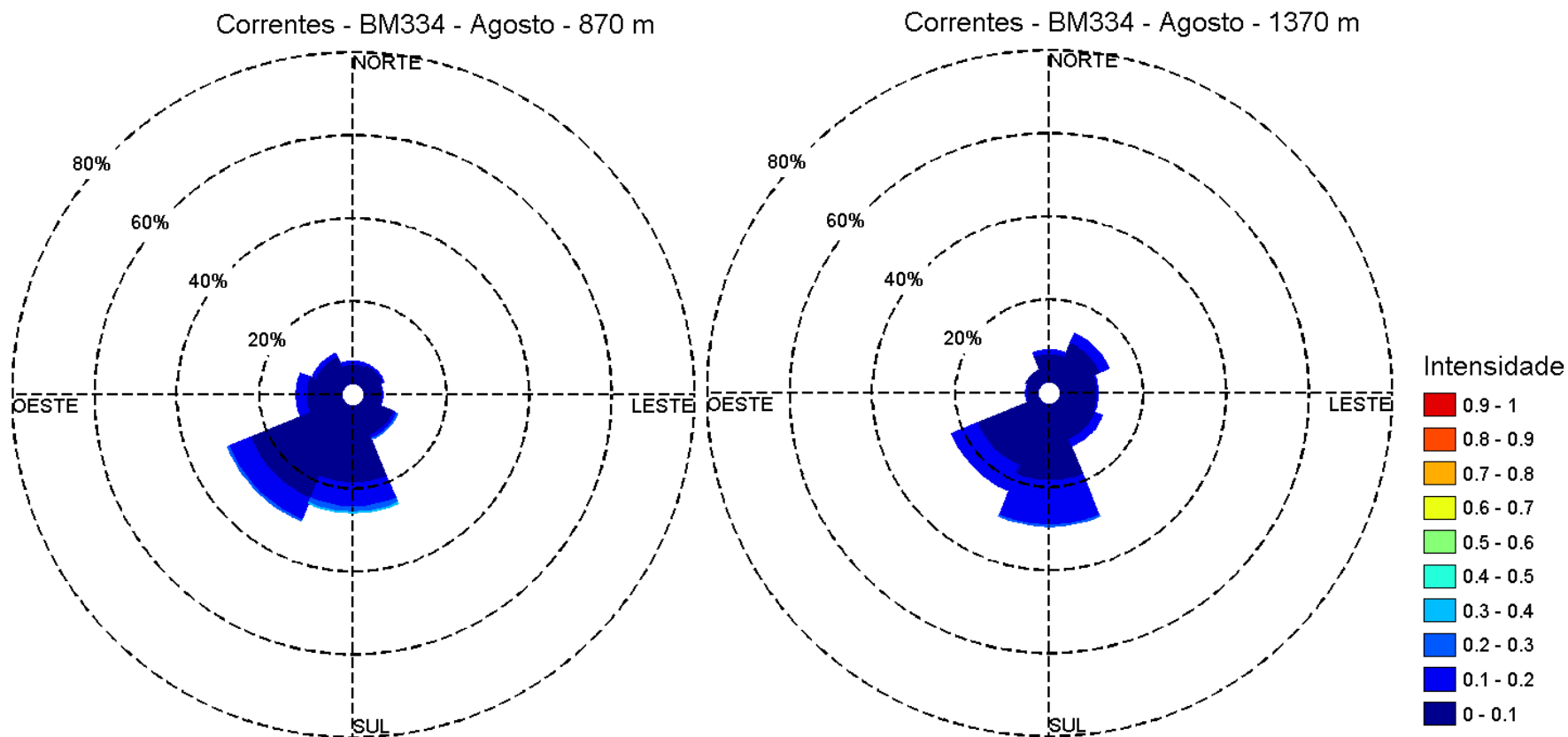
Fonte de dados: Fundeio WOCE BM334

**Figura II.5.1.2-69** – Distribuição direcional da frequência de ocorrência da corrente, de acordo com a intensidade (escala graduada de cores - m/s). As circunferências mostram a frequência de ocorrência em cada direção. Dados do fundeio WOCE BW333 para a profundidade de 2140 no mês de julho.



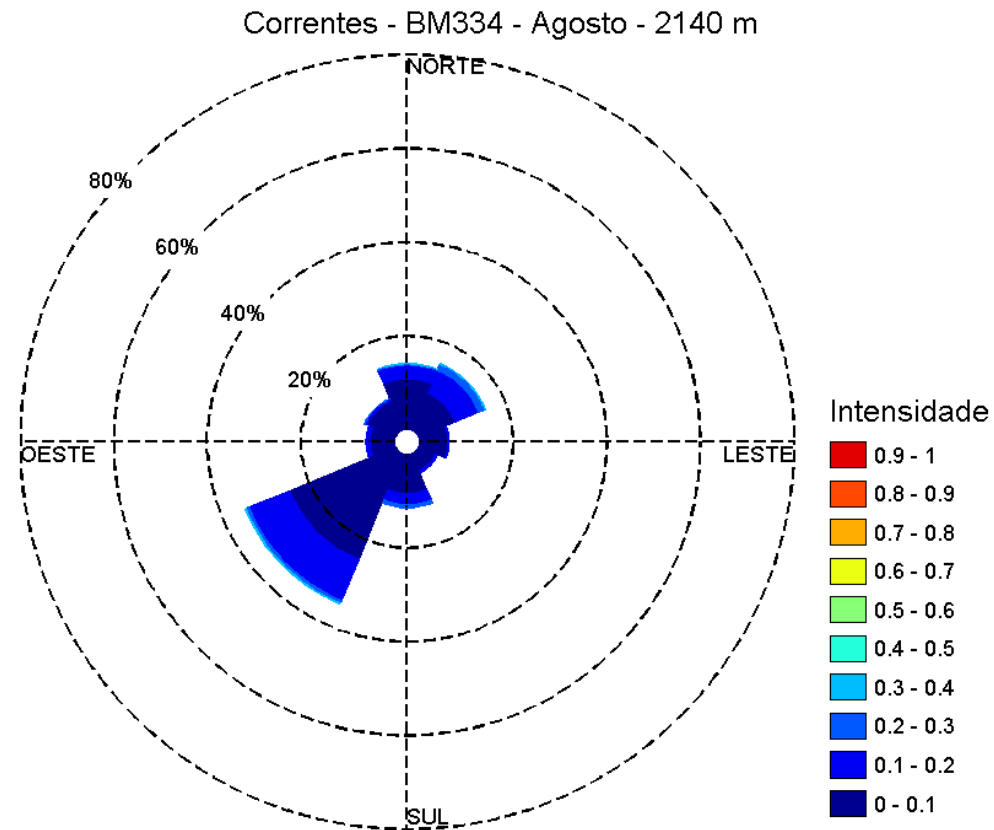
Fonte de dados: Fundeio WOCE BM334

**Figura II.5.1.2-70** – Distribuição direcional da frequência de ocorrência da corrente, de acordo com a intensidade (escala graduada de cores - m/s). As circunferências mostram a frequência de ocorrência em cada direção. Dados do fundeio WOCE BW333 para as profundidades de 230 m (esquerda) e 470 m (direita) no mês de agosto.



Fonte de dados: Fundeio WOCE BM334

**Figura II.5.1.2-71** – Distribuição direcional da frequência de ocorrência da corrente, de acordo com a intensidade (escala graduada de cores - m/s). As circunferências mostram a frequência de ocorrência em cada direção. Dados do fundeio WOCE BW333 para as profundidades de 870 m (esquerda) e 1370 m (direita) no mês de agosto.



Fonte de dados: Fundeio WOCE BM334

**Figura II.5.1.2-72** – Distribuição direcional da frequência de ocorrência da corrente, de acordo com a intensidade (escala graduada de cores - m/s). As circunferências mostram a frequência de ocorrência em cada direção. Dados do fundeio WOCE BW333 para a profundidade de 2140 no mês de agosto.

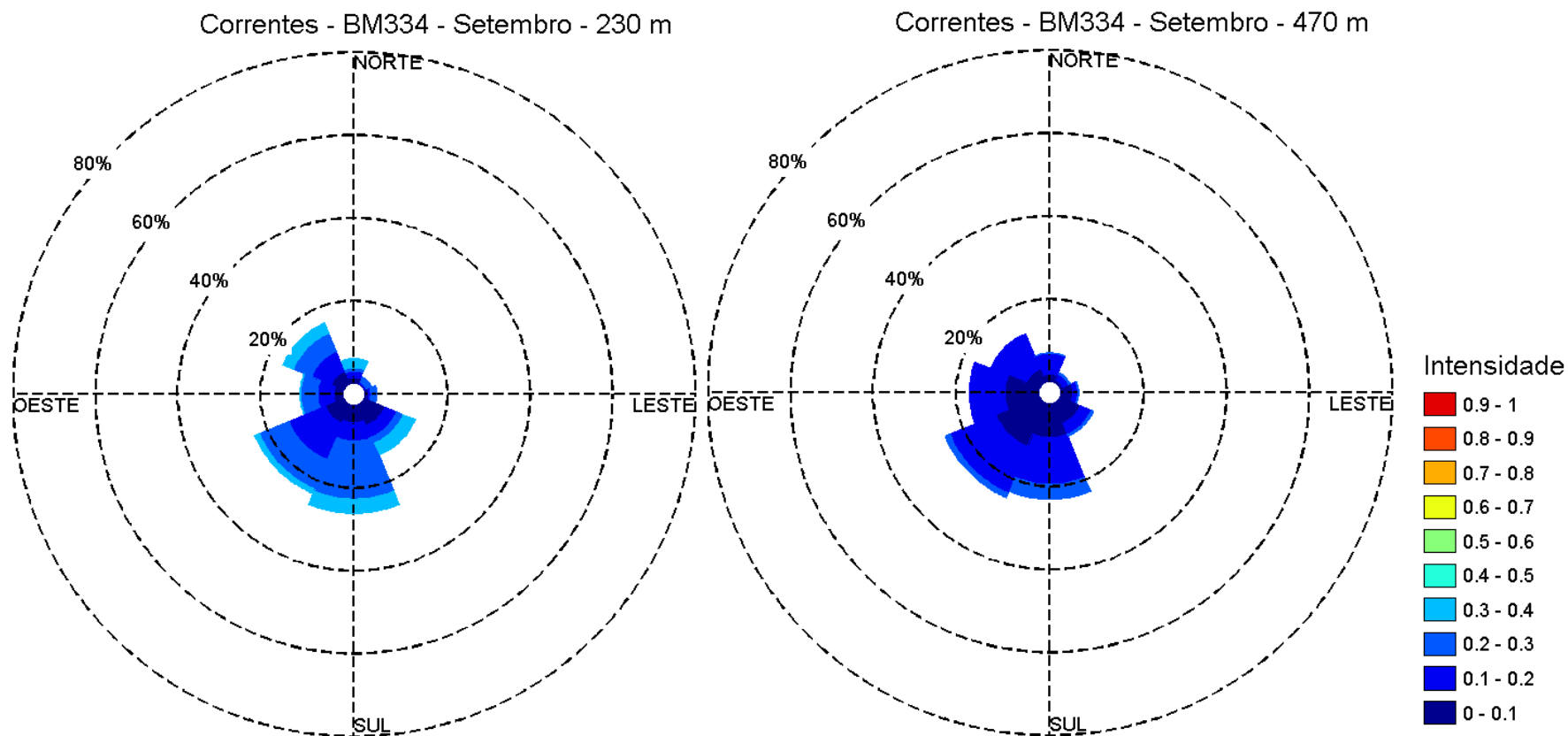


Coordenador da Equipe



Técnico Responsável

Revisão 00  
06/2014



Fonte de dados: Fundeio WOCE BM334

**Figura II.5.1.2-73** – Distribuição direcional da frequência de ocorrência da corrente, de acordo com a intensidade (escala graduada de cores - m/s). As circunferências mostram a frequência de ocorrência em cada direção. Dados do fundeio WOCE BW333 para as profundidades de 230 m (esquerda) e 470 m (direita) no mês de setembro.



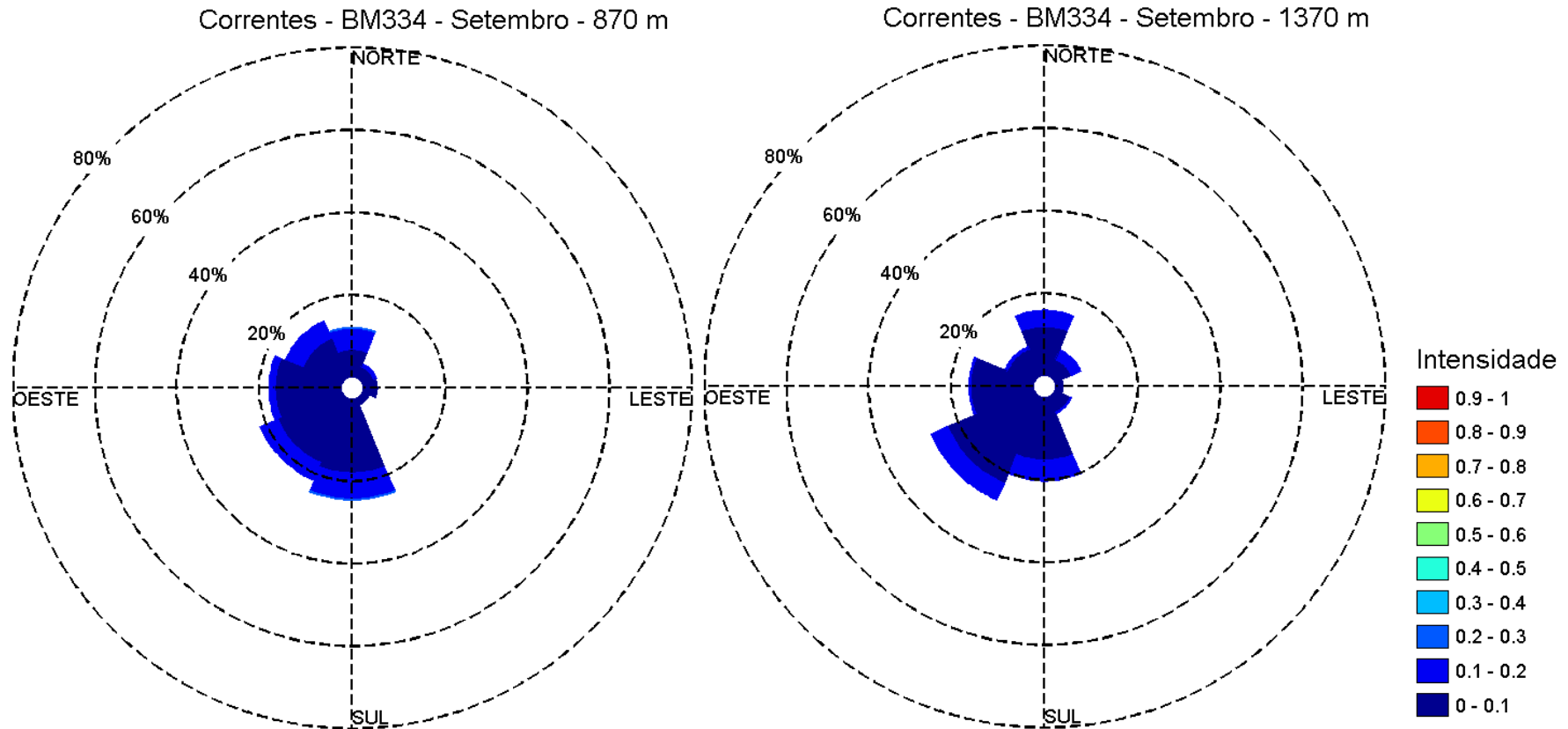
Coordenador da Equipe



Técnico Responsável

Revisão 00  
06/2014

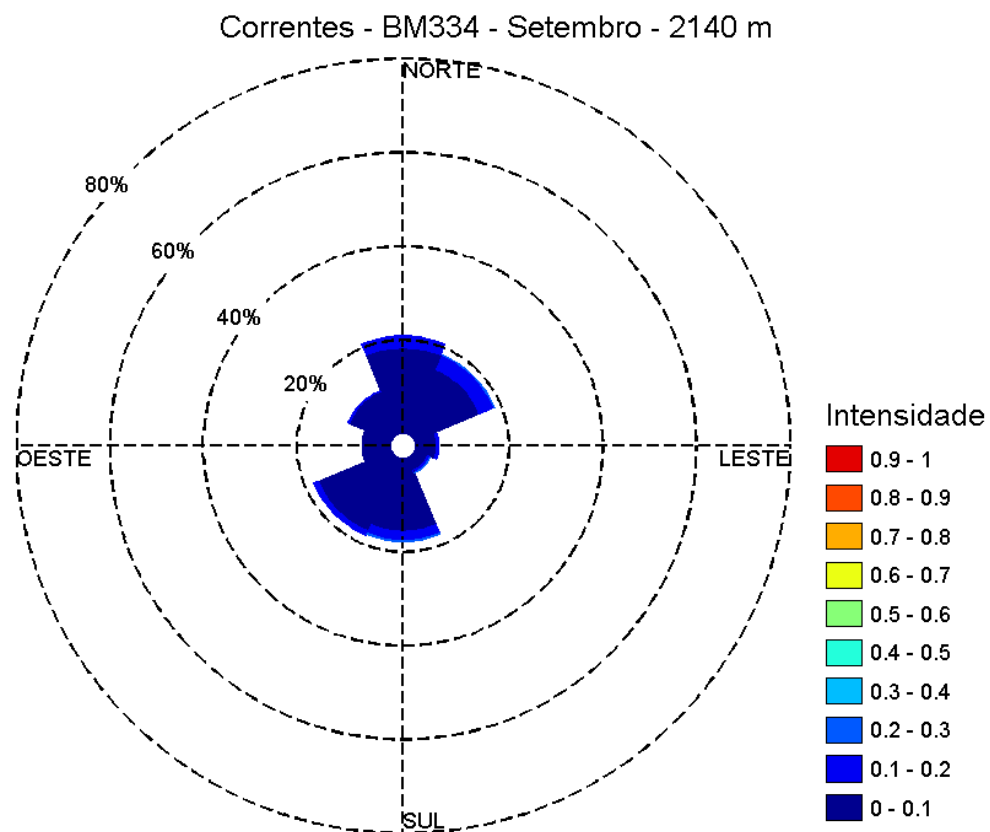




Fonte de dados: Fundeio WOCE BM334

**Figura II.5.1.2-74** – Distribuição direcional da frequência de ocorrência da corrente, de acordo com a intensidade (escala graduada de cores - m/s). As circunferências mostram a frequência de ocorrência em cada direção. Dados do fundeio WOCE BW333 para as profundidades de 870 m (esquerda) e 1370 m (direita) no mês de setembro.





Fonte de dados: Fundeio WOCE BM334

**Figura II.5.1.2-75** – Distribuição direcional da frequência de ocorrência da corrente, de acordo com a intensidade (escala graduada de cores - m/s). As circunferências mostram a frequência de ocorrência em cada direção. Dados do fundeio WOCE BW333 para a profundidade de 2140 no mês de setembro.

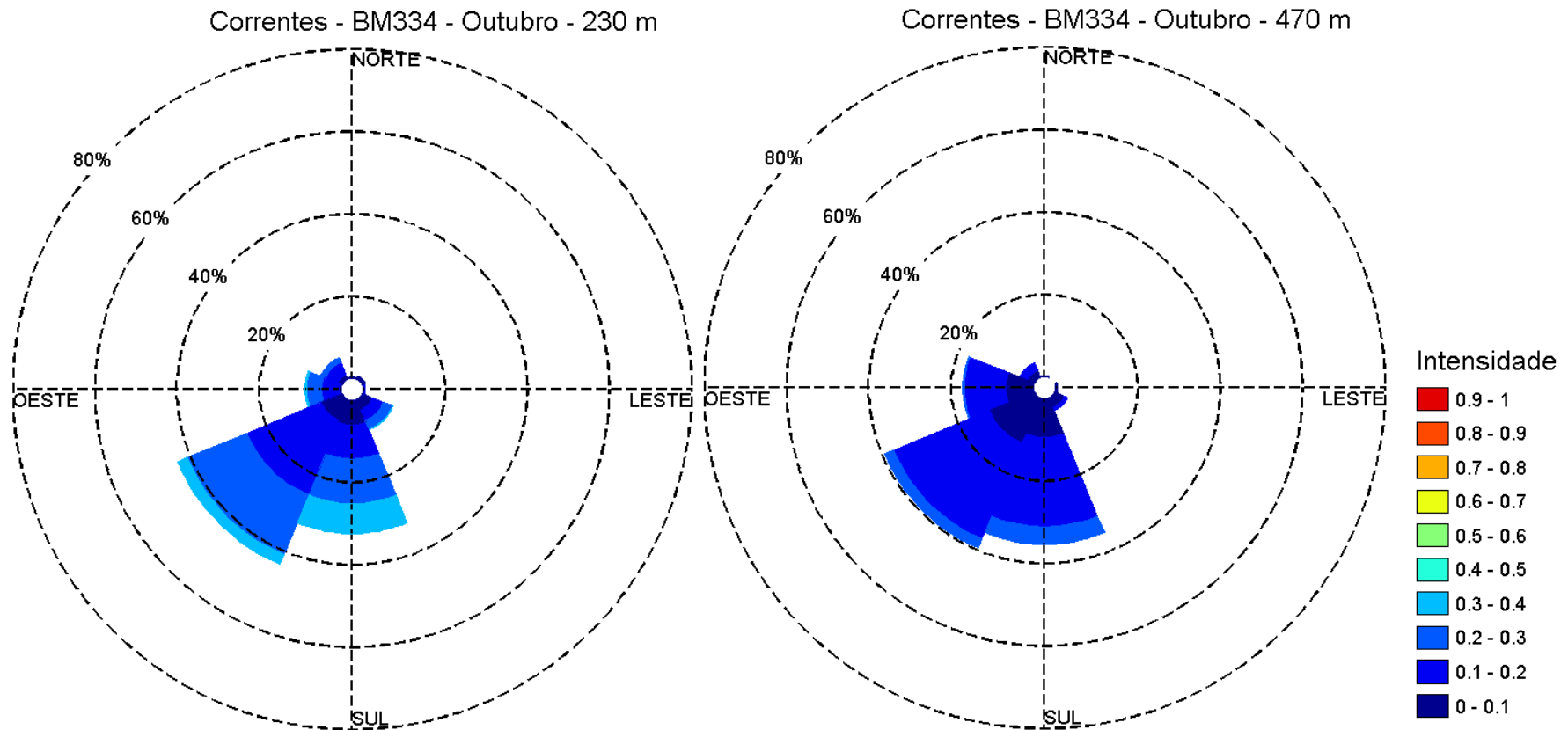


Coordenador da Equipe



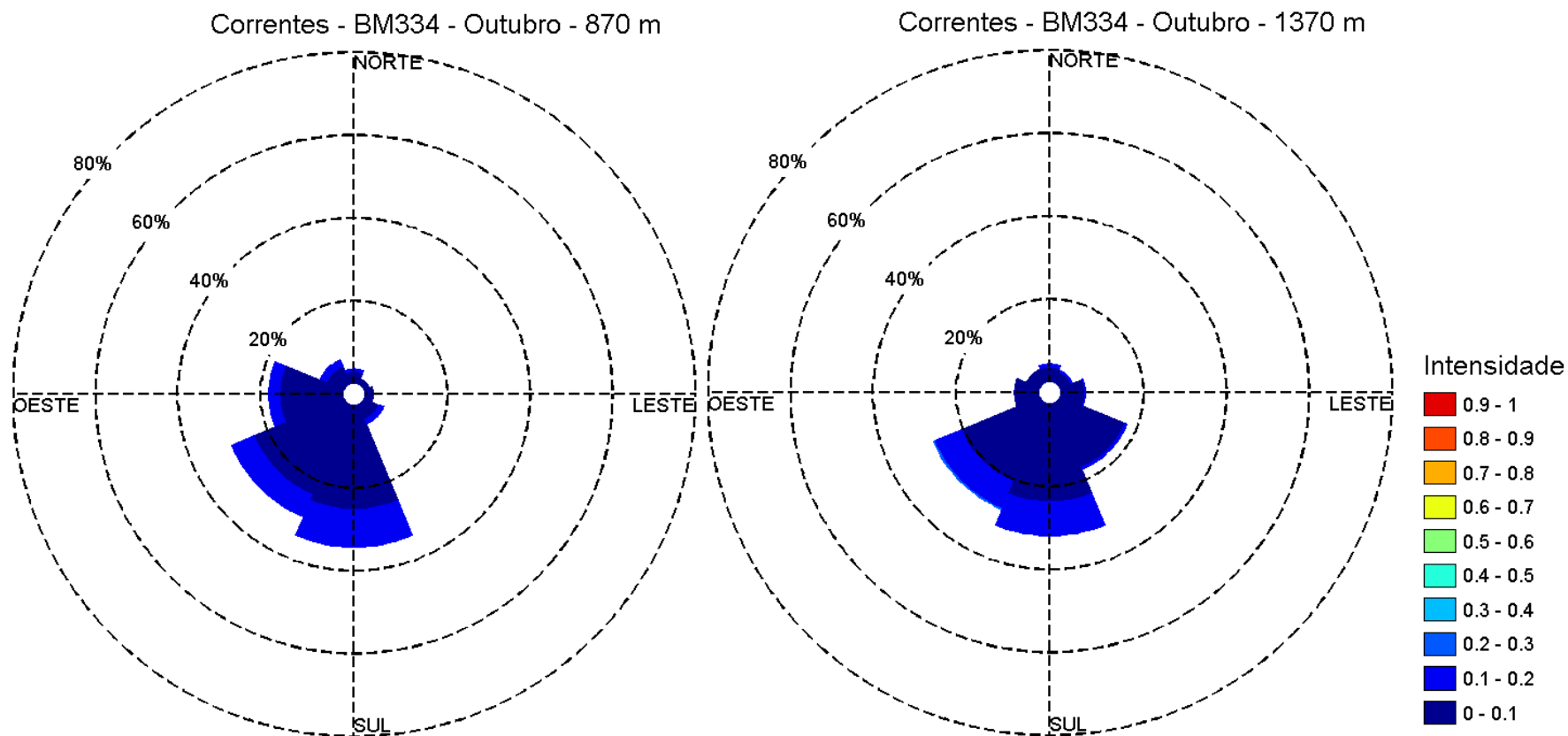
Técnico Responsável

Revisão 00  
06/2014



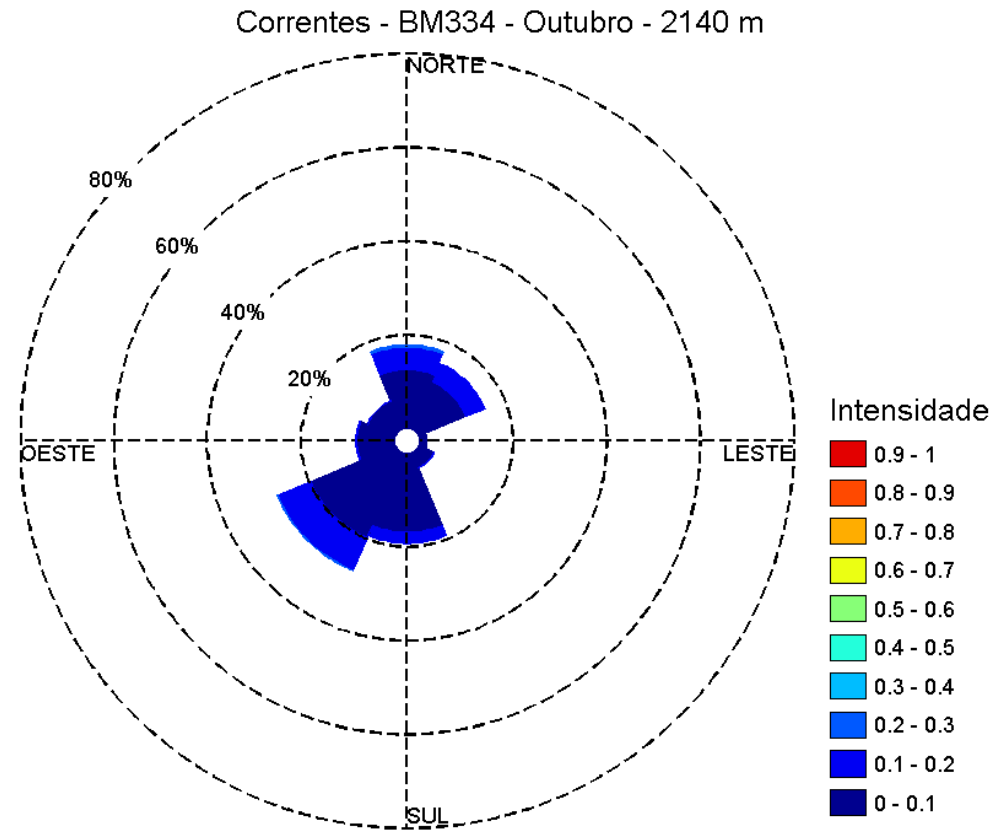
Fonte de dados: Fundeio WOCE BM334

**Figura II.5.1.2-76** – Distribuição direcional da frequência de ocorrência da corrente, de acordo com a intensidade (escala graduada de cores - m/s). As circunferências mostram a frequência de ocorrência em cada direção. Dados do fundeio WOCE BW333 para as profundidades de 230 m (esquerda) e 470 m (direita) no mês de outubro.



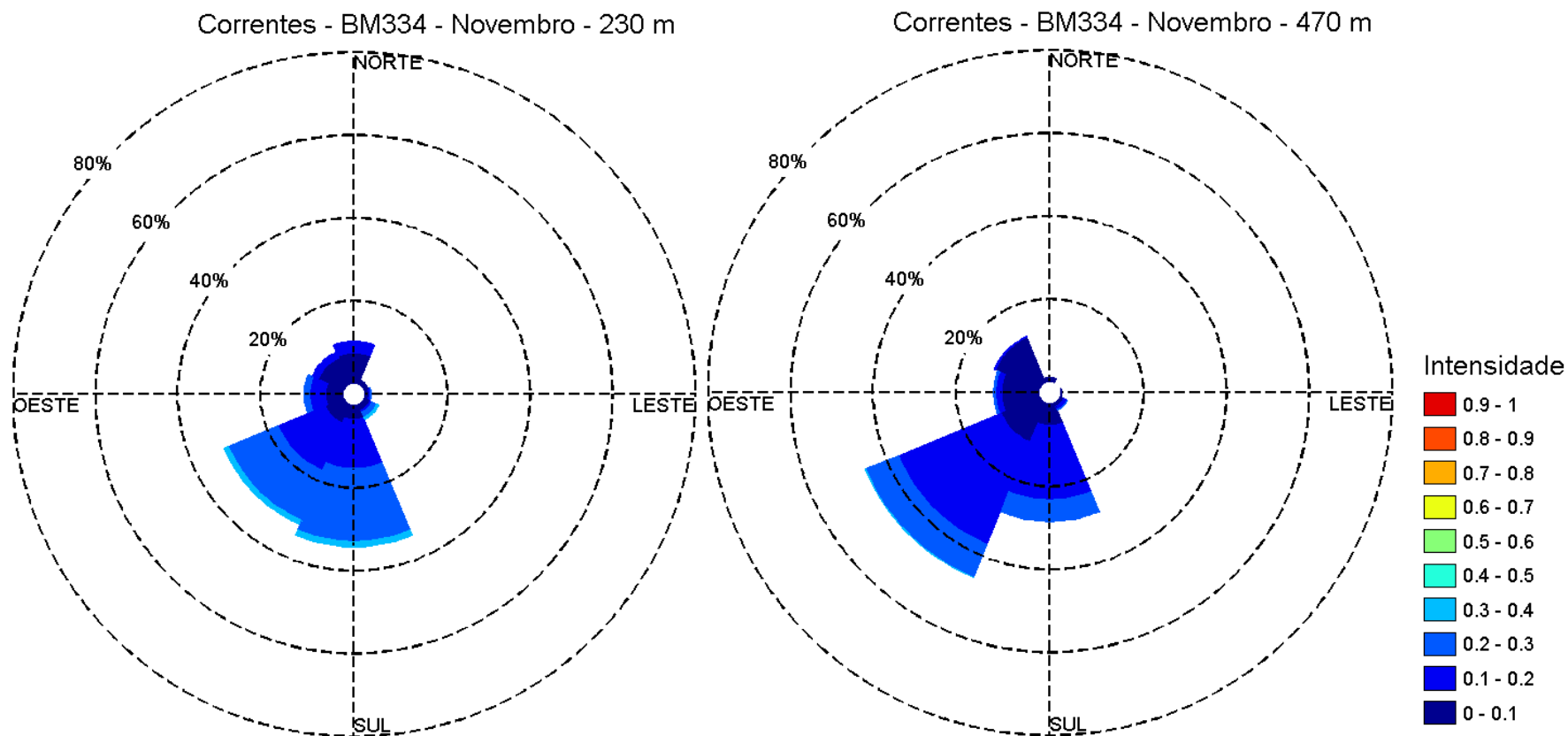
Fonte de dados: Fundeio WOCE BM334

**Figura II.5.1.2-77** – Distribuição direcional da frequência de ocorrência da corrente, de acordo com a intensidade (escala graduada de cores - m/s). As circunferências mostram a frequência de ocorrência em cada direção. Dados do fundeio WOCE BW333 para as profundidades de 870 m (esquerda) e 1370 m (direita) no mês de outubro.



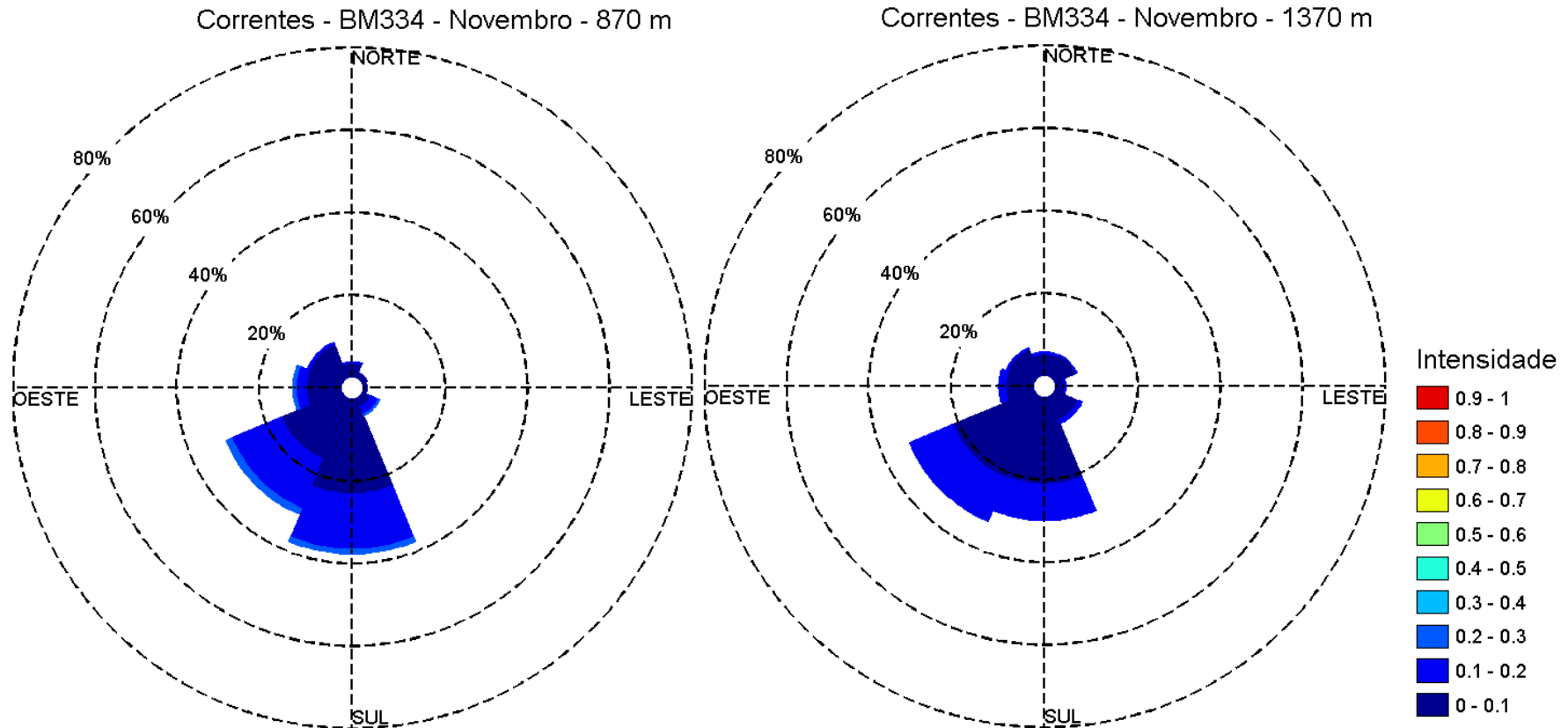
Fonte de dados: Fundeio WOCE BM334

**Figura II.5.1.2-78** – Distribuição direcional da frequência de ocorrência da corrente, de acordo com a intensidade (escala graduada de cores - m/s). As circunferências mostram a frequência de ocorrência em cada direção. Dados do fundeio WOCE BW333 para a profundidade de 2140 no mês de outubro.



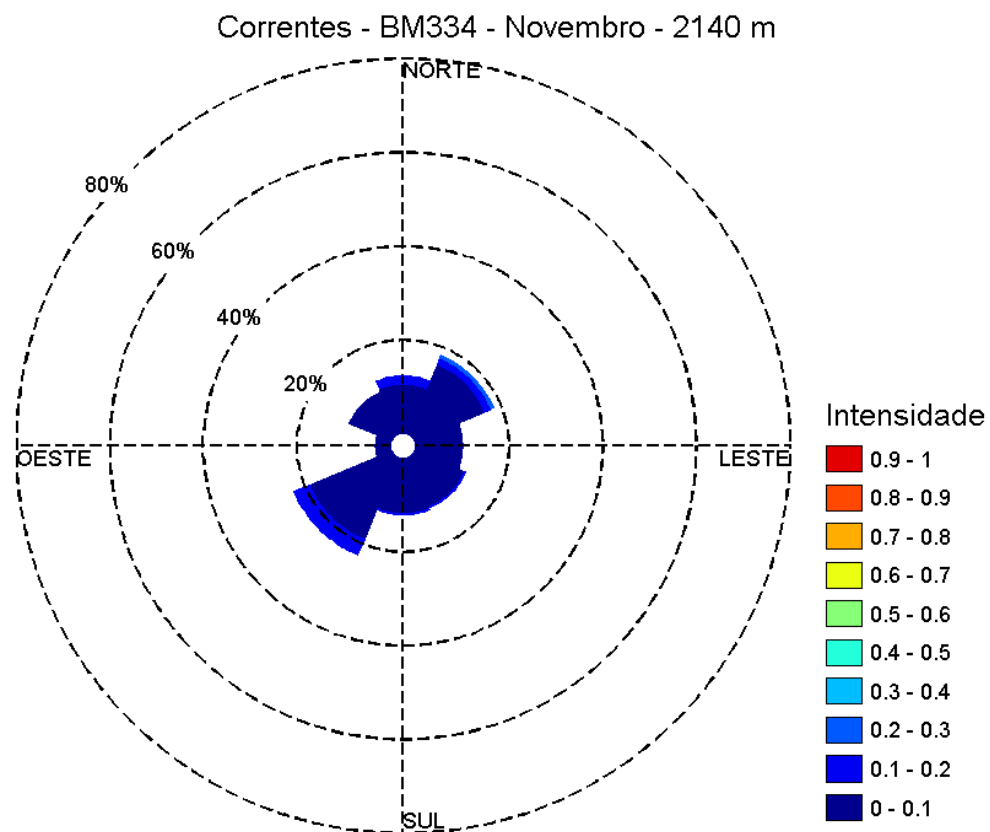
Fonte de dados: Fundeio WOCE BM334

**Figura II.5.1.2-79** – Distribuição direcional da frequência de ocorrência da corrente, de acordo com a intensidade (escala graduada de cores - m/s). As circunferências mostram a frequência de ocorrência em cada direção. Dados do fundeio WOCE BW333 para as profundidades de 230 m (esquerda) e 470 m (direita) no mês de novembro.



Fonte de dados: Fundeio WOCE BM334

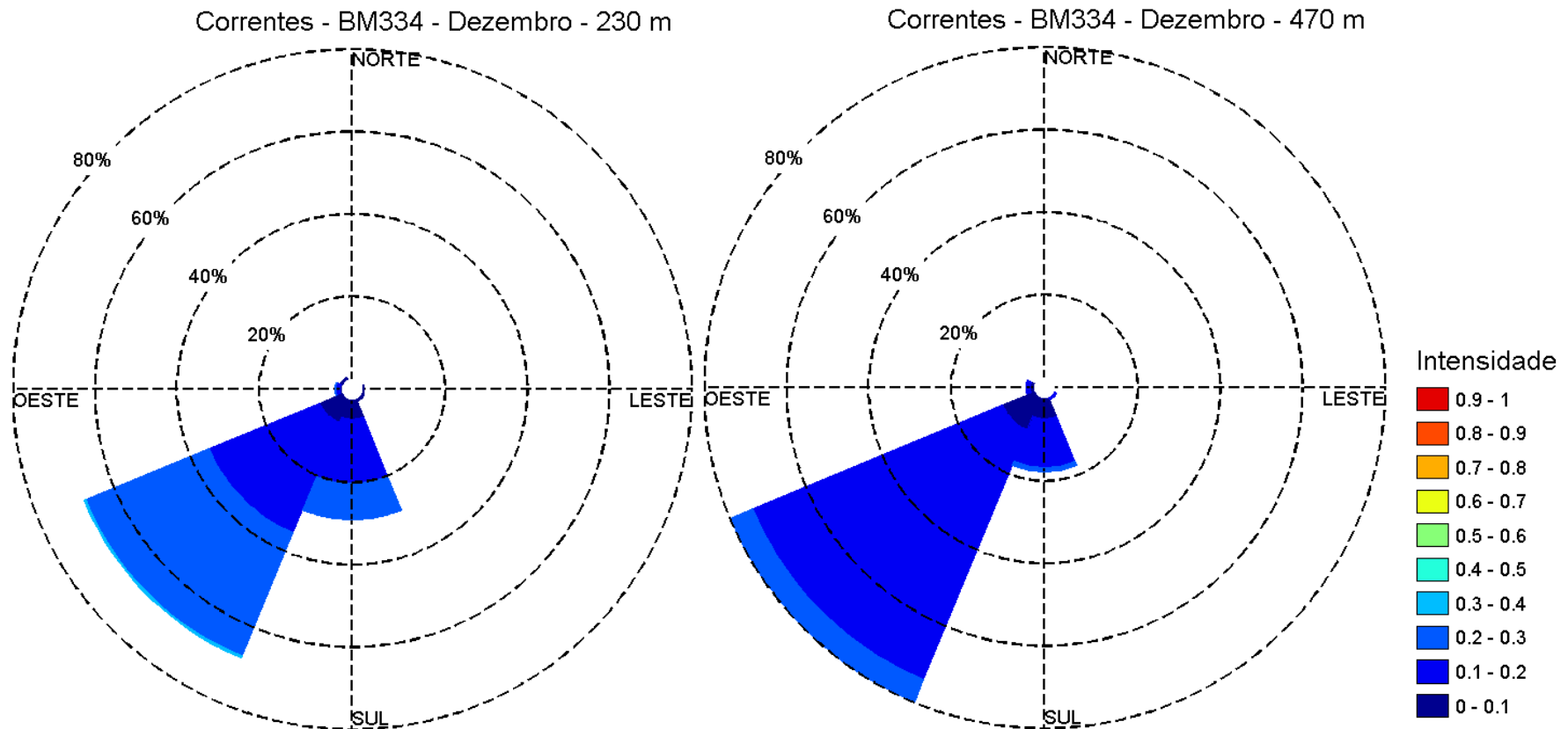
**Figura II.5.1.2-80** – Distribuição direcional da frequência de ocorrência da corrente, de acordo com a intensidade (escala graduada de cores - m/s). As circunferências mostram a frequência de ocorrência em cada direção. Dados do fundeio WOCE BW333 para as profundidades de 870 m (esquerda) e 1370 m (direita) no mês de novembro.



Fonte de dados: Fundeio WOCE BM334

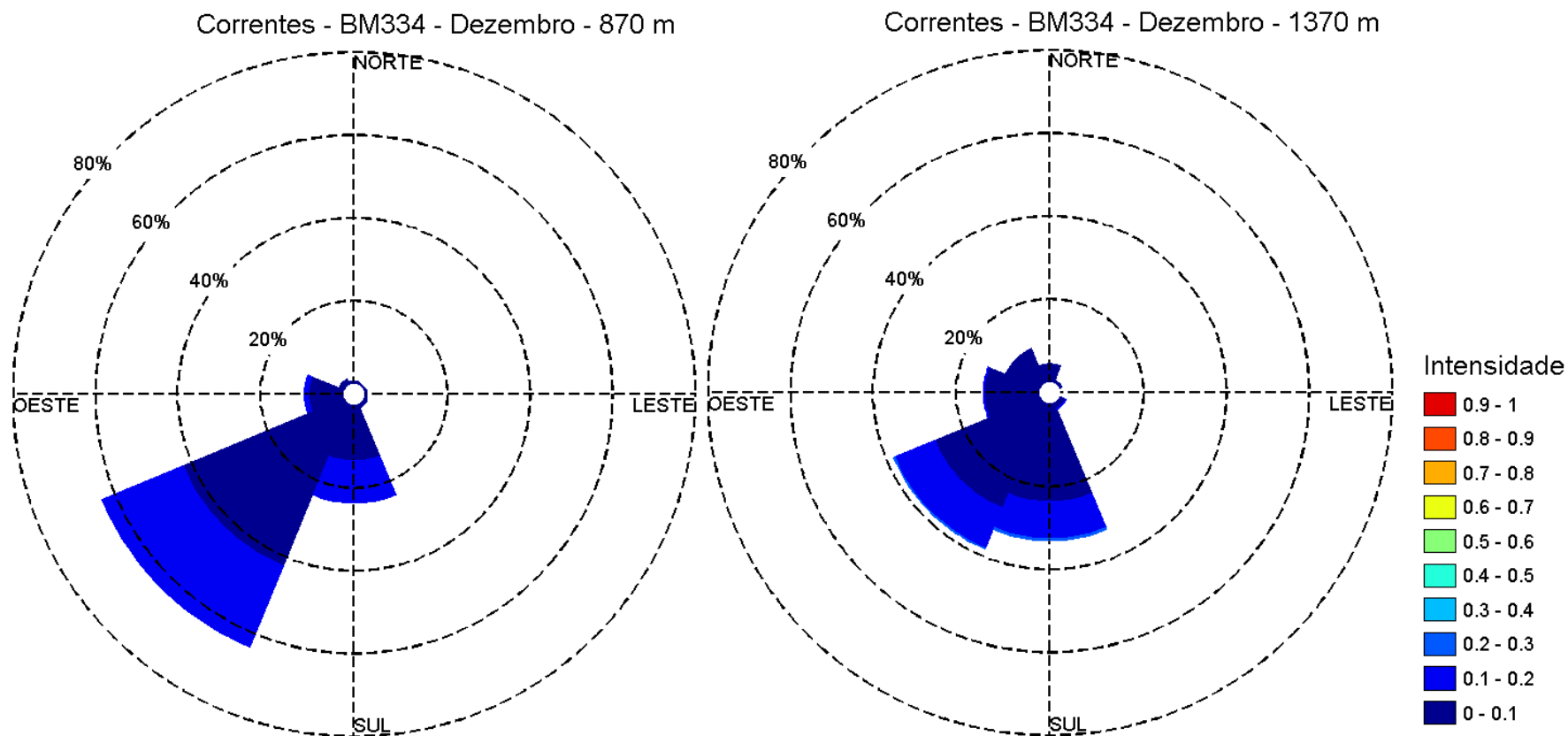
**Figura II.5.1.2-81** – Distribuição direcional da frequência de ocorrência da corrente, de acordo com a intensidade (escala graduada de cores - m/s). As circunferências mostram a frequência de ocorrência em cada direção. Dados do fundeio WOCE BW333 para a profundidade de 2140 no mês de novembro.





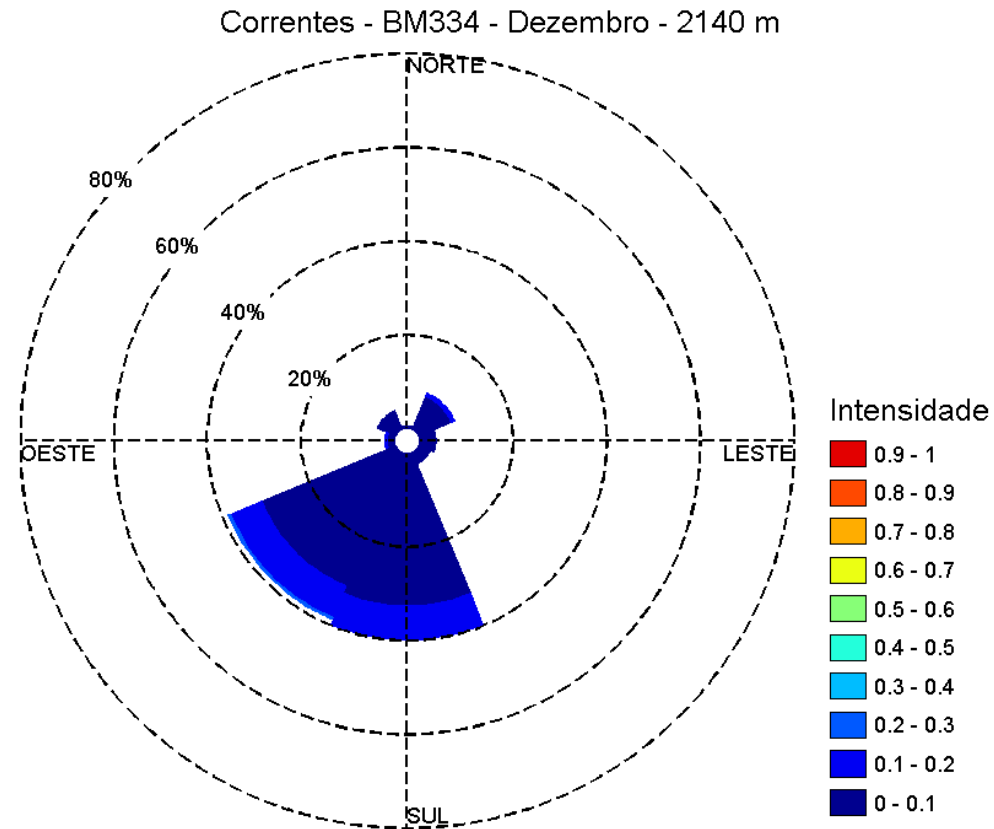
Fonte de dados: Fundeio WOCE BM334

**Figura II.5.1.2-82** – Distribuição direcional da frequência de ocorrência da corrente, de acordo com a intensidade (escala graduada de cores - m/s). As circunferências mostram a frequência de ocorrência em cada direção. Dados do fundeio WOCE BW333 para as profundidades de 230 m (esquerda) e 470 m (direita) no mês de dezembro.



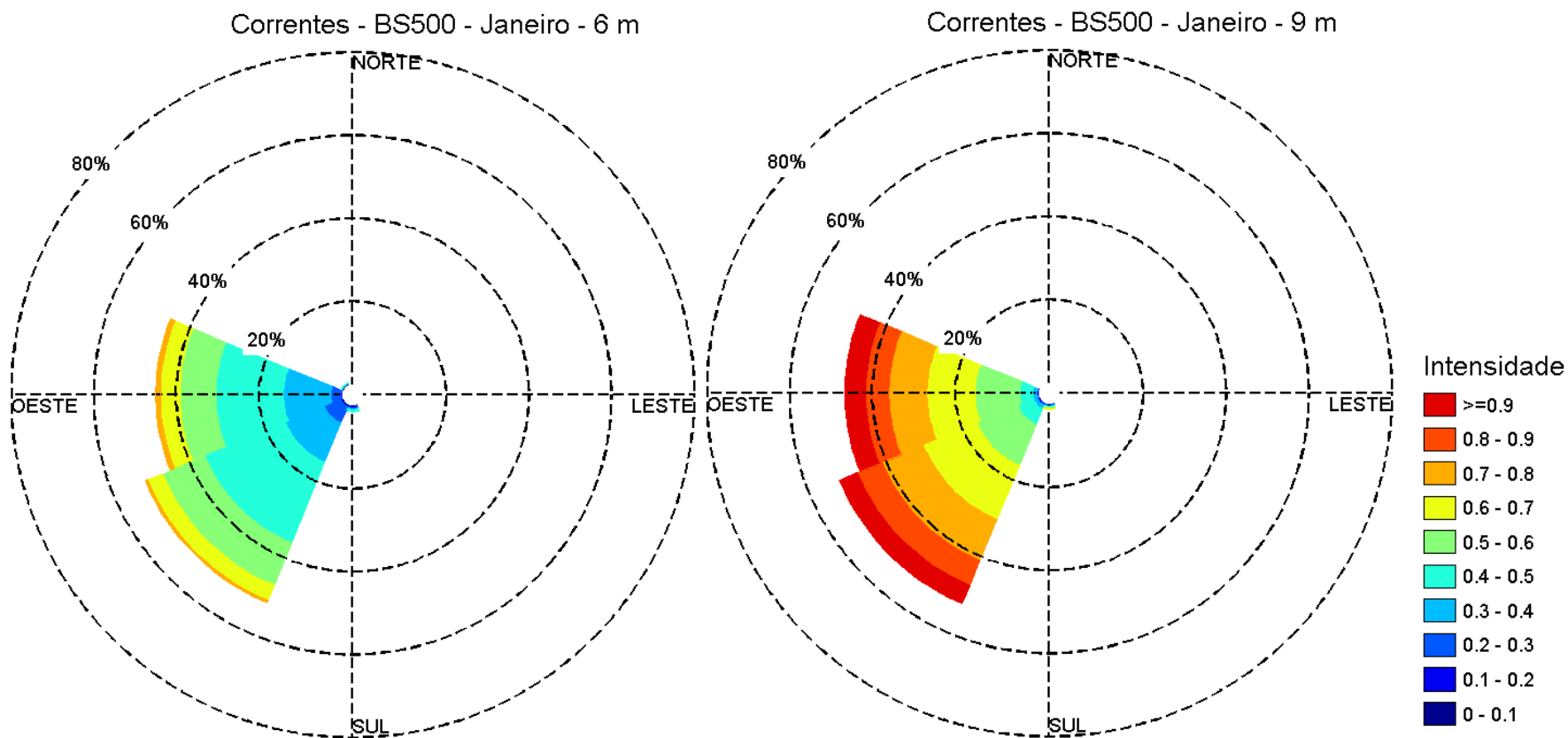
Fonte de dados: Fundeio WOCE BM334

**Figura II.5.1.2-83** – Distribuição direcional da frequência de ocorrência da corrente, de acordo com a intensidade (escala graduada de cores - m/s). As circunferências mostram a frequência de ocorrência em cada direção. Dados do fundeio WOCE BW333 para as profundidades de 870 m (esquerda) e 1370 m (direita) no mês de dezembro.



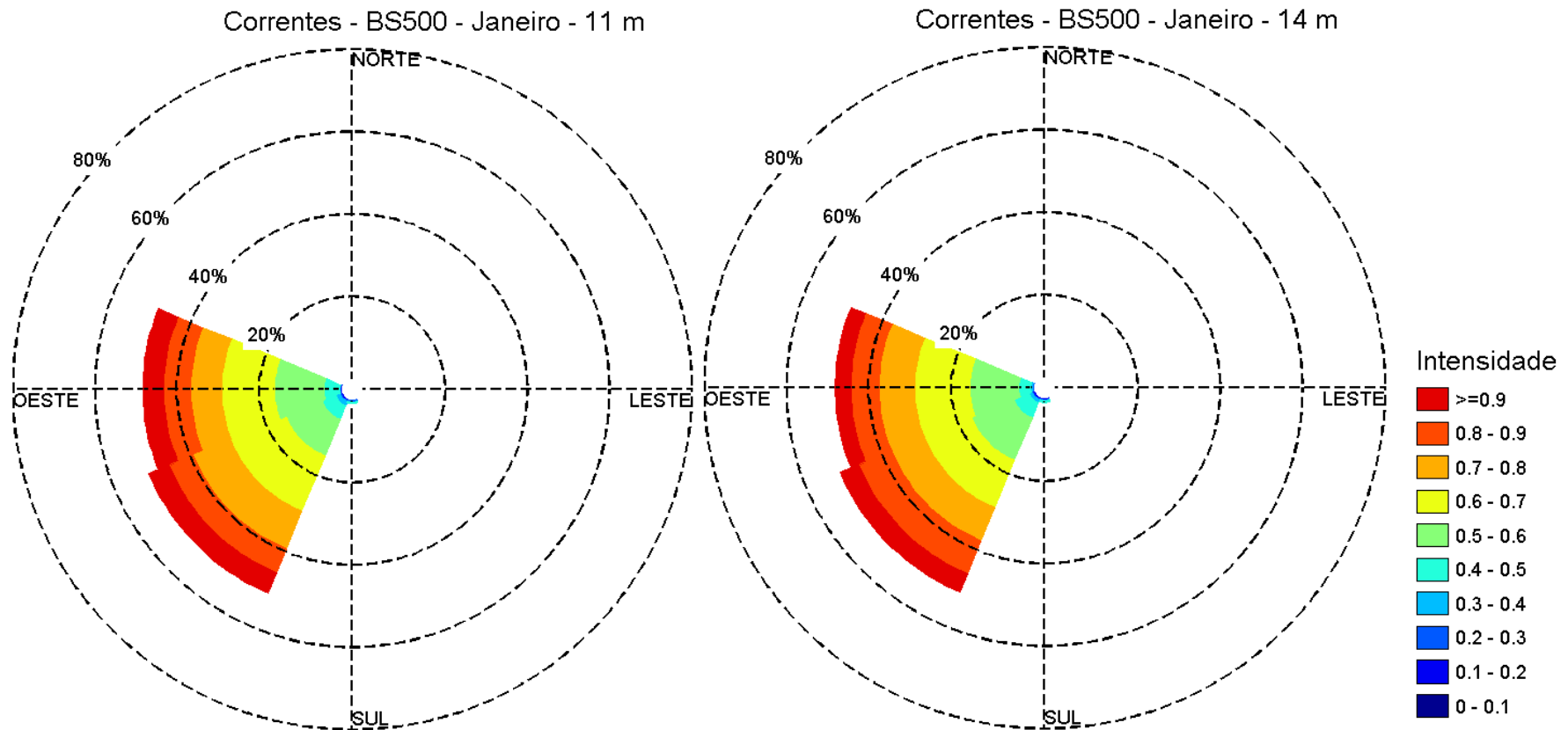
Fonte de dados: Fundeio WOCE BM334

**Figura II.5.1.2-84** – Distribuição direcional da frequência de ocorrência da corrente, de acordo com a intensidade (escala graduada de cores - m/s). As circunferências mostram a frequência de ocorrência em cada direção. Dados do fundeio WOCE BW333 para a profundidade de 2140 no mês de dezembro.



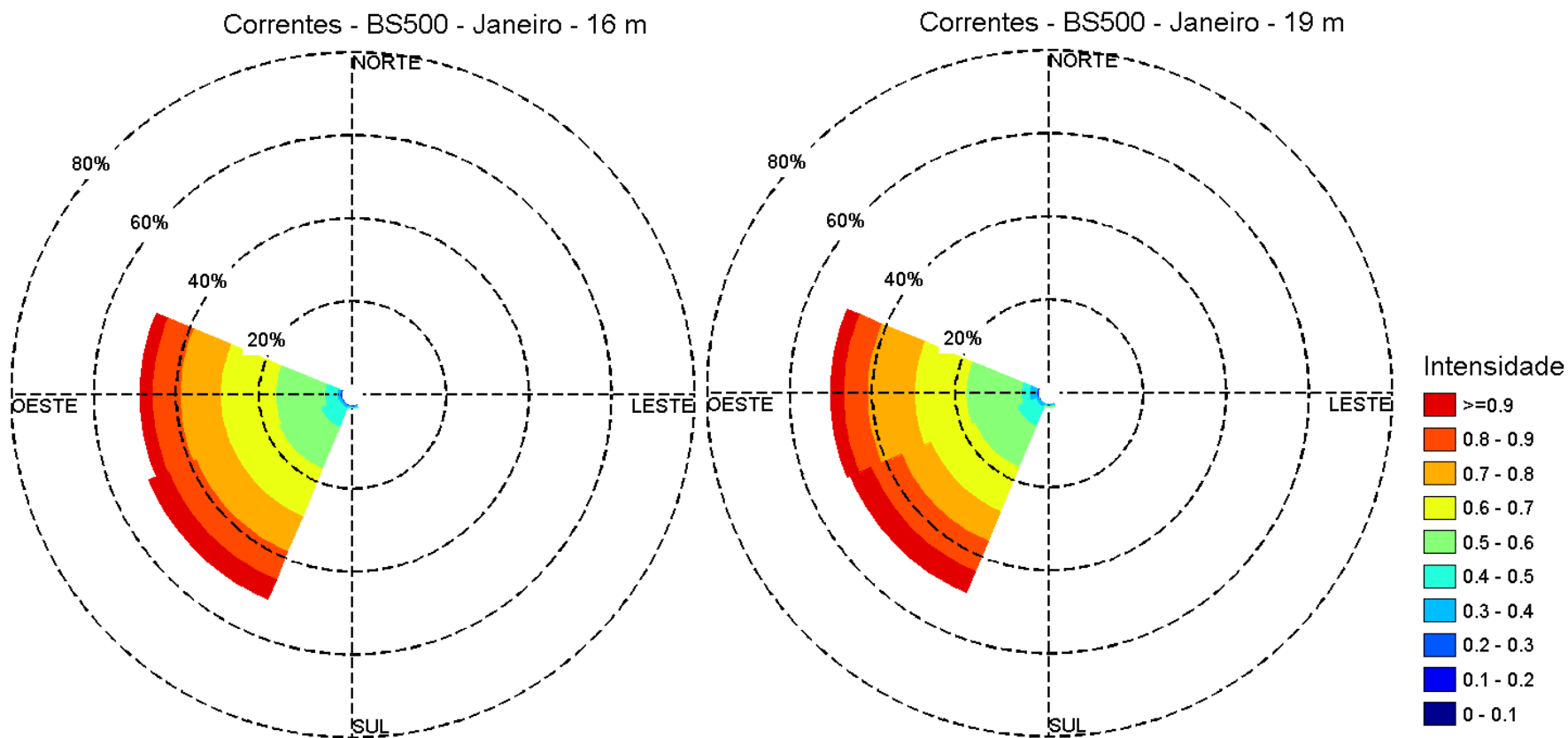
Fonte de dados: Fundeio PETROBRAS BS500

**Figura II.5.1.2-85** – Distribuição direcional da frequência de ocorrência da corrente, de acordo com a intensidade (escala graduada de cores - m/s). As circunferências mostram a frequência de ocorrência em cada direção. Dados do fundeio PETROBRAS BS500 para as profundidades de 6 m e 9 m no mês de janeiro.



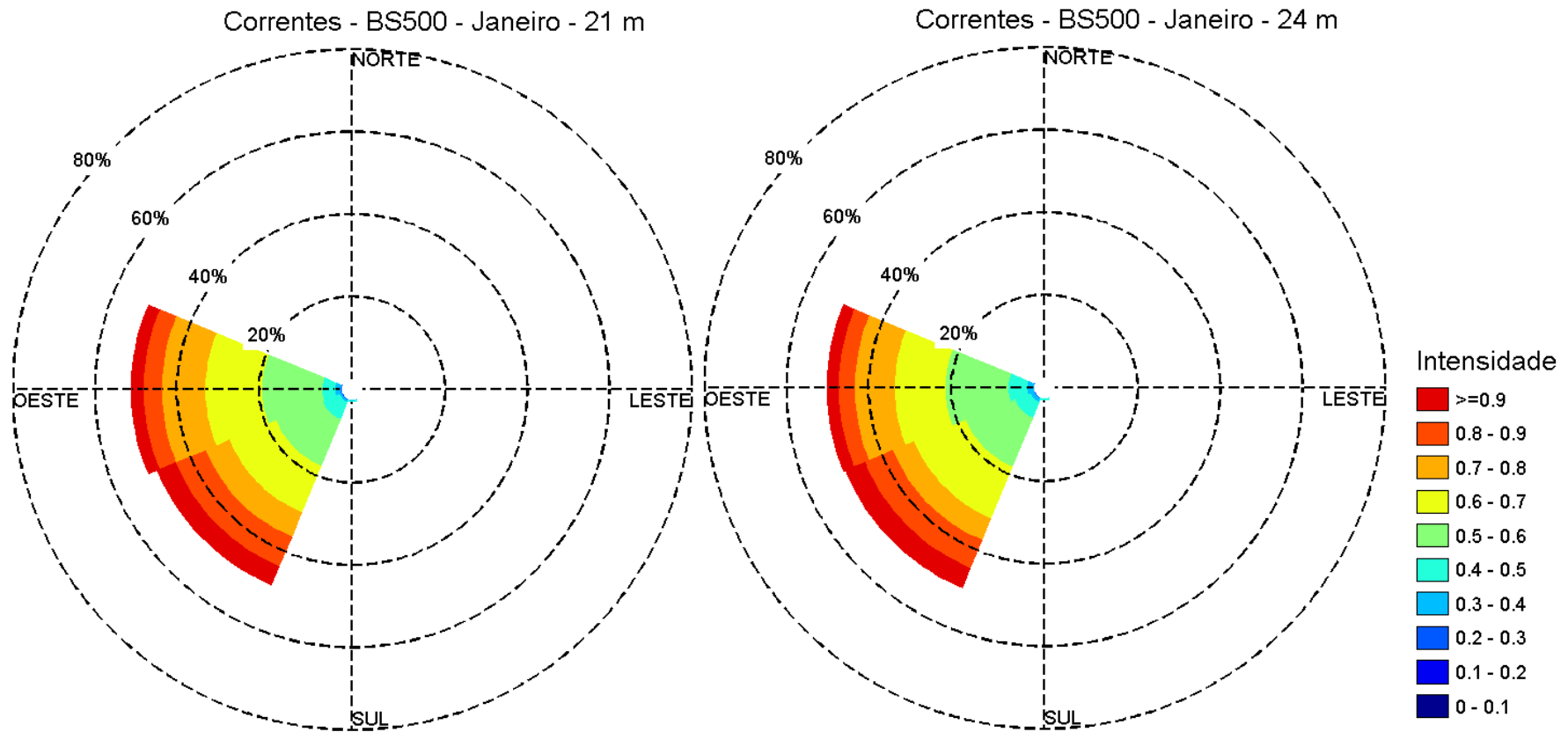
Fonte de dados: Fundeio PETROBRAS BS500

**Figura II.5.1.2-86** – Distribuição direcional da frequência de ocorrência da corrente, de acordo com a intensidade (escala graduada de cores - m/s). As circunferências mostram a frequência de ocorrência em cada direção. Dados do fundeio PETROBRAS BS500 para as profundidades de 11 m e 14 m no mês de janeiro.



Fonte de dados: Fundeio PETROBRAS BS500

**Figura II.5.1.2-87** – Distribuição direcional da frequência de ocorrência da corrente, de acordo com a intensidade (escala graduada de cores - m/s). As circunferências mostram a frequência de ocorrência em cada direção. Dados do fundeio PETROBRAS BS500 para as profundidades de 16 m e 19 m no mês de janeiro.



Fonte de dados: Fundeio PETROBRAS BS500

**Figura II.5.1.2-88** – Distribuição direcional da frequência de ocorrência da corrente, de acordo com a intensidade (escala graduada de cores - m/s). As circunferências mostram a frequência de ocorrência em cada direção. Dados do fundeio PETROBRAS BS500 para as profundidades de 21 m e 24 m no mês de janeiro.

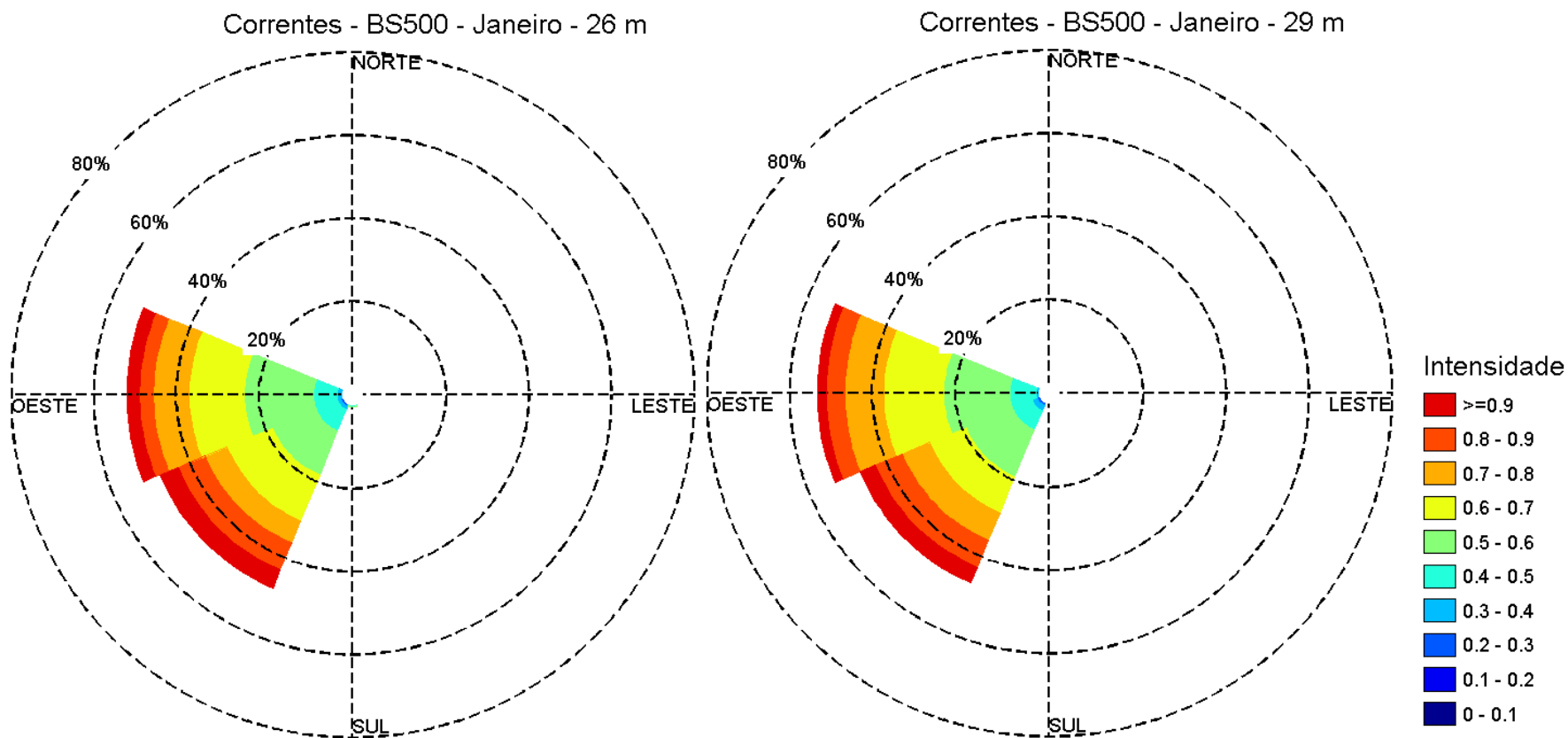


Coordenador da Equipe



Técnico Responsável

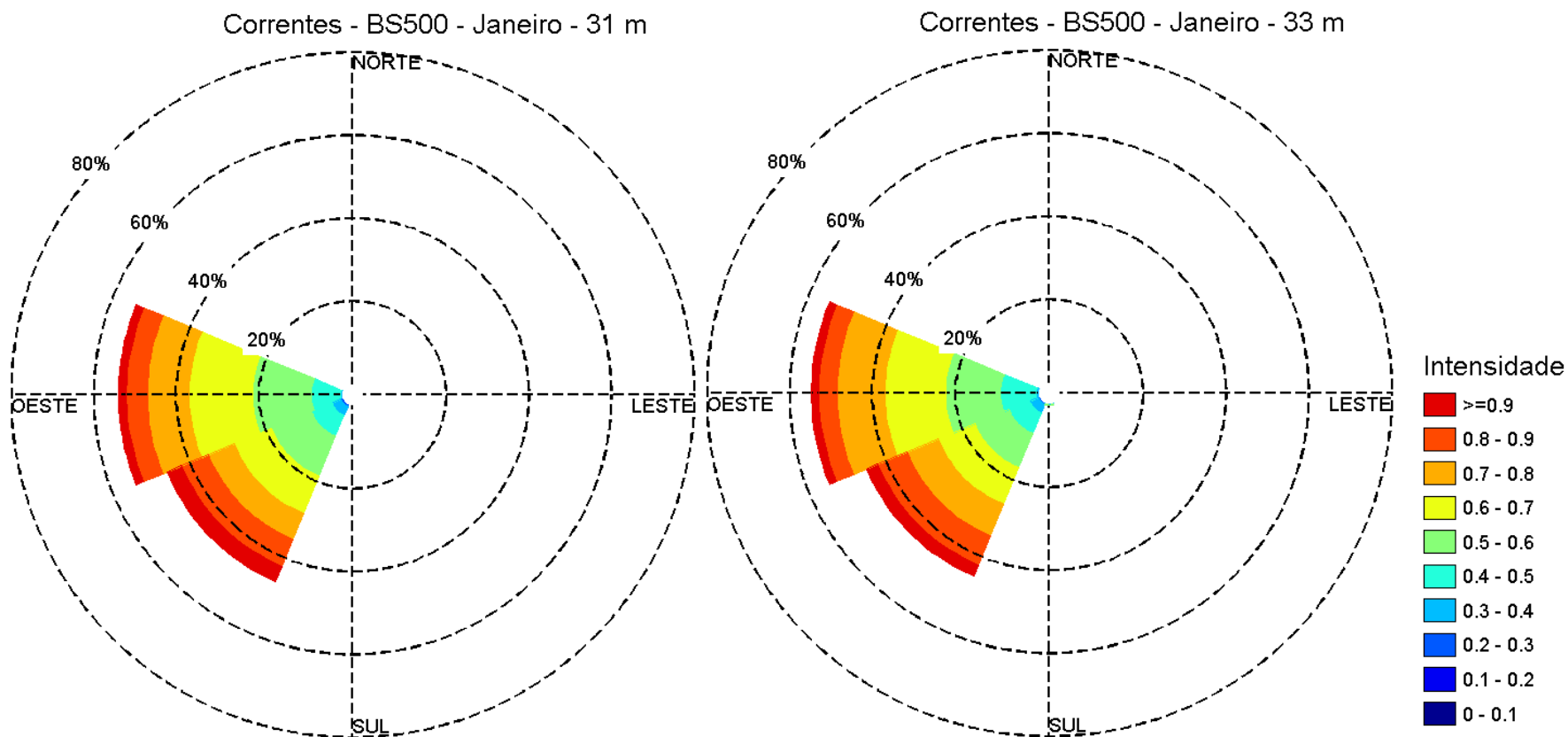
Revisão 00  
06/2014



Fonte de dados: Fundeio PETROBRAS BS500

**Figura II.5.1.2-89** – Distribuição direcional da frequência de ocorrência da corrente, de acordo com a intensidade (escala graduada de cores - m/s). As circunferências mostram a frequência de ocorrência em cada direção. Dados do fundeio PETROBRAS BS500 para as profundidades de 26 m e 29 m no mês de janeiro.





Fonte de dados: Fundeio PETROBRAS BS500

**Figura II.5.1.2-90** – Distribuição direcional da frequência de ocorrência da corrente, de acordo com a intensidade (escala graduada de cores - m/s). As circunferências mostram a frequência de ocorrência em cada direção. Dados do fundeio PETROBRAS BS500 para as profundidades de 31 m e 33 m no mês de janeiro.

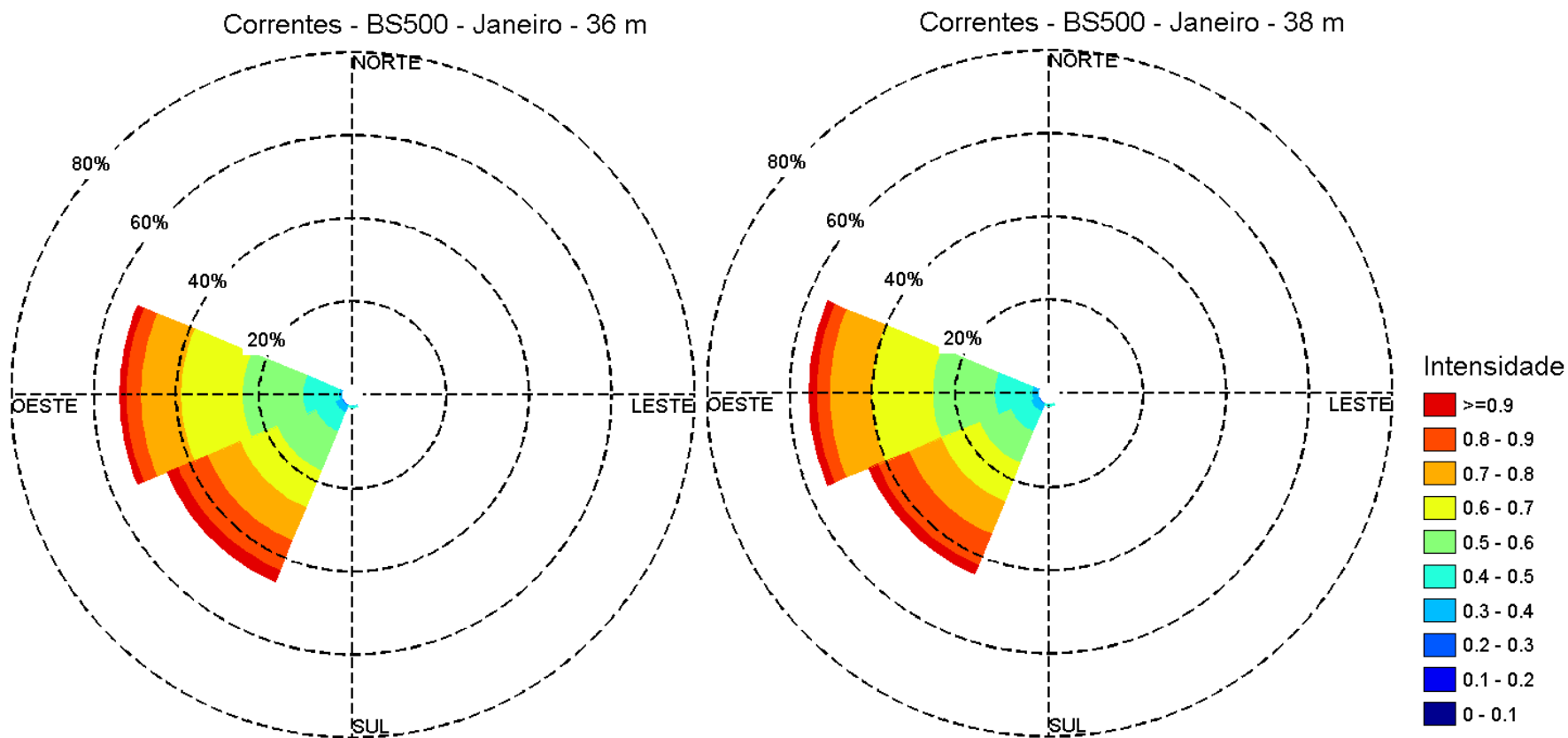


Coordenador da Equipe



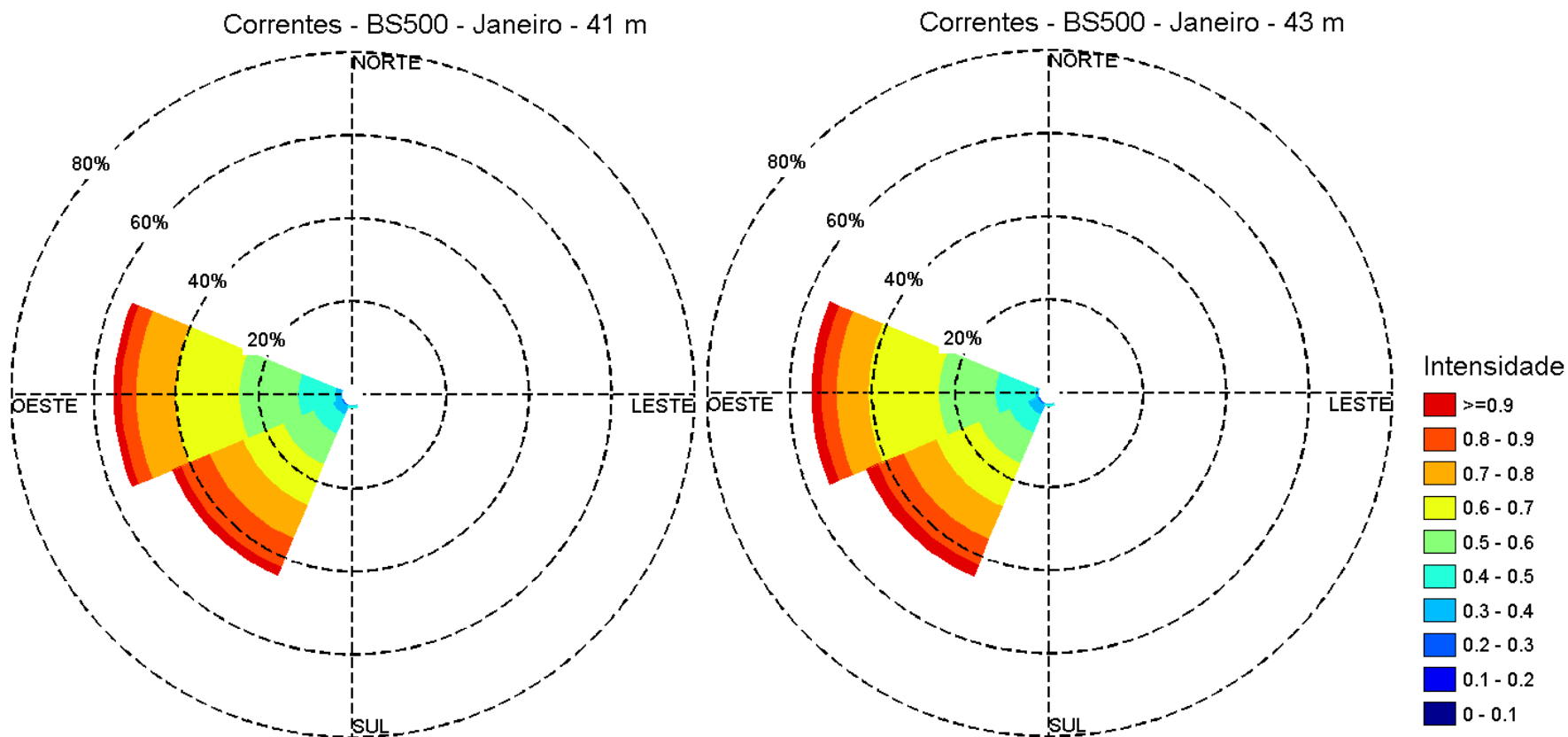
Técnico Responsável

Revisão 00  
06/2014



Fonte de dados: Fundeio PETROBRAS BS500

**Figura II.5.1.2-91** – Distribuição direcional da frequência de ocorrência da corrente, de acordo com a intensidade (escala graduada de cores - m/s). As circunferências mostram a frequência de ocorrência em cada direção. Dados do fundeio PETROBRAS BS500 para as profundidades de 36 m e 38 m no mês de janeiro.



Fonte de dados: Fundeio PETROBRAS BS500

**Figura II.5.1.2-92** – Distribuição direcional da frequência de ocorrência da corrente, de acordo com a intensidade (escala graduada de cores - m/s). As circunferências mostram a frequência de ocorrência em cada direção. Dados do fundeio PETROBRAS BS500 para as profundidades de 41 m e 43 m no mês de janeiro.

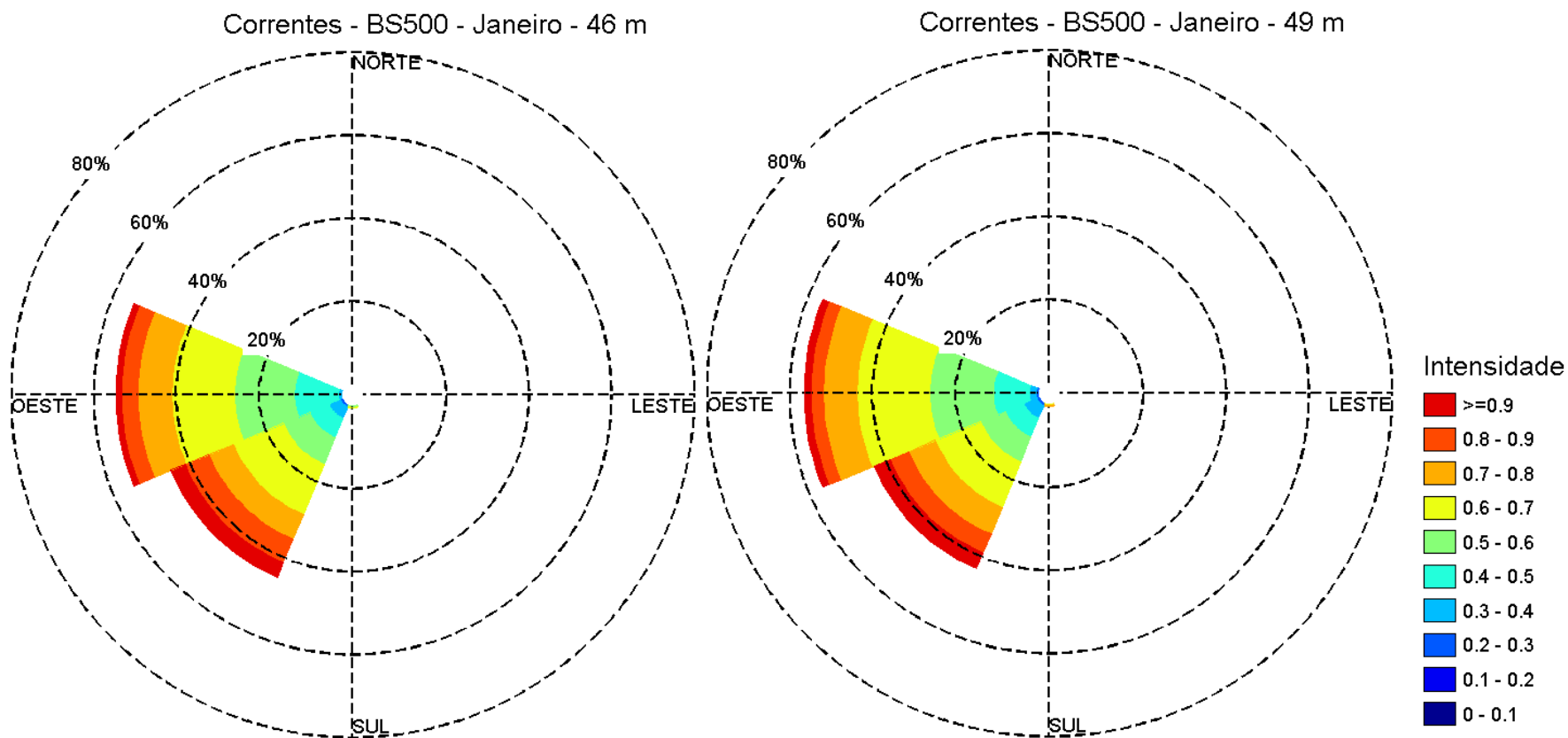


Coordenador da Equipe



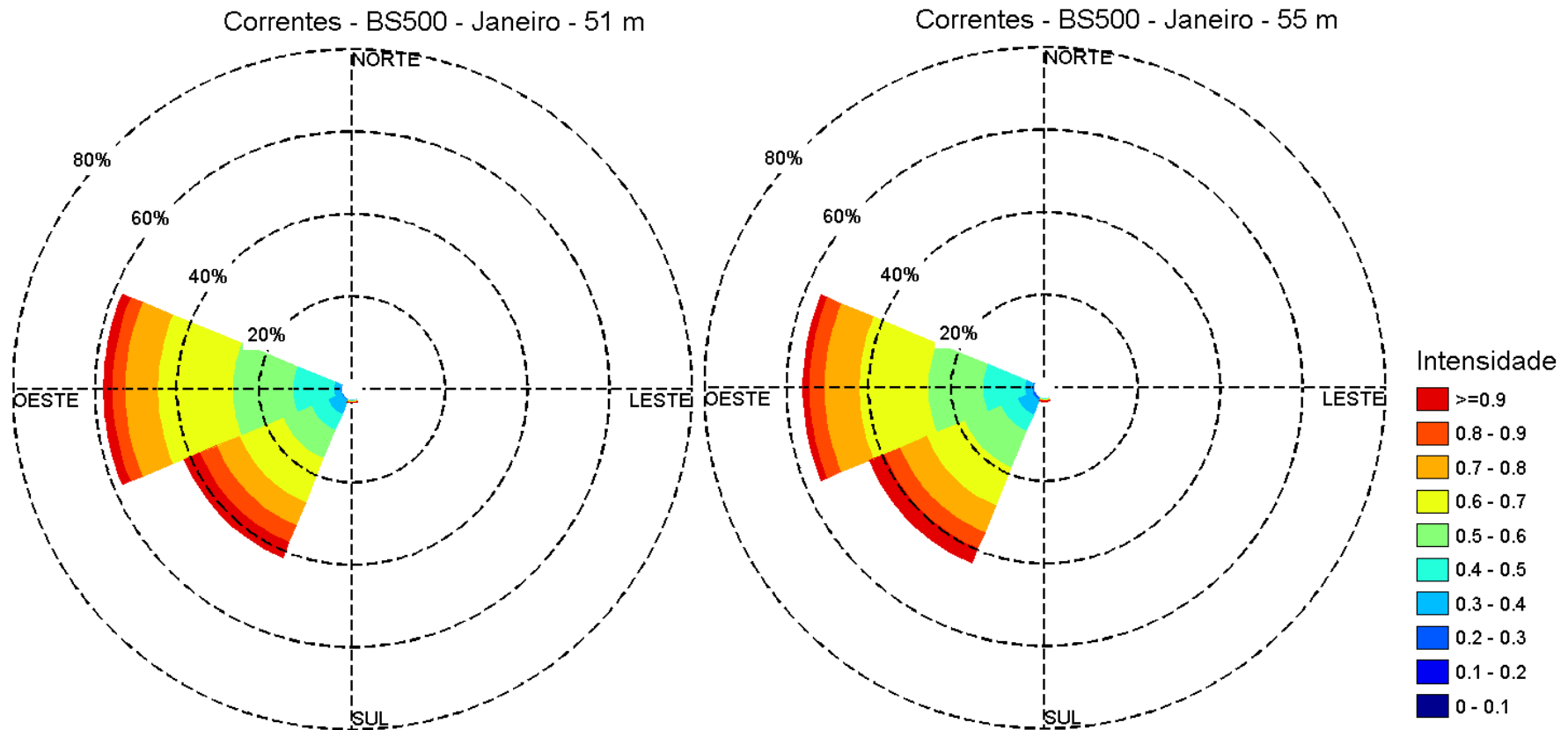
Técnico Responsável

Revisão 00  
06/2014



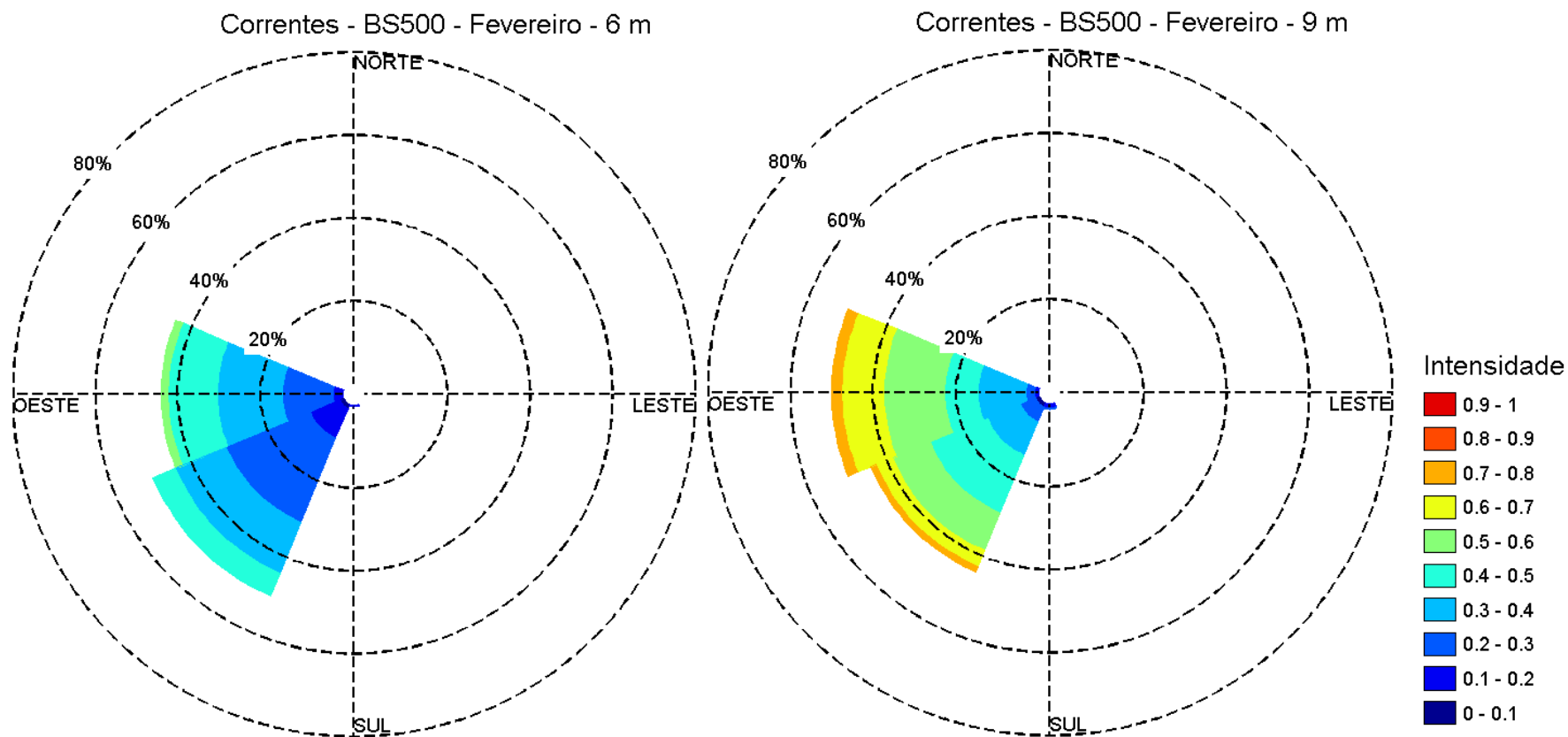
Fonte de dados: Fundeio PETROBRAS BS500

**Figura II.5.1.2-93** – Distribuição direcional da frequência de ocorrência da corrente, de acordo com a intensidade (escala graduada de cores - m/s). As circunferências mostram a frequência de ocorrência em cada direção. Dados do fundeio PETROBRAS BS500 para as profundidades de 46 m e 49 m no mês de janeiro.



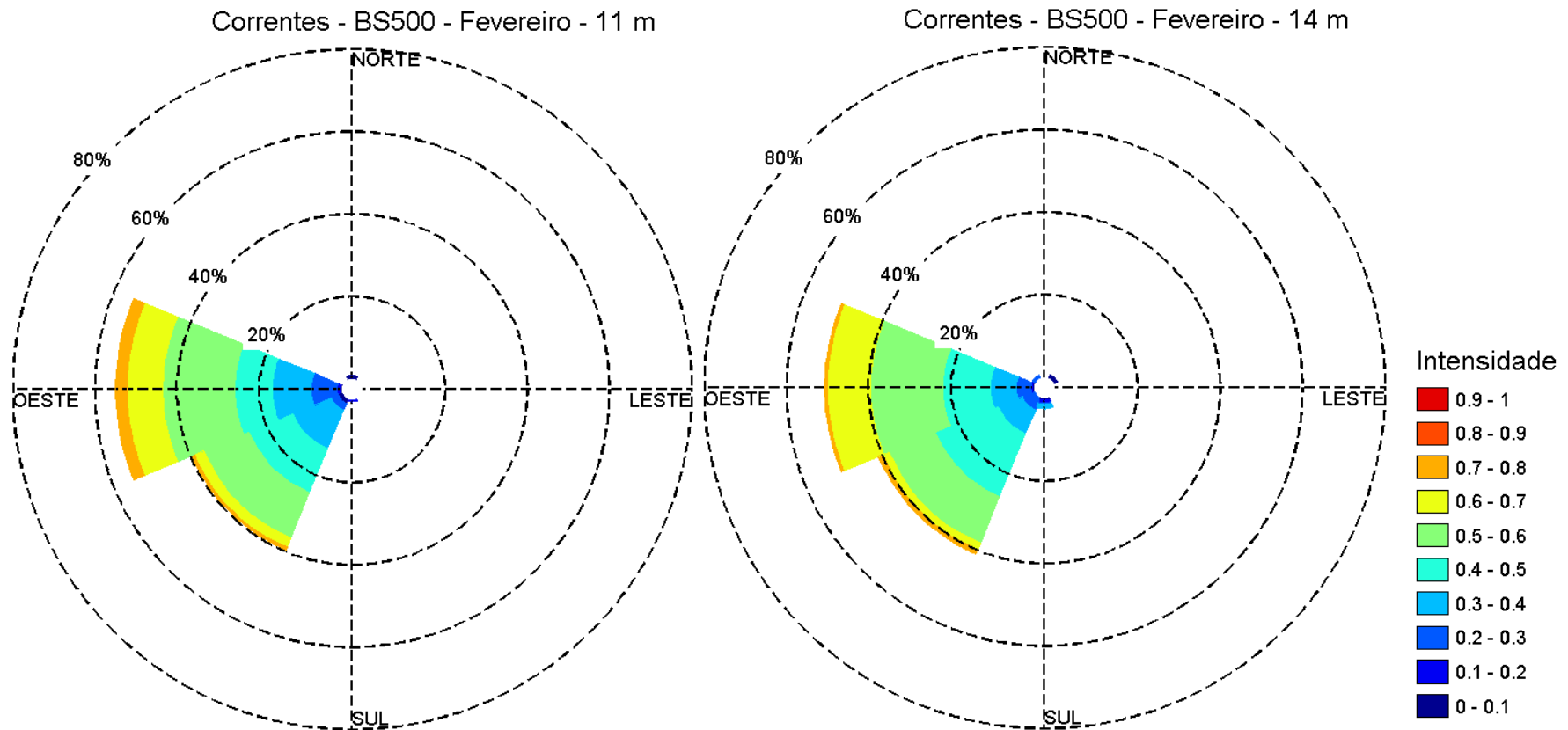
Fonte de dados: Fundeio PETROBRAS BS500

**Figura II.5.1.2-94** – Distribuição direcional da frequência de ocorrência da corrente, de acordo com a intensidade (escala graduada de cores - m/s). As circunferências mostram a frequência de ocorrência em cada direção. Dados do fundeio PETROBRAS BS500 para as profundidades de 51 m e 55 m no mês de janeiro.



Fonte de dados: Fundeio PETROBRAS BS500

**Figura II.5.1.2-95** – Distribuição direcional da frequência de ocorrência da corrente, de acordo com a intensidade (escala graduada de cores - m/s). As circunferências mostram a frequência de ocorrência em cada direção. Dados do fundeio PETROBRAS BS500 para as profundidades de 6 m e 9 m no mês de fevereiro.



Fonte de dados: Fundeio PETROBRAS BS500

**Figura II.5.1.2-96** – Distribuição direcional da frequência de ocorrência da corrente, de acordo com a intensidade (escala graduada de cores - m/s). As circunferências mostram a frequência de ocorrência em cada direção. Dados do fundeio PETROBRAS BS500 para as profundidades de 11 m e 14 m no mês de fevereiro.

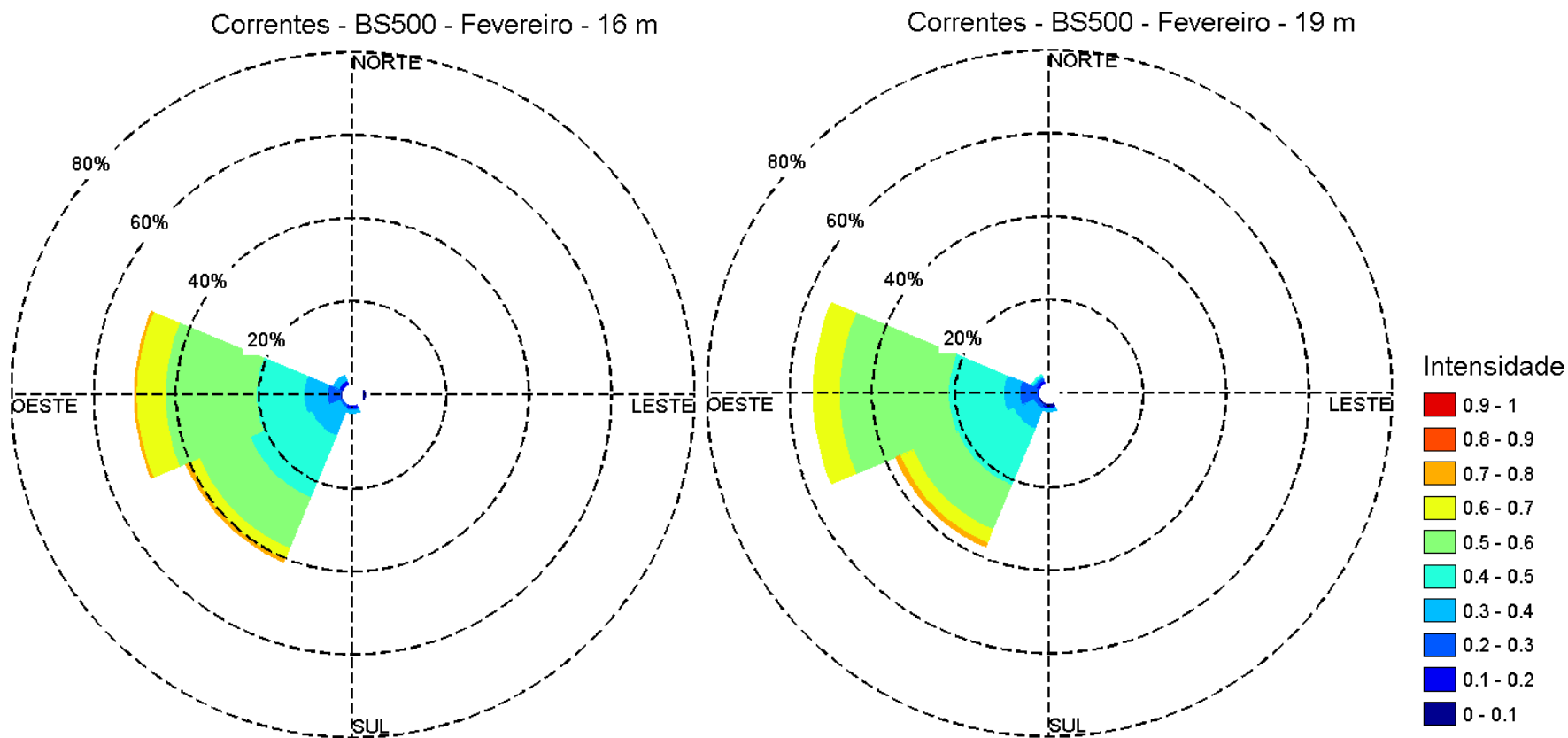


Coordenador da Equipe



Técnico Responsável

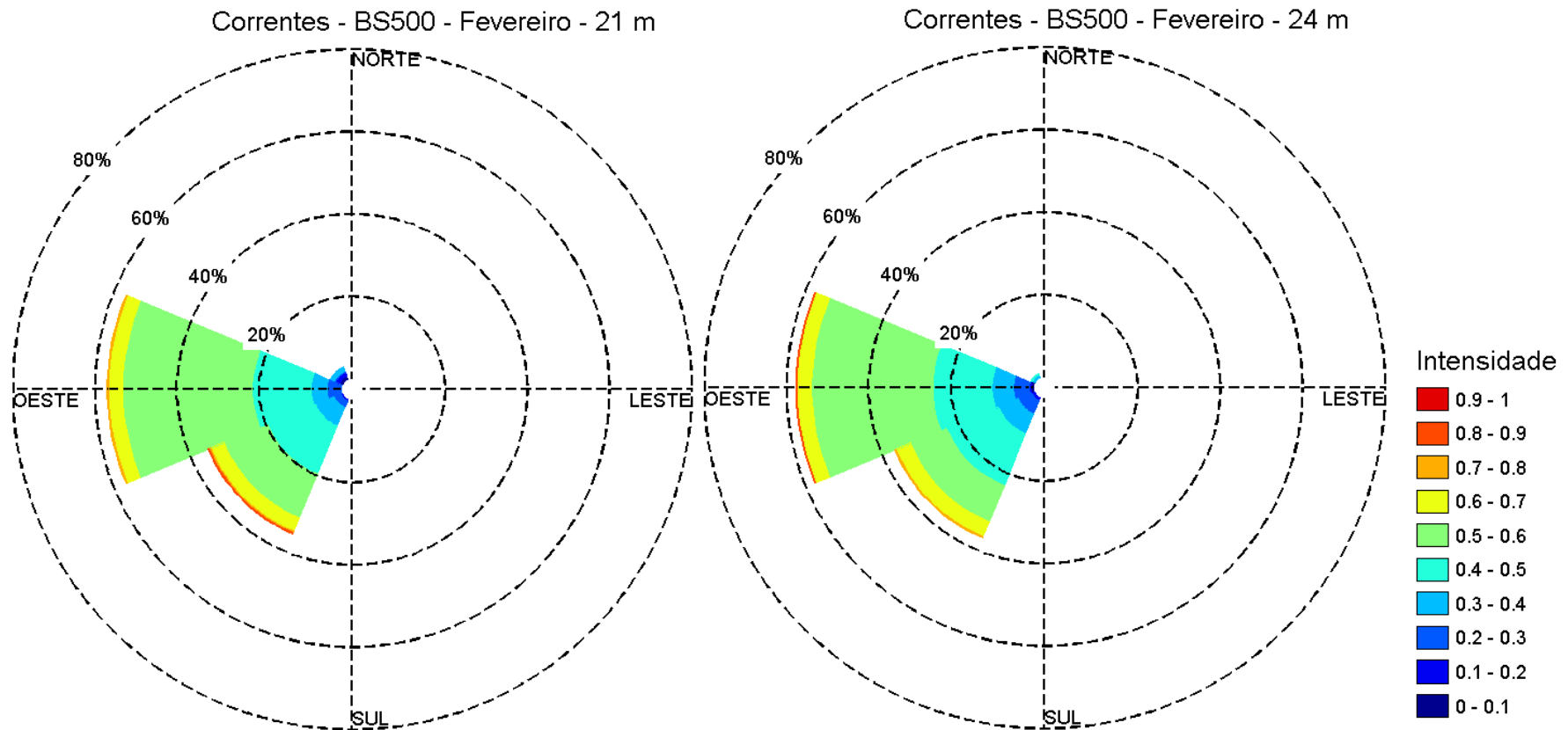
Revisão 00  
06/2014



Fonte de dados: Fundeio PETROBRAS BS500

**Figura II.5.1.2-97** – Distribuição direcional da frequência de ocorrência da corrente, de acordo com a intensidade (escala graduada de cores - m/s). As circunferências mostram a frequência de ocorrência em cada direção. Dados do fundeio PETROBRAS BS500 para as profundidades de 16 m e 19 m no mês de fevereiro.





Fonte de dados: Fundeio PETROBRAS BS500

**Figura II.5.1.2-98** – Distribuição direcional da frequência de ocorrência da corrente, de acordo com a intensidade (escala graduada de cores - m/s). As circunferências mostram a frequência de ocorrência em cada direção. Dados do fundeio PETROBRAS BS500 para as profundidades de 21 m e 24 m no mês de fevereiro.

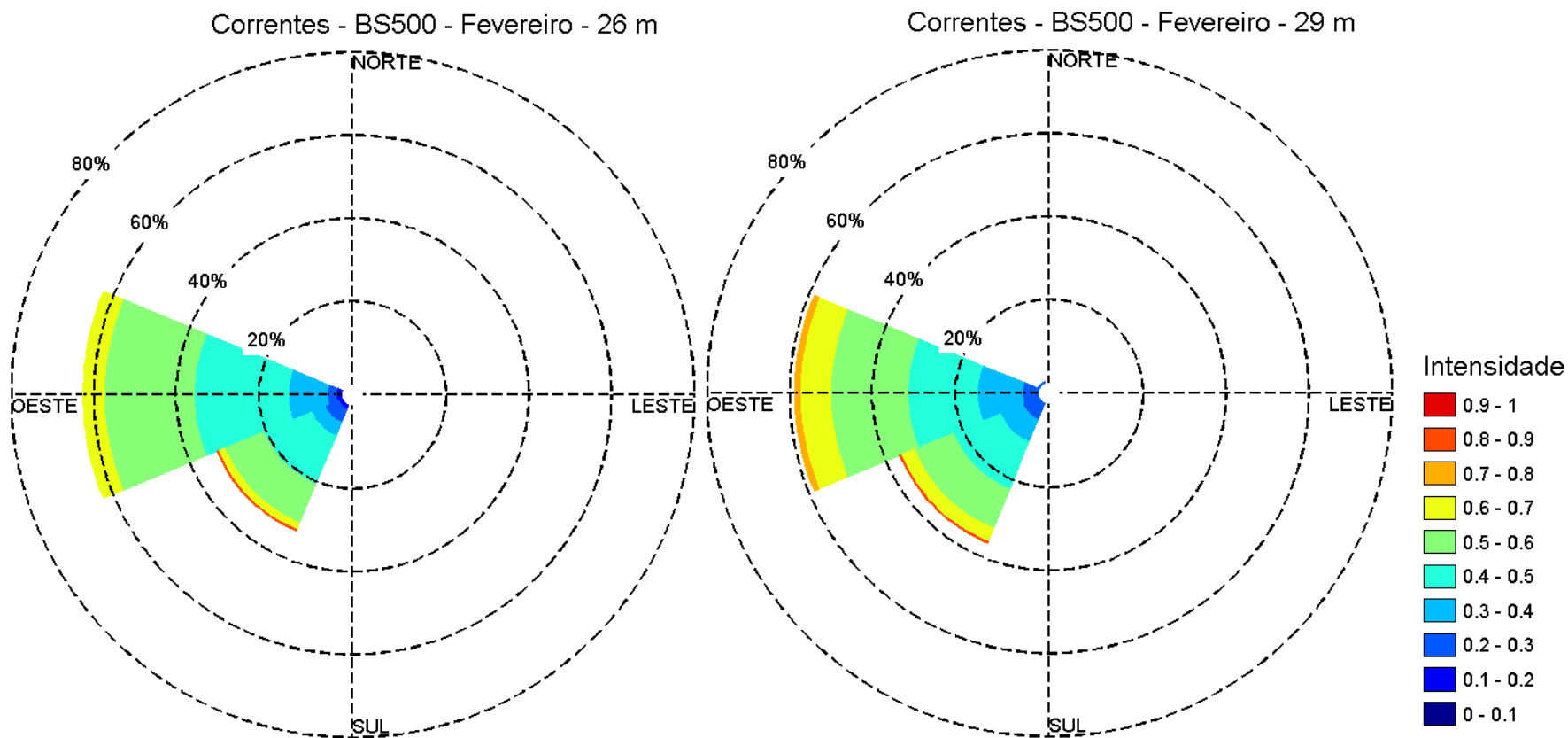


Coordenador da Equipe



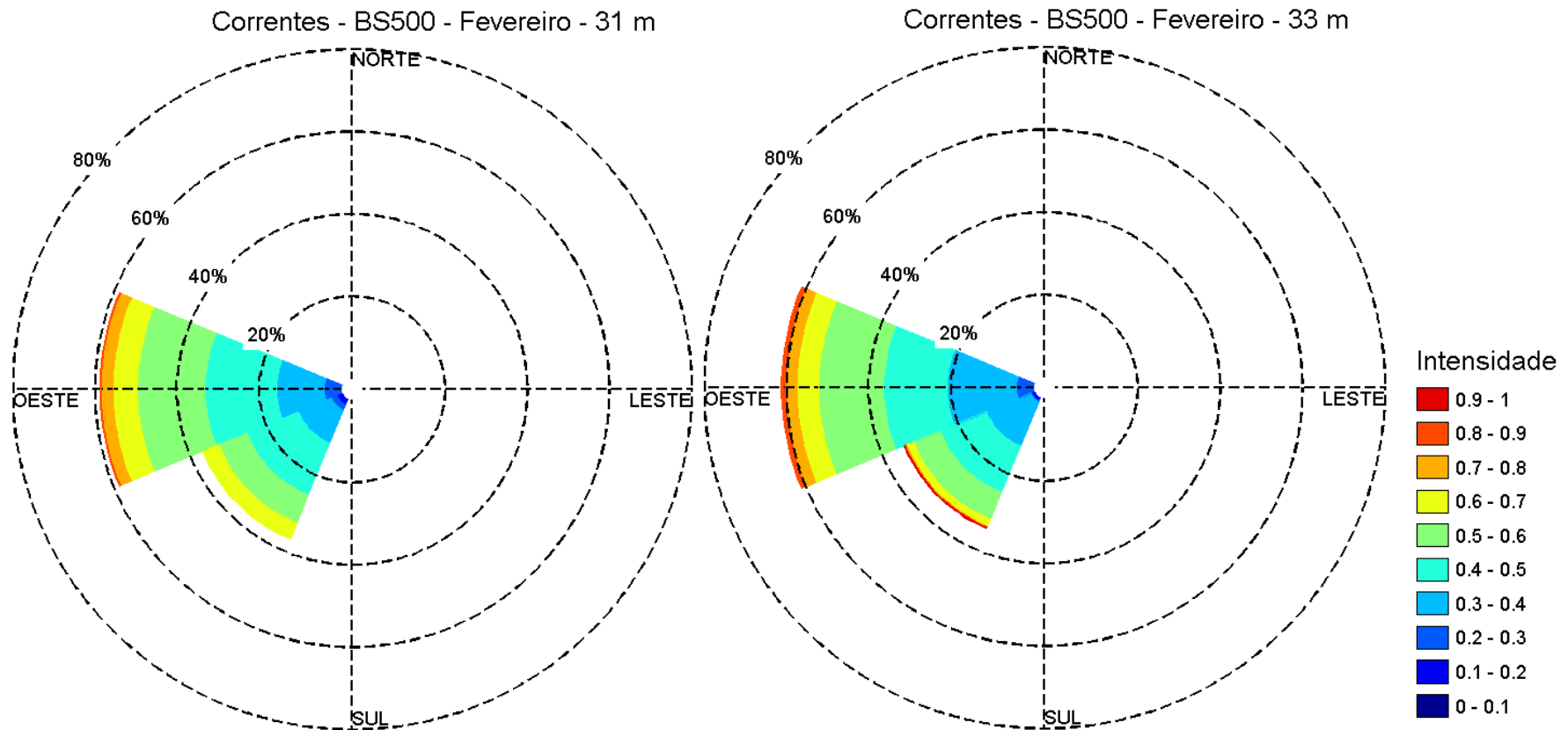
Técnico Responsável

Revisão 00  
06/2014



Fonte de dados: Fundeio PETROBRAS BS500

**Figura II.5.1.2-99** – Distribuição direcional da frequência de ocorrência da corrente, de acordo com a intensidade (escala graduada de cores - m/s). As circunferências mostram a frequência de ocorrência em cada direção. Dados do fundeio PETROBRAS BS500 para as profundidades de 26 m e 29 m no mês de fevereiro.



Fonte de dados: Fundeio PETROBRAS BS500

**Figura II.5.1.2-100** – Distribuição direcional da frequência de ocorrência da corrente, de acordo com a intensidade (escala graduada de cores - m/s). As circunferências mostram a frequência de ocorrência em cada direção. Dados do fundeio PETROBRAS BS500 para as profundidades de 31 m e 33 m no mês de fevereiro.

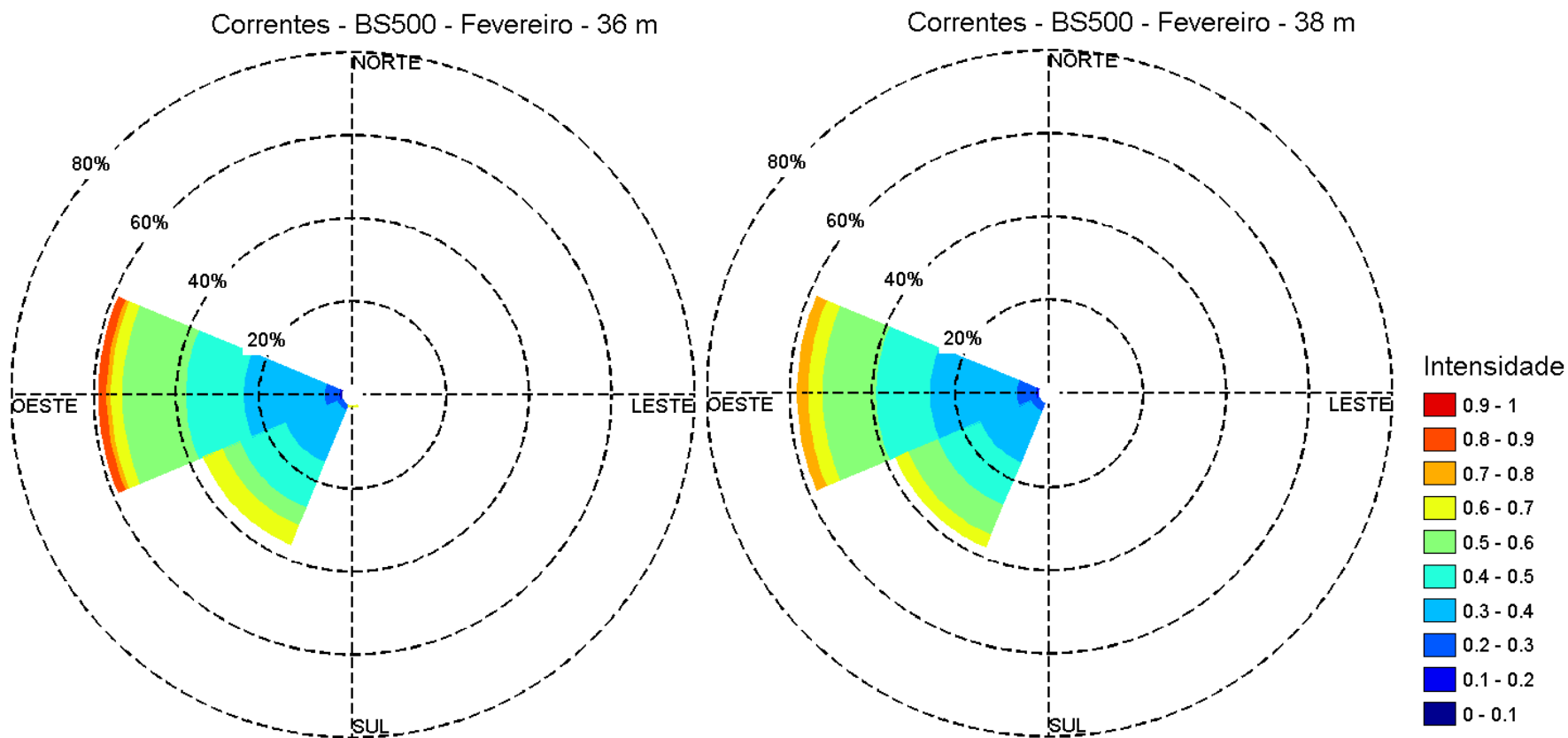


Coordenador da Equipe



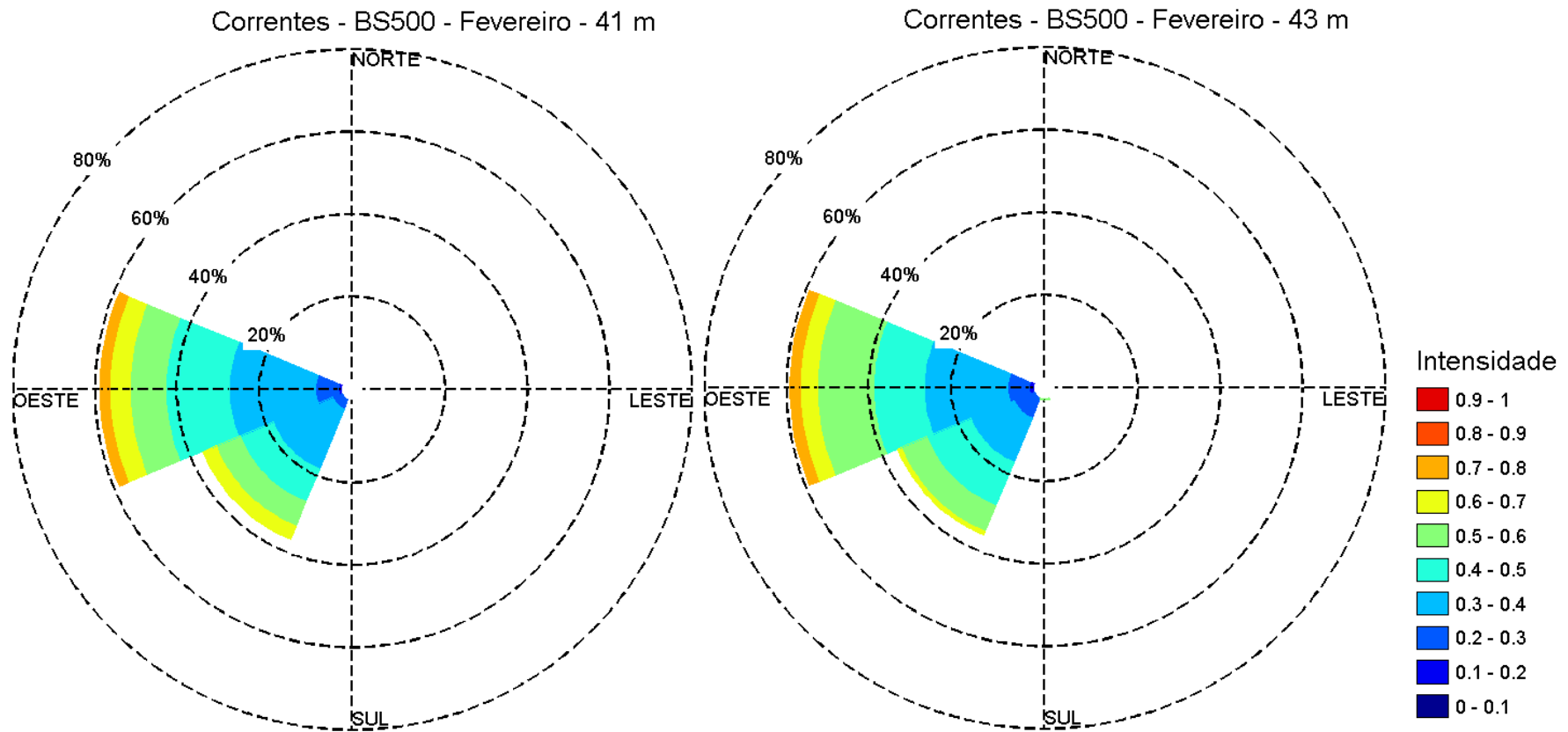
Técnico Responsável

Revisão 00  
06/2014



Fonte de dados: Fundeio PETROBRAS BS500

**Figura II.5.1.2-101** – Distribuição direcional da frequência de ocorrência da corrente, de acordo com a intensidade (escala graduada de cores - m/s). As circunferências mostram a frequência de ocorrência em cada direção. Dados do fundeio PETROBRAS BS500 para as profundidades de 36 m e 38 m no mês de fevereiro.



Fonte de dados: Fundeio PETROBRAS BS500

**Figura II.5.1.2-102** – Distribuição direcional da frequência de ocorrência da corrente, de acordo com a intensidade (escala graduada de cores - m/s). As circunferências mostram a frequência de ocorrência em cada direção. Dados do fundeio PETROBRAS BS500 para as profundidades de 41 m e 43 m no mês de fevereiro.

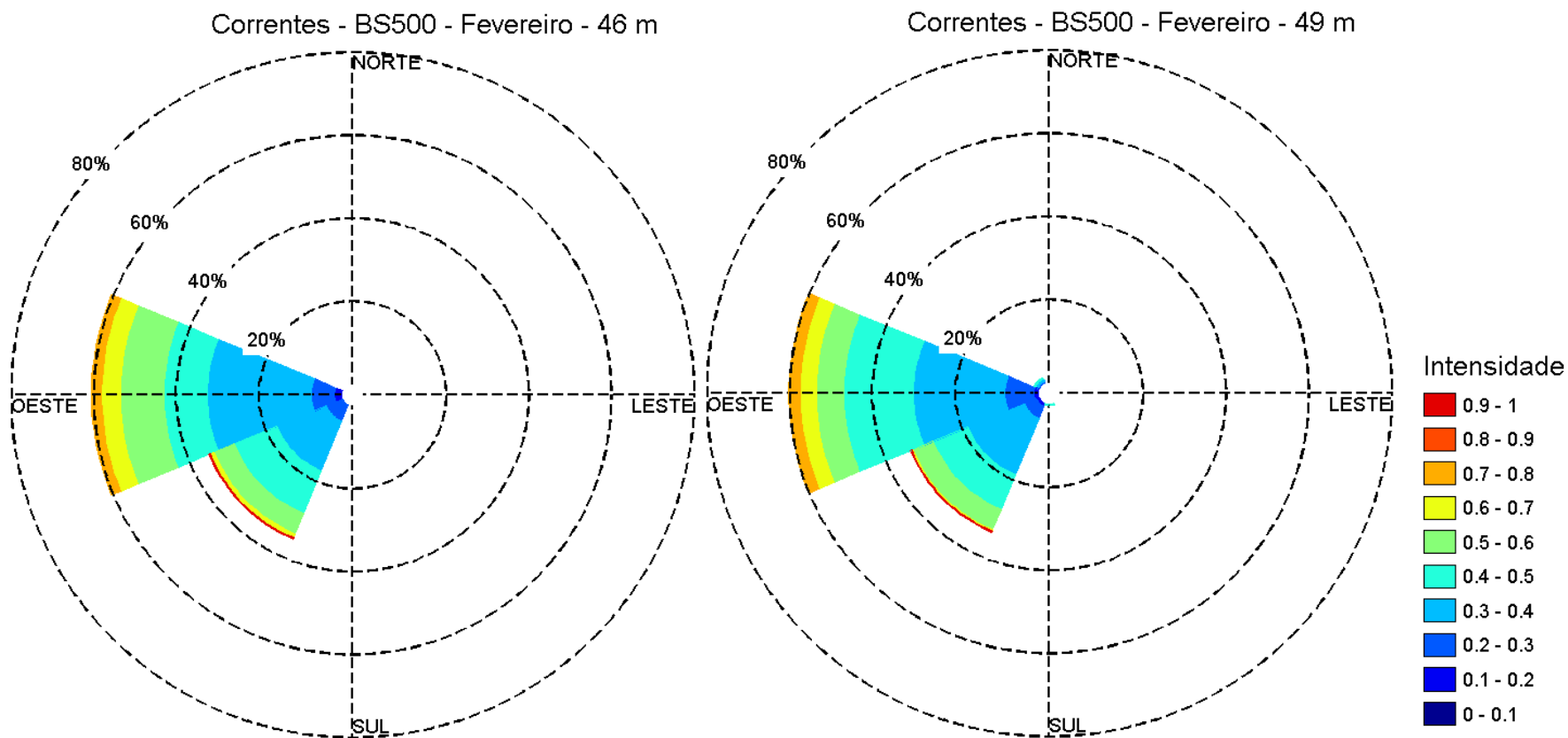


Coordenador da Equipe



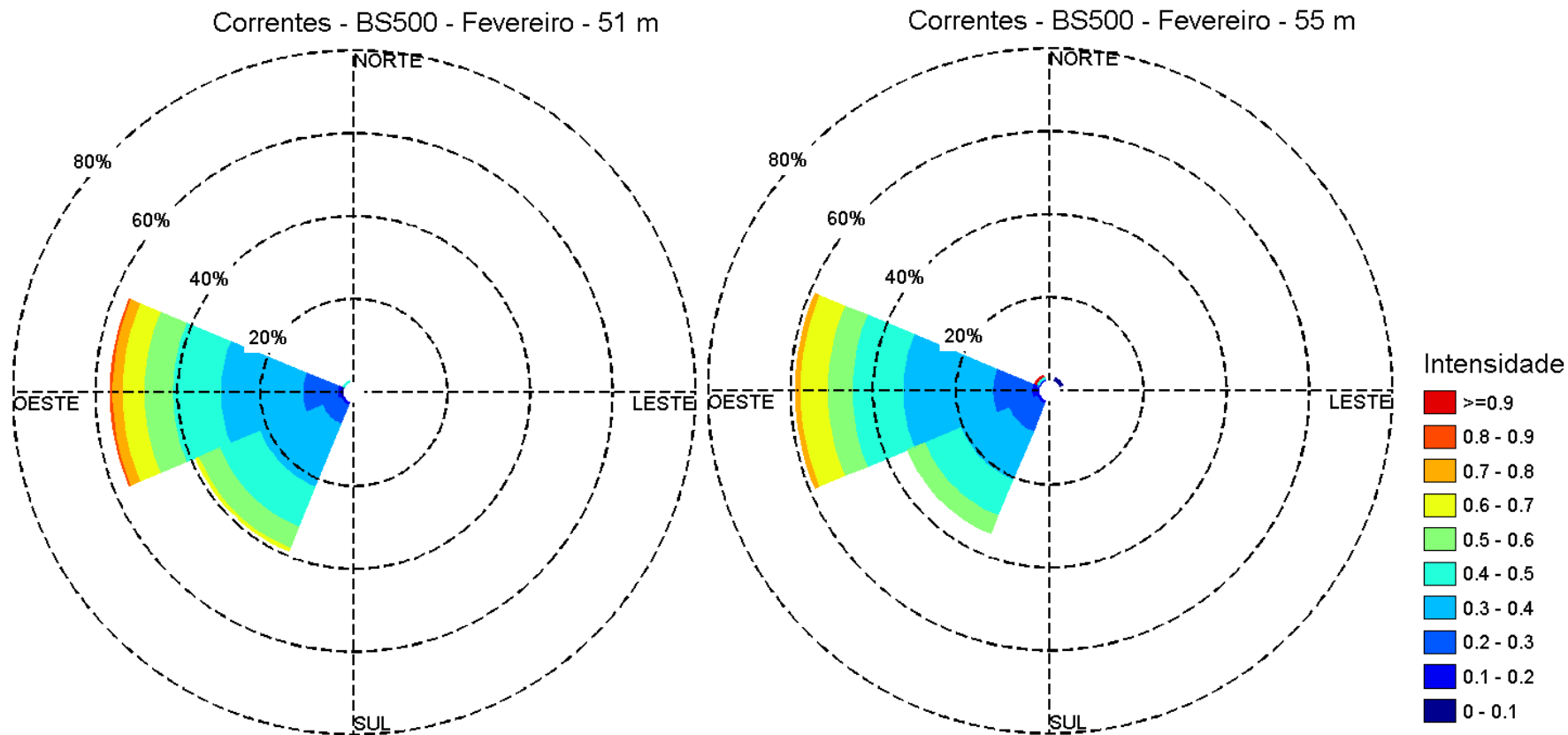
Técnico Responsável

Revisão 00  
06/2014



Fonte de dados: Fundeio PETROBRAS BS500

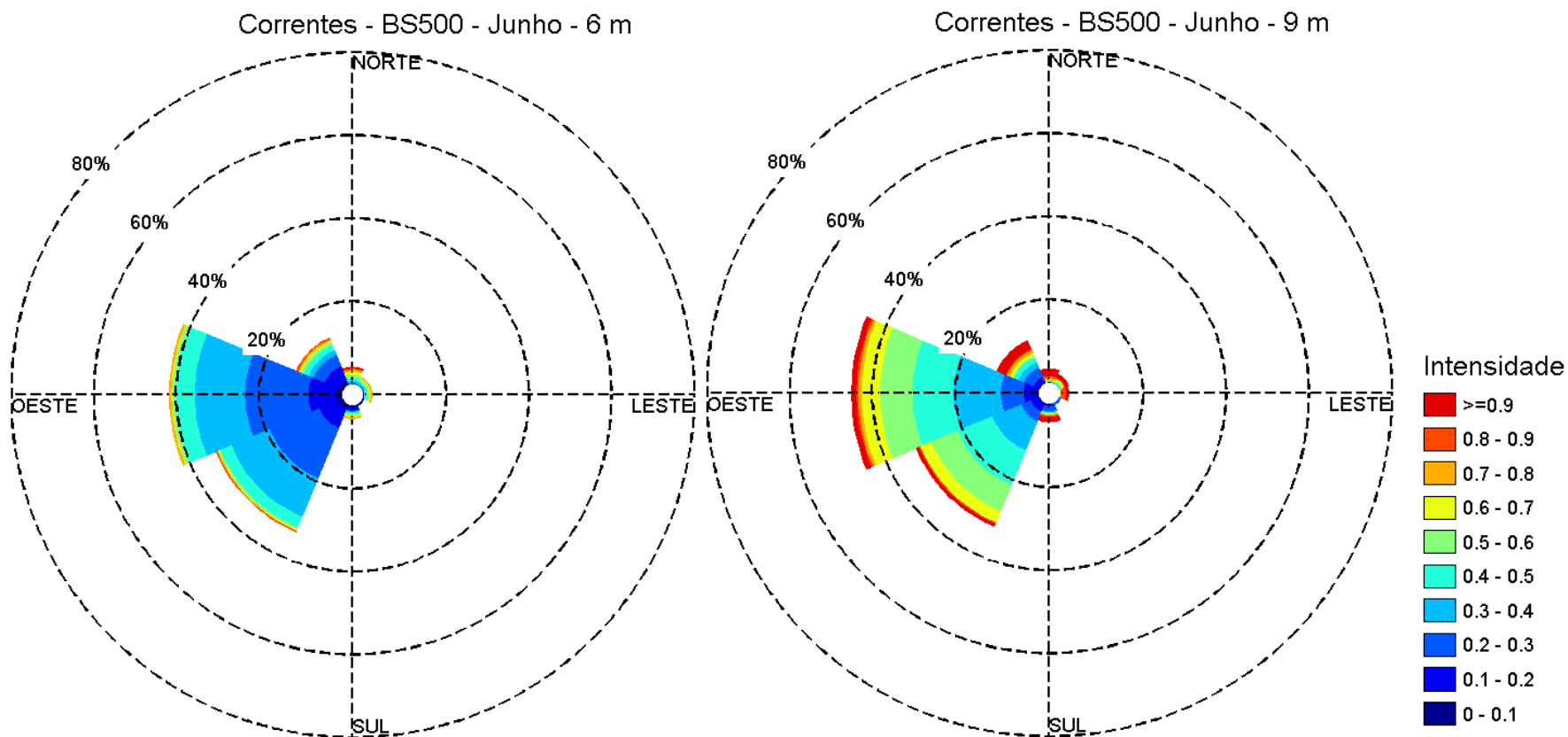
**Figura II.5.1.2-103** – Distribuição direcional da frequência de ocorrência da corrente, de acordo com a intensidade (escala graduada de cores - m/s). As circunferências mostram a frequência de ocorrência em cada direção. Dados do fundeio PETROBRAS BS500 para as profundidades de 46 m e 49 m no mês de fevereiro.



Fonte de dados: Fundeio PETROBRAS BS500

**Figura II.5.1.2-104** – Distribuição direcional da frequência de ocorrência da corrente, de acordo com a intensidade (escala graduada de cores - m/s). As circunferências mostram a frequência de ocorrência em cada direção. Dados do fundeio PETROBRAS BS500 para as profundidades de 51 m e 55 m no mês de fevereiro.

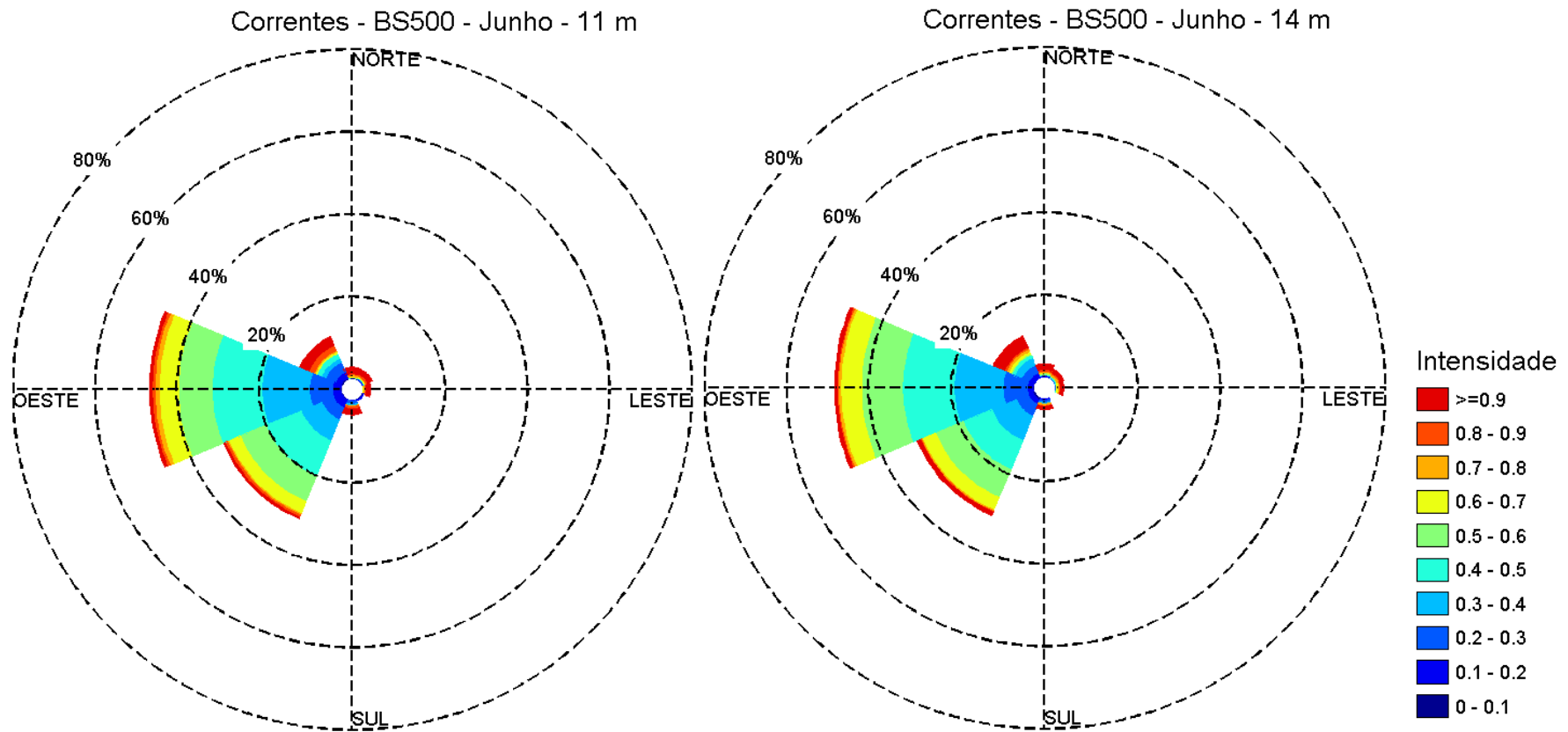




Fonte de dados: Fundeio PETROBRAS BS500

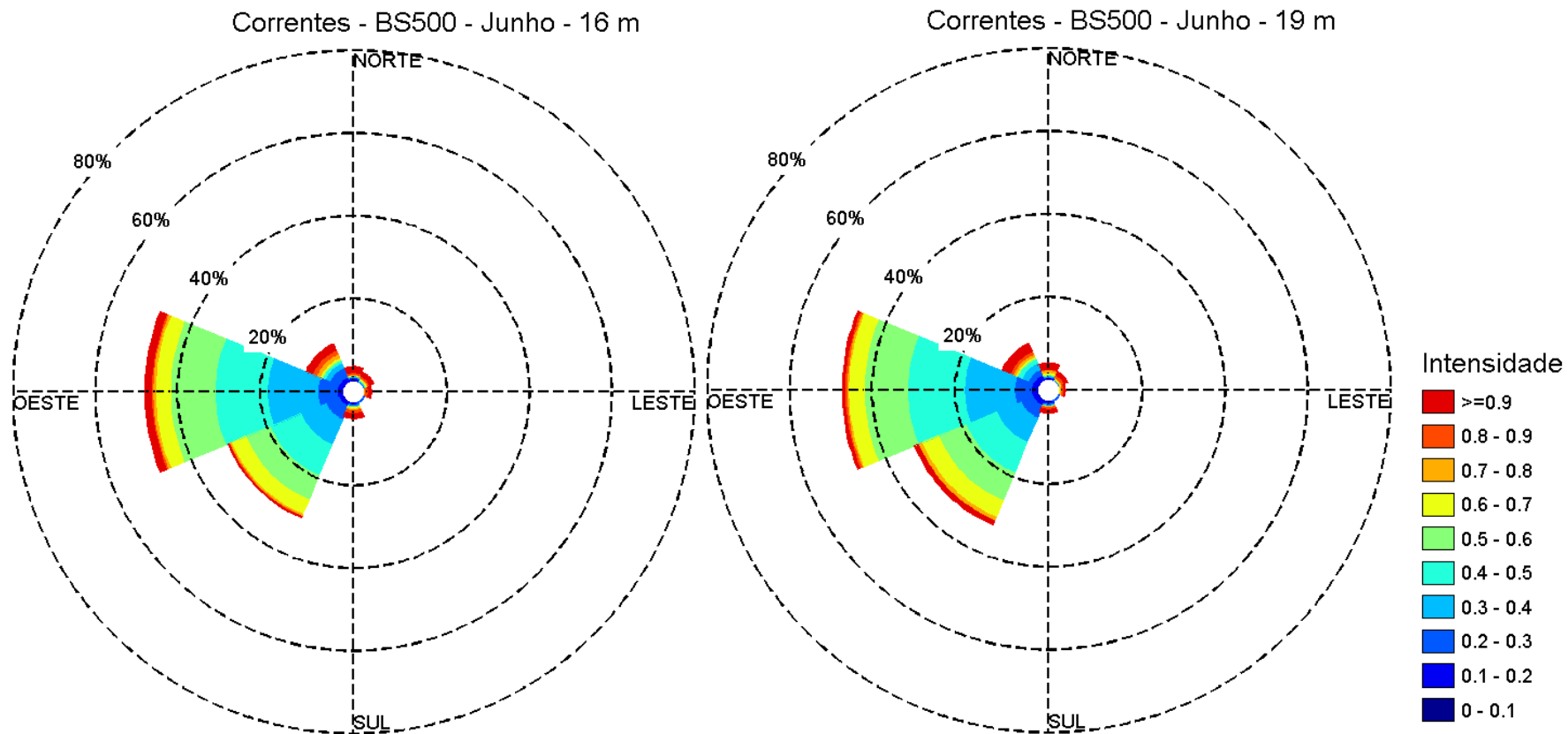
**Figura II.5.1.2-105** – Distribuição direcional da frequência de ocorrência da corrente, de acordo com a intensidade (escala graduada de cores - m/s). As circunferências mostram a frequência de ocorrência em cada direção. Dados do fundeio PETROBRAS BS500 para as profundidades de 6 m e 9 m no mês de junho.





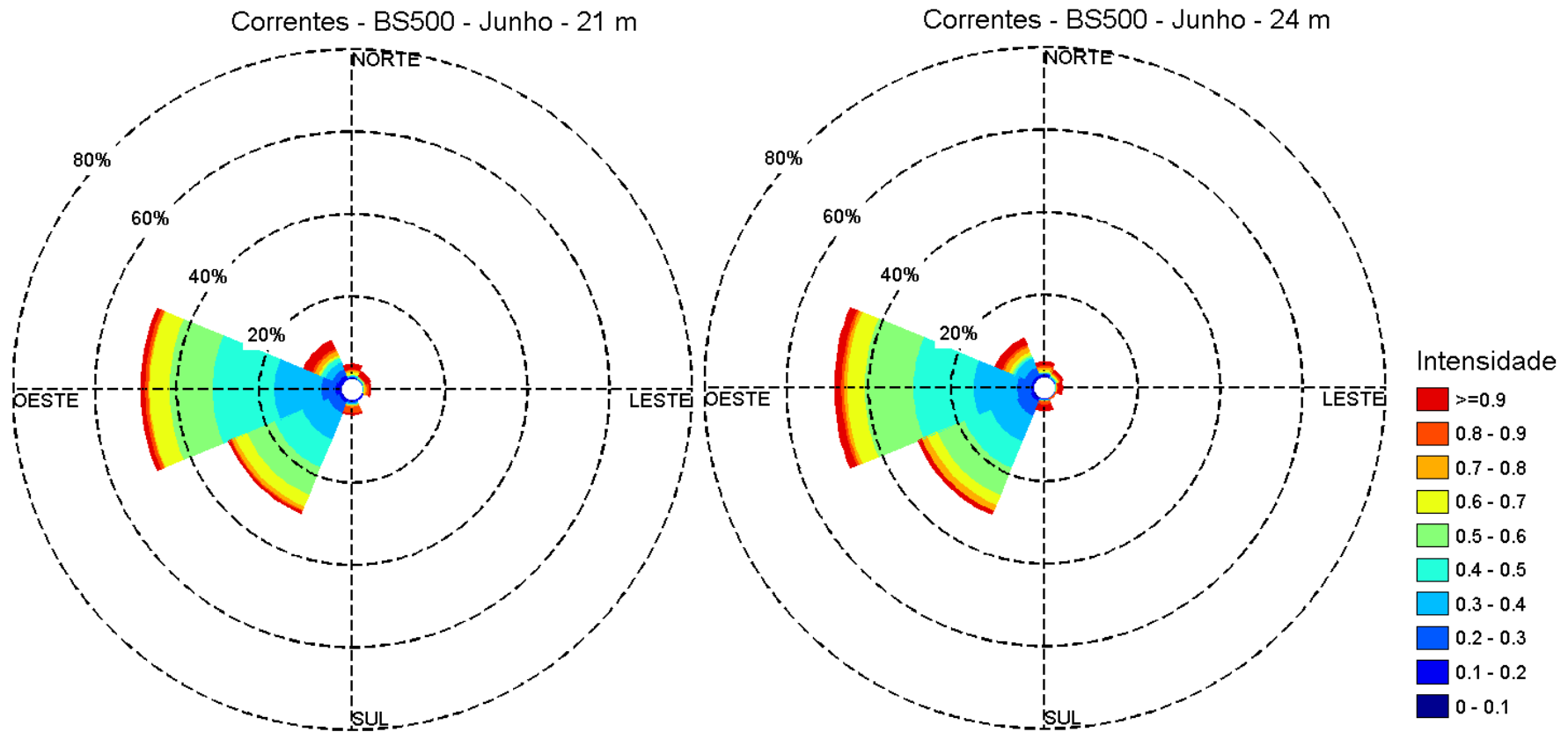
Fonte de dados: Fundeio PETROBRAS BS500

**Figura II.5.1.2-106** – Distribuição direcional da frequência de ocorrência da corrente, de acordo com a intensidade (escala graduada de cores - m/s). As circunferências mostram a frequência de ocorrência em cada direção. Dados do fundeio PETROBRAS BS500 para as profundidades de 11 m e 14 m no mês de junho.



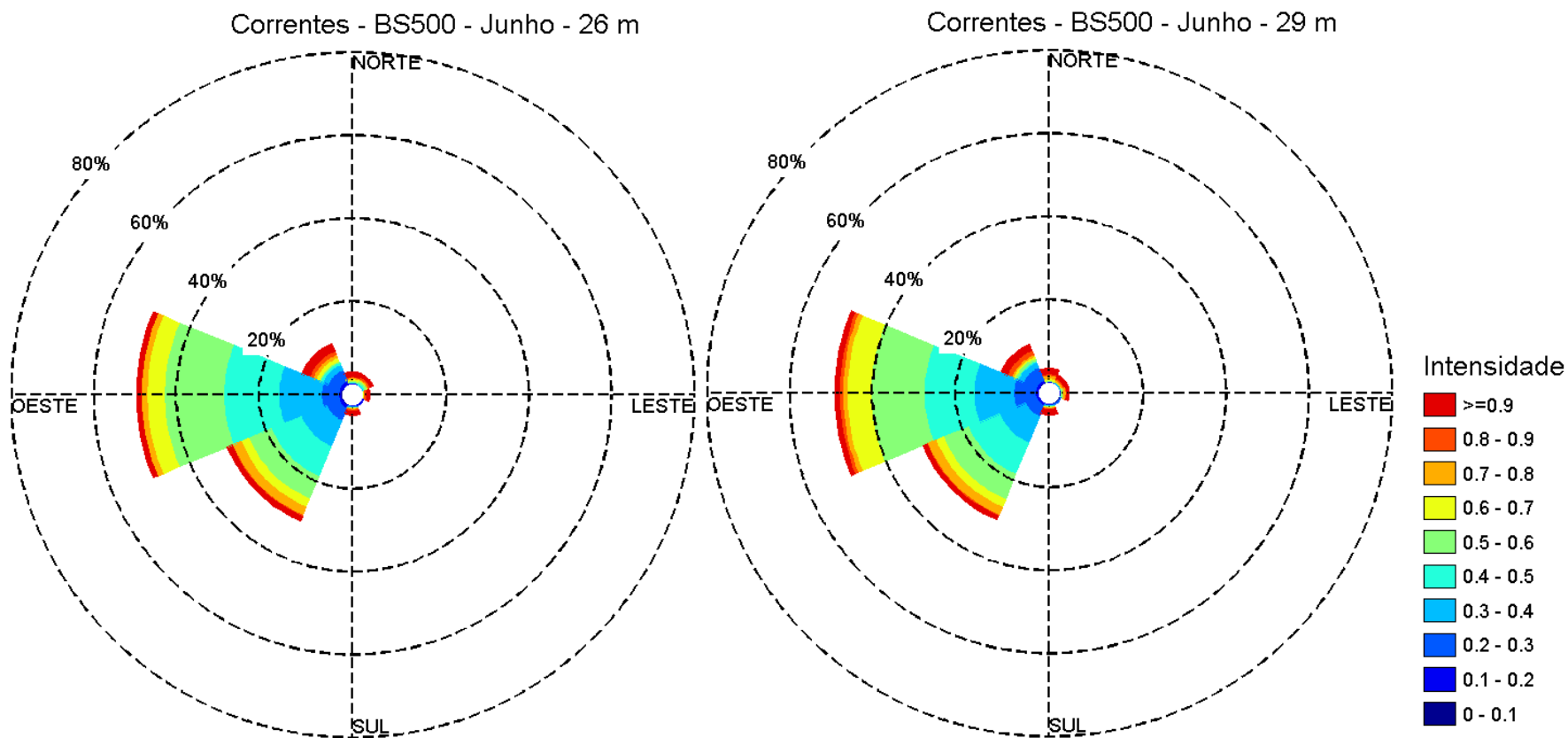
Fonte de dados: Fundeio PETROBRAS BS500

**Figura II.5.1.2-107** – Distribuição direcional da frequência de ocorrência da corrente, de acordo com a intensidade (escala graduada de cores - m/s). As circunferências mostram a frequência de ocorrência em cada direção. Dados do fundeio PETROBRAS BS500 para as profundidades de 16 m e 19 m no mês de junho.



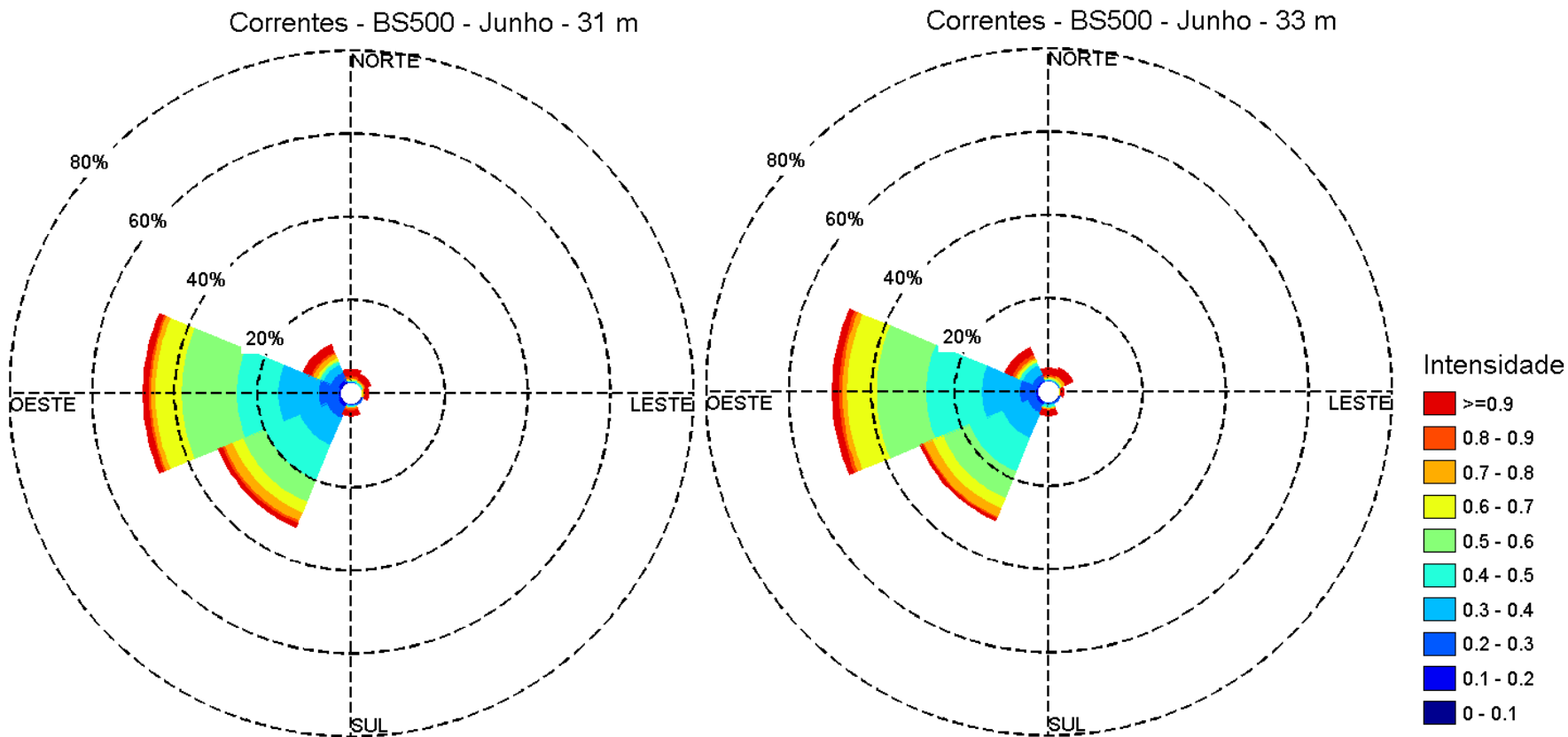
Fonte de dados: Fundeio PETROBRAS BS500

**Figura II.5.1.2-108** – Distribuição direcional da frequência de ocorrência da corrente, de acordo com a intensidade (escala graduada de cores - m/s). As circunferências mostram a frequência de ocorrência em cada direção. Dados do fundeio PETROBRAS BS500 para as profundidades de 21 m e 24 m no mês de junho.



Fonte de dados: Fundeio PETROBRAS BS500

**Figura II.5.1.2-109** – Distribuição direcional da frequência de ocorrência da corrente, de acordo com a intensidade (escala graduada de cores - m/s). As circunferências mostram a frequência de ocorrência em cada direção. Dados do fundeio PETROBRAS BS500 para as profundidades de 26 m e 29 m no mês de junho.



Fonte de dados: Fundeio PETROBRAS BS500

**Figura II.5.1.2-110** – Distribuição direcional da frequência de ocorrência da corrente, de acordo com a intensidade (escala graduada de cores - m/s). As circunferências mostram a frequência de ocorrência em cada direção. Dados do fundeio PETROBRAS BS500 para as profundidades de 31 m e 33 m no mês de junho.

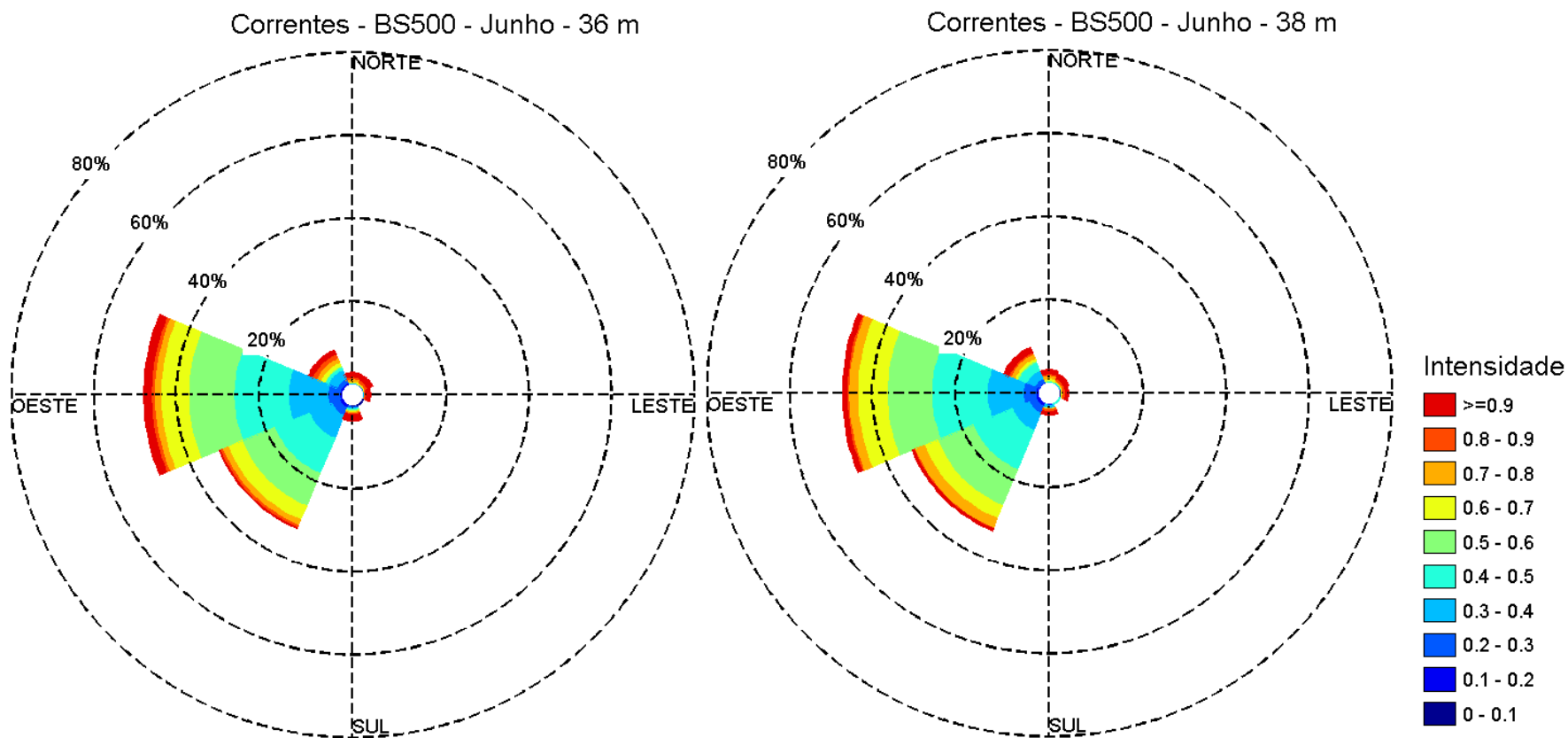


Coordenador da Equipe



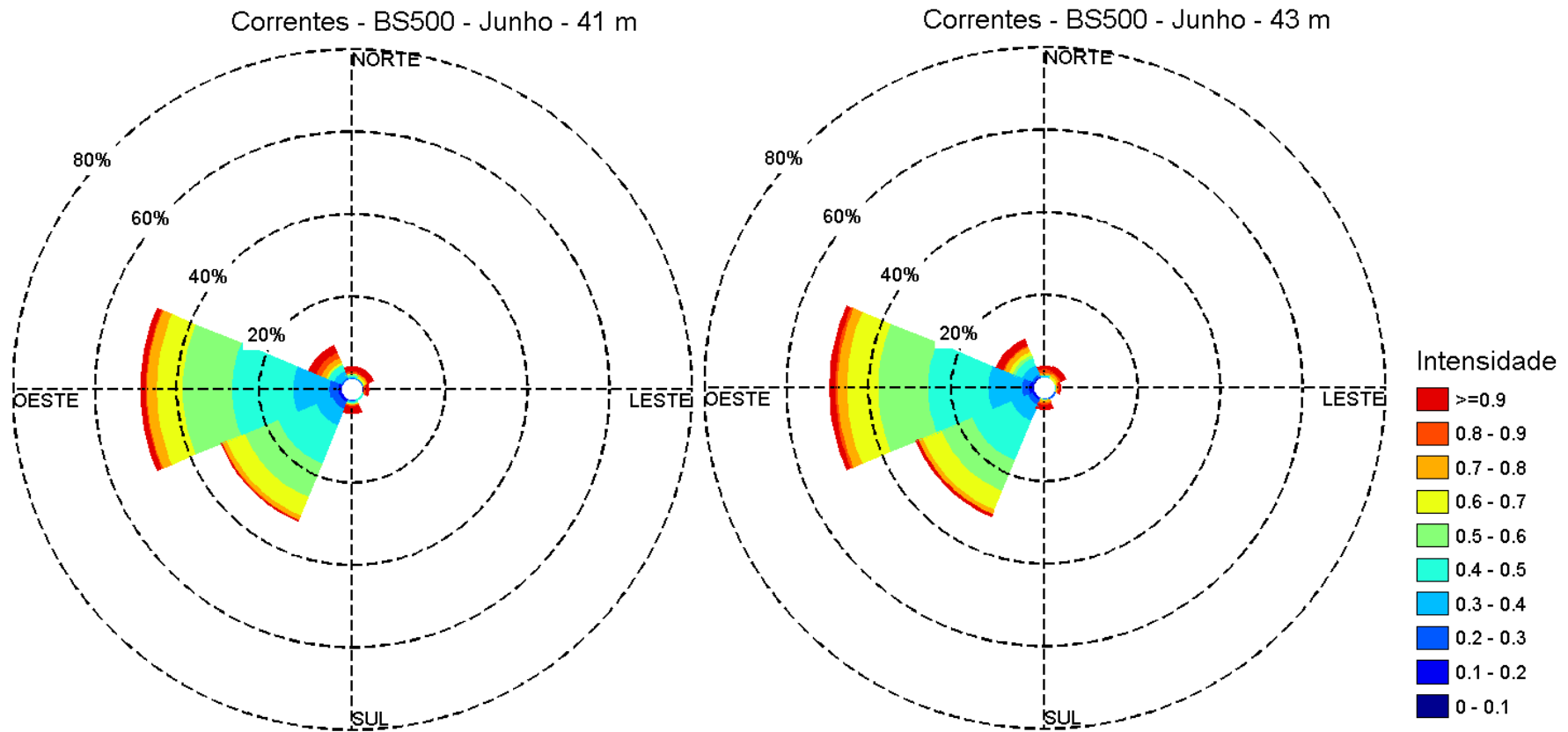
Técnico Responsável

Revisão 00  
06/2014



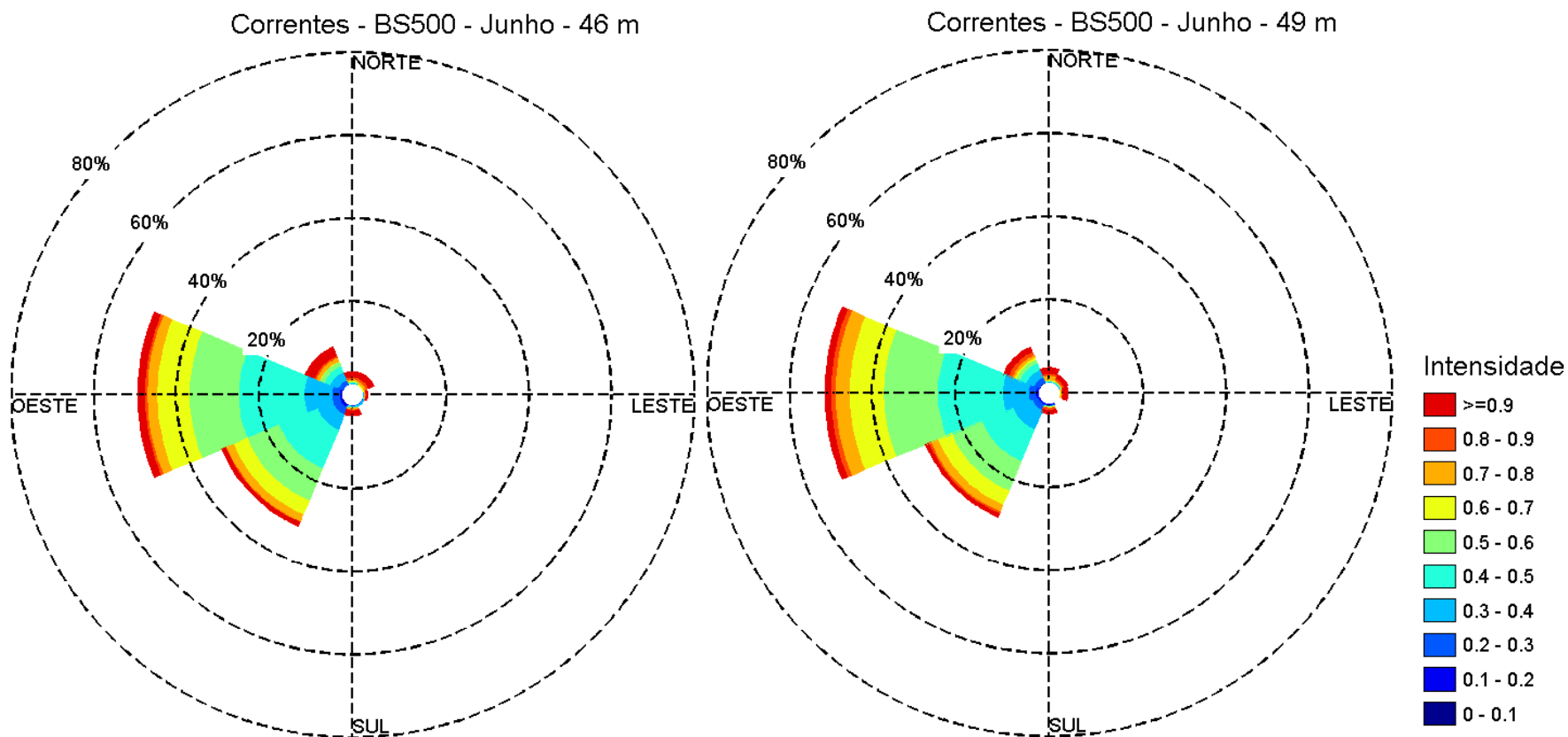
Fonte de dados: Fundeio PETROBRAS BS500

**Figura II.5.1.2-111** – Distribuição direcional da frequência de ocorrência da corrente, de acordo com a intensidade (escala graduada de cores - m/s). As circunferências mostram a frequência de ocorrência em cada direção. Dados do fundeio PETROBRAS BS500 para as profundidades de 36 m e 38 m no mês de junho.



Fonte de dados: Fundeio PETROBRAS BS500

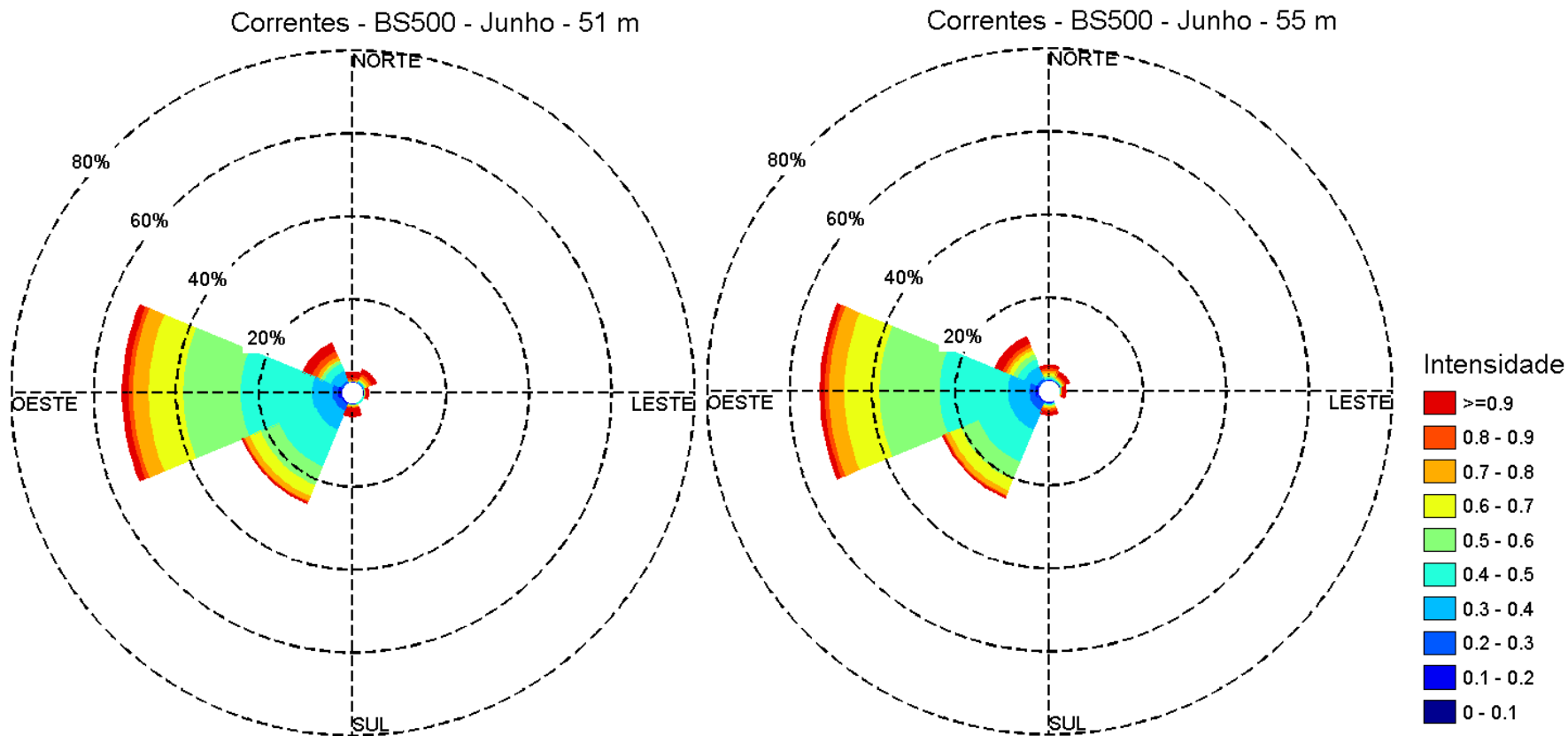
**Figura II.5.1.2-112** – Distribuição direcional da frequência de ocorrência da corrente, de acordo com a intensidade (escala graduada de cores - m/s). As circunferências mostram a frequência de ocorrência em cada direção. Dados do fundeio PETROBRAS BS500 para as profundidades de 41 m e 43 m no mês de junho.



Fonte de dados: Fundeio PETROBRAS BS500

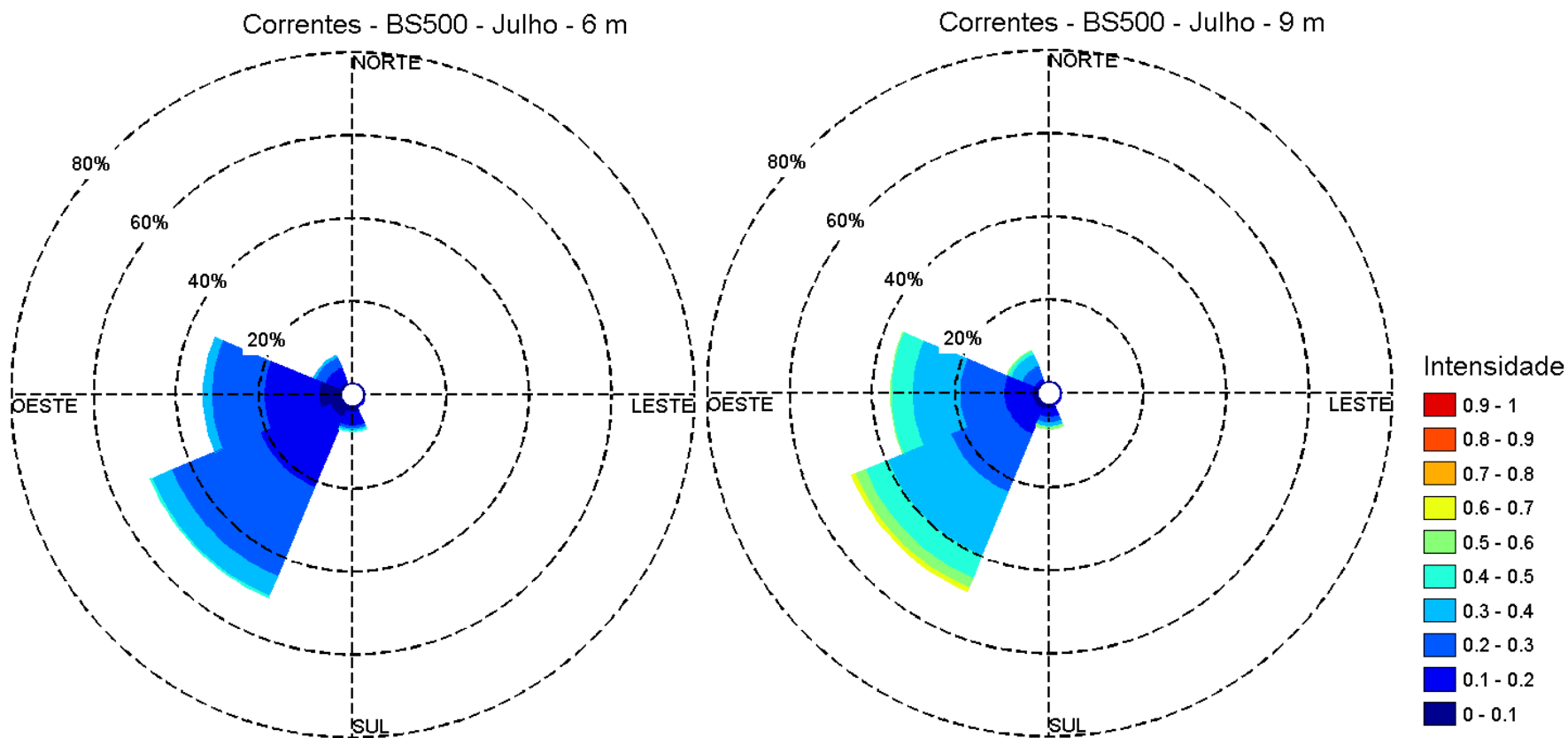
**Figura II.5.1.2-113** – Distribuição direcional da frequência de ocorrência da corrente, de acordo com a intensidade (escala graduada de cores - m/s). As circunferências mostram a frequência de ocorrência em cada direção. Dados do fundeio PETROBRAS BS500 para as profundidades de 46 m e 49 m no mês de junho.





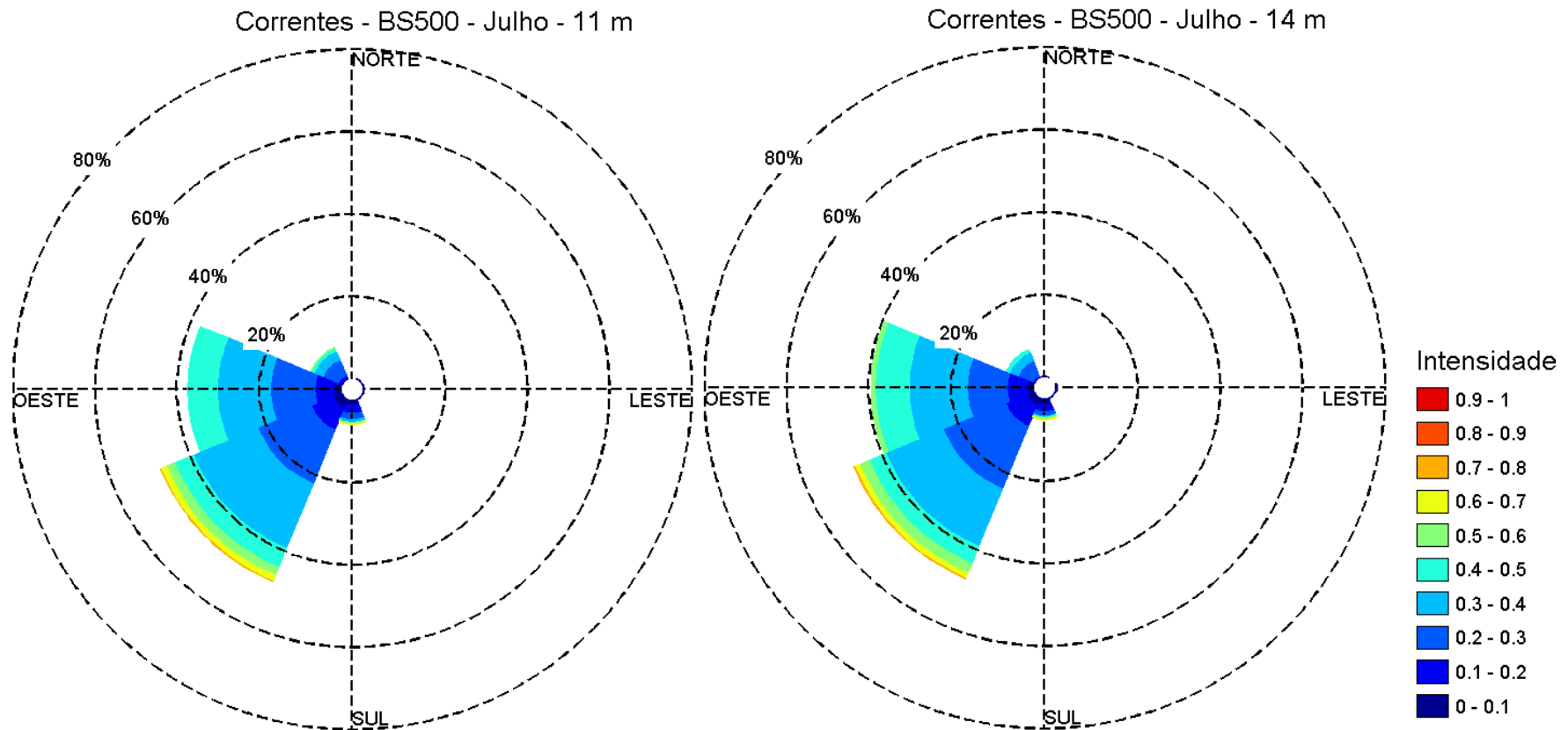
Fonte de dados: Fundeio PETROBRAS BS500

**Figura II.5.1.2-114** – Distribuição direcional da frequência de ocorrência da corrente, de acordo com a intensidade (escala graduada de cores - m/s). As circunferências mostram a frequência de ocorrência em cada direção. Dados do fundeio PETROBRAS BS500 para as profundidades de 51 m e 55 m no mês de junho.



Fonte de dados: Fundeio PETROBRAS BS500

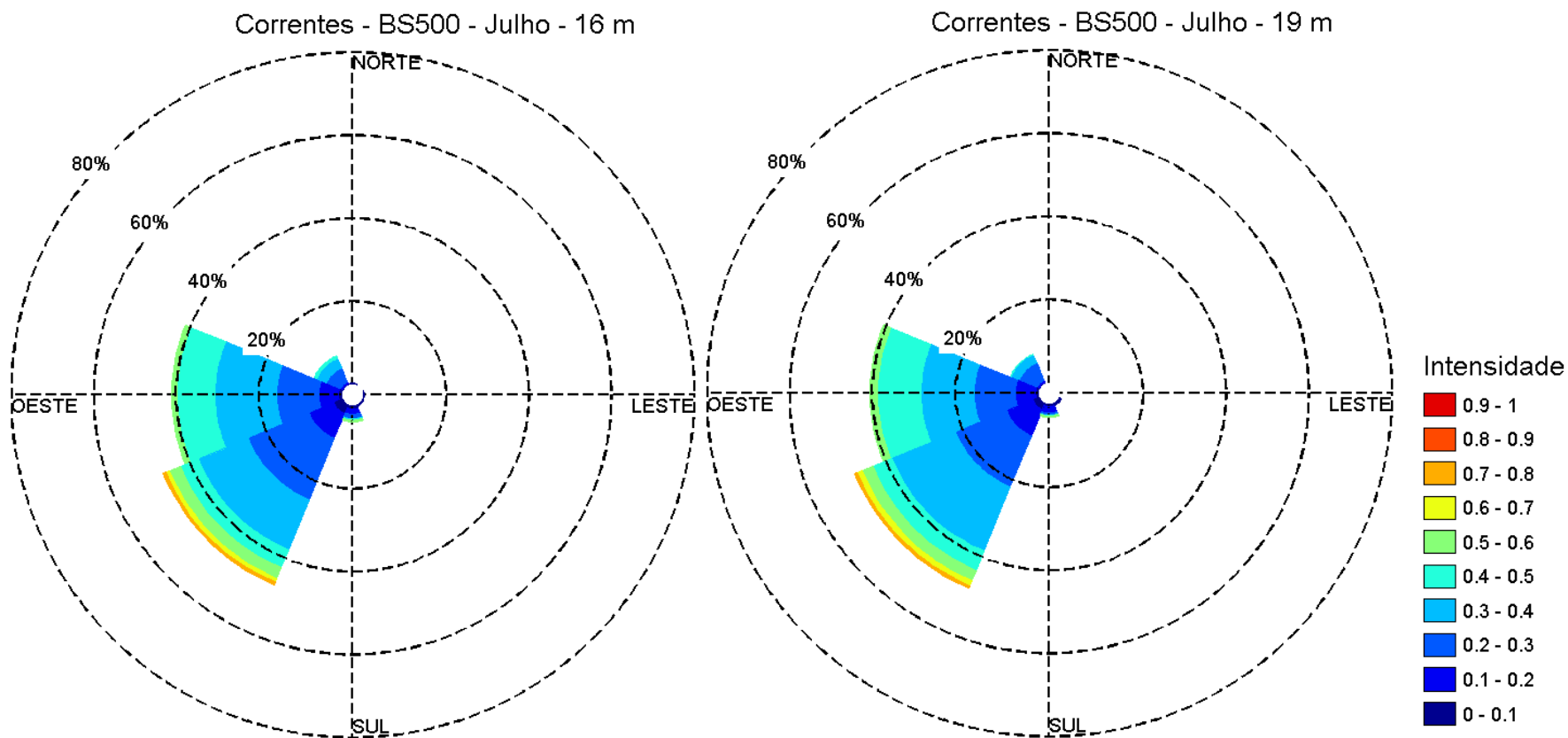
**Figura II.5.1.2-115** – Distribuição direcional da frequência de ocorrência da corrente, de acordo com a intensidade (escala graduada de cores - m/s). As circunferências mostram a frequência de ocorrência em cada direção. Dados do fundeio PETROBRAS BS500 para as profundidades de 6 m e 9 m no mês de julho.



Fonte de dados: Fundeio PETROBRAS BS500

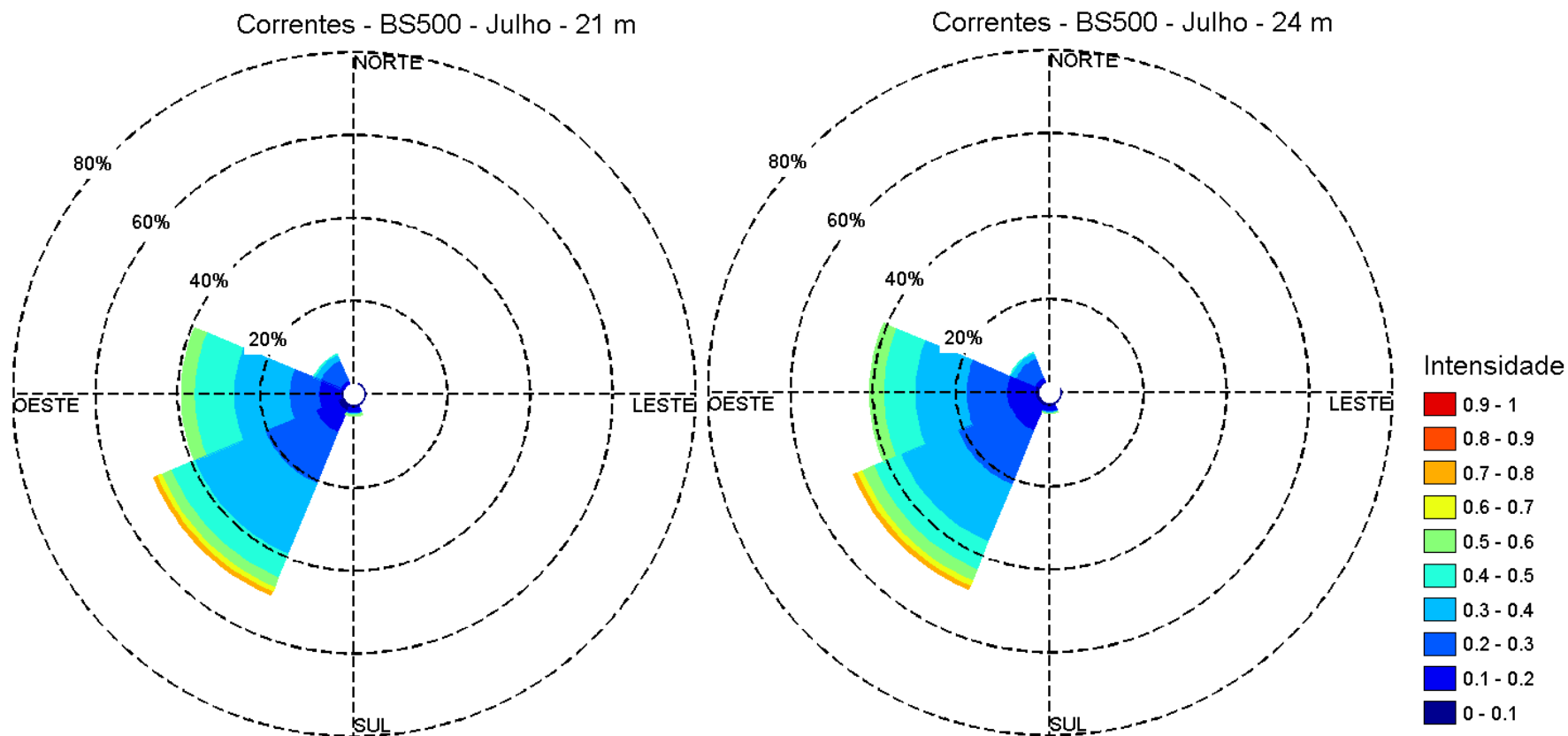
**Figura II.5.1.2-116** – Distribuição direcional da frequência de ocorrência da corrente, de acordo com a intensidade (escala graduada de cores - m/s). As circunferências mostram a frequência de ocorrência em cada direção. Dados do fundeio PETROBRAS BS500 para as profundidades de 11 m e 14 m no mês de julho.





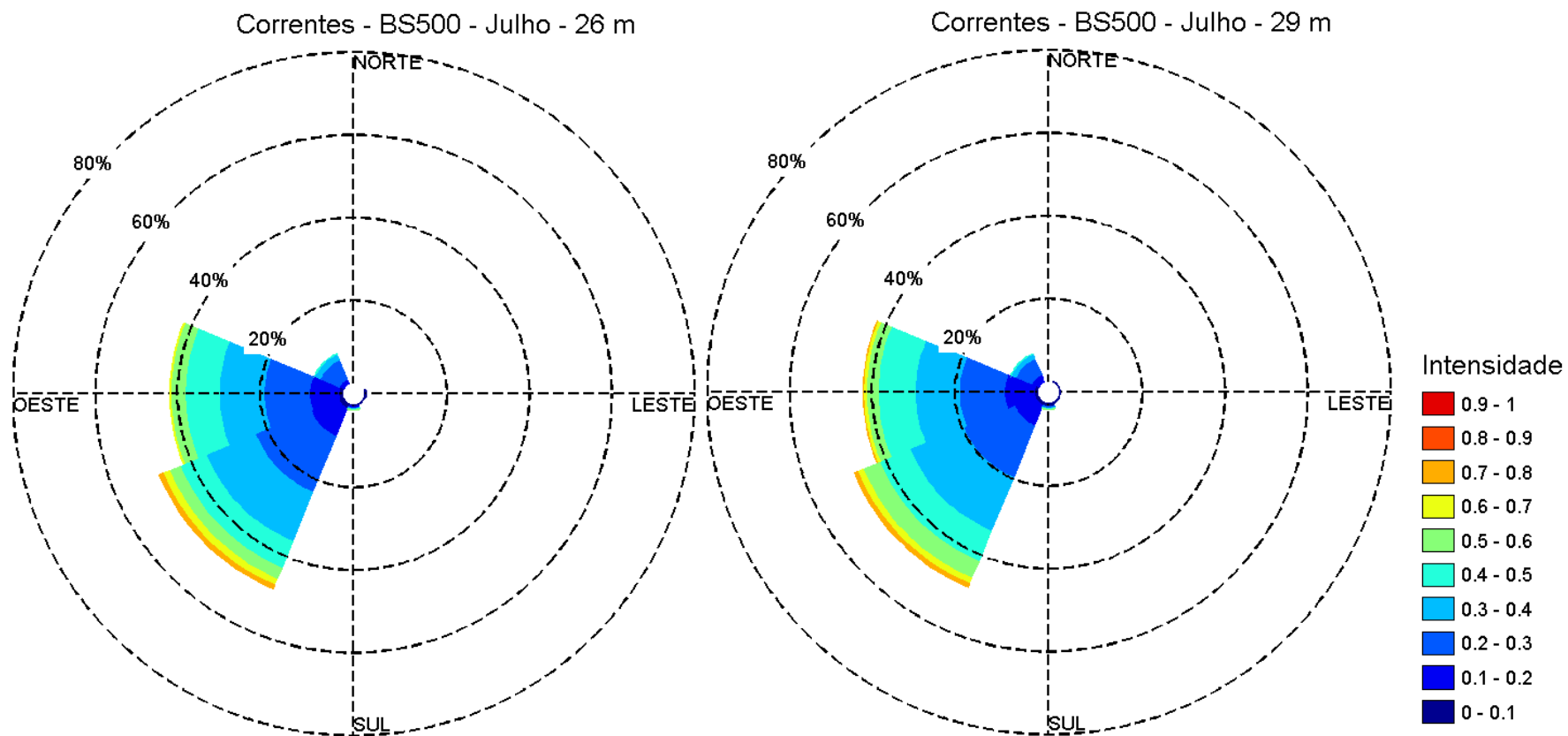
Fonte de dados: Fundeio PETROBRAS BS500

**Figura II.5.1.2-117** – Distribuição direcional da frequência de ocorrência da corrente, de acordo com a intensidade (escala graduada de cores - m/s). As circunferências mostram a frequência de ocorrência em cada direção. Dados do fundeio PETROBRAS BS500 para as profundidades de 16 m e 19 m no mês de julho.



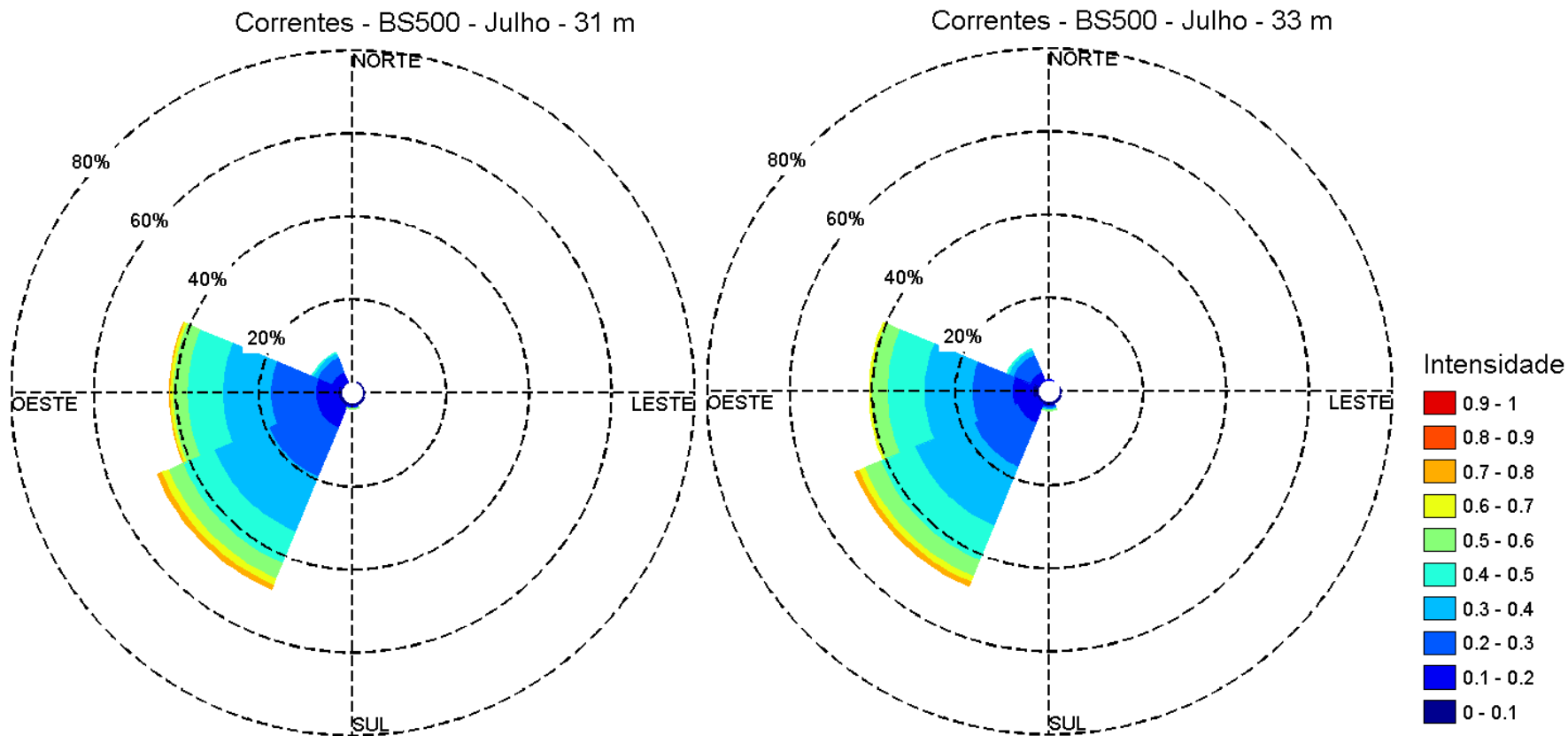
Fonte de dados: Fundeio PETROBRAS BS500

**Figura II.5.1.2-118** – Distribuição direcional da frequência de ocorrência da corrente, de acordo com a intensidade (escala graduada de cores - m/s). As circunferências mostram a frequência de ocorrência em cada direção. Dados do fundeio PETROBRAS BS500 para as profundidades de 21 m e 24 m no mês de julho.



Fonte de dados: Fundeio PETROBRAS BS500

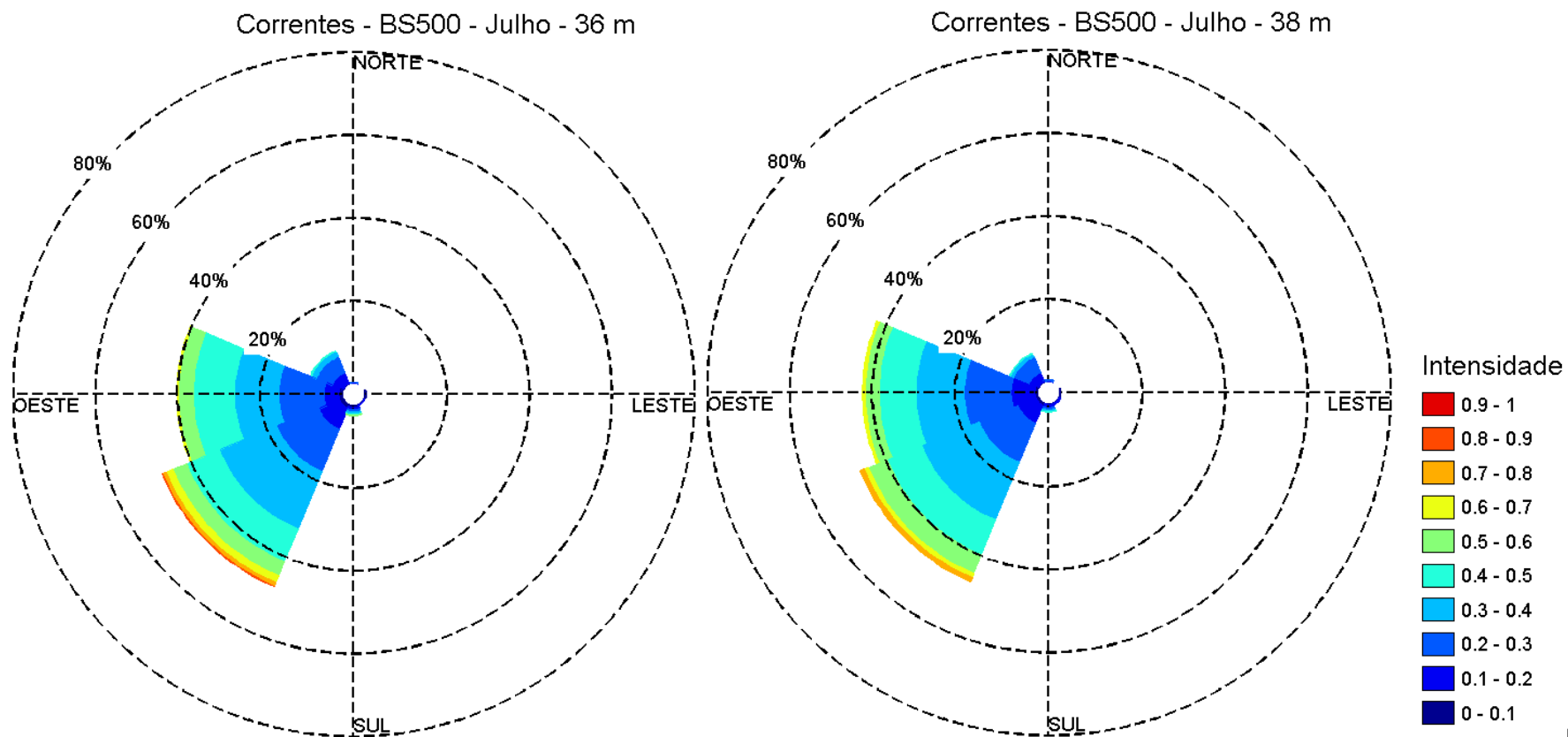
**Figura II.5.1.2-119** – Distribuição direcional da frequência de ocorrência da corrente, de acordo com a intensidade (escala graduada de cores - m/s). As circunferências mostram a frequência de ocorrência em cada direção. Dados do fundeio PETROBRAS BS500 para as profundidades de 26 m e 29 m no mês de julho.



Fonte de dados: Fundeio PETROBRAS BS500

**Figura II.5.1.2-120** – Distribuição direcional da frequência de ocorrência da corrente, de acordo com a intensidade (escala graduada de cores - m/s). As circunferências mostram a frequência de ocorrência em cada direção. Dados do fundeio PETROBRAS BS500 para as profundidades de 31 m e 33 m no mês de julho.



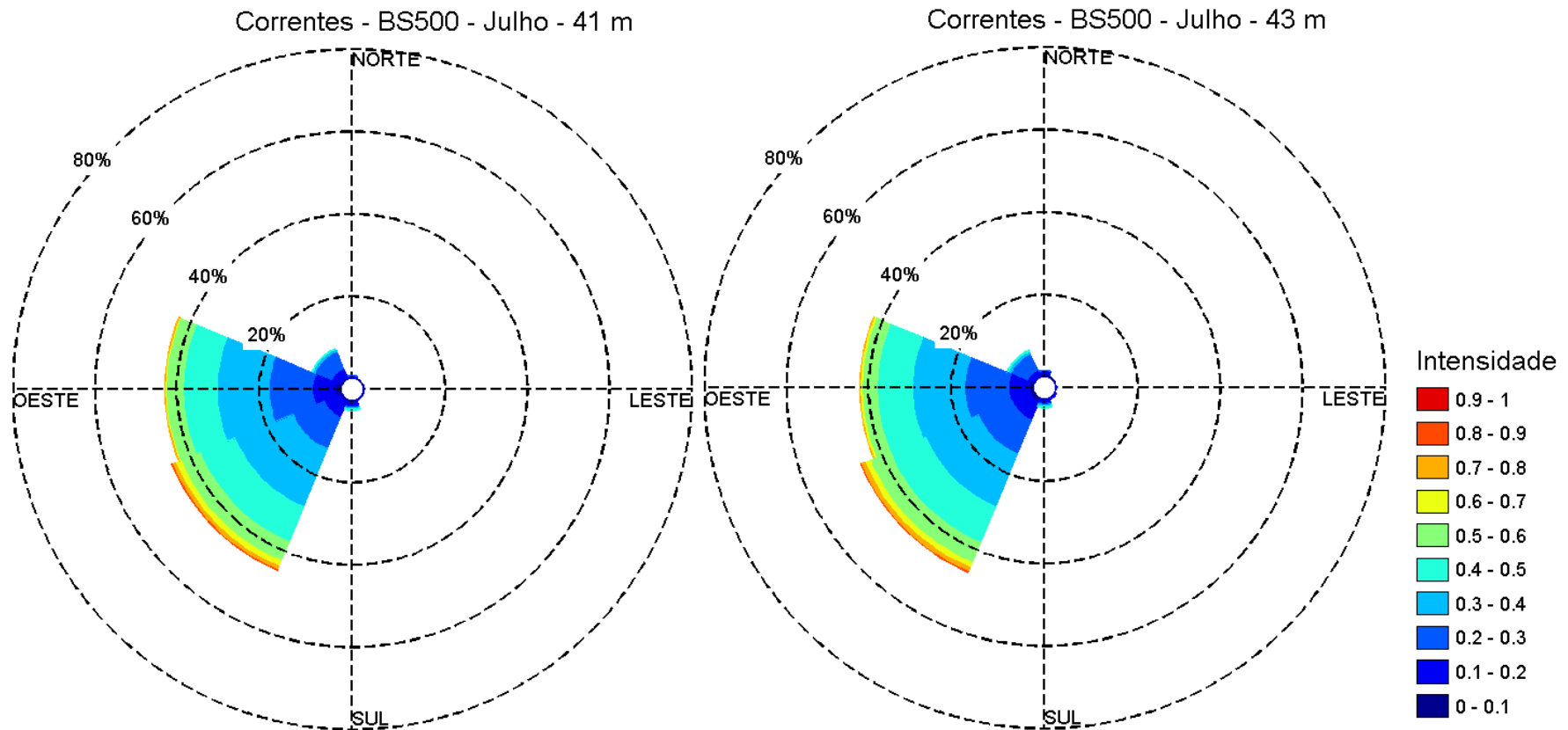


Fonte de dados: Fundeio PETROBRAS BS500

F

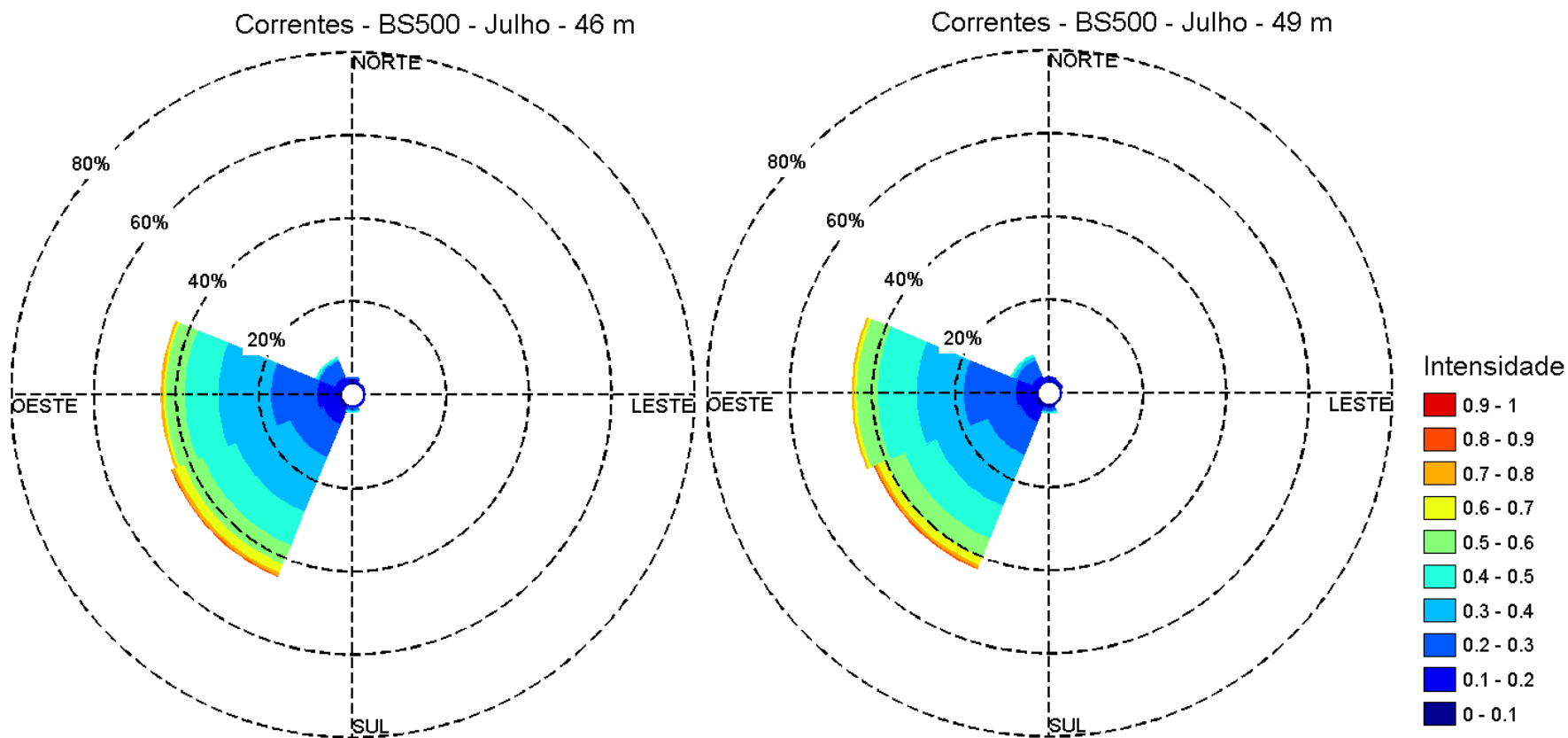
**Figura II.5.1.2-121** – Distribuição direcional da frequência de ocorrência da corrente, de acordo com a intensidade (escala graduada de cores - m/s). As circunferências mostram a frequência de ocorrência em cada direção. Dados do fundeio PETROBRAS BS500 para as profundidades de 36 m e 38 m no mês de julho.





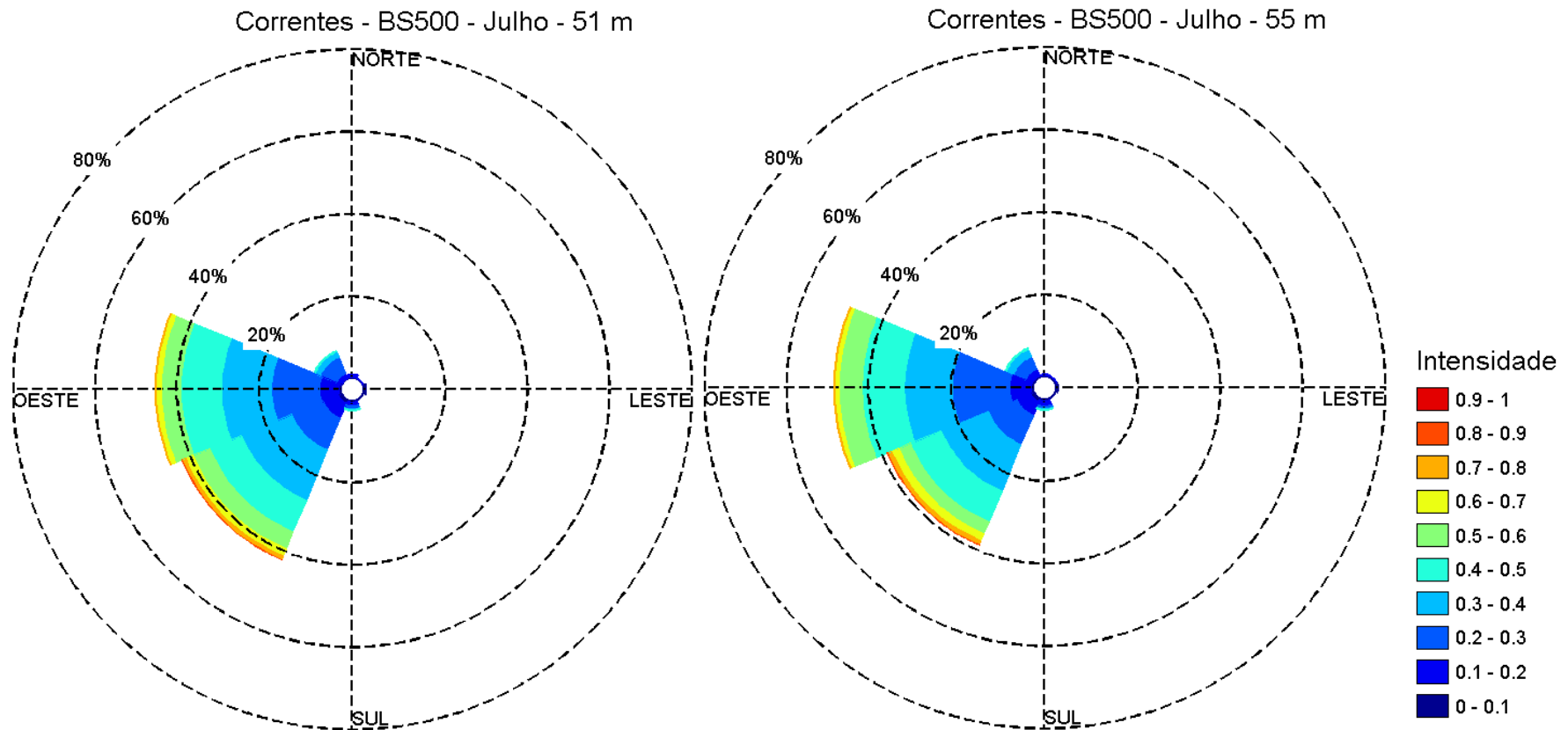
Fonte de dados: Fundeio PETROBRAS BS500

**Figura II.5.1.2-122** – Distribuição direcional da frequência de ocorrência da corrente, de acordo com a intensidade (escala graduada de cores - m/s). As circunferências mostram a frequência de ocorrência em cada direção. Dados do fundeio PETROBRAS BS500 para as profundidades de 41 m e 43 m no mês de julho.



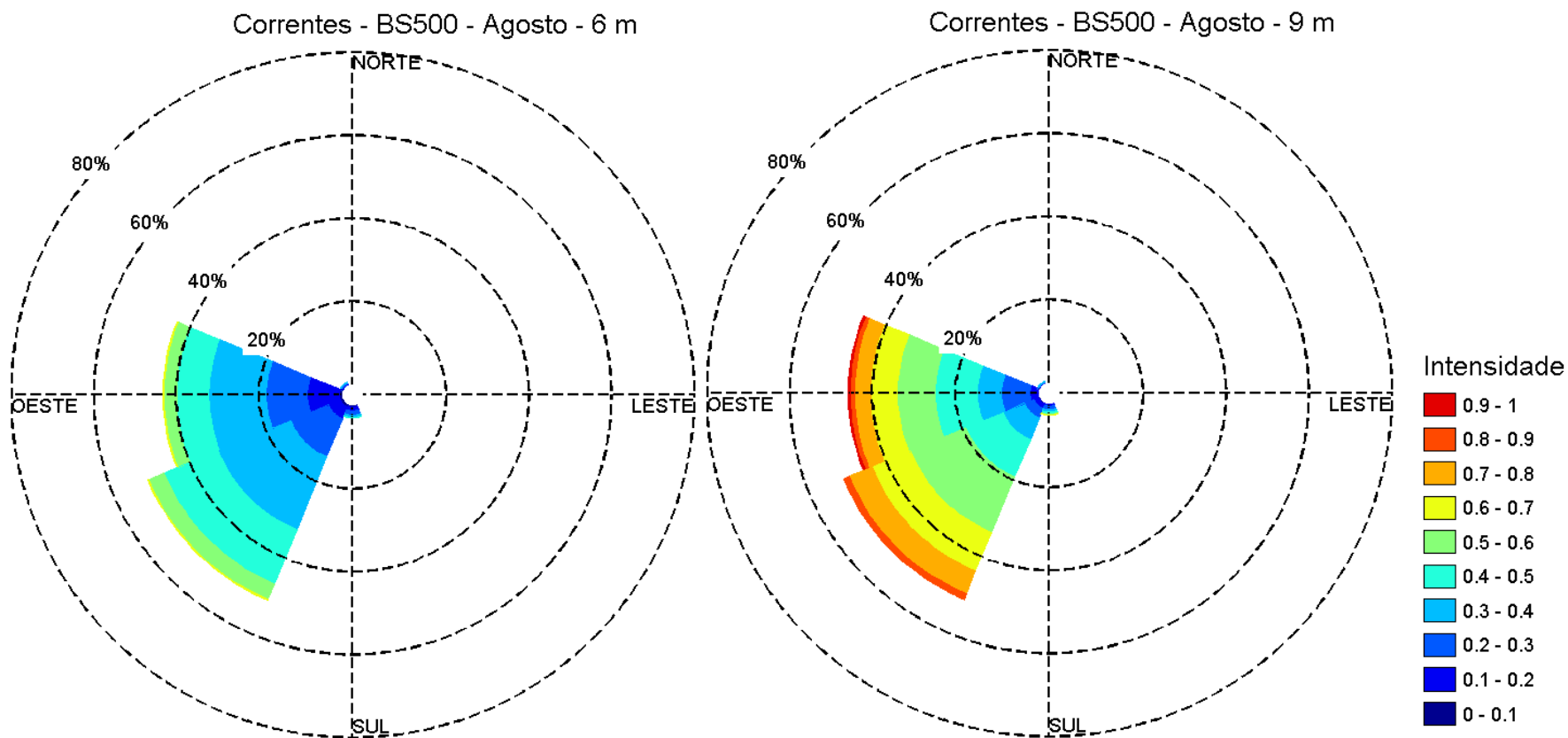
Fonte de dados: Fundeio PETROBRAS BS500

**Figura II.5.1.2-123** – Distribuição direcional da frequência de ocorrência da corrente, de acordo com a intensidade (escala graduada de cores - m/s). As circunferências mostram a frequência de ocorrência em cada direção. Dados do fundeio PETROBRAS BS500 para as profundidades de 46 m e 49 m no mês de julho.



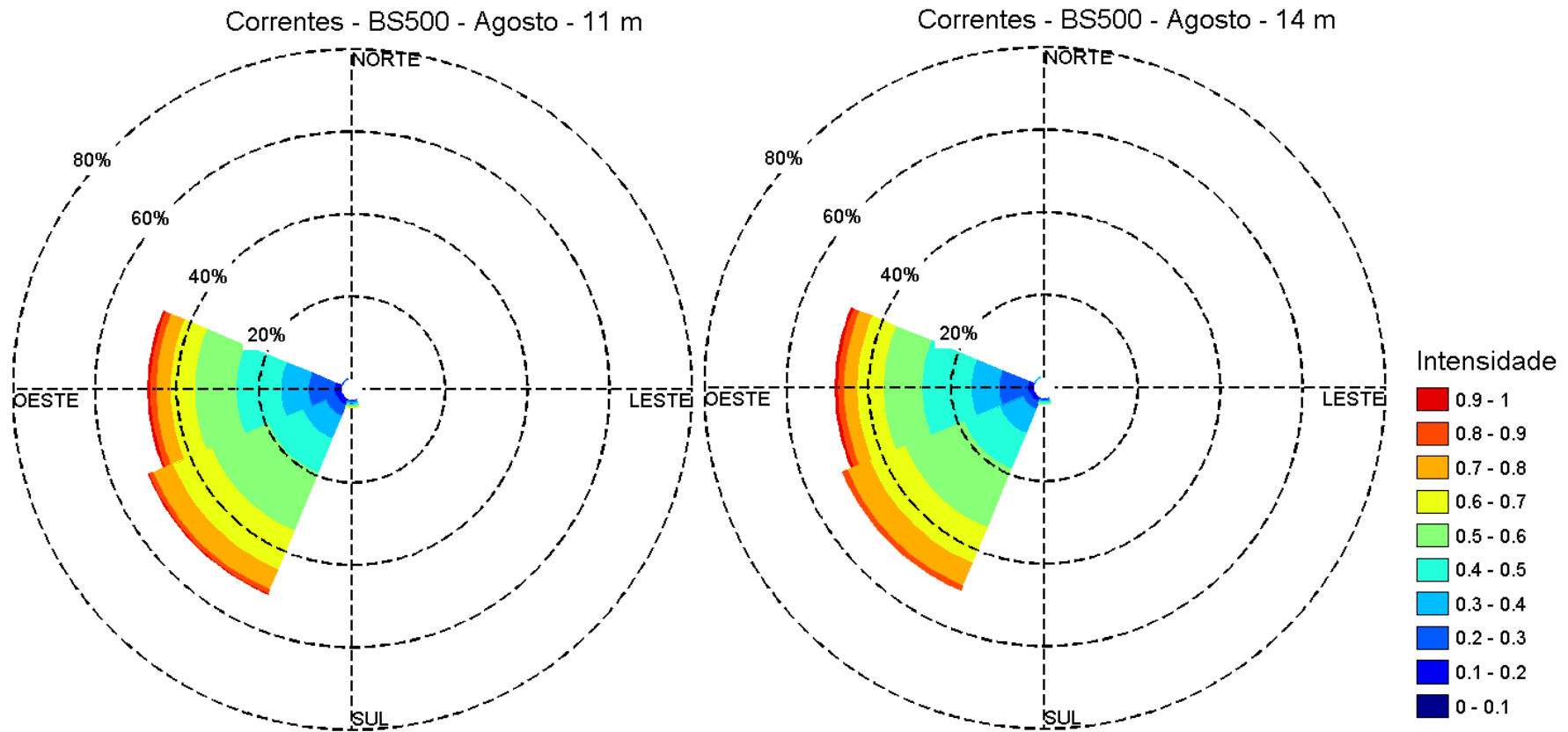
Fonte de dados: Fundeio PETROBRAS BS500

**Figura II.5.1.2-124** – Distribuição direcional da frequência de ocorrência da corrente, de acordo com a intensidade (escala graduada de cores - m/s). As circunferências mostram a frequência de ocorrência em cada direção. Dados do fundeio PETROBRAS BS500 para as profundidades de 51 m e 55 m no mês de julho.



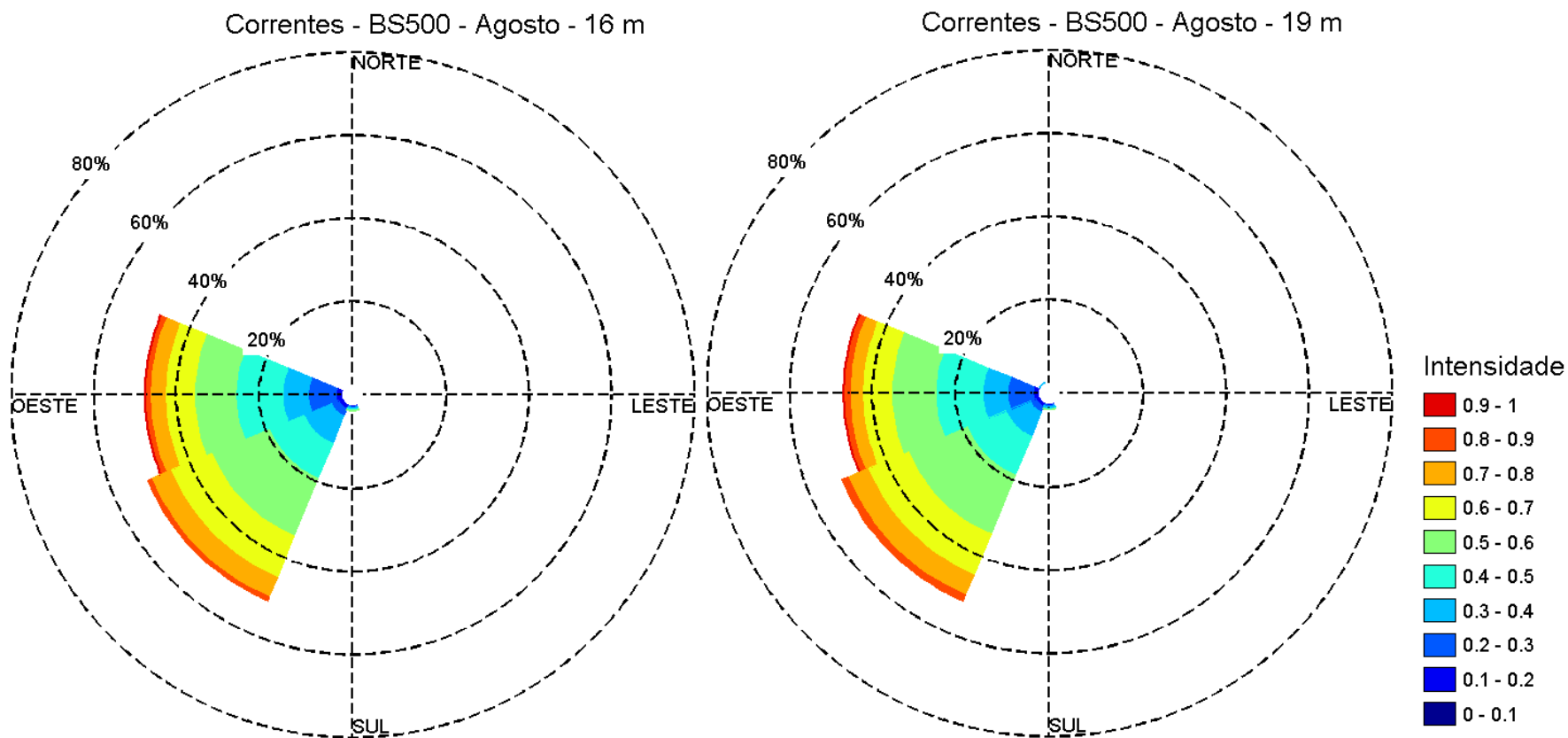
Fonte de dados: Fundeio PETROBRAS BS500

**Figura II.5.1.2-125** – Distribuição direcional da frequência de ocorrência da corrente, de acordo com a intensidade (escala graduada de cores - m/s). As circunferências mostram a frequência de ocorrência em cada direção. Dados do fundeio PETROBRAS BS500 para as profundidades de 6 m e 9 m no mês de agosto.



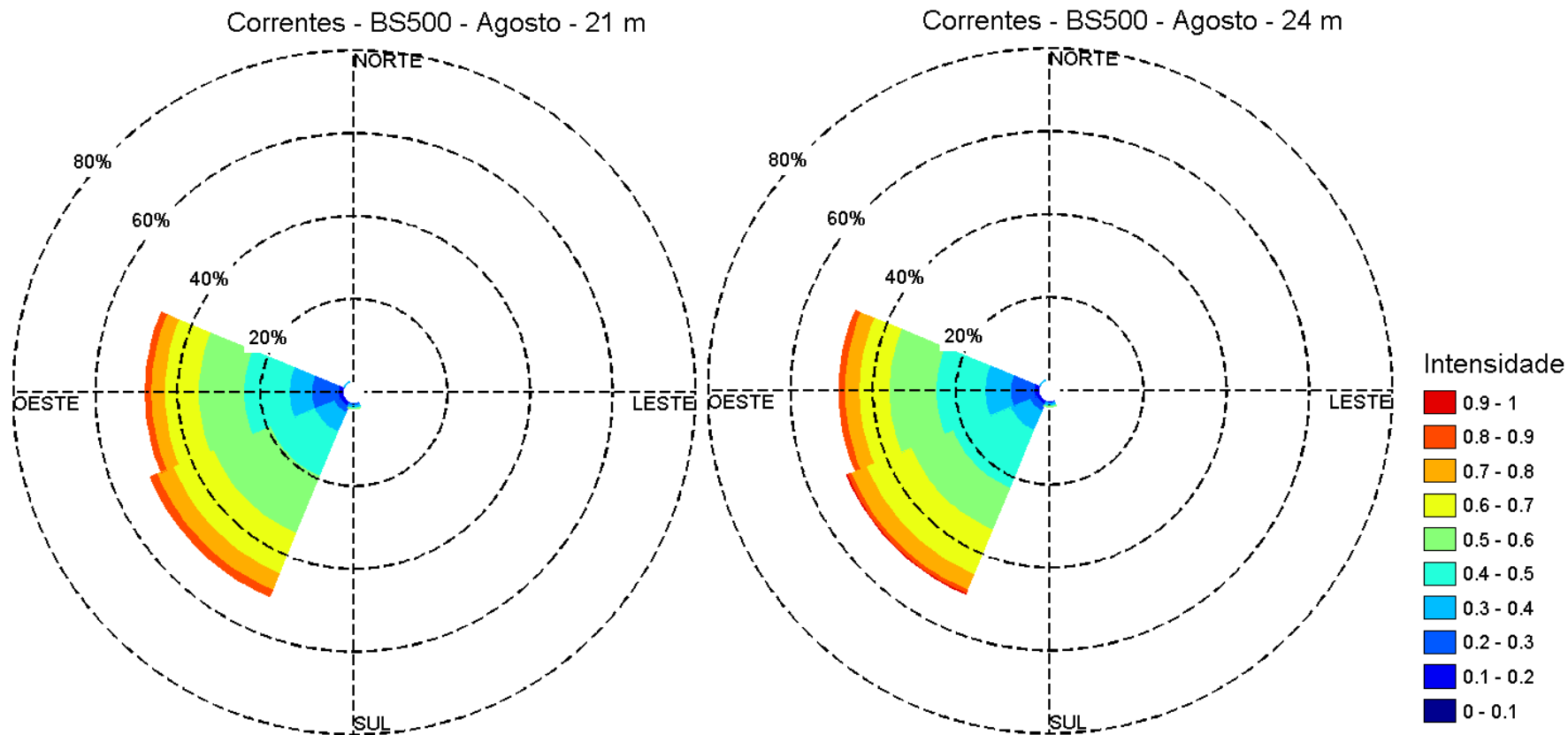
Fonte de dados: Fundeio PETROBRAS BS500

**Figura II.5.1.2-126** – Distribuição direcional da frequência de ocorrência da corrente, de acordo com a intensidade (escala graduada de cores - m/s). As circunferências mostram a frequência de ocorrência em cada direção. Dados do fundeio PETROBRAS BS500 para as profundidades de 11 m e 14 m no mês de agosto.



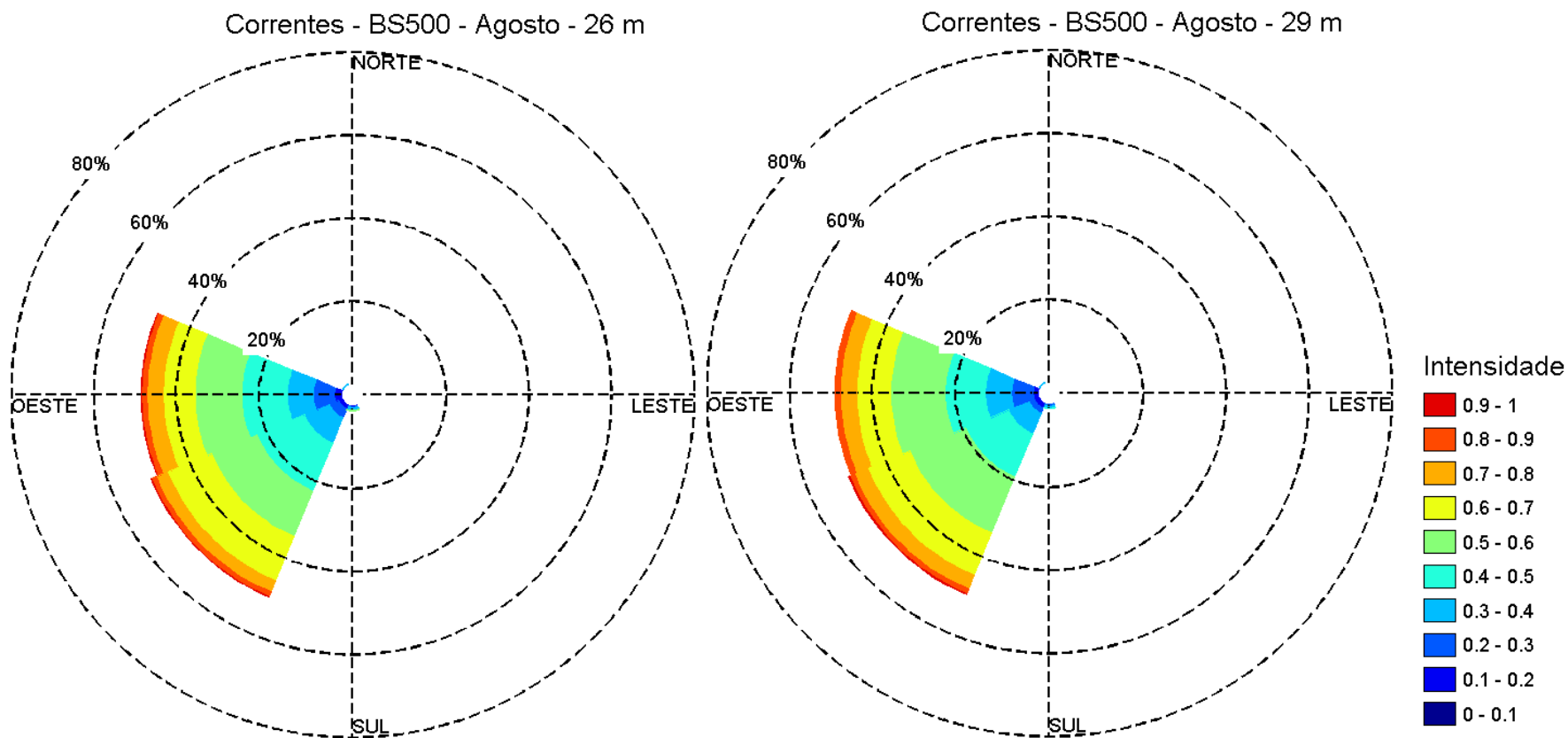
Fonte de dados: Fundeio PETROBRAS BS500

**Figura II.5.1.2-127** – Distribuição direcional da frequência de ocorrência da corrente, de acordo com a intensidade (escala graduada de cores - m/s). As circunferências mostram a frequência de ocorrência em cada direção. Dados do fundeio PETROBRAS BS500 para as profundidades de 16 m e 19 m no mês de agosto.



Fonte de dados: Fundeio PETROBRAS BS500

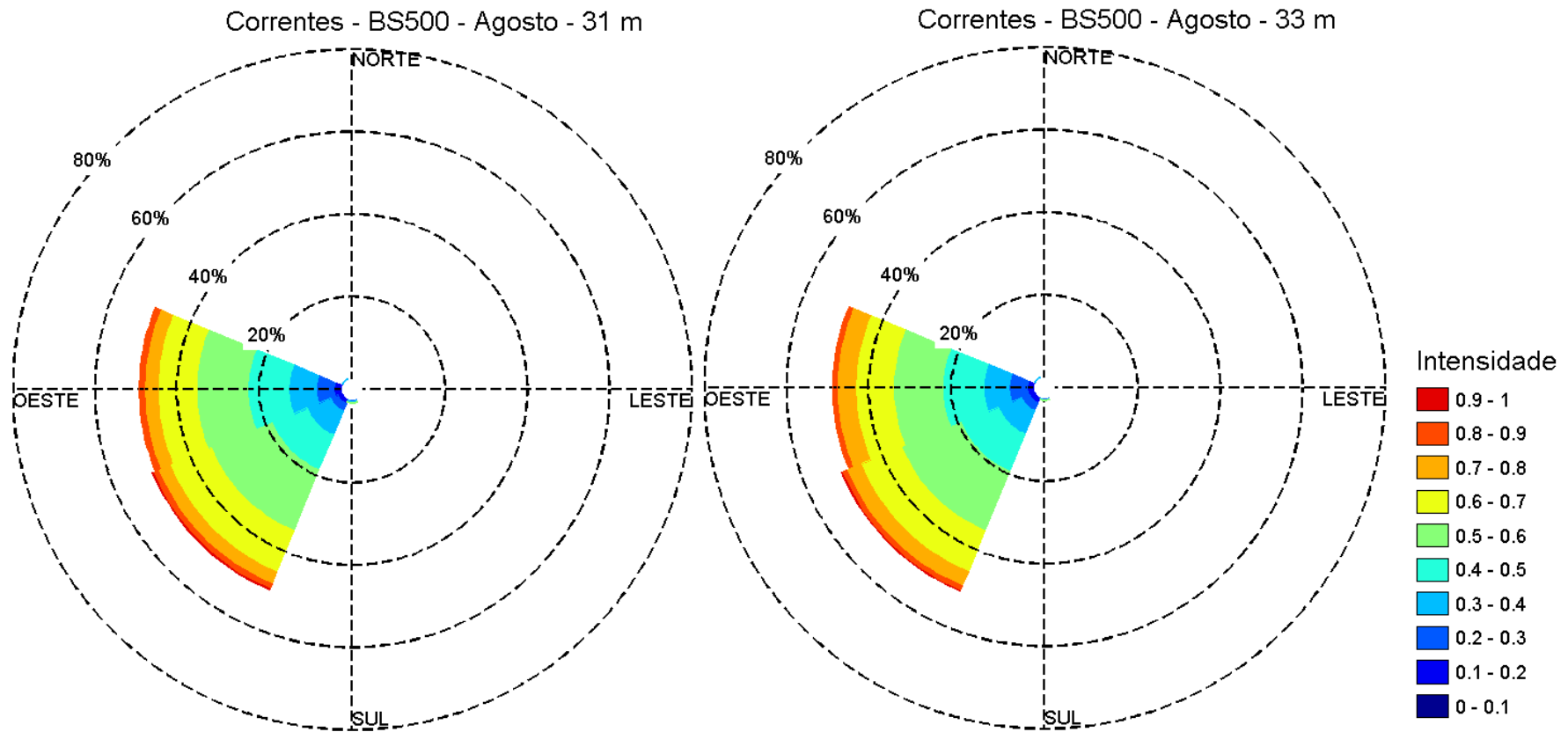
**Figura II.5.1.2-128** – Distribuição direcional da frequência de ocorrência da corrente, de acordo com a intensidade (escala graduada de cores - m/s). As circunferências mostram a frequência de ocorrência em cada direção. Dados do fundeio PETROBRAS BS500 para as profundidades de 21 m e 24 m no mês de agosto.



Fonte de dados: Fundeio PETROBRAS BS500

**Figura II.5.1.2-129** – Distribuição direcional da frequência de ocorrência da corrente, de acordo com a intensidade (escala graduada de cores - m/s). As circunferências mostram a frequência de ocorrência em cada direção. Dados do fundeio PETROBRAS BS500 para as profundidades de 26 m e 29 m no mês de agosto.





Fonte de dados: Fundeio PETROBRAS BS500

**Figura II.5.1.2-130** – Distribuição direcional da frequência de ocorrência da corrente, de acordo com a intensidade (escala graduada de cores - m/s). As circunferências mostram a frequência de ocorrência em cada direção. Dados do fundeio PETROBRAS BS500 para as profundidades de 31 m e 33 m no mês de agosto.

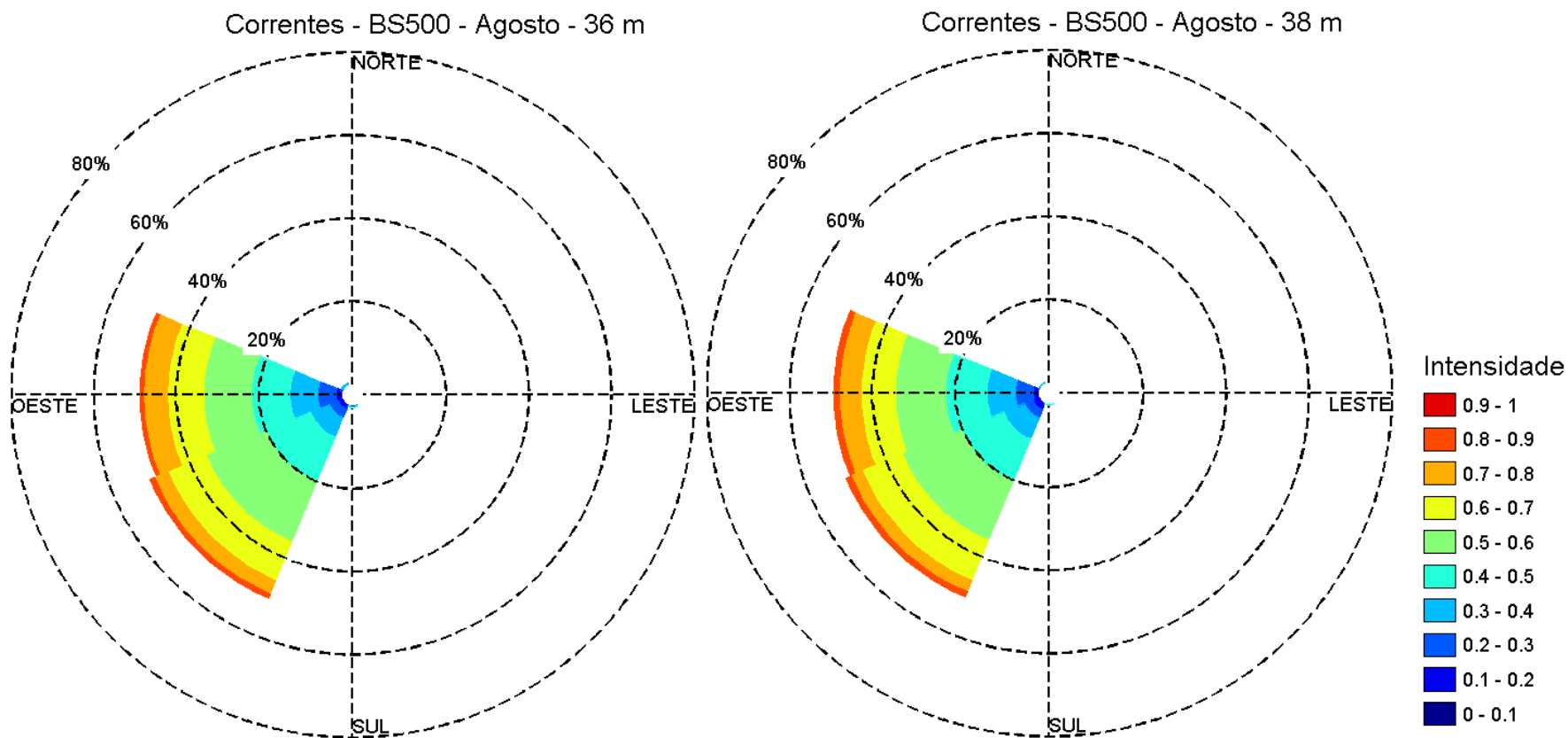


Coordenador da Equipe



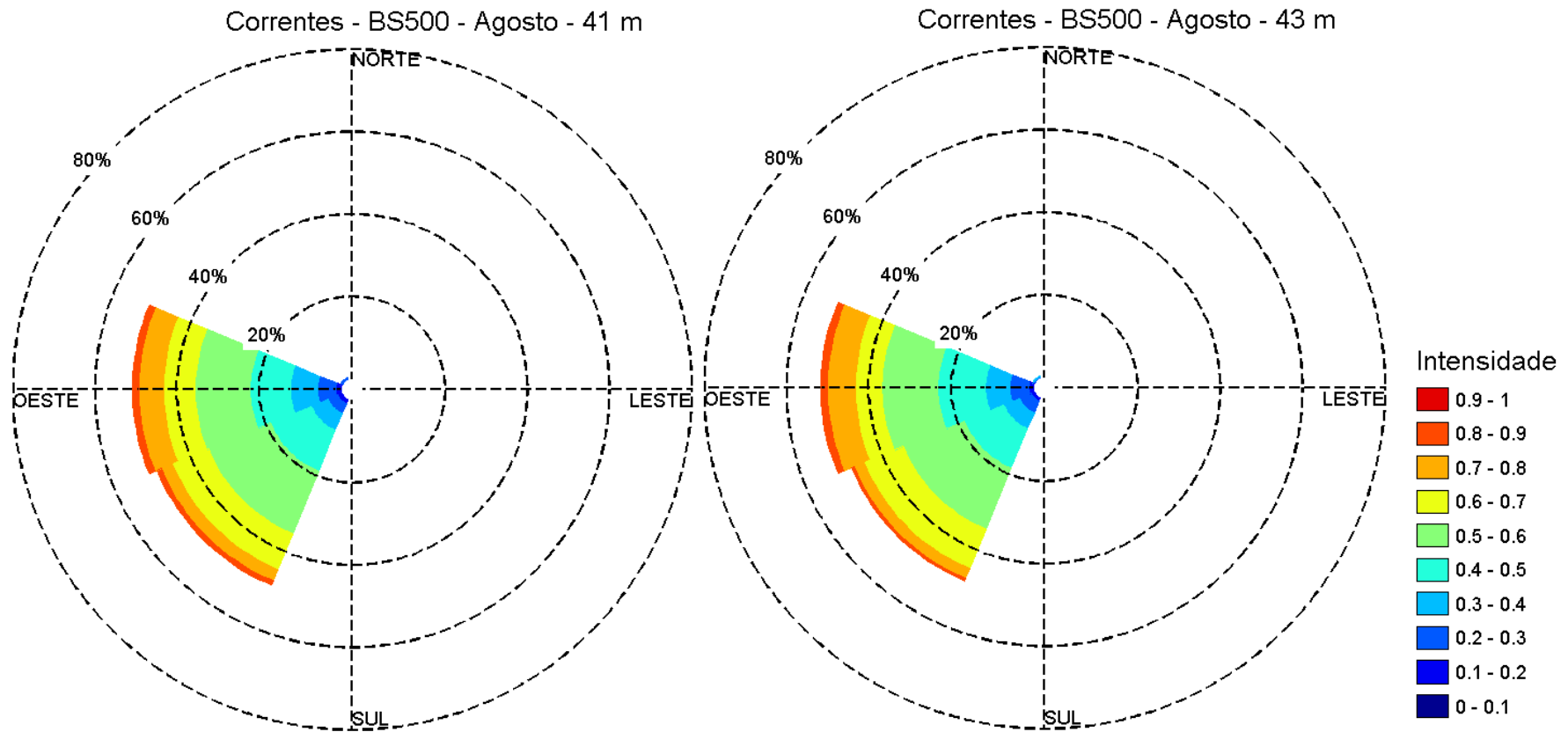
Técnico Responsável

Revisão 00  
06/2014



Fonte de dados: Fundeio PETROBRAS BS500

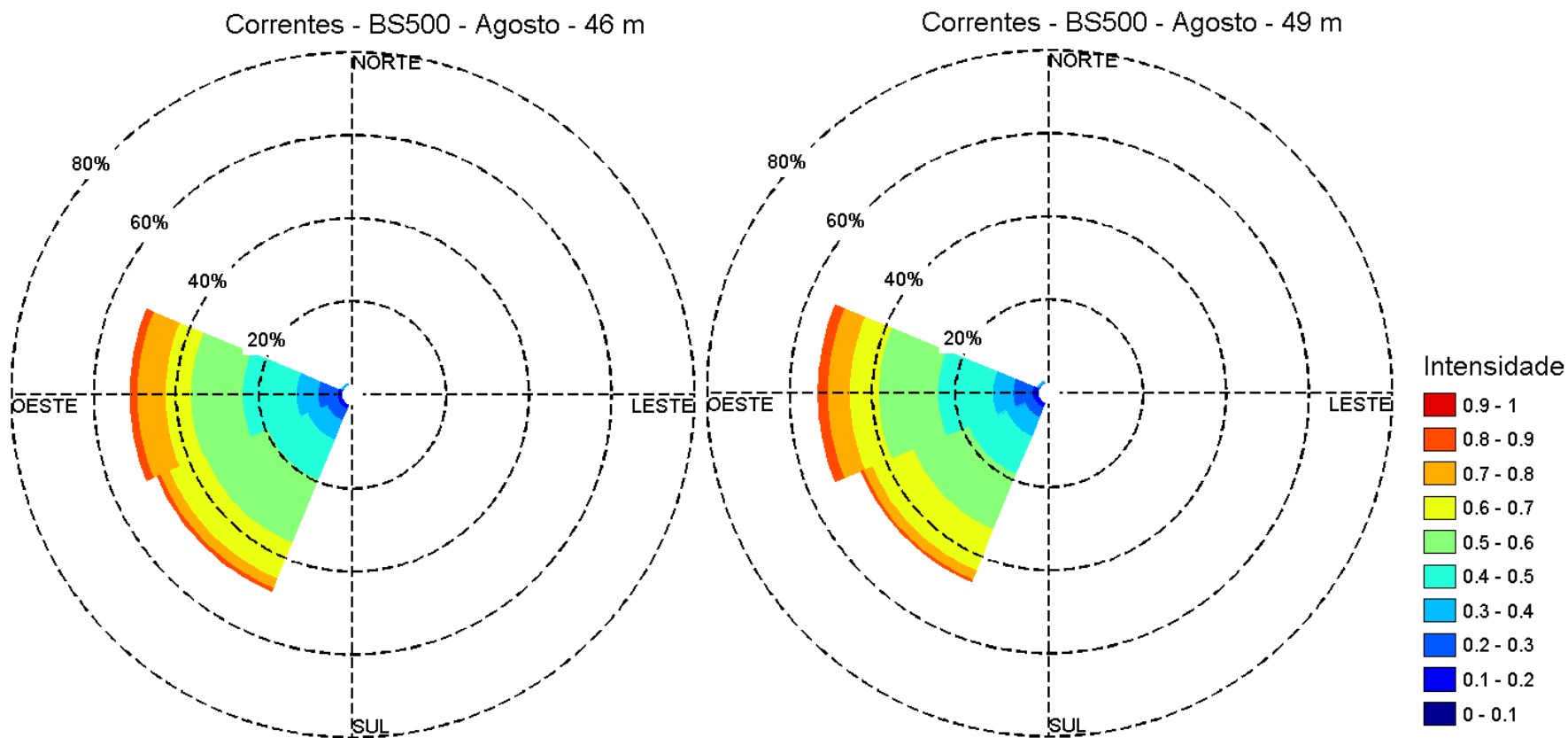
**Figura II.5.1.2-131** – Distribuição direcional da frequência de ocorrência da corrente, de acordo com a intensidade (escala graduada de cores - m/s). As circunferências mostram a frequência de ocorrência em cada direção. Dados do fundeio PETROBRAS BS500 para as profundidades de 36 m e 38 m no mês de agosto.



Fonte de dados: Fundeio PETROBRAS BS500

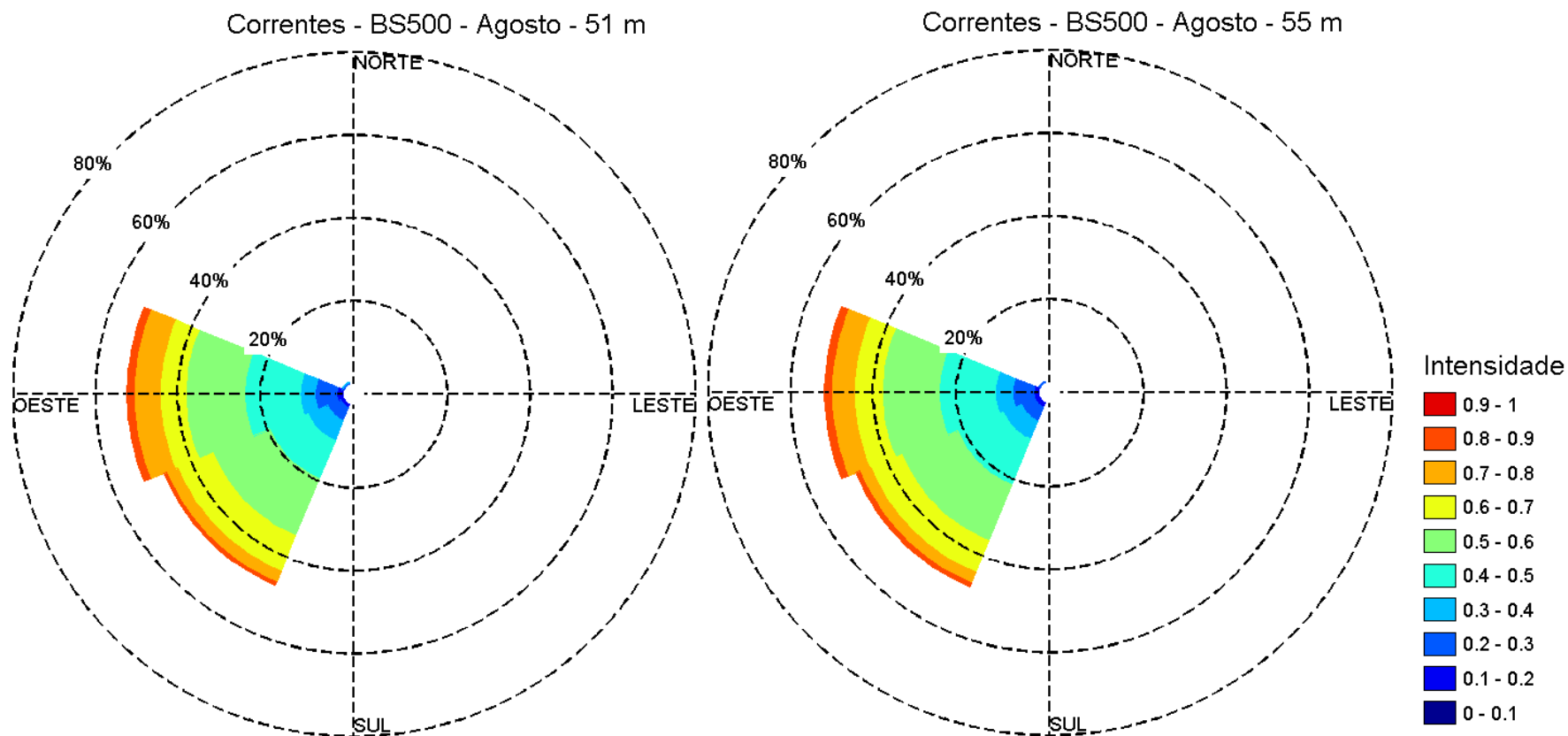
**Figura II.5.1.2-132** – Distribuição direcional da frequência de ocorrência da corrente, de acordo com a intensidade (escala graduada de cores - m/s). As circunferências mostram a frequência de ocorrência em cada direção. Dados do fundeio PETROBRAS BS500 para as profundidades de 41 m e 43 m no mês de agosto.





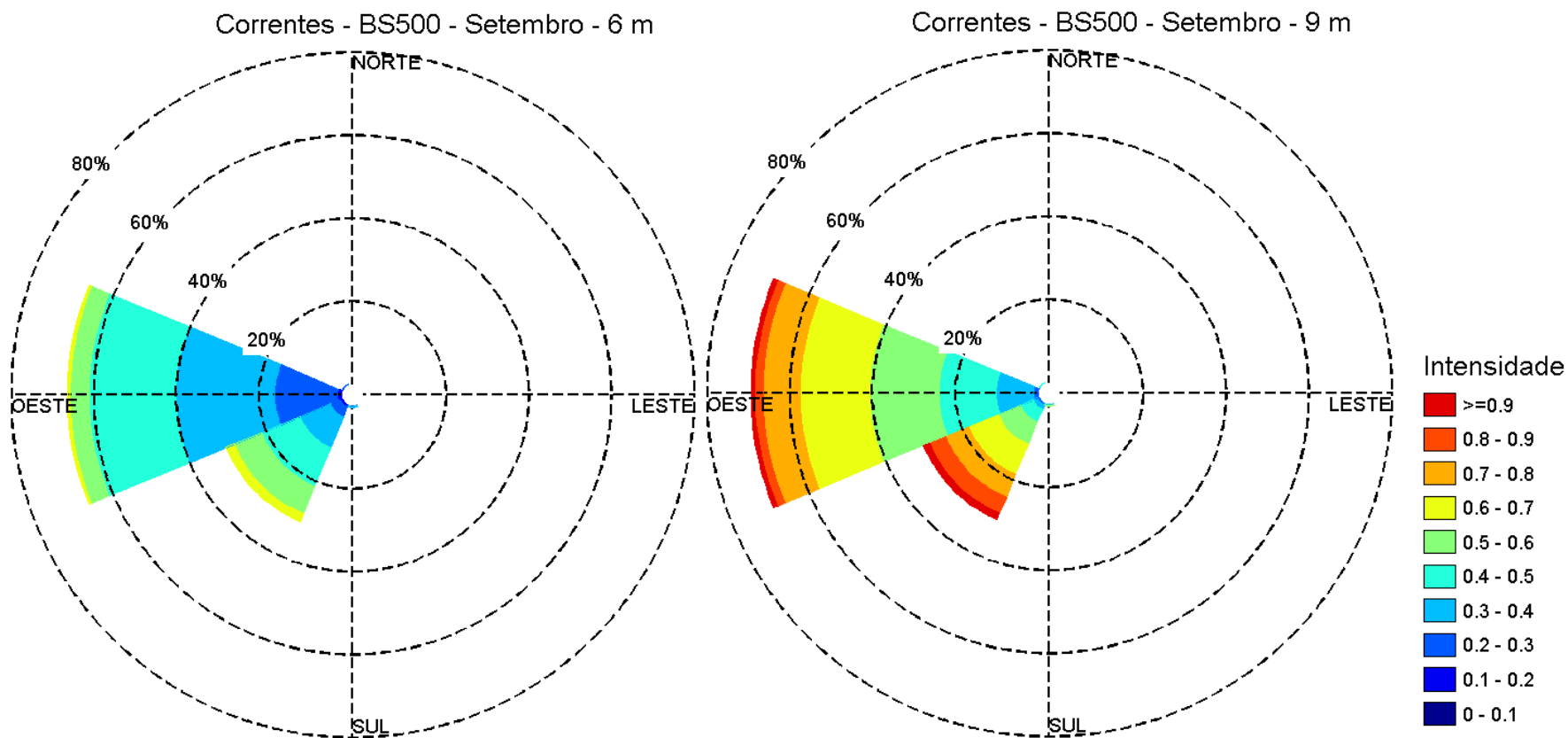
Fonte de dados: Fundeio PETROBRAS BS500

**Figura II.5.1.2-133** – Distribuição direcional da frequência de ocorrência da corrente, de acordo com a intensidade (escala graduada de cores - m/s). As circunferências mostram a frequência de ocorrência em cada direção. Dados do fundeio PETROBRAS BS500 para as profundidades de 46 m e 49 m no mês de agosto.



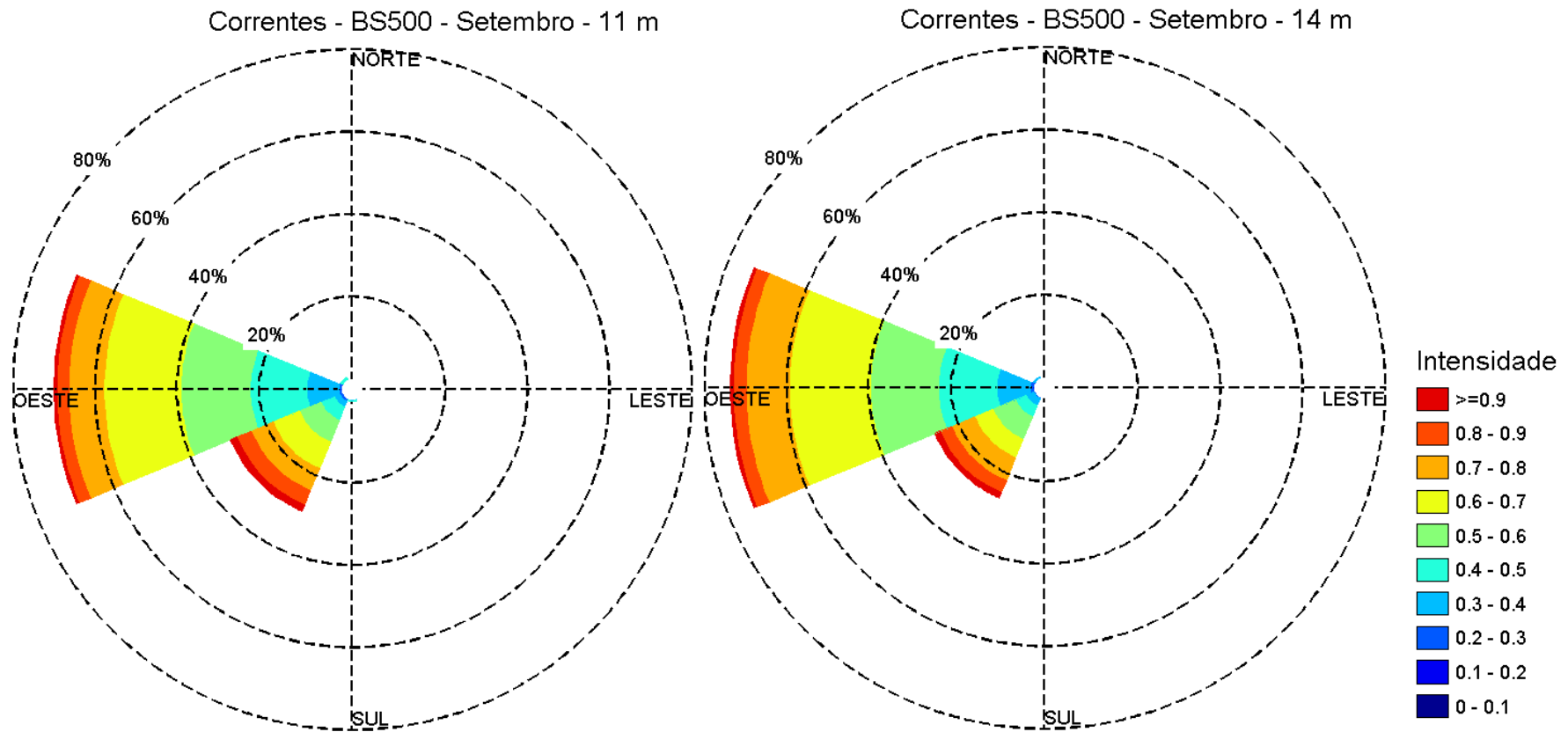
Fonte de dados: Fundeio PETROBRAS BS500

**Figura II.5.1.2-134** – Distribuição direcional da frequência de ocorrência da corrente, de acordo com a intensidade (escala graduada de cores - m/s). As circunferências mostram a frequência de ocorrência em cada direção. Dados do fundeio PETROBRAS BS500 para as profundidades de 51 m e 55 m no mês de agosto.



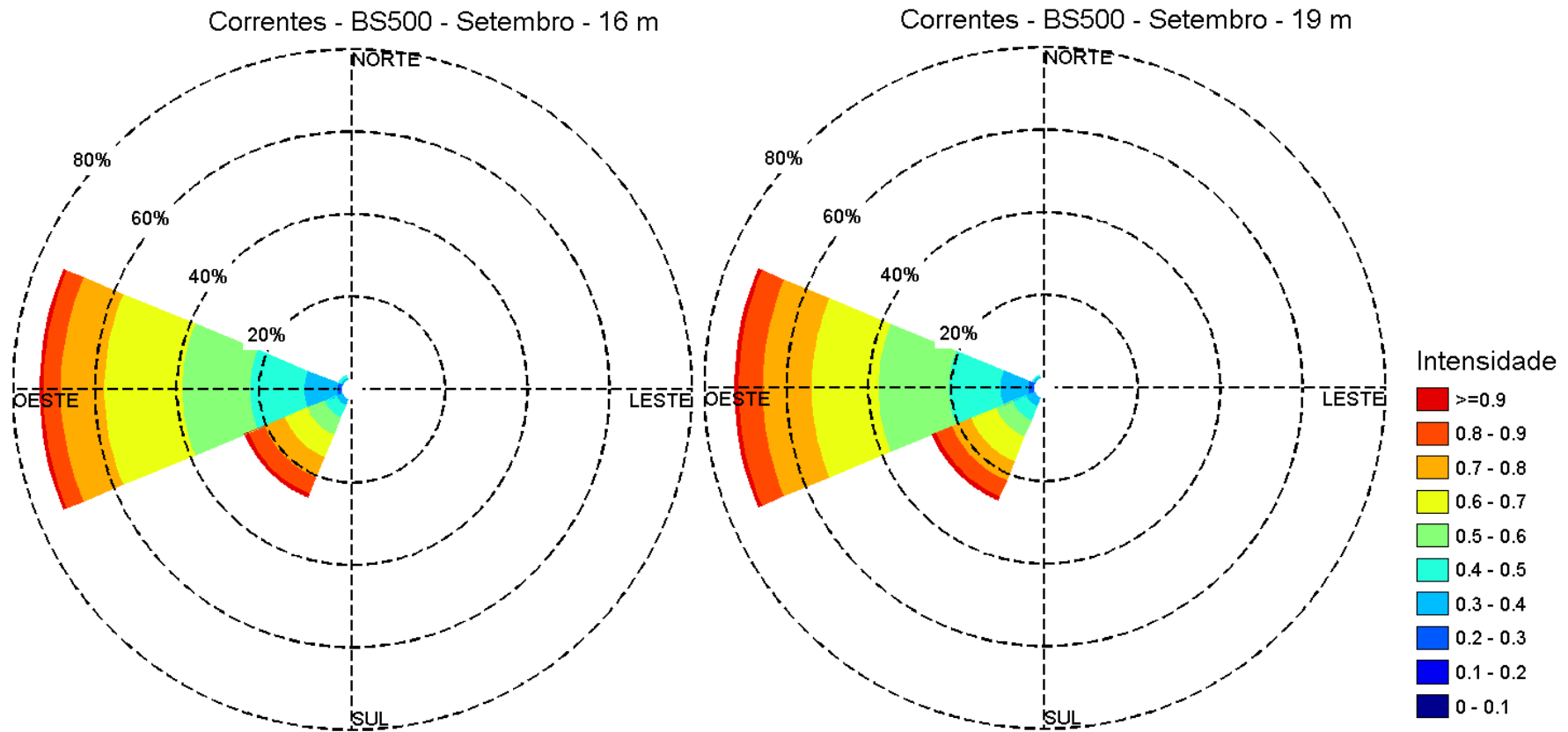
Fonte de dados: Fundeio PETROBRAS BS500

**Figura II.5.1.2-135** – Distribuição direcional da frequência de ocorrência da corrente, de acordo com a intensidade (escala graduada de cores - m/s). As circunferências mostram a frequência de ocorrência em cada direção. Dados do fundeio PETROBRAS BS500 para as profundidades de 6 m e 9 m no mês de setembro.



Fonte de dados: Fundeio PETROBRAS BS500

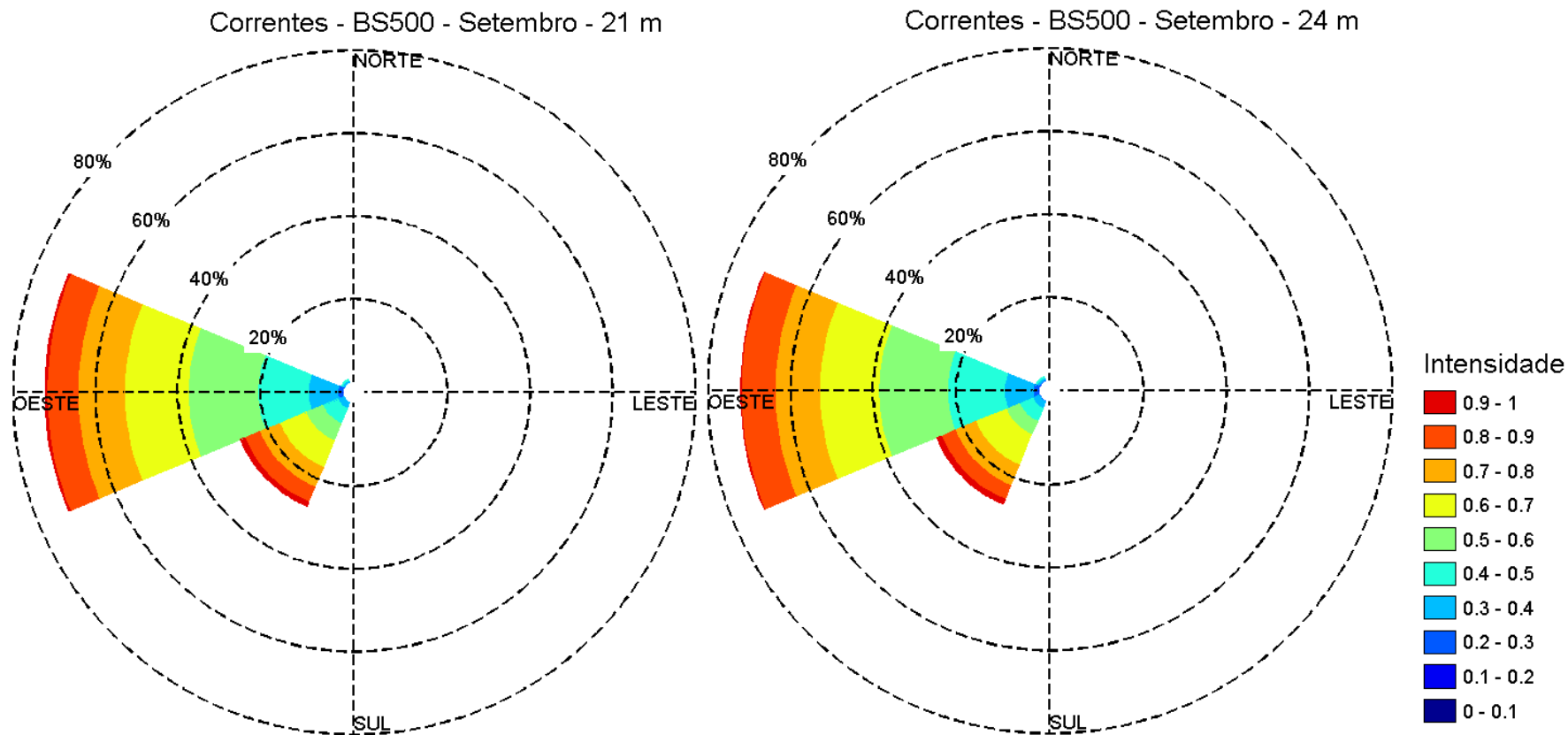
**Figura II.5.1.2-136** – Distribuição direcional da frequência de ocorrência da corrente, de acordo com a intensidade (escala graduada de cores - m/s). As circunferências mostram a frequência de ocorrência em cada direção. Dados do fundeio PETROBRAS BS500 para as profundidades de 11 m e 14 m no mês de setembro.



Fonte de dados: Fundeio PETROBRAS BS500

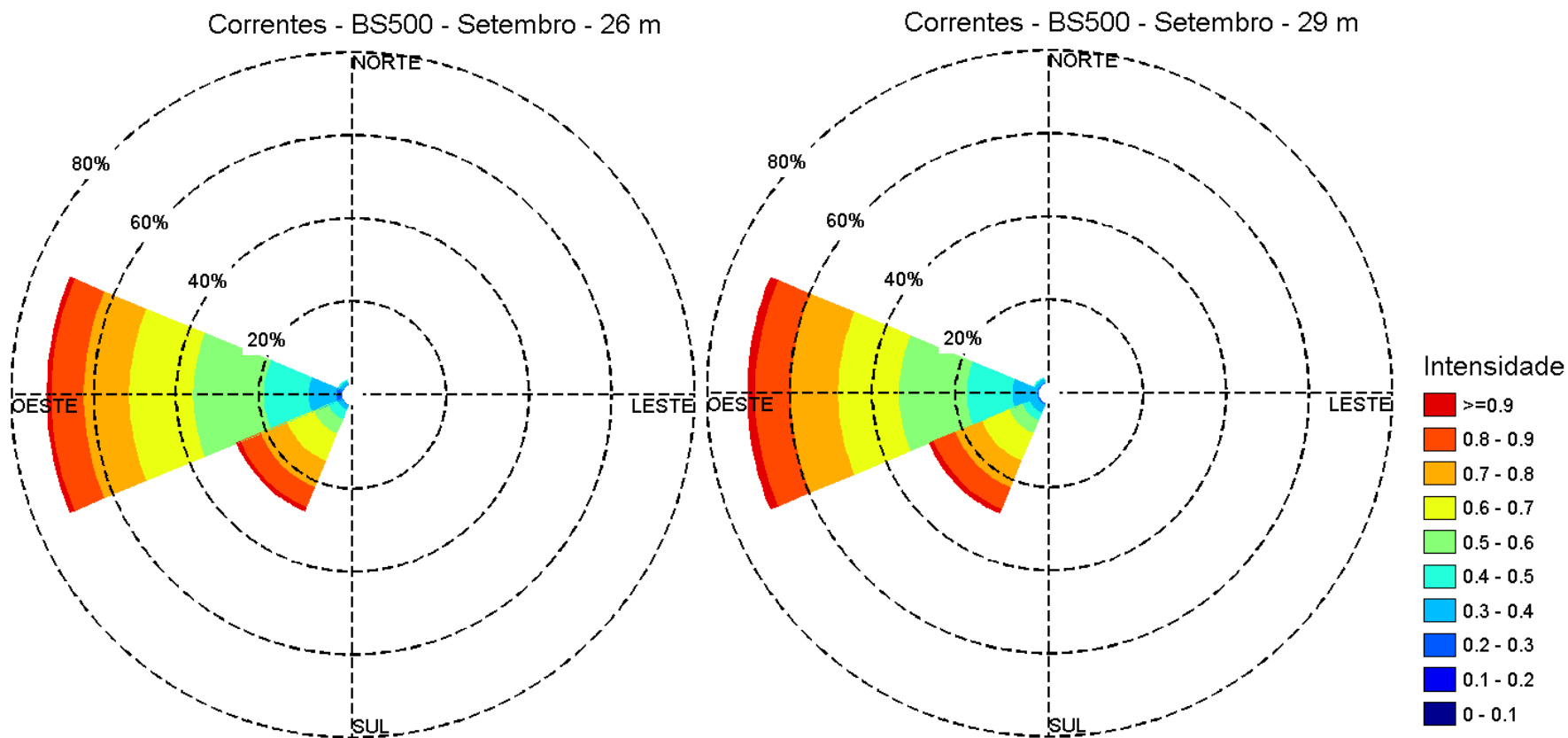
**Figura II.5.1.2-137** – Distribuição direcional da frequência de ocorrência da corrente, de acordo com a intensidade (escala graduada de cores - m/s). As circunferências mostram a frequência de ocorrência em cada direção. Dados do fundeio PETROBRAS BS500 para as profundidades de 16 m e 19 m no mês de setembro.





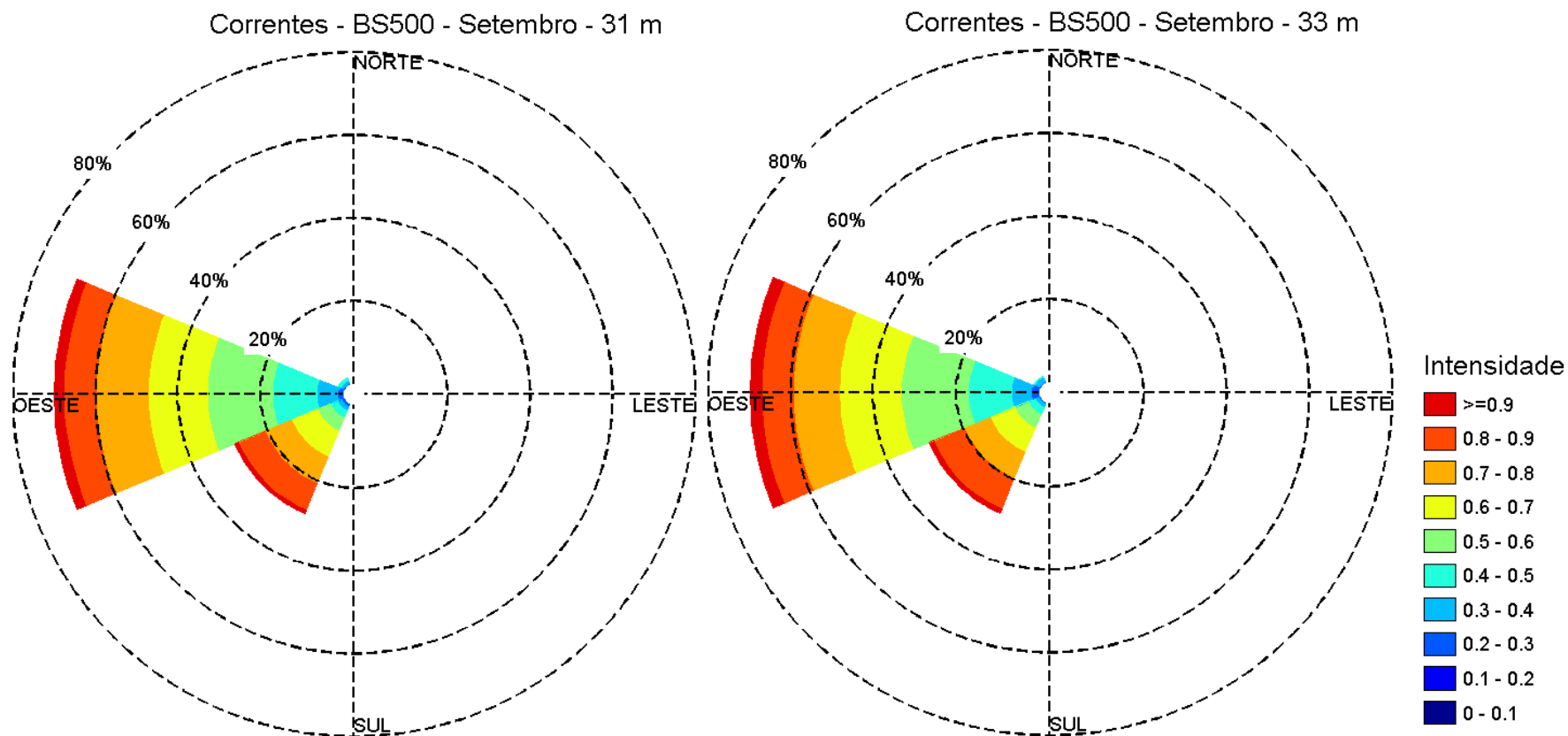
Fonte de dados: Fundeio PETROBRAS BS500

**Figura II.5.1.2-138** – Distribuição direcional da frequência de ocorrência da corrente, de acordo com a intensidade (escala graduada de cores - m/s). As circunferências mostram a frequência de ocorrência em cada direção. Dados do fundeio PETROBRAS BS500 para as profundidades de 21 m e 24 m no mês de setembro.



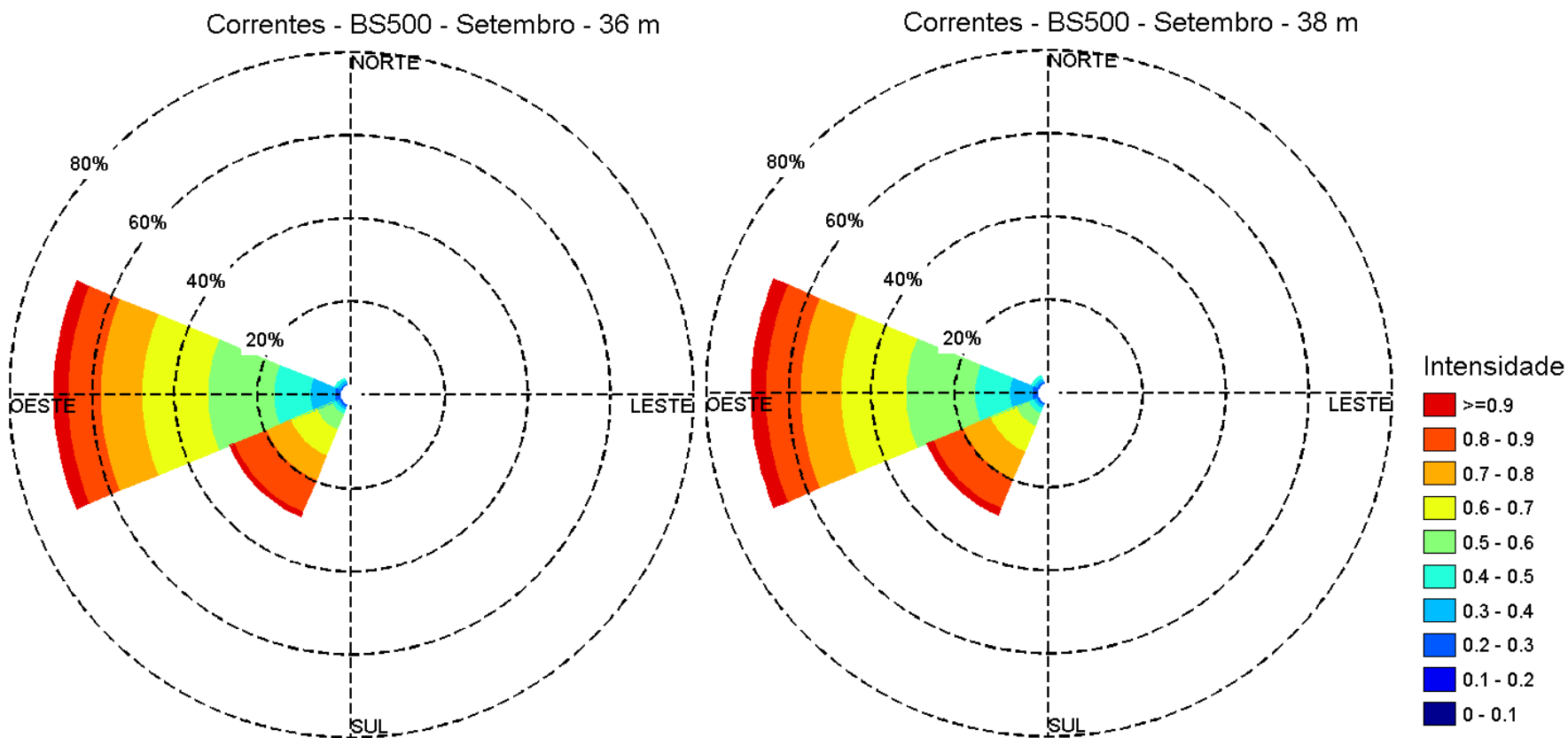
Fonte de dados: Fundeio PETROBRAS BS500

**Figura II.5.1.2-139** – Distribuição direcional da frequência de ocorrência da corrente, de acordo com a intensidade (escala graduada de cores - m/s). As circunferências mostram a frequência de ocorrência em cada direção. Dados do fundeio PETROBRAS BS500 para as profundidades de 26 m e 29 m no mês de setembro.



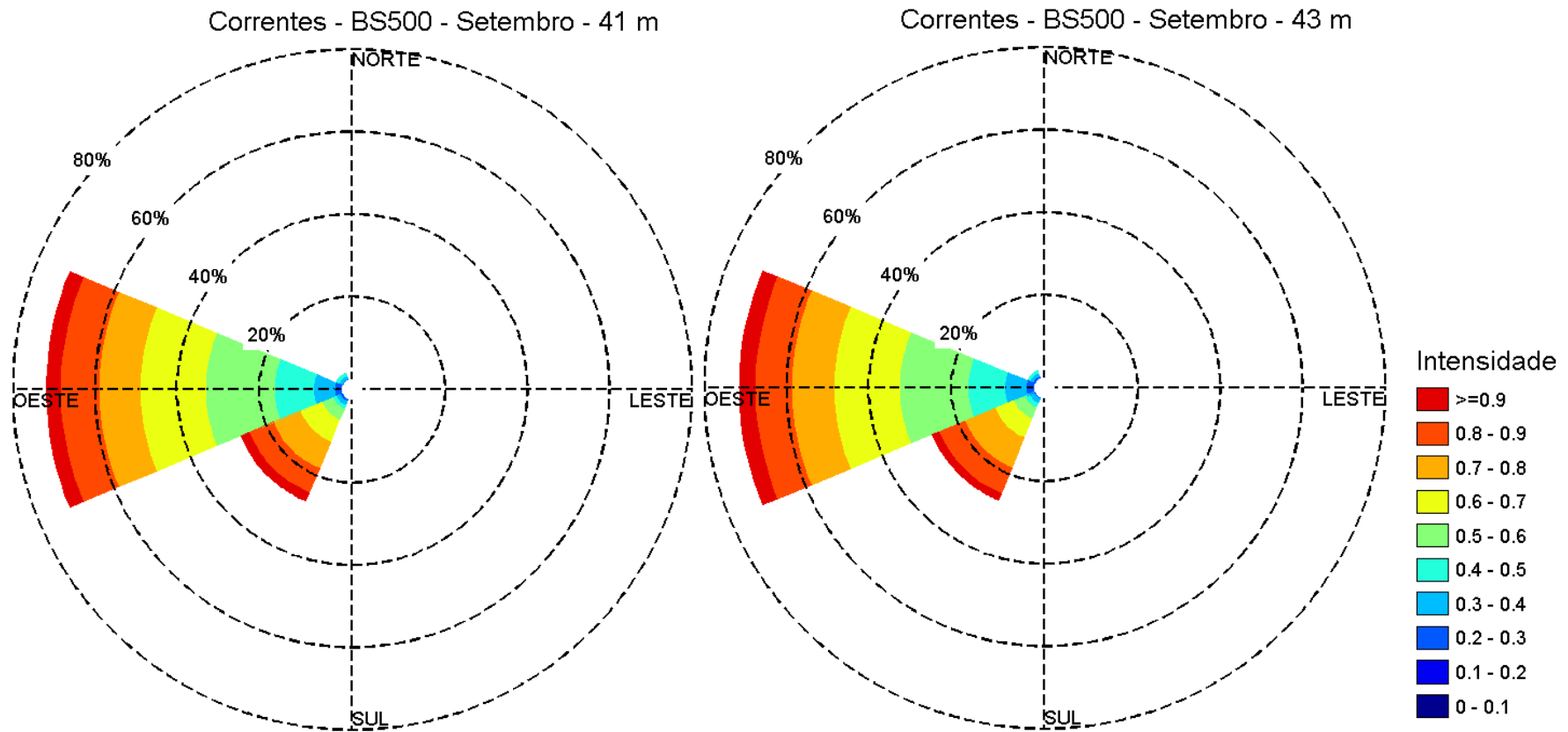
Fonte de dados: Fundeio PETROBRAS BS500

**Figura II.5.1.2-140** – Distribuição direcional da frequência de ocorrência da corrente, de acordo com a intensidade (escala graduada de cores - m/s). As circunferências mostram a frequência de ocorrência em cada direção. Dados do fundeio PETROBRAS BS500 para as profundidades de 31 m e 33 m no mês de setembro.



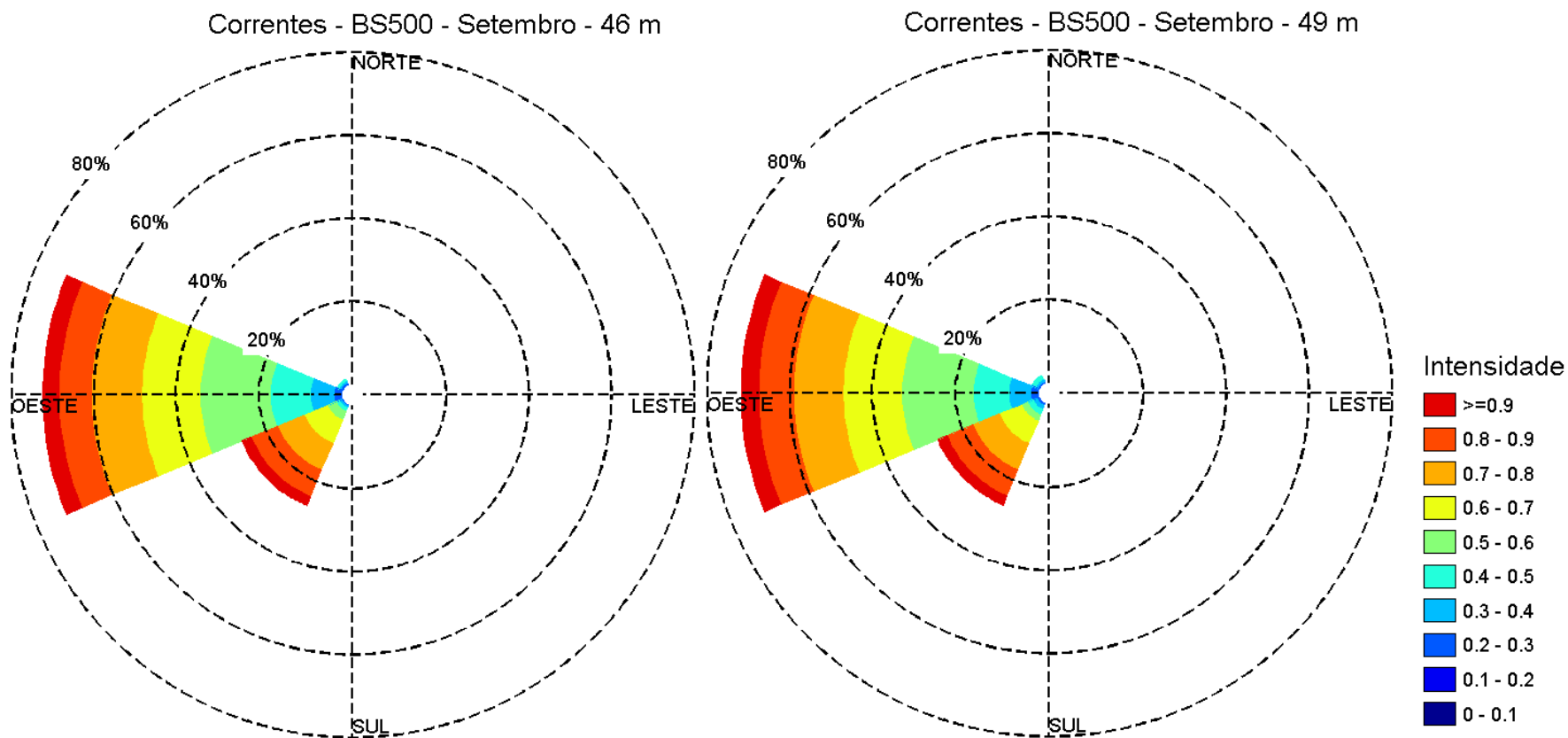
Fonte de dados: Fundeio PETROBRAS BS500

**Figura II.5.1.2-141** – Distribuição direcional da frequência de ocorrência da corrente, de acordo com a intensidade (escala graduada de cores - m/s). As circunferências mostram a frequência de ocorrência em cada direção. Dados do fundeio PETROBRAS BS500 para as profundidades de 36 m e 38 m no mês de setembro.



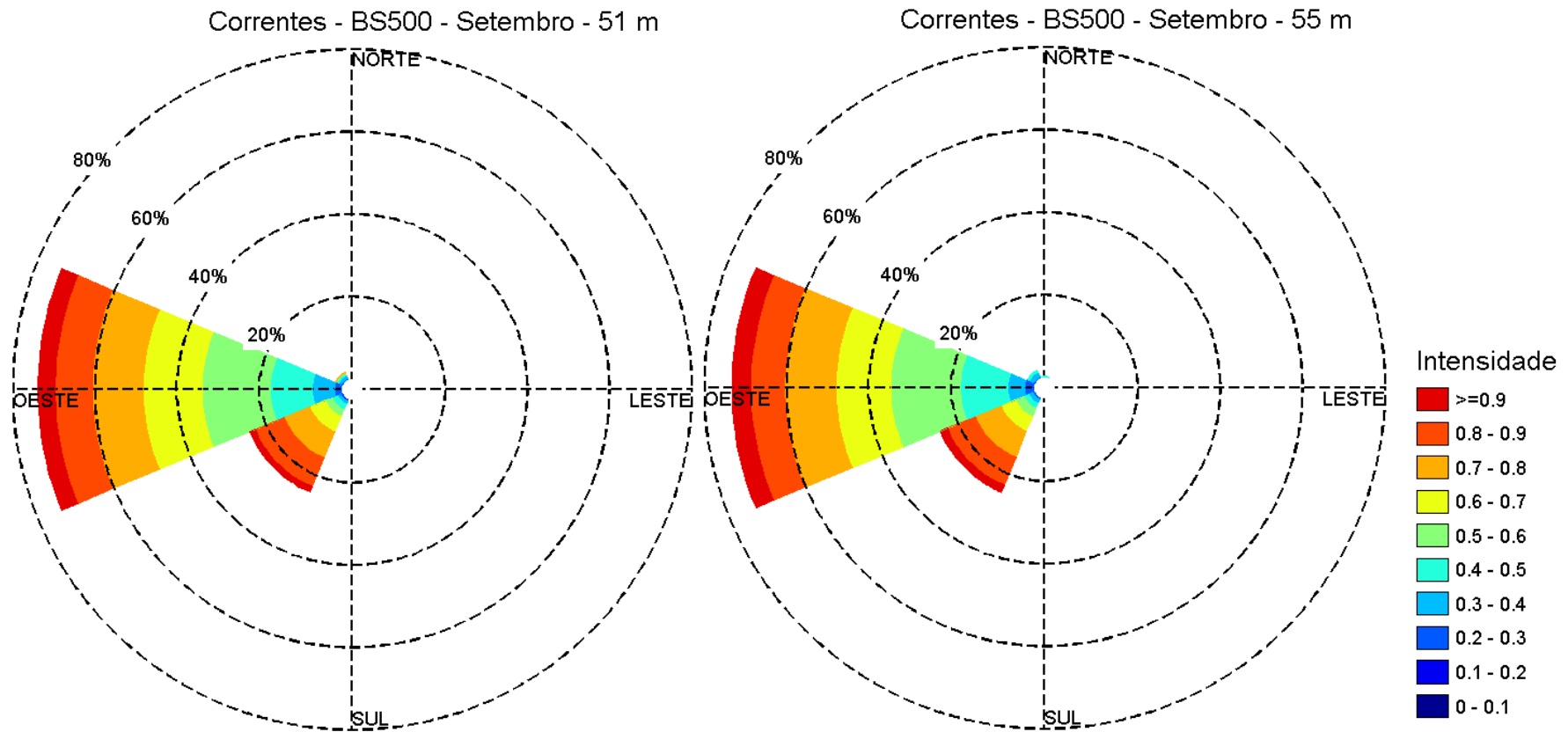
Fonte de dados: Fundeio PETROBRAS BS500

**Figura II.5.1.2-142** – Distribuição direcional da frequência de ocorrência da corrente, de acordo com a intensidade (escala graduada de cores - m/s). As circunferências mostram a frequência de ocorrência em cada direção. Dados do fundeio PETROBRAS BS500 para as profundidades de 41 m e 43 m no mês de setembro.



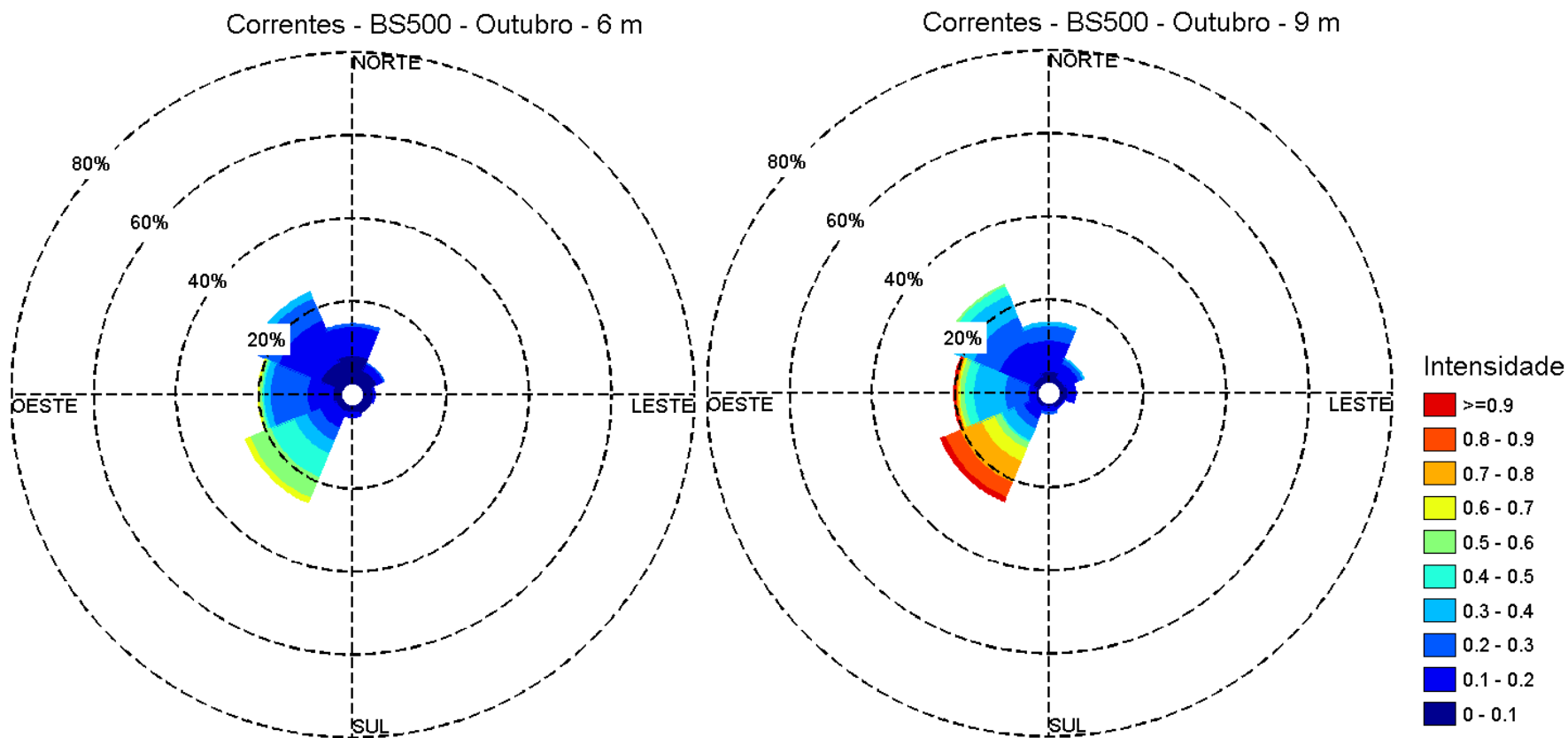
Fonte de dados: Fundeio PETROBRAS BS500

**Figura II.5.1.2-143** – Distribuição direcional da frequência de ocorrência da corrente, de acordo com a intensidade (escala graduada de cores - m/s). As circunferências mostram a frequência de ocorrência em cada direção. Dados do fundeio PETROBRAS BS500 para as profundidades de 46 m e 49 m no mês de setembro.



Fonte de dados: Fundeio PETROBRAS BS500

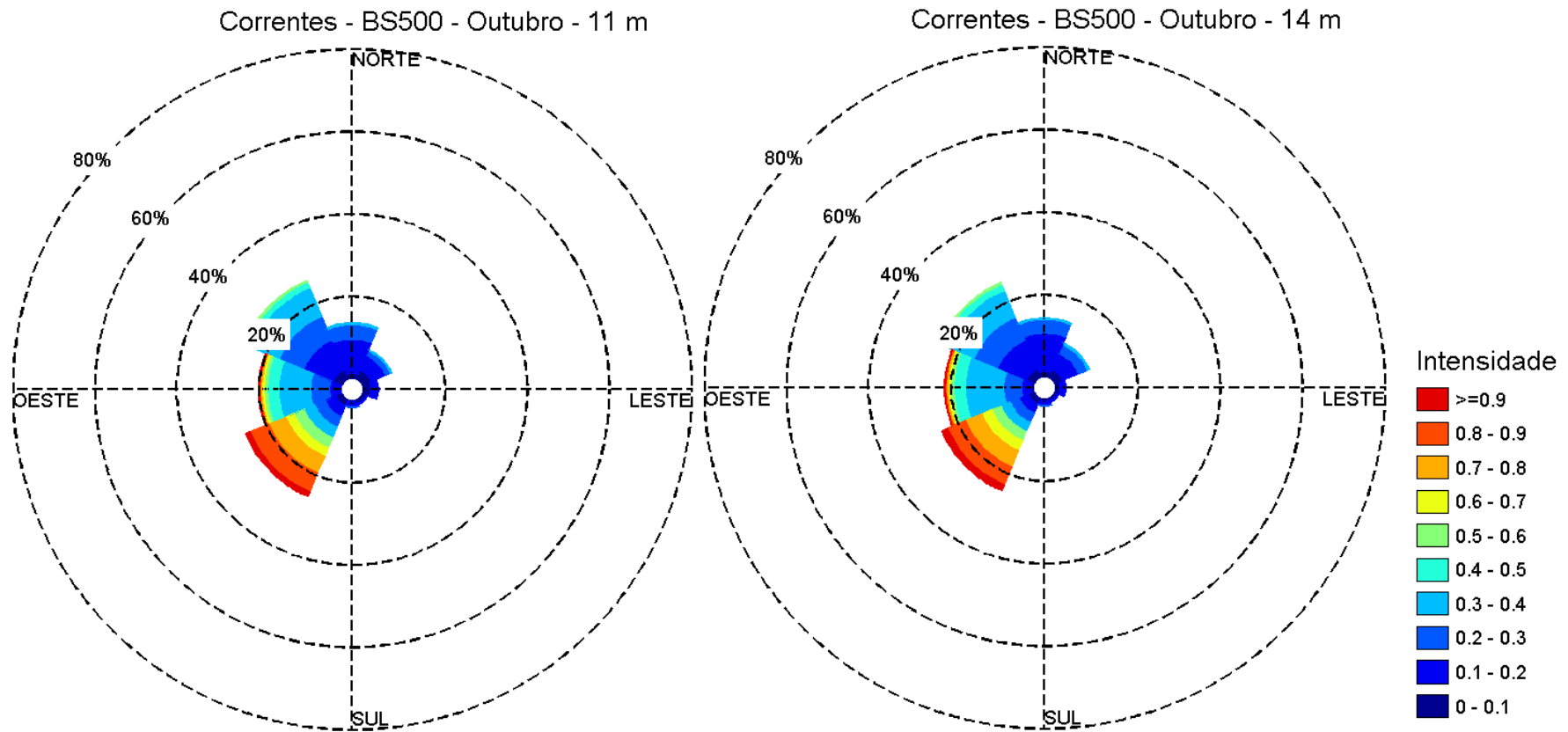
**Figura II.5.1.2-144** – Distribuição direcional da frequência de ocorrência da corrente, de acordo com a intensidade (escala graduada de cores - m/s). As circunferências mostram a frequência de ocorrência em cada direção. Dados do fundeio PETROBRAS BS500 para as profundidades de 51 m e 55 m no mês de setembro.



Fonte de dados: Fundeio PETROBRAS BS500

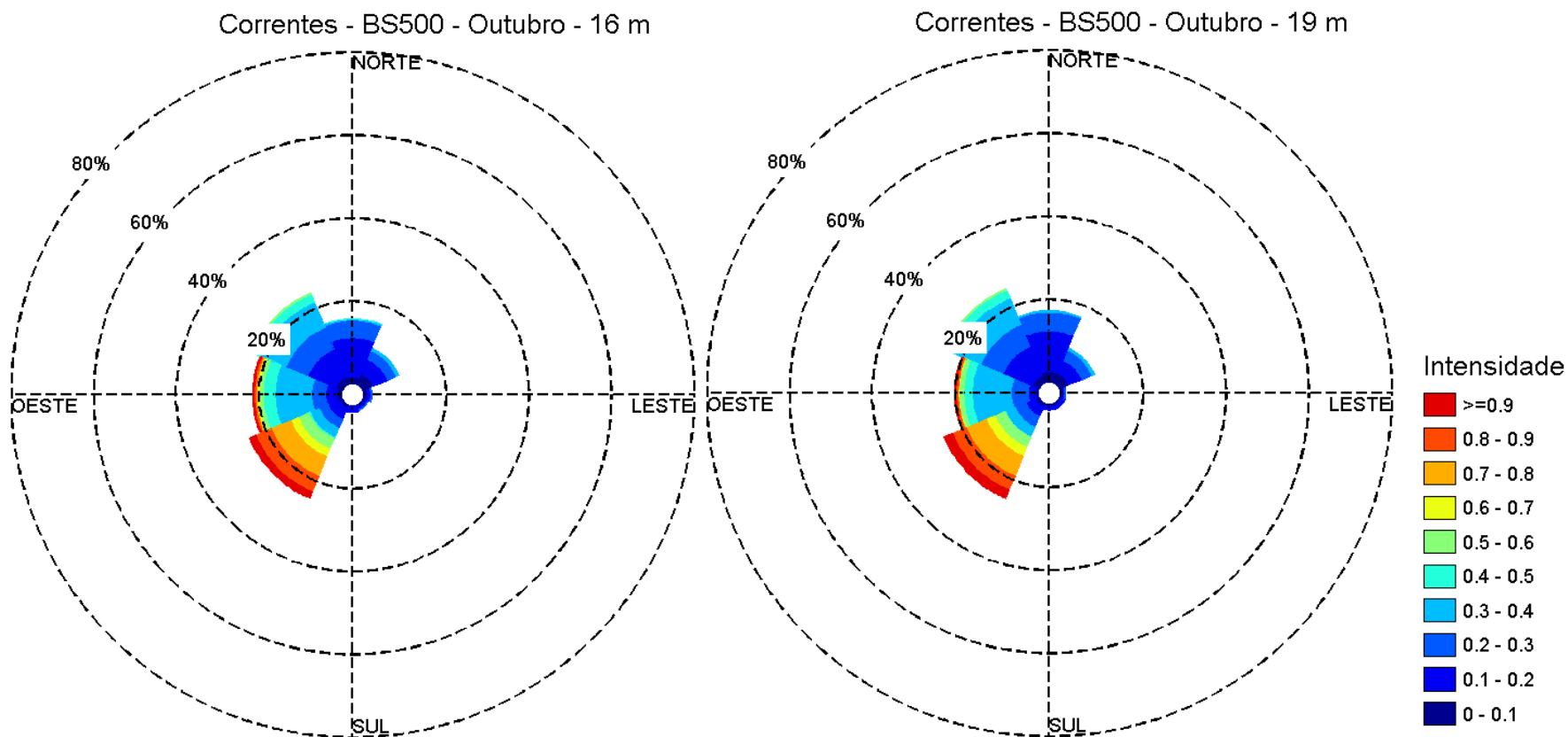
**Figura II.5.1.2-145** – Distribuição direcional da frequência de ocorrência da corrente, de acordo com a intensidade (escala graduada de cores - m/s). As circunferências mostram a frequência de ocorrência em cada direção. Dados do fundeio PETROBRAS BS500 para as profundidades de 6 m e 9 m no mês de outubro.





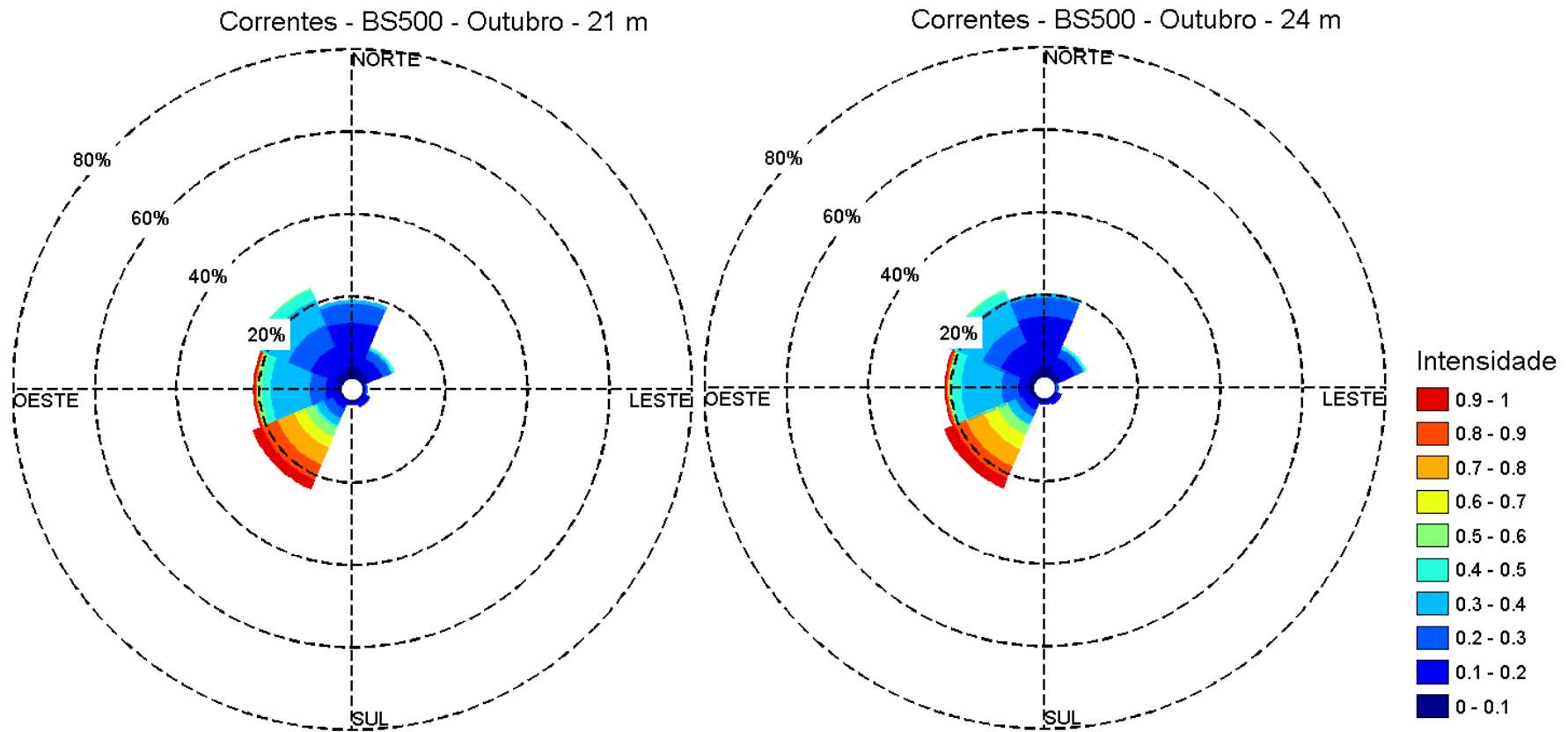
Fonte de dados: Fundeio PETROBRAS BS500

**Figura II.5.1.2-146** – Distribuição direcional da frequência de ocorrência da corrente, de acordo com a intensidade (escala graduada de cores - m/s). As circunferências mostram a frequência de ocorrência em cada direção. Dados do fundeio PETROBRAS BS500 para as profundidades de 11 m e 14 m no mês de outubro.



Fonte de dados: Fundeio PETROBRAS BS500

**Figura II.5.1.2-147** – Distribuição direcional da frequência de ocorrência da corrente, de acordo com a intensidade (escala graduada de cores - m/s). As circunferências mostram a frequência de ocorrência em cada direção. Dados do fundeio PETROBRAS BS500 para as profundidades de 16 m e 19 m no mês de outubro.



Fonte de dados: Fundeio PETROBRAS BS500

**Figura II.5.1.2-148** – Distribuição direcional da frequência de ocorrência da corrente, de acordo com a intensidade (escala graduada de cores - m/s). As circunferências mostram a frequência de ocorrência em cada direção. Dados do fundeio PETROBRAS BS500 para as profundidades de 21 m e 24 m no mês de outubro.

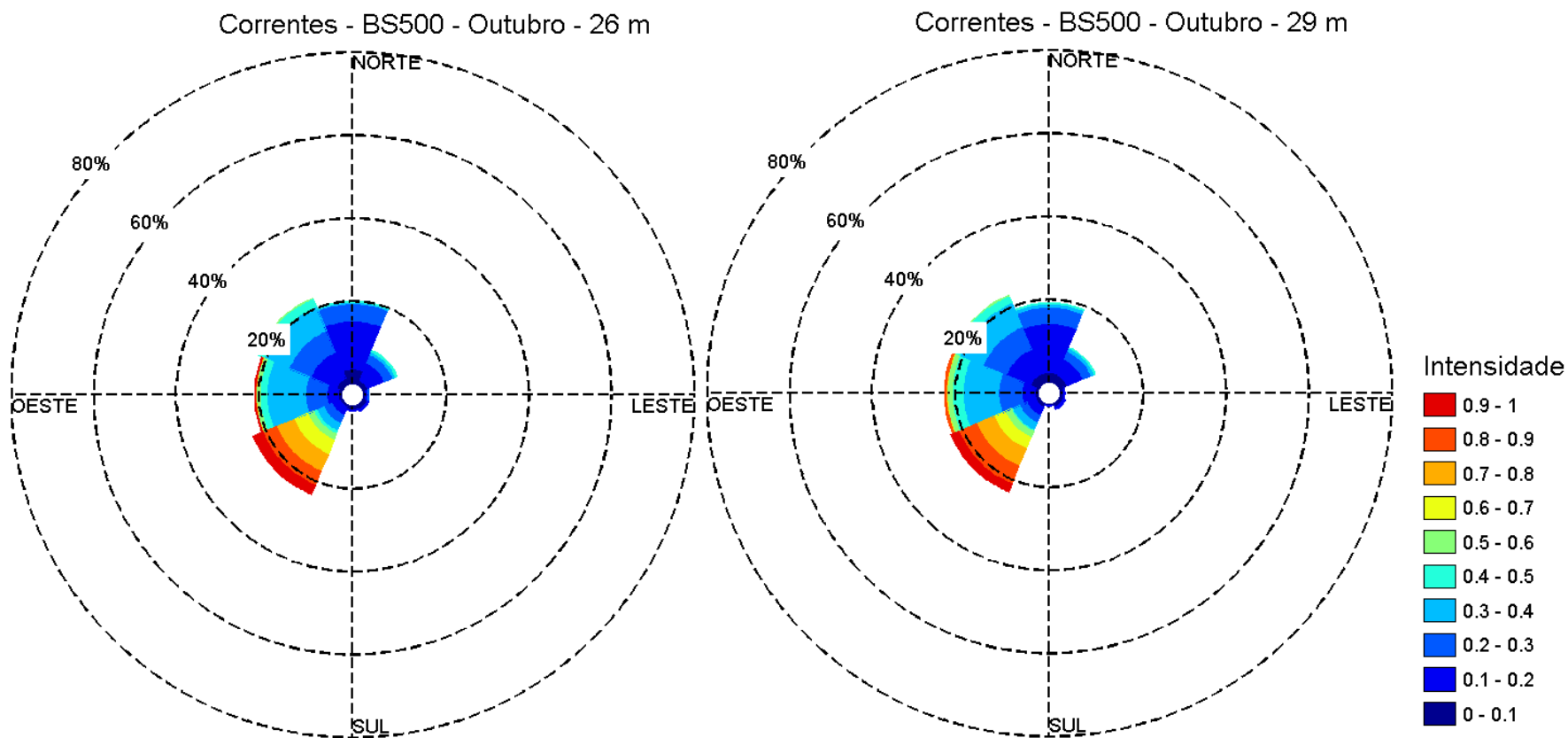


Coordenador da Equipe



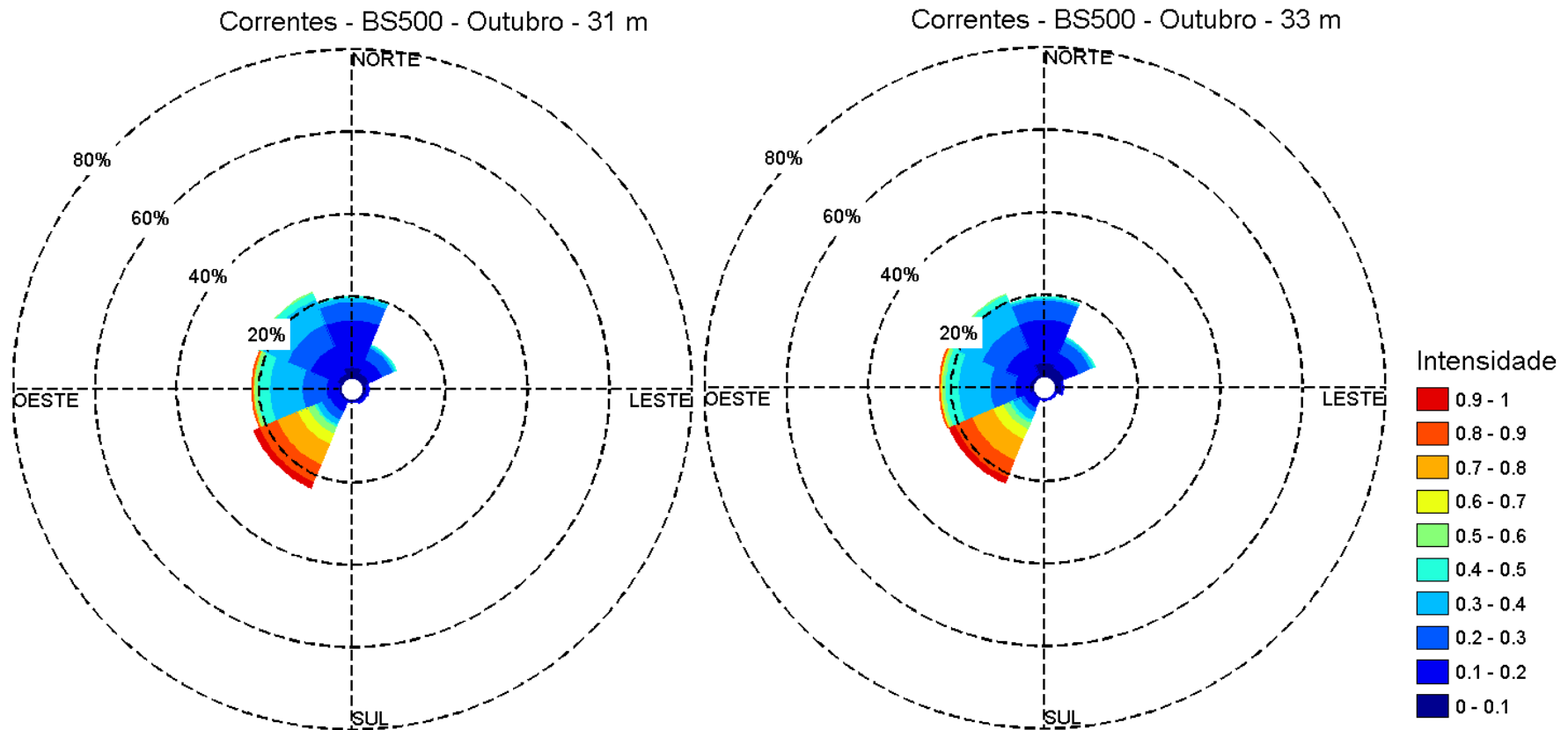
Técnico Responsável

Revisão 00  
06/2014



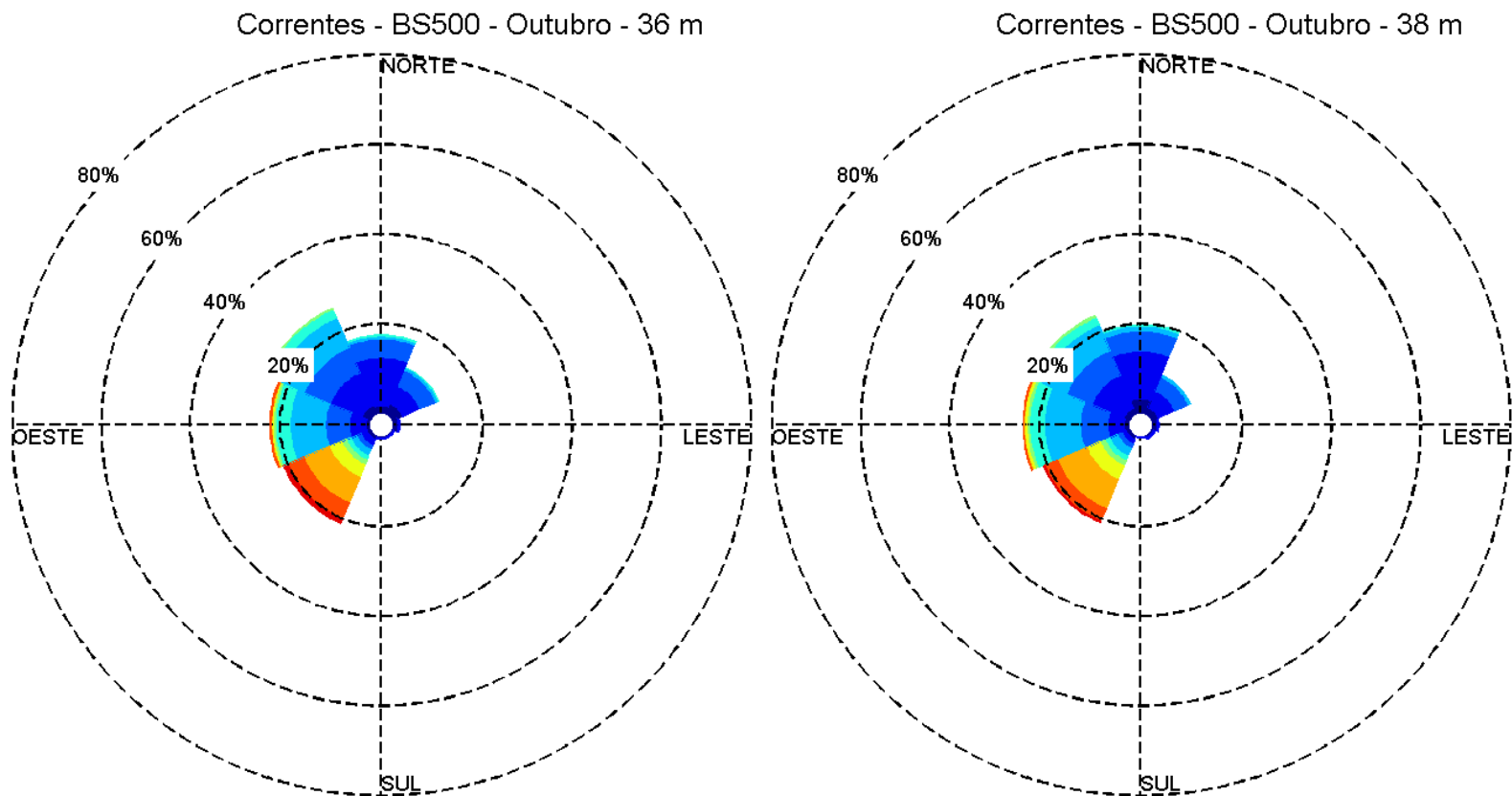
Fonte de dados: Fundeio PETROBRAS BS500

**Figura II.5.1.2-149** – Distribuição direcional da frequência de ocorrência da corrente, de acordo com a intensidade (escala graduada de cores - m/s). As circunferências mostram a frequência de ocorrência em cada direção. Dados do fundeio PETROBRAS BS500 para as profundidades de 26 m e 29 m no mês de outubro.



Fonte de dados: Fundeio PETROBRAS BS500

**Figura II.5.1.2-150** – Distribuição direcional da frequência de ocorrência da corrente, de acordo com a intensidade (escala graduada de cores - m/s). As circunferências mostram a frequência de ocorrência em cada direção. Dados do fundeio PETROBRAS BS500 para as profundidades de 31 m e 33 m no mês de outubro.



Fonte de dados: Fundeio PETROBRAS BS500

**Figura II.5.1.2-151** – Distribuição direcional da frequência de ocorrência da corrente, de acordo com a intensidade (escala graduada de cores - m/s). As circunferências mostram a frequência de ocorrência em cada direção. Dados do fundeio PETROBRAS BS500 para as profundidades de 36 m e 38 m no mês de outubro.

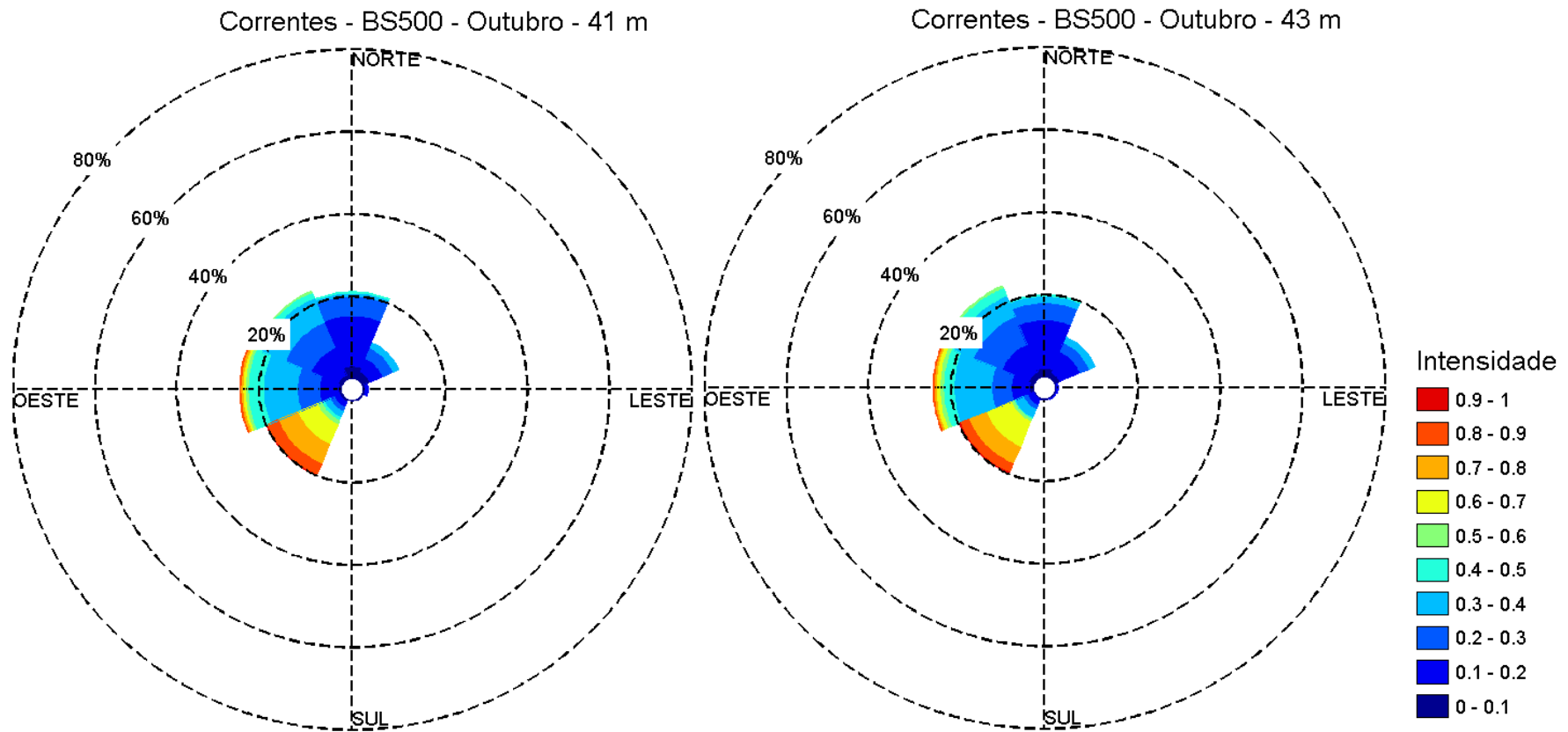


Coordenador da Equipe



Técnico Responsável

Revisão 00  
06/2014



Fonte de dados: Fundeio PETROBRAS BS500

**Figura II.5.1.2-152** – Distribuição direcional da frequência de ocorrência da corrente, de acordo com a intensidade (escala graduada de cores - m/s). As circunferências mostram a frequência de ocorrência em cada direção. Dados do fundeio PETROBRAS BS500 para as profundidades de 41 m e 43 m no mês de outubro.

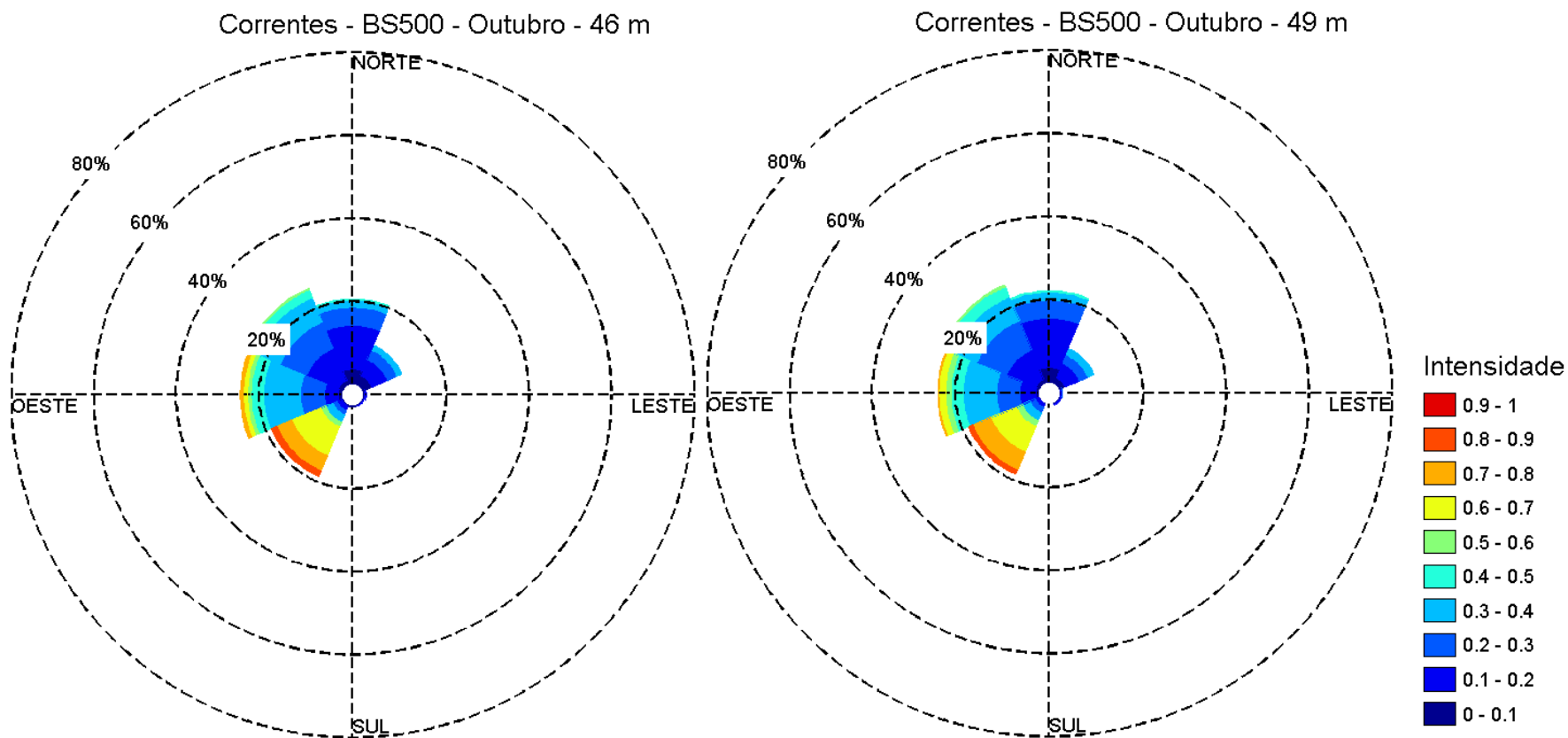


Coordenador da Equipe



Técnico Responsável

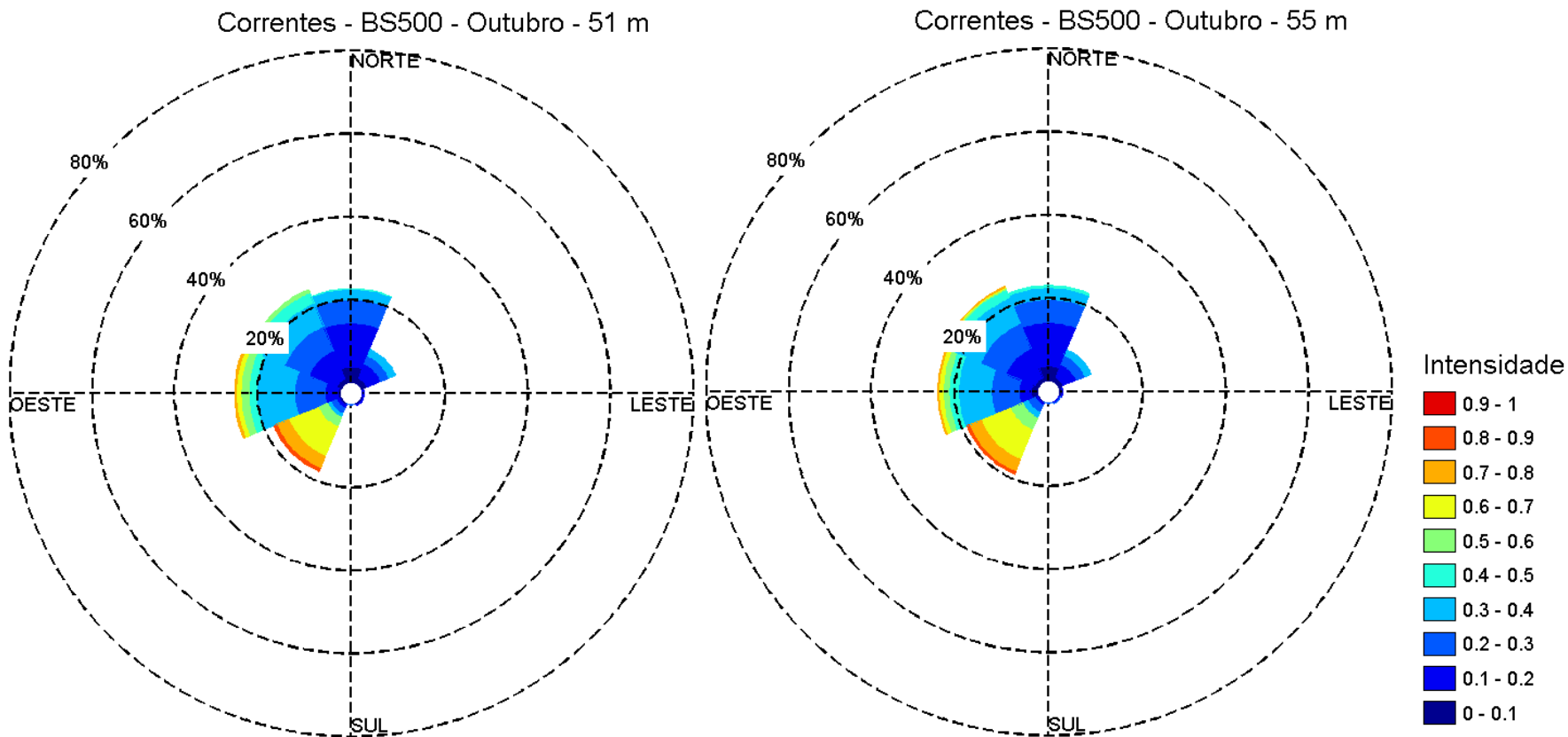
Revisão 00  
06/2014



Fonte de dados: Fundeio PETROBRAS BS500

**Figura II.5.1.2-153** – Distribuição direcional da frequência de ocorrência da corrente, de acordo com a intensidade (escala graduada de cores - m/s). As circunferências mostram a frequência de ocorrência em cada direção. Dados do fundeio PETROBRAS BS500 para as profundidades de 46 m e 49 m no mês de outubro.





Fonte de dados: Fundeio PETROBRAS BS500

**Figura II.5.1.2-154** – Distribuição direcional da frequência de ocorrência da corrente, de acordo com a intensidade (escala graduada de cores - m/s). As circunferências mostram a frequência de ocorrência em cada direção. Dados do fundeio PETROBRAS BS500 para as profundidades de 51 m e 55 m no mês de outubro.

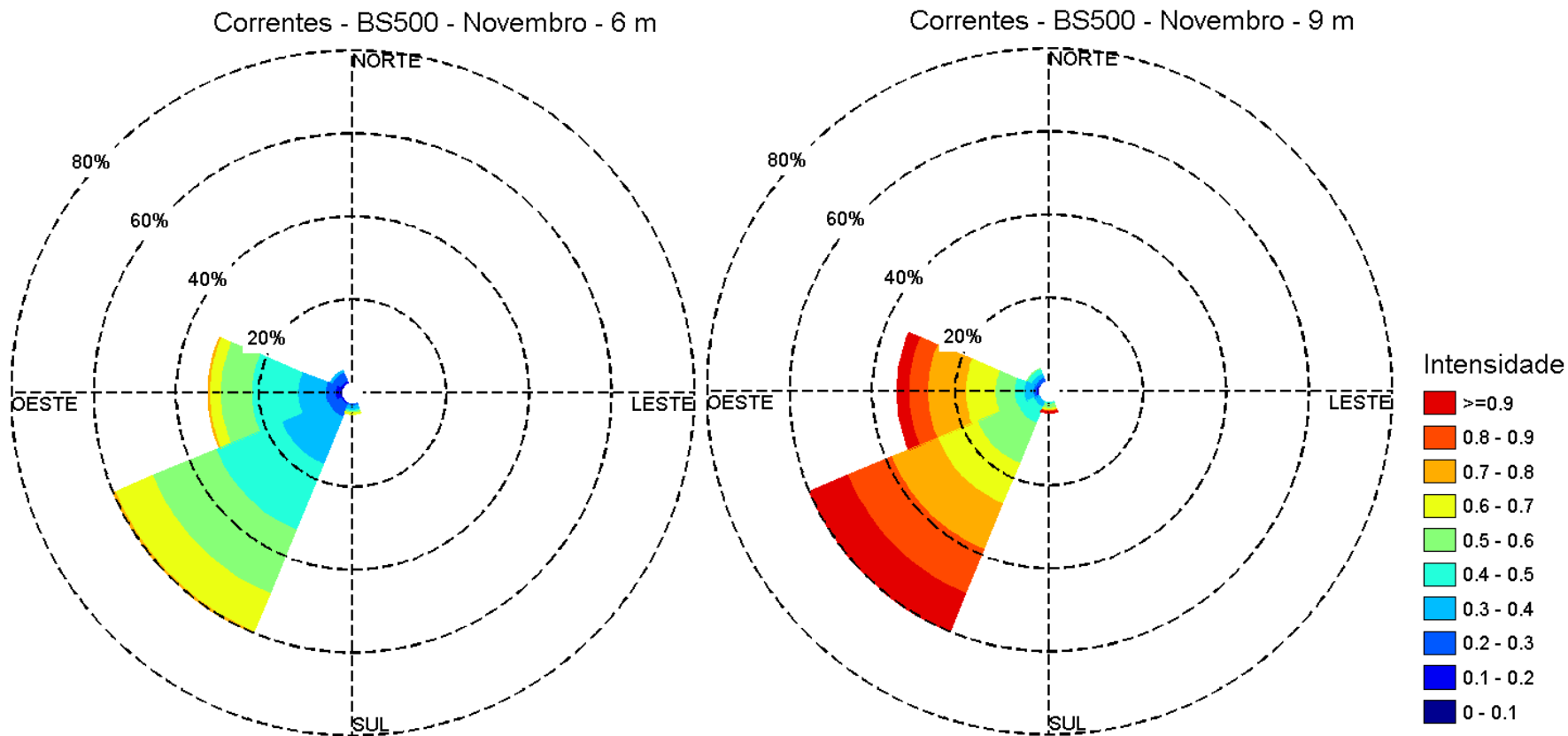


Coordenador da Equipe



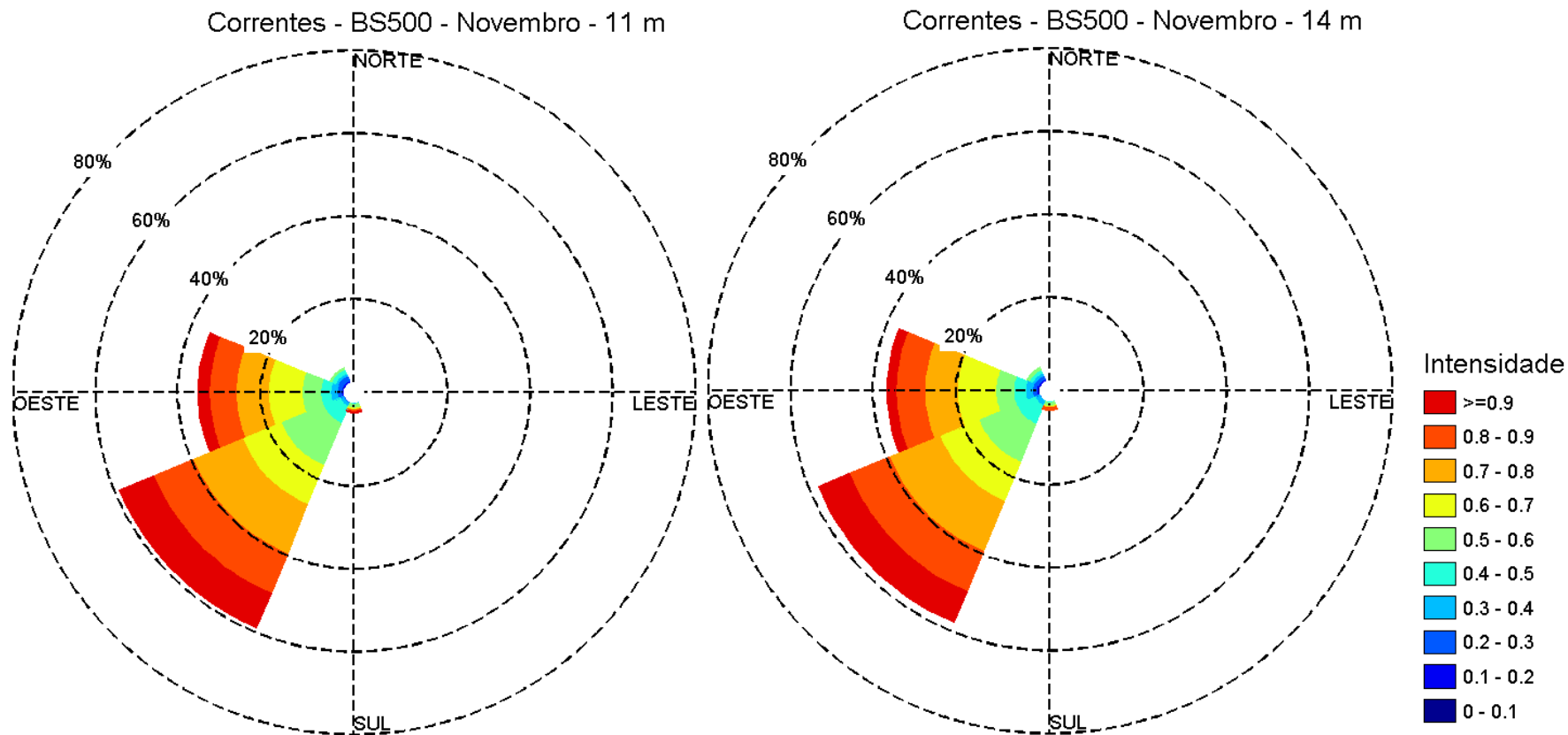
Técnico Responsável

Revisão 00  
06/2014



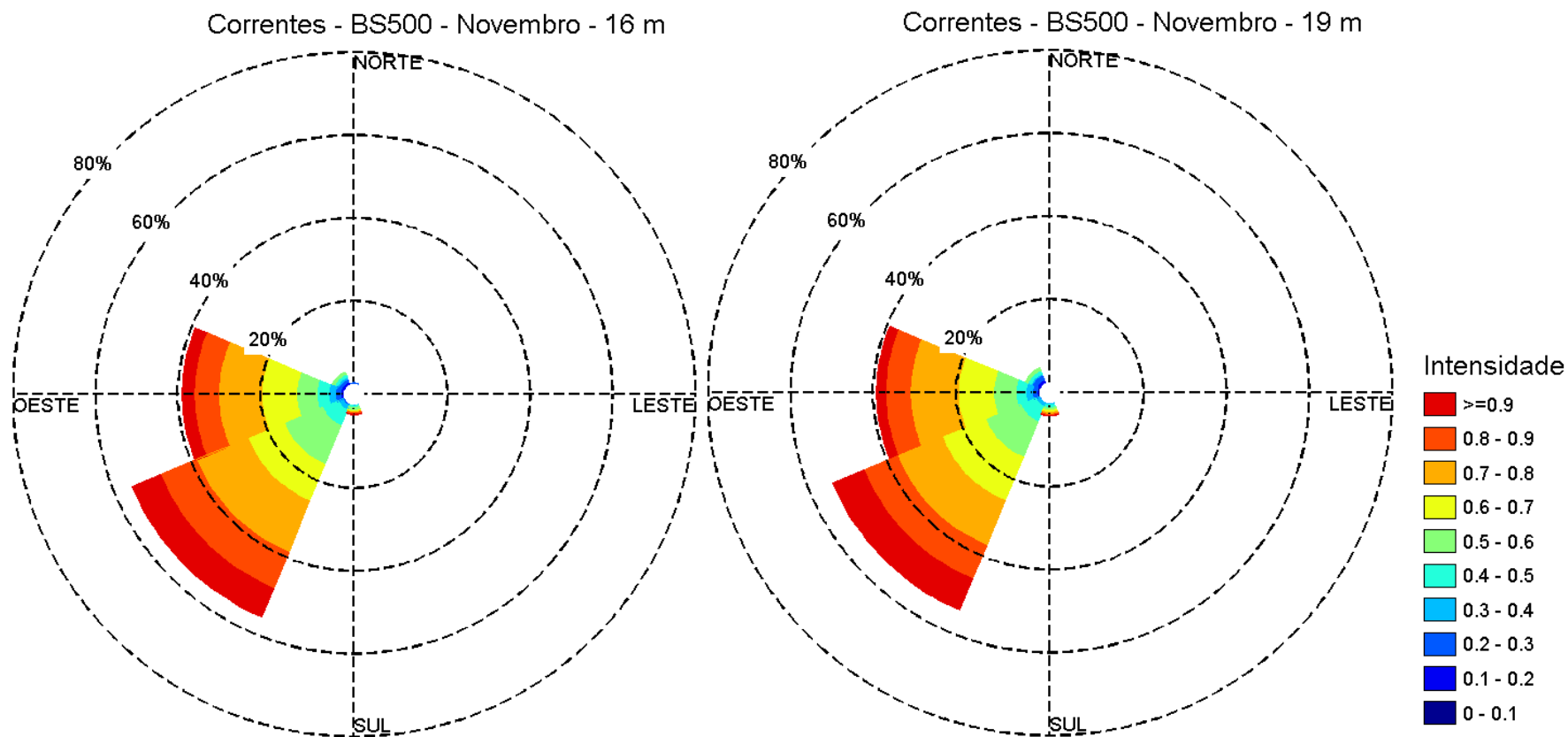
Fonte de dados: Fundeio PETROBRAS BS500

**Figura II.5.1.2-155** – Distribuição direcional da frequência de ocorrência da corrente, de acordo com a intensidade (escala graduada de cores - m/s). As circunferências mostram a frequência de ocorrência em cada direção. Dados do fundeio PETROBRAS BS500 para as profundidades de 6 m e 9 m no mês de novembro.



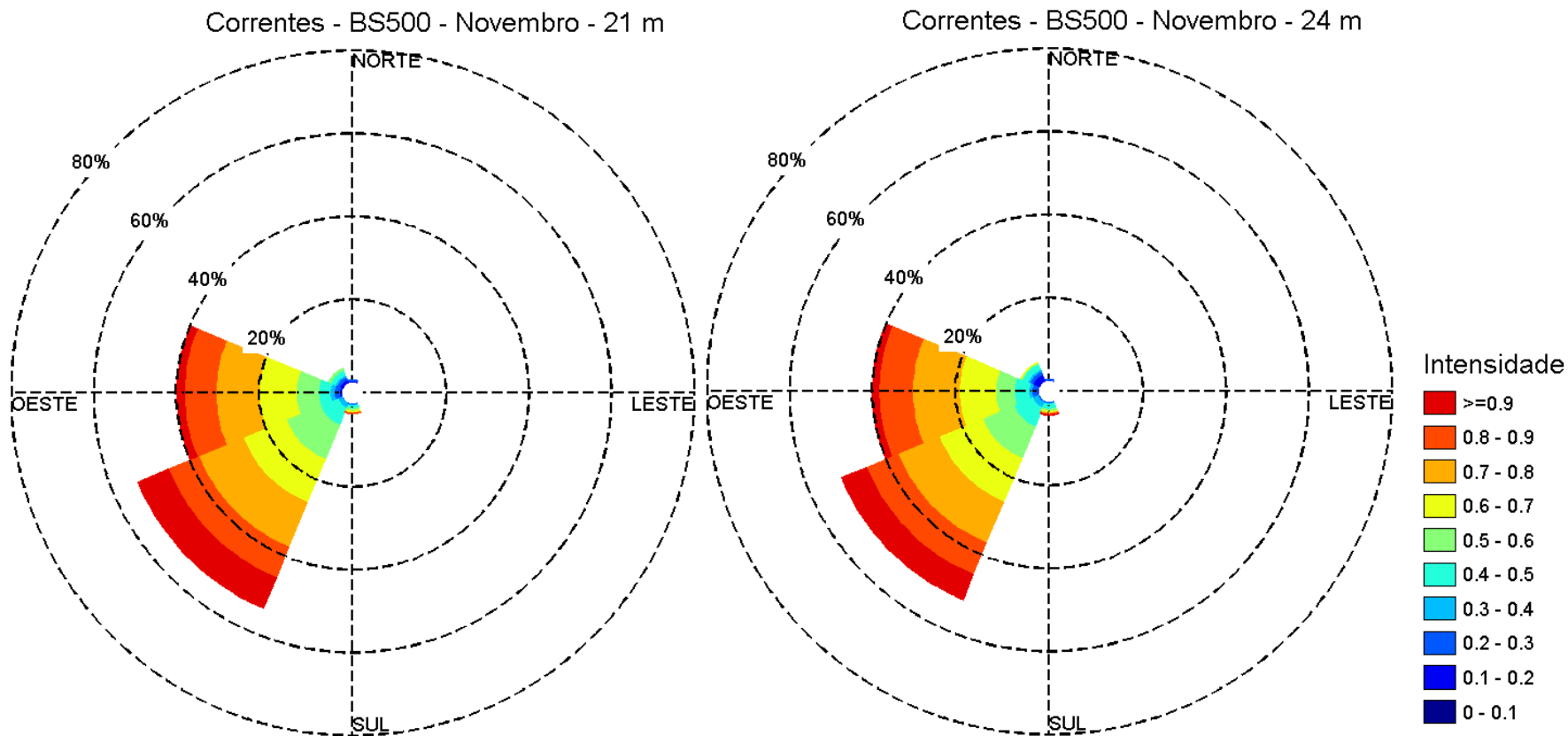
Fonte de dados: Fundeio PETROBRAS BS500

**Figura II.5.1.2-156** – Distribuição direcional da frequência de ocorrência da corrente, de acordo com a intensidade (escala graduada de cores - m/s). As circunferências mostram a frequência de ocorrência em cada direção. Dados do fundeio PETROBRAS BS500 para as profundidades de 11 m e 14 m no mês de novembro.



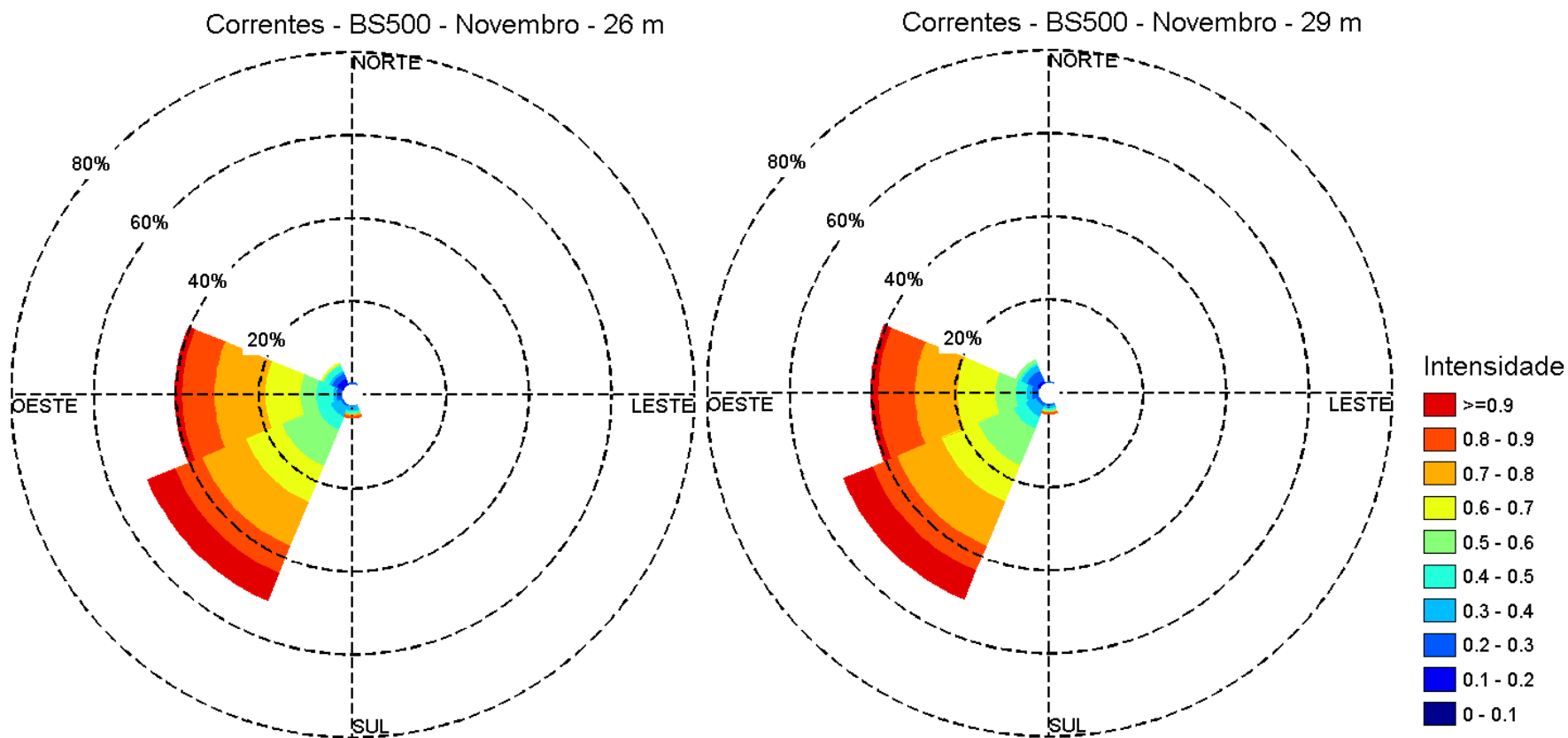
Fonte de dados: Fundeio PETROBRAS BS500

**Figura II.5.1.2-157** – Distribuição direcional da frequência de ocorrência da corrente, de acordo com a intensidade (escala graduada de cores - m/s). As circunferências mostram a frequência de ocorrência em cada direção. Dados do fundeio PETROBRAS BS500 para as profundidades de 16 m e 19 m no mês de novembro.



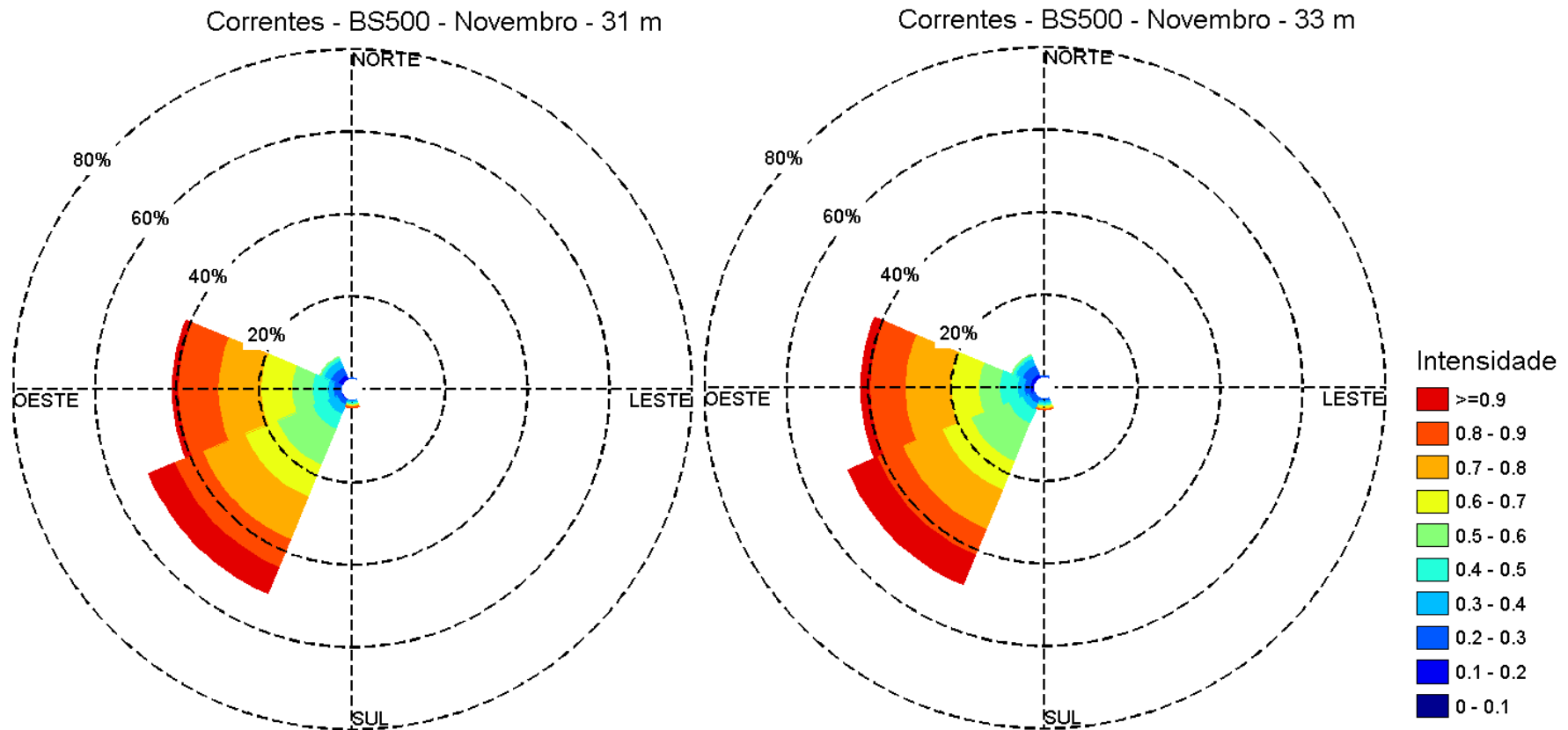
Fonte de dados: Fundeio PETROBRAS BS500

**Figura II.5.1.2-158** – Distribuição direcional da frequência de ocorrência da corrente, de acordo com a intensidade (escala graduada de cores - m/s). As circunferências mostram a frequência de ocorrência em cada direção. Dados do fundeio PETROBRAS BS500 para as profundidades de 21 m e 24 m no mês de novembro.



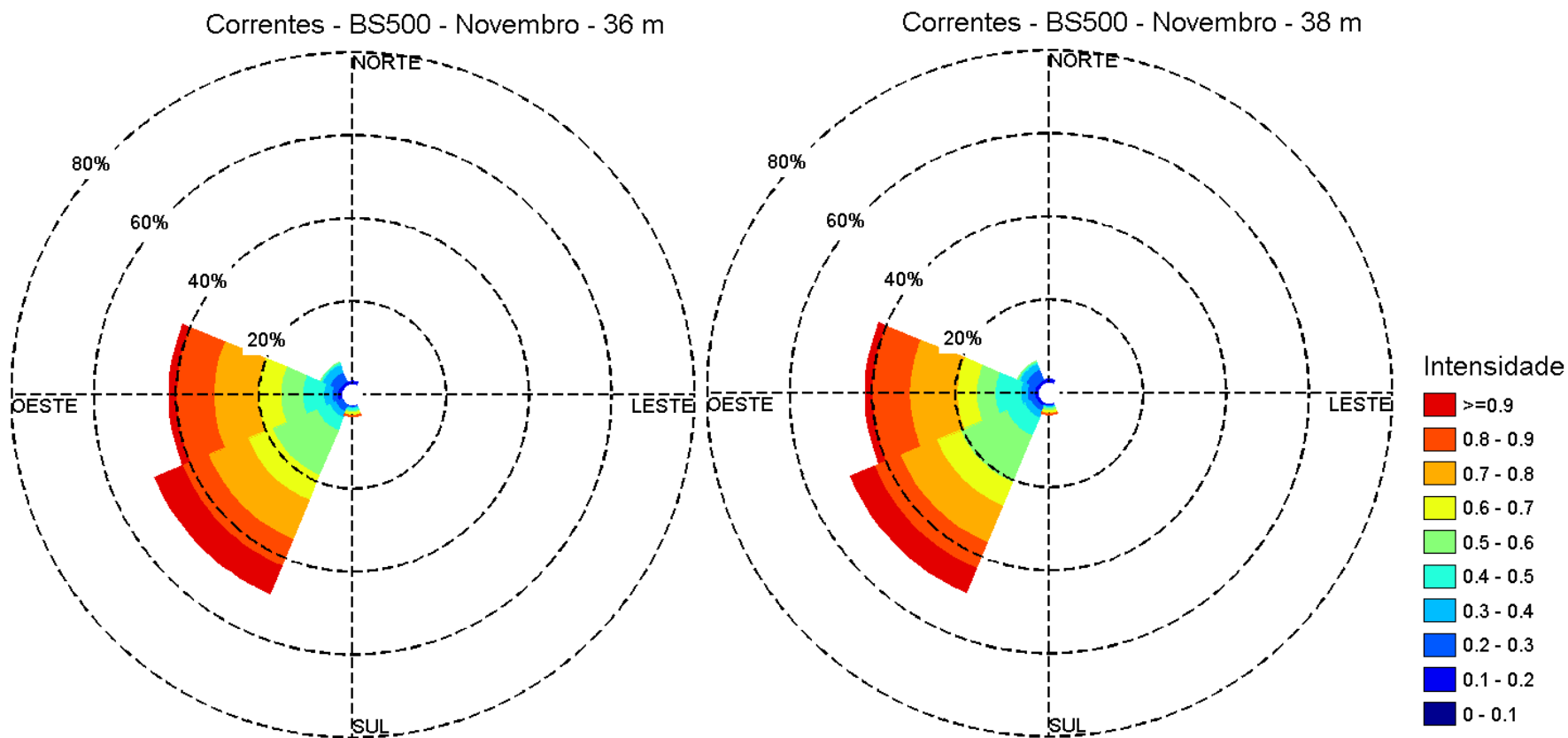
Fonte de dados: Fundeio PETROBRAS BS500

**Figura II.5.1.2-159** – Distribuição direcional da frequência de ocorrência da corrente, de acordo com a intensidade (escala graduada de cores - m/s). As circunferências mostram a frequência de ocorrência em cada direção. Dados do fundeio PETROBRAS BS500 para as profundidades de 26 m e 29 m no mês de novembro.



Fonte de dados: Fundeio PETROBRAS BS500

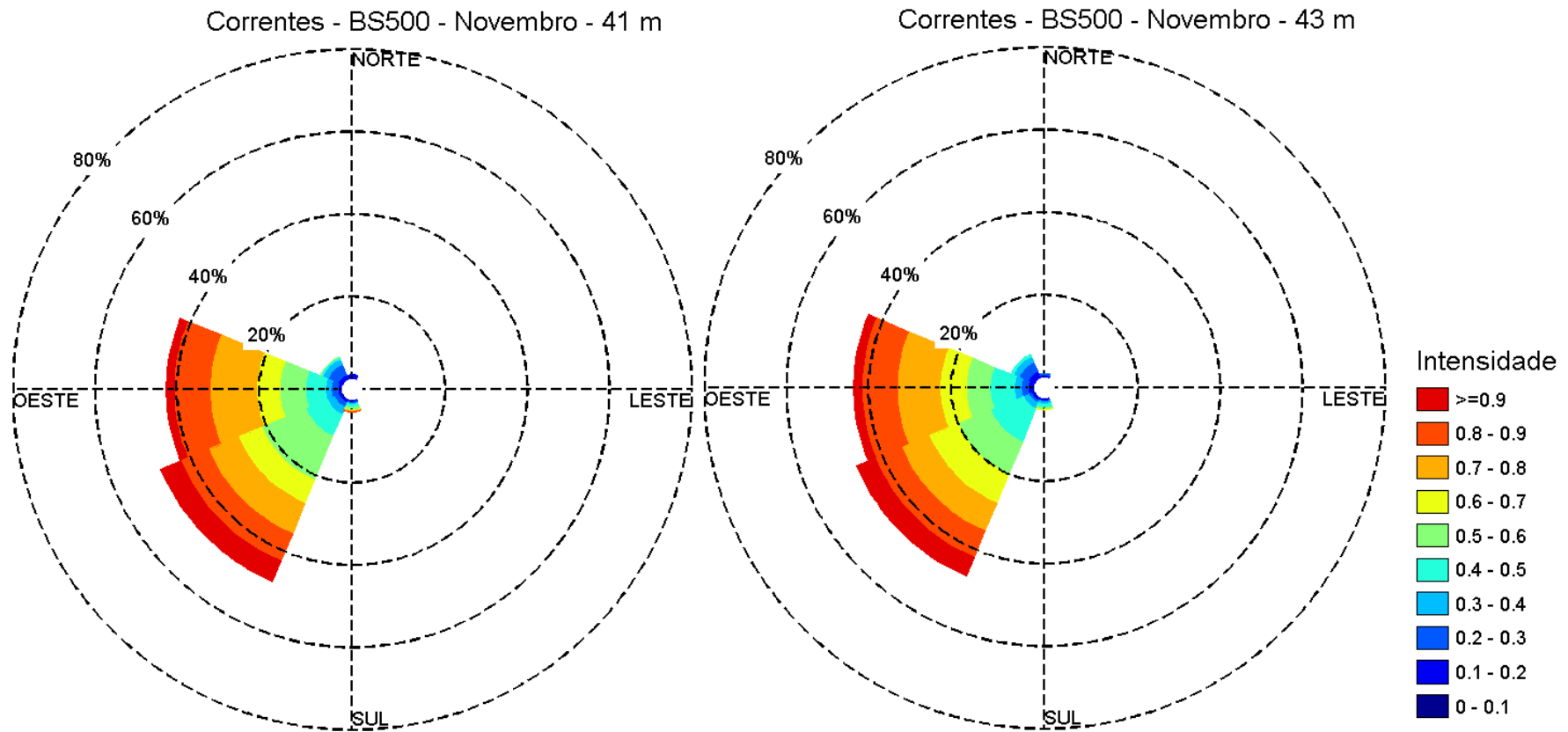
**Figura II.5.1.2-160** – Distribuição direcional da frequência de ocorrência da corrente, de acordo com a intensidade (escala graduada de cores - m/s). As circunferências mostram a frequência de ocorrência em cada direção. Dados do fundeio PETROBRAS BS500 para as profundidades de 31 m e 33 m no mês de novembro.



Fonte de dados: Fundeio PETROBRAS BS500

**Figura II.5.1.2-161** – Distribuição direcional da frequência de ocorrência da corrente, de acordo com a intensidade (escala graduada de cores - m/s). As circunferências mostram a frequência de ocorrência em cada direção. Dados do fundeio PETROBRAS BS500 para as profundidades de 36 m e 38 m no mês de novembro.





Fonte de dados: Fundeio PETROBRAS BS500

**Figura II.5.1.2-162** – Distribuição direcional da frequência de ocorrência da corrente, de acordo com a intensidade (escala graduada de cores - m/s). As circunferências mostram a frequência de ocorrência em cada direção. Dados do fundeio PETROBRAS BS500 para as profundidades de 41 m e 43 m no mês de novembro.

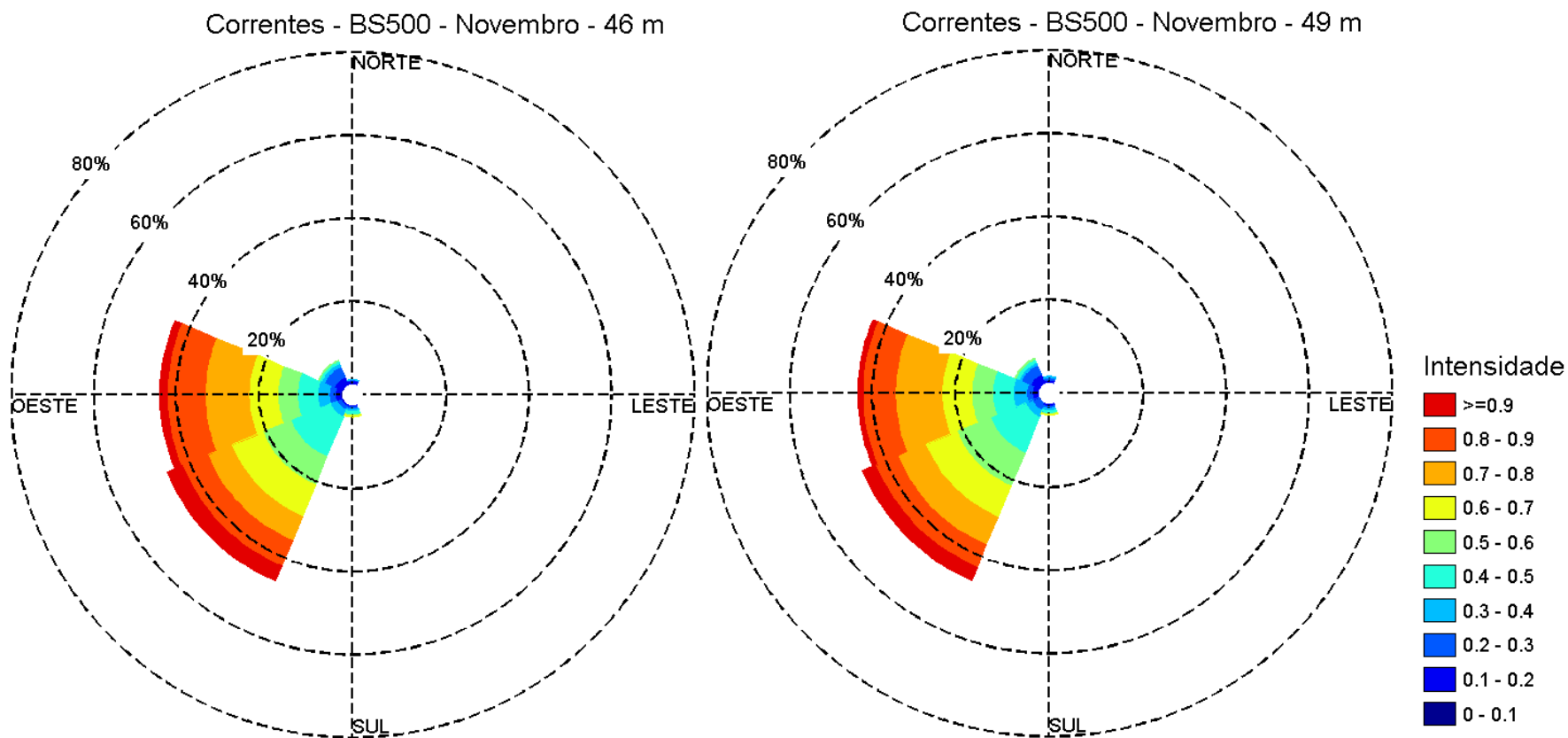


Coordenador da Equipe



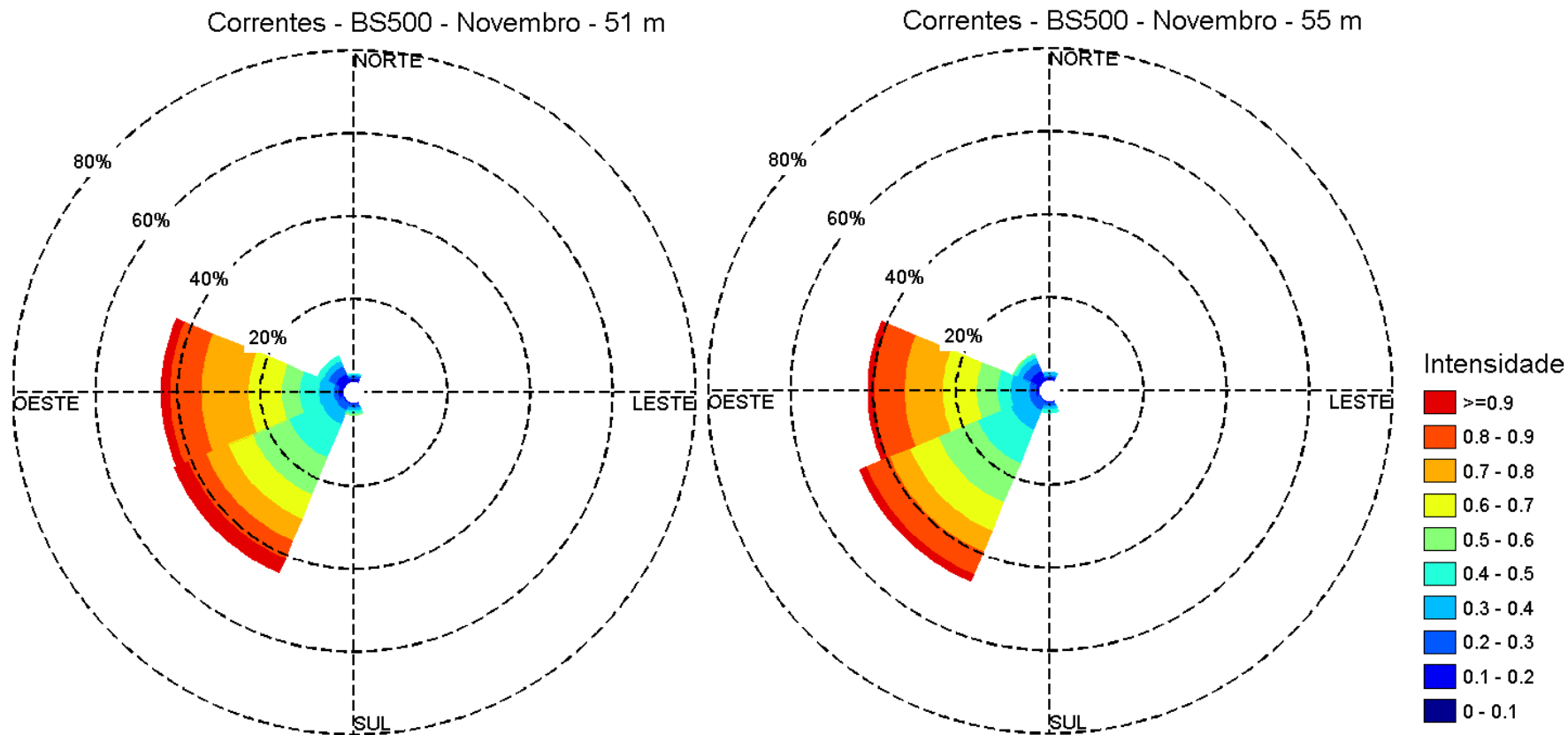
Técnico Responsável

Revisão 00  
06/2014



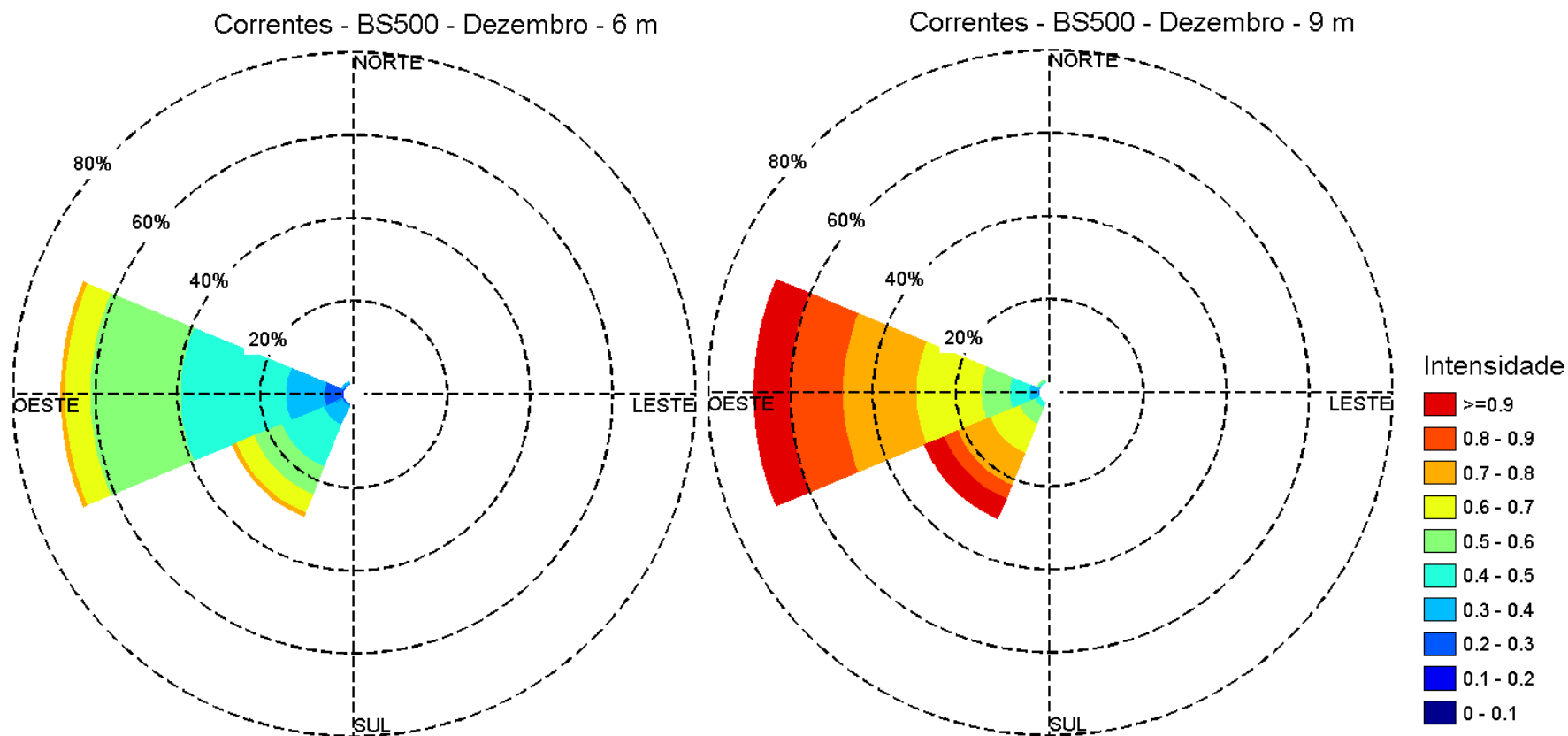
Fonte de dados: Fundeio PETROBRAS BS500

**Figura II.5.1.2-163** – Distribuição direcional da frequência de ocorrência da corrente, de acordo com a intensidade (escala graduada de cores - m/s). As circunferências mostram a frequência de ocorrência em cada direção. Dados do fundeio PETROBRAS BS500 para as profundidades de 46 m e 49 m no mês de novembro.



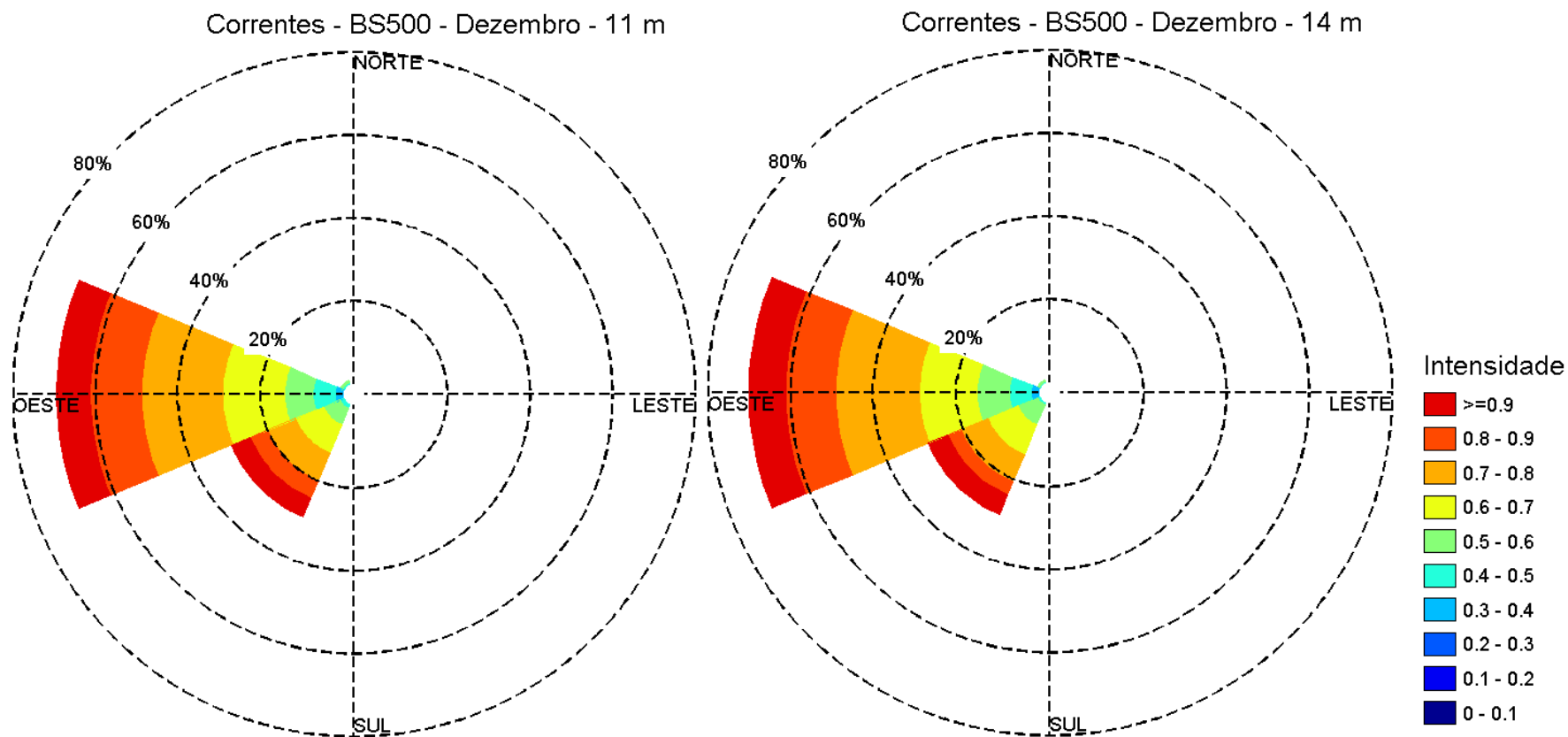
Fonte de dados: Fundeio PETROBRAS BS500

**Figura II.5.1.2-164** – Distribuição direcional da frequência de ocorrência da corrente, de acordo com a intensidade (escala graduada de cores - m/s). As circunferências mostram a frequência de ocorrência em cada direção. Dados do fundeio PETROBRAS BS500 para as profundidades de 51 m e 55 m no mês de novembro.



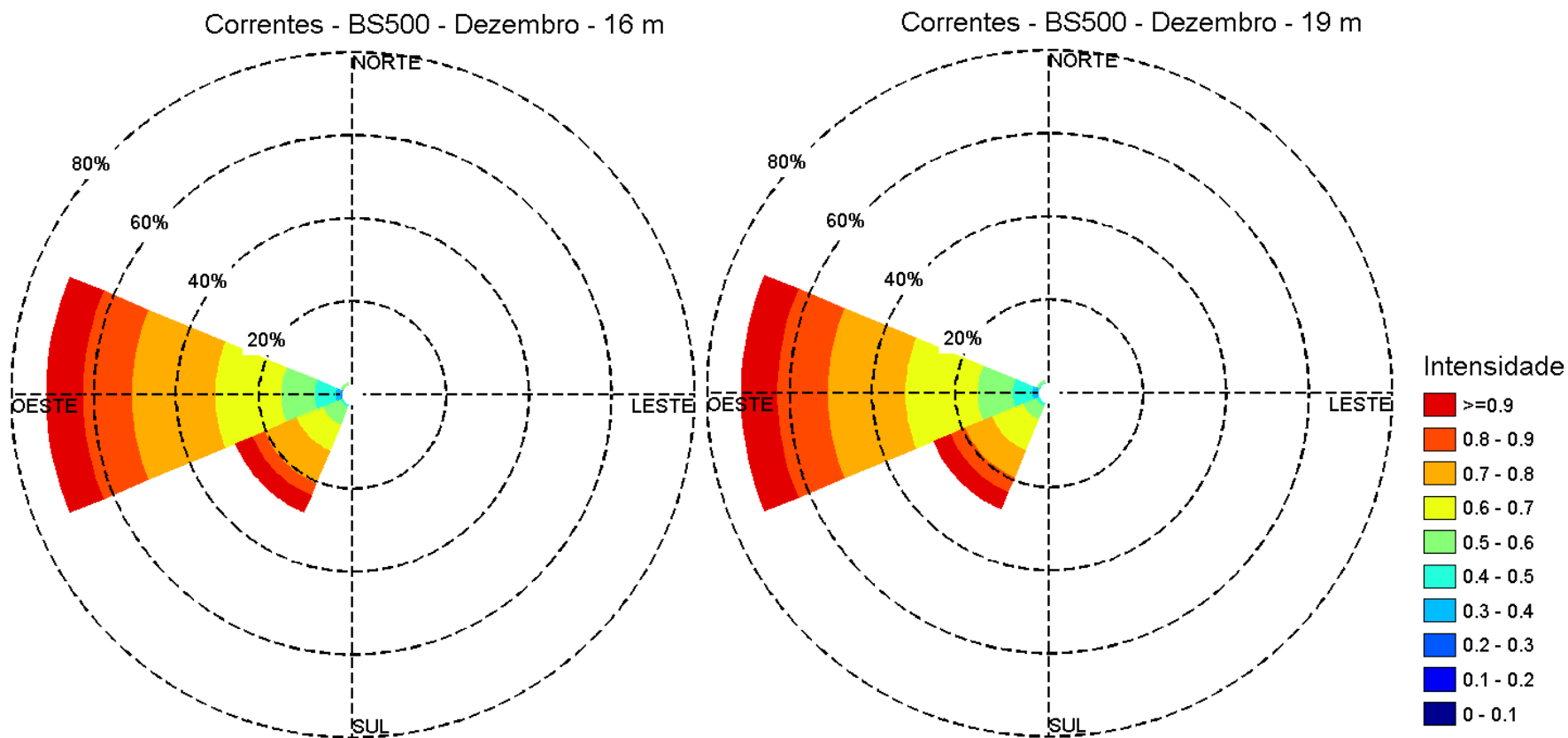
Fonte de dados: Fundeio PETROBRAS BS500

**Figura II.5.1.2-165** – Distribuição direcional da frequência de ocorrência da corrente, de acordo com a intensidade (escala graduada de cores - m/s). As circunferências mostram a frequência de ocorrência em cada direção. Dados do fundeio PETROBRAS BS500 para as profundidades de 6 m e 9 m no mês de dezembro.



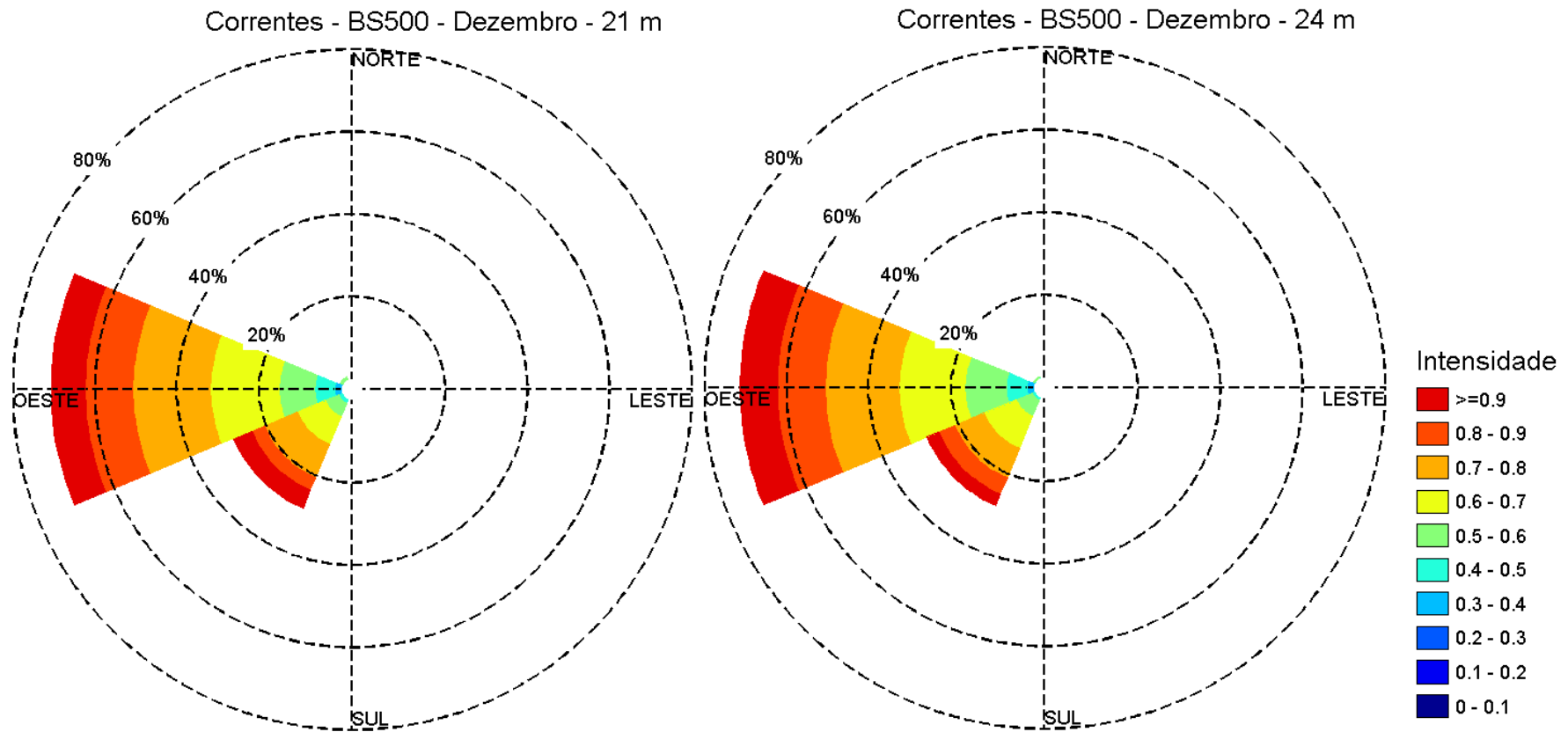
Fonte de dados: Fundeio PETROBRAS BS500

**Figura II.5.1.2-166** – Distribuição direcional da frequência de ocorrência da corrente, de acordo com a intensidade (escala graduada de cores - m/s). As circunferências mostram a frequência de ocorrência em cada direção. Dados do fundeio PETROBRAS BS500 para as profundidades de 11 m e 14 m no mês de dezembro.



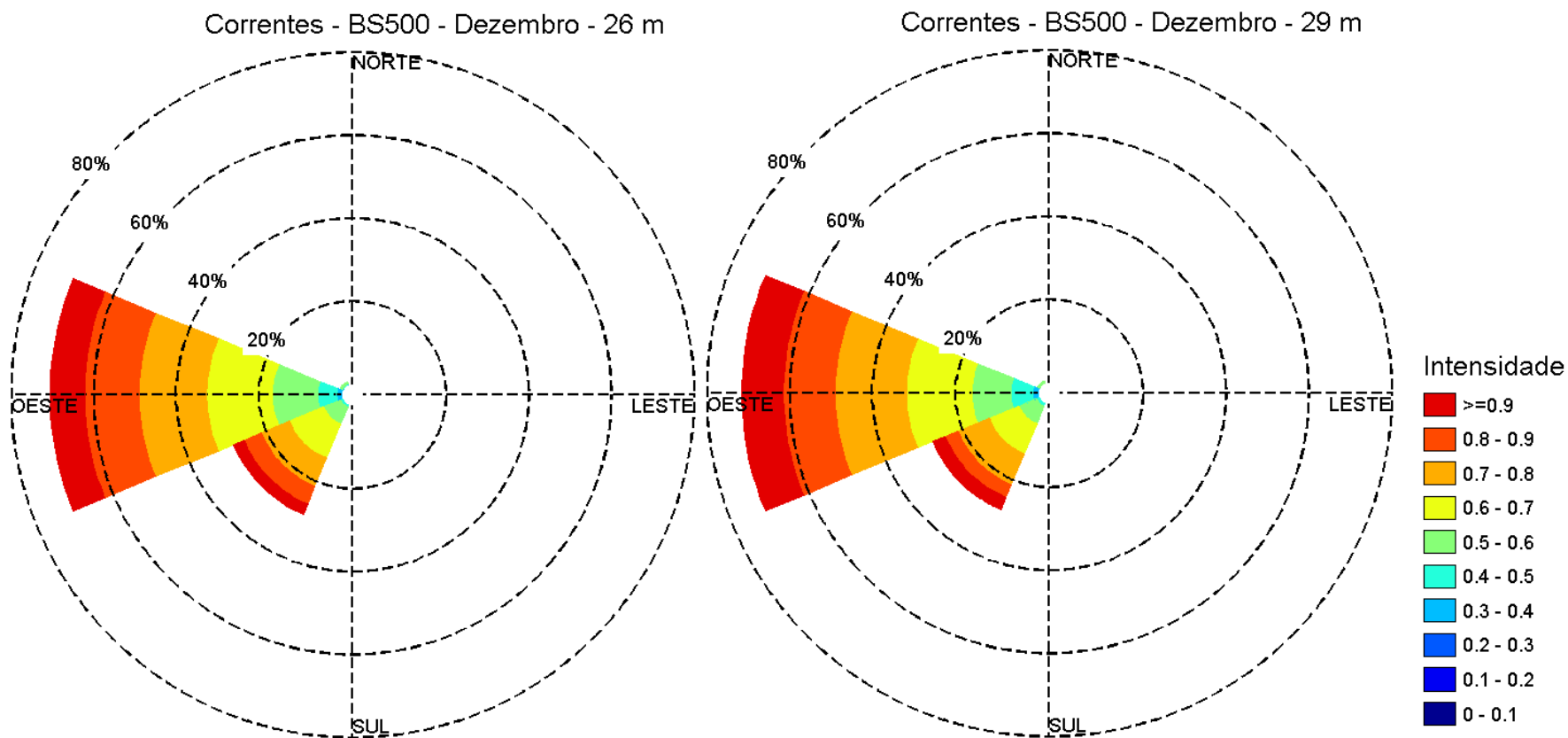
Fonte de dados: Fundeio PETROBRAS BS500

**Figura II.5.1.2-167** – Distribuição direcional da frequência de ocorrência da corrente, de acordo com a intensidade (escala graduada de cores - m/s). As circunferências mostram a frequência de ocorrência em cada direção. Dados do fundeio PETROBRAS BS500 para as profundidades de 16 m e 19 m no mês de dezembro.



Fonte de dados: Fundeio PETROBRAS BS500

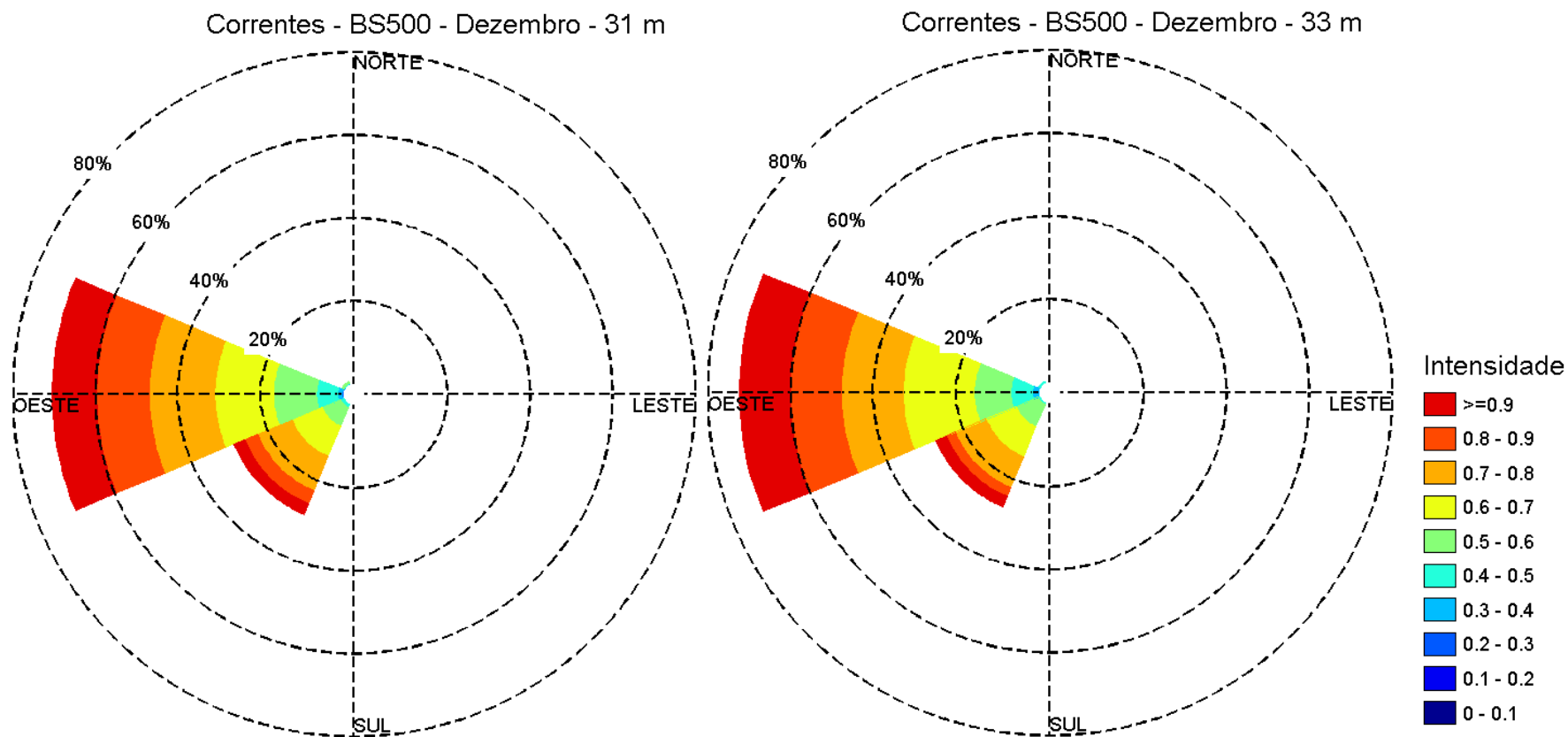
**Figura II.5.1.2-168** – Distribuição direcional da frequência de ocorrência da corrente, de acordo com a intensidade (escala graduada de cores - m/s). As circunferências mostram a frequência de ocorrência em cada direção. Dados do fundeio PETROBRAS BS500 para as profundidades de 21 m e 24 m no mês de dezembro.



Fonte de dados: Fundeio PETROBRAS BS500

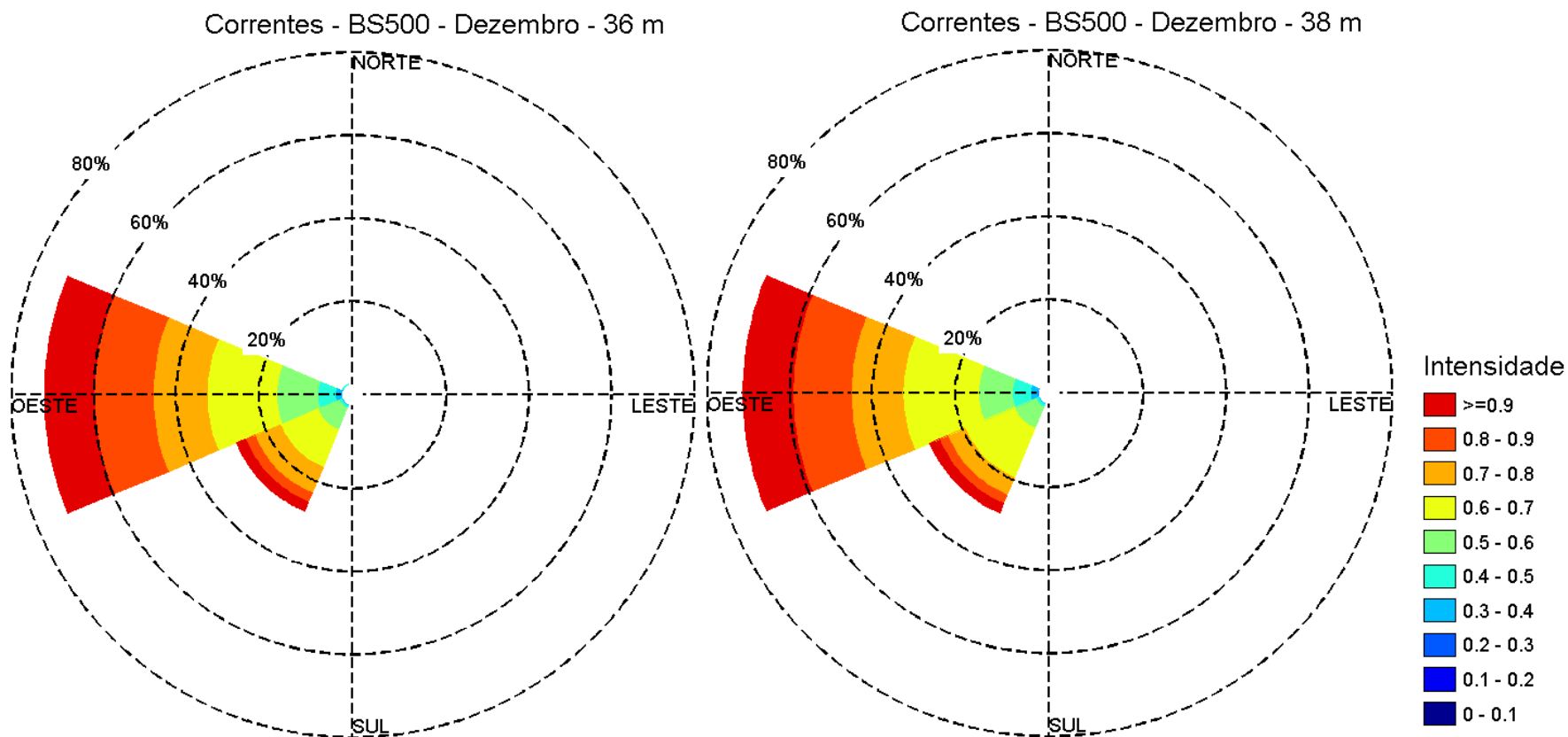
**Figura II.5.1.2-169** – Distribuição direcional da frequência de ocorrência da corrente, de acordo com a intensidade (escala graduada de cores - m/s). As circunferências mostram a frequência de ocorrência em cada direção. Dados do fundeio PETROBRAS BS500 para as profundidades de 26 m e 29 m no mês de dezembro.





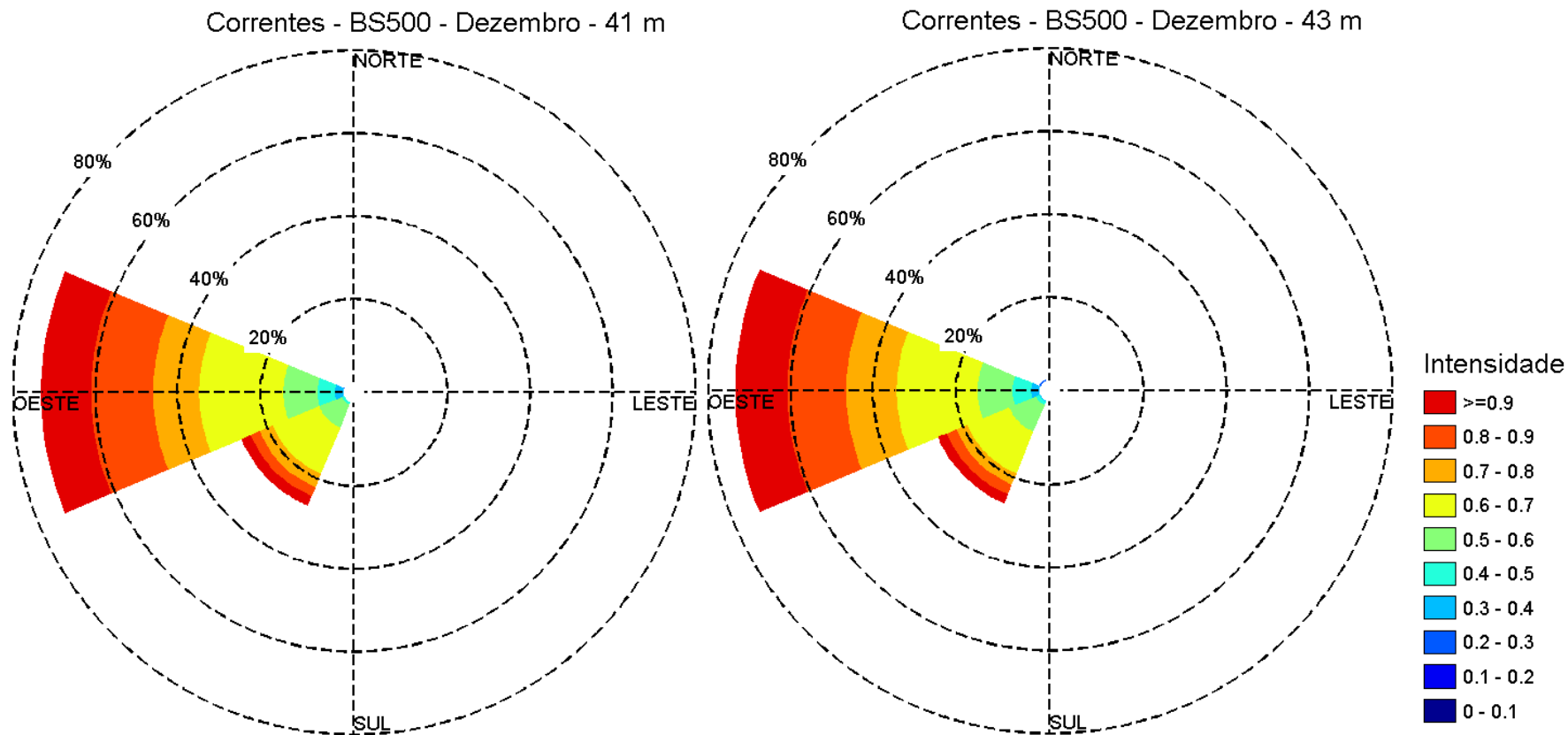
Fonte de dados: Fundeio PETROBRAS BS500

**Figura II.5.1.2-170** – Distribuição direcional da frequência de ocorrência da corrente, de acordo com a intensidade (escala graduada de cores - m/s). As circunferências mostram a frequência de ocorrência em cada direção. Dados do fundeio PETROBRAS BS500 para as profundidades de 31 m e 33 m no mês de dezembro.



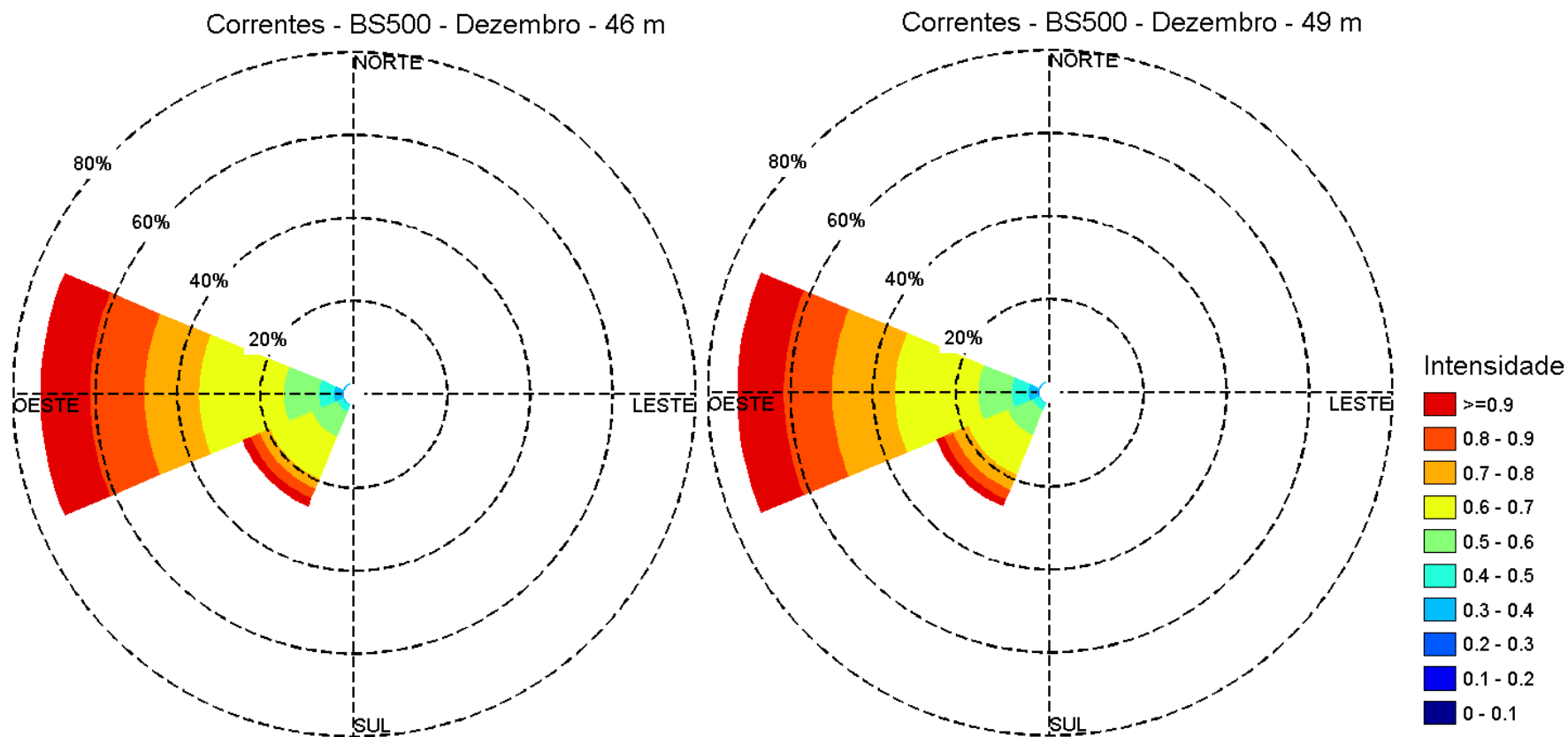
Fonte de dados: Fundeio PETROBRAS BS500

**Figura II.5.1.2-171** – Distribuição direcional da frequência de ocorrência da corrente, de acordo com a intensidade (escala graduada de cores - m/s). As circunferências mostram a frequência de ocorrência em cada direção. Dados do fundeio PETROBRAS BS500 para as profundidades de 36 m e 38 m no mês de dezembro.



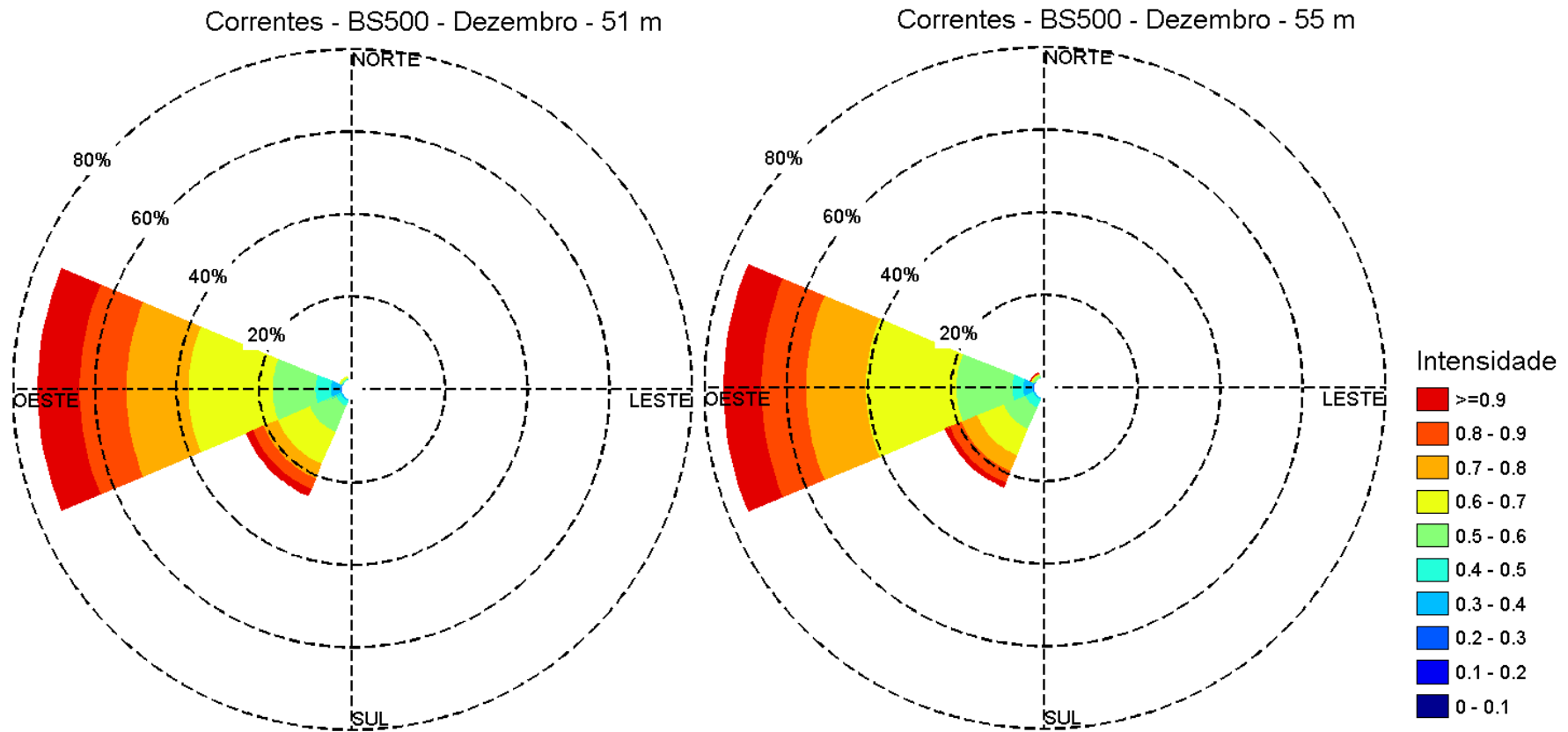
Fonte de dados: Fundeio PETROBRAS BS500

**Figura II.5.1.2-172** – Distribuição direcional da frequência de ocorrência da corrente, de acordo com a intensidade (escala graduada de cores - m/s). As circunferências mostram a frequência de ocorrência em cada direção. Dados do fundeio PETROBRAS BS500 para as profundidades de 41 m e 43 m no mês de dezembro.



Fonte de dados: Fundeio PETROBRAS BS500

**Figura II.5.1.2-173** – Distribuição direcional da frequência de ocorrência da corrente, de acordo com a intensidade (escala graduada de cores - m/s). As circunferências mostram a frequência de ocorrência em cada direção. Dados do fundeio PETROBRAS BS500 para as profundidades de 46 m e 49 m no mês de dezembro.



Fonte de dados: Fundeio PETROBRAS BS500

**Figura II.5.1.2-174** – Distribuição direcional da frequência de ocorrência da corrente, de acordo com a intensidade (escala graduada de cores - m/s). As circunferências mostram a frequência de ocorrência em cada direção. Dados do fundeio PETROBRAS BS500 para as profundidades de 51 m e 55 m no mês de dezembro.

**Tabela II.5.1.2-7 -** Tabela de ocorrência conjunta de intensidade (vertical) e direção (horizontal) da corrente, com os percentuais marginais (coluna da esquerda e última linha), para o fundeio WOCE BW333, profundidade de 230 m, para o mês de janeiro.

Janeiro - 230 m											
Intensidade (m/s)	Direção								Total	Frequência (%)	
	N	NE	E	SE	S	SW	W	NW			
0,00 - 0,10	0	0	0	0	0	0	0	0	0	0	0,0
0,10 - 0,20	16	2	3	0	1	6	2	37	67	9,3	
0,20 - 0,30	43	38	3	0	32	56	18	36	226	31,4	
0,30 - 0,40	14	6	0	0	30	43	40	20	153	21,3	
0,40 - 0,50	2	0	0	0	48	38	30	16	134	18,6	
0,50 - 0,60	0	0	0	0	24	13	11	8	56	7,8	
>0,60	0	0	0	0	45	36	2	1	84	11,7	
<b>Total</b>	75	46	6	0	180	192	103	118			
<b>Frequência (%)</b>	10,4	6,4	0,8	0,0	25,0	26,7	14,3	16,4			

**Tabela II.5.1.2-8 -** Tabela de ocorrência conjunta de intensidade (vertical) e direção (horizontal) da corrente, com os percentuais marginais (coluna da esquerda e última linha), para o fundeio WOCE BW333, profundidade de 475 m, para o mês de janeiro.

Janeiro - 475 m										
Intensidade (m/s)	Direção								Total	Frequência (%)
	N	NE	E	SE	S	SW	W	NW		
0,00 - 0,10	11	5	1	3	2	13	15	13	63	8,8
0,10 - 0,20	41	19	1	5	34	64	51	48	263	36,5
0,20 - 0,30	33	19	0	4	64	46	54	27	247	34,3
0,30 - 0,40	2	0	0	0	72	38	2	3	117	16,3
0,40 - 0,50	0	0	0	0	10	14	0	0	24	3,3
0,50 - 0,60	0	0	0	0	4	2	0	0	6	0,8
>0,60	0	0	0	0	0	0	0	0	0	0,0
<b>Total</b>	87	43	2	12	186	177	122	91		
<b>Frequência (%)</b>	12,1	6,0	0,3	1,7	25,8	24,6	16,9	12,6		

**Tabela II.5.1.2-9 -** Tabela de ocorrência conjunta de intensidade (vertical) e direção (horizontal) da corrente, com os percentuais marginais (coluna da esquerda e última linha), para o fundeio WOCE BW333, profundidade de 680 m, para o mês de janeiro.

Janeiro - 680 m										
Intensidade (m/s)	Direção								Total	Frequência (%)
	N	NE	E	SE	S	SW	W	NW		
0,00 - 0,10	5	5	1	38	49	35	12	19	164	22,8
0,10 - 0,20	64	19	9	20	81	53	51	44	341	47,4
0,20 - 0,30	58	7	0	15	56	24	14	12	186	25,8
0,30 - 0,40	0	0	0	3	20	5	0	0	28	3,9
0,40 - 0,50	0	0	0	0	1	0	0	0	1	0,1
0,50 - 0,60	0	0	0	0	0	0	0	0	0	0,0
>0,60	0	0	0	0	0	0	0	0	0	0,0
<b>Total</b>	127	31	10	76	207	117	77	75		
<b>Frequência (%)</b>	17,6	4,3	1,4	10,6	28,8	16,3	10,7	10,4		

**Tabela II.5.1.2-10 -** Tabela de ocorrência conjunta de intensidade (vertical) e direção (horizontal) da corrente, com os percentuais marginais (coluna da esquerda e última linha), para o fundeio WOCE BW333, profundidade de 885 m, para o mês de janeiro.

Janeiro - 885 m										
Intensidade (m/s)	Direção								Total	Frequência (%)
	N	NE	E	SE	S	SW	W	NW		
0,00 - 0,10	14	27	14	33	81	40	19	27	255	35,4
0,10 - 0,20	78	8	4	18	68	36	13	57	282	39,2
0,20 - 0,30	106	8	0	2	35	8	0	12	171	23,8
0,30 - 0,40	3	0	0	0	8	1	0	0	12	1,7
0,40 - 0,50	0	0	0	0	0	0	0	0	0	0,0
0,50 - 0,60	0	0	0	0	0	0	0	0	0	0,0
>0,60	0	0	0	0	0	0	0	0	0	0,0
<b>Total</b>	201	43	18	53	192	85	32	96		
<b>Frequência (%)</b>	27,9	6,0	2,5	7,4	26,7	11,8	4,4	13,3		

**Tabela II.5.1.2-11** - Tabela de ocorrência conjunta de intensidade (vertical) e direção (horizontal) da corrente, com os percentuais marginais (coluna da esquerda e última linha), para o fundeio WOCE BW333, profundidade de 230 m, para o mês de fevereiro.

Fevereiro - 230 m										
Intensidade (m/s)	Direção								Total	Frequência (%)
	N	NE	E	SE	S	SW	W	NW		
0,00 - 0,10	0	0	0	1	4	15	6	2	28	4,1
0,10 - 0,20	0	1	4	7	31	74	27	2	146	21,4
0,20 - 0,30	0	13	26	5	68	93	32	0	237	34,7
0,30 - 0,40	0	8	30	0	70	64	3	0	175	25,6
0,40 - 0,50	0	1	5	0	49	24	0	0	79	11,6
0,50 - 0,60	0	0	0	0	19	0	0	0	19	2,8
>0,60	0	0	0	0	0	0	0	0	0	0,0
<b>Total</b>	0	23	65	13	241	270	68	4		
<b>Frequência (%)</b>	0,0	3,4	9,5	1,9	35,2	39,5	9,9	0,6		

**Tabela II.5.1.2-12** - Tabela de ocorrência conjunta de intensidade (vertical) e direção (horizontal) da corrente, com os percentuais marginais (coluna da esquerda e última linha), para o fundeio WOCE BW333, profundidade de 475 m, para o mês de fevereiro.

Fevereiro - 475 m										
Intensidade (m/s)	Direção								Total	Frequência (%)
	N	NE	E	SE	S	SW	W	NW		
0,00 - 0,10	4	4	11	20	38	58	19	6	160	23,4
0,10 - 0,20	7	34	10	10	75	108	19	2	265	38,7
0,20 - 0,30	1	5	0	9	77	105	13	0	210	30,7
0,30 - 0,40	0	0	0	2	21	23	0	0	46	6,7
0,40 - 0,50	0	0	0	0	3	0	0	0	3	0,4
0,50 - 0,60	0	0	0	0	0	0	0	0	0	0,0
>0,60	0	0	0	0	0	0	0	0	0	0,0
<b>Total</b>	12	43	21	41	214	294	51	8		
<b>Frequência (%)</b>	1,8	6,3	3,1	6,0	31,3	43,0	7,5	1,2		



**Tabela II.5.1.2-13 -** Tabela de ocorrência conjunta de intensidade (vertical) e direção (horizontal) da corrente, com os percentuais marginais (coluna da esquerda e última linha), para o fundeio WOCE BW333, profundidade de 680 m, para o mês de fevereiro.

Fevereiro - 680 m										
Intensidade (m/s)	Direção								Total	Frequência (%)
	N	NE	E	SE	S	SW	W	NW		
0,00 - 0,10	34	35	28	49	70	111	28	16	371	54,2
0,10 - 0,20	17	10	11	18	72	67	34	4	233	34,1
0,20 - 0,30	4	0	0	3	28	13	15	0	63	9,2
0,30 - 0,40	0	0	0	0	8	1	0	0	9	1,3
0,40 - 0,50	0	0	0	3	2	0	0	0	5	0,7
0,50 - 0,60	0	0	0	0	3	0	0	0	3	0,4
>0,60	0	0	0	0	0	0	0	0	0	0,0
<b>Total</b>	55	45	39	73	183	192	77	20		
<b>Frequência (%)</b>	8,0	6,6	5,7	10,7	26,8	28,1	11,3	2,9		

**Tabela II.5.1.2-14 -** Tabela de ocorrência conjunta de intensidade (vertical) e direção (horizontal) da corrente, com os percentuais marginais (coluna da esquerda e última linha), para o fundeio WOCE BW333, profundidade de 885 m, para o mês de fevereiro.

Fevereiro - 885 m										
Intensidade (m/s)	Direção								Total	Frequência (%)
	N	NE	E	SE	S	SW	W	NW		
0,00 - 0,10	55	11	22	39	45	104	51	49	376	55,0
0,10 - 0,20	73	16	8	13	33	39	20	38	240	35,1
0,20 - 0,30	17	3	0	8	13	7	1	15	64	9,4
0,30 - 0,40	0	0	0	1	3	0	0	0	4	0,6
0,40 - 0,50	0	0	0	0	0	0	0	0	0	0,0
0,50 - 0,60	0	0	0	0	0	0	0	0	0	0,0
>0,60	0	0	0	0	0	0	0	0	0	0,0
<b>Total</b>	145	30	30	61	94	150	72	102		
<b>Frequência (%)</b>	21,2	4,4	4,4	8,9	13,7	21,9	10,5	14,9		

**Tabela II.5.1.2-15** - Tabela de ocorrência conjunta de intensidade (vertical) e direção (horizontal) da corrente, com os percentuais marginais (coluna da esquerda e última linha), para o fundeio WOCE BW333, profundidade de 230 m, para o mês de março.

Março - 230 m										
Intensidade (m/s)	Direção								Total	Frequência (%)
	N	NE	E	SE	S	SW	W	NW		
0,00 - 0,10	0	0	0	1	2	7	0	0	10	1,3
0,10 - 0,20	0	0	0	2	10	51	8	0	71	9,5
0,20 - 0,30	0	0	0	0	31	40	8	0	79	10,6
0,30 - 0,40	0	0	0	1	62	93	3	0	159	21,4
0,40 - 0,50	0	0	0	1	80	100	2	0	183	24,6
0,50 - 0,60	0	0	0	2	57	49	2	0	110	14,8
>0,60	0	0	0	0	90	39	3	0	132	17,7
<b>Total</b>	0	0	0	7	332	379	26	0		
<b>Frequência (%)</b>	0,0	0,0	0,0	0,9	44,6	50,9	3,5	0,0		

**Tabela II.5.1.2-16** - Tabela de ocorrência conjunta de intensidade (vertical) e direção (horizontal) da corrente, com os percentuais marginais (coluna da esquerda e última linha), para o fundeio WOCE BW333, profundidade de 475 m, para o mês de março.

Março - 475 m										
Intensidade (m/s)	Direção								Total	Frequência (%)
	N	NE	E	SE	S	SW	W	NW		
0,00 - 0,10	0	0	0	0	15	23	5	0	43	5,8
0,10 - 0,20	0	0	0	2	62	90	12	0	166	22,3
0,20 - 0,30	0	0	0	1	113	155	5	0	274	36,8
0,30 - 0,40	0	0	0	0	81	106	2	0	189	25,4
0,40 - 0,50	0	0	0	0	18	14	0	0	32	4,3
0,50 - 0,60	0	0	0	0	13	8	0	0	21	2,8
>0,60	0	0	0	0	13	6	0	0	19	2,6
<b>Total</b>	0	0	0	3	315	402	24	0		
<b>Frequência (%)</b>	0,0	0,0	0,0	0,4	42,3	54,0	3,2	0,0		

**Tabela II.5.1.2-17 -** Tabela de ocorrência conjunta de intensidade (vertical) e direção (horizontal) da corrente, com os percentuais marginais (coluna da esquerda e última linha), para o fundeio WOCE BW333, profundidade de 680 m, para o mês de março.

Março - 680 m										
Intensidade (m/s)	Direção								Total	Frequência (%)
	N	NE	E	SE	S	SW	W	NW		
0,00 - 0,10	0	0	18	27	81	80	14	7	227	30,5
0,10 - 0,20	0	0	12	13	147	142	10	10	334	44,9
0,20 - 0,30	0	0	0	4	59	60	1	5	129	17,3
0,30 - 0,40	0	0	0	1	37	3	0	0	41	5,5
0,40 - 0,50	0	0	0	0	13	0	0	0	13	1,8
0,50 - 0,60	0	0	0	0	0	0	0	0	0	0,0
>0,60	0	0	0	0	0	0	0	0	0	0,0
<b>Total</b>	0	0	30	45	337	285	25	22		
<b>Frequência (%)</b>	0,0	0,0	4,0	6,1	45,3	38,3	3,4	3,0		

**Tabela II.5.1.2-18 -** Tabela de ocorrência conjunta de intensidade (vertical) e direção (horizontal) da corrente, com os percentuais marginais (coluna da esquerda e última linha), para o fundeio WOCE BW333, profundidade de 885 m, para o mês de março.

Março - 885 m										
Intensidade (m/s)	Direção								Total	Frequência (%)
	N	NE	E	SE	S	SW	W	NW		
0,00 - 0,10	6	3	9	36	152	149	37	14	406	54,6
0,10 - 0,20	1	0	0	16	123	86	29	6	261	35,1
0,20 - 0,30	0	0	0	0	54	9	1	0	64	8,6
0,30 - 0,40	0	0	0	0	13	0	0	0	13	1,8
0,40 - 0,50	0	0	0	0	0	0	0	0	0	0,0
0,50 - 0,60	0	0	0	0	0	0	0	0	0	0,0
>0,60	0	0	0	0	0	0	0	0	0	0,0
<b>Total</b>	7	3	9	52	342	244	67	20		
<b>Frequência (%)</b>	0,9	0,4	1,2	7,0	46,0	32,8	9,0	2,7		

**Tabela II.5.1.2-19** - Tabela de ocorrência conjunta de intensidade (vertical) e direção (horizontal) da corrente, com os percentuais marginais (coluna da esquerda e última linha), para o fundeio WOCE BW333, profundidade de 230 m, para o mês de abril.

Abril - 230 m										
Intensidade (m/s)	Direção								Total	Frequência (%)
	N	NE	E	SE	S	SW	W	NW		
0,00 - 0,10	6	1	1	4	15	22	18	9	76	10,6
0,10 - 0,20	4	0	0	6	52	135	49	25	271	37,6
0,20 - 0,30	1	0	0	5	41	141	10	3	201	27,9
0,30 - 0,40	0	0	0	1	28	64	4	0	97	13,5
0,40 - 0,50	0	0	0	0	29	25	0	0	54	7,5
0,50 - 0,60	0	0	0	0	12	0	0	0	12	1,7
>0,60	0	0	0	0	9	0	0	0	9	1,3
<b>Total</b>	11	1	1	16	186	387	81	37		
<b>Frequência (%)</b>	1,5	0,1	0,1	2,2	25,8	53,8	11,3	5,1		

**Tabela II.5.1.2-20** - Tabela de ocorrência conjunta de intensidade (vertical) e direção (horizontal) da corrente, com os percentuais marginais (coluna da esquerda e última linha), para o fundeio WOCE BW333, profundidade de 475 m, para o mês de abril.

Abril - 475 m										
Intensidade (m/s)	Direção								Total	Frequência (%)
	N	NE	E	SE	S	SW	W	NW		
0,00 - 0,10	7	5	10	27	61	90	66	37	303	42,1
0,10 - 0,20	0	1	2	9	59	154	34	15	274	38,1
0,20 - 0,30	0	0	0	0	20	64	6	0	90	12,5
0,30 - 0,40	0	0	0	0	26	12	0	0	38	5,3
0,40 - 0,50	0	0	0	0	10	1	0	0	11	1,5
0,50 - 0,60	0	0	0	0	4	0	0	0	4	0,6
>0,60	0	0	0	0	0	0	0	0	0	0,0
<b>Total</b>	7	6	12	36	180	321	106	52		
<b>Frequência (%)</b>	1,0	0,8	1,7	5,0	25,0	44,6	14,7	7,2		

**Tabela II.5.1.2-21** - Tabela de ocorrência conjunta de intensidade (vertical) e direção (horizontal) da corrente, com os percentuais marginais (coluna da esquerda e última linha), para o fundeio WOCE BW333, profundidade de 680 m, para o mês de abril.

Abril - 680 m										
Intensidade (m/s)	Direção								Total	Frequência (%)
	N	NE	E	SE	S	SW	W	NW		
0,00 - 0,10	34	10	41	55	120	138	60	35	493	68,5
0,10 - 0,20	7	3	5	6	59	51	7	7	145	20,1
0,20 - 0,30	0	0	2	1	40	16	0	0	59	8,2
0,30 - 0,40	0	0	0	0	21	2	0	0	23	3,2
0,40 - 0,50	0	0	0	0	0	0	0	0	0	0,0
0,50 - 0,60	0	0	0	0	0	0	0	0	0	0,0
>0,60	0	0	0	0	0	0	0	0	0	0,0
<b>Total</b>	41	13	48	62	240	207	67	42		
<b>Frequência (%)</b>	5,7	1,8	6,7	8,6	33,3	28,8	9,3	5,8		

**Tabela II.5.1.2-22** - Tabela de ocorrência conjunta de intensidade (vertical) e direção (horizontal) da corrente, com os percentuais marginais (coluna da esquerda e última linha), para o fundeio WOCE BW333, profundidade de 885 m, para o mês de abril.

Abril - 885 m										
Intensidade (m/s)	Direção								Total	Frequência (%)
	N	NE	E	SE	S	SW	W	NW		
0,00 - 0,10	96	27	19	25	37	38	76	100	418	58,1
0,10 - 0,20	70	5	1	14	72	24	1	16	203	28,2
0,20 - 0,30	29	0	0	0	63	3	0	2	97	13,5
0,30 - 0,40	0	0	0	0	2	0	0	0	2	0,3
0,40 - 0,50	0	0	0	0	0	0	0	0	0	0,0
0,50 - 0,60	0	0	0	0	0	0	0	0	0	0,0
>0,60	0	0	0	0	0	0	0	0	0	0,0
<b>Total</b>	195	32	20	39	174	65	77	118		
<b>Frequência (%)</b>	27,1	4,4	2,8	5,4	24,2	9,0	10,7	16,4		

**Tabela II.5.1.2-23 -** Tabela de ocorrência conjunta de intensidade (vertical) e direção (horizontal) da corrente, com os percentuais marginais (coluna da esquerda e última linha), para o fundeio WOCE BW333, profundidade de 230 m, para o mês de maio.

Maio - 230 m										
Intensidade (m/s)	Direção								Total	Frequência (%)
	N	NE	E	SE	S	SW	W	NW		
0,00 - 0,10	0	1	0	7	12	24	27	6	77	10,4
0,10 - 0,20	0	0	0	2	27	50	59	6	144	19,4
0,20 - 0,30	0	0	0	0	34	72	32	1	139	18,7
0,30 - 0,40	0	0	0	2	44	66	16	0	128	17,2
0,40 - 0,50	0	0	0	0	22	106	29	0	157	21,1
0,50 - 0,60	0	0	0	0	5	47	30	0	82	11,0
>0,60	0	0	0	0	0	9	8	0	17	2,3
<b>Total</b>	0	1	0	11	144	374	201	13		
<b>Frequência (%)</b>	0,0	0,1	0,0	1,5	19,4	50,3	27,0	1,8		

**Tabela II.5.1.2-24 -** Tabela de ocorrência conjunta de intensidade (vertical) e direção (horizontal) da corrente, com os percentuais marginais (coluna da esquerda e última linha), para o fundeio WOCE BW333, profundidade de 475 m, para o mês de maio.

Maio - 475 m										
Intensidade (m/s)	Direção								Total	Frequência (%)
	N	NE	E	SE	S	SW	W	NW		
0,00 - 0,10	11	7	4	14	30	58	47	45	216	29,0
0,10 - 0,20	2	0	0	14	46	74	86	29	251	33,7
0,20 - 0,30	0	0	0	4	55	85	56	8	208	28,0
0,30 - 0,40	0	0	0	0	14	32	11	4	61	8,2
0,40 - 0,50	0	0	0	0	1	2	5	0	8	1,1
0,50 - 0,60	0	0	0	0	0	0	0	0	0	0,0
>0,60	0	0	0	0	0	0	0	0	0	0,0
<b>Total</b>	13	7	4	32	146	251	205	86		
<b>Frequência (%)</b>	1,8	0,9	0,5	4,3	19,6	33,7	27,6	11,6		

**Tabela II.5.1.2-25** - Tabela de ocorrência conjunta de intensidade (vertical) e direção (horizontal) da corrente, com os percentuais marginais (coluna da esquerda e última linha), para o fundeio WOCE BW333, profundidade de 680 m, para o mês de maio.

Maio - 680 m										
Intensidade (m/s)	Direção								Total	Frequência (%)
	N	NE	E	SE	S	SW	W	NW		
0,00 - 0,10	18	18	19	47	56	39	46	100	343	46,1
0,10 - 0,20	45	5	8	8	42	43	19	129	299	40,2
0,20 - 0,30	5	1	1	7	17	26	5	30	92	12,4
0,30 - 0,40	0	0	0	0	5	4	1	0	10	1,3
0,40 - 0,50	0	0	0	0	0	0	0	0	0	0,0
0,50 - 0,60	0	0	0	0	0	0	0	0	0	0,0
>0,60	0	0	0	0	0	0	0	0	0	0,0
<b>Total</b>	68	24	28	62	120	112	71	259		
<b>Frequência (%)</b>	9,1	3,2	3,8	8,3	16,1	15,1	9,5	34,8		

**Tabela II.5.1.2-26** - Tabela de ocorrência conjunta de intensidade (vertical) e direção (horizontal) da corrente, com os percentuais marginais (coluna da esquerda e última linha), para o fundeio WOCE BW333, profundidade de 885 m, para o mês de maio.

Maio - 885 m										
Intensidade (m/s)	Direção								Total	Frequência (%)
	N	NE	E	SE	S	SW	W	NW		
0,00 - 0,10	31	11	7	28	61	32	20	39	229	30,8
0,10 - 0,20	105	10	9	22	45	27	16	86	320	43,0
0,20 - 0,30	95	0	0	1	17	1	0	51	165	22,2
0,30 - 0,40	27	0	0	0	0	0	0	0	27	3,6
0,40 - 0,50	3	0	0	0	0	0	0	0	3	0,4
0,50 - 0,60	0	0	0	0	0	0	0	0	0	0,0
>0,60	0	0	0	0	0	0	0	0	0	0,0
<b>Total</b>	261	21	16	51	123	60	36	176		
<b>Frequência (%)</b>	35,1	2,8	2,2	6,9	16,5	8,1	4,8	23,7		

**Tabela II.5.1.2-27 -** Tabela de ocorrência conjunta de intensidade (vertical) e direção (horizontal) da corrente, com os percentuais marginais (coluna da esquerda e última linha), para o fundeio WOCE BW333, profundidade de 230 m, para o mês de junho.

Junho - 230 m										
Intensidade (m/s)	Direção								Total	Frequência (%)
	N	NE	E	SE	S	SW	W	NW		
0,00 - 0,10	0	0	0	0	1	1	0	0	2	0,3
0,10 - 0,20	0	0	0	1	16	34	1	0	52	7,2
0,20 - 0,30	0	0	0	1	48	169	5	0	223	31,0
0,30 - 0,40	0	0	0	1	66	157	2	0	226	31,4
0,40 - 0,50	0	0	0	1	60	41	5	2	109	15,1
0,50 - 0,60	0	0	0	0	43	21	2	0	66	9,2
>0,60	0	0	0	0	25	14	3	0	42	5,8
<b>Total</b>	0	0	0	4	259	437	18	2		
<b>Frequência (%)</b>	0,0	0,0	0,0	0,6	36,0	60,7	2,5	0,3		

**Tabela II.5.1.2-28 -** Tabela de ocorrência conjunta de intensidade (vertical) e direção (horizontal) da corrente, com os percentuais marginais (coluna da esquerda e última linha), para o fundeio WOCE BW333, profundidade de 475 m, para o mês de junho.

Junho - 475 m										
Intensidade (m/s)	Direção								Total	Frequência (%)
	N	NE	E	SE	S	SW	W	NW		
0,00 - 0,10	0	0	3	10	27	24	5	1	70	9,7
0,10 - 0,20	0	0	1	23	99	160	22	0	305	42,4
0,20 - 0,30	0	0	0	5	99	157	21	1	283	39,3
0,30 - 0,40	0	0	0	0	18	36	6	0	60	8,3
0,40 - 0,50	0	0	0	0	2	0	0	0	2	0,3
0,50 - 0,60	0	0	0	0	0	0	0	0	0	0,0
>0,60	0	0	0	0	0	0	0	0	0	0,0
<b>Total</b>	0	0	4	38	245	377	54	2		
<b>Frequência (%)</b>	0,0	0,0	0,6	5,3	34,0	52,4	7,5	0,3		



**Tabela II.5.1.2-29** - Tabela de ocorrência conjunta de intensidade (vertical) e direção (horizontal) da corrente, com os percentuais marginais (coluna da esquerda e última linha), para o fundeio WOCE BW333, profundidade de 680 m, para o mês de junho.

Junho - 680 m										
Intensidade (m/s)	Direção								Total	Frequência (%)
	N	NE	E	SE	S	SW	W	NW		
0,00 - 0,10	10	1	5	21	145	183	45	14	424	58,9
0,10 - 0,20	2	2	1	5	54	79	34	7	184	25,6
0,20 - 0,30	0	0	0	8	35	47	0	0	90	12,5
0,30 - 0,40	0	0	0	4	14	0	0	0	18	2,5
0,40 - 0,50	0	0	0	4	0	0	0	0	4	0,6
0,50 - 0,60	0	0	0	0	0	0	0	0	0	0,0
>0,60	0	0	0	0	0	0	0	0	0	0,0
<b>Total</b>	12	3	6	42	248	309	79	21		
<b>Frequência (%)</b>	1,7	0,4	0,8	5,8	34,4	42,9	11,0	2,9		

**Tabela II.5.1.2-30** - Tabela de ocorrência conjunta de intensidade (vertical) e direção (horizontal) da corrente, com os percentuais marginais (coluna da esquerda e última linha), para o fundeio WOCE BW333, profundidade de 885 m, para o mês de junho.

Junho - 885 m										
Intensidade (m/s)	Direção								Total	Frequência (%)
	N	NE	E	SE	S	SW	W	NW		
0,00 - 0,10	66	38	34	57	54	89	57	68	463	64,3
0,10 - 0,20	17	19	7	19	21	47	32	28	190	26,4
0,20 - 0,30	0	0	0	9	27	3	0	4	43	6,0
0,30 - 0,40	0	0	0	4	13	1	0	0	18	2,5
0,40 - 0,50	0	0	0	4	2	0	0	0	6	0,8
0,50 - 0,60	0	0	0	0	0	0	0	0	0	0,0
>0,60	0	0	0	0	0	0	0	0	0	0,0
<b>Total</b>	83	57	41	93	117	140	89	100		
<b>Frequência (%)</b>	11,5	7,9	5,7	12,9	16,3	19,4	12,4	13,9		

**Tabela II.5.1.2-31 -** Tabela de ocorrência conjunta de intensidade (vertical) e direção (horizontal) da corrente, com os percentuais marginais (coluna da esquerda e última linha), para o fundeio WOCE BW333, profundidade de 230 m, para o mês de julho.

Julho - 230 m										
Intensidade (m/s)	Direção								Total	Frequência (%)
	N	NE	E	SE	S	SW	W	NW		
0,00 - 0,10	0	0	0	0	7	10	2	1	20	2,7
0,10 - 0,20	0	0	0	1	31	66	9	0	107	14,4
0,20 - 0,30	0	0	0	0	86	130	6	0	222	29,8
0,30 - 0,40	0	0	0	2	66	91	4	0	163	21,9
0,40 - 0,50	0	0	0	3	44	98	0	0	145	19,5
0,50 - 0,60	0	0	0	0	38	24	0	0	62	8,3
>0,60	0	0	0	0	9	16	0	0	25	3,4
<b>Total</b>	0	0	0	6	281	435	21	1		
<b>Frequência (%)</b>	0,0	0,0	0,0	0,8	37,8	58,5	2,8	0,1		

**Tabela II.5.1.2-32 -** Tabela de ocorrência conjunta de intensidade (vertical) e direção (horizontal) da corrente, com os percentuais marginais (coluna da esquerda e última linha), para o fundeio WOCE BW333, profundidade de 475 m, para o mês de julho.

Julho - 475 m										
Intensidade (m/s)	Direção								Total	Frequência (%)
	N	NE	E	SE	S	SW	W	NW		
0,00 - 0,10	0	3	3	7	22	23	6	1	65	8,7
0,10 - 0,20	0	0	0	17	98	211	18	0	344	46,2
0,20 - 0,30	0	0	0	3	85	167	9	0	264	35,5
0,30 - 0,40	0	0	0	1	32	35	0	0	68	9,1
0,40 - 0,50	0	0	0	0	3	0	0	0	3	0,4
0,50 - 0,60	0	0	0	0	0	0	0	0	0	0,0
>0,60	0	0	0	0	0	0	0	0	0	0,0
<b>Total</b>	0	3	3	28	240	436	33	1		
<b>Frequência (%)</b>	0,0	0,4	0,4	3,8	32,3	58,6	4,4	0,1		

**Tabela II.5.1.2-33** - Tabela de ocorrência conjunta de intensidade (vertical) e direção (horizontal) da corrente, com os percentuais marginais (coluna da esquerda e última linha), para o fundeio WOCE BW333, profundidade de 680 m, para o mês de julho.

Julho - 680 m										
Intensidade (m/s)	Direção								Total	Frequência (%)
	N	NE	E	SE	S	SW	W	NW		
0,00 - 0,10	2	4	10	15	99	180	83	28	421	56,6
0,10 - 0,20	1	0	1	15	56	96	30	14	213	28,6
0,20 - 0,30	0	0	0	5	30	23	1	21	80	10,8
0,30 - 0,40	2	0	0	2	11	4	0	6	25	3,4
0,40 - 0,50	0	0	0	0	5	0	0	0	5	0,7
0,50 - 0,60	0	0	0	0	0	0	0	0	0	0,0
>0,60	0	0	0	0	0	0	0	0	0	0,0
<b>Total</b>	5	4	11	37	201	303	114	69		
<b>Frequência (%)</b>	0,7	0,5	1,5	5,0	27,0	40,7	15,3	9,3		

**Tabela II.5.1.2-34** - Tabela de ocorrência conjunta de intensidade (vertical) e direção (horizontal) da corrente, com os percentuais marginais (coluna da esquerda e última linha), para o fundeio WOCE BW333, profundidade de 885 m, para o mês de julho.

Julho - 885 m										
Intensidade (m/s)	Direção								Total	Frequência (%)
	N	NE	E	SE	S	SW	W	NW		
0,00 - 0,10	52	27	34	42	66	54	31	64	370	49,7
0,10 - 0,20	50	19	10	33	55	40	15	44	266	35,8
0,20 - 0,30	41	4	0	1	21	12	6	10	95	12,8
0,30 - 0,40	10	0	0	0	1	0	0	2	13	1,8
0,40 - 0,50	0	0	0	0	0	0	0	0	0	0,0
0,50 - 0,60	0	0	0	0	0	0	0	0	0	0,0
>0,60	0	0	0	0	0	0	0	0	0	0,0
<b>Total</b>	153	50	44	76	143	106	52	120		
<b>Frequência (%)</b>	20,6	6,7	5,9	10,2	19,2	14,3	7,0	16,1		

**Tabela II.5.1.2-35 -** Tabela de ocorrência conjunta de intensidade (vertical) e direção (horizontal) da corrente, com os percentuais marginais (coluna da esquerda e última linha), para o fundeio WOCE BW333, profundidade de 230 m, para o mês de agosto.

Agosto - 230 m										
Intensidade (m/s)	Direção								Total	Frequência (%)
	N	NE	E	SE	S	SW	W	NW		
0,00 - 0,10	0	0	0	5	9	6	1	0	21	2,8
0,10 - 0,20	0	0	0	1	23	35	4	0	63	8,5
0,20 - 0,30	0	0	0	0	68	105	15	0	188	25,3
0,30 - 0,40	0	0	0	2	85	106	17	0	210	28,2
0,40 - 0,50	0	0	0	0	47	78	27	0	152	20,4
0,50 - 0,60	0	0	0	0	25	34	15	0	74	10,0
>0,60	0	0	0	0	18	18	0	0	36	4,8
<b>Total</b>	0	0	0	8	275	382	79	0		
<b>Frequência (%)</b>	0,0	0,0	0,0	1,1	37,0	51,3	10,6	0,0		

**Tabela II.5.1.2-36 -** Tabela de ocorrência conjunta de intensidade (vertical) e direção (horizontal) da corrente, com os percentuais marginais (coluna da esquerda e última linha), para o fundeio WOCE BW333, profundidade de 475 m, para o mês de agosto.

Agosto - 475 m										
Intensidade (m/s)	Direção								Total	Frequência (%)
	N	NE	E	SE	S	SW	W	NW		
0,00 - 0,10	0	2	2	8	25	44	16	2	99	13,3
0,10 - 0,20	0	0	3	13	63	271	41	4	395	53,1
0,20 - 0,30	0	0	1	8	65	115	27	0	216	29,0
0,30 - 0,40	0	0	0	6	10	8	7	0	31	4,2
0,40 - 0,50	0	0	0	1	2	0	0	0	3	0,4
0,50 - 0,60	0	0	0	0	0	0	0	0	0	0,0
>0,60	0	0	0	0	0	0	0	0	0	0,0
<b>Total</b>	0	2	6	36	165	438	91	6		
<b>Frequência (%)</b>	0,0	0,3	0,8	4,8	22,2	58,9	12,2	0,8		

**Tabela II.5.1.2-37 -** Tabela de ocorrência conjunta de intensidade (vertical) e direção (horizontal) da corrente, com os percentuais marginais (coluna da esquerda e última linha), para o fundeio WOCE BW333, profundidade de 680 m, para o mês de agosto.

Agosto - 680 m										
Intensidade (m/s)	Direção								Total	Frequência (%)
	N	NE	E	SE	S	SW	W	NW		
0,00 - 0,10	24	6	7	48	116	142	153	50	546	73,4
0,10 - 0,20	4	0	0	6	41	44	63	32	190	25,5
0,20 - 0,30	0	0	0	1	1	4	0	2	8	1,1
0,30 - 0,40	0	0	0	0	0	0	0	0	0	0,0
0,40 - 0,50	0	0	0	0	0	0	0	0	0	0,0
0,50 - 0,60	0	0	0	0	0	0	0	0	0	0,0
>0,60	0	0	0	0	0	0	0	0	0	0,0
<b>Total</b>	28	6	7	55	158	190	216	84		
<b>Frequência (%)</b>	3,8	0,8	0,9	7,4	21,2	25,5	29,0	11,3		

**Tabela II.5.1.2-38 -** Tabela de ocorrência conjunta de intensidade (vertical) e direção (horizontal) da corrente, com os percentuais marginais (coluna da esquerda e última linha), para o fundeio WOCE BW333, profundidade de 885 m, para o mês de agosto.

Agosto - 885 m										
Intensidade (m/s)	Direção								Total	Frequência (%)
	N	NE	E	SE	S	SW	W	NW		
0,00 - 0,10	84	27	18	37	26	70	27	154	443	59,5
0,10 - 0,20	107	13	2	11	26	11	7	92	269	36,2
0,20 - 0,30	25	0	0	0	1	0	0	6	32	4,3
0,30 - 0,40	0	0	0	0	0	0	0	0	0	0,0
0,40 - 0,50	0	0	0	0	0	0	0	0	0	0,0
0,50 - 0,60	0	0	0	0	0	0	0	0	0	0,0
>0,60	0	0	0	0	0	0	0	0	0	0,0
<b>Total</b>	216	40	20	48	53	81	34	252		
<b>Frequência (%)</b>	29,0	5,4	2,7	6,5	7,1	10,9	4,6	33,9		

**Tabela II.5.1.2-39** - Tabela de ocorrência conjunta de intensidade (vertical) e direção (horizontal) da corrente, com os percentuais marginais (coluna da esquerda e última linha), para o fundeio WOCE BW333, profundidade de 230 m, para o mês de setembro.

Setembro - 230 m											
Intensidade (m/s)	Direção								Total	Frequência (%)	
	N	NE	E	SE	S	SW	W	NW			
0,00 - 0,10	1	0	0	0	3	2	4	4	14	1,9	
0,10 - 0,20	2	0	0	7	22	19	10	12	72	10,0	
0,20 - 0,30	0	0	0	4	18	82	16	1	121	16,8	
0,30 - 0,40	0	0	0	0	15	90	5	0	110	15,3	
0,40 - 0,50	0	0	0	1	46	37	0	0	84	11,7	
0,50 - 0,60	0	0	0	9	75	33	0	0	117	16,3	
>0,60	0	0	0	1	63	17	0	0	81	11,3	
<b>Total</b>	25	25	5	28	256	286	42	53			
<b>Frequência (%)</b>	3,5	3,5	0,7	3,9	35,6	39,7	5,8	7,4			

**Tabela II.5.1.2-40** - Tabela de ocorrência conjunta de intensidade (vertical) e direção (horizontal) da corrente, com os percentuais marginais (coluna da esquerda e última linha), para o fundeio WOCE BW333, profundidade de 475 m, para o mês de setembro.

Setembro - 475 m											
Intensidade (m/s)	Direção								Total	Frequência (%)	
	N	NE	E	SE	S	SW	W	NW			
0,00 - 0,10	19	4	2	10	19	33	38	42	167	23,2	
0,10 - 0,20	3	0	0	24	46	92	64	42	271	37,6	
0,20 - 0,30	0	0	0	0	47	72	4	0	123	17,1	
0,30 - 0,40	0	0	0	0	92	34	0	0	126	17,5	
0,40 - 0,50	0	0	0	0	11	10	0	0	21	2,9	
0,50 - 0,60	0	0	0	0	9	3	0	0	12	1,7	
>0,60	0	0	0	0	0	0	0	0	0	0,0	
<b>Total</b>	22	4	2	34	224	244	106	84			
<b>Frequência (%)</b>	3,1	0,6	0,3	4,7	31,1	33,9	14,7	11,7			

**Tabela II.5.1.2-41 -** Tabela de ocorrência conjunta de intensidade (vertical) e direção (horizontal) da corrente, com os percentuais marginais (coluna da esquerda e última linha), para o fundeio WOCE BW333, profundidade de 680 m, para o mês de setembro.

Setembro - 680 m										
Intensidade (m/s)	Direção								Total	Frequência (%)
	N	NE	E	SE	S	SW	W	NW		
0,00 - 0,10	8	25	21	46	77	59	57	63	356	49,4
0,10 - 0,20	27	2	2	19	85	58	29	36	258	35,8
0,20 - 0,30	13	0	0	0	37	31	3	8	92	12,8
0,30 - 0,40	11	0	0	0	0	3	0	0	14	1,9
0,40 - 0,50	0	0	0	0	0	0	0	0	0	0,0
0,50 - 0,60	0	0	0	0	0	0	0	0	0	0,0
>0,60	0	0	0	0	0	0	0	0	0	0,0
<b>Total</b>	59	27	23	65	199	151	89	107		
<b>Frequência (%)</b>	8,2	3,8	3,2	9,0	27,6	21,0	12,4	14,9		

**Tabela II.5.1.2-42 -** Tabela de ocorrência conjunta de intensidade (vertical) e direção (horizontal) da corrente, com os percentuais marginais (coluna da esquerda e última linha), para o fundeio WOCE BW333, profundidade de 885 m, para o mês de setembro.

Setembro - 885 m										
Intensidade (m/s)	Direção								Total	Frequência (%)
	N	NE	E	SE	S	SW	W	NW		
0,00 - 0,10	52	15	9	40	74	76	61	80	407	56,5
0,10 - 0,20	123	6	2	2	50	10	4	52	249	34,6
0,20 - 0,30	43	2	0	0	0	0	0	11	56	7,8
0,30 - 0,40	6	2	0	0	0	0	0	0	8	1,1
0,40 - 0,50	0	0	0	0	0	0	0	0	0	0,0
0,50 - 0,60	0	0	0	0	0	0	0	0	0	0,0
>0,60	0	0	0	0	0	0	0	0	0	0,0
<b>Total</b>	224	25	11	42	124	86	65	143		
<b>Frequência (%)</b>	31,1	3,5	1,5	5,8	17,2	11,9	9,0	19,9		

**Tabela II.5.1.2-43 -** Tabela de ocorrência conjunta de intensidade (vertical) e direção (horizontal) da corrente, com os percentuais marginais (coluna da esquerda e última linha), para o fundeio WOCE BW333, profundidade de 230 m, para o mês de outubro.

Outubro - 230 m										
Intensidade (m/s)	Direção								Total	Frequência (%)
	N	NE	E	SE	S	SW	W	NW		
0,00 - 0,10	41	21	3	4	6	14	14	37	140	18,8
0,10 - 0,20	33	14	7	1	6	19	12	23	115	15,5
0,20 - 0,30	3	2	0	5	13	40	10	11	84	11,3
0,30 - 0,40	0	0	2	22	41	104	3	2	174	23,4
0,40 - 0,50	0	0	1	18	25	65	6	0	115	15,5
0,50 - 0,60	0	0	0	0	14	25	1	0	40	5,4
>0,60	0	0	0	0	21	53	2	0	76	10,2
<b>Total</b>	77	37	13	50	126	320	48	73		
<b>Frequência (%)</b>	10,4	5,0	1,8	6,7	16,9	43,0	6,5	9,8		

**Tabela II.5.1.2-44 -** Tabela de ocorrência conjunta de intensidade (vertical) e direção (horizontal) da corrente, com os percentuais marginais (coluna da esquerda e última linha), para o fundeio WOCE BW333, profundidade de 475 m, para o mês de outubro.

Outubro - 475 m										
Intensidade (m/s)	Direção								Total	Frequência (%)
	N	NE	E	SE	S	SW	W	NW		
0,00 - 0,10	29	20	6	6	9	21	52	49	192	25,8
0,10 - 0,20	28	10	18	16	32	98	58	44	304	40,9
0,20 - 0,30	0	0	2	1	33	83	31	0	150	20,2
0,30 - 0,40	0	0	0	0	27	19	4	0	50	6,7
0,40 - 0,50	0	0	0	0	14	22	1	0	37	5,0
0,50 - 0,60	0	0	0	0	4	6	0	0	10	1,3
>0,60	0	0	0	0	0	1	0	0	1	0,1
<b>Total</b>	57	30	26	23	119	250	146	93		
<b>Frequência (%)</b>	7,7	4,0	3,5	3,1	16,0	33,6	19,6	12,5		



**Tabela II.5.1.2-45 -** Tabela de ocorrência conjunta de intensidade (vertical) e direção (horizontal) da corrente, com os percentuais marginais (coluna da esquerda e última linha), para o fundeio WOCE BW333, profundidade de 680 m, para o mês de outubro.

Outubro - 680 m										
Intensidade (m/s)	Direção								Total	Frequência (%)
	N	NE	E	SE	S	SW	W	NW		
0,00 - 0,10	66	20	2	7	38	27	40	91	291	39,1
0,10 - 0,20	91	14	0	7	53	51	20	91	327	44,0
0,20 - 0,30	4	0	0	0	35	39	7	6	91	12,2
0,30 - 0,40	0	0	0	0	22	11	0	0	33	4,4
0,40 - 0,50	0	0	0	0	2	0	0	0	2	0,3
0,50 - 0,60	0	0	0	0	0	0	0	0	0	0,0
>0,60	0	0	0	0	0	0	0	0	0	0,0
<b>Total</b>	161	34	2	14	150	128	67	188		
<b>Frequência (%)</b>	21,6	4,6	0,3	1,9	20,2	17,2	9,0	25,3		

**Tabela II.5.1.2-46 -** Tabela de ocorrência conjunta de intensidade (vertical) e direção (horizontal) da corrente, com os percentuais marginais (coluna da esquerda e última linha), para o fundeio WOCE BW333, profundidade de 885 m, para o mês de outubro.

Outubro - 885 m										
Intensidade (m/s)	Direção								Total	Frequência (%)
	N	NE	E	SE	S	SW	W	NW		
0,00 - 0,10	38	5	1	5	38	33	45	26	191	25,7
0,10 - 0,20	147	23	0	5	60	33	18	86	372	50,0
0,20 - 0,30	94	5	0	0	40	7	0	23	169	22,7
0,30 - 0,40	1	0	0	1	8	0	0	2	12	1,6
0,40 - 0,50	0	0	0	0	0	0	0	0	0	0,0
0,50 - 0,60	0	0	0	0	0	0	0	0	0	0,0
>0,60	0	0	0	0	0	0	0	0	0	0,0
<b>Total</b>	280	33	1	11	146	73	63	137		
<b>Frequência (%)</b>	37,6	4,4	0,1	1,5	19,6	9,8	8,5	18,4		

**Tabela II.5.1.2-47 -** Tabela de ocorrência conjunta de intensidade (vertical) e direção (horizontal) da corrente, com os percentuais marginais (coluna da esquerda e última linha), para o fundeio WOCE BW333, profundidade de 230 m, para o mês de novembro.

Novembro - 230 m											
Intensidade (m/s)	Direção								Total	Frequência (%)	
	N	NE	E	SE	S	SW	W	NW			
0,00 - 0,10	0	0	0	0	0	0	0	0	0	0	0,0
0,10 - 0,20	0	0	0	0	14	10	0	0	24	3,6	
0,20 - 0,30	0	0	0	0	31	46	0	0	77	11,5	
0,30 - 0,40	0	0	0	0	91	84	0	0	175	26,2	
0,40 - 0,50	0	0	0	0	87	44	0	0	131	19,6	
0,50 - 0,60	0	0	0	0	74	49	0	0	123	18,4	
>0,60	0	0	0	0	91	48	0	0	139	20,8	
<b>Total</b>	0	0	0	0	388	281	0	0			
<b>Frequência (%)</b>	0,0	0,0	0,0	0,0	58,0	42,0	0,0	0,0			

**Tabela II.5.1.2-48 -** Tabela de ocorrência conjunta de intensidade (vertical) e direção (horizontal) da corrente, com os percentuais marginais (coluna da esquerda e última linha), para o fundeio WOCE BW333, profundidade de 475 m, para o mês de novembro.

Novembro - 475 m										
Intensidade (m/s)	Direção								Total	Frequência (%)
	N	NE	E	SE	S	SW	W	NW		
0,00 - 0,10	0	0	0	4	6	4	1	0	15	2,2
0,10 - 0,20	0	0	0	9	50	66	3	2	130	19,4
0,20 - 0,30	0	0	0	0	148	162	5	1	316	47,2
0,30 - 0,40	0	0	0	0	74	75	0	1	150	22,4
0,40 - 0,50	0	0	0	0	30	22	0	0	52	7,8
0,50 - 0,60	0	0	0	0	5	1	0	0	6	0,9
>0,60	0	0	0	0	0	0	0	0	0	0,0
<b>Total</b>	0	0	0	13	313	330	9	4		
<b>Frequência (%)</b>	0,0	0,0	0,0	1,9	46,8	49,3	1,4	0,6		

**Tabela II.5.1.2-49 -** Tabela de ocorrência conjunta de intensidade (vertical) e direção (horizontal) da corrente, com os percentuais marginais (coluna da esquerda e última linha), para o fundeio WOCE BW333, profundidade de 680 m, para o mês de novembro.

Novembro - 680 m										
Intensidade (m/s)	Direção								Total	Frequência (%)
	N	NE	E	SE	S	SW	W	NW		
0,00 - 0,10	3	7	28	16	77	71	23	0	225	33,6
0,10 - 0,20	2	0	0	21	148	83	21	1	276	41,3
0,20 - 0,30	0	0	0	18	102	34	2	0	156	23,3
0,30 - 0,40	0	0	0	0	8	4	0	0	12	1,8
0,40 - 0,50	0	0	0	0	0	0	0	0	0	0,0
0,50 - 0,60	0	0	0	0	0	0	0	0	0	0,0
>0,60	0	0	0	0	0	0	0	0	0	0,0
<b>Total</b>	5	7	28	55	335	192	46	1		
<b>Frequência (%)</b>	0,8	1,1	4,2	8,2	50,1	28,7	6,9	0,2		

**Tabela II.5.1.2-50 -** Tabela de ocorrência conjunta de intensidade (vertical) e direção (horizontal) da corrente, com os percentuais marginais (coluna da esquerda e última linha), para o fundeio WOCE BW333, profundidade de 885 m, para o mês de novembro.

Novembro - 885 m										
Intensidade (m/s)	Direção								Total	Frequência (%)
	N	NE	E	SE	S	SW	W	NW		
0,00 - 0,10	43	15	5	32	107	65	70	36	373	55,8
0,10 - 0,20	22	5	5	26	119	28	16	21	242	36,2
0,20 - 0,30	0	0	0	0	49	2	1	0	52	7,8
0,30 - 0,40	0	0	0	0	2	0	0	0	2	0,3
0,40 - 0,50	0	0	0	0	0	0	0	0	0	0,0
0,50 - 0,60	0	0	0	0	0	0	0	0	0	0,0
>0,60	0	0	0	0	0	0	0	0	0	0,0
<b>Total</b>	65	20	10	58	277	95	87	57		
<b>Frequência (%)</b>	9,7	3,0	1,5	8,7	41,4	14,2	13,0	8,5		

**Tabela II.5.1.2-51** - Tabela de ocorrência conjunta de intensidade (vertical) e direção (horizontal) da corrente, com os percentuais marginais (coluna da esquerda e última linha), para o fundeio WOCE BW333, profundidade de 230 m, para o mês de dezembro.

Dezembro - 230 m										
Intensidade (m/s)	Direção								Total	Frequência (%)
	N	NE	E	SE	S	SW	W	NW		
0,00 - 0,10	0	0	0	0	0	0	0	0	0	0,0
0,10 - 0,20	0	0	0	0	3	6	0	0	9	2,4
0,20 - 0,30	0	0	0	0	13	30	0	0	43	11,6
0,30 - 0,40	0	0	0	0	41	69	0	0	110	29,6
0,40 - 0,50	0	0	0	0	38	53	0	0	91	24,5
0,50 - 0,60	0	0	0	0	16	49	0	0	65	17,5
>0,60	0	0	0	0	7	47	0	0	54	14,5
<b>Total</b>	0	0	0	0	118	254	0	0		
<b>Frequência (%)</b>	0,0	0,0	0,0	0,0	31,7	68,3	0,0	0,0		

**Tabela II.5.1.2-52** - Tabela de ocorrência conjunta de intensidade (vertical) e direção (horizontal) da corrente, com os percentuais marginais (coluna da esquerda e última linha), para o fundeio WOCE BW333, profundidade de 475 m, para o mês de dezembro.

Dezembro - 475 m										
Intensidade (m/s)	Direção								Total	Frequência (%)
	N	NE	E	SE	S	SW	W	NW		
0,00 - 0,10	0	0	0	0	2	4	0	0	6	1,6
0,10 - 0,20	0	0	0	0	44	86	5	0	135	36,3
0,20 - 0,30	0	0	0	0	56	140	6	0	202	54,3
0,30 - 0,40	0	0	0	0	7	22	0	0	29	7,8
0,40 - 0,50	0	0	0	0	0	0	0	0	0	0,0
0,50 - 0,60	0	0	0	0	0	0	0	0	0	0,0
>0,60	0	0	0	0	0	0	0	0	0	0,0
<b>Total</b>	0	0	0	0	109	252	11	0		
<b>Frequência (%)</b>	0,0	0,0	0,0	0,0	29,3	67,7	3,0	0,0		

**Tabela II.5.1.2-53 -** Tabela de ocorrência conjunta de intensidade (vertical) e direção (horizontal) da corrente, com os percentuais marginais (coluna da esquerda e última linha), para o fundeio WOCE BW333, profundidade de 680 m, para o mês de dezembro.

Dezembro - 680 m										
Intensidade (m/s)	Direção								Total	Frequência (%)
	N	NE	E	SE	S	SW	W	NW		
0,00 - 0,10	0	1	3	4	66	95	10	4	183	49,2
0,10 - 0,20	1	1	6	12	54	52	7	7	140	37,6
0,20 - 0,30	3	0	0	7	22	9	3	5	49	13,2
0,30 - 0,40	0	0	0	0	0	0	0	0	0	0,0
0,40 - 0,50	0	0	0	0	0	0	0	0	0	0,0
0,50 - 0,60	0	0	0	0	0	0	0	0	0	0,0
>0,60	0	0	0	0	0	0	0	0	0	0,0
<b>Total</b>	4	2	9	23	142	156	20	16		
<b>Frequência (%)</b>	1,1	0,5	2,4	6,2	38,2	41,9	5,4	4,3		

**Tabela II.5.1.2-54 -** Tabela de ocorrência conjunta de intensidade (vertical) e direção (horizontal) da corrente, com os percentuais marginais (coluna da esquerda e última linha), para o fundeio WOCE BW333, profundidade de 885 m, para o mês de dezembro.

Dezembro - 885 m										
Intensidade (m/s)	Direção								Total	Frequência (%)
	N	NE	E	SE	S	SW	W	NW		
0,00 - 0,10	32	16	12	17	56	26	50	28	237	63,7
0,10 - 0,20	32	7	0	4	42	13	2	18	118	31,7
0,20 - 0,30	5	0	0	0	6	3	0	3	17	4,6
0,30 - 0,40	0	0	0	0	0	0	0	0	0	0,0
0,40 - 0,50	0	0	0	0	0	0	0	0	0	0,0
0,50 - 0,60	0	0	0	0	0	0	0	0	0	0,0
>0,60	0	0	0	0	0	0	0	0	0	0,0
<b>Total</b>	69	23	12	21	104	42	52	49		
<b>Frequência (%)</b>	18,6	6,2	3,2	5,7	28,0	11,3	14,0	13,2		

**Tabela II.5.1.2-55 -** Tabela de ocorrência conjunta de intensidade (vertical) e direção (horizontal) da corrente, com os percentuais marginais (coluna da esquerda e última linha), para o fundeio WOCE BM334, profundidade de 230 m, para o mês de janeiro.

Janeiro - 230 m										
Intensidade (m/s)	Direção								Total	Frequência (%)
	N	NE	E	SE	S	SW	W	NW		
0,00 - 0,10	3	1	4	3	24	59	8	4	106	14,7
0,10 - 0,20	7	13	7	5	42	150	24	7	255	35,4
0,20 - 0,30	19	16	15	0	8	10	0	1	69	9,6
0,30 - 0,40	31	13	2	0	0	1	20	22	89	12,4
0,40 - 0,50	10	0	0	0	0	4	71	65	150	20,8
0,50 - 0,60	1	0	0	0	0	2	36	8	47	6,5
>0,60	0	0	0	0	0	0	4	0	4	0,6
<b>Total</b>	71	43	28	8	74	226	163	107		
<b>Frequência (%)</b>	9,9	6,0	3,9	1,1	10,3	31,4	22,6	14,9		

**Tabela II.5.1.2-56 -** Tabela de ocorrência conjunta de intensidade (vertical) e direção (horizontal) da corrente, com os percentuais marginais (coluna da esquerda e última linha), para o fundeio WOCE BM334, profundidade de 470 m, para o mês de janeiro.

Janeiro - 470 m										
Intensidade (m/s)	Direção								Total	Frequência (%)
	N	NE	E	SE	S	SW	W	NW		
0,00 - 0,10	3	6	7	7	38	68	27	7	163	22,6
0,10 - 0,20	40	19	13	14	52	110	35	25	308	42,8
0,20 - 0,30	19	6	9	0	8	5	34	82	163	22,6
0,30 - 0,40	1	0	0	0	0	0	56	19	76	10,6
0,40 - 0,50	0	0	0	0	0	0	10	0	10	1,4
0,50 - 0,60	0	0	0	0	0	0	0	0	0	0,0
>0,60	0	0	0	0	0	0	0	0	0	0,0
<b>Total</b>	63	31	29	21	98	183	162	133		
<b>Frequência (%)</b>	8,8	4,3	4,0	2,9	13,6	25,4	22,5	18,5		

**Tabela II.5.1.2-57 -** Tabela de ocorrência conjunta de intensidade (vertical) e direção (horizontal) da corrente, com os percentuais marginais (coluna da esquerda e última linha), para o fundeio WOCE BM334, profundidade de 870 m, para o mês de janeiro.

Janeiro - 870 m										
Intensidade (m/s)	Direção								Total	Frequência (%)
	N	NE	E	SE	S	SW	W	NW		
0,00 - 0,10	35	3	15	21	103	115	28	38	358	49,7
0,10 - 0,20	22	1	3	11	77	75	16	29	234	32,5
0,20 - 0,30	23	0	0	0	0	10	50	19	102	14,2
0,30 - 0,40	0	0	0	0	0	0	21	2	23	3,2
0,40 - 0,50	0	0	0	0	0	0	2	1	3	0,4
0,50 - 0,60	0	0	0	0	0	0	0	0	0	0,0
>0,60	0	0	0	0	0	0	0	0	0	0,0
<b>Total</b>	80	4	18	32	180	200	117	89		
<b>Frequência (%)</b>	11,1	0,6	2,5	4,4	25,0	27,8	16,3	12,4		

**Tabela II.5.1.2-58 -** Tabela de ocorrência conjunta de intensidade (vertical) e direção (horizontal) da corrente, com os percentuais marginais (coluna da esquerda e última linha), para o fundeio WOCE BM334, profundidade de 1370 m, para o mês de janeiro.

Janeiro - 1370 m										
Intensidade (m/s)	Direção								Total	Frequência (%)
	N	NE	E	SE	S	SW	W	NW		
0,00 - 0,10	55	8	9	37	164	106	47	70	496	68,9
0,10 - 0,20	6	5	0	5	77	92	5	24	214	29,7
0,20 - 0,30	0	0	0	0	4	6	0	0	10	1,4
0,30 - 0,40	0	0	0	0	0	0	0	0	0	0,0
0,40 - 0,50	0	0	0	0	0	0	0	0	0	0,0
0,50 - 0,60	0	0	0	0	0	0	0	0	0	0,0
>0,60	0	0	0	0	0	0	0	0	0	0,0
<b>Total</b>	61	13	9	42	245	204	52	94		
<b>Frequência (%)</b>	8,5	1,8	1,3	5,8	34,0	28,3	7,2	13,1		

**Tabela II.5.1.2-59** - Tabela de ocorrência conjunta de intensidade (vertical) e direção (horizontal) da corrente, com os percentuais marginais (coluna da esquerda e última linha), para o fundeio WOCE BM334, profundidade de 2140 m, para o mês de janeiro.

Janeiro - 2140 m										
Intensidade (m/s)	Direção								Total	Frequência (%)
	N	NE	E	SE	S	SW	W	NW		
0,00 - 0,10	130	113	19	35	55	95	22	18	487	67,6
0,10 - 0,20	76	53	7	7	18	24	4	7	196	27,2
0,20 - 0,30	17	14	0	0	0	0	0	0	31	4,3
0,30 - 0,40	3	3	0	0	0	0	0	0	6	0,8
0,40 - 0,50	0	0	0	0	0	0	0	0	0	0,0
0,50 - 0,60	0	0	0	0	0	0	0	0	0	0,0
>0,60	0	0	0	0	0	0	0	0	0	0,0
<b>Total</b>	226	183	26	42	73	119	26	25		
<b>Frequência (%)</b>	31,4	25,4	3,6	5,8	10,1	16,5	3,6	3,5		

**Tabela II.5.1.2-60** - Tabela de ocorrência conjunta de intensidade (vertical) e direção (horizontal) da corrente, com os percentuais marginais (coluna da esquerda e última linha), para o fundeio WOCE BM334, profundidade de 230 m, para o mês de fevereiro.

Fevereiro - 230 m										
Intensidade (m/s)	Direção								Total	Frequência (%)
	N	NE	E	SE	S	SW	W	NW		
0,00 - 0,10	33	26	43	18	7	5	15	52	199	29,1
0,10 - 0,20	34	9	13	14	5	1	9	59	144	21,1
0,20 - 0,30	5	0	0	26	23	0	0	7	61	8,9
0,30 - 0,40	0	0	14	40	102	2	0	0	158	23,1
0,40 - 0,50	0	0	61	12	13	0	0	0	86	12,6
0,50 - 0,60	0	0	32	4	0	0	0	0	36	5,3
>0,60	0	0	0	0	0	0	0	0	0	0,0
<b>Total</b>	72	35	163	114	150	8	24	118		
<b>Frequência (%)</b>	10,5	5,1	23,8	16,7	21,9	1,2	3,5	17,3		



**Tabela II.5.1.2-61 -** Tabela de ocorrência conjunta de intensidade (vertical) e direção (horizontal) da corrente, com os percentuais marginais (coluna da esquerda e última linha), para o fundeio WOCE BM334, profundidade de 470 m, para o mês de fevereiro.

Fevereiro - 470 m										
Intensidade (m/s)	Direção								Total	Frequência (%)
	N	NE	E	SE	S	SW	W	NW		
0,00 - 0,10	60	32	27	18	12	15	40	47	251	36,7
0,10 - 0,20	19	10	34	27	16	5	7	30	148	21,6
0,20 - 0,30	0	0	51	32	77	10	0	0	170	24,9
0,30 - 0,40	0	0	47	6	52	0	0	0	105	15,4
0,40 - 0,50	0	0	9	0	0	0	0	0	9	1,3
0,50 - 0,60	0	0	1	0	0	0	0	0	1	0,2
>0,60	0	0	0	0	0	0	0	0	0	0,0
<b>Total</b>	79	42	169	83	157	30	47	77		
<b>Frequência (%)</b>	11,6	6,1	24,7	12,1	23,0	4,4	6,9	11,3		

**Tabela II.5.1.2-62 -** Tabela de ocorrência conjunta de intensidade (vertical) e direção (horizontal) da corrente, com os percentuais marginais (coluna da esquerda e última linha), para o fundeio WOCE BM334, profundidade de 870 m, para o mês de fevereiro.

Fevereiro - 870 m										
Intensidade (m/s)	Direção								Total	Frequência (%)
	N	NE	E	SE	S	SW	W	NW		
0,00 - 0,10	123	64	64	12	6	29	17	42	357	52,2
0,10 - 0,20	10	11	29	3	36	41	1	1	132	19,3
0,20 - 0,30	0	0	88	2	58	38	0	0	186	27,2
0,30 - 0,40	0	0	4	0	3	2	0	0	9	1,3
0,40 - 0,50	0	0	0	0	0	0	0	0	0	0,0
0,50 - 0,60	0	0	0	0	0	0	0	0	0	0,0
>0,60	0	0	0	0	0	0	0	0	0	0,0
<b>Total</b>	133	75	185	17	103	110	18	43		
<b>Frequência (%)</b>	19,4	11,0	27,1	2,5	15,1	16,1	2,6	6,3		

**Tabela II.5.1.2-63** - Tabela de ocorrência conjunta de intensidade (vertical) e direção (horizontal) da corrente, com os percentuais marginais (coluna da esquerda e última linha), para o fundeio WOCE BM334, profundidade de 1370 m, para o mês de fevereiro.

Fevereiro - 1370 m										
Intensidade (m/s)	Direção								Total	Frequência (%)
	N	NE	E	SE	S	SW	W	NW		
0,00 - 0,10	86	62	80	58	45	23	9	41	404	59,1
0,10 - 0,20	33	13	45	18	73	45	6	4	237	34,7
0,20 - 0,30	0	2	17	5	7	12	0	0	43	6,3
0,30 - 0,40	0	0	0	0	0	0	0	0	0	0,0
0,40 - 0,50	0	0	0	0	0	0	0	0	0	0,0
0,50 - 0,60	0	0	0	0	0	0	0	0	0	0,0
>0,60	0	0	0	0	0	0	0	0	0	0,0
<b>Total</b>	119	77	142	81	125	80	15	45		
<b>Frequência (%)</b>	17,4	11,3	20,8	11,8	18,3	11,7	2,2	6,6		

**Tabela II.5.1.2-64** - Tabela de ocorrência conjunta de intensidade (vertical) e direção (horizontal) da corrente, com os percentuais marginais (coluna da esquerda e última linha), para o fundeio WOCE BM334, profundidade de 2140 m, para o mês de fevereiro.

Fevereiro - 2140 m										
Intensidade (m/s)	Direção								Total	Frequência (%)
	N	NE	E	SE	S	SW	W	NW		
0,00 - 0,10	129	85	22	59	63	102	38	24	522	76,3
0,10 - 0,20	52	44	5	6	15	16	1	0	139	20,3
0,20 - 0,30	7	7	0	0	4	5	0	0	23	3,4
0,30 - 0,40	0	0	0	0	0	0	0	0	0	0,0
0,40 - 0,50	0	0	0	0	0	0	0	0	0	0,0
0,50 - 0,60	0	0	0	0	0	0	0	0	0	0,0
>0,60	0	0	0	0	0	0	0	0	0	0,0
<b>Total</b>	188	136	27	65	82	123	39	24		
<b>Frequência (%)</b>	27,5	19,9	4,0	9,5	12,0	18,0	5,7	3,5		

**Tabela II.5.1.2-65 -** Tabela de ocorrência conjunta de intensidade (vertical) e direção (horizontal) da corrente, com os percentuais marginais (coluna da esquerda e última linha), para o fundeio WOCE BM334, profundidade de 230 m, para o mês de março.

Março - 230 m										
Intensidade (m/s)	Direção								Total	Frequência (%)
	N	NE	E	SE	S	SW	W	NW		
0,00 - 0,10	5	6	3	2	19	31	20	8	94	12,6
0,10 - 0,20	0	0	1	7	149	98	74	7	336	45,2
0,20 - 0,30	0	0	0	2	141	34	2	0	179	24,1
0,30 - 0,40	0	0	0	1	97	3	0	0	101	13,6
0,40 - 0,50	0	0	0	0	31	0	0	0	31	4,2
0,50 - 0,60	0	0	0	0	3	0	0	0	3	0,4
>0,60	0	0	0	0	0	0	0	0	0	0,0
<b>Total</b>	5	6	4	12	440	166	96	15		
<b>Frequência (%)</b>	0,7	0,8	0,5	1,6	59,1	22,3	12,9	2,0		

**Tabela II.5.1.2-66 -** Tabela de ocorrência conjunta de intensidade (vertical) e direção (horizontal) da corrente, com os percentuais marginais (coluna da esquerda e última linha), para o fundeio WOCE BM334, profundidade de 470 m, para o mês de março.

Março - 470 m										
Intensidade (m/s)	Direção								Total	Frequência (%)
	N	NE	E	SE	S	SW	W	NW		
0,00 - 0,10	3	0	0	4	45	52	28	3	135	18,2
0,10 - 0,20	1	0	0	3	182	135	69	7	397	53,4
0,20 - 0,30	0	0	0	0	78	43	2	0	123	16,5
0,30 - 0,40	0	0	0	0	66	0	0	0	66	8,9
0,40 - 0,50	0	0	0	0	16	0	0	0	16	2,2
0,50 - 0,60	0	0	0	0	7	0	0	0	7	0,9
>0,60	0	0	0	0	0	0	0	0	0	0,0
<b>Total</b>	4	0	0	7	394	230	99	10		
<b>Frequência (%)</b>	0,5	0,0	0,0	0,9	53,0	30,9	13,3	1,3		

**Tabela II.5.1.2-67 -** Tabela de ocorrência conjunta de intensidade (vertical) e direção (horizontal) da corrente, com os percentuais marginais (coluna da esquerda e última linha), para o fundeio WOCE BM334, profundidade de 870 m, para o mês de março.

Março - 870 m										
Intensidade (m/s)	Direção								Total	Frequência (%)
	N	NE	E	SE	S	SW	W	NW		
0,00 - 0,10	6	4	2	34	150	146	58	11	411	55,2
0,10 - 0,20	2	1	0	5	122	78	8	2	218	29,3
0,20 - 0,30	0	0	0	0	71	7	0	0	78	10,5
0,30 - 0,40	0	0	0	0	33	3	0	0	36	4,8
0,40 - 0,50	0	0	0	0	1	0	0	0	1	0,1
0,50 - 0,60	0	0	0	0	0	0	0	0	0	0,0
>0,60	0	0	0	0	0	0	0	0	0	0,0
<b>Total</b>	8	5	2	39	377	234	66	13		
<b>Frequência (%)</b>	1,1	0,7	0,3	5,2	50,7	31,5	8,9	1,8		

**Tabela II.5.1.2-68 -** Tabela de ocorrência conjunta de intensidade (vertical) e direção (horizontal) da corrente, com os percentuais marginais (coluna da esquerda e última linha), para o fundeio WOCE BM334, profundidade de 1370 m, para o mês de março.

Março - 1370 m										
Intensidade (m/s)	Direção								Total	Frequência (%)
	N	NE	E	SE	S	SW	W	NW		
0,00 - 0,10	22	7	11	32	137	90	27	37	363	48,8
0,10 - 0,20	0	0	1	3	185	101	10	1	301	40,5
0,20 - 0,30	0	0	0	0	52	18	0	0	70	9,4
0,30 - 0,40	0	0	0	0	1	9	0	0	10	1,3
0,40 - 0,50	0	0	0	0	0	0	0	0	0	0,0
0,50 - 0,60	0	0	0	0	0	0	0	0	0	0,0
>0,60	0	0	0	0	0	0	0	0	0	0,0
<b>Total</b>	22	7	12	35	375	218	37	38		
<b>Frequência (%)</b>	3,0	0,9	1,6	4,7	50,4	29,3	5,0	5,1		

**Tabela II.5.1.2-69 -** Tabela de ocorrência conjunta de intensidade (vertical) e direção (horizontal) da corrente, com os percentuais marginais (coluna da esquerda e última linha), para o fundeio WOCE BM334, profundidade de 2140 m, para o mês de março.

Março - 2140 m										
Intensidade (m/s)	Direção								Total	Frequência (%)
	N	NE	E	SE	S	SW	W	NW		
0,00 - 0,10	164	72	43	18	104	80	14	34	529	71,1
0,10 - 0,20	57	50	9	15	27	28	4	8	198	26,6
0,20 - 0,30	3	5	0	0	3	2	3	1	17	2,3
0,30 - 0,40	0	0	0	0	0	0	0	0	0	0,0
0,40 - 0,50	0	0	0	0	0	0	0	0	0	0,0
0,50 - 0,60	0	0	0	0	0	0	0	0	0	0,0
>0,60	0	0	0	0	0	0	0	0	0	0,0
<b>Total</b>	224	127	52	33	134	110	21	43		
<b>Frequência (%)</b>	30,1	17,1	7,0	4,4	18,0	14,8	2,8	5,8		

**Tabela II.5.1.2-70 -** Tabela de ocorrência conjunta de intensidade (vertical) e direção (horizontal) da corrente, com os percentuais marginais (coluna da esquerda e última linha), para o fundeio WOCE BM334, profundidade de 230 m, para o mês de abril.

Abril - 230 m										
Intensidade (m/s)	Direção								Total	Frequência (%)
	N	NE	E	SE	S	SW	W	NW		
0,00 - 0,10	24	5	4	6	30	65	89	91	314	43,6
0,10 - 0,20	2	0	0	0	10	92	89	67	260	36,1
0,20 - 0,30	0	0	0	0	0	39	46	22	107	14,9
0,30 - 0,40	0	0	0	0	1	31	5	0	37	5,1
0,40 - 0,50	0	0	0	0	0	2	0	0	2	0,3
0,50 - 0,60	0	0	0	0	0	0	0	0	0	0,0
>0,60	0	0	0	0	0	0	0	0	0	0,0
<b>Total</b>	26	5	4	6	41	229	229	180		
<b>Frequência (%)</b>	3,6	0,7	0,6	0,8	5,7	31,8	31,8	25,0		

**Tabela II.5.1.2-71 -** Tabela de ocorrência conjunta de intensidade (vertical) e direção (horizontal) da corrente, com os percentuais marginais (coluna da esquerda e última linha), para o fundeio WOCE BM334, profundidade de 470 m, para o mês de abril.

Abril - 470 m										
Intensidade (m/s)	Direção								Total	Frequência (%)
	N	NE	E	SE	S	SW	W	NW		
0,00 - 0,10	19	4	9	9	37	108	114	82	382	53,1
0,10 - 0,20	2	0	0	0	2	74	116	54	248	34,4
0,20 - 0,30	0	0	0	0	1	14	36	8	59	8,2
0,30 - 0,40	0	0	0	0	3	24	4	0	31	4,3
0,40 - 0,50	0	0	0	0	0	0	0	0	0	0,0
0,50 - 0,60	0	0	0	0	0	0	0	0	0	0,0
>0,60	0	0	0	0	0	0	0	0	0	0,0
<b>Total</b>	21	4	9	9	43	220	270	144		
<b>Frequência (%)</b>	2,9	0,6	1,3	1,3	6,0	30,6	37,5	20,0		

**Tabela II.5.1.2-72 -** Tabela de ocorrência conjunta de intensidade (vertical) e direção (horizontal) da corrente, com os percentuais marginais (coluna da esquerda e última linha), para o fundeio WOCE BM334, profundidade de 870 m, para o mês de abril.

Abril - 870 m										
Intensidade (m/s)	Direção								Total	Frequência (%)
	N	NE	E	SE	S	SW	W	NW		
0,00 - 0,10	71	8	2	9	57	127	190	127	591	82,1
0,10 - 0,20	8	1	0	0	4	27	36	13	89	12,4
0,20 - 0,30	0	0	0	0	8	21	10	0	39	5,4
0,30 - 0,40	0	0	0	0	0	0	1	0	1	0,1
0,40 - 0,50	0	0	0	0	0	0	0	0	0	0,0
0,50 - 0,60	0	0	0	0	0	0	0	0	0	0,0
>0,60	0	0	0	0	0	0	0	0	0	0,0
<b>Total</b>	79	9	2	9	69	175	237	140		
<b>Frequência (%)</b>	11,0	1,3	0,3	1,3	9,6	24,3	32,9	19,4		

**Tabela II.5.1.2-73 -** Tabela de ocorrência conjunta de intensidade (vertical) e direção (horizontal) da corrente, com os percentuais marginais (coluna da esquerda e última linha), para o fundeio WOCE BM334, profundidade de 1370 m, para o mês de abril.

Abril - 1370 m										
Intensidade (m/s)	Direção								Total	Frequência (%)
	N	NE	E	SE	S	SW	W	NW		
0,00 - 0,10	95	39	35	33	41	83	79	56	461	64,0
0,10 - 0,20	31	22	37	49	14	25	28	26	232	32,2
0,20 - 0,30	0	0	3	3	7	9	1	1	24	3,3
0,30 - 0,40	0	0	0	0	2	1	0	0	3	0,4
0,40 - 0,50	0	0	0	0	0	0	0	0	0	0,0
0,50 - 0,60	0	0	0	0	0	0	0	0	0	0,0
>0,60	0	0	0	0	0	0	0	0	0	0,0
<b>Total</b>	126	61	75	85	64	118	108	83		
<b>Frequência (%)</b>	17,5	8,5	10,4	11,8	8,9	16,4	15,0	11,5		

**Tabela II.5.1.2-74 -** Tabela de ocorrência conjunta de intensidade (vertical) e direção (horizontal) da corrente, com os percentuais marginais (coluna da esquerda e última linha), para o fundeio WOCE BM334, profundidade de 2140 m, para o mês de abril.

Abril - 2140 m										
Intensidade (m/s)	Direção								Total	Frequência (%)
	N	NE	E	SE	S	SW	W	NW		
0,00 - 0,10	176	180	74	28	14	9	13	53	547	76,0
0,10 - 0,20	59	93	10	1	0	0	1	2	166	23,1
0,20 - 0,30	2	5	0	0	0	0	0	0	7	1,0
0,30 - 0,40	0	0	0	0	0	0	0	0	0	0,0
0,40 - 0,50	0	0	0	0	0	0	0	0	0	0,0
0,50 - 0,60	0	0	0	0	0	0	0	0	0	0,0
>0,60	0	0	0	0	0	0	0	0	0	0,0
<b>Total</b>	237	278	84	29	14	9	14	55		
<b>Frequência (%)</b>	32,9	38,6	11,7	4,0	1,9	1,3	1,9	7,6		

**Tabela II.5.1.2-75** - Tabela de ocorrência conjunta de intensidade (vertical) e direção (horizontal) da corrente, com os percentuais marginais (coluna da esquerda e última linha), para o fundeio WOCE BM334, profundidade de 230 m, para o mês de maio.

Maio - 230 m										
Intensidade (m/s)	Direção								Total	Frequência (%)
	N	NE	E	SE	S	SW	W	NW		
0,00 - 0,10	3	16	7	14	71	84	25	3	223	30,0
0,10 - 0,20	37	10	2	0	56	111	35	33	284	38,2
0,20 - 0,30	11	0	0	0	14	88	22	11	146	19,6
0,30 - 0,40	0	0	0	0	1	61	26	0	88	11,8
0,40 - 0,50	0	0	0	0	0	3	0	0	3	0,4
0,50 - 0,60	0	0	0	0	0	0	0	0	0	0,0
>0,60	0	0	0	0	0	0	0	0	0	0,0
<b>Total</b>	51	26	9	14	142	347	108	47		
<b>Frequência (%)</b>	6,9	3,5	1,2	1,9	19,1	46,6	14,5	6,3		

**Tabela II.5.1.2-76** - Tabela de ocorrência conjunta de intensidade (vertical) e direção (horizontal) da corrente, com os percentuais marginais (coluna da esquerda e última linha), para o fundeio WOCE BM334, profundidade de 470 m, para o mês de maio.

Maio - 470 m										
Intensidade (m/s)	Direção								Total	Frequência (%)
	N	NE	E	SE	S	SW	W	NW		
0,00 - 0,10	28	15	9	35	44	62	40	30	263	35,4
0,10 - 0,20	28	4	1	1	85	124	98	47	388	52,2
0,20 - 0,30	0	0	0	0	6	50	35	2	93	12,5
0,30 - 0,40	0	0	0	0	0	0	0	0	0	0,0
0,40 - 0,50	0	0	0	0	0	0	0	0	0	0,0
0,50 - 0,60	0	0	0	0	0	0	0	0	0	0,0
>0,60	0	0	0	0	0	0	0	0	0	0,0
<b>Total</b>	56	19	10	36	135	236	173	79		
<b>Frequência (%)</b>	7,5	2,6	1,3	4,8	18,2	31,7	23,3	10,6		



**Tabela II.5.1.2-77 -** Tabela de ocorrência conjunta de intensidade (vertical) e direção (horizontal) da corrente, com os percentuais marginais (coluna da esquerda e última linha), para o fundeio WOCE BM334, profundidade de 870 m, para o mês de maio.

Maio - 870 m										
Intensidade (m/s)	Direção								Total	Frequência (%)
	N	NE	E	SE	S	SW	W	NW		
0,00 - 0,10	96	27	11	27	72	129	119	81	562	75,5
0,10 - 0,20	29	0	0	1	30	65	37	20	182	24,5
0,20 - 0,30	0	0	0	0	0	0	0	0	0	0,0
0,30 - 0,40	0	0	0	0	0	0	0	0	0	0,0
0,40 - 0,50	0	0	0	0	0	0	0	0	0	0,0
0,50 - 0,60	0	0	0	0	0	0	0	0	0	0,0
>0,60	0	0	0	0	0	0	0	0	0	0,0
<b>Total</b>	125	27	11	28	102	194	156	101		
<b>Frequência (%)</b>	16,8	3,6	1,5	3,8	13,7	26,1	21,0	13,6		

**Tabela II.5.1.2-78 -** Tabela de ocorrência conjunta de intensidade (vertical) e direção (horizontal) da corrente, com os percentuais marginais (coluna da esquerda e última linha), para o fundeio WOCE BM334, profundidade de 1370 m, para o mês de maio.

Maio - 1370 m										
Intensidade (m/s)	Direção								Total	Frequência (%)
	N	NE	E	SE	S	SW	W	NW		
0,00 - 0,10	77	37	22	28	51	83	136	102	536	72,0
0,10 - 0,20	34	14	10	17	39	50	16	27	207	27,8
0,20 - 0,30	0	1	0	0	0	0	0	0	1	0,1
0,30 - 0,40	0	0	0	0	0	0	0	0	0	0,0
0,40 - 0,50	0	0	0	0	0	0	0	0	0	0,0
0,50 - 0,60	0	0	0	0	0	0	0	0	0	0,0
>0,60	0	0	0	0	0	0	0	0	0	0,0
<b>Total</b>	111	52	32	45	90	133	152	129		
<b>Frequência (%)</b>	14,9	7,0	4,3	6,1	12,1	17,9	20,4	17,3		

**Tabela II.5.1.2-79** - Tabela de ocorrência conjunta de intensidade (vertical) e direção (horizontal) da corrente, com os percentuais marginais (coluna da esquerda e última linha), para o fundeio WOCE BM334, profundidade de 2140 m, para o mês de maio.

Maio - 2140 m										
Intensidade (m/s)	Direção								Total	Frequência (%)
	N	NE	E	SE	S	SW	W	NW		
0,00 - 0,10	59	74	38	54	67	145	85	74	596	80,1
0,10 - 0,20	44	29	5	5	9	22	4	4	122	16,4
0,20 - 0,30	7	8	0	0	0	1	1	0	17	2,3
0,30 - 0,40	2	7	0	0	0	0	0	0	9	1,2
0,40 - 0,50	0	0	0	0	0	0	0	0	0	0,0
0,50 - 0,60	0	0	0	0	0	0	0	0	0	0,0
>0,60	0	0	0	0	0	0	0	0	0	0,0
<b>Total</b>	112	118	43	59	76	168	90	78		
<b>Frequência (%)</b>	15,1	15,9	5,8	7,9	10,2	22,6	12,1	10,5		

**Tabela II.5.1.2-80** - Tabela de ocorrência conjunta de intensidade (vertical) e direção (horizontal) da corrente, com os percentuais marginais (coluna da esquerda e última linha), para o fundeio WOCE BM334, profundidade de 230 m, para o mês de junho.

Junho - 230 m										
Intensidade (m/s)	Direção								Total	Frequência (%)
	N	NE	E	SE	S	SW	W	NW		
0,00 - 0,10	7	8	5	6	18	64	21	8	137	19,0
0,10 - 0,20	1	0	0	6	49	119	69	2	246	34,2
0,20 - 0,30	0	0	0	2	21	111	39	1	174	24,2
0,30 - 0,40	0	0	0	3	67	61	14	0	145	20,1
0,40 - 0,50	0	0	0	0	6	9	0	0	15	2,1
0,50 - 0,60	0	0	0	0	1	2	0	0	3	0,4
>0,60	0	0	0	0	0	0	0	0	0	0,0
<b>Total</b>	8	8	5	17	162	366	143	11		
<b>Frequência (%)</b>	1,1	1,1	0,7	2,4	22,5	50,8	19,9	1,5		

**Tabela II.5.1.2-81** - Tabela de ocorrência conjunta de intensidade (vertical) e direção (horizontal) da corrente, com os percentuais marginais (coluna da esquerda e última linha), para o fundeio WOCE BM334, profundidade de 470 m, para o mês de junho.

Junho - 470 m										
Intensidade (m/s)	Direção								Total	Frequência (%)
	N	NE	E	SE	S	SW	W	NW		
0,00 - 0,10	6	4	5	22	22	75	52	19	205	28,5
0,10 - 0,20	0	0	0	12	105	138	88	4	347	48,2
0,20 - 0,30	0	0	0	4	37	74	33	0	148	20,6
0,30 - 0,40	0	0	0	1	5	12	2	0	20	2,8
0,40 - 0,50	0	0	0	0	0	0	0	0	0	0,0
0,50 - 0,60	0	0	0	0	0	0	0	0	0	0,0
>0,60	0	0	0	0	0	0	0	0	0	0,0
<b>Total</b>	6	4	5	39	169	299	175	23		
<b>Frequência (%)</b>	0,8	0,6	0,7	5,4	23,5	41,5	24,3	3,2		

**Tabela II.5.1.2-82** - Tabela de ocorrência conjunta de intensidade (vertical) e direção (horizontal) da corrente, com os percentuais marginais (coluna da esquerda e última linha), para o fundeio WOCE BM334, profundidade de 870 m, para o mês de junho.

Junho - 870 m										
Intensidade (m/s)	Direção								Total	Frequência (%)
	N	NE	E	SE	S	SW	W	NW		
0,00 - 0,10	8	5	6	37	142	214	95	27	534	74,2
0,10 - 0,20	3	1	1	5	33	73	45	18	179	24,9
0,20 - 0,30	0	0	0	0	1	2	4	0	7	1,0
0,30 - 0,40	0	0	0	0	0	0	0	0	0	0,0
0,40 - 0,50	0	0	0	0	0	0	0	0	0	0,0
0,50 - 0,60	0	0	0	0	0	0	0	0	0	0,0
>0,60	0	0	0	0	0	0	0	0	0	0,0
<b>Total</b>	11	6	7	42	176	289	144	45		
<b>Frequência (%)</b>	1,5	0,8	1,0	5,8	24,4	40,1	20,0	6,3		

**Tabela II.5.1.2-83 -** Tabela de ocorrência conjunta de intensidade (vertical) e direção (horizontal) da corrente, com os percentuais marginais (coluna da esquerda e última linha), para o fundeio WOCE BM334, profundidade de 1370 m, para o mês de junho.

Junho - 1370 m										
Intensidade (m/s)	Direção								Total	Frequência (%)
	N	NE	E	SE	S	SW	W	NW		
0,00 - 0,10	61	34	23	29	144	167	76	43	577	80,1
0,10 - 0,20	1	1	0	3	52	67	10	4	138	19,2
0,20 - 0,30	0	0	0	0	5	0	0	0	5	0,7
0,30 - 0,40	0	0	0	0	0	0	0	0	0	0,0
0,40 - 0,50	0	0	0	0	0	0	0	0	0	0,0
0,50 - 0,60	0	0	0	0	0	0	0	0	0	0,0
>0,60	0	0	0	0	0	0	0	0	0	0,0
<b>Total</b>	62	35	23	32	201	234	86	47		
<b>Frequência (%)</b>	8,6	4,9	3,2	4,4	27,9	32,5	11,9	6,5		

**Tabela II.5.1.2-84 -** Tabela de ocorrência conjunta de intensidade (vertical) e direção (horizontal) da corrente, com os percentuais marginais (coluna da esquerda e última linha), para o fundeio WOCE BM334, profundidade de 2140 m, para o mês de junho.

Junho - 2140 m										
Intensidade (m/s)	Direção								Total	Frequência (%)
	N	NE	E	SE	S	SW	W	NW		
0,00 - 0,10	96	51	38	49	44	108	45	87	518	71,9
0,10 - 0,20	43	41	9	6	19	38	6	6	168	23,3
0,20 - 0,30	4	16	0	2	6	6	0	0	34	4,7
0,30 - 0,40	0	0	0	0	0	0	0	0	0	0,0
0,40 - 0,50	0	0	0	0	0	0	0	0	0	0,0
0,50 - 0,60	0	0	0	0	0	0	0	0	0	0,0
>0,60	0	0	0	0	0	0	0	0	0	0,0
<b>Total</b>	143	108	47	57	69	152	51	93		
<b>Frequência (%)</b>	19,9	15,0	6,5	7,9	9,6	21,1	7,1	12,9		

**Tabela II.5.1.2-85** - Tabela de ocorrência conjunta de intensidade (vertical) e direção (horizontal) da corrente, com os percentuais marginais (coluna da esquerda e última linha), para o fundeio WOCE BM334, profundidade de 230 m, para o mês de julho.

Julho - 230 m										
Intensidade (m/s)	Direção								Total	Frequência (%)
	N	NE	E	SE	S	SW	W	NW		
0,00 - 0,10	22	14	28	54	93	120	66	29	426	57,3
0,10 - 0,20	4	0	0	17	76	113	58	9	277	37,2
0,20 - 0,30	0	0	0	0	7	26	8	0	41	5,5
0,30 - 0,40	0	0	0	0	0	0	0	0	0	0,0
0,40 - 0,50	0	0	0	0	0	0	0	0	0	0,0
0,50 - 0,60	0	0	0	0	0	0	0	0	0	0,0
>0,60	0	0	0	0	0	0	0	0	0	0,0
<b>Total</b>	26	14	28	71	176	259	132	38		
<b>Frequência (%)</b>	3,5	1,9	3,8	9,5	23,7	34,8	17,7	5,1		

**Tabela II.5.1.2-86** - Tabela de ocorrência conjunta de intensidade (vertical) e direção (horizontal) da corrente, com os percentuais marginais (coluna da esquerda e última linha), para o fundeio WOCE BM334, profundidade de 470 m, para o mês de julho.

Julho - 470 m										
Intensidade (m/s)	Direção								Total	Frequência (%)
	N	NE	E	SE	S	SW	W	NW		
0,00 - 0,10	22	30	28	51	93	94	71	53	442	59,4
0,10 - 0,20	4	5	4	19	77	117	50	17	293	39,4
0,20 - 0,30	2	0	0	0	3	4	0	0	9	1,2
0,30 - 0,40	0	0	0	0	0	0	0	0	0	0,0
0,40 - 0,50	0	0	0	0	0	0	0	0	0	0,0
0,50 - 0,60	0	0	0	0	0	0	0	0	0	0,0
>0,60	0	0	0	0	0	0	0	0	0	0,0
<b>Total</b>	28	35	32	70	173	215	121	70		
<b>Frequência (%)</b>	3,8	4,7	4,3	9,4	23,3	28,9	16,3	9,4		

**Tabela II.5.1.2-87 -** Tabela de ocorrência conjunta de intensidade (vertical) e direção (horizontal) da corrente, com os percentuais marginais (coluna da esquerda e última linha), para o fundeio WOCE BM334, profundidade de 870 m, para o mês de julho.

Julho - 870 m										
Intensidade (m/s)	Direção								Total	Frequência (%)
	N	NE	E	SE	S	SW	W	NW		
0,00 - 0,10	28	44	41	65	156	136	74	57	601	80,8
0,10 - 0,20	13	7	1	4	39	39	25	15	143	19,2
0,20 - 0,30	0	0	0	0	0	0	0	0	0	0,0
0,30 - 0,40	0	0	0	0	0	0	0	0	0	0,0
0,40 - 0,50	0	0	0	0	0	0	0	0	0	0,0
0,50 - 0,60	0	0	0	0	0	0	0	0	0	0,0
>0,60	0	0	0	0	0	0	0	0	0	0,0
<b>Total</b>	41	51	42	69	195	175	99	72		
<b>Frequência (%)</b>	5,5	6,9	5,7	9,3	26,2	23,5	13,3	9,7		

**Tabela II.5.1.2-88 -** Tabela de ocorrência conjunta de intensidade (vertical) e direção (horizontal) da corrente, com os percentuais marginais (coluna da esquerda e última linha), para o fundeio WOCE BM334, profundidade de 1370 m, para o mês de julho.

Julho - 1370 m										
Intensidade (m/s)	Direção								Total	Frequência (%)
	N	NE	E	SE	S	SW	W	NW		
0,00 - 0,10	69	47	32	76	151	125	70	57	627	84,3
0,10 - 0,20	14	3	0	8	53	33	4	2	117	15,7
0,20 - 0,30	0	0	0	0	0	0	0	0	0	0,0
0,30 - 0,40	0	0	0	0	0	0	0	0	0	0,0
0,40 - 0,50	0	0	0	0	0	0	0	0	0	0,0
0,50 - 0,60	0	0	0	0	0	0	0	0	0	0,0
>0,60	0	0	0	0	0	0	0	0	0	0,0
<b>Total</b>	83	50	32	84	204	158	74	59		
<b>Frequência (%)</b>	11,2	6,7	4,3	11,3	27,4	21,2	10,0	7,9		

**Tabela II.5.1.2-89 -** Tabela de ocorrência conjunta de intensidade (vertical) e direção (horizontal) da corrente, com os percentuais marginais (coluna da esquerda e última linha), para o fundeio WOCE BM334, profundidade de 2140 m, para o mês de julho.

Julho - 2140 m										
Intensidade (m/s)	Direção								Total	Frequência (%)
	N	NE	E	SE	S	SW	W	NW		
0,00 - 0,10	180	118	59	28	41	47	51	89	613	82,4
0,10 - 0,20	47	41	3	2	10	12	5	7	127	17,1
0,20 - 0,30	0	1	0	0	1	1	1	0	4	0,5
0,30 - 0,40	0	0	0	0	0	0	0	0	0	0,0
0,40 - 0,50	0	0	0	0	0	0	0	0	0	0,0
0,50 - 0,60	0	0	0	0	0	0	0	0	0	0,0
>0,60	0	0	0	0	0	0	0	0	0	0,0
<b>Total</b>	227	160	62	30	52	60	57	96		
<b>Frequência (%)</b>	30,5	21,5	8,3	4,0	7,0	8,1	7,7	12,9		

**Tabela II.5.1.2-90 -** Tabela de ocorrência conjunta de intensidade (vertical) e direção (horizontal) da corrente, com os percentuais marginais (coluna da esquerda e última linha), para o fundeio WOCE BM334, profundidade de 230 m, para o mês de agosto.

Agosto - 230 m										
Intensidade (m/s)	Direção								Total	Frequência (%)
	N	NE	E	SE	S	SW	W	NW		
0,00 - 0,10	11	9	14	36	105	103	53	14	345	46,4
0,10 - 0,20	3	2	3	16	108	133	26	1	292	39,3
0,20 - 0,30	0	0	0	2	28	30	1	0	61	8,2
0,30 - 0,40	0	0	0	0	30	11	0	0	41	5,5
0,40 - 0,50	0	0	0	0	5	0	0	0	5	0,7
0,50 - 0,60	0	0	0	0	0	0	0	0	0	0,0
>0,60	0	0	0	0	0	0	0	0	0	0,0
<b>Total</b>	14	11	17	54	276	277	80	15		
<b>Frequência (%)</b>	1,9	1,5	2,3	7,3	37,1	37,2	10,8	2,0		

**Tabela II.5.1.2-91** - Tabela de ocorrência conjunta de intensidade (vertical) e direção (horizontal) da corrente, com os percentuais marginais (coluna da esquerda e última linha), para o fundeio WOCE BM334, profundidade de 470 m, para o mês de agosto.

Agosto - 470 m										
Intensidade (m/s)	Direção								Total	Frequência (%)
	N	NE	E	SE	S	SW	W	NW		
0,00 - 0,10	6	6	10	26	119	191	62	31	451	60,6
0,10 - 0,20	1	0	1	11	81	146	8	3	251	33,7
0,20 - 0,30	0	0	0	0	32	8	0	0	40	5,4
0,30 - 0,40	0	0	0	0	2	0	0	0	2	0,3
0,40 - 0,50	0	0	0	0	0	0	0	0	0	0,0
0,50 - 0,60	0	0	0	0	0	0	0	0	0	0,0
>0,60	0	0	0	0	0	0	0	0	0	0,0
<b>Total</b>	7	6	11	37	234	345	70	34		
<b>Frequência (%)</b>	0,9	0,8	1,5	5,0	31,5	46,4	9,4	4,6		

**Tabela II.5.1.2-92** - Tabela de ocorrência conjunta de intensidade (vertical) e direção (horizontal) da corrente, com os percentuais marginais (coluna da esquerda e última linha), para o fundeio WOCE BM334, profundidade de 870 m, para o mês de agosto.

Agosto - 870 m										
Intensidade (m/s)	Direção								Total	Frequência (%)
	N	NE	E	SE	S	SW	W	NW		
0,00 - 0,10	36	38	33	59	138	179	67	53	603	81,1
0,10 - 0,20	6	3	1	6	43	41	18	7	125	16,8
0,20 - 0,30	0	0	0	2	9	3	0	0	14	1,9
0,30 - 0,40	0	0	0	0	2	0	0	0	2	0,3
0,40 - 0,50	0	0	0	0	0	0	0	0	0	0,0
0,50 - 0,60	0	0	0	0	0	0	0	0	0	0,0
>0,60	0	0	0	0	0	0	0	0	0	0,0
<b>Total</b>	42	41	34	67	192	223	85	60		
<b>Frequência (%)</b>	5,7	5,5	4,6	9,0	25,8	30,0	11,4	8,1		



**Tabela II.5.1.2-93** - Tabela de ocorrência conjunta de intensidade (vertical) e direção (horizontal) da corrente, com os percentuais marginais (coluna da esquerda e última linha), para o fundeio WOCE BM334, profundidade de 1370 m, para o mês de agosto.

Agosto - 1370 m										
Intensidade (m/s)	Direção								Total	Frequência (%)
	N	NE	E	SE	S	SW	W	NW		
0,00 - 0,10	51	78	66	70	137	120	22	26	570	76,6
0,10 - 0,20	6	19	2	14	79	50	1	0	171	23,0
0,20 - 0,30	0	0	0	0	3	0	0	0	3	0,4
0,30 - 0,40	0	0	0	0	0	0	0	0	0	0,0
0,40 - 0,50	0	0	0	0	0	0	0	0	0	0,0
0,50 - 0,60	0	0	0	0	0	0	0	0	0	0,0
>0,60	0	0	0	0	0	0	0	0	0	0,0
<b>Total</b>	57	97	68	84	219	170	23	26		
<b>Frequência (%)</b>	7,7	13,0	9,1	11,3	29,4	22,9	3,1	3,5		

**Tabela II.5.1.2-94** - Tabela de ocorrência conjunta de intensidade (vertical) e direção (horizontal) da corrente, com os percentuais marginais (coluna da esquerda e última linha), para o fundeio WOCE BM334, profundidade de 2140 m, para o mês de agosto.

Agosto - 2140 m										
Intensidade (m/s)	Direção								Total	Frequência (%)
	N	NE	E	SE	S	SW	W	NW		
0,00 - 0,10	80	63	45	29	62	182	39	49	549	73,8
0,10 - 0,20	21	41	2	4	18	69	8	4	167	22,5
0,20 - 0,30	2	11	0	0	5	5	0	1	24	3,2
0,30 - 0,40	1	1	0	0	0	2	0	0	4	0,5
0,40 - 0,50	0	0	0	0	0	0	0	0	0	0,0
0,50 - 0,60	0	0	0	0	0	0	0	0	0	0,0
>0,60	0	0	0	0	0	0	0	0	0	0,0
<b>Total</b>	104	116	47	33	85	258	47	54		
<b>Frequência (%)</b>	14,0	15,6	6,3	4,4	11,4	34,7	6,3	7,3		

**Tabela II.5.1.2-95 -** Tabela de ocorrência conjunta de intensidade (vertical) e direção (horizontal) da corrente, com os percentuais marginais (coluna da esquerda e última linha), para o fundeio WOCE BM334, profundidade de 230 m, para o mês de setembro.

Setembro - 230 m										
Intensidade (m/s)	Direção								Total	Frequência (%)
	N	NE	E	SE	S	SW	W	NW		
0,00 - 0,10	10	1	6	39	30	35	16	24	161	22,4
0,10 - 0,20	11	3	4	22	32	69	28	37	206	28,6
0,20 - 0,30	6	10	11	12	101	53	32	34	259	36,0
0,30 - 0,40	16	0	0	23	25	9	1	20	94	13,1
0,40 - 0,50	0	0	0	0	0	0	0	0	0	0,0
0,50 - 0,60	0	0	0	0	0	0	0	0	0	0,0
>0,60	0	0	0	0	0	0	0	0	0	0,0
<b>Total</b>	43	14	21	96	188	166	77	115		
<b>Frequência (%)</b>	6,0	1,9	2,9	13,3	26,1	23,1	10,7	16,0		

**Tabela II.5.1.2-96 -** Tabela de ocorrência conjunta de intensidade (vertical) e direção (horizontal) da corrente, com os percentuais marginais (coluna da esquerda e última linha), para o fundeio WOCE BM334, profundidade de 470 m, para o mês de setembro.

Setembro - 470 m										
Intensidade (m/s)	Direção								Total	Frequência (%)
	N	NE	E	SE	S	SW	W	NW		
0,00 - 0,10	13	5	20	38	59	81	60	25	301	41,8
0,10 - 0,20	38	11	9	21	81	87	62	65	374	51,9
0,20 - 0,30	1	3	2	4	26	9	0	0	45	6,3
0,30 - 0,40	0	0	0	0	0	0	0	0	0	0,0
0,40 - 0,50	0	0	0	0	0	0	0	0	0	0,0
0,50 - 0,60	0	0	0	0	0	0	0	0	0	0,0
>0,60	0	0	0	0	0	0	0	0	0	0,0
<b>Total</b>	52	19	31	63	166	177	122	90		
<b>Frequência (%)</b>	7,2	2,6	4,3	8,8	23,1	24,6	16,9	12,5		

**Tabela II.5.1.2-97 -** Tabela de ocorrência conjunta de intensidade (vertical) e direção (horizontal) da corrente, com os percentuais marginais (coluna da esquerda e última linha), para o fundeio WOCE BM334, profundidade de 870 m, para o mês de setembro.

Setembro - 870 m										
Intensidade (m/s)	Direção								Total	Frequência (%)
	N	NE	E	SE	S	SW	W	NW		
0,00 - 0,10	48	21	25	13	129	122	116	75	549	76,3
0,10 - 0,20	37	7	0	0	46	33	12	32	167	23,2
0,20 - 0,30	2	0	0	0	2	0	0	0	4	0,6
0,30 - 0,40	0	0	0	0	0	0	0	0	0	0,0
0,40 - 0,50	0	0	0	0	0	0	0	0	0	0,0
0,50 - 0,60	0	0	0	0	0	0	0	0	0	0,0
>0,60	0	0	0	0	0	0	0	0	0	0,0
<b>Total</b>	87	28	25	13	177	155	128	107		
<b>Frequência (%)</b>	12,1	3,9	3,5	1,8	24,6	21,5	17,8	14,9		

**Tabela II.5.1.2-98 -** Tabela de ocorrência conjunta de intensidade (vertical) e direção (horizontal) da corrente, com os percentuais marginais (coluna da esquerda e última linha), para o fundeio WOCE BM334, profundidade de 1370 m, para o mês de setembro.

Setembro - 1370 m										
Intensidade (m/s)	Direção								Total	Frequência (%)
	N	NE	E	SE	S	SW	W	NW		
0,00 - 0,10	84	32	13	29	109	164	110	51	592	82,2
0,10 - 0,20	28	20	0	3	37	32	3	5	128	17,8
0,20 - 0,30	0	0	0	0	0	0	0	0	0	0,0
0,30 - 0,40	0	0	0	0	0	0	0	0	0	0,0
0,40 - 0,50	0	0	0	0	0	0	0	0	0	0,0
0,50 - 0,60	0	0	0	0	0	0	0	0	0	0,0
>0,60	0	0	0	0	0	0	0	0	0	0,0
<b>Total</b>	112	52	13	32	146	196	113	56		
<b>Frequência (%)</b>	15,6	7,2	1,8	4,4	20,3	27,2	15,7	7,8		

**Tabela II.5.1.2-99** - Tabela de ocorrência conjunta de intensidade (vertical) e direção (horizontal) da corrente, com os percentuais marginais (coluna da esquerda e última linha), para o fundeio WOCE BM334, profundidade de 2140 m, para o mês de setembro.

Setembro - 2140 m										
Intensidade (m/s)	Direção								Total	Frequência (%)
	N	NE	E	SE	S	SW	W	NW		
0,00 - 0,10	129	110	32	21	112	121	45	71	641	89,0
0,10 - 0,20	17	26	4	4	14	8	0	2	75	10,4
0,20 - 0,30	0	1	0	1	2	0	0	0	4	0,6
0,30 - 0,40	0	0	0	0	0	0	0	0	0	0,0
0,40 - 0,50	0	0	0	0	0	0	0	0	0	0,0
0,50 - 0,60	0	0	0	0	0	0	0	0	0	0,0
>0,60	0	0	0	0	0	0	0	0	0	0,0
<b>Total</b>	146	137	36	26	128	129	45	73		
<b>Frequência (%)</b>	20,3	19,0	5,0	3,6	17,8	17,9	6,3	10,1		

**Tabela II.5.1.2-100** - Tabela de ocorrência conjunta de intensidade (vertical) e direção (horizontal) da corrente, com os percentuais marginais (coluna da esquerda e última linha), para o fundeio WOCE BM334, profundidade de 230 m, para o mês de outubro.

Outubro - 230 m										
Intensidade (m/s)	Direção								Total	Frequência (%)
	N	NE	E	SE	S	SW	W	NW		
0,00 - 0,10	3	6	3	20	45	41	4	9	131	17,6
0,10 - 0,20	0	0	1	21	61	146	32	24	285	38,3
0,20 - 0,30	0	0	0	18	81	116	27	9	251	33,7
0,30 - 0,40	0	0	0	1	54	19	3	0	77	10,4
0,40 - 0,50	0	0	0	0	0	0	0	0	0	0,0
0,50 - 0,60	0	0	0	0	0	0	0	0	0	0,0
>0,60	0	0	0	0	0	0	0	0	0	0,0
<b>Total</b>	3	6	4	60	241	322	66	42		
<b>Frequência (%)</b>	0,4	0,8	0,5	8,1	32,4	43,3	8,9	5,7		

**Tabela II.5.1.2-101** - Tabela de ocorrência conjunta de intensidade (vertical) e direção (horizontal) da corrente, com os percentuais marginais (coluna da esquerda e última linha), para o fundeio WOCE BM334, profundidade de 470 m, para o mês de outubro.

Outubro - 470 m										
Intensidade (m/s)	Direção								Total	Frequência (%)
	N	NE	E	SE	S	SW	W	NW		
0,00 - 0,10	2	0	4	19	70	88	50	14	247	33,2
0,10 - 0,20	0	0	0	6	161	185	77	15	444	59,7
0,20 - 0,30	0	0	0	0	32	18	3	0	53	7,1
0,30 - 0,40	0	0	0	0	0	0	0	0	0	0,0
0,40 - 0,50	0	0	0	0	0	0	0	0	0	0,0
0,50 - 0,60	0	0	0	0	0	0	0	0	0	0,0
>0,60	0	0	0	0	0	0	0	0	0	0,0
<b>Total</b>	2	0	4	25	263	291	130	29		
<b>Frequência (%)</b>	0,3	0,0	0,5	3,4	35,4	39,1	17,5	3,9		

**Tabela II.5.1.2-102** - Tabela de ocorrência conjunta de intensidade (vertical) e direção (horizontal) da corrente, com os percentuais marginais (coluna da esquerda e última linha), para o fundeio WOCE BM334, profundidade de 870 m, para o mês de outubro.

Outubro - 870 m										
Intensidade (m/s)	Direção								Total	Frequência (%)
	N	NE	E	SE	S	SW	W	NW		
0,00 - 0,10	21	10	15	29	187	173	116	34	585	78,6
0,10 - 0,20	5	0	0	9	68	44	20	13	159	21,4
0,20 - 0,30	0	0	0	0	0	0	0	0	0	0,0
0,30 - 0,40	0	0	0	0	0	0	0	0	0	0,0
0,40 - 0,50	0	0	0	0	0	0	0	0	0	0,0
0,50 - 0,60	0	0	0	0	0	0	0	0	0	0,0
>0,60	0	0	0	0	0	0	0	0	0	0,0
<b>Total</b>	26	10	15	38	255	217	136	47		
<b>Frequência (%)</b>	3,5	1,3	2,0	5,1	34,3	29,2	18,3	6,3		

**Tabela II.5.1.2-103** - Tabela de ocorrência conjunta de intensidade (vertical) e direção (horizontal) da corrente, com os percentuais marginais (coluna da esquerda e última linha), para o fundeio WOCE BM334, profundidade de 1370 m, para o mês de outubro.

Outubro - 1370 m										
Intensidade (m/s)	Direção								Total	Frequência (%)
	N	NE	E	SE	S	SW	W	NW		
0,00 - 0,10	26	21	43	125	176	152	44	26	613	82,4
0,10 - 0,20	6	3	1	5	61	53	0	0	129	17,3
0,20 - 0,30	0	0	0	0	0	2	0	0	2	0,3
0,30 - 0,40	0	0	0	0	0	0	0	0	0	0,0
0,40 - 0,50	0	0	0	0	0	0	0	0	0	0,0
0,50 - 0,60	0	0	0	0	0	0	0	0	0	0,0
>0,60	0	0	0	0	0	0	0	0	0	0,0
<b>Total</b>	32	24	44	130	237	207	44	26		
<b>Frequência (%)</b>	4,3	3,2	5,9	17,5	31,9	27,8	5,9	3,5		

**Tabela II.5.1.2-104** - Tabela de ocorrência conjunta de intensidade (vertical) e direção (horizontal) da corrente, com os percentuais marginais (coluna da esquerda e última linha), para o fundeio WOCE BM334, profundidade de 2140 m, para o mês de outubro.

Outubro - 2140 m										
Intensidade (m/s)	Direção								Total	Frequência (%)
	N	NE	E	SE	S	SW	W	NW		
0,00 - 0,10	93	81	12	26	125	146	60	48	591	79,4
0,10 - 0,20	36	33	0	1	18	57	2	1	148	19,9
0,20 - 0,30	4	0	0	0	0	1	0	0	5	0,7
0,30 - 0,40	0	0	0	0	0	0	0	0	0	0,0
0,40 - 0,50	0	0	0	0	0	0	0	0	0	0,0
0,50 - 0,60	0	0	0	0	0	0	0	0	0	0,0
>0,60	0	0	0	0	0	0	0	0	0	0,0
<b>Total</b>	133	114	12	27	143	204	62	49		
<b>Frequência (%)</b>	17,9	15,3	1,6	3,6	19,2	27,4	8,3	6,6		

**Tabela II.5.1.2-105** - Tabela de ocorrência conjunta de intensidade (vertical) e direção (horizontal) da corrente, com os percentuais marginais (coluna da esquerda e última linha), para o fundeio WOCE BM334, profundidade de 230 m, para o mês de novembro.

Novembro - 230 m										
Intensidade (m/s)	Direção								Total	Frequência (%)
	N	NE	E	SE	S	SW	W	NW		
0,00 - 0,10	48	8	6	10	23	32	28	45	200	29,9
0,10 - 0,20	19	0	3	3	79	83	26	11	224	33,5
0,20 - 0,30	0	0	1	9	118	87	9	0	224	33,5
0,30 - 0,40	0	0	0	4	9	8	0	0	21	3,1
0,40 - 0,50	0	0	0	0	0	0	0	0	0	0,0
0,50 - 0,60	0	0	0	0	0	0	0	0	0	0,0
>0,60	0	0	0	0	0	0	0	0	0	0,0
<b>Total</b>	67	8	10	26	229	210	63	56		
<b>Frequência (%)</b>	10,0	1,2	1,5	3,9	34,2	31,4	9,4	8,4		

**Tabela II.5.1.2-106** - Tabela de ocorrência conjunta de intensidade (vertical) e direção (horizontal) da corrente, com os percentuais marginais (coluna da esquerda e última linha), para o fundeio WOCE BM334, profundidade de 470 m, para o mês de novembro.

Novembro - 470 m										
Intensidade (m/s)	Direção								Total	Frequência (%)
	N	NE	E	SE	S	SW	W	NW		
0,00 - 0,10	7	0	1	6	35	67	61	78	255	38,1
0,10 - 0,20	0	0	0	6	120	177	12	2	317	47,4
0,20 - 0,30	0	0	0	1	35	57	3	0	96	14,4
0,30 - 0,40	0	0	0	0	0	1	0	0	1	0,2
0,40 - 0,50	0	0	0	0	0	0	0	0	0	0,0
0,50 - 0,60	0	0	0	0	0	0	0	0	0	0,0
>0,60	0	0	0	0	0	0	0	0	0	0,0
<b>Total</b>	7	0	1	13	190	302	76	80		
<b>Frequência (%)</b>	1,1	0,0	0,2	1,9	28,4	45,1	11,4	12,0		

**Tabela II.5.1.2-107** - Tabela de ocorrência conjunta de intensidade (vertical) e direção (horizontal) da corrente, com os percentuais marginais (coluna da esquerda e última linha), para o fundeio WOCE BM334, profundidade de 870 m, para o mês de novembro.

Novembro - 870 m										
Intensidade (m/s)	Direção								Total	Frequência (%)
	N	NE	E	SE	S	SW	W	NW		
0,00 - 0,10	23	9	6	15	154	105	59	58	429	64,1
0,10 - 0,20	2	0	0	13	90	87	17	4	213	31,8
0,20 - 0,30	0	0	0	3	8	11	5	0	27	4,0
0,30 - 0,40	0	0	0	0	0	0	0	0	0	0,0
0,40 - 0,50	0	0	0	0	0	0	0	0	0	0,0
0,50 - 0,60	0	0	0	0	0	0	0	0	0	0,0
>0,60	0	0	0	0	0	0	0	0	0	0,0
<b>Total</b>	25	9	6	31	252	203	81	62		
<b>Frequência (%)</b>	3,7	1,4	0,9	4,6	37,7	30,3	12,1	9,3		

**Tabela II.5.1.2-108** - Tabela de ocorrência conjunta de intensidade (vertical) e direção (horizontal) da corrente, com os percentuais marginais (coluna da esquerda e última linha), para o fundeio WOCE BM334, profundidade de 1370 m, para o mês de novembro.

Novembro - 1370 m										
Intensidade (m/s)	Direção								Total	Frequência (%)
	N	NE	E	SE	S	SW	W	NW		
0,00 - 0,10	33	39	15	41	141	143	45	47	504	75,3
0,10 - 0,20	4	1	2	7	59	77	12	3	165	24,7
0,20 - 0,30	0	0	0	0	0	0	0	0	0	0,0
0,30 - 0,40	0	0	0	0	0	0	0	0	0	0,0
0,40 - 0,50	0	0	0	0	0	0	0	0	0	0,0
0,50 - 0,60	0	0	0	0	0	0	0	0	0	0,0
>0,60	0	0	0	0	0	0	0	0	0	0,0
<b>Total</b>	37	40	17	48	200	220	57	50		
<b>Frequência (%)</b>	5,5	6,0	2,5	7,2	29,9	32,9	8,5	7,5		



**Tabela II.5.1.2-109** - Tabela de ocorrência conjunta de intensidade (vertical) e direção (horizontal) da corrente, com os percentuais marginais (coluna da esquerda e última linha), para o fundeio WOCE BM334, profundidade de 2140 m, para o mês de novembro.

Novembro - 2140 m										
Intensidade (m/s)	Direção								Total	Frequência (%)
	N	NE	E	SE	S	SW	W	NW		
0,00 - 0,10	69	109	67	77	79	127	22	65	615	91,9
0,10 - 0,20	12	10	0	2	2	24	0	0	50	7,5
0,20 - 0,30	0	4	0	0	0	0	0	0	4	0,6
0,30 - 0,40	0	0	0	0	0	0	0	0	0	0,0
0,40 - 0,50	0	0	0	0	0	0	0	0	0	0,0
0,50 - 0,60	0	0	0	0	0	0	0	0	0	0,0
>0,60	0	0	0	0	0	0	0	0	0	0,0
<b>Total</b>	81	123	67	79	81	151	22	65		
<b>Frequência (%)</b>	12,1	18,4	10,0	11,8	12,1	22,6	3,3	9,7		

**Tabela II.5.1.2-110** - Tabela de ocorrência conjunta de intensidade (vertical) e direção (horizontal) da corrente, com os percentuais marginais (coluna da esquerda e última linha), para o fundeio WOCE BM334, profundidade de 230 m, para o mês de dezembro.

Dezembro - 230 m										
Intensidade (m/s)	Direção								Total	Frequência (%)
	N	NE	E	SE	S	SW	W	NW		
0,00 - 0,10	0	0	1	2	17	22	1	2	45	12,1
0,10 - 0,20	0	0	0	0	58	108	4	0	170	45,7
0,20 - 0,30	0	0	0	0	33	121	1	0	155	41,7
0,30 - 0,40	0	0	0	0	0	2	0	0	2	0,5
0,40 - 0,50	0	0	0	0	0	0	0	0	0	0,0
0,50 - 0,60	0	0	0	0	0	0	0	0	0	0,0
>0,60	0	0	0	0	0	0	0	0	0	0,0
<b>Total</b>	0	0	1	2	108	253	6	2		
<b>Frequência (%)</b>	0,0	0,0	0,3	0,5	29,0	68,0	1,6	0,5		

**Tabela II.5.1.2-111** - Tabela de ocorrência conjunta de intensidade (vertical) e direção (horizontal) da corrente, com os percentuais marginais (coluna da esquerda e última linha), para o fundeio WOCE BM334, profundidade de 470 m, para o mês de dezembro.

Dezembro - 470 m										
Intensidade (m/s)	Direção								Total	Frequência (%)
	N	NE	E	SE	S	SW	W	NW		
0,00 - 0,10	0	0	0	0	18	31	3	0	52	14,0
0,10 - 0,20	0	0	0	2	44	244	4	0	294	79,0
0,20 - 0,30	0	0	0	0	4	22	0	0	26	7,0
0,30 - 0,40	0	0	0	0	0	0	0	0	0	0,0
0,40 - 0,50	0	0	0	0	0	0	0	0	0	0,0
0,50 - 0,60	0	0	0	0	0	0	0	0	0	0,0
>0,60	0	0	0	0	0	0	0	0	0	0,0
<b>Total</b>	0	0	0	2	66	297	7	0		
<b>Frequência (%)</b>	0,0	0,0	0,0	0,5	17,7	79,8	1,9	0,0		

**Tabela II.5.1.2-112** - Tabela de ocorrência conjunta de intensidade (vertical) e direção (horizontal) da corrente, com os percentuais marginais (coluna da esquerda e última linha), para o fundeio WOCE BM334, profundidade de 870 m, para o mês de dezembro.

Dezembro - 870 m										
Intensidade (m/s)	Direção								Total	Frequência (%)
	N	NE	E	SE	S	SW	W	NW		
0,00 - 0,10	2	1	2	3	50	157	31	5	251	67,5
0,10 - 0,20	0	0	0	0	38	79	4	0	121	32,5
0,20 - 0,30	0	0	0	0	0	0	0	0	0	0,0
0,30 - 0,40	0	0	0	0	0	0	0	0	0	0,0
0,40 - 0,50	0	0	0	0	0	0	0	0	0	0,0
0,50 - 0,60	0	0	0	0	0	0	0	0	0	0,0
>0,60	0	0	0	0	0	0	0	0	0	0,0
<b>Total</b>	2	1	2	3	88	236	35	5		
<b>Frequência (%)</b>	0,5	0,3	0,5	0,8	23,7	63,4	9,4	1,3		

**Tabela II.5.1.2-113** - Tabela de ocorrência conjunta de intensidade (vertical) e direção (horizontal) da corrente, com os percentuais marginais (coluna da esquerda e última linha), para o fundeio WOCE BM334, profundidade de 1370 m, para o mês de dezembro.

Dezembro - 1370 m										
Intensidade (m/s)	Direção								Total	Frequência (%)
	N	NE	E	SE	S	SW	W	NW		
0,00 - 0,10	16	2	0	5	88	102	49	33	295	79,3
0,10 - 0,20	0	0	0	1	33	39	1	0	74	19,9
0,20 - 0,30	0	0	0	0	2	1	0	0	3	0,8
0,30 - 0,40	0	0	0	0	0	0	0	0	0	0,0
0,40 - 0,50	0	0	0	0	0	0	0	0	0	0,0
0,50 - 0,60	0	0	0	0	0	0	0	0	0	0,0
>0,60	0	0	0	0	0	0	0	0	0	0,0
<b>Total</b>	16	2	0	6	123	142	50	33		
<b>Frequência (%)</b>	4,3	0,5	0,0	1,6	33,1	38,2	13,4	8,9		

**Tabela II.5.1.2-114** - Tabela de ocorrência conjunta de intensidade (vertical) e direção (horizontal) da corrente, com os percentuais marginais (coluna da esquerda e última linha), para o fundeio WOCE BM334, profundidade de 2140 m, para o mês de dezembro.

Dezembro - 2140 m										
Intensidade (m/s)	Direção								Total	Frequência (%)
	N	NE	E	SE	S	SW	W	NW		
0,00 - 0,10	2	28	13	10	121	115	6	16	311	83,6
0,10 - 0,20	0	3	0	0	27	26	3	0	59	15,9
0,20 - 0,30	0	0	0	0	0	2	0	0	2	0,5
0,30 - 0,40	0	0	0	0	0	0	0	0	0	0,0
0,40 - 0,50	0	0	0	0	0	0	0	0	0	0,0
0,50 - 0,60	0	0	0	0	0	0	0	0	0	0,0
>0,60	0	0	0	0	0	0	0	0	0	0,0
<b>Total</b>	2	31	13	10	148	143	9	16		
<b>Frequência (%)</b>	0,5	8,3	3,5	2,7	39,8	38,4	2,4	4,3		

**Tabela II.5.1.2-115** - Tabela de ocorrência conjunta de intensidade (vertical) e direção (horizontal) da corrente, com os percentuais marginais (coluna da esquerda e última linha), para o fundeio PETROBRAS BS500, profundidade de 6 m, para o mês de janeiro.

Janeiro - 6 m										
Intensidade (m/s)	Direção								Total	Frequência (%)
	N	NE	E	SE	S	SW	W	NW		
0,00 - 0,10	0	0	0	0	2	2	0	2	6	0,6
0,10 - 0,20	0	0	0	0	2	2	2	0	6	0,6
0,20 - 0,30	0	0	0	0	3	42	24	0	69	7,0
0,30 - 0,40	0	0	0	0	2	101	113	0	216	21,9
0,40 - 0,50	0	0	0	0	5	208	162	2	377	38,2
0,50 - 0,60	0	0	0	0	0	109	85	0	194	19,7
0,60 - 0,70	0	0	0	0	0	39	47	0	86	8,7
0,70 - 0,80	0	0	0	0	0	6	11	0	17	1,7
0,80 - 0,90	0	0	0	0	0	0	0	0	0	0,0
>0,90	0	0	0	0	0	0	0	0	0	0,0
<b>Total</b>	0	0	0	0	14	509	444	4		
<b>Frequência (%)</b>	0,0	0,0	0,0	0,0	1,4	51,6	45,0	0,4		

**Tabela II.5.1.2-116** - Tabela de ocorrência conjunta de intensidade (vertical) e direção (horizontal) da corrente, com os percentuais marginais (coluna da esquerda e última linha), para o fundeio PETROBRAS BS500, profundidade de 9 m, para o mês de janeiro.

Janeiro - 9 m										
Intensidade (m/s)	Direção								Total	Frequência (%)
	N	NE	E	SE	S	SW	W	NW		
0,00 - 0,10	0	0	0	0	0	0	0	0	0	0,0
0,10 - 0,20	0	0	0	0	0	3	2	0	5	0,5
0,20 - 0,30	0	0	0	0	4	2	2	0	8	0,8
0,30 - 0,40	0	0	0	0	1	9	9	0	19	1,9
0,40 - 0,50	0	0	0	0	2	40	32	0	74	7,5
0,50 - 0,60	0	0	0	0	4	105	106	0	215	21,8
0,60 - 0,70	0	0	0	0	1	139	114	0	254	25,7
0,70 - 0,80	0	0	0	0	0	106	91	0	197	20,0
0,80 - 0,90	0	0	0	0	0	64	55	0	119	12,1
>0,90	0	0	0	0	0	46	50	0	96	9,7
<b>Total</b>	0	0	0	0	12	514	461	0		
<b>Frequência (%)</b>	0,0	0,0	0,0	0,0	1,2	52,1	46,7	0,0		

**Tabela II.5.1.2-117** - Tabela de ocorrência conjunta de intensidade (vertical) e direção (horizontal) da corrente, com os percentuais marginais (coluna da esquerda e última linha), para o fundeio PETROBRAS BS500, profundidade de 11 m, para o mês de janeiro.

Janeiro - 11 m										
Intensidade (m/s)	Direção								Total	Frequência (%)
	N	NE	E	SE	S	SW	W	NW		
0,00 - 0,10	0	0	0	0	0	0	0	0	0	0,0
0,10 - 0,20	0	0	0	0	0	3	3	0	6	0,6
0,20 - 0,30	0	0	0	0	4	2	0	0	6	0,6
0,30 - 0,40	0	0	0	0	1	11	1	0	13	1,3
0,40 - 0,50	0	0	0	0	3	35	38	0	76	7,7
0,50 - 0,60	0	0	0	0	0	95	119	0	214	21,7
0,60 - 0,70	0	0	0	0	0	144	127	0	271	27,5
0,70 - 0,80	0	0	0	0	0	97	74	0	171	17,3
0,80 - 0,90	0	0	0	0	0	62	65	0	127	12,9
>0,90	0	0	0	0	0	53	50	0	103	10,4
<b>Total</b>	0	0	0	0	8	502	477	0		
<b>Frequência (%)</b>	0,0	0,0	0,0	0,0	0,8	50,9	48,3	0,0		

**Tabela II.5.1.2-118** - Tabela de ocorrência conjunta de intensidade (vertical) e direção (horizontal) da corrente, com os percentuais marginais (coluna da esquerda e última linha), para o fundeio PETROBRAS BS500, profundidade de 14 m, para o mês de janeiro.

Janeiro - 14 m										
Intensidade (m/s)	Direção								Total	Frequência (%)
	N	NE	E	SE	S	SW	W	NW		
0,00 - 0,10	0	0	0	0	0	0	0	0	0	0,0
0,10 - 0,20	0	0	0	0	3	4	0	0	7	0,7
0,20 - 0,30	0	0	0	0	1	1	3	0	5	0,5
0,30 - 0,40	0	0	0	0	1	8	4	0	13	1,3
0,40 - 0,50	0	0	0	0	4	39	29	0	72	7,3
0,50 - 0,60	0	0	0	0	0	110	117	0	227	23,0
0,60 - 0,70	0	0	0	0	0	123	132	0	255	25,8
0,70 - 0,80	0	0	0	0	0	85	85	0	170	17,2
0,80 - 0,90	0	0	0	0	0	85	68	0	153	15,5
>0,90	0	0	0	0	0	48	37	0	85	8,6
<b>Total</b>	0	0	0	0	9	503	475	0		
<b>Frequência (%)</b>	0,0	0,0	0,0	0,0	0,9	51,0	48,1	0,0		

**Tabela II.5.1.2-119** - Tabela de ocorrência conjunta de intensidade (vertical) e direção (horizontal) da corrente, com os percentuais marginais (coluna da esquerda e última linha), para o fundeio PETROBRAS BS500, profundidade de 16 m, para o mês de janeiro.

Janeiro - 16 m										
Intensidade (m/s)	Direção								Total	Frequência (%)
	N	NE	E	SE	S	SW	W	NW		
0,00 - 0,10	0	0	0	0	0	0	0	0	0	0,0
0,10 - 0,20	0	0	0	0	1	1	3	0	5	0,5
0,20 - 0,30	0	0	0	0	2	1	1	0	4	0,4
0,30 - 0,40	0	0	0	0	1	6	7	0	14	1,4
0,40 - 0,50	0	0	0	0	2	49	30	0	81	8,2
0,50 - 0,60	0	0	0	0	0	106	118	0	224	22,7
0,60 - 0,70	0	0	0	0	0	123	131	0	254	25,7
0,70 - 0,80	0	0	0	0	0	91	97	0	188	19,1
0,80 - 0,90	0	0	0	0	0	72	66	0	138	14,0
>0,90	0	0	0	0	0	50	29	0	79	8,0
<b>Total</b>	0	0	0	0	6	499	482	0		
<b>Frequência (%)</b>	0,0	0,0	0,0	0,0	0,6	50,6	48,8	0,0		

**Tabela II.5.1.2-120** - Tabela de ocorrência conjunta de intensidade (vertical) e direção (horizontal) da corrente, com os percentuais marginais (coluna da esquerda e última linha), para o fundeio PETROBRAS BS500, profundidade de 19 m, para o mês de janeiro.

Janeiro - 19 m										
Intensidade (m/s)	Direção								Total	Frequência (%)
	N	NE	E	SE	S	SW	W	NW		
0,00 - 0,10	0	0	0	0	0	0	0	0	0	0,0
0,10 - 0,20	0	0	0	0	0	1	3	0	4	0,4
0,20 - 0,30	0	0	0	0	0	0	1	0	1	0,1
0,30 - 0,40	0	0	0	0	4	8	17	0	29	2,9
0,40 - 0,50	0	0	0	0	2	48	20	0	70	7,1
0,50 - 0,60	0	0	0	0	1	107	131	0	239	24,2
0,60 - 0,70	0	0	0	0	0	114	123	0	237	24,0
0,70 - 0,80	0	0	0	0	0	76	112	0	188	19,1
0,80 - 0,90	0	0	0	0	0	78	57	0	135	13,7
>0,90	0	0	0	0	0	54	30	0	84	8,5
<b>Total</b>	0	0	0	0	7	486	494	0		
<b>Frequência (%)</b>	0,0	0,0	0,0	0,0	0,7	49,2	50,1	0,0		

**Tabela II.5.1.2-121** - Tabela de ocorrência conjunta de intensidade (vertical) e direção (horizontal) da corrente, com os percentuais marginais (coluna da esquerda e última linha), para o fundeio PETROBRAS BS500, profundidade de 21 m, para o mês de janeiro.

Janeiro - 21 m										
Intensidade (m/s)	Direção								Total	Frequência (%)
	N	NE	E	SE	S	SW	W	NW		
0,00 - 0,10	0	0	0	0	0	0	0	0	0	0,0
0,10 - 0,20	0	0	0	0	0	1	0	0	1	0,1
0,20 - 0,30	0	0	0	0	0	1	3	0	4	0,4
0,30 - 0,40	0	0	0	0	2	5	13	0	20	2,0
0,40 - 0,50	0	0	0	0	1	44	31	0	76	7,7
0,50 - 0,60	0	0	0	0	0	121	145	0	266	27,0
0,60 - 0,70	0	0	0	0	0	121	136	0	257	26,0
0,70 - 0,80	0	0	0	0	0	63	104	0	167	16,9
0,80 - 0,90	0	0	0	0	0	77	44	0	121	12,3
>0,90	0	0	0	0	0	47	28	0	75	7,6
<b>Total</b>	0	0	0	0	3	480	504	0		
<b>Frequência (%)</b>	0,0	0,0	0,0	0,0	0,3	48,6	51,1	0,0		

**Tabela II.5.1.2-122** - Tabela de ocorrência conjunta de intensidade (vertical) e direção (horizontal) da corrente, com os percentuais marginais (coluna da esquerda e última linha), para o fundeio PETROBRAS BS500, profundidade de 24 m, para o mês de janeiro.

Janeiro - 24 m										
Intensidade (m/s)	Direção								Total	Frequência (%)
	N	NE	E	SE	S	SW	W	NW		
0,00 - 0,10	0	0	0	0	0	0	0	0	0	0,0
0,10 - 0,20	0	0	0	0	0	0	0	0	0	0,0
0,20 - 0,30	0	0	0	0	0	2	1	0	3	0,3
0,30 - 0,40	0	0	0	0	0	9	16	0	25	2,5
0,40 - 0,50	0	0	0	0	3	40	45	0	88	8,9
0,50 - 0,60	0	0	0	0	0	127	151	0	278	28,2
0,60 - 0,70	0	0	0	0	0	134	121	0	255	25,8
0,70 - 0,80	0	0	0	0	0	56	95	0	151	15,3
0,80 - 0,90	0	0	0	0	0	72	39	0	111	11,3
>0,90	0	0	0	0	0	50	26	0	76	7,7
<b>Total</b>	0	0	0	0	3	490	494	0		
<b>Frequência (%)</b>	0,0	0,0	0,0	0,0	0,3	49,7	50,1	0,0		

**Tabela II.5.1.2-123** - Tabela de ocorrência conjunta de intensidade (vertical) e direção (horizontal) da corrente, com os percentuais marginais (coluna da esquerda e última linha), para o fundeio PETROBRAS BS500, profundidade de 26 m, para o mês de janeiro.

Janeiro - 26 m										
Intensidade (m/s)	Direção								Total	Frequência (%)
	N	NE	E	SE	S	SW	W	NW		
0,00 - 0,10	0	0	0	0	0	0	0	0	0	0,0
0,10 - 0,20	0	0	0	0	0	0	0	0	0	0,0
0,20 - 0,30	0	0	0	0	0	4	0	0	4	0,4
0,30 - 0,40	0	0	0	0	0	8	11	0	19	1,9
0,40 - 0,50	0	0	0	0	2	55	56	0	113	11,5
0,50 - 0,60	0	0	0	0	0	114	165	0	279	28,3
0,60 - 0,70	0	0	0	0	0	118	132	0	250	25,3
0,70 - 0,80	0	0	0	0	0	57	85	0	142	14,4
0,80 - 0,90	0	0	0	0	0	70	34	0	104	10,5
>0,90	0	0	0	0	0	46	30	0	76	7,7
<b>Total</b>	0	0	0	0	2	472	513	0		
<b>Frequência (%)</b>	0,0	0,0	0,0	0,0	0,2	47,8	52,0	0,0		

**Tabela II.5.1.2-124** - Tabela de ocorrência conjunta de intensidade (vertical) e direção (horizontal) da corrente, com os percentuais marginais (coluna da esquerda e última linha), para o fundeio PETROBRAS BS500, profundidade de 29 m, para o mês de janeiro.

Janeiro - 29 m										
Intensidade (m/s)	Direção								Total	Frequência (%)
	N	NE	E	SE	S	SW	W	NW		
0,00 - 0,10	0	0	0	0	0	0	0	0	0	0,0
0,10 - 0,20	0	0	0	0	0	0	0	0	0	0,0
0,20 - 0,30	0	0	0	0	0	5	0	0	5	0,5
0,30 - 0,40	0	0	0	0	0	13	5	0	18	1,8
0,40 - 0,50	0	0	0	0	0	50	63	0	113	11,5
0,50 - 0,60	0	0	0	0	0	120	157	0	277	28,1
0,60 - 0,70	0	0	0	0	0	93	143	0	236	23,9
0,70 - 0,80	0	0	0	0	0	71	93	0	164	16,6
0,80 - 0,90	0	0	0	0	0	69	44	0	113	11,5
>0,90	0	0	0	0	0	40	21	0	61	6,2
<b>Total</b>	0	0	0	0	0	461	526	0		
<b>Frequência (%)</b>	0,0	0,0	0,0	0,0	0,0	46,7	53,3	0,0		



**Tabela II.5.1.2-125** - Tabela de ocorrência conjunta de intensidade (vertical) e direção (horizontal) da corrente, com os percentuais marginais (coluna da esquerda e última linha), para o fundeio PETROBRAS BS500, profundidade de 31 m, para o mês de janeiro.

Janeiro - 31 m											
Intensidade (m/s)	Direção								Total	Frequência (%)	
	N	NE	E	SE	S	SW	W	NW			
0,00 - 0,10	0	0	0	0	0	0	0	0	0	0	0,0
0,10 - 0,20	0	0	0	0	0	0	0	0	0	0	0,0
0,20 - 0,30	0	0	0	0	0	4	0	0	0	4	0,4
0,30 - 0,40	0	0	0	0	0	23	3	0	0	26	2,6
0,40 - 0,50	0	0	0	0	0	53	70	0	0	123	12,5
0,50 - 0,60	0	0	0	0	0	103	140	0	0	243	24,6
0,60 - 0,70	0	0	0	0	0	97	151	0	0	248	25,1
0,70 - 0,80	0	0	0	0	0	66	100	0	0	166	16,8
0,80 - 0,90	0	0	0	0	0	69	50	0	0	119	12,1
>0,90	0	0	0	0	0	39	19	0	0	58	5,9
<b>Total</b>	0	0	0	0	0	454	533	0	0		
<b>Frequência (%)</b>	0,0	0,0	0,0	0,0	0,0	46,0	54,0	0,0	0,0		

**Tabela II.5.1.2-126** - Tabela de ocorrência conjunta de intensidade (vertical) e direção (horizontal) da corrente, com os percentuais marginais (coluna da esquerda e última linha), para o fundeio PETROBRAS BS500, profundidade de 33 m, para o mês de janeiro.

Janeiro - 33 m											
Intensidade (m/s)	Direção								Total	Frequência (%)	
	N	NE	E	SE	S	SW	W	NW			
0,00 - 0,10	0	0	0	0	0	0	0	0	0	0	0,0
0,10 - 0,20	0	0	0	0	0	0	0	0	0	0	0,0
0,20 - 0,30	0	0	0	0	0	2	0	0	0	2	0,2
0,30 - 0,40	0	0	0	0	1	22	5	0	0	28	2,8
0,40 - 0,50	0	0	0	0	0	53	85	0	0	138	14,0
0,50 - 0,60	0	0	0	0	2	88	131	0	0	221	22,4
0,60 - 0,70	0	0	0	0	0	95	144	0	0	239	24,2
0,70 - 0,80	0	0	0	0	0	80	114	0	0	194	19,7
0,80 - 0,90	0	0	0	0	0	75	43	0	0	118	12,0
>0,90	0	0	0	0	0	29	18	0	0	47	4,8
<b>Total</b>	0	0	0	0	3	444	540	0	0		
<b>Frequência (%)</b>	0,0	0,0	0,0	0,0	0,3	45,0	54,7	0,0	0,0		

**Tabela II.5.1.2-127** - Tabela de ocorrência conjunta de intensidade (vertical) e direção (horizontal) da corrente, com os percentuais marginais (coluna da esquerda e última linha), para o fundeio PETROBRAS BS500, profundidade de 36 m, para o mês de janeiro.

Janeiro - 36 m										
Intensidade (m/s)	Direção								Total	Frequência (%)
	N	NE	E	SE	S	SW	W	NW		
0,00 - 0,10	0	0	0	0	0	0	0	0	0	0,0
0,10 - 0,20	0	0	0	0	0	0	0	0	0	0,0
0,20 - 0,30	0	0	0	0	0	2	0	0	2	0,2
0,30 - 0,40	0	0	0	0	1	17	7	0	25	2,5
0,40 - 0,50	0	0	0	0	3	50	86	0	139	14,1
0,50 - 0,60	0	0	0	0	0	100	144	0	244	24,7
0,60 - 0,70	0	0	0	0	0	96	147	0	243	24,6
0,70 - 0,80	0	0	0	0	0	85	96	0	181	18,3
0,80 - 0,90	0	0	0	0	0	76	35	0	111	11,3
>0,90	0	0	0	0	0	28	14	0	42	4,3
<b>Total</b>	0	0	0	0	4	454	529	0		
<b>Frequência (%)</b>	0,0	0,0	0,0	0,0	0,4	46,0	53,6	0,0		

**Tabela II.5.1.2-128** - Tabela de ocorrência conjunta de intensidade (vertical) e direção (horizontal) da corrente, com os percentuais marginais (coluna da esquerda e última linha), para o fundeio PETROBRAS BS500, profundidade de 38 m, para o mês de janeiro.

Janeiro - 38 m										
Intensidade (m/s)	Direção								Total	Frequência (%)
	N	NE	E	SE	S	SW	W	NW		
0,00 - 0,10	0	0	0	0	0	0	0	0	0	0,0
0,10 - 0,20	0	0	0	0	0	0	0	0	0	0,0
0,20 - 0,30	0	0	0	0	0	2	1	0	3	0,3
0,30 - 0,40	0	0	0	0	0	19	14	0	33	3,3
0,40 - 0,50	0	0	0	0	4	52	90	0	146	14,8
0,50 - 0,60	0	0	0	0	0	81	147	0	228	23,1
0,60 - 0,70	0	0	0	0	0	99	145	0	244	24,7
0,70 - 0,80	0	0	0	0	0	83	100	0	183	18,5
0,80 - 0,90	0	0	0	0	0	80	31	0	111	11,3
>0,90	0	0	0	0	0	22	17	0	39	4,0
<b>Total</b>	0	0	0	0	4	438	545	0		
<b>Frequência (%)</b>	0,0	0,0	0,0	0,0	0,4	44,4	55,2	0,0		

**Tabela II.5.1.2-129** - Tabela de ocorrência conjunta de intensidade (vertical) e direção (horizontal) da corrente, com os percentuais marginais (coluna da esquerda e última linha), para o fundeio PETROBRAS BS500, profundidade de 41 m, para o mês de janeiro.

Janeiro - 41 m										
Intensidade (m/s)	Direção								Total	Frequência (%)
	N	NE	E	SE	S	SW	W	NW		
0,00 - 0,10	0	0	0	0	0	0	0	0	0	0,0
0,10 - 0,20	0	0	0	0	0	0	0	0	0	0,0
0,20 - 0,30	0	0	0	0	0	3	0	0	3	0,3
0,30 - 0,40	0	0	0	0	3	22	17	0	42	4,3
0,40 - 0,50	0	0	0	0	2	50	88	0	140	14,2
0,50 - 0,60	0	0	0	0	0	79	140	0	219	22,2
0,60 - 0,70	0	0	0	0	0	104	152	0	256	25,9
0,70 - 0,80	0	0	0	0	0	86	95	0	181	18,3
0,80 - 0,90	0	0	0	0	0	75	35	0	110	11,1
>0,90	0	0	0	0	0	20	16	0	36	3,7
<b>Total</b>	0	0	0	0	5	439	543	0		
<b>Frequência (%)</b>	0,0	0,0	0,0	0,0	0,5	44,5	55,0	0,0		

**Tabela II.5.1.2-130** - Tabela de ocorrência conjunta de intensidade (vertical) e direção (horizontal) da corrente, com os percentuais marginais (coluna da esquerda e última linha), para o fundeio PETROBRAS BS500, profundidade de 43 m, para o mês de janeiro.

Janeiro - 43 m										
Intensidade (m/s)	Direção								Total	Frequência (%)
	N	NE	E	SE	S	SW	W	NW		
0,00 - 0,10	0	0	0	0	0	0	0	0	0	0,0
0,10 - 0,20	0	0	0	0	0	0	0	0	0	0,0
0,20 - 0,30	0	0	0	0	0	4	0	0	4	0,4
0,30 - 0,40	0	0	0	0	3	25	8	0	36	3,7
0,40 - 0,50	0	0	0	0	1	47	95	0	143	14,5
0,50 - 0,60	0	0	0	0	0	79	134	0	213	21,6
0,60 - 0,70	0	0	0	0	0	111	168	0	279	28,3
0,70 - 0,80	0	0	0	0	0	84	76	0	160	16,2
0,80 - 0,90	0	0	0	0	0	66	36	0	102	10,3
>0,90	0	0	0	0	0	28	22	0	50	5,1
<b>Total</b>	0	0	0	0	4	444	539	0		
<b>Frequência (%)</b>	0,0	0,0	0,0	0,0	0,4	45,0	54,6	0,0		

**Tabela II.5.1.2-131** - Tabela de ocorrência conjunta de intensidade (vertical) e direção (horizontal) da corrente, com os percentuais marginais (coluna da esquerda e última linha), para o fundeio PETROBRAS BS500, profundidade de 46 m, para o mês de janeiro.

Janeiro - 46 m										
Intensidade (m/s)	Direção								Total	Frequência (%)
	N	NE	E	SE	S	SW	W	NW		
0,00 - 0,10	0	0	0	0	0	0	0	0	0	0,0
0,10 - 0,20	0	0	0	0	0	0	0	0	0	0,0
0,20 - 0,30	0	0	0	0	0	5	0	0	5	0,5
0,30 - 0,40	0	0	0	0	0	29	8	0	37	3,8
0,40 - 0,50	0	0	0	0	0	50	105	0	155	15,7
0,50 - 0,60	0	0	0	0	4	68	143	0	215	21,8
0,60 - 0,70	0	0	0	0	1	130	149	0	280	28,4
0,70 - 0,80	0	0	0	0	0	63	81	0	144	14,6
0,80 - 0,90	0	0	0	0	0	61	40	0	101	10,2
>0,90	0	0	0	0	0	37	13	0	50	5,1
<b>Total</b>	0	0	0	0	5	443	539	0		
<b>Frequência (%)</b>	0,0	0,0	0,0	0,0	0,5	44,9	54,6	0,0		

**Tabela II.5.1.2-132** - Tabela de ocorrência conjunta de intensidade (vertical) e direção (horizontal) da corrente, com os percentuais marginais (coluna da esquerda e última linha), para o fundeio PETROBRAS BS500, profundidade de 49 m, para o mês de janeiro.

Janeiro - 49 m										
Intensidade (m/s)	Direção								Total	Frequência (%)
	N	NE	E	SE	S	SW	W	NW		
0,00 - 0,10	0	0	0	0	0	0	0	0	0	0,0
0,10 - 0,20	0	0	0	0	0	0	0	0	0	0,0
0,20 - 0,30	0	0	0	0	0	6	5	0	11	1,1
0,30 - 0,40	0	0	0	0	0	33	16	0	49	5,0
0,40 - 0,50	0	0	0	0	0	48	86	0	134	13,6
0,50 - 0,60	0	0	0	0	0	63	151	0	214	21,7
0,60 - 0,70	0	0	0	0	3	116	174	0	293	29,7
0,70 - 0,80	0	0	0	0	2	69	80	0	151	15,3
0,80 - 0,90	0	0	0	0	0	48	30	0	78	7,9
>0,90	0	0	0	0	0	41	16	0	57	5,8
<b>Total</b>	0	0	0	0	5	424	558	0		
<b>Frequência (%)</b>	0,0	0,0	0,0	0,0	0,5	43,0	56,5	0,0		

**Tabela II.5.1.2-133** - Tabela de ocorrência conjunta de intensidade (vertical) e direção (horizontal) da corrente, com os percentuais marginais (coluna da esquerda e última linha), para o fundeio PETROBRAS BS500, profundidade de 51 m, para o mês de janeiro.

Janeiro - 51 m										
Intensidade (m/s)	Direção								Total	Frequência (%)
	N	NE	E	SE	S	SW	W	NW		
0,00 - 0,10	0	0	0	0	0	0	0	0	0	0,0
0,10 - 0,20	0	0	0	0	0	0	0	0	0	0,0
0,20 - 0,30	0	0	0	0	0	2	2	0	4	0,4
0,30 - 0,40	0	0	0	0	2	36	16	0	54	5,5
0,40 - 0,50	0	0	0	0	0	42	99	0	141	14,3
0,50 - 0,60	0	0	0	0	0	74	145	0	219	22,2
0,60 - 0,70	0	0	0	0	3	114	179	0	296	30,0
0,70 - 0,80	0	0	0	0	0	59	79	0	138	14,0
0,80 - 0,90	0	0	0	0	0	44	31	0	75	7,6
>0,90	0	0	0	0	1	39	20	0	60	6,1
<b>Total</b>	0	0	0	0	6	410	571	0		
<b>Frequência (%)</b>	0,0	0,0	0,0	0,0	0,6	41,5	57,9	0,0		

**Tabela II.5.1.2-134** - Tabela de ocorrência conjunta de intensidade (vertical) e direção (horizontal) da corrente, com os percentuais marginais (coluna da esquerda e última linha), para o fundeio PETROBRAS BS500, profundidade de 55 m, para o mês de janeiro.

Janeiro - 55 m										
Intensidade (m/s)	Direção								Total	Frequência (%)
	N	NE	E	SE	S	SW	W	NW		
0,00 - 0,10	0	0	0	0	0	0	0	0	0	0,0
0,10 - 0,20	0	0	0	0	0	0	0	0	0	0,0
0,20 - 0,30	0	0	0	0	0	6	4	0	10	1,0
0,30 - 0,40	0	0	0	0	0	38	18	0	56	5,7
0,40 - 0,50	0	0	0	0	2	43	100	0	145	14,7
0,50 - 0,60	0	0	0	0	0	94	132	0	226	22,9
0,60 - 0,70	0	0	0	0	2	98	165	0	265	26,9
0,70 - 0,80	0	0	0	0	1	69	84	0	154	15,6
0,80 - 0,90	0	0	0	0	1	42	36	0	79	8,0
>0,90	0	0	0	0	1	37	14	0	52	5,3
<b>Total</b>	0	0	0	0	7	427	553	0		
<b>Frequência (%)</b>	0,0	0,0	0,0	0,0	0,7	43,3	56,0	0,0		

**Tabela II.5.1.2-135** - Tabela de ocorrência conjunta de intensidade (vertical) e direção (horizontal) da corrente, com os percentuais marginais (coluna da esquerda e última linha), para o fundeio PETROBRAS BS500, profundidade de 6 m, para o mês de fevereiro.

Fevereiro - 6 m										
Intensidade (m/s)	Direção								Total	Frequência (%)
	N	NE	E	SE	S	SW	W	NW		
0,00 - 0,10	0	0	0	0	0	3	0	0	3	1,1
0,10 - 0,20	0	0	0	0	1	22	7	0	30	10,5
0,20 - 0,30	0	0	0	0	0	63	35	0	98	34,3
0,30 - 0,40	0	0	0	0	0	38	45	0	83	29,0
0,40 - 0,50	0	0	0	0	0	17	34	0	51	17,8
0,50 - 0,60	0	0	0	0	0	0	5	0	5	1,8
0,60 - 0,70	0	0	0	0	0	0	0	0	0	0,0
0,70 - 0,80	0	0	0	0	0	0	0	0	0	0,0
0,80 - 0,90	0	0	0	0	0	0	0	0	0	0,0
>0,90	0	0	0	0	0	0	0	0	0	0,0
<b>Total</b>	0	0	0	0	1	143	126	0		
<b>Frequência (%)</b>	0,0	0,0	0,0	0,0	0,4	50,0	44,1	0,0		

**Tabela II.5.1.2-136** - Tabela de ocorrência conjunta de intensidade (vertical) e direção (horizontal) da corrente, com os percentuais marginais (coluna da esquerda e última linha), para o fundeio PETROBRAS BS500, profundidade de 9 m, para o mês de fevereiro.

Fevereiro - 9 m										
Intensidade (m/s)	Direção								Total	Frequência (%)
	N	NE	E	SE	S	SW	W	NW		
0,00 - 0,10	0	0	0	0	0	3	0	0	3	1,1
0,10 - 0,20	0	0	0	0	3	0	3	0	6	2,1
0,20 - 0,30	0	0	0	0	1	11	6	0	18	6,3
0,30 - 0,40	0	0	0	0	0	25	33	0	58	20,3
0,40 - 0,50	0	0	0	0	0	43	23	0	66	23,1
0,50 - 0,60	0	0	0	0	0	28	42	0	70	24,5
0,60 - 0,70	0	0	0	0	0	12	29	0	41	14,3
0,70 - 0,80	0	0	0	0	0	4	7	0	11	3,9
0,80 - 0,90	0	0	0	0	0	0	0	0	0	0,0
>0,90	0	0	0	0	0	0	0	0	0	0,0
<b>Total</b>	0	0	0	0	4	126	143	0		
<b>Frequência (%)</b>	0,0	0,0	0,0	0,0	1,4	44,1	50,0	0,0		

**Tabela II.5.1.2-137** - Tabela de ocorrência conjunta de intensidade (vertical) e direção (horizontal) da corrente, com os percentuais marginais (coluna da esquerda e última linha), para o fundeio PETROBRAS BS500, profundidade de 11 m, para o mês de fevereiro.

Fevereiro - 11 m										
Intensidade (m/s)	Direção								Total	Frequência (%)
	N	NE	E	SE	S	SW	W	NW		
0,00 - 0,10	2	0	0	0	0	3	1	0	6	2,1
0,10 - 0,20	0	0	0	0	1	0	2	0	3	1,1
0,20 - 0,30	0	0	0	0	0	5	18	0	23	8,0
0,30 - 0,40	0	0	0	0	0	29	27	0	56	19,6
0,40 - 0,50	0	0	0	0	0	33	26	0	59	20,6
0,50 - 0,60	0	0	0	0	0	34	50	0	84	29,4
0,60 - 0,70	0	0	0	0	0	7	25	0	32	11,2
0,70 - 0,80	0	0	0	0	0	2	8	0	10	3,5
0,80 - 0,90	0	0	0	0	0	0	0	0	0	0,0
>0,90	0	0	0	0	0	0	0	0	0	0,0
<b>Total</b>	2	0	0	0	1	113	157	0		
<b>Frequência (%)</b>	0,7	0,0	0,0	0,0	0,4	39,5	54,9	0,0		

**Tabela II.5.1.2-138** - Tabela de ocorrência conjunta de intensidade (vertical) e direção (horizontal) da corrente, com os percentuais marginais (coluna da esquerda e última linha), para o fundeio PETROBRAS BS500, profundidade de 14 m, para o mês de fevereiro.

Fevereiro - 14 m										
Intensidade (m/s)	Direção								Total	Frequência (%)
	N	NE	E	SE	S	SW	W	NW		
0,00 - 0,10	0	2	0	0	1	0	1	0	4	1,4
0,10 - 0,20	0	0	0	0	2	0	1	0	3	1,1
0,20 - 0,30	0	0	0	0	1	9	10	2	22	7,7
0,30 - 0,40	0	0	0	0	3	18	18	0	39	13,6
0,40 - 0,50	0	0	0	0	0	47	33	0	80	28,0
0,50 - 0,60	0	0	0	0	0	35	50	0	85	29,7
0,60 - 0,70	0	0	0	0	0	5	30	0	35	12,2
0,70 - 0,80	0	0	0	0	0	3	2	0	5	1,8
0,80 - 0,90	0	0	0	0	0	0	0	0	0	0,0
>0,90	0	0	0	0	0	0	0	0	0	0,0
<b>Total</b>	0	2	0	0	7	117	145	2		
<b>Frequência (%)</b>	0,0	0,7	0,0	0,0	2,5	40,9	50,7	0,7		

**Tabela II.5.1.2-139** - Tabela de ocorrência conjunta de intensidade (vertical) e direção (horizontal) da corrente, com os percentuais marginais (coluna da esquerda e última linha), para o fundeio PETROBRAS BS500, profundidade de 16 m, para o mês de fevereiro.

Fevereiro - 16 m										
Intensidade (m/s)	Direção								Total	Frequência (%)
	N	NE	E	SE	S	SW	W	NW		
0,00 - 0,10	0	0	1	0	0	0	1	0	2	0,7
0,10 - 0,20	0	0	0	0	2	0	0	3	5	1,8
0,20 - 0,30	0	0	0	0	1	2	9	0	12	4,2
0,30 - 0,40	0	0	0	0	2	21	16	4	43	15,0
0,40 - 0,50	0	0	0	0	0	46	33	0	79	27,6
0,50 - 0,60	0	0	0	0	0	38	63	0	101	35,3
0,60 - 0,70	0	0	0	0	0	8	20	0	28	9,8
0,70 - 0,80	0	0	0	0	0	2	1	0	3	1,1
0,80 - 0,90	0	0	0	0	0	0	0	0	0	0,0
>0,90	0	0	0	0	0	0	0	0	0	0,0
<b>Total</b>	0	0	1	0	5	117	143	7		
<b>Frequência (%)</b>	0,0	0,0	0,4	0,0	1,8	40,9	50,0	2,5		

**Tabela II.5.1.2-140** - Tabela de ocorrência conjunta de intensidade (vertical) e direção (horizontal) da corrente, com os percentuais marginais (coluna da esquerda e última linha), para o fundeio PETROBRAS BS500, profundidade de 19 m, para o mês de fevereiro.

Fevereiro - 19 m										
Intensidade (m/s)	Direção								Total	Frequência (%)
	N	NE	E	SE	S	SW	W	NW		
0,00 - 0,10	0	0	0	0	2	1	0	0	3	1,1
0,10 - 0,20	0	0	0	0	1	0	1	2	4	1,4
0,20 - 0,30	0	0	0	0	0	3	12	2	17	5,9
0,30 - 0,40	0	0	0	0	2	15	11	1	29	10,1
0,40 - 0,50	0	0	0	0	0	42	38	1	81	28,3
0,50 - 0,60	0	0	0	0	0	33	75	0	108	37,8
0,60 - 0,70	0	0	0	0	0	10	18	0	28	9,8
0,70 - 0,80	0	0	0	0	0	3	0	0	3	1,1
0,80 - 0,90	0	0	0	0	0	0	0	0	0	0,0
>0,90	0	0	0	0	0	0	0	0	0	0,0
<b>Total</b>	0	0	0	0	5	107	155	6		
<b>Frequência (%)</b>	0,0	0,0	0,0	0,0	1,8	37,4	54,2	2,1		



**Tabela II.5.1.2-141** - Tabela de ocorrência conjunta de intensidade (vertical) e direção (horizontal) da corrente, com os percentuais marginais (coluna da esquerda e última linha), para o fundeio PETROBRAS BS500, profundidade de 21 m, para o mês de fevereiro.

Fevereiro - 21 m										
Intensidade (m/s)	Direção								Total	Frequência (%)
	N	NE	E	SE	S	SW	W	NW		
0,00 - 0,10	0	0	0	0	0	0	0	2	2	0,7
0,10 - 0,20	0	0	0	0	0	1	0	3	4	1,4
0,20 - 0,30	0	0	0	0	0	5	10	1	16	5,6
0,30 - 0,40	0	0	0	0	0	14	11	3	28	9,8
0,40 - 0,50	0	0	0	0	0	36	41	0	77	26,9
0,50 - 0,60	0	0	0	0	0	33	90	0	123	43,0
0,60 - 0,70	0	0	0	0	0	10	10	0	20	7,0
0,70 - 0,80	0	0	0	0	0	1	1	0	2	0,7
0,80 - 0,90	0	0	0	0	0	1	0	0	1	0,4
>0,90	0	0	0	0	0	0	0	0	0	0,0
<b>Total</b>	0	0	0	0	0	101	163	9		
<b>Frequência (%)</b>	0,0	0,0	0,0	0,0	0,0	35,3	57,0	3,2		

**Tabela II.5.1.2-142** - Tabela de ocorrência conjunta de intensidade (vertical) e direção (horizontal) da corrente, com os percentuais marginais (coluna da esquerda e última linha), para o fundeio PETROBRAS BS500, profundidade de 24 m, para o mês de fevereiro.

Fevereiro - 24 m										
Intensidade (m/s)	Direção								Total	Frequência (%)
	N	NE	E	SE	S	SW	W	NW		
0,00 - 0,10	0	0	0	0	0	0	2	0	2	0,7
0,10 - 0,20	0	0	0	0	0	2	1	0	3	1,1
0,20 - 0,30	0	0	0	0	0	10	11	0	21	7,3
0,30 - 0,40	0	0	0	0	0	15	15	2	32	11,2
0,40 - 0,50	0	0	0	0	0	39	41	1	81	28,3
0,50 - 0,60	0	0	0	0	0	27	84	0	111	38,8
0,60 - 0,70	0	0	0	0	0	11	10	0	21	7,3
0,70 - 0,80	0	0	0	0	0	1	0	0	1	0,4
0,80 - 0,90	0	0	0	0	0	0	1	0	1	0,4
>0,90	0	0	0	0	0	0	0	0	0	0,0
<b>Total</b>	0	0	0	0	0	105	165	3		
<b>Frequência (%)</b>	0,0	0,0	0,0	0,0	0,0	36,7	57,7	1,1		

**Tabela II.5.1.2-143** - Tabela de ocorrência conjunta de intensidade (vertical) e direção (horizontal) da corrente, com os percentuais marginais (coluna da esquerda e última linha), para o fundeio PETROBRAS BS500, profundidade de 26 m, para o mês de fevereiro.

Fevereiro - 26 m										
Intensidade (m/s)	Direção								Total	Frequência (%)
	N	NE	E	SE	S	SW	W	NW		
0,00 - 0,10	0	0	0	0	0	0	0	0	0	0,0
0,10 - 0,20	0	0	0	0	0	3	4	0	7	2,5
0,20 - 0,30	0	0	0	0	0	10	6	0	16	5,6
0,30 - 0,40	0	0	0	0	0	10	27	0	37	12,9
0,40 - 0,50	0	0	0	0	0	36	65	0	101	35,3
0,50 - 0,60	0	0	0	0	0	29	62	0	91	31,8
0,60 - 0,70	0	0	0	0	0	5	15	0	20	7,0
0,70 - 0,80	0	0	0	0	0	0	0	0	0	0,0
0,80 - 0,90	0	0	0	0	0	1	0	0	1	0,4
>0,90	0	0	0	0	0	0	0	0	0	0,0
<b>Total</b>	0	0	0	0	0	94	179	0		
<b>Frequência (%)</b>	0,0	0,0	0,0	0,0	0,0	32,9	62,6	0,0		

**Tabela II.5.1.2-144** - Tabela de ocorrência conjunta de intensidade (vertical) e direção (horizontal) da corrente, com os percentuais marginais (coluna da esquerda e última linha), para o fundeio PETROBRAS BS500, profundidade de 29 m, para o mês de fevereiro.

Fevereiro - 29 m										
Intensidade (m/s)	Direção								Total	Frequência (%)
	N	NE	E	SE	S	SW	W	NW		
0,00 - 0,10	0	0	0	0	0	0	0	0	0	0,0
0,10 - 0,20	0	0	0	0	0	0	0	0	0	0,0
0,20 - 0,30	0	0	0	0	0	12	11	1	24	8,4
0,30 - 0,40	0	0	0	0	0	17	31	0	48	16,8
0,40 - 0,50	0	0	0	0	0	35	48	0	83	29,0
0,50 - 0,60	0	0	0	0	0	29	53	0	82	28,7
0,60 - 0,70	0	0	0	0	0	10	21	0	31	10,8
0,70 - 0,80	0	0	0	0	0	0	4	0	4	1,4
0,80 - 0,90	0	0	0	0	0	1	0	0	1	0,4
>0,90	0	0	0	0	0	0	0	0	0	0,0
<b>Total</b>	0	0	0	0	0	104	168	1		
<b>Frequência (%)</b>	0,0	0,0	0,0	0,0	0,0	36,4	58,7	0,4		

**Tabela II.5.1.2-145** - Tabela de ocorrência conjunta de intensidade (vertical) e direção (horizontal) da corrente, com os percentuais marginais (coluna da esquerda e última linha), para o fundeio PETROBRAS BS500, profundidade de 31 m, para o mês de fevereiro.

Fevereiro - 31 m											
Intensidade (m/s)	Direção								Total	Frequência (%)	
	N	NE	E	SE	S	SW	W	NW			
0,00 - 0,10	0	0	0	0	0	0	0	0	0	0	0,0
0,10 - 0,20	0	0	0	0	0	4	0	0	4	1,4	
0,20 - 0,30	0	0	0	0	0	4	12	0	16	5,6	
0,30 - 0,40	0	0	0	0	0	25	33	0	58	20,3	
0,40 - 0,50	0	0	0	0	0	39	50	0	89	31,1	
0,50 - 0,60	0	0	0	0	0	21	47	0	68	23,8	
0,60 - 0,70	0	0	0	0	0	12	17	0	29	10,1	
0,70 - 0,80	0	0	0	0	0	0	8	0	8	2,8	
0,80 - 0,90	0	0	0	0	0	0	1	0	1	0,4	
>0,90	0	0	0	0	0	0	0	0	0	0,0	
<b>Total</b>	0	0	0	0	0	105	168	0			
<b>Frequência (%)</b>	0,0	0,0	0,0	0,0	0,0	36,7	58,7	0,0			

**Tabela II.5.1.2-146** - Tabela de ocorrência conjunta de intensidade (vertical) e direção (horizontal) da corrente, com os percentuais marginais (coluna da esquerda e última linha), para o fundeio PETROBRAS BS500, profundidade de 33 m, para o mês de fevereiro.

Fevereiro - 33 m										
Intensidade (m/s)	Direção								Total	Frequência (%)
	N	NE	E	SE	S	SW	W	NW		
0,00 - 0,10	0	0	0	0	0	0	0	0	0	0,0
0,10 - 0,20	0	0	0	0	0	2	0	0	2	0,7
0,20 - 0,30	0	0	0	0	0	1	12	0	13	4,6
0,30 - 0,40	0	0	0	0	0	33	48	0	81	28,3
0,40 - 0,50	0	0	0	0	0	35	44	0	79	27,6
0,50 - 0,60	0	0	0	0	0	20	45	0	65	22,7
0,60 - 0,70	0	0	0	0	0	5	15	0	20	7,0
0,70 - 0,80	0	0	0	0	0	1	8	0	9	3,2
0,80 - 0,90	0	0	0	0	0	0	3	0	3	1,1
>0,90	0	0	0	0	0	1	0	0	1	0,4
<b>Total</b>	0	0	0	0	0	98	175	0		
<b>Frequência (%)</b>	0,0	0,0	0,0	0,0	0,0	34,3	61,2	0,0		

**Tabela II.5.1.2-147** - Tabela de ocorrência conjunta de intensidade (vertical) e direção (horizontal) da corrente, com os percentuais marginais (coluna da esquerda e última linha), para o fundeio PETROBRAS BS500, profundidade de 36 m, para o mês de fevereiro.

Fevereiro - 36 m										
Intensidade (m/s)	Direção								Total	Frequência (%)
	N	NE	E	SE	S	SW	W	NW		
0,00 - 0,10	0	0	0	0	0	0	1	0	1	0,4
0,10 - 0,20	0	0	0	0	0	0	1	0	1	0,4
0,20 - 0,30	0	0	0	0	0	4	10	0	14	4,9
0,30 - 0,40	0	0	0	0	0	37	58	0	95	33,2
0,40 - 0,50	0	0	0	0	0	34	40	0	74	25,9
0,50 - 0,60	0	0	0	0	0	13	44	0	57	19,9
0,60 - 0,70	0	0	0	0	1	14	8	0	23	8,0
0,70 - 0,80	0	0	0	0	0	0	3	0	3	1,1
0,80 - 0,90	0	0	0	0	0	0	5	0	5	1,8
>0,90	0	0	0	0	0	0	0	0	0	0,0
<b>Total</b>	0	0	0	0	1	102	170	0		
<b>Frequência (%)</b>	0,0	0,0	0,0	0,0	0,4	35,7	59,4	0,0		

**Tabela II.5.1.2-148** - Tabela de ocorrência conjunta de intensidade (vertical) e direção (horizontal) da corrente, com os percentuais marginais (coluna da esquerda e última linha), para o fundeio PETROBRAS BS500, profundidade de 38 m, para o mês de fevereiro.

Fevereiro - 38 m										
Intensidade (m/s)	Direção								Total	Frequência (%)
	N	NE	E	SE	S	SW	W	NW		
0,00 - 0,10	0	0	0	0	0	0	0	0	0	0,0
0,10 - 0,20	0	0	0	0	0	0	2	0	2	0,7
0,20 - 0,30	0	0	0	0	0	6	13	0	19	6,6
0,30 - 0,40	0	0	0	0	0	38	60	0	98	34,3
0,40 - 0,50	0	0	0	0	0	32	37	0	69	24,1
0,50 - 0,60	0	0	0	0	0	22	37	0	59	20,6
0,60 - 0,70	0	0	0	0	0	9	10	0	19	6,6
0,70 - 0,80	0	0	0	0	0	0	7	0	7	2,5
0,80 - 0,90	0	0	0	0	0	0	0	0	0	0,0
>0,90	0	0	0	0	0	0	0	0	0	0,0
<b>Total</b>	0	0	0	0	0	107	166	0		
<b>Frequência (%)</b>	0,0	0,0	0,0	0,0	0,0	37,4	58,0	0,0		

**Tabela II.5.1.2-149** - Tabela de ocorrência conjunta de intensidade (vertical) e direção (horizontal) da corrente, com os percentuais marginais (coluna da esquerda e última linha), para o fundeio PETROBRAS BS500, profundidade de 41 m, para o mês de fevereiro.

Fevereiro - 41 m										
Intensidade (m/s)	Direção								Total	Frequência (%)
	N	NE	E	SE	S	SW	W	NW		
0,00 - 0,10	0	0	0	0	0	0	0	0	0	0,0
0,10 - 0,20	0	0	0	0	0	0	2	0	2	0,7
0,20 - 0,30	0	0	0	0	0	7	16	0	23	8,0
0,30 - 0,40	0	0	0	0	0	45	60	0	105	36,7
0,40 - 0,50	0	0	0	0	0	25	44	0	69	24,1
0,50 - 0,60	0	0	0	0	0	18	25	0	43	15,0
0,60 - 0,70	0	0	0	0	0	10	14	0	24	8,4
0,70 - 0,80	0	0	0	0	0	0	7	0	7	2,5
0,80 - 0,90	0	0	0	0	0	0	0	0	0	0,0
>0,90	0	0	0	0	0	0	0	0	0	0,0
<b>Total</b>	0	0	0	0	0	105	168	0		
<b>Frequência (%)</b>	0,0	0,0	0,0	0,0	0,0	36,7	58,7	0,0		

**Tabela II.5.1.2-150** - Tabela de ocorrência conjunta de intensidade (vertical) e direção (horizontal) da corrente, com os percentuais marginais (coluna da esquerda e última linha), para o fundeio PETROBRAS BS500, profundidade de 43 m, para o mês de fevereiro.

Fevereiro - 43 m										
Intensidade (m/s)	Direção								Total	Frequência (%)
	N	NE	E	SE	S	SW	W	NW		
0,00 - 0,10	0	0	0	0	0	0	0	0	0	0,0
0,10 - 0,20	0	0	0	0	0	0	3	0	3	1,1
0,20 - 0,30	0	0	0	0	0	15	15	0	30	10,5
0,30 - 0,40	0	0	0	0	0	33	58	0	91	31,8
0,40 - 0,50	0	0	0	0	0	33	35	0	68	23,8
0,50 - 0,60	0	0	0	0	1	19	39	0	59	20,6
0,60 - 0,70	0	0	0	0	0	3	12	0	15	5,2
0,70 - 0,80	0	0	0	0	0	0	7	0	7	2,5
0,80 - 0,90	0	0	0	0	0	0	0	0	0	0,0
>0,90	0	0	0	0	0	0	0	0	0	0,0
<b>Total</b>	0	0	0	0	1	103	169	0		
<b>Frequência (%)</b>	0,0	0,0	0,0	0,0	0,4	36,0	59,1	0,0		

**Tabela II.5.1.2-151** - Tabela de ocorrência conjunta de intensidade (vertical) e direção (horizontal) da corrente, com os percentuais marginais (coluna da esquerda e última linha), para o fundeio PETROBRAS BS500, profundidade de 46 m, para o mês de fevereiro.

Fevereiro - 46 m										
Intensidade (m/s)	Direção								Total	Frequência (%)
	N	NE	E	SE	S	SW	W	NW		
0,00 - 0,10	0	0	0	0	0	0	0	0	0	0,0
0,10 - 0,20	0	0	0	0	0	0	5	0	5	1,8
0,20 - 0,30	0	0	0	0	0	12	16	0	28	9,8
0,30 - 0,40	0	0	0	0	0	37	72	0	109	38,1
0,40 - 0,50	0	0	0	0	0	32	30	0	62	21,7
0,50 - 0,60	0	0	0	0	0	15	30	0	45	15,7
0,60 - 0,70	0	0	0	0	0	3	13	0	16	5,6
0,70 - 0,80	0	0	0	0	0	0	7	0	7	2,5
0,80 - 0,90	0	0	0	0	0	0	0	0	0	0,0
>0,90	0	0	0	0	0	1	0	0	1	0,4
<b>Total</b>	0	0	0	0	0	100	173	0		
<b>Frequência (%)</b>	0,0	0,0	0,0	0,0	0,0	35,0	60,5	0,0		

**Tabela II.5.1.2-152** - Tabela de ocorrência conjunta de intensidade (vertical) e direção (horizontal) da corrente, com os percentuais marginais (coluna da esquerda e última linha), para o fundeio PETROBRAS BS500, profundidade de 49 m, para o mês de fevereiro.

Fevereiro - 49 m										
Intensidade (m/s)	Direção								Total	Frequência (%)
	N	NE	E	SE	S	SW	W	NW		
0,00 - 0,10	0	0	0	0	0	0	0	0	0	0,0
0,10 - 0,20	0	0	0	0	0	2	3	0	5	1,8
0,20 - 0,30	0	0	0	0	0	9	20	1	30	10,5
0,30 - 0,40	0	0	0	0	0	42	63	2	107	37,4
0,40 - 0,50	0	0	0	0	1	26	48	1	76	26,6
0,50 - 0,60	0	0	0	0	0	15	19	0	34	11,9
0,60 - 0,70	0	0	0	0	0	1	11	0	12	4,2
0,70 - 0,80	0	0	0	0	0	0	8	0	8	2,8
0,80 - 0,90	0	0	0	0	0	0	0	0	0	0,0
>0,90	0	0	0	0	0	1	0	0	1	0,4
<b>Total</b>	0	0	0	0	1	96	172	4		
<b>Frequência (%)</b>	0,0	0,0	0,0	0,0	0,4	33,6	60,1	1,4		

**Tabela II.5.1.2-153** - Tabela de ocorrência conjunta de intensidade (vertical) e direção (horizontal) da corrente, com os percentuais marginais (coluna da esquerda e última linha), para o fundeio PETROBRAS BS500, profundidade de 51 m, para o mês de fevereiro.

Fevereiro - 51 m										
Intensidade (m/s)	Direção								Total	Frequência (%)
	N	NE	E	SE	S	SW	W	NW		
0,00 - 0,10	0	0	0	0	0	0	2	0	2	0,7
0,10 - 0,20	0	0	0	0	0	2	2	0	4	1,4
0,20 - 0,30	0	0	0	0	0	14	24	0	38	13,3
0,30 - 0,40	0	0	0	0	0	47	57	0	104	36,4
0,40 - 0,50	0	0	0	0	0	30	33	1	64	22,4
0,50 - 0,60	0	0	0	0	0	16	20	0	36	12,6
0,60 - 0,70	0	0	0	0	0	2	15	0	17	5,9
0,70 - 0,80	0	0	0	0	0	0	7	0	7	2,5
0,80 - 0,90	0	0	0	0	0	0	1	0	1	0,4
>0,90	0	0	0	0	0	0	0	0	0	0,0
<b>Total</b>	0	0	0	0	0	111	161	1		
<b>Frequência (%)</b>	0,0	0,0	0,0	0,0	0,0	38,8	56,3	0,4		

**Tabela II.5.1.2-154** - Tabela de ocorrência conjunta de intensidade (vertical) e direção (horizontal) da corrente, com os percentuais marginais (coluna da esquerda e última linha), para o fundeio PETROBRAS BS500, profundidade de 55 m, para o mês de fevereiro.

Fevereiro - 55 m										
Intensidade (m/s)	Direção								Total	Frequência (%)
	N	NE	E	SE	S	SW	W	NW		
0,00 - 0,10	0	2	0	0	0	0	0	0	2	0,7
0,10 - 0,20	0	0	0	0	0	2	5	1	8	2,8
0,20 - 0,30	0	0	0	0	0	20	28	0	48	16,8
0,30 - 0,40	0	0	0	0	0	36	62	0	98	34,3
0,40 - 0,50	0	0	0	0	0	27	35	2	64	22,4
0,50 - 0,60	0	0	0	0	0	13	17	0	30	10,5
0,60 - 0,70	0	0	0	0	0	0	19	0	19	6,6
0,70 - 0,80	0	0	0	0	0	0	3	0	3	1,1
0,80 - 0,90	0	0	0	0	0	0	0	0	0	0,0
>0,90	0	0	0	0	0	0	0	1	1	0,4
<b>Total</b>	0	2	0	0	0	98	169	4		
<b>Frequência (%)</b>	0,0	0,7	0,0	0,0	0,0	34,3	59,1	1,4		

**Tabela II.5.1.2-155** - Tabela de ocorrência conjunta de intensidade (vertical) e direção (horizontal) da corrente, com os percentuais marginais (coluna da esquerda e última linha), para o fundeio PETROBRAS BS500, profundidade de 6 m, para o mês de junho.

Junho - 6 m										
Intensidade (m/s)	Direção								Total	Frequência (%)
	N	NE	E	SE	S	SW	W	NW		
0,00 - 0,10	0	0	1	1	3	9	10	8	32	4,9
0,10 - 0,20	1	0	1	0	5	31	44	24	106	16,2
0,20 - 0,30	1	1	0	0	2	86	100	19	209	31,9
0,30 - 0,40	3	4	0	0	1	66	80	8	162	24,7
0,40 - 0,50	6	1	5	0	3	18	29	9	71	10,8
0,50 - 0,60	5	5	3	0	2	4	7	5	31	4,7
0,60 - 0,70	4	1	2	0	3	1	1	2	14	2,1
0,70 - 0,80	3	1	1	0	1	1	2	3	12	1,8
0,80 - 0,90	2	0	0	0	0	1	0	1	4	0,6
>0,90	1	0	0	0	0	0	0	0	1	0,2
<b>Total</b>	26	13	13	1	20	217	273	79		
<b>Frequência (%)</b>	4,0	2,0	2,0	0,2	3,1	33,1	41,6	12,0		

**Tabela II.5.1.2-156** - Tabela de ocorrência conjunta de intensidade (vertical) e direção (horizontal) da corrente, com os percentuais marginais (coluna da esquerda e última linha), para o fundeio PETROBRAS BS500, profundidade de 9 m, para o mês de junho.

Junho - 9 m										
Intensidade (m/s)	Direção								Total	Frequência (%)
	N	NE	E	SE	S	SW	W	NW		
0,00 - 0,10	1	0	0	0	1	3	2	2	9	1,4
0,10 - 0,20	0	0	0	0	3	12	22	9	46	7,0
0,20 - 0,30	0	0	0	2	8	16	36	16	78	11,9
0,30 - 0,40	0	1	0	0	2	50	75	9	137	20,9
0,40 - 0,50	0	1	0	0	1	59	65	8	134	20,4
0,50 - 0,60	2	3	0	0	1	45	51	3	105	16,0
0,60 - 0,70	1	3	2	0	1	19	29	4	59	9,0
0,70 - 0,80	4	1	0	0	2	0	5	5	17	2,6
0,80 - 0,90	3	1	8	0	2	2	3	2	21	3,2
>0,90	10	5	3	0	7	4	7	14	50	7,6
<b>Total</b>	21	15	13	2	28	210	295	72		
<b>Frequência (%)</b>	3,2	2,3	2,0	0,3	4,3	32,0	45,0	11,0		



**Tabela II.5.1.2-157** - Tabela de ocorrência conjunta de intensidade (vertical) e direção (horizontal) da corrente, com os percentuais marginais (coluna da esquerda e última linha), para o fundeio PETROBRAS BS500, profundidade de 11 m, para o mês de junho.

Junho - 11 m										
Intensidade (m/s)	Direção								Total	Frequência (%)
	N	NE	E	SE	S	SW	W	NW		
0,00 - 0,10	1	0	0	1	0	1	1	2	6	0,9
0,10 - 0,20	0	1	0	1	1	14	13	10	40	6,1
0,20 - 0,30	0	1	0	0	5	20	37	17	80	12,2
0,30 - 0,40	0	0	0	0	3	36	76	7	122	18,6
0,40 - 0,50	1	1	0	0	0	61	79	8	150	22,9
0,50 - 0,60	0	0	0	0	0	44	54	0	98	14,9
0,60 - 0,70	1	2	1	0	0	20	31	3	58	8,8
0,70 - 0,80	3	1	3	0	1	2	7	2	19	2,9
0,80 - 0,90	2	3	1	0	4	4	4	9	27	4,1
>0,90	10	8	7	0	9	3	4	15	56	8,5
<b>Total</b>	18	17	12	2	23	205	306	73		
<b>Frequência (%)</b>	2,7	2,6	1,8	0,3	3,5	31,3	46,7	11,1		

**Tabela II.5.1.2-158** - Tabela de ocorrência conjunta de intensidade (vertical) e direção (horizontal) da corrente, com os percentuais marginais (coluna da esquerda e última linha), para o fundeio PETROBRAS BS500, profundidade de 14 m, para o mês de junho.

Junho - 14 m										
Intensidade (m/s)	Direção								Total	Frequência (%)
	N	NE	E	SE	S	SW	W	NW		
0,00 - 0,10	0	0	0	0	0	3	1	0	4	0,6
0,10 - 0,20	3	0	0	0	3	8	9	9	32	4,9
0,20 - 0,30	0	1	1	0	3	20	39	13	77	11,7
0,30 - 0,40	0	0	0	0	2	43	78	12	135	20,6
0,40 - 0,50	1	2	1	0	0	49	81	6	140	21,3
0,50 - 0,60	2	1	0	0	0	48	65	2	118	18,0
0,60 - 0,70	1	0	3	0	0	22	33	4	63	9,6
0,70 - 0,80	2	3	2	0	3	2	4	4	20	3,1
0,80 - 0,90	3	2	1	0	1	1	2	3	13	2,0
>0,90	9	6	5	0	5	6	4	19	54	8,2
<b>Total</b>	21	15	13	0	17	202	316	72		
<b>Frequência (%)</b>	3,2	2,3	2,0	0,0	2,6	30,8	48,2	11,0		

**Tabela II.5.1.2-159** - Tabela de ocorrência conjunta de intensidade (vertical) e direção (horizontal) da corrente, com os percentuais marginais (coluna da esquerda e última linha), para o fundeio PETROBRAS BS500, profundidade de 16 m, para o mês de junho.

Junho - 16 m										
Intensidade (m/s)	Direção								Total	Frequência (%)
	N	NE	E	SE	S	SW	W	NW		
0,00 - 0,10	1	0	0	0	0	1	1	0	3	0,5
0,10 - 0,20	4	0	0	0	3	6	8	8	29	4,4
0,20 - 0,30	0	1	0	1	2	23	31	16	74	11,3
0,30 - 0,40	3	1	0	0	2	43	80	8	137	20,9
0,40 - 0,50	0	1	0	0	0	53	83	4	141	21,5
0,50 - 0,60	0	1	0	0	0	42	71	2	116	17,7
0,60 - 0,70	1	2	0	0	3	25	24	3	58	8,8
0,70 - 0,80	1	1	1	0	2	3	4	6	18	2,7
0,80 - 0,90	3	3	5	0	5	1	2	7	26	4,0
>0,90	10	7	5	0	8	2	11	11	54	8,2
<b>Total</b>	23	17	11	1	25	199	315	65		
<b>Frequência (%)</b>	3,5	2,6	1,7	0,2	3,8	30,3	48,0	9,9		

**Tabela II.5.1.2-160** - Tabela de ocorrência conjunta de intensidade (vertical) e direção (horizontal) da corrente, com os percentuais marginais (coluna da esquerda e última linha), para o fundeio PETROBRAS BS500, profundidade de 19 m, para o mês de junho.

Junho - 19 m										
Intensidade (m/s)	Direção								Total	Frequência (%)
	N	NE	E	SE	S	SW	W	NW		
0,00 - 0,10	0	0	0	0	1	1	2	0	4	0,6
0,10 - 0,20	3	0	0	0	3	8	8	9	31	4,7
0,20 - 0,30	1	1	0	1	2	21	27	9	62	9,5
0,30 - 0,40	2	0	0	0	2	41	80	11	136	20,7
0,40 - 0,50	0	0	0	0	0	52	90	7	149	22,7
0,50 - 0,60	2	1	0	0	1	48	69	2	123	18,8
0,60 - 0,70	3	1	1	0	0	28	25	2	60	9,2
0,70 - 0,80	4	2	3	0	1	6	3	4	23	3,5
0,80 - 0,90	1	4	3	0	3	0	2	6	19	2,9
>0,90	10	6	2	0	6	7	4	14	49	7,5
<b>Total</b>	26	15	9	1	19	212	310	64		
<b>Frequência (%)</b>	4,0	2,3	1,4	0,2	2,9	32,3	47,3	9,8		

**Tabela II.5.1.2-161** - Tabela de ocorrência conjunta de intensidade (vertical) e direção (horizontal) da corrente, com os percentuais marginais (coluna da esquerda e última linha), para o fundeio PETROBRAS BS500, profundidade de 21 m, para o mês de junho.

Junho - 21 m										
Intensidade (m/s)	Direção								Total	Frequência (%)
	N	NE	E	SE	S	SW	W	NW		
0,00 - 0,10	1	0	0	0	0	1	1	0	3	0,5
0,10 - 0,20	2	0	0	1	3	5	9	8	28	4,3
0,20 - 0,30	0	1	0	0	2	18	23	10	54	8,2
0,30 - 0,40	2	1	1	0	2	45	75	12	138	21,0
0,40 - 0,50	1	0	0	0	0	48	98	7	154	23,5
0,50 - 0,60	0	3	0	0	2	48	69	2	124	18,9
0,60 - 0,70	5	0	2	0	0	20	32	3	62	9,5
0,70 - 0,80	3	0	3	0	2	6	2	7	23	3,5
0,80 - 0,90	1	1	4	0	10	2	5	4	27	4,1
>0,90	8	8	2	0	2	3	6	14	43	6,6
<b>Total</b>	23	14	12	1	23	196	320	67		
<b>Frequência (%)</b>	3,5	2,1	1,8	0,2	3,5	29,9	48,8	10,2		

**Tabela II.5.1.2-162** - Tabela de ocorrência conjunta de intensidade (vertical) e direção (horizontal) da corrente, com os percentuais marginais (coluna da esquerda e última linha), para o fundeio PETROBRAS BS500, profundidade de 24 m, para o mês de junho.

Junho - 24 m										
Intensidade (m/s)	Direção								Total	Frequência (%)
	N	NE	E	SE	S	SW	W	NW		
0,00 - 0,10	1	0	0	0	0	2	0	1	4	0,6
0,10 - 0,20	4	1	0	0	2	5	5	4	21	3,2
0,20 - 0,30	1	0	0	1	0	24	22	13	61	9,3
0,30 - 0,40	1	2	0	0	2	45	69	16	135	20,6
0,40 - 0,50	0	1	2	0	0	45	96	3	147	22,4
0,50 - 0,60	2	1	0	0	0	47	78	3	131	20,0
0,60 - 0,70	3	2	0	0	0	17	28	5	55	8,4
0,70 - 0,80	4	1	1	0	1	10	5	8	30	4,6
0,80 - 0,90	3	3	1	1	5	0	4	4	21	3,2
>0,90	5	3	7	0	9	6	10	11	51	7,8
<b>Total</b>	24	14	11	2	19	201	317	68		
<b>Frequência (%)</b>	3,7	2,1	1,7	0,3	2,9	30,6	48,3	10,4		

**Tabela II.5.1.2-163** - Tabela de ocorrência conjunta de intensidade (vertical) e direção (horizontal) da corrente, com os percentuais marginais (coluna da esquerda e última linha), para o fundeio PETROBRAS BS500, profundidade de 26 m, para o mês de junho.

Junho - 26 m										
Intensidade (m/s)	Direção								Total	Frequência (%)
	N	NE	E	SE	S	SW	W	NW		
0,00 - 0,10	0	0	0	0	0	1	2	0	3	0,5
0,10 - 0,20	2	0	0	1	1	5	3	6	18	2,7
0,20 - 0,30	0	0	0	0	1	21	27	19	68	10,4
0,30 - 0,40	0	1	0	0	2	44	68	9	124	18,9
0,40 - 0,50	1	3	0	0	0	51	87	4	146	22,3
0,50 - 0,60	2	3	0	0	0	39	94	2	140	21,3
0,60 - 0,70	3	1	1	0	1	14	28	6	54	8,2
0,70 - 0,80	2	2	1	0	1	14	9	5	34	5,2
0,80 - 0,90	1	3	3	0	3	1	0	6	17	2,6
>0,90	8	5	5	0	6	8	7	13	52	7,9
<b>Total</b>	19	18	10	1	15	198	325	70		
<b>Frequência (%)</b>	2,9	2,7	1,5	0,2	2,3	30,2	49,5	10,7		

**Tabela II.5.1.2-164** - Tabela de ocorrência conjunta de intensidade (vertical) e direção (horizontal) da corrente, com os percentuais marginais (coluna da esquerda e última linha), para o fundeio PETROBRAS BS500, profundidade de 29 m, para o mês de junho.

Junho - 29 m										
Intensidade (m/s)	Direção								Total	Frequência (%)
	N	NE	E	SE	S	SW	W	NW		
0,00 - 0,10	0	0	0	1	0	0	0	1	2	0,3
0,10 - 0,20	1	0	1	0	2	4	5	4	17	2,6
0,20 - 0,30	0	0	0	1	0	19	34	22	76	11,6
0,30 - 0,40	0	2	0	0	2	45	63	9	121	18,5
0,40 - 0,50	0	0	1	0	0	53	79	2	135	20,6
0,50 - 0,60	2	0	3	0	1	43	84	4	137	20,9
0,60 - 0,70	3	1	0	0	1	13	38	3	59	9,0
0,70 - 0,80	5	3	4	0	1	14	7	3	37	5,6
0,80 - 0,90	2	2	1	0	2	1	5	7	20	3,1
>0,90	9	6	4	0	8	7	7	11	52	7,9
<b>Total</b>	22	14	14	2	17	199	322	66		
<b>Frequência (%)</b>	3,4	2,1	2,1	0,3	2,6	30,3	49,1	10,1		

**Tabela II.5.1.2-165** - Tabela de ocorrência conjunta de intensidade (vertical) e direção (horizontal) da corrente, com os percentuais marginais (coluna da esquerda e última linha), para o fundeio PETROBRAS BS500, profundidade de 31 m, para o mês de junho.

Junho - 31 m										
Intensidade (m/s)	Direção								Total	Frequência (%)
	N	NE	E	SE	S	SW	W	NW		
0,00 - 0,10	0	0	0	0	1	1	0	1	3	0,5
0,10 - 0,20	0	0	0	0	1	5	3	5	14	2,1
0,20 - 0,30	2	0	0	1	1	19	32	13	68	10,4
0,30 - 0,40	0	0	0	0	1	46	64	13	124	18,9
0,40 - 0,50	2	3	0	0	2	60	66	5	138	21,0
0,50 - 0,60	0	0	0	0	0	38	87	2	127	19,4
0,60 - 0,70	2	1	1	0	0	17	43	4	68	10,4
0,70 - 0,80	1	2	3	0	2	14	7	7	36	5,5
0,80 - 0,90	4	1	0	0	3	4	3	3	18	2,7
>0,90	10	9	6	0	8	6	8	13	60	9,2
<b>Total</b>	21	16	10	1	19	210	313	66		
<b>Frequência (%)</b>	3,2	2,4	1,5	0,2	2,9	32,0	47,7	10,1		

**Tabela II.5.1.2-166** - Tabela de ocorrência conjunta de intensidade (vertical) e direção (horizontal) da corrente, com os percentuais marginais (coluna da esquerda e última linha), para o fundeio PETROBRAS BS500, profundidade de 33 m, para o mês de junho.

Junho - 33 m										
Intensidade (m/s)	Direção								Total	Frequência (%)
	N	NE	E	SE	S	SW	W	NW		
0,00 - 0,10	0	0	0	1	0	1	0	0	2	0,3
0,10 - 0,20	0	0	0	0	0	4	3	2	9	1,4
0,20 - 0,30	1	1	0	1	3	14	26	10	56	8,5
0,30 - 0,40	1	1	0	0	1	43	60	16	122	18,6
0,40 - 0,50	1	0	0	0	4	57	88	5	155	23,6
0,50 - 0,60	1	2	0	0	0	45	78	1	127	19,4
0,60 - 0,70	2	2	1	0	1	18	47	4	75	11,4
0,70 - 0,80	1	5	1	0	2	14	8	3	34	5,2
0,80 - 0,90	3	0	0	0	0	2	5	5	15	2,3
>0,90	10	13	4	0	9	4	9	12	61	9,3
<b>Total</b>	20	24	6	2	20	202	324	58		
<b>Frequência (%)</b>	3,1	3,7	0,9	0,3	3,1	30,8	49,4	8,8		

**Tabela II.5.1.2-167** - Tabela de ocorrência conjunta de intensidade (vertical) e direção (horizontal) da corrente, com os percentuais marginais (coluna da esquerda e última linha), para o fundeio PETROBRAS BS500, profundidade de 36 m, para o mês de junho.

Junho - 36 m										
Intensidade (m/s)	Direção								Total	Frequência (%)
	N	NE	E	SE	S	SW	W	NW		
0,00 - 0,10	0	0	0	1	1	0	0	0	2	0,3
0,10 - 0,20	0	0	0	0	0	5	3	3	11	1,7
0,20 - 0,30	0	1	0	0	3	13	19	7	43	6,6
0,30 - 0,40	2	0	1	0	1	39	63	15	121	18,5
0,40 - 0,50	0	0	0	0	2	60	86	5	153	23,3
0,50 - 0,60	0	0	0	0	2	56	72	1	131	20,0
0,60 - 0,70	2	2	0	0	1	24	44	7	80	12,2
0,70 - 0,80	4	1	1	0	2	9	10	7	34	5,2
0,80 - 0,90	3	4	2	0	2	4	5	7	27	4,1
>0,90	7	9	7	0	10	2	12	7	54	8,2
<b>Total</b>	18	17	11	1	24	212	314	59		
<b>Frequência (%)</b>	2,7	2,6	1,7	0,2	3,7	32,3	47,9	9,0		

**Tabela II.5.1.2-168** - Tabela de ocorrência conjunta de intensidade (vertical) e direção (horizontal) da corrente, com os percentuais marginais (coluna da esquerda e última linha), para o fundeio PETROBRAS BS500, profundidade de 38 m, para o mês de junho.

Junho - 38 m										
Intensidade (m/s)	Direção								Total	Frequência (%)
	N	NE	E	SE	S	SW	W	NW		
0,00 - 0,10	0	0	1	0	0	0	0	0	1	0,2
0,10 - 0,20	0	0	1	0	1	5	4	1	12	1,8
0,20 - 0,30	0	0	0	0	0	12	20	7	39	6,0
0,30 - 0,40	0	1	0	0	5	29	57	14	106	16,2
0,40 - 0,50	1	1	0	1	0	67	88	14	172	26,2
0,50 - 0,60	2	0	0	0	1	62	70	2	137	20,9
0,60 - 0,70	3	1	2	0	0	22	47	4	79	12,0
0,70 - 0,80	5	2	0	0	2	16	14	7	46	7,0
0,80 - 0,90	2	3	4	0	3	1	3	3	19	2,9
>0,90	7	8	5	0	5	4	7	9	45	6,9
<b>Total</b>	20	16	13	1	17	218	310	61		
<b>Frequência (%)</b>	3,1	2,4	2,0	0,2	2,6	33,2	47,3	9,3		

**Tabela II.5.1.2-169** - Tabela de ocorrência conjunta de intensidade (vertical) e direção (horizontal) da corrente, com os percentuais marginais (coluna da esquerda e última linha), para o fundeio PETROBRAS BS500, profundidade de 41 m, para o mês de junho.

Junho - 41 m										
Intensidade (m/s)	Direção								Total	Frequência (%)
	N	NE	E	SE	S	SW	W	NW		
0,00 - 0,10	0	0	1	0	0	0	0	0	1	0,2
0,10 - 0,20	0	0	0	0	1	5	6	0	12	1,8
0,20 - 0,30	1	1	0	0	1	12	14	3	32	4,9
0,30 - 0,40	2	1	0	0	1	28	58	12	102	15,6
0,40 - 0,50	2	0	0	1	2	66	97	10	178	27,1
0,50 - 0,60	3	0	1	0	1	58	79	1	143	21,8
0,60 - 0,70	1	4	0	0	1	31	41	3	81	12,4
0,70 - 0,80	0	3	0	0	1	7	16	8	35	5,3
0,80 - 0,90	3	1	3	0	2	1	2	9	21	3,2
>0,90	7	9	4	0	11	1	7	12	51	7,8
<b>Total</b>	19	19	9	1	21	209	320	58		
<b>Frequência (%)</b>	2,9	2,9	1,4	0,2	3,2	31,9	48,8	8,8		

**Tabela II.5.1.2-170** - Tabela de ocorrência conjunta de intensidade (vertical) e direção (horizontal) da corrente, com os percentuais marginais (coluna da esquerda e última linha), para o fundeio PETROBRAS BS500, profundidade de 43 m, para o mês de junho.

Junho - 43 m										
Intensidade (m/s)	Direção								Total	Frequência (%)
	N	NE	E	SE	S	SW	W	NW		
0,00 - 0,10	0	0	0	0	0	0	1	1	2	0,3
0,10 - 0,20	0	0	0	0	0	4	7	1	12	1,8
0,20 - 0,30	0	0	0	1	1	8	11	4	25	3,8
0,30 - 0,40	2	0	0	0	0	28	54	16	100	15,2
0,40 - 0,50	2	0	1	0	0	68	96	12	179	27,3
0,50 - 0,60	0	0	0	0	2	53	79	5	139	21,2
0,60 - 0,70	0	4	1	0	0	32	50	6	93	14,2
0,70 - 0,80	3	4	2	0	4	7	15	8	43	6,6
0,80 - 0,90	6	3	2	0	3	0	4	2	20	3,1
>0,90	4	8	2	0	7	4	7	11	43	6,6
<b>Total</b>	17	19	8	1	17	204	324	66		
<b>Frequência (%)</b>	2,6	2,9	1,2	0,2	2,6	31,1	49,4	10,1		

**Tabela II.5.1.2-171** - Tabela de ocorrência conjunta de intensidade (vertical) e direção (horizontal) da corrente, com os percentuais marginais (coluna da esquerda e última linha), para o fundeio PETROBRAS BS500, profundidade de 46 m, para o mês de junho.

Junho - 46 m										
Intensidade (m/s)	Direção								Total	Frequência (%)
	N	NE	E	SE	S	SW	W	NW		
0,00 - 0,10	0	0	0	0	0	1	1	0	2	0,3
0,10 - 0,20	0	0	0	0	1	4	3	0	8	1,2
0,20 - 0,30	0	0	0	1	0	12	12	8	33	5,0
0,30 - 0,40	1	0	1	1	1	26	44	14	88	13,4
0,40 - 0,50	2	0	0	0	2	66	104	10	184	28,1
0,50 - 0,60	1	0	0	0	0	55	78	7	141	21,5
0,60 - 0,70	1	2	1	0	0	24	51	1	80	12,2
0,70 - 0,80	3	4	1	0	3	12	16	6	45	6,9
0,80 - 0,90	3	4	1	0	1	1	4	3	17	2,6
>0,90	8	9	2	0	8	6	10	15	58	8,8
<b>Total</b>	19	19	6	2	16	207	323	64		
<b>Frequência (%)</b>	2,9	2,9	0,9	0,3	2,4	31,6	49,2	9,8		

**Tabela II.5.1.2-172** - Tabela de ocorrência conjunta de intensidade (vertical) e direção (horizontal) da corrente, com os percentuais marginais (coluna da esquerda e última linha), para o fundeio PETROBRAS BS500, profundidade de 49 m, para o mês de junho.

Junho - 49 m										
Intensidade (m/s)	Direção								Total	Frequência (%)
	N	NE	E	SE	S	SW	W	NW		
0,00 - 0,10	0	0	0	0	0	0	0	1	1	0,2
0,10 - 0,20	0	0	0	0	3	3	5	0	11	1,7
0,20 - 0,30	0	0	0	0	0	9	11	9	29	4,4
0,30 - 0,40	1	1	0	0	1	33	41	13	90	13,7
0,40 - 0,50	1	1	0	0	0	54	103	11	170	25,9
0,50 - 0,60	1	1	0	0	1	51	85	6	145	22,1
0,60 - 0,70	1	0	1	0	1	24	54	3	84	12,8
0,70 - 0,80	7	2	3	0	0	12	23	4	51	7,8
0,80 - 0,90	3	3	0	0	4	3	7	6	26	4,0
>0,90	9	6	8	0	5	5	8	8	49	7,5
<b>Total</b>	23	14	12	0	15	194	337	61		
<b>Frequência (%)</b>	3,5	2,1	1,8	0,0	2,3	29,6	51,4	9,3		



**Tabela II.5.1.2-173** - Tabela de ocorrência conjunta de intensidade (vertical) e direção (horizontal) da corrente, com os percentuais marginais (coluna da esquerda e última linha), para o fundeio PETROBRAS BS500, profundidade de 51 m, para o mês de junho.

Junho - 51 m										
Intensidade (m/s)	Direção								Total	Frequência (%)
	N	NE	E	SE	S	SW	W	NW		
0,00 - 0,10	0	0	1	0	0	0	0	0	1	0,2
0,10 - 0,20	1	0	0	0	1	3	7	0	12	1,8
0,20 - 0,30	0	1	0	0	1	11	9	4	26	4,0
0,30 - 0,40	0	2	0	0	0	32	32	17	83	12,7
0,40 - 0,50	0	1	1	1	0	63	113	12	191	29,1
0,50 - 0,60	1	1	1	0	1	32	91	5	132	20,1
0,60 - 0,70	0	2	0	0	1	19	55	1	78	11,9
0,70 - 0,80	2	5	0	0	2	9	25	6	49	7,5
0,80 - 0,90	3	4	1	0	1	1	7	9	26	4,0
>0,90	9	7	4	0	13	2	9	14	58	8,8
<b>Total</b>	16	23	8	1	20	172	348	68		
<b>Frequência (%)</b>	2,4	3,5	1,2	0,2	3,1	26,2	53,1	10,4		

**Tabela II.5.1.2-174** - Tabela de ocorrência conjunta de intensidade (vertical) e direção (horizontal) da corrente, com os percentuais marginais (coluna da esquerda e última linha), para o fundeio PETROBRAS BS500, profundidade de 55 m, para o mês de junho.

Junho - 55 m										
Intensidade (m/s)	Direção								Total	Frequência (%)
	N	NE	E	SE	S	SW	W	NW		
0,00 - 0,10	0	1	0	0	0	0	0	0	1	0,2
0,10 - 0,20	1	0	0	0	2	2	6	0	11	1,7
0,20 - 0,30	1	0	0	0	1	14	9	5	30	4,6
0,30 - 0,40	1	1	0	0	0	33	34	21	90	13,7
0,40 - 0,50	2	1	1	0	2	55	108	12	181	27,6
0,50 - 0,60	3	2	0	0	1	30	95	8	139	21,2
0,60 - 0,70	4	1	0	0	3	19	56	7	90	13,7
0,70 - 0,80	4	2	2	0	2	8	24	5	47	7,2
0,80 - 0,90	4	3	0	0	4	2	7	6	26	4,0
>0,90	4	6	6	0	5	2	6	12	41	6,3
<b>Total</b>	24	17	9	0	20	165	345	76		
<b>Frequência (%)</b>	3,7	2,6	1,4	0,0	3,1	25,2	52,6	11,6		

**Tabela II.5.1.2-175** - Tabela de ocorrência conjunta de intensidade (vertical) e direção (horizontal) da corrente, com os percentuais marginais (coluna da esquerda e última linha), para o fundeio PETROBRAS BS500, profundidade de 6 m, para o mês de julho.

Julho - 6 m										
Intensidade (m/s)	Direção								Total	Frequência (%)
	N	NE	E	SE	S	SW	W	NW		
0,00 - 0,10	1	2	2	3	11	24	41	6	90	12,1
0,10 - 0,20	0	0	0	1	25	136	99	28	289	38,8
0,20 - 0,30	0	0	0	0	5	173	94	19	291	39,1
0,30 - 0,40	0	0	0	0	3	38	15	4	60	8,1
0,40 - 0,50	0	0	0	0	2	3	0	0	5	0,7
0,50 - 0,60	0	0	0	0	0	0	0	0	0	0,0
0,60 - 0,70	0	0	0	0	0	0	0	0	0	0,0
0,70 - 0,80	0	0	0	0	0	0	0	0	0	0,0
0,80 - 0,90	0	0	0	0	0	0	0	0	0	0,0
>0,90	0	0	0	0	0	0	0	0	0	0,0
<b>Total</b>	1	2	2	4	46	374	249	57		
<b>Frequência (%)</b>	0,1	0,3	0,3	0,5	6,2	50,3	33,5	7,7		

**Tabela II.5.1.2-176** - Tabela de ocorrência conjunta de intensidade (vertical) e direção (horizontal) da corrente, com os percentuais marginais (coluna da esquerda e última linha), para o fundeio PETROBRAS BS500, profundidade de 9 m, para o mês de julho.

Julho - 9 m										
Intensidade (m/s)	Direção								Total	Frequência (%)
	N	NE	E	SE	S	SW	W	NW		
0,00 - 0,10	1	2	1	2	8	11	11	4	40	5,4
0,10 - 0,20	0	0	1	1	15	49	51	6	123	16,5
0,20 - 0,30	0	0	0	0	10	112	79	24	225	30,2
0,30 - 0,40	0	0	0	0	7	123	85	22	237	31,9
0,40 - 0,50	0	0	0	0	0	43	38	6	87	11,7
0,50 - 0,60	0	0	0	0	4	19	1	1	25	3,4
0,60 - 0,70	0	0	0	0	0	7	0	0	7	0,9
0,70 - 0,80	0	0	0	0	0	0	0	0	0	0,0
0,80 - 0,90	0	0	0	0	0	0	0	0	0	0,0
>0,90	0	0	0	0	0	0	0	0	0	0,0
<b>Total</b>	1	2	2	3	44	364	265	63		
<b>Frequência (%)</b>	0,1	0,3	0,3	0,4	5,9	48,9	35,6	8,5		

**Tabela II.5.1.2-177** - Tabela de ocorrência conjunta de intensidade (vertical) e direção (horizontal) da corrente, com os percentuais marginais (coluna da esquerda e última linha), para o fundeio PETROBRAS BS500, profundidade de 11 m, para o mês de julho.

Julho - 11 m										
Intensidade (m/s)	Direção								Total	Frequência (%)
	N	NE	E	SE	S	SW	W	NW		
0,00 - 0,10	0	1	2	1	8	17	13	2	44	5,9
0,10 - 0,20	0	0	0	0	16	43	35	6	100	13,4
0,20 - 0,30	0	0	0	0	11	105	80	30	226	30,4
0,30 - 0,40	0	0	0	0	5	126	96	17	244	32,8
0,40 - 0,50	0	0	0	0	0	37	54	6	97	13,0
0,50 - 0,60	0	0	0	0	3	16	0	1	20	2,7
0,60 - 0,70	0	0	0	0	1	11	0	0	12	1,6
0,70 - 0,80	0	0	0	0	0	1	0	0	1	0,1
0,80 - 0,90	0	0	0	0	0	0	0	0	0	0,0
>0,90	0	0	0	0	0	0	0	0	0	0,0
<b>Total</b>	0	1	2	1	44	356	278	62		
<b>Frequência (%)</b>	0,0	0,1	0,3	0,1	5,9	47,9	37,4	8,3		

**Tabela II.5.1.2-178** - Tabela de ocorrência conjunta de intensidade (vertical) e direção (horizontal) da corrente, com os percentuais marginais (coluna da esquerda e última linha), para o fundeio PETROBRAS BS500, profundidade de 14 m, para o mês de julho.

Julho - 14 m										
Intensidade (m/s)	Direção								Total	Frequência (%)
	N	NE	E	SE	S	SW	W	NW		
0,00 - 0,10	1	0	3	1	11	14	11	0	41	5,5
0,10 - 0,20	0	0	0	0	12	42	37	4	95	12,8
0,20 - 0,30	0	0	0	0	8	122	72	29	231	31,1
0,30 - 0,40	0	0	0	0	2	112	105	16	235	31,6
0,40 - 0,50	0	0	0	0	1	33	61	6	101	13,6
0,50 - 0,60	0	0	0	0	2	18	7	0	27	3,6
0,60 - 0,70	0	0	0	0	2	10	0	0	12	1,6
0,70 - 0,80	0	0	0	0	0	2	0	0	2	0,3
0,80 - 0,90	0	0	0	0	0	0	0	0	0	0,0
>0,90	0	0	0	0	0	0	0	0	0	0,0
<b>Total</b>	1	0	3	1	38	353	293	55		
<b>Frequência (%)</b>	0,1	0,0	0,4	0,1	5,1	47,5	39,4	7,4		

**Tabela II.5.1.2-179** - Tabela de ocorrência conjunta de intensidade (vertical) e direção (horizontal) da corrente, com os percentuais marginais (coluna da esquerda e última linha), para o fundeio PETROBRAS BS500, profundidade de 16 m, para o mês de julho.

Julho - 16 m										
Intensidade (m/s)	Direção								Total	Frequência (%)
	N	NE	E	SE	S	SW	W	NW		
0,00 - 0,10	1	0	1	2	6	17	6	1	34	4,6
0,10 - 0,20	0	0	0	0	9	48	35	4	96	12,9
0,20 - 0,30	0	0	0	0	8	119	76	27	230	30,9
0,30 - 0,40	0	0	0	0	1	97	111	19	228	30,7
0,40 - 0,50	0	0	0	0	2	35	68	5	110	14,8
0,50 - 0,60	0	0	0	0	3	20	10	0	33	4,4
0,60 - 0,70	0	0	0	0	0	8	0	0	8	1,1
0,70 - 0,80	0	0	0	0	0	5	0	0	5	0,7
0,80 - 0,90	0	0	0	0	0	0	0	0	0	0,0
>0,90	0	0	0	0	0	0	0	0	0	0,0
<b>Total</b>	1	0	1	2	29	349	306	56		
<b>Frequência (%)</b>	0,1	0,0	0,1	0,3	3,9	46,9	41,1	7,5		

**Tabela II.5.1.2-180** - Tabela de ocorrência conjunta de intensidade (vertical) e direção (horizontal) da corrente, com os percentuais marginais (coluna da esquerda e última linha), para o fundeio PETROBRAS BS500, profundidade de 19 m, para o mês de julho.

Julho - 19 m										
Intensidade (m/s)	Direção								Total	Frequência (%)
	N	NE	E	SE	S	SW	W	NW		
0,00 - 0,10	0	0	0	4	4	12	5	1	26	3,5
0,10 - 0,20	0	0	0	0	12	51	36	4	103	13,8
0,20 - 0,30	0	0	0	0	4	99	74	34	211	28,4
0,30 - 0,40	0	0	0	0	0	124	95	16	235	31,6
0,40 - 0,50	0	0	0	0	1	37	78	1	117	15,7
0,50 - 0,60	0	0	0	0	3	20	14	0	37	5,0
0,60 - 0,70	0	0	0	0	0	10	0	0	10	1,3
0,70 - 0,80	0	0	0	0	0	5	0	0	5	0,7
0,80 - 0,90	0	0	0	0	0	0	0	0	0	0,0
>0,90	0	0	0	0	0	0	0	0	0	0,0
<b>Total</b>	0	0	0	4	24	358	302	56		
<b>Frequência (%)</b>	0,0	0,0	0,0	0,5	3,2	48,1	40,6	7,5		

**Tabela II.5.1.2-181** - Tabela de ocorrência conjunta de intensidade (vertical) e direção (horizontal) da corrente, com os percentuais marginais (coluna da esquerda e última linha), para o fundeio PETROBRAS BS500, profundidade de 21 m, para o mês de julho.

Julho - 21 m										
Intensidade (m/s)	Direção								Total	Frequência (%)
	N	NE	E	SE	S	SW	W	NW		
0,00 - 0,10	0	1	1	1	5	12	4	0	24	3,2
0,10 - 0,20	0	0	0	0	9	43	40	7	99	13,3
0,20 - 0,30	0	0	0	0	2	99	53	39	193	25,9
0,30 - 0,40	0	0	0	0	0	137	100	11	248	33,3
0,40 - 0,50	0	0	0	0	1	45	71	2	119	16,0
0,50 - 0,60	0	0	0	0	3	19	23	0	45	6,1
0,60 - 0,70	0	0	0	0	0	9	0	0	9	1,2
0,70 - 0,80	0	0	0	0	0	7	0	0	7	0,9
0,80 - 0,90	0	0	0	0	0	0	0	0	0	0,0
>0,90	0	0	0	0	0	0	0	0	0	0,0
<b>Total</b>	0	1	1	1	20	371	291	59		
<b>Frequência (%)</b>	0,0	0,1	0,1	0,1	2,7	49,9	39,1	7,9		

**Tabela II.5.1.2-182** - Tabela de ocorrência conjunta de intensidade (vertical) e direção (horizontal) da corrente, com os percentuais marginais (coluna da esquerda e última linha), para o fundeio PETROBRAS BS500, profundidade de 24 m, para o mês de julho.

Julho - 24 m										
Intensidade (m/s)	Direção								Total	Frequência (%)
	N	NE	E	SE	S	SW	W	NW		
0,00 - 0,10	0	0	1	1	5	6	7	2	22	3,0
0,10 - 0,20	0	0	0	0	9	49	51	8	117	15,7
0,20 - 0,30	0	0	0	0	1	104	73	37	215	28,9
0,30 - 0,40	0	0	0	0	2	111	92	10	215	28,9
0,40 - 0,50	0	0	0	0	0	53	56	1	110	14,8
0,50 - 0,60	0	0	0	0	1	22	25	0	48	6,5
0,60 - 0,70	0	0	0	0	0	10	0	0	10	1,3
0,70 - 0,80	0	0	0	0	0	7	0	0	7	0,9
0,80 - 0,90	0	0	0	0	0	0	0	0	0	0,0
>0,90	0	0	0	0	0	0	0	0	0	0,0
<b>Total</b>	0	0	1	1	18	362	304	58		
<b>Frequência (%)</b>	0,0	0,0	0,1	0,1	2,4	48,7	40,9	7,8		

**Tabela II.5.1.2-183** - Tabela de ocorrência conjunta de intensidade (vertical) e direção (horizontal) da corrente, com os percentuais marginais (coluna da esquerda e última linha), para o fundeio PETROBRAS BS500, profundidade de 26 m, para o mês de julho.

Julho - 26 m										
Intensidade (m/s)	Direção								Total	Frequência (%)
	N	NE	E	SE	S	SW	W	NW		
0,00 - 0,10	0	0	3	1	3	9	7	0	23	3,1
0,10 - 0,20	0	0	0	0	3	54	53	9	119	16,0
0,20 - 0,30	0	0	0	0	1	109	82	37	229	30,8
0,30 - 0,40	0	0	0	0	1	96	81	11	189	25,4
0,40 - 0,50	0	0	0	0	1	51	61	1	114	15,3
0,50 - 0,60	0	0	0	0	1	21	26	0	48	6,5
0,60 - 0,70	0	0	0	0	0	12	2	0	14	1,9
0,70 - 0,80	0	0	0	0	0	8	0	0	8	1,1
0,80 - 0,90	0	0	0	0	0	0	0	0	0	0,0
>0,90	0	0	0	0	0	0	0	0	0	0,0
<b>Total</b>	0	0	3	1	10	360	312	58		
<b>Frequência (%)</b>	0,0	0,0	0,4	0,1	1,3	48,4	41,9	7,8		

**Tabela II.5.1.2-184** - Tabela de ocorrência conjunta de intensidade (vertical) e direção (horizontal) da corrente, com os percentuais marginais (coluna da esquerda e última linha), para o fundeio PETROBRAS BS500, profundidade de 29 m, para o mês de julho.

Julho - 29 m										
Intensidade (m/s)	Direção								Total	Frequência (%)
	N	NE	E	SE	S	SW	W	NW		
0,00 - 0,10	0	1	1	2	6	6	6	0	22	3,0
0,10 - 0,20	0	0	0	0	0	40	54	14	108	14,5
0,20 - 0,30	0	0	0	0	3	100	81	31	215	28,9
0,30 - 0,40	0	0	0	0	1	104	79	9	193	25,9
0,40 - 0,50	0	0	0	0	1	59	67	1	128	17,2
0,50 - 0,60	0	0	0	0	1	32	21	0	54	7,3
0,60 - 0,70	0	0	0	0	0	11	5	0	16	2,2
0,70 - 0,80	0	0	0	0	0	7	1	0	8	1,1
0,80 - 0,90	0	0	0	0	0	0	0	0	0	0,0
>0,90	0	0	0	0	0	0	0	0	0	0,0
<b>Total</b>	0	1	1	2	12	359	314	55		
<b>Frequência (%)</b>	0,0	0,1	0,1	0,3	1,6	48,3	42,2	7,4		

**Tabela II.5.1.2-185** - Tabela de ocorrência conjunta de intensidade (vertical) e direção (horizontal) da corrente, com os percentuais marginais (coluna da esquerda e última linha), para o fundeio PETROBRAS BS500, profundidade de 31 m, para o mês de julho.

Julho - 31 m											
Intensidade (m/s)	Direção								Total	Frequência (%)	
	N	NE	E	SE	S	SW	W	NW			
0,00 - 0,10	0	1	1	3	4	6	7	1	23	3,1	
0,10 - 0,20	0	0	0	0	3	42	40	20	105	14,1	
0,20 - 0,30	0	0	0	0	1	94	82	28	205	27,6	
0,30 - 0,40	0	0	0	0	0	107	86	8	201	27,0	
0,40 - 0,50	0	0	0	0	0	61	64	2	127	17,1	
0,50 - 0,60	0	0	0	0	1	29	26	0	56	7,5	
0,60 - 0,70	0	0	0	0	0	13	5	0	18	2,4	
0,70 - 0,80	0	0	0	0	0	8	1	0	9	1,2	
0,80 - 0,90	0	0	0	0	0	0	0	0	0	0,0	
>0,90	0	0	0	0	0	0	0	0	0	0,0	
<b>Total</b>	0	1	1	3	9	360	311	59			
<b>Frequência (%)</b>	0,0	0,1	0,1	0,4	1,2	48,4	41,8	7,9			

**Tabela II.5.1.2-186** - Tabela de ocorrência conjunta de intensidade (vertical) e direção (horizontal) da corrente, com os percentuais marginais (coluna da esquerda e última linha), para o fundeio PETROBRAS BS500, profundidade de 33 m, para o mês de julho.

Julho - 33 m											
Intensidade (m/s)	Direção								Total	Frequência (%)	
	N	NE	E	SE	S	SW	W	NW			
0,00 - 0,10	0	0	1	3	6	4	10	1	25	3,4	
0,10 - 0,20	1	0	0	0	2	38	37	17	95	12,8	
0,20 - 0,30	0	0	0	0	3	85	72	33	193	25,9	
0,30 - 0,40	0	0	0	0	2	114	86	9	211	28,4	
0,40 - 0,50	0	0	0	0	1	67	66	3	137	18,4	
0,50 - 0,60	0	0	0	0	1	31	29	0	61	8,2	
0,60 - 0,70	0	0	0	0	0	11	3	0	14	1,9	
0,70 - 0,80	0	0	0	0	0	8	0	0	8	1,1	
0,80 - 0,90	0	0	0	0	0	0	0	0	0	0,0	
>0,90	0	0	0	0	0	0	0	0	0	0,0	
<b>Total</b>	1	0	1	3	15	358	303	63			
<b>Frequência (%)</b>	0,1	0,0	0,1	0,4	2,0	48,1	40,7	8,5			

**Tabela II.5.1.2-187** - Tabela de ocorrência conjunta de intensidade (vertical) e direção (horizontal) da corrente, com os percentuais marginais (coluna da esquerda e última linha), para o fundeio PETROBRAS BS500, profundidade de 36 m, para o mês de julho.

Julho - 36 m										
Intensidade (m/s)	Direção								Total	Frequência (%)
	N	NE	E	SE	S	SW	W	NW		
0,00 - 0,10	0	0	3	1	4	7	7	1	23	3,1
0,10 - 0,20	1	0	0	1	4	41	27	21	95	12,8
0,20 - 0,30	1	0	0	0	4	82	81	31	199	26,8
0,30 - 0,40	0	0	0	0	4	112	80	10	206	27,7
0,40 - 0,50	0	0	0	0	2	64	74	2	142	19,1
0,50 - 0,60	0	0	0	0	1	27	27	0	55	7,4
0,60 - 0,70	0	0	0	0	0	13	3	0	16	2,2
0,70 - 0,80	0	0	0	0	0	7	0	0	7	0,9
0,80 - 0,90	0	0	0	0	0	1	0	0	1	0,1
>0,90	0	0	0	0	0	0	0	0	0	0,0
<b>Total</b>	2	0	3	2	19	354	299	65		
<b>Frequência (%)</b>	0,3	0,0	0,4	0,3	2,6	47,6	40,2	8,7		

**Tabela II.5.1.2-188** - Tabela de ocorrência conjunta de intensidade (vertical) e direção (horizontal) da corrente, com os percentuais marginais (coluna da esquerda e última linha), para o fundeio PETROBRAS BS500, profundidade de 38 m, para o mês de julho.

Julho - 38 m										
Intensidade (m/s)	Direção								Total	Frequência (%)
	N	NE	E	SE	S	SW	W	NW		
0,00 - 0,10	0	0	2	1	1	5	5	1	15	2,0
0,10 - 0,20	1	0	0	3	6	35	43	18	106	14,3
0,20 - 0,30	3	0	0	0	4	76	84	30	197	26,5
0,30 - 0,40	0	0	0	0	3	112	87	6	208	28,0
0,40 - 0,50	0	0	0	0	1	67	66	2	136	18,3
0,50 - 0,60	0	0	0	0	0	36	25	0	61	8,2
0,60 - 0,70	0	0	0	0	0	8	5	0	13	1,8
0,70 - 0,80	0	0	0	0	0	8	0	0	8	1,1
0,80 - 0,90	0	0	0	0	0	0	0	0	0	0,0
>0,90	0	0	0	0	0	0	0	0	0	0,0
<b>Total</b>	4	0	2	4	15	347	315	57		
<b>Frequência (%)</b>	0,5	0,0	0,3	0,5	2,0	46,6	42,3	7,7		



**Tabela II.5.1.2-189** - Tabela de ocorrência conjunta de intensidade (vertical) e direção (horizontal) da corrente, com os percentuais marginais (coluna da esquerda e última linha), para o fundeio PETROBRAS BS500, profundidade de 41 m, para o mês de julho.

Julho - 41 m										
Intensidade (m/s)	Direção								Total	Frequência (%)
	N	NE	E	SE	S	SW	W	NW		
0,00 - 0,10	0	1	1	1	4	3	10	3	23	3,1
0,10 - 0,20	5	0	1	1	8	32	42	18	107	14,4
0,20 - 0,30	1	0	0	0	2	61	80	33	177	23,8
0,30 - 0,40	0	0	0	0	2	113	94	4	213	28,6
0,40 - 0,50	0	0	0	0	3	68	61	2	134	18,0
0,50 - 0,60	0	0	0	0	0	38	31	0	69	9,3
0,60 - 0,70	0	0	0	0	0	10	2	0	12	1,6
0,70 - 0,80	0	0	0	0	0	7	1	0	8	1,1
0,80 - 0,90	0	0	0	0	0	1	0	0	1	0,1
>0,90	0	0	0	0	0	0	0	0	0	0,0
<b>Total</b>	6	1	2	2	19	333	321	60		
<b>Frequência (%)</b>	0,8	0,1	0,3	0,3	2,6	44,8	43,2	8,1		

**Tabela II.5.1.2-190** - Tabela de ocorrência conjunta de intensidade (vertical) e direção (horizontal) da corrente, com os percentuais marginais (coluna da esquerda e última linha), para o fundeio PETROBRAS BS500, profundidade de 43 m, para o mês de julho.

Julho - 43 m										
Intensidade (m/s)	Direção								Total	Frequência (%)
	N	NE	E	SE	S	SW	W	NW		
0,00 - 0,10	5	2	0	1	2	7	7	2	26	3,5
0,10 - 0,20	6	0	1	3	7	36	38	12	103	13,8
0,20 - 0,30	1	0	0	0	2	66	79	32	180	24,2
0,30 - 0,40	0	0	0	0	3	103	94	5	205	27,6
0,40 - 0,50	0	0	0	0	3	70	64	3	140	18,8
0,50 - 0,60	0	0	0	0	0	39	27	0	66	8,9
0,60 - 0,70	0	0	0	0	0	10	4	0	14	1,9
0,70 - 0,80	0	0	0	0	0	8	1	0	9	1,2
0,80 - 0,90	0	0	0	0	0	1	0	0	1	0,1
>0,90	0	0	0	0	0	0	0	0	0	0,0
<b>Total</b>	12	2	1	4	17	340	314	54		
<b>Frequência (%)</b>	1,6	0,3	0,1	0,5	2,3	45,7	42,2	7,3		

**Tabela II.5.1.2-191** - Tabela de ocorrência conjunta de intensidade (vertical) e direção (horizontal) da corrente, com os percentuais marginais (coluna da esquerda e última linha), para o fundeio PETROBRAS BS500, profundidade de 46 m, para o mês de julho.

Julho - 46 m										
Intensidade (m/s)	Direção								Total	Frequência (%)
	N	NE	E	SE	S	SW	W	NW		
0,00 - 0,10	3	2	1	1	1	7	6	1	22	3,0
0,10 - 0,20	7	2	1	2	3	31	39	15	100	13,4
0,20 - 0,30	2	0	0	0	5	64	83	31	185	24,9
0,30 - 0,40	0	0	0	0	2	106	95	3	206	27,7
0,40 - 0,50	0	0	0	0	1	65	60	3	129	17,3
0,50 - 0,60	0	0	0	0	0	37	35	0	72	9,7
0,60 - 0,70	0	0	0	0	0	16	4	0	20	2,7
0,70 - 0,80	0	0	0	0	0	6	3	0	9	1,2
0,80 - 0,90	0	0	0	0	0	1	0	0	1	0,1
>0,90	0	0	0	0	0	0	0	0	0	0,0
<b>Total</b>	12	4	2	3	12	333	325	53		
<b>Frequência (%)</b>	1,6	0,5	0,3	0,4	1,6	44,8	43,7	7,1		

**Tabela II.5.1.2-192** - Tabela de ocorrência conjunta de intensidade (vertical) e direção (horizontal) da corrente, com os percentuais marginais (coluna da esquerda e última linha), para o fundeio PETROBRAS BS500, profundidade de 49 m, para o mês de julho.

Julho - 49 m										
Intensidade (m/s)	Direção								Total	Frequência (%)
	N	NE	E	SE	S	SW	W	NW		
0,00 - 0,10	1	4	1	2	4	8	4	1	25	3,4
0,10 - 0,20	8	2	1	0	3	29	37	14	94	12,6
0,20 - 0,30	0	0	0	0	6	63	94	30	193	25,9
0,30 - 0,40	0	0	0	0	2	100	84	7	193	25,9
0,40 - 0,50	0	0	0	0	1	62	70	3	136	18,3
0,50 - 0,60	0	0	0	0	0	37	38	0	75	10,1
0,60 - 0,70	0	0	0	0	0	14	5	0	19	2,6
0,70 - 0,80	0	0	0	0	0	6	2	0	8	1,1
0,80 - 0,90	0	0	0	0	0	1	0	0	1	0,1
>0,90	0	0	0	0	0	0	0	0	0	0,0
<b>Total</b>	9	6	2	2	16	320	334	55		
<b>Frequência (%)</b>	1,2	0,8	0,3	0,3	2,2	43,0	44,9	7,4		

**Tabela II.5.1.2-193** - Tabela de ocorrência conjunta de intensidade (vertical) e direção (horizontal) da corrente, com os percentuais marginais (coluna da esquerda e última linha), para o fundeio PETROBRAS BS500, profundidade de 51 m, para o mês de julho.

Julho - 51 m										
Intensidade (m/s)	Direção								Total	Frequência (%)
	N	NE	E	SE	S	SW	W	NW		
0,00 - 0,10	2	1	6	2	3	7	4	1	26	3,5
0,10 - 0,20	6	1	0	0	7	30	35	10	89	12,0
0,20 - 0,30	0	0	0	0	6	62	87	32	187	25,1
0,30 - 0,40	0	0	0	0	1	98	91	10	200	26,9
0,40 - 0,50	0	0	0	0	2	62	73	3	140	18,8
0,50 - 0,60	0	0	0	0	0	33	36	0	69	9,3
0,60 - 0,70	0	0	0	0	0	14	9	0	23	3,1
0,70 - 0,80	0	0	0	0	0	7	2	0	9	1,2
0,80 - 0,90	0	0	0	0	0	1	0	0	1	0,1
>0,90	0	0	0	0	0	0	0	0	0	0,0
<b>Total</b>	8	2	6	2	19	314	337	56		
<b>Frequência (%)</b>	1,1	0,3	0,8	0,3	2,6	42,2	45,3	7,5		

**Tabela II.5.1.2-194** - Tabela de ocorrência conjunta de intensidade (vertical) e direção (horizontal) da corrente, com os percentuais marginais (coluna da esquerda e última linha), para o fundeio PETROBRAS BS500, profundidade de 55 m, para o mês de julho.

Julho - 55 m										
Intensidade (m/s)	Direção								Total	Frequência (%)
	N	NE	E	SE	S	SW	W	NW		
0,00 - 0,10	2	3	5	2	4	7	4	3	30	4,0
0,10 - 0,20	3	1	0	0	9	27	39	14	93	12,5
0,20 - 0,30	0	0	0	0	5	57	104	24	190	25,5
0,30 - 0,40	0	0	0	0	1	91	86	14	192	25,8
0,40 - 0,50	0	0	0	0	2	60	76	3	141	19,0
0,50 - 0,60	0	0	0	0	0	23	42	0	65	8,7
0,60 - 0,70	0	0	0	0	0	14	8	0	22	3,0
0,70 - 0,80	0	0	0	0	0	8	2	0	10	1,3
0,80 - 0,90	0	0	0	0	0	1	0	0	1	0,1
>0,90	0	0	0	0	0	0	0	0	0	0,0
<b>Total</b>	5	4	5	2	21	288	361	58		
<b>Frequência (%)</b>	0,7	0,5	0,7	0,3	2,8	38,7	48,5	7,8		

**Tabela II.5.1.2-195** - Tabela de ocorrência conjunta de intensidade (vertical) e direção (horizontal) da corrente, com os percentuais marginais (coluna da esquerda e última linha), para o fundeio PETROBRAS BS500, profundidade de 6 m, para o mês de agosto.

Agosto - 6 m										
Intensidade (m/s)	Direção								Total	Frequência (%)
	N	NE	E	SE	S	SW	W	NW		
0,00 - 0,10	0	0	0	0	2	4	4	0	10	1,3
0,10 - 0,20	0	0	0	0	7	23	58	2	90	12,1
0,20 - 0,30	0	0	0	0	8	74	74	2	158	21,2
0,30 - 0,40	0	0	0	0	4	141	103	1	249	33,5
0,40 - 0,50	0	0	0	0	1	105	58	0	164	22,0
0,50 - 0,60	0	0	0	0	0	30	23	0	53	7,1
0,60 - 0,70	0	0	0	0	0	2	2	0	4	0,5
0,70 - 0,80	0	0	0	0	0	0	0	0	0	0,0
0,80 - 0,90	0	0	0	0	0	0	0	0	0	0,0
>0,90	0	0	0	0	0	0	0	0	0	0,0
<b>Total</b>	0	0	0	0	22	379	322	5		
<b>Frequência (%)</b>	0,0	0,0	0,0	0,0	3,0	50,9	43,3	0,7		

**Tabela II.5.1.2-196** - Tabela de ocorrência conjunta de intensidade (vertical) e direção (horizontal) da corrente, com os percentuais marginais (coluna da esquerda e última linha), para o fundeio PETROBRAS BS500, profundidade de 9 m, para o mês de agosto.

Agosto - 9 m										
Intensidade (m/s)	Direção								Total	Frequência (%)
	N	NE	E	SE	S	SW	W	NW		
0,00 - 0,10	0	0	0	0	0	1	1	0	2	0,3
0,10 - 0,20	0	0	0	0	3	9	14	1	27	3,6
0,20 - 0,30	0	0	0	0	7	18	51	1	77	10,4
0,30 - 0,40	0	0	0	0	4	42	43	1	90	12,1
0,40 - 0,50	0	0	0	0	4	72	76	0	152	20,4
0,50 - 0,60	0	0	0	0	1	108	68	0	177	23,8
0,60 - 0,70	0	0	0	0	1	75	48	0	124	16,7
0,70 - 0,80	0	0	0	0	0	44	29	0	73	9,8
0,80 - 0,90	0	0	0	0	0	11	8	0	19	2,6
>0,90	0	0	0	0	0	0	3	0	3	0,4
<b>Total</b>	0	0	0	0	20	380	341	3		
<b>Frequência (%)</b>	0,0	0,0	0,0	0,0	2,7	51,1	45,8	0,4		

**Tabela II.5.1.2-197** - Tabela de ocorrência conjunta de intensidade (vertical) e direção (horizontal) da corrente, com os percentuais marginais (coluna da esquerda e última linha), para o fundeio PETROBRAS BS500, profundidade de 11 m, para o mês de agosto.

Agosto - 11 m										
Intensidade (m/s)	Direção								Total	Frequência (%)
	N	NE	E	SE	S	SW	W	NW		
0,00 - 0,10	0	0	0	0	0	0	0	0	0	0,0
0,10 - 0,20	0	0	0	0	1	11	13	0	25	3,4
0,20 - 0,30	0	0	0	0	3	21	47	1	72	9,7
0,30 - 0,40	0	0	0	0	3	45	50	0	98	13,2
0,40 - 0,50	0	0	0	0	4	67	81	0	152	20,4
0,50 - 0,60	0	0	0	0	1	112	75	0	188	25,3
0,60 - 0,70	0	0	0	0	1	76	44	0	121	16,3
0,70 - 0,80	0	0	0	0	0	39	26	0	65	8,7
0,80 - 0,90	0	0	0	0	0	8	11	0	19	2,6
>0,90	0	0	0	0	0	1	3	0	4	0,5
<b>Total</b>	0	0	0	0	13	380	350	1		
<b>Frequência (%)</b>	0,0	0,0	0,0	0,0	1,8	51,1	47,0	0,1		

**Tabela II.5.1.2-198** - Tabela de ocorrência conjunta de intensidade (vertical) e direção (horizontal) da corrente, com os percentuais marginais (coluna da esquerda e última linha), para o fundeio PETROBRAS BS500, profundidade de 14 m, para o mês de agosto.

Agosto - 14 m										
Intensidade (m/s)	Direção								Total	Frequência (%)
	N	NE	E	SE	S	SW	W	NW		
0,00 - 0,10	0	0	0	0	0	0	0	0	0	0,0
0,10 - 0,20	0	0	0	0	1	8	11	0	20	2,7
0,20 - 0,30	0	0	0	0	3	14	52	0	69	9,3
0,30 - 0,40	0	0	0	0	2	47	50	1	100	13,4
0,40 - 0,50	0	0	0	0	3	69	89	0	161	21,6
0,50 - 0,60	0	0	0	0	1	115	69	0	185	24,9
0,60 - 0,70	0	0	0	0	0	69	48	0	117	15,7
0,70 - 0,80	0	0	0	0	0	43	25	0	68	9,1
0,80 - 0,90	0	0	0	0	0	9	11	0	20	2,7
>0,90	0	0	0	0	0	0	4	0	4	0,5
<b>Total</b>	0	0	0	0	10	374	359	1		
<b>Frequência (%)</b>	0,0	0,0	0,0	0,0	1,3	50,3	48,3	0,1		

**Tabela II.5.1.2-199** - Tabela de ocorrência conjunta de intensidade (vertical) e direção (horizontal) da corrente, com os percentuais marginais (coluna da esquerda e última linha), para o fundeio PETROBRAS BS500, profundidade de 16 m, para o mês de agosto.

Agosto - 16 m										
Intensidade (m/s)	Direção								Total	Frequência (%)
	N	NE	E	SE	S	SW	W	NW		
0,00 - 0,10	0	0	0	0	0	0	0	0	0	0,0
0,10 - 0,20	0	0	0	0	1	7	10	0	18	2,4
0,20 - 0,30	0	0	0	0	2	14	50	0	66	8,9
0,30 - 0,40	0	0	0	0	3	54	46	0	103	13,8
0,40 - 0,50	0	0	0	0	2	67	84	0	153	20,6
0,50 - 0,60	0	0	0	0	1	112	75	0	188	25,3
0,60 - 0,70	0	0	0	0	0	80	52	0	132	17,7
0,70 - 0,80	0	0	0	0	0	38	27	0	65	8,7
0,80 - 0,90	0	0	0	0	0	8	9	0	17	2,3
>0,90	0	0	0	0	0	0	2	0	2	0,3
<b>Total</b>	0	0	0	0	9	380	355	0		
<b>Frequência (%)</b>	0,0	0,0	0,0	0,0	1,2	51,1	47,7	0,0		

**Tabela II.5.1.2-200** - Tabela de ocorrência conjunta de intensidade (vertical) e direção (horizontal) da corrente, com os percentuais marginais (coluna da esquerda e última linha), para o fundeio PETROBRAS BS500, profundidade de 19 m, para o mês de agosto.

Agosto - 19 m										
Intensidade (m/s)	Direção								Total	Frequência (%)
	N	NE	E	SE	S	SW	W	NW		
0,00 - 0,10	0	0	0	0	0	0	0	0	0	0,0
0,10 - 0,20	0	0	0	0	1	6	9	0	16	2,2
0,20 - 0,30	0	0	0	0	3	11	46	0	60	8,1
0,30 - 0,40	0	0	0	0	4	47	44	1	96	12,9
0,40 - 0,50	0	0	0	0	1	75	85	0	161	21,6
0,50 - 0,60	0	0	0	0	1	114	79	0	194	26,1
0,60 - 0,70	0	0	0	0	0	79	52	0	131	17,6
0,70 - 0,80	0	0	0	0	0	39	23	0	62	8,3
0,80 - 0,90	0	0	0	0	0	12	10	0	22	3,0
>0,90	0	0	0	0	0	0	2	0	2	0,3
<b>Total</b>	0	0	0	0	10	383	350	1		
<b>Frequência (%)</b>	0,0	0,0	0,0	0,0	1,3	51,5	47,0	0,1		

**Tabela II.5.1.2-201** - Tabela de ocorrência conjunta de intensidade (vertical) e direção (horizontal) da corrente, com os percentuais marginais (coluna da esquerda e última linha), para o fundeio PETROBRAS BS500, profundidade de 21 m, para o mês de agosto.

Agosto - 21 m										
Intensidade (m/s)	Direção								Total	Frequência (%)
	N	NE	E	SE	S	SW	W	NW		
0,00 - 0,10	0	0	0	0	0	0	0	0	0	0,0
0,10 - 0,20	0	0	0	0	0	7	9	0	16	2,2
0,20 - 0,30	0	0	0	0	4	12	48	0	64	8,6
0,30 - 0,40	0	0	0	0	4	38	40	1	83	11,2
0,40 - 0,50	0	0	0	0	1	86	82	0	169	22,7
0,50 - 0,60	0	0	0	0	1	111	82	0	194	26,1
0,60 - 0,70	0	0	0	0	0	78	61	0	139	18,7
0,70 - 0,80	0	0	0	0	0	32	24	0	56	7,5
0,80 - 0,90	0	0	0	0	0	13	10	0	23	3,1
>0,90	0	0	0	0	0	0	0	0	0	0,0
<b>Total</b>	0	0	0	0	10	377	356	1		
<b>Frequência (%)</b>	0,0	0,0	0,0	0,0	1,3	50,7	47,9	0,1		

**Tabela II.5.1.2-202** - Tabela de ocorrência conjunta de intensidade (vertical) e direção (horizontal) da corrente, com os percentuais marginais (coluna da esquerda e última linha), para o fundeio PETROBRAS BS500, profundidade de 24 m, para o mês de agosto.

Agosto - 24 m										
Intensidade (m/s)	Direção								Total	Frequência (%)
	N	NE	E	SE	S	SW	W	NW		
0,00 - 0,10	0	0	0	0	0	0	0	0	0	0,0
0,10 - 0,20	0	0	0	0	1	6	9	0	16	2,2
0,20 - 0,30	0	0	0	0	2	13	42	0	57	7,7
0,30 - 0,40	0	0	0	0	4	38	46	1	89	12,0
0,40 - 0,50	0	0	0	0	1	112	88	0	201	27,0
0,50 - 0,60	0	0	0	0	1	81	84	0	166	22,3
0,60 - 0,70	0	0	0	0	0	86	54	0	140	18,8
0,70 - 0,80	0	0	0	0	0	31	26	0	57	7,7
0,80 - 0,90	0	0	0	0	0	7	10	0	17	2,3
>0,90	0	0	0	0	0	1	0	0	1	0,1
<b>Total</b>	0	0	0	0	9	375	359	1		
<b>Frequência (%)</b>	0,0	0,0	0,0	0,0	1,2	50,4	48,3	0,1		

**Tabela II.5.1.2-203** - Tabela de ocorrência conjunta de intensidade (vertical) e direção (horizontal) da corrente, com os percentuais marginais (coluna da esquerda e última linha), para o fundeio PETROBRAS BS500, profundidade de 26 m, para o mês de agosto.

Agosto - 26 m										
Intensidade (m/s)	Direção								Total	Frequência (%)
	N	NE	E	SE	S	SW	W	NW		
0,00 - 0,10	0	0	0	0	0	0	0	0	0	0,0
0,10 - 0,20	0	0	0	0	1	7	13	0	21	2,8
0,20 - 0,30	0	0	0	0	2	18	38	0	58	7,8
0,30 - 0,40	0	0	0	0	5	49	47	1	102	13,7
0,40 - 0,50	0	0	0	0	0	93	82	0	175	23,5
0,50 - 0,60	0	0	0	0	1	88	84	0	173	23,3
0,60 - 0,70	0	0	0	0	0	86	57	0	143	19,2
0,70 - 0,80	0	0	0	0	0	22	29	0	51	6,9
0,80 - 0,90	0	0	0	0	0	9	10	0	19	2,6
>0,90	0	0	0	0	0	1	1	0	2	0,3
<b>Total</b>	0	0	0	0	9	373	361	1		
<b>Frequência (%)</b>	0,0	0,0	0,0	0,0	1,2	50,1	48,5	0,1		

**Tabela II.5.1.2-204** - Tabela de ocorrência conjunta de intensidade (vertical) e direção (horizontal) da corrente, com os percentuais marginais (coluna da esquerda e última linha), para o fundeio PETROBRAS BS500, profundidade de 29 m, para o mês de agosto.

Agosto - 29 m										
Intensidade (m/s)	Direção								Total	Frequência (%)
	N	NE	E	SE	S	SW	W	NW		
0,00 - 0,10	0	0	0	0	0	0	0	0	0	0,0
0,10 - 0,20	0	0	0	0	0	9	9	0	18	2,4
0,20 - 0,30	0	0	0	0	3	10	39	0	52	7,0
0,30 - 0,40	0	0	0	0	4	40	47	1	92	12,4
0,40 - 0,50	0	0	0	0	1	83	72	0	156	21,0
0,50 - 0,60	0	0	0	0	0	109	98	0	207	27,8
0,60 - 0,70	0	0	0	0	0	82	61	0	143	19,2
0,70 - 0,80	0	0	0	0	0	26	29	0	55	7,4
0,80 - 0,90	0	0	0	0	0	9	10	0	19	2,6
>0,90	0	0	0	0	0	2	0	0	2	0,3
<b>Total</b>	0	0	0	0	8	370	365	1		
<b>Frequência (%)</b>	0,0	0,0	0,0	0,0	1,1	49,7	49,1	0,1		



**Tabela II.5.1.2-205** - Tabela de ocorrência conjunta de intensidade (vertical) e direção (horizontal) da corrente, com os percentuais marginais (coluna da esquerda e última linha), para o fundeio PETROBRAS BS500, profundidade de 31 m, para o mês de agosto.

Agosto - 31 m										
Intensidade (m/s)	Direção								Total	Frequência (%)
	N	NE	E	SE	S	SW	W	NW		
0,00 - 0,10	0	0	0	0	0	0	0	0	0	0,0
0,10 - 0,20	0	0	0	0	0	8	13	0	21	2,8
0,20 - 0,30	0	0	0	0	1	14	32	0	47	6,3
0,30 - 0,40	0	0	0	0	3	47	50	1	101	13,6
0,40 - 0,50	0	0	0	0	0	68	74	0	142	19,1
0,50 - 0,60	0	0	0	0	1	119	93	0	213	28,6
0,60 - 0,70	0	0	0	0	0	81	70	0	151	20,3
0,70 - 0,80	0	0	0	0	0	23	24	0	47	6,3
0,80 - 0,90	0	0	0	0	0	10	10	0	20	2,7
>0,90	0	0	0	0	0	2	0	0	2	0,3
<b>Total</b>	0	0	0	0	5	372	366	1		
<b>Frequência (%)</b>	0,0	0,0	0,0	0,0	0,7	50,0	49,2	0,1		

**Tabela II.5.1.2-206** - Tabela de ocorrência conjunta de intensidade (vertical) e direção (horizontal) da corrente, com os percentuais marginais (coluna da esquerda e última linha), para o fundeio PETROBRAS BS500, profundidade de 33 m, para o mês de agosto.

Agosto - 33 m										
Intensidade (m/s)	Direção								Total	Frequência (%)
	N	NE	E	SE	S	SW	W	NW		
0,00 - 0,10	0	0	0	0	0	0	0	0	0	0,0
0,10 - 0,20	0	0	0	0	0	10	11	0	21	2,8
0,20 - 0,30	0	0	0	0	1	15	33	0	49	6,6
0,30 - 0,40	0	0	0	0	1	46	46	1	94	12,6
0,40 - 0,50	0	0	0	0	0	72	74	0	146	19,6
0,50 - 0,60	0	0	0	0	1	116	89	0	206	27,7
0,60 - 0,70	0	0	0	0	0	80	68	0	148	19,9
0,70 - 0,80	0	0	0	0	0	27	35	0	62	8,3
0,80 - 0,90	0	0	0	0	0	9	8	0	17	2,3
>0,90	0	0	0	0	0	1	0	0	1	0,1
<b>Total</b>	0	0	0	0	3	376	364	1		
<b>Frequência (%)</b>	0,0	0,0	0,0	0,0	0,4	50,5	48,9	0,1		

**Tabela II.5.1.2-207** - Tabela de ocorrência conjunta de intensidade (vertical) e direção (horizontal) da corrente, com os percentuais marginais (coluna da esquerda e última linha), para o fundeio PETROBRAS BS500, profundidade de 36 m, para o mês de agosto.

Agosto - 36 m										
Intensidade (m/s)	Direção								Total	Frequência (%)
	N	NE	E	SE	S	SW	W	NW		
0,00 - 0,10	0	0	0	0	0	0	0	0	0	0,0
0,10 - 0,20	0	0	0	0	1	8	10	0	19	2,6
0,20 - 0,30	0	0	0	0	0	17	33	0	50	6,7
0,30 - 0,40	0	0	0	0	1	37	50	3	91	12,2
0,40 - 0,50	0	0	0	0	1	87	69	0	157	21,1
0,50 - 0,60	0	0	0	0	0	116	86	0	202	27,2
0,60 - 0,70	0	0	0	0	0	75	65	0	140	18,8
0,70 - 0,80	0	0	0	0	0	26	43	0	69	9,3
0,80 - 0,90	0	0	0	0	0	9	7	0	16	2,2
>0,90	0	0	0	0	0	0	0	0	0	0,0
<b>Total</b>	0	0	0	0	3	375	363	3		
<b>Frequência (%)</b>	0,0	0,0	0,0	0,0	0,4	50,4	48,8	0,4		

**Tabela II.5.1.2-208** - Tabela de ocorrência conjunta de intensidade (vertical) e direção (horizontal) da corrente, com os percentuais marginais (coluna da esquerda e última linha), para o fundeio PETROBRAS BS500, profundidade de 38 m, para o mês de agosto.

Agosto - 38 m										
Intensidade (m/s)	Direção								Total	Frequência (%)
	N	NE	E	SE	S	SW	W	NW		
0,00 - 0,10	0	0	0	0	0	0	0	0	0	0,0
0,10 - 0,20	0	0	0	0	0	12	9	0	21	2,8
0,20 - 0,30	0	0	0	0	0	16	32	0	48	6,5
0,30 - 0,40	0	0	0	0	0	41	51	1	93	12,5
0,40 - 0,50	0	0	0	0	1	82	74	0	157	21,1
0,50 - 0,60	0	0	0	0	0	114	90	0	204	27,4
0,60 - 0,70	0	0	0	0	0	78	62	0	140	18,8
0,70 - 0,80	0	0	0	0	0	22	39	0	61	8,2
0,80 - 0,90	0	0	0	0	0	10	10	0	20	2,7
>0,90	0	0	0	0	0	0	0	0	0	0,0
<b>Total</b>	0	0	0	0	1	375	367	1		
<b>Frequência (%)</b>	0,0	0,0	0,0	0,0	0,1	50,4	49,3	0,1		

**Tabela II.5.1.2-209** - Tabela de ocorrência conjunta de intensidade (vertical) e direção (horizontal) da corrente, com os percentuais marginais (coluna da esquerda e última linha), para o fundeio PETROBRAS BS500, profundidade de 41 m, para o mês de agosto.

Agosto - 41 m										
Intensidade (m/s)	Direção								Total	Frequência (%)
	N	NE	E	SE	S	SW	W	NW		
0,00 - 0,10	0	0	0	0	0	0	0	0	0	0,0
0,10 - 0,20	0	0	0	0	0	8	10	0	18	2,4
0,20 - 0,30	0	0	0	0	0	19	33	3	55	7,4
0,30 - 0,40	0	0	0	0	0	33	49	0	82	11,0
0,40 - 0,50	0	0	0	0	0	80	73	0	153	20,6
0,50 - 0,60	0	0	0	0	0	122	100	0	222	29,8
0,60 - 0,70	0	0	0	0	0	70	57	0	127	17,1
0,70 - 0,80	0	0	0	0	0	22	45	0	67	9,0
0,80 - 0,90	0	0	0	0	0	9	11	0	20	2,7
>0,90	0	0	0	0	0	0	0	0	0	0,0
<b>Total</b>	0	0	0	0	0	363	378	3		
<b>Frequência (%)</b>	0,0	0,0	0,0	0,0	0,0	48,8	50,8	0,4		

**Tabela II.5.1.2-210** - Tabela de ocorrência conjunta de intensidade (vertical) e direção (horizontal) da corrente, com os percentuais marginais (coluna da esquerda e última linha), para o fundeio PETROBRAS BS500, profundidade de 43 m, para o mês de agosto.

Agosto - 43 m										
Intensidade (m/s)	Direção								Total	Frequência (%)
	N	NE	E	SE	S	SW	W	NW		
0,00 - 0,10	0	0	0	0	0	0	0	0	0	0,0
0,10 - 0,20	0	0	0	0	0	6	9	0	15	2,0
0,20 - 0,30	0	0	0	0	0	23	34	2	59	7,9
0,30 - 0,40	0	0	0	0	0	31	44	1	76	10,2
0,40 - 0,50	0	0	0	0	0	77	86	0	163	21,9
0,50 - 0,60	0	0	0	0	0	119	101	0	220	29,6
0,60 - 0,70	0	0	0	0	0	77	48	0	125	16,8
0,70 - 0,80	0	0	0	0	0	19	50	0	69	9,3
0,80 - 0,90	0	0	0	0	0	5	12	0	17	2,3
>0,90	0	0	0	0	0	0	0	0	0	0,0
<b>Total</b>	0	0	0	0	0	357	384	3		
<b>Frequência (%)</b>	0,0	0,0	0,0	0,0	0,0	48,0	51,6	0,4		

**Tabela II.5.1.2-211** - Tabela de ocorrência conjunta de intensidade (vertical) e direção (horizontal) da corrente, com os percentuais marginais (coluna da esquerda e última linha), para o fundeio PETROBRAS BS500, profundidade de 46 m, para o mês de agosto.

Agosto - 46 m										
Intensidade (m/s)	Direção								Total	Frequência (%)
	N	NE	E	SE	S	SW	W	NW		
0,00 - 0,10	0	0	0	0	0	0	0	0	0	0,0
0,10 - 0,20	0	0	0	0	0	8	8	0	16	2,2
0,20 - 0,30	0	0	0	0	0	22	35	1	58	7,8
0,30 - 0,40	0	0	0	0	0	38	39	1	78	10,5
0,40 - 0,50	0	0	0	0	0	77	97	0	174	23,4
0,50 - 0,60	0	0	0	0	0	123	93	0	216	29,0
0,60 - 0,70	0	0	0	0	0	69	46	0	115	15,5
0,70 - 0,80	0	0	0	0	0	18	51	0	69	9,3
0,80 - 0,90	0	0	0	0	0	6	12	0	18	2,4
>0,90	0	0	0	0	0	0	0	0	0	0,0
<b>Total</b>	0	0	0	0	0	361	381	2		
<b>Frequência (%)</b>	0,0	0,0	0,0	0,0	0,0	48,5	51,2	0,3		

**Tabela II.5.1.2-212** - Tabela de ocorrência conjunta de intensidade (vertical) e direção (horizontal) da corrente, com os percentuais marginais (coluna da esquerda e última linha), para o fundeio PETROBRAS BS500, profundidade de 49 m, para o mês de agosto.

Agosto - 49 m										
Intensidade (m/s)	Direção								Total	Frequência (%)
	N	NE	E	SE	S	SW	W	NW		
0,00 - 0,10	0	0	0	0	0	0	0	0	0	0,0
0,10 - 0,20	0	0	0	0	0	9	11	0	20	2,7
0,20 - 0,30	0	0	0	0	0	18	35	2	55	7,4
0,30 - 0,40	0	0	0	0	0	37	36	2	75	10,1
0,40 - 0,50	0	0	0	0	0	73	99	0	172	23,1
0,50 - 0,60	0	0	0	0	0	107	106	0	213	28,6
0,60 - 0,70	0	0	0	0	0	80	52	0	132	17,7
0,70 - 0,80	0	0	0	0	0	17	40	0	57	7,7
0,80 - 0,90	0	0	0	0	0	4	16	0	20	2,7
>0,90	0	0	0	0	0	0	0	0	0	0,0
<b>Total</b>	0	0	0	0	0	345	395	4		
<b>Frequência (%)</b>	0,0	0,0	0,0	0,0	0,0	46,4	53,1	0,5		

**Tabela II.5.1.2-213** - Tabela de ocorrência conjunta de intensidade (vertical) e direção (horizontal) da corrente, com os percentuais marginais (coluna da esquerda e última linha), para o fundeio PETROBRAS BS500, profundidade de 51 m, para o mês de agosto.

Agosto - 51 m											
Intensidade (m/s)	Direção								Total	Frequência (%)	
	N	NE	E	SE	S	SW	W	NW			
0,00 - 0,10	0	0	0	0	0	0	0	0	0	0,0	
0,10 - 0,20	0	0	0	0	0	6	11	0	17	2,3	
0,20 - 0,30	0	0	0	0	0	25	39	3	67	9,0	
0,30 - 0,40	0	0	0	0	0	39	27	1	67	9,0	
0,40 - 0,50	0	0	0	0	0	74	100	0	174	23,4	
0,50 - 0,60	0	0	0	0	0	111	106	0	217	29,2	
0,60 - 0,70	0	0	0	0	0	69	46	0	115	15,5	
0,70 - 0,80	0	0	0	0	0	21	48	0	69	9,3	
0,80 - 0,90	0	0	0	0	0	6	12	0	18	2,4	
>0,90	0	0	0	0	0	0	0	0	0	0,0	
<b>Total</b>	0	0	0	0	0	351	389	4			
<b>Frequência (%)</b>	0,0	0,0	0,0	0,0	0,0	47,2	52,3	0,5			

**Tabela II.5.1.2-214** - Tabela de ocorrência conjunta de intensidade (vertical) e direção (horizontal) da corrente, com os percentuais marginais (coluna da esquerda e última linha), para o fundeio PETROBRAS BS500, profundidade de 55 m, para o mês de agosto.

Agosto - 55 m											
Intensidade (m/s)	Direção								Total	Frequência (%)	
	N	NE	E	SE	S	SW	W	NW			
0,00 - 0,10	0	0	0	0	0	0	0	0	0	0,0	
0,10 - 0,20	0	0	0	0	0	9	9	0	18	2,4	
0,20 - 0,30	0	0	0	0	0	26	38	2	66	8,9	
0,30 - 0,40	0	0	0	0	0	36	31	0	67	9,0	
0,40 - 0,50	0	0	0	0	0	88	101	0	189	25,4	
0,50 - 0,60	0	0	0	0	0	109	102	0	211	28,4	
0,60 - 0,70	0	0	0	0	0	61	50	0	111	14,9	
0,70 - 0,80	0	0	0	0	0	20	41	0	61	8,2	
0,80 - 0,90	0	0	0	0	0	8	13	0	21	2,8	
>0,90	0	0	0	0	0	0	0	0	0	0,0	
<b>Total</b>	0	0	0	0	0	357	385	2			
<b>Frequência (%)</b>	0,0	0,0	0,0	0,0	0,0	48,0	51,8	0,3			

**Tabela II.5.1.2-215** - Tabela de ocorrência conjunta de intensidade (vertical) e direção (horizontal) da corrente, com os percentuais marginais (coluna da esquerda e última linha), para o fundeio PETROBRAS BS500, profundidade de 6 m, para o mês de setembro.

Setembro - 6 m										
Intensidade (m/s)	Direção								Total	Frequência (%)
	N	NE	E	SE	S	SW	W	NW		
0,00 - 0,10	0	0	0	0	0	0	0	0	0	0,0
0,10 - 0,20	0	0	0	0	0	4	8	0	12	1,6
0,20 - 0,30	0	0	0	0	1	20	116	1	138	18,0
0,30 - 0,40	0	0	0	0	2	61	183	0	246	32,2
0,40 - 0,50	0	0	0	0	0	77	160	0	237	31,0
0,50 - 0,60	0	0	0	0	0	55	35	0	90	11,8
0,60 - 0,70	0	0	0	0	0	16	6	0	22	2,9
0,70 - 0,80	0	0	0	0	0	0	0	0	0	0,0
0,80 - 0,90	0	0	0	0	0	0	0	0	0	0,0
>0,90	0	0	0	0	0	0	0	0	0	0,0
<b>Total</b>	0	0	0	0	3	233	508	1		
<b>Frequência (%)</b>	0,0	0,0	0,0	0,0	0,4	30,5	66,4	0,1		

**Tabela II.5.1.2-216** - Tabela de ocorrência conjunta de intensidade (vertical) e direção (horizontal) da corrente, com os percentuais marginais (coluna da esquerda e última linha), para o fundeio PETROBRAS BS500, profundidade de 9 m, para o mês de setembro.

Setembro - 9 m										
Intensidade (m/s)	Direção								Total	Frequência (%)
	N	NE	E	SE	S	SW	W	NW		
0,00 - 0,10	0	0	0	0	0	0	0	0	0	0,0
0,10 - 0,20	0	0	0	0	0	0	1	0	1	0,1
0,20 - 0,30	0	0	0	0	0	3	8	0	11	1,4
0,30 - 0,40	0	0	0	0	2	9	69	0	80	10,5
0,40 - 0,50	0	0	0	0	0	25	105	1	131	17,1
0,50 - 0,60	0	0	0	0	1	45	128	0	174	22,8
0,60 - 0,70	0	0	0	0	0	59	128	0	187	24,4
0,70 - 0,80	0	0	0	0	0	46	69	0	115	15,0
0,80 - 0,90	0	0	0	0	0	32	15	0	47	6,1
>0,90	0	0	0	0	0	12	7	0	19	2,5
<b>Total</b>	0	0	0	0	3	231	530	1		
<b>Frequência (%)</b>	0,0	0,0	0,0	0,0	0,4	30,2	69,3	0,1		

**Tabela II.5.1.2-217** - Tabela de ocorrência conjunta de intensidade (vertical) e direção (horizontal) da corrente, com os percentuais marginais (coluna da esquerda e última linha), para o fundeio PETROBRAS BS500, profundidade de 11 m, para o mês de setembro.

Setembro - 11 m										
Intensidade (m/s)	Direção								Total	Frequência (%)
	N	NE	E	SE	S	SW	W	NW		
0,00 - 0,10	0	0	0	0	0	0	0	0	0	0,0
0,10 - 0,20	0	0	0	0	0	0	1	0	1	0,1
0,20 - 0,30	0	0	0	0	0	4	4	0	8	1,1
0,30 - 0,40	0	0	0	0	1	11	60	0	72	9,4
0,40 - 0,50	0	0	0	0	1	26	106	4	137	17,9
0,50 - 0,60	0	0	0	0	0	44	129	0	173	22,6
0,60 - 0,70	0	0	0	0	0	53	143	0	196	25,6
0,70 - 0,80	0	0	0	0	0	44	66	0	110	14,4
0,80 - 0,90	0	0	0	0	0	29	22	0	51	6,7
>0,90	0	0	0	0	0	12	5	0	17	2,2
<b>Total</b>	0	0	0	0	2	223	536	4		
<b>Frequência (%)</b>	0,0	0,0	0,0	0,0	0,3	29,2	70,1	0,5		

**Tabela II.5.1.2-218** - Tabela de ocorrência conjunta de intensidade (vertical) e direção (horizontal) da corrente, com os percentuais marginais (coluna da esquerda e última linha), para o fundeio PETROBRAS BS500, profundidade de 14 m, para o mês de setembro.

Setembro - 14 m										
Intensidade (m/s)	Direção								Total	Frequência (%)
	N	NE	E	SE	S	SW	W	NW		
0,00 - 0,10	0	0	0	0	0	0	0	0	0	0,0
0,10 - 0,20	0	0	0	0	0	0	1	0	1	0,1
0,20 - 0,30	0	0	0	0	0	1	6	0	7	0,9
0,30 - 0,40	0	0	0	0	0	15	62	2	79	10,3
0,40 - 0,50	0	0	0	0	0	22	108	0	130	17,0
0,50 - 0,60	0	0	0	0	0	45	126	0	171	22,4
0,60 - 0,70	0	0	0	0	0	37	150	0	187	24,4
0,70 - 0,80	0	0	0	0	0	46	81	0	127	16,6
0,80 - 0,90	0	0	0	0	0	24	24	0	48	6,3
>0,90	0	0	0	0	0	10	5	0	15	2,0
<b>Total</b>	0	0	0	0	0	200	563	2		
<b>Frequência (%)</b>	0,0	0,0	0,0	0,0	0,0	26,1	73,6	0,3		

**Tabela II.5.1.2-219** - Tabela de ocorrência conjunta de intensidade (vertical) e direção (horizontal) da corrente, com os percentuais marginais (coluna da esquerda e última linha), para o fundeio PETROBRAS BS500, profundidade de 16 m, para o mês de setembro.

Setembro - 16 m										
Intensidade (m/s)	Direção								Total	Frequência (%)
	N	NE	E	SE	S	SW	W	NW		
0,00 - 0,10	0	0	0	0	0	0	0	0	0	0,0
0,10 - 0,20	0	0	0	0	0	0	1	0	1	0,1
0,20 - 0,30	0	0	0	0	0	0	8	0	8	1,1
0,30 - 0,40	0	0	0	0	0	12	61	4	77	10,1
0,40 - 0,50	0	0	0	0	0	24	101	4	129	16,9
0,50 - 0,60	0	0	0	0	0	35	126	0	161	21,1
0,60 - 0,70	0	0	0	0	0	45	145	0	190	24,8
0,70 - 0,80	0	0	0	0	0	41	81	0	122	16,0
0,80 - 0,90	0	0	0	0	0	33	33	0	66	8,6
>0,90	0	0	0	0	0	6	5	0	11	1,4
<b>Total</b>	0	0	0	0	0	196	561	8		
<b>Frequência (%)</b>	0,0	0,0	0,0	0,0	0,0	25,6	73,3	1,1		

**Tabela II.5.1.2-220** - Tabela de ocorrência conjunta de intensidade (vertical) e direção (horizontal) da corrente, com os percentuais marginais (coluna da esquerda e última linha), para o fundeio PETROBRAS BS500, profundidade de 19 m, para o mês de setembro.

Setembro - 19 m										
Intensidade (m/s)	Direção								Total	Frequência (%)
	N	NE	E	SE	S	SW	W	NW		
0,00 - 0,10	0	0	0	0	0	0	0	0	0	0,0
0,10 - 0,20	0	0	0	0	0	0	1	0	1	0,1
0,20 - 0,30	0	0	0	0	0	0	10	0	10	1,3
0,30 - 0,40	0	0	0	0	0	17	52	4	73	9,5
0,40 - 0,50	0	0	0	0	0	28	95	1	124	16,2
0,50 - 0,60	0	0	0	0	0	33	131	0	164	21,4
0,60 - 0,70	0	0	0	0	0	50	124	0	174	22,8
0,70 - 0,80	0	0	0	0	0	38	91	0	129	16,9
0,80 - 0,90	0	0	0	0	0	32	45	0	77	10,1
>0,90	0	0	0	0	0	7	6	0	13	1,7
<b>Total</b>	0	0	0	0	0	205	555	5		
<b>Frequência (%)</b>	0,0	0,0	0,0	0,0	0,0	26,8	72,6	0,7		



**Tabela II.5.1.2-221** - Tabela de ocorrência conjunta de intensidade (vertical) e direção (horizontal) da corrente, com os percentuais marginais (coluna da esquerda e última linha), para o fundeio PETROBRAS BS500, profundidade de 21 m, para o mês de setembro.

Setembro - 21 m										
Intensidade (m/s)	Direção								Total	Frequência (%)
	N	NE	E	SE	S	SW	W	NW		
0,00 - 0,10	0	0	0	0	0	0	0	0	0	0,0
0,10 - 0,20	0	0	0	0	0	0	1	0	1	0,1
0,20 - 0,30	0	0	0	0	0	0	9	0	9	1,2
0,30 - 0,40	0	0	0	0	0	12	55	4	71	9,3
0,40 - 0,50	0	0	0	0	0	30	93	2	125	16,3
0,50 - 0,60	0	0	0	0	0	34	129	0	163	21,3
0,60 - 0,70	0	0	0	0	0	53	118	0	171	22,4
0,70 - 0,80	0	0	0	0	0	40	86	0	126	16,5
0,80 - 0,90	0	0	0	0	0	30	58	0	88	11,5
>0,90	0	0	0	0	0	8	3	0	11	1,4
<b>Total</b>	0	0	0	0	0	207	552	6		
<b>Frequência (%)</b>	0,0	0,0	0,0	0,0	0,0	27,1	72,2	0,8		

**Tabela II.5.1.2-222** - Tabela de ocorrência conjunta de intensidade (vertical) e direção (horizontal) da corrente, com os percentuais marginais (coluna da esquerda e última linha), para o fundeio PETROBRAS BS500, profundidade de 24 m, para o mês de setembro.

Setembro - 24 m										
Intensidade (m/s)	Direção								Total	Frequência (%)
	N	NE	E	SE	S	SW	W	NW		
0,00 - 0,10	0	0	0	0	0	0	0	0	0	0,0
0,10 - 0,20	0	0	0	0	0	0	1	0	1	0,1
0,20 - 0,30	0	0	0	0	0	1	10	2	13	1,7
0,30 - 0,40	0	0	0	0	0	13	53	4	70	9,2
0,40 - 0,50	0	0	0	0	0	26	105	2	133	17,4
0,50 - 0,60	0	0	0	0	0	27	127	0	154	20,1
0,60 - 0,70	0	0	0	0	0	61	109	0	170	22,2
0,70 - 0,80	0	0	0	0	0	41	82	0	123	16,1
0,80 - 0,90	0	0	0	0	0	28	63	0	91	11,9
>0,90	0	0	0	0	0	9	1	0	10	1,3
<b>Total</b>	0	0	0	0	0	206	551	8		
<b>Frequência (%)</b>	0,0	0,0	0,0	0,0	0,0	26,9	72,0	1,1		

**Tabela II.5.1.2-223** - Tabela de ocorrência conjunta de intensidade (vertical) e direção (horizontal) da corrente, com os percentuais marginais (coluna da esquerda e última linha), para o fundeio PETROBRAS BS500, profundidade de 26 m, para o mês de setembro.

Setembro - 26 m										
Intensidade (m/s)	Direção								Total	Frequência (%)
	N	NE	E	SE	S	SW	W	NW		
0,00 - 0,10	0	0	0	0	0	0	0	0	0	0,0
0,10 - 0,20	0	0	0	0	0	0	0	0	0	0,0
0,20 - 0,30	0	0	0	0	0	1	11	1	13	1,7
0,30 - 0,40	0	0	0	0	0	9	51	7	67	8,8
0,40 - 0,50	0	0	0	0	0	19	83	1	103	13,5
0,50 - 0,60	0	0	0	0	0	29	131	0	160	20,9
0,60 - 0,70	0	0	0	0	0	54	118	0	172	22,5
0,70 - 0,80	0	0	0	0	0	53	84	0	137	17,9
0,80 - 0,90	0	0	0	0	0	40	60	0	100	13,1
>0,90	0	0	0	0	0	6	7	0	13	1,7
<b>Total</b>	0	0	0	0	0	211	545	9		
<b>Frequência (%)</b>	0,0	0,0	0,0	0,0	0,0	27,6	71,2	1,2		

**Tabela II.5.1.2-224** - Tabela de ocorrência conjunta de intensidade (vertical) e direção (horizontal) da corrente, com os percentuais marginais (coluna da esquerda e última linha), para o fundeio PETROBRAS BS500, profundidade de 29 m, para o mês de setembro.

Setembro - 29 m										
Intensidade (m/s)	Direção								Total	Frequência (%)
	N	NE	E	SE	S	SW	W	NW		
0,00 - 0,10	0	0	0	0	0	0	0	0	0	0,0
0,10 - 0,20	0	0	0	0	0	0	0	0	0	0,0
0,20 - 0,30	0	0	0	0	0	3	3	2	8	1,1
0,30 - 0,40	0	0	0	0	0	16	46	7	69	9,0
0,40 - 0,50	0	0	0	0	0	15	84	1	100	13,1
0,50 - 0,60	0	0	0	0	0	26	125	0	151	19,7
0,60 - 0,70	0	0	0	0	0	55	112	0	167	21,8
0,70 - 0,80	0	0	0	0	0	53	87	0	140	18,3
0,80 - 0,90	0	0	0	0	0	43	66	0	109	14,3
>0,90	0	0	0	0	0	8	13	0	21	2,8
<b>Total</b>	0	0	0	0	0	219	536	10		
<b>Frequência (%)</b>	0,0	0,0	0,0	0,0	0,0	28,6	70,1	1,3		

**Tabela II.5.1.2-225** - Tabela de ocorrência conjunta de intensidade (vertical) e direção (horizontal) da corrente, com os percentuais marginais (coluna da esquerda e última linha), para o fundeio PETROBRAS BS500, profundidade de 31 m, para o mês de setembro.

Setembro - 31 m										
Intensidade (m/s)	Direção								Total	Frequência (%)
	N	NE	E	SE	S	SW	W	NW		
0,00 - 0,10	0	0	0	0	0	0	0	0	0	0,0
0,10 - 0,20	0	0	0	0	0	0	0	0	0	0,0
0,20 - 0,30	0	0	0	0	0	5	10	2	17	2,2
0,30 - 0,40	0	0	0	0	0	8	39	5	52	6,8
0,40 - 0,50	0	0	0	0	0	14	82	5	101	13,2
0,50 - 0,60	0	0	0	0	0	26	120	0	146	19,1
0,60 - 0,70	0	0	0	0	0	52	110	0	162	21,2
0,70 - 0,80	0	0	0	0	0	53	96	0	149	19,5
0,80 - 0,90	0	0	0	0	0	53	60	0	113	14,8
>0,90	0	0	0	0	0	7	18	0	25	3,3
<b>Total</b>	0	0	0	0	0	218	535	12		
<b>Frequência (%)</b>	0,0	0,0	0,0	0,0	0,0	28,5	69,9	1,6		

**Tabela II.5.1.2-226** - Tabela de ocorrência conjunta de intensidade (vertical) e direção (horizontal) da corrente, com os percentuais marginais (coluna da esquerda e última linha), para o fundeio PETROBRAS BS500, profundidade de 33 m, para o mês de setembro.

Setembro - 33 m										
Intensidade (m/s)	Direção								Total	Frequência (%)
	N	NE	E	SE	S	SW	W	NW		
0,00 - 0,10	0	0	0	0	0	0	0	0	0	0,0
0,10 - 0,20	0	0	0	0	0	0	0	0	0	0,0
0,20 - 0,30	0	0	0	0	0	2	14	2	18	2,4
0,30 - 0,40	0	0	0	0	0	7	37	9	53	6,9
0,40 - 0,50	0	0	0	0	0	14	79	1	94	12,3
0,50 - 0,60	0	0	0	0	0	27	124	0	151	19,7
0,60 - 0,70	0	0	0	0	0	49	114	0	163	21,3
0,70 - 0,80	0	0	0	0	0	52	85	0	137	17,9
0,80 - 0,90	0	0	0	0	0	60	60	0	120	15,7
>0,90	0	0	0	0	0	8	21	0	29	3,8
<b>Total</b>	0	0	0	0	0	219	534	12		
<b>Frequência (%)</b>	0,0	0,0	0,0	0,0	0,0	28,6	69,8	1,6		

**Tabela II.5.1.2-227** - Tabela de ocorrência conjunta de intensidade (vertical) e direção (horizontal) da corrente, com os percentuais marginais (coluna da esquerda e última linha), para o fundeio PETROBRAS BS500, profundidade de 36 m, para o mês de setembro.

Setembro - 36 m										
Intensidade (m/s)	Direção								Total	Frequência (%)
	N	NE	E	SE	S	SW	W	NW		
0,00 - 0,10	0	0	0	0	0	0	0	0	0	0,0
0,10 - 0,20	0	0	0	0	0	0	0	0	0	0,0
0,20 - 0,30	0	0	0	0	0	5	11	3	19	2,5
0,30 - 0,40	0	0	0	0	0	5	45	6	56	7,3
0,40 - 0,50	0	0	0	0	0	8	67	4	79	10,3
0,50 - 0,60	0	0	0	0	0	31	122	0	153	20,0
0,60 - 0,70	0	0	0	0	0	52	122	0	174	22,8
0,70 - 0,80	0	0	0	0	0	49	76	0	125	16,3
0,80 - 0,90	0	0	0	0	0	64	61	0	125	16,3
>0,90	0	0	0	0	0	9	25	0	34	4,4
<b>Total</b>	0	0	0	0	0	223	529	13		
<b>Frequência (%)</b>	0,0	0,0	0,0	0,0	0,0	29,2	69,2	1,7		

**Tabela II.5.1.2-228** - Tabela de ocorrência conjunta de intensidade (vertical) e direção (horizontal) da corrente, com os percentuais marginais (coluna da esquerda e última linha), para o fundeio PETROBRAS BS500, profundidade de 38 m, para o mês de setembro.

Setembro - 38 m										
Intensidade (m/s)	Direção								Total	Frequência (%)
	N	NE	E	SE	S	SW	W	NW		
0,00 - 0,10	0	0	0	0	0	0	0	0	0	0,0
0,10 - 0,20	0	0	0	0	0	0	0	0	0	0,0
0,20 - 0,30	0	0	0	0	0	4	11	4	19	2,5
0,30 - 0,40	0	0	0	0	0	6	41	6	53	6,9
0,40 - 0,50	0	0	0	0	0	10	64	5	79	10,3
0,50 - 0,60	0	0	0	0	0	25	127	0	152	19,9
0,60 - 0,70	0	0	0	0	0	51	120	0	171	22,4
0,70 - 0,80	0	0	0	0	0	55	74	0	129	16,9
0,80 - 0,90	0	0	0	0	0	59	64	0	123	16,1
>0,90	0	0	0	0	0	12	27	0	39	5,1
<b>Total</b>	0	0	0	0	0	222	528	15		
<b>Frequência (%)</b>	0,0	0,0	0,0	0,0	0,0	29,0	69,0	2,0		

**Tabela II.5.1.2-229** - Tabela de ocorrência conjunta de intensidade (vertical) e direção (horizontal) da corrente, com os percentuais marginais (coluna da esquerda e última linha), para o fundeio PETROBRAS BS500, profundidade de 41 m, para o mês de setembro.

Setembro - 41 m											
Intensidade (m/s)	Direção								Total	Frequência (%)	
	N	NE	E	SE	S	SW	W	NW			
0,00 - 0,10	0	0	0	0	0	0	0	0	0	0,0	
0,10 - 0,20	0	0	0	0	0	0	0	0	0	0,0	
0,20 - 0,30	0	0	0	0	0	4	13	1	18	2,4	
0,30 - 0,40	0	0	0	0	0	8	39	6	53	6,9	
0,40 - 0,50	0	0	0	0	0	7	73	5	85	11,1	
0,50 - 0,60	0	0	0	0	0	22	128	0	150	19,6	
0,60 - 0,70	0	0	0	0	0	44	122	0	166	21,7	
0,70 - 0,80	0	0	0	0	0	54	76	0	130	17,0	
0,80 - 0,90	0	0	0	0	0	49	72	0	121	15,8	
>0,90	0	0	0	0	0	16	26	0	42	5,5	
<b>Total</b>	0	0	0	0	0	204	549	12			
<b>Frequência (%)</b>	0,0	0,0	0,0	0,0	0,0	26,7	71,8	1,6			

**Tabela II.5.1.2-230** - Tabela de ocorrência conjunta de intensidade (vertical) e direção (horizontal) da corrente, com os percentuais marginais (coluna da esquerda e última linha), para o fundeio PETROBRAS BS500, profundidade de 43 m, para o mês de setembro.

Setembro - 43 m											
Intensidade (m/s)	Direção								Total	Frequência (%)	
	N	NE	E	SE	S	SW	W	NW			
0,00 - 0,10	0	0	0	0	0	0	0	0	0	0,0	
0,10 - 0,20	0	0	0	0	0	0	0	0	0	0,0	
0,20 - 0,30	0	0	0	0	0	2	14	4	20	2,6	
0,30 - 0,40	0	0	0	0	0	9	40	6	55	7,2	
0,40 - 0,50	0	0	0	0	0	9	68	4	81	10,6	
0,50 - 0,60	0	0	0	0	0	22	127	0	149	19,5	
0,60 - 0,70	0	0	0	0	0	38	122	0	160	20,9	
0,70 - 0,80	0	0	0	0	0	60	78	0	138	18,0	
0,80 - 0,90	0	0	0	0	0	52	68	0	120	15,7	
>0,90	0	0	0	0	0	13	29	0	42	5,5	
<b>Total</b>	0	0	0	0	0	205	546	14			
<b>Frequência (%)</b>	0,0	0,0	0,0	0,0	0,0	26,8	71,4	1,8			

**Tabela II.5.1.2-231** - Tabela de ocorrência conjunta de intensidade (vertical) e direção (horizontal) da corrente, com os percentuais marginais (coluna da esquerda e última linha), para o fundeio PETROBRAS BS500, profundidade de 46 m, para o mês de setembro.

Setembro - 46 m										
Intensidade (m/s)	Direção								Total	Frequência (%)
	N	NE	E	SE	S	SW	W	NW		
0,00 - 0,10	0	0	0	0	0	0	0	0	0	0,0
0,10 - 0,20	0	0	0	0	0	0	0	0	0	0,0
0,20 - 0,30	0	0	0	0	0	2	15	4	21	2,8
0,30 - 0,40	0	0	0	0	0	4	43	4	51	6,7
0,40 - 0,50	0	0	0	0	0	7	74	3	84	11,0
0,50 - 0,60	0	0	0	0	0	17	130	0	147	19,2
0,60 - 0,70	0	0	0	0	0	47	108	0	155	20,3
0,70 - 0,80	0	0	0	0	0	53	93	0	146	19,1
0,80 - 0,90	0	0	0	0	0	53	60	0	113	14,8
>0,90	0	0	0	0	0	18	30	0	48	6,3
<b>Total</b>	0	0	0	0	0	201	553	11		
<b>Frequência (%)</b>	0,0	0,0	0,0	0,0	0,0	26,3	72,3	1,4		

**Tabela II.5.1.2-232** - Tabela de ocorrência conjunta de intensidade (vertical) e direção (horizontal) da corrente, com os percentuais marginais (coluna da esquerda e última linha), para o fundeio PETROBRAS BS500, profundidade de 49 m, para o mês de setembro.

Setembro - 49 m										
Intensidade (m/s)	Direção								Total	Frequência (%)
	N	NE	E	SE	S	SW	W	NW		
0,00 - 0,10	0	0	0	0	0	0	0	0	0	0,0
0,10 - 0,20	0	0	0	0	0	0	0	0	0	0,0
0,20 - 0,30	0	0	0	0	0	4	14	3	21	2,8
0,30 - 0,40	0	0	0	0	0	8	41	5	54	7,1
0,40 - 0,50	0	0	0	0	0	11	65	7	83	10,9
0,50 - 0,60	0	0	0	0	0	12	132	0	144	18,8
0,60 - 0,70	0	0	0	0	0	45	108	0	153	20,0
0,70 - 0,80	0	0	0	0	0	52	91	0	143	18,7
0,80 - 0,90	0	0	0	0	0	52	65	0	117	15,3
>0,90	0	0	0	0	0	18	32	0	50	6,5
<b>Total</b>	0	0	0	0	0	202	548	15		
<b>Frequência (%)</b>	0,0	0,0	0,0	0,0	0,0	26,4	71,6	2,0		

**Tabela II.5.1.2-233** - Tabela de ocorrência conjunta de intensidade (vertical) e direção (horizontal) da corrente, com os percentuais marginais (coluna da esquerda e última linha), para o fundeio PETROBRAS BS500, profundidade de 51 m, para o mês de setembro.

Setembro - 51 m										
Intensidade (m/s)	Direção								Total	Frequência (%)
	N	NE	E	SE	S	SW	W	NW		
0,00 - 0,10	0	0	0	0	0	0	0	0	0	0,0
0,10 - 0,20	0	0	0	0	0	1	0	0	1	0,1
0,20 - 0,30	0	0	0	0	0	2	13	2	17	2,2
0,30 - 0,40	0	0	0	0	0	6	41	6	53	6,9
0,40 - 0,50	0	0	0	0	0	11	78	3	92	12,0
0,50 - 0,60	0	0	0	0	0	14	127	2	143	18,7
0,60 - 0,70	0	0	0	0	0	31	110	0	141	18,4
0,70 - 0,80	0	0	0	0	0	52	94	1	147	19,2
0,80 - 0,90	0	0	0	0	0	58	70	0	128	16,7
>0,90	0	0	0	0	0	11	32	0	43	5,6
<b>Total</b>	0	0	0	0	0	186	565	14		
<b>Frequência (%)</b>	0,0	0,0	0,0	0,0	0,0	24,3	73,9	1,8		

**Tabela II.5.1.2-234** - Tabela de ocorrência conjunta de intensidade (vertical) e direção (horizontal) da corrente, com os percentuais marginais (coluna da esquerda e última linha), para o fundeio PETROBRAS BS500, profundidade de 55 m, para o mês de setembro.

Setembro - 55 m										
Intensidade (m/s)	Direção								Total	Frequência (%)
	N	NE	E	SE	S	SW	W	NW		
0,00 - 0,10	0	0	0	0	0	0	0	0	0	0,0
0,10 - 0,20	0	0	0	0	0	0	1	0	1	0,1
0,20 - 0,30	0	0	0	0	0	3	16	2	21	2,8
0,30 - 0,40	0	0	0	0	0	8	31	9	48	6,3
0,40 - 0,50	1	0	0	0	0	10	88	4	103	13,5
0,50 - 0,60	0	0	0	0	0	17	129	0	146	19,1
0,60 - 0,70	0	0	0	0	0	29	102	0	131	17,1
0,70 - 0,80	0	0	0	0	0	52	95	0	147	19,2
0,80 - 0,90	0	0	0	0	0	56	63	0	119	15,6
>0,90	0	0	0	0	0	14	35	0	49	6,4
<b>Total</b>	1	0	0	0	0	189	560	15		
<b>Frequência (%)</b>	0,1	0,0	0,0	0,0	0,0	24,7	73,2	2,0		

**Tabela II.5.1.2-235** - Tabela de ocorrência conjunta de intensidade (vertical) e direção (horizontal) da corrente, com os percentuais marginais (coluna da esquerda e última linha), para o fundeio PETROBRAS BS500, profundidade de 6 m, para o mês de outubro.

Outubro - 6 m										
Intensidade (m/s)	Direção								Total	Frequência (%)
	N	NE	E	SE	S	SW	W	NW		
0,00 - 0,10	67	36	23	21	16	17	22	58	260	26,2
0,10 - 0,20	70	18	4	0	12	42	61	109	316	31,9
0,20 - 0,30	7	2	0	0	0	34	89	57	189	19,1
0,30 - 0,40	0	0	0	0	0	33	15	16	64	6,5
0,40 - 0,50	0	0	0	0	0	61	5	0	66	6,7
0,50 - 0,60	0	0	0	0	0	54	6	0	60	6,1
0,60 - 0,70	0	0	0	0	0	12	3	0	15	1,5
0,70 - 0,80	0	0	0	0	0	0	0	0	0	0,0
0,80 - 0,90	0	0	0	0	0	0	0	0	0	0,0
>0,90	0	0	0	0	0	0	0	0	0	0,0
<b>Total</b>	144	56	27	21	28	253	201	240		
<b>Frequência (%)</b>	14,5	5,7	2,7	2,1	2,8	25,5	20,3	24,2		

**Tabela II.5.1.2-236** - Tabela de ocorrência conjunta de intensidade (vertical) e direção (horizontal) da corrente, com os percentuais marginais (coluna da esquerda e última linha), para o fundeio PETROBRAS BS500, profundidade de 9 m, para o mês de outubro.

Outubro - 9 m										
Intensidade (m/s)	Direção								Total	Frequência (%)
	N	NE	E	SE	S	SW	W	NW		
0,00 - 0,10	26	13	18	12	5	9	6	17	106	10,7
0,10 - 0,20	74	37	19	2	14	32	19	89	286	28,8
0,20 - 0,30	35	11	0	0	4	24	56	65	195	19,7
0,30 - 0,40	8	3	0	0	0	31	74	58	174	17,5
0,40 - 0,50	0	0	0	0	0	5	22	21	48	4,8
0,50 - 0,60	0	0	0	0	0	16	11	4	31	3,1
0,60 - 0,70	0	0	0	0	0	33	4	0	37	3,7
0,70 - 0,80	0	0	0	0	0	55	4	0	59	6,0
0,80 - 0,90	0	0	0	0	0	38	3	0	41	4,1
>0,90	0	0	0	0	0	12	3	0	15	1,5
<b>Total</b>	143	64	37	14	23	255	202	254		
<b>Frequência (%)</b>	14,4	6,5	3,7	1,4	2,3	25,7	20,4	25,6		



**Tabela II.5.1.2-237** - Tabela de ocorrência conjunta de intensidade (vertical) e direção (horizontal) da corrente, com os percentuais marginais (coluna da esquerda e última linha), para o fundeio PETROBRAS BS500, profundidade de 11 m, para o mês de outubro.

Outubro - 11 m										
Intensidade (m/s)	Direção								Total	Frequência (%)
	N	NE	E	SE	S	SW	W	NW		
0,00 - 0,10	12	23	18	9	3	16	1	24	106	10,7
0,10 - 0,20	82	38	19	4	13	28	27	77	288	29,0
0,20 - 0,30	36	12	0	0	2	27	46	62	185	18,7
0,30 - 0,40	6	4	0	0	0	28	77	75	190	19,2
0,40 - 0,50	0	0	0	0	0	0	27	14	41	4,1
0,50 - 0,60	0	0	0	0	0	26	8	5	39	3,9
0,60 - 0,70	0	0	0	0	0	22	6	0	28	2,8
0,70 - 0,80	0	0	0	0	0	44	4	0	48	4,8
0,80 - 0,90	0	0	0	0	0	49	1	0	50	5,0
>0,90	0	0	0	0	0	13	4	0	17	1,7
<b>Total</b>	136	77	37	13	18	253	201	257		
<b>Frequência (%)</b>	13,7	7,8	3,7	1,3	1,8	25,5	20,3	25,9		

**Tabela II.5.1.2-238** - Tabela de ocorrência conjunta de intensidade (vertical) e direção (horizontal) da corrente, com os percentuais marginais (coluna da esquerda e última linha), para o fundeio PETROBRAS BS500, profundidade de 14 m, para o mês de outubro.

Outubro - 14 m										
Intensidade (m/s)	Direção								Total	Frequência (%)
	N	NE	E	SE	S	SW	W	NW		
0,00 - 0,10	13	20	11	7	5	15	5	21	97	9,8
0,10 - 0,20	92	42	14	4	11	24	24	75	286	28,8
0,20 - 0,30	33	23	0	0	2	24	43	61	186	18,8
0,30 - 0,40	4	6	0	0	0	24	92	70	196	19,8
0,40 - 0,50	0	0	0	0	0	0	28	16	44	4,4
0,50 - 0,60	0	0	0	0	0	24	9	5	38	3,8
0,60 - 0,70	0	0	0	0	0	26	5	0	31	3,1
0,70 - 0,80	0	0	0	0	0	42	4	0	46	4,6
0,80 - 0,90	0	0	0	0	0	47	2	0	49	4,9
>0,90	0	0	0	0	0	16	3	0	19	1,9
<b>Total</b>	142	91	25	11	18	242	215	248		
<b>Frequência (%)</b>	14,3	9,2	2,5	1,1	1,8	24,4	21,7	25,0		

**Tabela II.5.1.2-239** - Tabela de ocorrência conjunta de intensidade (vertical) e direção (horizontal) da corrente, com os percentuais marginais (coluna da esquerda e última linha), para o fundeio PETROBRAS BS500, profundidade de 16 m, para o mês de outubro.

Outubro - 16 m										
Intensidade (m/s)	Direção								Total	Frequência (%)
	N	NE	E	SE	S	SW	W	NW		
0,00 - 0,10	16	27	8	6	2	8	12	18	97	9,8
0,10 - 0,20	94	38	9	6	14	29	26	73	289	29,1
0,20 - 0,30	42	22	3	1	0	23	34	56	181	18,3
0,30 - 0,40	3	7	0	0	0	24	88	67	189	19,1
0,40 - 0,50	1	0	0	0	0	4	28	20	53	5,3
0,50 - 0,60	0	0	0	0	0	27	11	3	41	4,1
0,60 - 0,70	0	0	0	0	0	20	4	0	24	2,4
0,70 - 0,80	0	0	0	0	0	50	3	0	53	5,3
0,80 - 0,90	0	0	0	0	0	40	4	0	44	4,4
>0,90	0	0	0	0	0	17	4	0	21	2,1
<b>Total</b>	156	94	20	13	16	242	214	237		
<b>Frequência (%)</b>	15,7	9,5	2,0	1,3	1,6	24,4	21,6	23,9		

**Tabela II.5.1.2-240** - Tabela de ocorrência conjunta de intensidade (vertical) e direção (horizontal) da corrente, com os percentuais marginais (coluna da esquerda e última linha), para o fundeio PETROBRAS BS500, profundidade de 19 m, para o mês de outubro.

Outubro - 19 m										
Intensidade (m/s)	Direção								Total	Frequência (%)
	N	NE	E	SE	S	SW	W	NW		
0,00 - 0,10	25	25	7	5	6	9	6	19	102	10,3
0,10 - 0,20	97	33	4	9	8	25	18	75	269	27,1
0,20 - 0,30	45	26	2	0	0	28	41	57	199	20,1
0,30 - 0,40	4	6	0	0	0	25	93	69	197	19,9
0,40 - 0,50	0	0	0	0	0	1	20	21	42	4,2
0,50 - 0,60	0	0	0	0	0	26	12	3	41	4,1
0,60 - 0,70	0	0	0	0	0	23	1	0	24	2,4
0,70 - 0,80	0	0	0	0	0	51	1	0	52	5,2
0,80 - 0,90	0	0	0	0	0	36	5	0	41	4,1
>0,90	0	0	0	0	0	22	3	0	25	2,5
<b>Total</b>	171	90	13	14	14	246	200	244		
<b>Frequência (%)</b>	17,2	9,1	1,3	1,4	1,4	24,8	20,2	24,6		

**Tabela II.5.1.2-241** - Tabela de ocorrência conjunta de intensidade (vertical) e direção (horizontal) da corrente, com os percentuais marginais (coluna da esquerda e última linha), para o fundeio PETROBRAS BS500, profundidade de 21 m, para o mês de outubro.

Outubro - 21 m										
Intensidade (m/s)	Direção								Total	Frequência (%)
	N	NE	E	SE	S	SW	W	NW		
0,00 - 0,10	30	19	3	6	8	6	12	20	104	10,5
0,10 - 0,20	106	35	4	13	3	19	28	65	273	27,5
0,20 - 0,30	46	22	2	0	0	24	38	58	190	19,2
0,30 - 0,40	6	3	0	0	0	19	94	65	187	18,9
0,40 - 0,50	0	4	0	0	0	6	21	28	59	6,0
0,50 - 0,60	0	0	0	0	0	24	12	1	37	3,7
0,60 - 0,70	0	0	0	0	0	28	0	0	28	2,8
0,70 - 0,80	0	0	0	0	0	44	1	0	45	4,5
0,80 - 0,90	0	0	0	0	0	41	3	0	44	4,4
>0,90	0	0	0	0	0	22	3	0	25	2,5
<b>Total</b>	188	83	9	19	11	233	212	237		
<b>Frequência (%)</b>	19,0	8,4	0,9	1,9	1,1	23,5	21,4	23,9		

**Tabela II.5.1.2-242** - Tabela de ocorrência conjunta de intensidade (vertical) e direção (horizontal) da corrente, com os percentuais marginais (coluna da esquerda e última linha), para o fundeio PETROBRAS BS500, profundidade de 24 m, para o mês de outubro.

Outubro - 24 m										
Intensidade (m/s)	Direção								Total	Frequência (%)
	N	NE	E	SE	S	SW	W	NW		
0,00 - 0,10	29	17	1	8	10	10	14	18	107	10,8
0,10 - 0,20	118	37	1	9	3	22	24	73	287	28,9
0,20 - 0,30	45	20	4	0	0	17	41	46	173	17,4
0,30 - 0,40	8	3	0	0	0	21	96	67	195	19,7
0,40 - 0,50	0	4	0	0	0	2	23	23	52	5,2
0,50 - 0,60	0	0	0	0	0	25	8	1	34	3,4
0,60 - 0,70	0	0	0	0	0	36	1	0	37	3,7
0,70 - 0,80	0	0	0	0	0	46	0	0	46	4,6
0,80 - 0,90	0	0	0	0	0	30	4	0	34	3,4
>0,90	0	0	0	0	0	25	2	0	27	2,7
<b>Total</b>	200	81	6	17	13	234	213	228		
<b>Frequência (%)</b>	20,2	8,2	0,6	1,7	1,3	23,6	21,5	23,0		

**Tabela II.5.1.2-243** - Tabela de ocorrência conjunta de intensidade (vertical) e direção (horizontal) da corrente, com os percentuais marginais (coluna da esquerda e última linha), para o fundeio PETROBRAS BS500, profundidade de 26 m, para o mês de outubro.

Outubro - 26 m										
Intensidade (m/s)	Direção								Total	Frequência (%)
	N	NE	E	SE	S	SW	W	NW		
0,00 - 0,10	35	12	6	11	10	6	9	16	105	10,6
0,10 - 0,20	115	44	5	5	2	21	27	67	286	28,8
0,20 - 0,30	41	22	2	0	0	21	51	56	193	19,5
0,30 - 0,40	4	7	0	0	0	19	89	66	185	18,7
0,40 - 0,50	2	4	0	0	0	8	17	21	52	5,2
0,50 - 0,60	0	0	0	0	0	16	9	1	26	2,6
0,60 - 0,70	0	0	0	0	0	36	0	0	36	3,6
0,70 - 0,80	0	0	0	0	0	44	1	0	45	4,5
0,80 - 0,90	0	0	0	0	0	36	1	0	37	3,7
>0,90	0	0	0	0	0	25	2	0	27	2,7
<b>Total</b>	197	89	13	16	12	232	206	227		
<b>Frequência (%)</b>	19,9	9,0	1,3	1,6	1,2	23,4	20,8	22,9		

**Tabela II.5.1.2-244** - Tabela de ocorrência conjunta de intensidade (vertical) e direção (horizontal) da corrente, com os percentuais marginais (coluna da esquerda e última linha), para o fundeio PETROBRAS BS500, profundidade de 29 m, para o mês de outubro.

Outubro - 29 m										
Intensidade (m/s)	Direção								Total	Frequência (%)
	N	NE	E	SE	S	SW	W	NW		
0,00 - 0,10	23	20	8	9	3	9	8	23	103	10,4
0,10 - 0,20	117	41	3	6	1	22	31	63	284	28,6
0,20 - 0,30	39	21	0	0	0	19	56	59	194	19,6
0,30 - 0,40	8	8	0	0	0	19	85	62	182	18,4
0,40 - 0,50	3	2	0	0	0	3	26	18	52	5,2
0,50 - 0,60	0	0	0	0	0	16	12	2	30	3,0
0,60 - 0,70	0	0	0	0	0	30	1	0	31	3,1
0,70 - 0,80	0	0	0	0	0	44	1	0	45	4,5
0,80 - 0,90	0	0	0	0	0	46	4	0	50	5,0
>0,90	0	0	0	0	0	21	0	0	21	2,1
<b>Total</b>	190	92	11	15	4	229	224	227		
<b>Frequência (%)</b>	19,2	9,3	1,1	1,5	0,4	23,1	22,6	22,9		

**Tabela II.5.1.2-245** - Tabela de ocorrência conjunta de intensidade (vertical) e direção (horizontal) da corrente, com os percentuais marginais (coluna da esquerda e última linha), para o fundeio PETROBRAS BS500, profundidade de 31 m, para o mês de outubro.

Outubro - 31 m										
Intensidade (m/s)	Direção								Total	Frequência (%)
	N	NE	E	SE	S	SW	W	NW		
0,00 - 0,10	27	17	8	6	5	5	6	14	88	8,9
0,10 - 0,20	114	35	6	5	1	27	31	71	290	29,2
0,20 - 0,30	44	29	0	0	0	21	58	59	211	21,3
0,30 - 0,40	10	6	0	0	0	14	78	64	172	17,3
0,40 - 0,50	3	2	0	0	0	6	29	17	57	5,8
0,50 - 0,60	0	0	0	0	0	17	9	2	28	2,8
0,60 - 0,70	0	0	0	0	0	27	1	0	28	2,8
0,70 - 0,80	0	0	0	0	0	53	2	0	55	5,5
0,80 - 0,90	0	0	0	0	0	46	2	0	48	4,8
>0,90	0	0	0	0	0	15	0	0	15	1,5
<b>Total</b>	198	89	14	11	6	231	216	227		
<b>Frequência (%)</b>	20,0	9,0	1,4	1,1	0,6	23,3	21,8	22,9		

**Tabela II.5.1.2-246** - Tabela de ocorrência conjunta de intensidade (vertical) e direção (horizontal) da corrente, com os percentuais marginais (coluna da esquerda e última linha), para o fundeio PETROBRAS BS500, profundidade de 33 m, para o mês de outubro.

Outubro - 33 m										
Intensidade (m/s)	Direção								Total	Frequência (%)
	N	NE	E	SE	S	SW	W	NW		
0,00 - 0,10	34	26	15	0	2	3	10	8	98	9,9
0,10 - 0,20	104	37	4	5	2	24	35	69	280	28,2
0,20 - 0,30	46	31	0	0	0	10	60	60	207	20,9
0,30 - 0,40	6	9	0	0	0	21	76	62	174	17,5
0,40 - 0,50	3	1	0	0	0	8	32	17	61	6,2
0,50 - 0,60	0	0	0	0	0	16	8	2	26	2,6
0,60 - 0,70	0	0	0	0	0	26	3	0	29	2,9
0,70 - 0,80	0	0	0	0	0	55	1	0	56	5,7
0,80 - 0,90	0	0	0	0	0	43	4	0	47	4,7
>0,90	0	0	0	0	0	14	0	0	14	1,4
<b>Total</b>	193	104	19	5	4	220	229	218		
<b>Frequência (%)</b>	19,5	10,5	1,9	0,5	0,4	22,2	23,1	22,0		

**Tabela II.5.1.2-247** - Tabela de ocorrência conjunta de intensidade (vertical) e direção (horizontal) da corrente, com os percentuais marginais (coluna da esquerda e última linha), para o fundeio PETROBRAS BS500, profundidade de 36 m, para o mês de outubro.

Outubro - 36 m										
Intensidade (m/s)	Direção								Total	Frequência (%)
	N	NE	E	SE	S	SW	W	NW		
0,00 - 0,10	16	24	11	2	3	8	8	20	92	9,3
0,10 - 0,20	107	42	4	3	2	15	37	78	288	29,0
0,20 - 0,30	41	38	0	0	0	10	53	61	203	20,5
0,30 - 0,40	6	6	0	0	0	14	78	71	175	17,6
0,40 - 0,50	3	1	0	0	0	11	33	20	68	6,9
0,50 - 0,60	0	0	0	0	0	11	5	3	19	1,9
0,60 - 0,70	0	0	0	0	0	30	3	0	33	3,3
0,70 - 0,80	0	0	0	0	0	61	1	0	62	6,3
0,80 - 0,90	0	0	0	0	0	38	3	0	41	4,1
>0,90	0	0	0	0	0	11	0	0	11	1,1
<b>Total</b>	173	111	15	5	5	209	221	253		
<b>Frequência (%)</b>	17,4	11,2	1,5	0,5	0,5	21,1	22,3	25,5		

**Tabela II.5.1.2-248** - Tabela de ocorrência conjunta de intensidade (vertical) e direção (horizontal) da corrente, com os percentuais marginais (coluna da esquerda e última linha), para o fundeio PETROBRAS BS500, profundidade de 38 m, para o mês de outubro.

Outubro - 38 m										
Intensidade (m/s)	Direção								Total	Frequência (%)
	N	NE	E	SE	S	SW	W	NW		
0,00 - 0,10	32	15	10	3	0	8	10	14	92	9,3
0,10 - 0,20	105	40	4	5	2	10	37	78	281	28,3
0,20 - 0,30	45	33	0	0	0	11	61	60	210	21,2
0,30 - 0,40	11	5	0	0	0	19	79	62	176	17,7
0,40 - 0,50	3	0	0	0	0	11	33	18	65	6,6
0,50 - 0,60	0	0	0	0	0	12	6	4	22	2,2
0,60 - 0,70	0	0	0	0	0	33	6	0	39	3,9
0,70 - 0,80	0	0	0	0	0	70	1	0	71	7,2
0,80 - 0,90	0	0	0	0	0	30	2	0	32	3,2
>0,90	0	0	0	0	0	4	0	0	4	0,4
<b>Total</b>	196	93	14	8	2	208	235	236		
<b>Frequência (%)</b>	19,8	9,4	1,4	0,8	0,2	21,0	23,7	23,8		

**Tabela II.5.1.2-249** - Tabela de ocorrência conjunta de intensidade (vertical) e direção (horizontal) da corrente, com os percentuais marginais (coluna da esquerda e última linha), para o fundeio PETROBRAS BS500, profundidade de 41 m, para o mês de outubro.

Outubro - 41 m										
Intensidade (m/s)	Direção								Total	Frequência (%)
	N	NE	E	SE	S	SW	W	NW		
0,00 - 0,10	30	20	5	2	1	6	7	11	82	8,3
0,10 - 0,20	121	34	7	0	0	14	46	71	293	29,5
0,20 - 0,30	47	27	0	0	0	11	53	67	205	20,7
0,30 - 0,40	8	14	0	0	0	15	82	63	182	18,4
0,40 - 0,50	3	0	0	0	0	8	37	15	63	6,4
0,50 - 0,60	0	0	0	0	0	11	7	3	21	2,1
0,60 - 0,70	0	0	0	0	0	51	6	0	57	5,8
0,70 - 0,80	0	0	0	0	0	51	5	0	56	5,7
0,80 - 0,90	0	0	0	0	0	30	2	0	32	3,2
>0,90	0	0	0	0	0	1	0	0	1	0,1
<b>Total</b>	209	95	12	2	1	198	245	230		
<b>Frequência (%)</b>	21,1	9,6	1,2	0,2	0,1	20,0	24,7	23,2		

**Tabela II.5.1.2-250** - Tabela de ocorrência conjunta de intensidade (vertical) e direção (horizontal) da corrente, com os percentuais marginais (coluna da esquerda e última linha), para o fundeio PETROBRAS BS500, profundidade de 43 m, para o mês de outubro.

Outubro - 43 m										
Intensidade (m/s)	Direção								Total	Frequência (%)
	N	NE	E	SE	S	SW	W	NW		
0,00 - 0,10	21	13	3	3	2	2	10	15	69	7,0
0,10 - 0,20	116	54	3	1	0	16	44	71	305	30,8
0,20 - 0,30	41	24	0	0	0	11	47	73	196	19,8
0,30 - 0,40	16	15	0	0	0	22	91	54	198	20,0
0,40 - 0,50	3	0	0	0	0	3	25	22	53	5,3
0,50 - 0,60	0	0	0	0	0	7	9	4	20	2,0
0,60 - 0,70	0	0	0	0	0	66	9	0	75	7,6
0,70 - 0,80	0	0	0	0	0	44	5	0	49	4,9
0,80 - 0,90	0	0	0	0	0	23	2	0	25	2,5
>0,90	0	0	0	0	0	2	0	0	2	0,2
<b>Total</b>	197	106	6	4	2	196	242	239		
<b>Frequência (%)</b>	19,9	10,7	0,6	0,4	0,2	19,8	24,4	24,1		

**Tabela II.5.1.2-251** - Tabela de ocorrência conjunta de intensidade (vertical) e direção (horizontal) da corrente, com os percentuais marginais (coluna da esquerda e última linha), para o fundeio PETROBRAS BS500, profundidade de 46 m, para o mês de outubro.

Outubro - 46 m										
Intensidade (m/s)	Direção								Total	Frequência (%)
	N	NE	E	SE	S	SW	W	NW		
0,00 - 0,10	35	23	2	2	2	2	9	11	86	8,7
0,10 - 0,20	105	41	4	1	0	12	32	83	278	28,0
0,20 - 0,30	43	25	0	0	0	11	58	68	205	20,7
0,30 - 0,40	17	12	0	0	0	19	88	63	199	20,1
0,40 - 0,50	3	0	0	0	0	0	30	20	53	5,3
0,50 - 0,60	0	0	0	0	0	12	9	4	25	2,5
0,60 - 0,70	0	0	0	0	0	76	10	0	86	8,7
0,70 - 0,80	0	0	0	0	0	38	7	0	45	4,5
0,80 - 0,90	0	0	0	0	0	15	0	0	15	1,5
>0,90	0	0	0	0	0	0	0	0	0	0,0
<b>Total</b>	203	101	6	3	2	185	243	249		
<b>Frequência (%)</b>	20,5	10,2	0,6	0,3	0,2	18,7	24,5	25,1		

**Tabela II.5.1.2-252** - Tabela de ocorrência conjunta de intensidade (vertical) e direção (horizontal) da corrente, com os percentuais marginais (coluna da esquerda e última linha), para o fundeio PETROBRAS BS500, profundidade de 49 m, para o mês de outubro.

Outubro - 49 m										
Intensidade (m/s)	Direção								Total	Frequência (%)
	N	NE	E	SE	S	SW	W	NW		
0,00 - 0,10	35	14	1	2	0	1	6	9	68	6,9
0,10 - 0,20	118	37	3	2	0	9	39	76	284	28,6
0,20 - 0,30	43	22	1	0	0	14	55	76	211	21,3
0,30 - 0,40	19	16	0	0	0	20	80	62	197	19,9
0,40 - 0,50	3	0	0	0	0	0	29	26	58	5,9
0,50 - 0,60	0	0	0	0	0	15	13	4	32	3,2
0,60 - 0,70	0	0	0	0	0	66	16	0	82	8,3
0,70 - 0,80	0	0	0	0	0	47	2	0	49	4,9
0,80 - 0,90	0	0	0	0	0	11	0	0	11	1,1
>0,90	0	0	0	0	0	0	0	0	0	0,0
<b>Total</b>	218	89	5	4	0	183	240	253		
<b>Frequência (%)</b>	22,0	9,0	0,5	0,4	0,0	18,5	24,2	25,5		



**Tabela II.5.1.2-253** - Tabela de ocorrência conjunta de intensidade (vertical) e direção (horizontal) da corrente, com os percentuais marginais (coluna da esquerda e última linha), para o fundeio PETROBRAS BS500, profundidade de 51 m, para o mês de outubro.

Outubro - 51 m										
Intensidade (m/s)	Direção								Total	Frequência (%)
	N	NE	E	SE	S	SW	W	NW		
0,00 - 0,10	37	14	0	3	0	4	5	12	75	7,6
0,10 - 0,20	105	36	4	2	0	8	32	72	259	26,1
0,20 - 0,30	56	21	0	0	1	14	73	63	228	23,0
0,30 - 0,40	25	17	0	0	0	9	90	60	201	20,3
0,40 - 0,50	1	0	0	0	0	0	19	27	47	4,7
0,50 - 0,60	0	0	0	0	0	24	19	8	51	5,1
0,60 - 0,70	0	0	0	0	0	77	11	0	88	8,9
0,70 - 0,80	0	0	0	0	0	31	4	0	35	3,5
0,80 - 0,90	0	0	0	0	0	8	0	0	8	0,8
>0,90	0	0	0	0	0	0	0	0	0	0,0
<b>Total</b>	224	88	4	5	1	175	253	242		
<b>Frequência (%)</b>	22,6	8,9	0,4	0,5	0,1	17,6	25,5	24,4		

**Tabela II.5.1.2-254** - Tabela de ocorrência conjunta de intensidade (vertical) e direção (horizontal) da corrente, com os percentuais marginais (coluna da esquerda e última linha), para o fundeio PETROBRAS BS500, profundidade de 55 m, para o mês de outubro.

Outubro - 55 m										
Intensidade (m/s)	Direção								Total	Frequência (%)
	N	NE	E	SE	S	SW	W	NW		
0,00 - 0,10	35	11	6	0	0	2	15	10	79	8,0
0,10 - 0,20	104	34	1	3	0	6	30	75	253	25,5
0,20 - 0,30	55	23	0	1	1	19	66	65	230	23,2
0,30 - 0,40	28	15	0	0	0	14	78	67	202	20,4
0,40 - 0,50	5	0	0	0	0	0	23	21	49	4,9
0,50 - 0,60	0	0	0	0	0	32	14	2	48	4,8
0,60 - 0,70	0	0	0	0	0	76	10	3	89	9,0
0,70 - 0,80	0	0	0	0	0	31	3	2	36	3,6
0,80 - 0,90	0	0	0	0	0	6	0	0	6	0,6
>0,90	0	0	0	0	0	0	0	0	0	0,0
<b>Total</b>	227	83	7	4	1	186	239	245		
<b>Frequência (%)</b>	22,9	8,4	0,7	0,4	0,1	18,8	24,1	24,7		

**Tabela II.5.1.2-255** - Tabela de ocorrência conjunta de intensidade (vertical) e direção (horizontal) da corrente, com os percentuais marginais (coluna da esquerda e última linha), para o fundeio PETROBRAS BS500, profundidade de 6 m, para o mês de novembro.

Novembro - 6 m										
Intensidade (m/s)	Direção								Total	Frequência (%)
	N	NE	E	SE	S	SW	W	NW		
0,00 - 0,10	0	0	0	0	0	0	4	0	4	0,4
0,10 - 0,20	0	0	0	0	0	4	11	6	21	2,2
0,20 - 0,30	0	0	0	0	4	31	23	21	79	8,2
0,30 - 0,40	0	0	0	0	10	118	64	5	197	20,5
0,40 - 0,50	0	0	0	0	3	165	107	0	275	28,7
0,50 - 0,60	0	0	0	0	4	159	72	0	235	24,5
0,60 - 0,70	0	0	0	0	3	95	26	0	124	12,9
0,70 - 0,80	0	0	0	0	0	4	3	0	7	0,7
0,80 - 0,90	0	0	0	0	0	0	0	0	0	0,0
>0,90	0	0	0	0	0	0	0	0	0	0,0
<b>Total</b>	0	0	0	0	24	576	310	32		
<b>Frequência (%)</b>	0,0	0,0	0,0	0,0	2,5	60,0	32,3	3,3		

**Tabela II.5.1.2-256** - Tabela de ocorrência conjunta de intensidade (vertical) e direção (horizontal) da corrente, com os percentuais marginais (coluna da esquerda e última linha), para o fundeio PETROBRAS BS500, profundidade de 9 m, para o mês de novembro.

Novembro - 9 m										
Intensidade (m/s)	Direção								Total	Frequência (%)
	N	NE	E	SE	S	SW	W	NW		
0,00 - 0,10	0	0	0	0	0	0	2	0	2	0,2
0,10 - 0,20	0	0	0	0	0	0	4	1	5	0,5
0,20 - 0,30	0	0	0	0	0	1	6	9	16	1,7
0,30 - 0,40	0	0	0	0	0	13	21	10	44	4,6
0,40 - 0,50	0	0	0	0	4	40	23	11	78	8,1
0,50 - 0,60	0	0	0	0	10	101	44	1	156	16,3
0,60 - 0,70	0	0	0	0	4	101	69	0	174	18,1
0,70 - 0,80	0	0	0	0	2	114	87	0	203	21,2
0,80 - 0,90	0	0	0	0	1	110	44	0	155	16,2
>0,90	0	0	0	0	4	96	27	0	127	13,2
<b>Total</b>	0	0	0	0	25	576	327	32		
<b>Frequência (%)</b>	0,0	0,0	0,0	0,0	2,6	60,0	34,1	3,3		

**Tabela II.5.1.2-257** - Tabela de ocorrência conjunta de intensidade (vertical) e direção (horizontal) da corrente, com os percentuais marginais (coluna da esquerda e última linha), para o fundeio PETROBRAS BS500, profundidade de 11 m, para o mês de novembro.

Novembro - 11 m										
Intensidade (m/s)	Direção								Total	Frequência (%)
	N	NE	E	SE	S	SW	W	NW		
0,00 - 0,10	0	0	0	0	0	0	1	0	1	0,1
0,10 - 0,20	0	0	0	0	0	0	3	4	7	0,7
0,20 - 0,30	0	0	0	0	0	2	10	12	24	2,5
0,30 - 0,40	0	0	0	0	1	8	15	6	30	3,1
0,40 - 0,50	0	0	0	0	1	42	23	10	76	7,9
0,50 - 0,60	0	0	0	0	9	106	43	4	162	16,9
0,60 - 0,70	0	0	0	0	3	98	79	0	180	18,8
0,70 - 0,80	0	0	0	0	1	122	76	0	199	20,7
0,80 - 0,90	0	0	0	0	4	99	62	0	165	17,2
>0,90	0	0	0	0	3	87	26	0	116	12,1
<b>Total</b>	0	0	0	0	22	564	338	36		
<b>Frequência (%)</b>	0,0	0,0	0,0	0,0	2,3	58,8	35,2	3,8		

**Tabela II.5.1.2-258** - Tabela de ocorrência conjunta de intensidade (vertical) e direção (horizontal) da corrente, com os percentuais marginais (coluna da esquerda e última linha), para o fundeio PETROBRAS BS500, profundidade de 14 m, para o mês de novembro.

Novembro - 14 m										
Intensidade (m/s)	Direção								Total	Frequência (%)
	N	NE	E	SE	S	SW	W	NW		
0,00 - 0,10	0	0	0	0	0	0	2	0	2	0,2
0,10 - 0,20	0	0	0	0	0	0	4	4	8	0,8
0,20 - 0,30	0	0	0	0	0	1	9	9	19	2,0
0,30 - 0,40	0	0	0	0	0	11	16	6	33	3,4
0,40 - 0,50	0	0	0	0	2	44	30	8	84	8,8
0,50 - 0,60	0	0	0	0	8	95	41	6	150	15,6
0,60 - 0,70	0	0	0	0	3	98	89	0	190	19,8
0,70 - 0,80	0	0	0	0	0	126	76	0	202	21,0
0,80 - 0,90	0	0	0	0	7	100	66	0	173	18,0
>0,90	0	0	0	0	0	78	21	0	99	10,3
<b>Total</b>	0	0	0	0	20	553	354	33		
<b>Frequência (%)</b>	0,0	0,0	0,0	0,0	2,1	57,6	36,9	3,4		

**Tabela II.5.1.2-259** - Tabela de ocorrência conjunta de intensidade (vertical) e direção (horizontal) da corrente, com os percentuais marginais (coluna da esquerda e última linha), para o fundeio PETROBRAS BS500, profundidade de 16 m, para o mês de novembro.

Novembro - 16 m										
Intensidade (m/s)	Direção								Total	Frequência (%)
	N	NE	E	SE	S	SW	W	NW		
0,00 - 0,10	0	0	0	0	0	0	0	0	0	0,0
0,10 - 0,20	0	0	0	0	0	0	6	6	12	1,3
0,20 - 0,30	1	0	0	0	0	3	12	7	23	2,4
0,30 - 0,40	0	0	0	0	1	11	16	4	32	3,3
0,40 - 0,50	0	0	0	0	4	39	27	7	77	8,0
0,50 - 0,60	0	0	0	0	7	97	47	6	157	16,4
0,60 - 0,70	0	0	0	0	3	92	81	0	176	18,3
0,70 - 0,80	0	0	0	0	2	129	100	0	231	24,1
0,80 - 0,90	0	0	0	0	4	90	57	0	151	15,7
>0,90	0	0	0	0	1	72	28	0	101	10,5
<b>Total</b>	1	0	0	0	22	533	374	30		
<b>Frequência (%)</b>	0,1	0,0	0,0	0,0	2,3	55,5	39,0	3,1		

**Tabela II.5.1.2-260** - Tabela de ocorrência conjunta de intensidade (vertical) e direção (horizontal) da corrente, com os percentuais marginais (coluna da esquerda e última linha), para o fundeio PETROBRAS BS500, profundidade de 19 m, para o mês de novembro.

Novembro - 19 m										
Intensidade (m/s)	Direção								Total	Frequência (%)
	N	NE	E	SE	S	SW	W	NW		
0,00 - 0,10	0	0	0	0	0	0	3	0	3	0,3
0,10 - 0,20	0	0	0	0	0	0	1	7	8	0,8
0,20 - 0,30	0	0	0	0	0	1	11	12	24	2,5
0,30 - 0,40	0	0	0	0	3	8	15	3	29	3,0
0,40 - 0,50	0	0	0	0	7	38	23	8	76	7,9
0,50 - 0,60	0	0	0	0	5	89	52	7	153	15,9
0,60 - 0,70	0	0	0	0	5	109	82	0	196	20,4
0,70 - 0,80	0	0	0	0	4	112	111	0	227	23,7
0,80 - 0,90	0	0	0	0	3	84	57	0	144	15,0
>0,90	0	0	0	0	1	78	21	0	100	10,4
<b>Total</b>	0	0	0	0	28	519	376	37		
<b>Frequência (%)</b>	0,0	0,0	0,0	0,0	2,9	54,1	39,2	3,9		

**Tabela II.5.1.2-261** - Tabela de ocorrência conjunta de intensidade (vertical) e direção (horizontal) da corrente, com os percentuais marginais (coluna da esquerda e última linha), para o fundeio PETROBRAS BS500, profundidade de 21 m, para o mês de novembro.

Novembro - 21 m										
Intensidade (m/s)	Direção								Total	Frequência (%)
	N	NE	E	SE	S	SW	W	NW		
0,00 - 0,10	0	0	0	0	0	0	0	0	0	0,0
0,10 - 0,20	3	0	0	0	0	0	5	8	16	1,7
0,20 - 0,30	2	0	0	0	3	1	12	7	25	2,6
0,30 - 0,40	0	0	0	0	1	11	10	4	26	2,7
0,40 - 0,50	0	0	0	0	7	43	27	12	89	9,3
0,50 - 0,60	0	0	0	0	5	86	52	5	148	15,4
0,60 - 0,70	0	0	0	0	4	109	86	0	199	20,7
0,70 - 0,80	0	0	0	0	1	111	100	0	212	22,1
0,80 - 0,90	0	0	0	0	2	76	73	0	151	15,7
>0,90	0	0	0	0	0	77	17	0	94	9,8
<b>Total</b>	5	0	0	0	23	514	382	36		
<b>Frequência (%)</b>	0,5	0,0	0,0	0,0	2,4	53,5	39,8	3,8		

**Tabela II.5.1.2-262** - Tabela de ocorrência conjunta de intensidade (vertical) e direção (horizontal) da corrente, com os percentuais marginais (coluna da esquerda e última linha), para o fundeio PETROBRAS BS500, profundidade de 24 m, para o mês de novembro.

Novembro - 24 m										
Intensidade (m/s)	Direção								Total	Frequência (%)
	N	NE	E	SE	S	SW	W	NW		
0,00 - 0,10	0	0	0	0	0	0	0	0	0	0,0
0,10 - 0,20	1	0	0	0	0	0	2	16	19	2,0
0,20 - 0,30	2	0	0	0	3	3	13	8	29	3,0
0,30 - 0,40	0	0	0	0	1	13	7	5	26	2,7
0,40 - 0,50	0	0	0	0	12	47	34	14	107	11,2
0,50 - 0,60	0	0	0	0	5	79	43	2	129	13,4
0,60 - 0,70	0	0	0	0	3	109	84	2	198	20,6
0,70 - 0,80	0	0	0	0	2	103	108	0	213	22,2
0,80 - 0,90	0	0	0	0	3	79	78	0	160	16,7
>0,90	0	0	0	0	1	63	15	0	79	8,2
<b>Total</b>	3	0	0	0	30	496	384	47		
<b>Frequência (%)</b>	0,3	0,0	0,0	0,0	3,1	51,7	40,0	4,9		

**Tabela II.5.1.2-263** - Tabela de ocorrência conjunta de intensidade (vertical) e direção (horizontal) da corrente, com os percentuais marginais (coluna da esquerda e última linha), para o fundeio PETROBRAS BS500, profundidade de 26 m, para o mês de novembro.

Novembro - 26 m										
Intensidade (m/s)	Direção								Total	Frequência (%)
	N	NE	E	SE	S	SW	W	NW		
0,00 - 0,10	0	0	0	0	0	0	0	0	0	0,0
0,10 - 0,20	0	0	0	0	0	0	1	16	17	1,8
0,20 - 0,30	2	0	0	0	2	5	12	13	34	3,5
0,30 - 0,40	0	0	0	0	11	25	8	6	50	5,2
0,40 - 0,50	0	0	0	0	5	32	39	14	90	9,4
0,50 - 0,60	0	0	0	0	2	91	37	3	133	13,9
0,60 - 0,70	0	0	0	0	0	91	82	2	175	18,2
0,70 - 0,80	0	0	0	0	4	110	117	0	231	24,1
0,80 - 0,90	0	0	0	0	4	68	75	0	147	15,3
>0,90	0	0	0	0	0	67	16	0	83	8,7
<b>Total</b>	2	0	0	0	28	489	387	54		
<b>Frequência (%)</b>	0,2	0,0	0,0	0,0	2,9	50,9	40,3	5,6		

**Tabela II.5.1.2-264** - Tabela de ocorrência conjunta de intensidade (vertical) e direção (horizontal) da corrente, com os percentuais marginais (coluna da esquerda e última linha), para o fundeio PETROBRAS BS500, profundidade de 29 m, para o mês de novembro.

Novembro - 29 m										
Intensidade (m/s)	Direção								Total	Frequência (%)
	N	NE	E	SE	S	SW	W	NW		
0,00 - 0,10	0	0	0	0	0	0	0	0	0	0,0
0,10 - 0,20	0	0	0	0	0	0	0	7	7	0,7
0,20 - 0,30	1	0	0	0	4	8	16	25	54	5,6
0,30 - 0,40	0	0	0	0	6	26	12	14	58	6,0
0,40 - 0,50	0	0	0	0	5	30	25	6	66	6,9
0,50 - 0,60	0	0	0	0	2	90	48	6	146	15,2
0,60 - 0,70	0	0	0	0	1	92	87	0	180	18,8
0,70 - 0,80	0	0	0	0	2	111	98	0	211	22,0
0,80 - 0,90	0	0	0	0	3	62	85	0	150	15,6
>0,90	0	0	0	0	0	71	17	0	88	9,2
<b>Total</b>	1	0	0	0	23	490	388	58		
<b>Frequência (%)</b>	0,1	0,0	0,0	0,0	2,4	51,0	40,4	6,0		

**Tabela II.5.1.2-265** - Tabela de ocorrência conjunta de intensidade (vertical) e direção (horizontal) da corrente, com os percentuais marginais (coluna da esquerda e última linha), para o fundeio PETROBRAS BS500, profundidade de 31 m, para o mês de novembro.

Novembro - 31 m										
Intensidade (m/s)	Direção								Total	Frequência (%)
	N	NE	E	SE	S	SW	W	NW		
0,00 - 0,10	0	0	0	0	0	0	0	0	0	0,0
0,10 - 0,20	0	0	0	0	0	2	0	11	13	1,4
0,20 - 0,30	1	0	0	0	2	12	19	19	53	5,5
0,30 - 0,40	0	0	0	0	4	24	13	18	59	6,2
0,40 - 0,50	0	0	0	0	4	37	36	7	84	8,8
0,50 - 0,60	0	0	0	0	1	90	48	2	141	14,7
0,60 - 0,70	0	0	0	0	3	82	72	0	157	16,4
0,70 - 0,80	0	0	0	0	1	106	100	0	207	21,6
0,80 - 0,90	0	0	0	0	3	70	93	0	166	17,3
>0,90	0	0	0	0	0	66	14	0	80	8,3
<b>Total</b>	1	0	0	0	18	489	395	57		
<b>Frequência (%)</b>	0,1	0,0	0,0	0,0	1,9	50,9	41,2	5,9		

**Tabela II.5.1.2-266** - Tabela de ocorrência conjunta de intensidade (vertical) e direção (horizontal) da corrente, com os percentuais marginais (coluna da esquerda e última linha), para o fundeio PETROBRAS BS500, profundidade de 33 m, para o mês de novembro.

Novembro - 33 m										
Intensidade (m/s)	Direção								Total	Frequência (%)
	N	NE	E	SE	S	SW	W	NW		
0,00 - 0,10	0	0	0	0	0	0	0	0	0	0,0
0,10 - 0,20	1	0	0	0	0	1	8	9	19	2,0
0,20 - 0,30	2	0	0	0	6	14	14	23	59	6,2
0,30 - 0,40	0	0	0	0	5	16	16	17	54	5,6
0,40 - 0,50	0	0	0	0	5	34	42	7	88	9,2
0,50 - 0,60	0	0	0	0	2	95	48	2	147	15,3
0,60 - 0,70	0	0	0	0	5	73	65	0	143	14,9
0,70 - 0,80	0	0	0	0	2	98	106	0	206	21,5
0,80 - 0,90	0	0	0	0	1	65	82	0	148	15,4
>0,90	0	0	0	0	0	75	21	0	96	10,0
<b>Total</b>	3	0	0	0	26	471	402	58		
<b>Frequência (%)</b>	0,3	0,0	0,0	0,0	2,7	49,1	41,9	6,0		

**Tabela II.5.1.2-267** - Tabela de ocorrência conjunta de intensidade (vertical) e direção (horizontal) da corrente, com os percentuais marginais (coluna da esquerda e última linha), para o fundeio PETROBRAS BS500, profundidade de 36 m, para o mês de novembro.

Novembro - 36 m										
Intensidade (m/s)	Direção								Total	Frequência (%)
	N	NE	E	SE	S	SW	W	NW		
0,00 - 0,10	0	0	0	0	0	0	0	0	0	0,0
0,10 - 0,20	6	0	0	0	1	1	10	8	26	2,7
0,20 - 0,30	0	0	0	0	3	16	13	24	56	5,8
0,30 - 0,40	0	0	0	0	2	15	19	18	54	5,6
0,40 - 0,50	0	0	0	0	6	32	49	5	92	9,6
0,50 - 0,60	0	0	0	0	3	112	51	1	167	17,4
0,60 - 0,70	0	0	0	0	7	63	53	0	123	12,8
0,70 - 0,80	0	0	0	0	0	98	102	0	200	20,8
0,80 - 0,90	0	0	0	0	3	66	87	0	156	16,3
>0,90	0	0	0	0	0	69	17	0	86	9,0
<b>Total</b>	6	0	0	0	25	472	401	56		
<b>Frequência (%)</b>	0,6	0,0	0,0	0,0	2,6	49,2	41,8	5,8		

**Tabela II.5.1.2-268** - Tabela de ocorrência conjunta de intensidade (vertical) e direção (horizontal) da corrente, com os percentuais marginais (coluna da esquerda e última linha), para o fundeio PETROBRAS BS500, profundidade de 38 m, para o mês de novembro.

Novembro - 38 m										
Intensidade (m/s)	Direção								Total	Frequência (%)
	N	NE	E	SE	S	SW	W	NW		
0,00 - 0,10	0	0	0	0	0	0	0	0	0	0,0
0,10 - 0,20	7	0	0	0	3	7	9	8	34	3,5
0,20 - 0,30	0	0	0	0	2	13	17	26	58	6,0
0,30 - 0,40	0	0	0	0	2	16	15	15	48	5,0
0,40 - 0,50	0	0	0	0	3	45	59	4	111	11,6
0,50 - 0,60	0	0	0	0	5	116	43	2	166	17,3
0,60 - 0,70	0	0	0	0	6	60	45	0	111	11,6
0,70 - 0,80	0	0	0	0	1	91	110	0	202	21,0
0,80 - 0,90	0	0	0	0	2	65	87	0	154	16,0
>0,90	0	0	0	0	0	60	16	0	76	7,9
<b>Total</b>	7	0	0	0	24	473	401	55		
<b>Frequência (%)</b>	0,7	0,0	0,0	0,0	2,5	49,3	41,8	5,7		



**Tabela II.5.1.2-269** - Tabela de ocorrência conjunta de intensidade (vertical) e direção (horizontal) da corrente, com os percentuais marginais (coluna da esquerda e última linha), para o fundeio PETROBRAS BS500, profundidade de 41 m, para o mês de novembro.

Novembro - 41 m										
Intensidade (m/s)	Direção								Total	Frequência (%)
	N	NE	E	SE	S	SW	W	NW		
0,00 - 0,10	0	0	0	0	0	2	0	0	2	0,2
0,10 - 0,20	9	0	0	0	4	6	8	11	38	4,0
0,20 - 0,30	0	0	0	0	2	12	16	26	56	5,8
0,30 - 0,40	0	0	0	0	2	18	13	13	46	4,8
0,40 - 0,50	0	0	0	0	7	55	47	5	114	11,9
0,50 - 0,60	0	0	0	0	7	111	60	1	179	18,7
0,60 - 0,70	0	0	0	0	1	59	54	0	114	11,9
0,70 - 0,80	0	0	0	0	2	76	109	0	187	19,5
0,80 - 0,90	0	0	0	0	1	70	84	0	155	16,2
>0,90	0	0	0	0	0	51	18	0	69	7,2
<b>Total</b>	9	0	0	0	26	460	409	56		
<b>Frequência (%)</b>	0,9	0,0	0,0	0,0	2,7	47,9	42,6	5,8		

**Tabela II.5.1.2-270** - Tabela de ocorrência conjunta de intensidade (vertical) e direção (horizontal) da corrente, com os percentuais marginais (coluna da esquerda e última linha), para o fundeio PETROBRAS BS500, profundidade de 43 m, para o mês de novembro.

Novembro - 43 m										
Intensidade (m/s)	Direção								Total	Frequência (%)
	N	NE	E	SE	S	SW	W	NW		
0,00 - 0,10	0	0	0	0	1	2	0	0	3	0,3
0,10 - 0,20	5	0	0	0	4	5	13	16	43	4,5
0,20 - 0,30	3	0	0	0	2	6	16	23	50	5,2
0,30 - 0,40	0	0	0	0	5	14	16	14	49	5,1
0,40 - 0,50	0	0	0	0	9	83	57	6	155	16,2
0,50 - 0,60	0	0	0	0	4	82	55	0	141	14,7
0,60 - 0,70	0	0	0	0	1	73	61	0	135	14,1
0,70 - 0,80	0	0	0	0	0	70	100	0	170	17,7
0,80 - 0,90	0	0	0	0	0	66	82	0	148	15,4
>0,90	0	0	0	0	0	47	19	0	66	6,9
<b>Total</b>	8	0	0	0	26	448	419	59		
<b>Frequência (%)</b>	0,8	0,0	0,0	0,0	2,7	46,7	43,7	6,2		

**Tabela II.5.1.2-271** - Tabela de ocorrência conjunta de intensidade (vertical) e direção (horizontal) da corrente, com os percentuais marginais (coluna da esquerda e última linha), para o fundeio PETROBRAS BS500, profundidade de 46 m, para o mês de novembro.

Novembro - 46 m										
Intensidade (m/s)	Direção								Total	Frequência (%)
	N	NE	E	SE	S	SW	W	NW		
0,00 - 0,10	0	0	0	0	0	1	2	0	3	0,3
0,10 - 0,20	8	0	0	0	3	3	13	20	47	4,9
0,20 - 0,30	1	0	0	0	5	9	14	25	54	5,6
0,30 - 0,40	1	0	0	0	5	17	27	8	58	6,0
0,40 - 0,50	0	0	0	0	8	100	47	6	161	16,8
0,50 - 0,60	0	0	0	0	2	70	45	2	119	12,4
0,60 - 0,70	0	0	0	0	3	79	67	0	149	15,5
0,70 - 0,80	0	0	0	0	0	60	102	0	162	16,9
0,80 - 0,90	0	0	0	0	0	64	88	0	152	15,8
>0,90	0	0	0	0	0	38	17	0	55	5,7
<b>Total</b>	10	0	0	0	26	441	422	61		
<b>Frequência (%)</b>	1,0	0,0	0,0	0,0	2,7	45,9	44,0	6,4		

**Tabela II.5.1.2-272** - Tabela de ocorrência conjunta de intensidade (vertical) e direção (horizontal) da corrente, com os percentuais marginais (coluna da esquerda e última linha), para o fundeio PETROBRAS BS500, profundidade de 49 m, para o mês de novembro.

Novembro - 49 m										
Intensidade (m/s)	Direção								Total	Frequência (%)
	N	NE	E	SE	S	SW	W	NW		
0,00 - 0,10	0	0	0	0	0	1	0	0	1	0,1
0,10 - 0,20	6	0	0	0	5	0	14	22	47	4,9
0,20 - 0,30	5	0	0	0	4	16	13	23	61	6,4
0,30 - 0,40	3	0	0	0	6	17	31	6	63	6,6
0,40 - 0,50	0	0	0	0	7	89	48	8	152	15,8
0,50 - 0,60	0	0	0	0	1	83	48	3	135	14,1
0,60 - 0,70	0	0	0	0	2	78	69	0	149	15,5
0,70 - 0,80	0	0	0	0	0	70	108	0	178	18,5
0,80 - 0,90	0	0	0	0	0	55	75	0	130	13,5
>0,90	0	0	0	0	0	33	11	0	44	4,6
<b>Total</b>	14	0	0	0	25	442	417	62		
<b>Frequência (%)</b>	1,5	0,0	0,0	0,0	2,6	46,0	43,4	6,5		

**Tabela II.5.1.2-273** - Tabela de ocorrência conjunta de intensidade (vertical) e direção (horizontal) da corrente, com os percentuais marginais (coluna da esquerda e última linha), para o fundeio PETROBRAS BS500, profundidade de 51 m, para o mês de novembro.

Novembro - 51 m										
Intensidade (m/s)	Direção								Total	Frequência (%)
	N	NE	E	SE	S	SW	W	NW		
0,00 - 0,10	0	0	0	0	0	0	0	0	0	0,0
0,10 - 0,20	8	0	0	0	3	3	12	22	48	5,0
0,20 - 0,30	6	0	0	0	8	18	11	19	62	6,5
0,30 - 0,40	3	0	0	0	7	34	34	13	91	9,5
0,40 - 0,50	1	0	0	0	7	84	45	12	149	15,5
0,50 - 0,60	0	0	0	0	2	92	41	0	135	14,1
0,60 - 0,70	0	0	0	0	0	61	78	0	139	14,5
0,70 - 0,80	0	0	0	0	0	55	109	0	164	17,1
0,80 - 0,90	0	0	0	0	0	45	73	0	118	12,3
>0,90	0	0	0	0	0	35	19	0	54	5,6
<b>Total</b>	18	0	0	0	27	427	422	66		
<b>Frequência (%)</b>	1,9	0,0	0,0	0,0	2,8	44,5	44,0	6,9		

**Tabela II.5.1.2-274** - Tabela de ocorrência conjunta de intensidade (vertical) e direção (horizontal) da corrente, com os percentuais marginais (coluna da esquerda e última linha), para o fundeio PETROBRAS BS500, profundidade de 55 m, para o mês de novembro.

Novembro - 55 m										
Intensidade (m/s)	Direção								Total	Frequência (%)
	N	NE	E	SE	S	SW	W	NW		
0,00 - 0,10	0	0	0	0	0	0	0	0	0	0,0
0,10 - 0,20	7	0	0	0	3	2	8	26	46	4,8
0,20 - 0,30	4	0	0	0	8	23	15	20	70	7,3
0,30 - 0,40	7	0	0	0	7	48	43	13	118	12,3
0,40 - 0,50	0	0	0	0	8	83	30	9	130	13,5
0,50 - 0,60	0	0	0	0	0	99	48	1	148	15,4
0,60 - 0,70	0	0	0	0	0	71	79	0	150	15,6
0,70 - 0,80	0	0	0	0	0	52	88	0	140	14,6
0,80 - 0,90	0	0	0	0	0	57	70	0	127	13,2
>0,90	0	0	0	0	0	17	14	0	31	3,2
<b>Total</b>	18	0	0	0	26	452	395	69		
<b>Frequência (%)</b>	1,9	0,0	0,0	0,0	2,7	47,1	41,2	7,2		

**Tabela II.5.1.2-275** - Tabela de ocorrência conjunta de intensidade (vertical) e direção (horizontal) da corrente, com os percentuais marginais (coluna da esquerda e última linha), para o fundeio PETROBRAS BS500, profundidade de 6 m, para o mês de dezembro.

Dezembro - 6 m										
Intensidade (m/s)	Direção								Total	Frequência (%)
	N	NE	E	SE	S	SW	W	NW		
0,00 - 0,10	0	0	0	0	0	0	0	0	0	0,0
0,10 - 0,20	0	0	0	0	0	0	3	0	3	0,3
0,20 - 0,30	0	0	0	0	0	4	43	3	50	5,0
0,30 - 0,40	0	0	0	0	0	49	92	3	144	14,5
0,40 - 0,50	0	0	0	0	0	109	253	0	362	36,5
0,50 - 0,60	0	0	0	0	0	72	217	0	289	29,1
0,60 - 0,70	0	0	0	0	0	47	60	0	107	10,8
0,70 - 0,80	0	0	0	0	0	9	9	0	18	1,8
0,80 - 0,90	0	0	0	0	0	0	0	0	0	0,0
>0,90	0	0	0	0	0	0	0	0	0	0,0
<b>Total</b>	0	0	0	0	0	290	677	6		
<b>Frequência (%)</b>	0,0	0,0	0,0	0,0	0,0	29,2	68,3	0,6		

**Tabela II.5.1.2-276** - Tabela de ocorrência conjunta de intensidade (vertical) e direção (horizontal) da corrente, com os percentuais marginais (coluna da esquerda e última linha), para o fundeio PETROBRAS BS500, profundidade de 9 m, para o mês de dezembro.

Dezembro - 9 m										
Intensidade (m/s)	Direção								Total	Frequência (%)
	N	NE	E	SE	S	SW	W	NW		
0,00 - 0,10	0	0	0	0	0	0	0	0	0	0,0
0,10 - 0,20	0	0	0	0	0	0	0	0	0	0,0
0,20 - 0,30	0	0	0	0	0	0	2	0	2	0,2
0,30 - 0,40	0	0	0	0	0	0	20	2	22	2,2
0,40 - 0,50	0	0	0	0	0	13	47	5	65	6,6
0,50 - 0,60	0	0	0	0	0	41	68	2	111	11,2
0,60 - 0,70	0	0	0	0	0	76	155	0	231	23,3
0,70 - 0,80	0	0	0	0	0	83	177	0	260	26,2
0,80 - 0,90	0	0	0	0	0	36	127	0	163	16,4
>0,90	0	0	0	0	0	50	85	0	135	13,6
<b>Total</b>	0	0	0	0	0	299	681	9		
<b>Frequência (%)</b>	0,0	0,0	0,0	0,0	0,0	30,1	68,7	0,9		

**Tabela II.5.1.2-277** - Tabela de ocorrência conjunta de intensidade (vertical) e direção (horizontal) da corrente, com os percentuais marginais (coluna da esquerda e última linha), para o fundeio PETROBRAS BS500, profundidade de 11 m, para o mês de dezembro.

Dezembro - 11 m											
Intensidade (m/s)	Direção								Total	Frequência (%)	
	N	NE	E	SE	S	SW	W	NW			
0,00 - 0,10	0	0	0	0	0	0	0	0	0	0,0	
0,10 - 0,20	0	0	0	0	0	0	0	0	0	0,0	
0,20 - 0,30	0	0	0	0	0	0	0	0	0	0,0	
0,30 - 0,40	0	0	0	0	0	0	19	0	19	1,9	
0,40 - 0,50	0	0	0	0	0	10	53	4	67	6,8	
0,50 - 0,60	0	0	0	0	0	42	68	5	115	11,6	
0,60 - 0,70	0	0	0	0	0	74	149	0	223	22,5	
0,70 - 0,80	0	0	0	0	0	72	194	0	266	26,8	
0,80 - 0,90	0	0	0	0	0	45	124	0	169	17,0	
>0,90	0	0	0	0	0	49	81	0	130	13,1	
<b>Total</b>	0	0	0	0	0	292	688	9			
<b>Frequência (%)</b>	0,0	0,0	0,0	0,0	0,0	29,4	69,4	0,9			

**Tabela II.5.1.2-278** - Tabela de ocorrência conjunta de intensidade (vertical) e direção (horizontal) da corrente, com os percentuais marginais (coluna da esquerda e última linha), para o fundeio PETROBRAS BS500, profundidade de 14 m, para o mês de dezembro.

Dezembro - 14 m											
Intensidade (m/s)	Direção								Total	Frequência (%)	
	N	NE	E	SE	S	SW	W	NW			
0,00 - 0,10	0	0	0	0	0	0	0	0	0	0,0	
0,10 - 0,20	0	0	0	0	0	0	0	0	0	0,0	
0,20 - 0,30	0	0	0	0	0	0	0	0	0	0,0	
0,30 - 0,40	0	0	0	0	0	0	18	0	18	1,8	
0,40 - 0,50	0	0	0	0	0	5	53	2	60	6,1	
0,50 - 0,60	0	0	0	0	0	51	77	4	132	13,3	
0,60 - 0,70	0	0	0	0	0	78	138	0	216	21,8	
0,70 - 0,80	0	0	0	0	0	70	201	0	271	27,3	
0,80 - 0,90	0	0	0	0	0	34	119	0	153	15,4	
>0,90	0	0	0	0	0	51	88	0	139	14,0	
<b>Total</b>	0	0	0	0	0	289	694	6			
<b>Frequência (%)</b>	0,0	0,0	0,0	0,0	0,0	29,1	70,0	0,6			

**Tabela II.5.1.2-279** - Tabela de ocorrência conjunta de intensidade (vertical) e direção (horizontal) da corrente, com os percentuais marginais (coluna da esquerda e última linha), para o fundeio PETROBRAS BS500, profundidade de 16 m, para o mês de dezembro.

Dezembro - 16 m										
Intensidade (m/s)	Direção								Total	Frequência (%)
	N	NE	E	SE	S	SW	W	NW		
0,00 - 0,10	0	0	0	0	0	0	0	0	0	0,0
0,10 - 0,20	0	0	0	0	0	0	0	0	0	0,0
0,20 - 0,30	0	0	0	0	0	0	3	0	3	0,3
0,30 - 0,40	0	0	0	0	0	0	13	0	13	1,3
0,40 - 0,50	0	0	0	0	0	6	50	0	56	5,7
0,50 - 0,60	0	0	0	0	0	43	82	4	129	13,0
0,60 - 0,70	0	0	0	0	0	68	159	0	227	22,9
0,70 - 0,80	0	0	0	0	0	84	200	0	284	28,6
0,80 - 0,90	0	0	0	0	0	32	117	0	149	15,0
>0,90	0	0	0	0	0	42	86	0	128	12,9
<b>Total</b>	0	0	0	0	0	275	710	4		
<b>Frequência (%)</b>	0,0	0,0	0,0	0,0	0,0	27,7	71,6	0,4		

**Tabela II.5.1.2-280** - Tabela de ocorrência conjunta de intensidade (vertical) e direção (horizontal) da corrente, com os percentuais marginais (coluna da esquerda e última linha), para o fundeio PETROBRAS BS500, profundidade de 19 m, para o mês de dezembro.

Dezembro - 19 m										
Intensidade (m/s)	Direção								Total	Frequência (%)
	N	NE	E	SE	S	SW	W	NW		
0,00 - 0,10	0	0	0	0	0	0	0	0	0	0,0
0,10 - 0,20	0	0	0	0	0	0	0	0	0	0,0
0,20 - 0,30	0	0	0	0	0	0	0	0	0	0,0
0,30 - 0,40	0	0	0	0	0	0	15	1	16	1,6
0,40 - 0,50	0	0	0	0	0	8	47	1	56	5,7
0,50 - 0,60	0	0	0	0	0	34	84	4	122	12,3
0,60 - 0,70	0	0	0	0	0	81	173	0	254	25,6
0,70 - 0,80	0	0	0	0	0	69	186	0	255	25,7
0,80 - 0,90	0	0	0	0	0	38	120	0	158	15,9
>0,90	0	0	0	0	0	43	85	0	128	12,9
<b>Total</b>	0	0	0	0	0	273	710	6		
<b>Frequência (%)</b>	0,0	0,0	0,0	0,0	0,0	27,5	71,6	0,6		

**Tabela II.5.1.2-281** - Tabela de ocorrência conjunta de intensidade (vertical) e direção (horizontal) da corrente, com os percentuais marginais (coluna da esquerda e última linha), para o fundeio PETROBRAS BS500, profundidade de 21 m, para o mês de dezembro.

Dezembro - 21 m										
Intensidade (m/s)	Direção								Total	Frequência (%)
	N	NE	E	SE	S	SW	W	NW		
0,00 - 0,10	0	0	0	0	0	0	0	0	0	0,0
0,10 - 0,20	0	0	0	0	0	0	0	0	0	0,0
0,20 - 0,30	0	0	0	0	0	0	0	0	0	0,0
0,30 - 0,40	0	0	0	0	0	0	16	0	16	1,6
0,40 - 0,50	0	0	0	0	0	9	48	0	57	5,8
0,50 - 0,60	0	0	0	0	0	35	86	6	127	12,8
0,60 - 0,70	0	0	0	0	0	73	166	0	239	24,1
0,70 - 0,80	0	0	0	0	0	84	189	0	273	27,5
0,80 - 0,90	0	0	0	0	0	33	115	0	148	14,9
>0,90	0	0	0	0	0	47	82	0	129	13,0
<b>Total</b>	0	0	0	0	0	281	702	6		
<b>Frequência (%)</b>	0,0	0,0	0,0	0,0	0,0	28,3	70,8	0,6		

**Tabela II.5.1.2-282** - Tabela de ocorrência conjunta de intensidade (vertical) e direção (horizontal) da corrente, com os percentuais marginais (coluna da esquerda e última linha), para o fundeio PETROBRAS BS500, profundidade de 24 m, para o mês de dezembro.

Dezembro - 24 m										
Intensidade (m/s)	Direção								Total	Frequência (%)
	N	NE	E	SE	S	SW	W	NW		
0,00 - 0,10	0	0	0	0	0	0	0	0	0	0,0
0,10 - 0,20	0	0	0	0	0	0	0	0	0	0,0
0,20 - 0,30	0	0	0	0	0	0	0	0	0	0,0
0,30 - 0,40	0	0	0	0	0	0	16	0	16	1,6
0,40 - 0,50	0	0	0	0	0	6	50	1	57	5,8
0,50 - 0,60	0	0	0	0	0	41	99	2	142	14,3
0,60 - 0,70	0	0	0	0	0	85	159	0	244	24,6
0,70 - 0,80	0	0	0	0	0	76	177	0	253	25,5
0,80 - 0,90	0	0	0	0	0	42	115	0	157	15,8
>0,90	0	0	0	0	0	30	90	0	120	12,1
<b>Total</b>	0	0	0	0	0	280	706	3		
<b>Frequência (%)</b>	0,0	0,0	0,0	0,0	0,0	28,2	71,2	0,3		

**Tabela II.5.1.2-283** - Tabela de ocorrência conjunta de intensidade (vertical) e direção (horizontal) da corrente, com os percentuais marginais (coluna da esquerda e última linha), para o fundeio PETROBRAS BS500, profundidade de 26 m, para o mês de dezembro.

Dezembro - 26 m										
Intensidade (m/s)	Direção								Total	Frequência (%)
	N	NE	E	SE	S	SW	W	NW		
0,00 - 0,10	0	0	0	0	0	0	0	0	0	0,0
0,10 - 0,20	0	0	0	0	0	0	0	0	0	0,0
0,20 - 0,30	0	0	0	0	0	0	0	0	0	0,0
0,30 - 0,40	0	0	0	0	0	0	12	1	13	1,3
0,40 - 0,50	0	0	0	0	0	5	46	1	52	5,2
0,50 - 0,60	0	0	0	0	0	44	108	5	157	15,8
0,60 - 0,70	0	0	0	0	0	89	158	0	247	24,9
0,70 - 0,80	0	0	0	0	0	73	162	0	235	23,7
0,80 - 0,90	0	0	0	0	0	45	131	0	176	17,7
>0,90	0	0	0	0	0	27	82	0	109	11,0
<b>Total</b>	0	0	0	0	0	283	699	7		
<b>Frequência (%)</b>	0,0	0,0	0,0	0,0	0,0	28,5	70,5	0,7		

**Tabela II.5.1.2-284** - Tabela de ocorrência conjunta de intensidade (vertical) e direção (horizontal) da corrente, com os percentuais marginais (coluna da esquerda e última linha), para o fundeio PETROBRAS BS500, profundidade de 29 m, para o mês de dezembro.

Dezembro - 29 m										
Intensidade (m/s)	Direção								Total	Frequência (%)
	N	NE	E	SE	S	SW	W	NW		
0,00 - 0,10	0	0	0	0	0	0	0	0	0	0,0
0,10 - 0,20	0	0	0	0	0	0	0	0	0	0,0
0,20 - 0,30	0	0	0	0	0	0	0	0	0	0,0
0,30 - 0,40	0	0	0	0	0	0	14	0	14	1,4
0,40 - 0,50	0	0	0	0	0	7	52	0	59	6,0
0,50 - 0,60	0	0	0	0	0	45	93	5	143	14,4
0,60 - 0,70	0	0	0	0	0	78	156	0	234	23,6
0,70 - 0,80	0	0	0	0	0	80	171	0	251	25,3
0,80 - 0,90	0	0	0	0	0	33	124	0	157	15,8
>0,90	0	0	0	0	0	32	99	0	131	13,2
<b>Total</b>	0	0	0	0	0	275	709	5		
<b>Frequência (%)</b>	0,0	0,0	0,0	0,0	0,0	27,7	71,5	0,5		



**Tabela II.5.1.2-285** - Tabela de ocorrência conjunta de intensidade (vertical) e direção (horizontal) da corrente, com os percentuais marginais (coluna da esquerda e última linha), para o fundeio PETROBRAS BS500, profundidade de 31 m, para o mês de dezembro.

Dezembro - 31 m											
Intensidade (m/s)	Direção								Total	Frequência (%)	
	N	NE	E	SE	S	SW	W	NW			
0,00 - 0,10	0	0	0	0	0	0	0	0	0	0,0	
0,10 - 0,20	0	0	0	0	0	0	0	0	0	0,0	
0,20 - 0,30	0	0	0	0	0	0	2	0	2	0,2	
0,30 - 0,40	0	0	0	0	0	0	11	1	12	1,2	
0,40 - 0,50	0	0	0	0	0	8	51	1	60	6,1	
0,50 - 0,60	0	0	0	0	0	48	103	4	155	15,6	
0,60 - 0,70	0	0	0	0	0	79	141	0	220	22,2	
0,70 - 0,80	0	0	0	0	0	87	160	0	247	24,9	
0,80 - 0,90	0	0	0	0	0	34	126	0	160	16,1	
>0,90	0	0	0	0	0	27	106	0	133	13,4	
<b>Total</b>	0	0	0	0	0	283	700	6			
<b>Frequência (%)</b>	0,0	0,0	0,0	0,0	0,0	28,5	70,6	0,6			

**Tabela II.5.1.2-286** - Tabela de ocorrência conjunta de intensidade (vertical) e direção (horizontal) da corrente, com os percentuais marginais (coluna da esquerda e última linha), para o fundeio PETROBRAS BS500, profundidade de 33 m, para o mês de dezembro.

Dezembro - 33 m											
Intensidade (m/s)	Direção								Total	Frequência (%)	
	N	NE	E	SE	S	SW	W	NW			
0,00 - 0,10	0	0	0	0	0	0	0	0	0	0,0	
0,10 - 0,20	0	0	0	0	0	0	0	0	0	0,0	
0,20 - 0,30	0	0	0	0	0	0	0	0	0	0,0	
0,30 - 0,40	0	0	0	0	0	0	15	0	15	1,5	
0,40 - 0,50	0	0	0	0	0	4	52	3	59	6,0	
0,50 - 0,60	0	0	0	0	0	57	88	0	145	14,6	
0,60 - 0,70	0	0	0	0	0	78	170	0	248	25,0	
0,70 - 0,80	0	0	0	0	0	80	148	0	228	23,0	
0,80 - 0,90	0	0	0	0	0	23	123	0	146	14,7	
>0,90	0	0	0	0	0	27	121	0	148	14,9	
<b>Total</b>	0	0	0	0	0	269	717	3			
<b>Frequência (%)</b>	0,0	0,0	0,0	0,0	0,0	27,1	72,3	0,3			

**Tabela II.5.1.2-287** - Tabela de ocorrência conjunta de intensidade (vertical) e direção (horizontal) da corrente, com os percentuais marginais (coluna da esquerda e última linha), para o fundeio PETROBRAS BS500, profundidade de 36 m, para o mês de dezembro.

Dezembro - 36 m										
Intensidade (m/s)	Direção								Total	Frequência (%)
	N	NE	E	SE	S	SW	W	NW		
0,00 - 0,10	0	0	0	0	0	0	0	0	0	0,0
0,10 - 0,20	0	0	0	0	0	0	0	0	0	0,0
0,20 - 0,30	0	0	0	0	0	0	1	0	1	0,1
0,30 - 0,40	0	0	0	0	0	2	14	0	16	1,6
0,40 - 0,50	0	0	0	0	0	6	43	1	50	5,0
0,50 - 0,60	0	0	0	0	0	56	98	0	154	15,5
0,60 - 0,70	0	0	0	0	0	97	167	0	264	26,6
0,70 - 0,80	0	0	0	0	0	67	130	0	197	19,9
0,80 - 0,90	0	0	0	0	0	24	141	0	165	16,6
>0,90	0	0	0	0	0	23	119	0	142	14,3
<b>Total</b>	0	0	0	0	0	275	713	1		
<b>Frequência (%)</b>	0,0	0,0	0,0	0,0	0,0	27,7	71,9	0,1		

**Tabela II.5.1.2-288** - Tabela de ocorrência conjunta de intensidade (vertical) e direção (horizontal) da corrente, com os percentuais marginais (coluna da esquerda e última linha), para o fundeio PETROBRAS BS500, profundidade de 38 m, para o mês de dezembro.

Dezembro - 38 m										
Intensidade (m/s)	Direção								Total	Frequência (%)
	N	NE	E	SE	S	SW	W	NW		
0,00 - 0,10	0	0	0	0	0	0	0	0	0	0,0
0,10 - 0,20	0	0	0	0	0	0	0	0	0	0,0
0,20 - 0,30	0	0	0	0	0	0	2	0	2	0,2
0,30 - 0,40	0	0	0	0	0	2	17	0	19	1,9
0,40 - 0,50	0	0	0	0	0	7	43	0	50	5,0
0,50 - 0,60	0	0	0	0	0	55	81	0	136	13,7
0,60 - 0,70	0	0	0	0	0	128	181	0	309	31,2
0,70 - 0,80	0	0	0	0	0	45	124	0	169	17,0
0,80 - 0,90	0	0	0	0	0	22	139	0	161	16,2
>0,90	0	0	0	0	0	24	119	0	143	14,4
<b>Total</b>	0	0	0	0	0	283	706	0		
<b>Frequência (%)</b>	0,0	0,0	0,0	0,0	0,0	28,5	71,2	0,0		

**Tabela II.5.1.2-289** - Tabela de ocorrência conjunta de intensidade (vertical) e direção (horizontal) da corrente, com os percentuais marginais (coluna da esquerda e última linha), para o fundeio PETROBRAS BS500, profundidade de 41 m, para o mês de dezembro.

Dezembro - 41 m										
Intensidade (m/s)	Direção								Total	Frequência (%)
	N	NE	E	SE	S	SW	W	NW		
0,00 - 0,10	0	0	0	0	0	0	0	0	0	0,0
0,10 - 0,20	0	0	0	0	0	0	0	0	0	0,0
0,20 - 0,30	0	0	0	0	0	0	1	0	1	0,1
0,30 - 0,40	0	0	0	0	0	0	20	0	20	2,0
0,40 - 0,50	0	0	0	0	0	6	42	0	48	4,8
0,50 - 0,60	0	0	0	0	0	59	82	0	141	14,2
0,60 - 0,70	0	0	0	0	0	120	202	0	322	32,5
0,70 - 0,80	0	0	0	0	0	35	111	0	146	14,7
0,80 - 0,90	0	0	0	0	0	23	148	0	171	17,2
>0,90	0	0	0	0	0	22	118	0	140	14,1
<b>Total</b>	0	0	0	0	0	265	724	0		
<b>Frequência (%)</b>	0,0	0,0	0,0	0,0	0,0	26,7	73,0	0,0		

**Tabela II.5.1.2-290** - Tabela de ocorrência conjunta de intensidade (vertical) e direção (horizontal) da corrente, com os percentuais marginais (coluna da esquerda e última linha), para o fundeio PETROBRAS BS500, profundidade de 43 m, para o mês de dezembro.

Dezembro - 43 m										
Intensidade (m/s)	Direção								Total	Frequência (%)
	N	NE	E	SE	S	SW	W	NW		
0,00 - 0,10	0	0	0	0	0	0	0	0	0	0,0
0,10 - 0,20	0	0	0	0	0	0	0	0	0	0,0
0,20 - 0,30	0	0	0	0	0	0	0	1	1	0,1
0,30 - 0,40	0	0	0	0	0	2	20	0	22	2,2
0,40 - 0,50	0	0	0	0	0	9	45	0	54	5,4
0,50 - 0,60	0	0	0	0	0	69	83	0	152	15,3
0,60 - 0,70	0	0	0	0	0	108	194	0	302	30,4
0,70 - 0,80	0	0	0	0	0	29	121	0	150	15,1
0,80 - 0,90	0	0	0	0	0	25	140	0	165	16,6
>0,90	0	0	0	0	0	20	123	0	143	14,4
<b>Total</b>	0	0	0	0	0	262	726	1		
<b>Frequência (%)</b>	0,0	0,0	0,0	0,0	0,0	26,4	73,2	0,1		

**Tabela II.5.1.2-291** - Tabela de ocorrência conjunta de intensidade (vertical) e direção (horizontal) da corrente, com os percentuais marginais (coluna da esquerda e última linha), para o fundeio PETROBRAS BS500, profundidade de 46 m, para o mês de dezembro.

Dezembro - 46 m										
Intensidade (m/s)	Direção								Total	Frequência (%)
	N	NE	E	SE	S	SW	W	NW		
0,00 - 0,10	0	0	0	0	0	0	0	0	0	0,0
0,10 - 0,20	0	0	0	0	0	0	0	0	0	0,0
0,20 - 0,30	0	0	0	0	0	0	2	0	2	0,2
0,30 - 0,40	0	0	0	0	0	3	21	1	25	2,5
0,40 - 0,50	0	0	0	0	0	15	36	0	51	5,1
0,50 - 0,60	0	0	0	0	0	66	85	0	151	15,2
0,60 - 0,70	0	0	0	0	0	109	203	0	312	31,5
0,70 - 0,80	0	0	0	0	0	26	132	0	158	15,9
0,80 - 0,90	0	0	0	0	0	25	130	0	155	15,6
>0,90	0	0	0	0	0	18	117	0	135	13,6
<b>Total</b>	0	0	0	0	0	262	726	1		
<b>Frequência (%)</b>	0,0	0,0	0,0	0,0	0,0	26,4	73,2	0,1		

**Tabela II.5.1.2-292** - Tabela de ocorrência conjunta de intensidade (vertical) e direção (horizontal) da corrente, com os percentuais marginais (coluna da esquerda e última linha), para o fundeio PETROBRAS BS500, profundidade de 49 m, para o mês de dezembro.

Dezembro - 49 m										
Intensidade (m/s)	Direção								Total	Frequência (%)
	N	NE	E	SE	S	SW	W	NW		
0,00 - 0,10	0	0	0	0	0	0	0	0	0	0,0
0,10 - 0,20	0	0	0	0	0	0	0	0	0	0,0
0,20 - 0,30	0	0	0	0	0	0	2	0	2	0,2
0,30 - 0,40	0	0	0	0	0	2	24	1	27	2,7
0,40 - 0,50	0	0	0	0	0	17	40	0	57	5,8
0,50 - 0,60	0	0	0	0	0	65	80	0	145	14,6
0,60 - 0,70	0	0	0	0	0	102	200	0	302	30,4
0,70 - 0,80	0	0	0	0	0	40	150	0	190	19,2
0,80 - 0,90	0	0	0	0	0	24	116	0	140	14,1
>0,90	0	0	0	0	0	17	109	0	126	12,7
<b>Total</b>	0	0	0	0	0	267	721	1		
<b>Frequência (%)</b>	0,0	0,0	0,0	0,0	0,0	26,9	72,7	0,1		

**Tabela II.5.1.2-293** - Tabela de ocorrência conjunta de intensidade (vertical) e direção (horizontal) da corrente, com os percentuais marginais (coluna da esquerda e última linha), para o fundeio PETROBRAS BS500, profundidade de 51 m, para o mês de dezembro.

Dezembro - 51 m										
Intensidade (m/s)	Direção								Total	Frequência (%)
	N	NE	E	SE	S	SW	W	NW		
0,00 - 0,10	0	0	0	0	0	0	0	0	0	0,0
0,10 - 0,20	0	0	0	0	0	0	0	0	0	0,0
0,20 - 0,30	0	0	0	0	0	0	2	0	2	0,2
0,30 - 0,40	0	0	0	0	0	4	25	1	30	3,0
0,40 - 0,50	0	0	0	0	0	13	37	1	51	5,1
0,50 - 0,60	0	0	0	0	0	68	103	3	174	17,5
0,60 - 0,70	0	0	0	0	0	84	203	2	289	29,1
0,70 - 0,80	0	0	0	0	0	37	151	0	188	19,0
0,80 - 0,90	0	0	0	0	0	28	112	0	140	14,1
>0,90	0	0	0	0	0	16	99	0	115	11,6
<b>Total</b>	0	0	0	0	0	250	732	7		
<b>Frequência (%)</b>	0,0	0,0	0,0	0,0	0,0	25,2	73,8	0,7		

**Tabela II.5.1.2-294** - Tabela de ocorrência conjunta de intensidade (vertical) e direção (horizontal) da corrente, com os percentuais marginais (coluna da esquerda e última linha), para o fundeio PETROBRAS BS500, profundidade de 55 m, para o mês de dezembro.

Dezembro - 55 m										
Intensidade (m/s)	Direção								Total	Frequência (%)
	N	NE	E	SE	S	SW	W	NW		
0,00 - 0,10	0	0	0	0	0	0	0	0	0	0,0
0,10 - 0,20	0	0	0	0	0	0	0	0	0	0,0
0,20 - 0,30	0	0	0	0	0	0	3	0	3	0,3
0,30 - 0,40	0	0	0	0	0	4	24	1	29	2,9
0,40 - 0,50	0	0	0	0	0	21	26	0	47	4,7
0,50 - 0,60	0	0	0	0	0	56	134	6	196	19,8
0,60 - 0,70	0	0	0	0	0	69	218	4	291	29,3
0,70 - 0,80	0	0	0	0	0	41	144	0	185	18,7
0,80 - 0,90	0	0	0	0	0	30	108	0	138	13,9
>0,90	0	0	0	0	0	11	88	1	100	10,1
<b>Total</b>	0	0	0	0	0	232	745	12		
<b>Frequência (%)</b>	0,0	0,0	0,0	0,0	0,0	23,4	75,1	1,2		

Para os fundeio WOCE (BW333 e BM334) é possível identificar o fluxo predominantemente para Sudoeste nas camadas superiores, característico das descrições bibliográficas para a CB. As correntes nos níveis de 870 e 1370 m são predominantemente para S/SW, indicando o fluxo para Sul, caracterizando o transporte da AIA pela CB. Esta distribuição é observada em todos os meses do ano. Já para o fundeio BS500 da PETROBRAS, da mesma maneira que identificado para as intensidades, as direções também se apresentam de forma praticamente homogênea ao longo dos 50 m iniciais da coluna de água, alterando entre correntes mais frequentes para o oeste e sudoeste ao longo dos meses analisados, indicando a forte influência da CB nesta porção da coluna d'água na região. Estas direções apresentaram, com exceção de junho, julho e outubro, mais de 50% de frequência de ocorrência em todas as profundidades. Em junho e julho as frequências de ocorrência destas direções foram de aproximadamente 42%, entretanto sendo ainda a frequência de maior ocorrência. Exceção foi observada no mês de outubro, em que foram observadas correntes para noroeste como sendo a mais frequente em vários níveis, como pode ser observada na **Figura II.5.1.2-24**.

Da **Tabela II.5.1.2-295** a **Tabela II.5.1.2-297** são resumidas as características das correntes mais frequentes observadas em todos os níveis e meses coletados, para os fundeios BW333, BM334 e BS500, respectivamente.

**Tabela II.5.1.2-295 – Características das correntes mais frequentes no fundeio BW333.**

Prof. (m)	Janeiro					Fevereiro					Março				
	Dir. (°)	Freq. (%)	Intensidade (m/s)			Dir. (°)	Freq. (%)	Intensidade (m/s)			Dir. (°)	Freq. (%)	Intensidade (m/s)		
			Méd.	Máx.	DP			Méd.	Máx.	DP			Méd.	Máx.	DP
230	SW	27	0,42	0,18	0,90	SW	39	0,25	0,10	0,49	SW	51	0,39	0,16	0,82
475	S	26	0,29	0,10	0,57	SW	43	0,18	0,08	0,39	SW	54	0,26	0,11	0,64
680	S	29	0,17	0,09	0,41	SW	28	0,09	0,07	0,35	S	45	0,17	0,11	0,50
885	N	28	0,20	0,06	0,32	SW	22	0,07	0,06	0,27	S	46	0,12	0,09	0,37
Prof. (m)	Abril					Maio					Junho				
230	SW	54	0,23	0,09	0,46	SW	50	0,34	0,15	0,66	SW	61	0,32	0,11	0,67
475	SW	45	0,15	0,08	0,41	SW	34	0,19	0,10	0,42	SW	52	0,20	0,07	0,37
680	S	33	0,12	0,11	0,36	NW	35	0,12	0,07	0,25	SW	43	0,10	0,08	0,30
885	N	27	0,11	0,07	0,26	N	35	0,20	0,08	0,41	SW	19	0,08	0,06	0,30
Prof. (m)	Julho					Agosto					Setembro				
230	SW	58	0,33	0,14	0,76	SW	51	0,35	0,13	0,72	SW	40	0,40	0,72	0,54
475	SW	59	0,20	0,07	0,37	SW	59	0,17	0,06	0,39	SW	34	0,21	0,10	0,54
680	SW	41	0,09	0,08	0,38	W	29	0,07	0,06	0,20	S	28	0,12	0,07	0,28
885	N	21	0,15	0,09	0,37	NW	34	0,08	0,06	0,26	N	31	0,15	0,07	0,36
Prof. (m)	Outubro					Novembro					Dezembro				
230	SW	43	0,41	0,18	0,86	S	58	0,47	0,15	0,87	SW	68	0,45	0,13	0,68
475	SW	34	0,23	0,12	0,60	SW	49	0,26	0,08	0,55	SW	68	0,23	0,06	0,37
680	NW	25	0,10	0,05	0,24	S	50	0,16	0,08	0,34	SW	42	0,09	0,07	0,29
885	N	38	0,17	0,06	0,30	S	41	0,13	0,08	0,31	S	28	0,08	0,07	0,23

Fonte de dados: Fundeios WOCE BW333.



**Tabela II.5.1.2-296 – Características das correntes mais frequentes no fundeio BM334.**

Prof. (m)	Janeiro					Fevereiro					Março				
	Dir. (°)	Freq. (%)	Intensidade (m/s)			Dir. (°)	Freq. (%)	Intensidade (m/s)			Dir. (°)	Freq. (%)	Intensidade (m/s)		
			Méd.	Máx.	DP			Méd.	Máx.	DP			Méd.	Máx.	DP
230	SW	31	0,14	0,08	0,59	E	24	0,33	0,20	0,57	S	59	0,24	0,10	0,55
470	SW	25	0,11	0,05	0,30	E	25	0,23	0,12	0,52	S	53	0,21	0,11	0,53
870	SW	28	0,09	0,05	0,27	E	27	0,17	0,10	0,35	S	51	0,15	0,10	0,40
1370	S	34	0,08	0,05	0,21	E	21	0,10	0,08	0,26	S	50	0,12	0,07	0,30
2140	N	31	0,10	0,07	0,32	N	27	0,07	0,06	0,27	N	30	0,07	0,05	0,24
Prof. (m)	Abril					Maio					Junho				
230	SWW	32	31,81	0,16	0,13	SW	47	0,19	0,10	0,41	SW	51	0,20	0,11	0,53
470	W	38	0,12	0,08	0,35	SW	32	0,14	0,07	0,29	SW	42	0,15	0,08	0,35
870	W	33	0,06	0,06	0,31	SW	26	0,07	0,05	0,18	SW	40	0,07	0,05	0,21
1370	N	18	0,08	0,03	0,17	W	20	0,04	0,04	0,17	SW	33	0,07	0,05	0,19
2140	NE	39	0,07	0,06	0,26	SW	23	0,04	0,05	0,23	SW	21	0,07	0,06	0,26
Prof. (m)	Julho					Agosto					Setembro				
230	SW	35	0,11	0,07	0,27	SW	37	0,13	0,07	0,39	S	26	0,21	0,09	0,38
470	SW	29	0,10	0,05	0,23	SW	46	0,09	0,05	0,26	SW	25	0,11	0,05	0,26
870	S	26	0,06	0,04	0,19	SW	30	0,06	0,05	0,24	S	25	0,06	0,05	0,21
1370	S	27	0,06	0,05	0,18	S	29	0,09	0,05	0,21	SW	27	0,05	0,04	0,17
2140	N	31	0,06	0,05	0,19	SW	35	0,07	0,06	0,33	N	20	0,04	0,04	0,19
Prof. (m)	Outubro					Novembro					Dezembro				
230	SW	43	0,19	0,07	0,38	S	34	0,20	0,07	0,33	SW	68	0,19	0,06	0,30
470	SW	39	0,13	0,05	0,25	SW	45	0,15	0,06	0,30	SW	80	0,15	0,04	0,26
870	S	34	0,07	0,05	0,20	S	38	0,08	0,06	0,23	SW	63	0,08	0,04	0,19
1370	S	32	0,07	0,04	0,17	SW	33	0,08	0,05	0,19	SW	38	0,07	0,04	0,21
Prof. (m)	Outubro					Novembro					Dezembro				
2140	SW	27	0,06	0,05	0,23	SW	23	0,05	0,04	0,20	S	40	0,05	0,05	0,18

Fonte de dados: Fundeio WOCE BM334.





Tabela II.5.1.2-297 – Características das correntes mais frequentes no fundeio BS500.

Prof. (m)	Janeiro						Fevereiro						Junho					
	Dir. (°)	Freq. (%)	Intensidade (m/s)			Dir. (°)	Freq. (%)	Intensidade (m/s)			Dir. (°)	Freq. (%)	Intensidade (m/s)					
			Méd.	Máx.	DP			Méd.	Máx.	DP			Méd.	Máx.	DP			
6	SW	52	0,45	0,11	0,73	SW	50	0,28	0,09	0,48	W	42	0,29	0,11	0,79			
9	SW	52	0,68	0,16	1,08	W	50	0,50	0,14	0,76	W	45	0,43	0,18	1,15			
11	SW	51	0,68	0,16	1,07	W	55	0,48	0,15	0,78	W	47	0,44	0,16	1,12			
14	SW	51	0,68	0,16	1,05	W	51	0,50	0,12	0,72	W	48	0,45	0,16	1,35			
16	SW	51	0,68	0,16	1,08	W	50	0,50	0,11	0,72	W	48	0,46	0,17	1,39			
19	W	50	0,66	0,14	1,03	W	54	0,49	0,10	0,69	W	47	0,45	0,14	1,01			
21	W	51	0,65	0,14	1,02	W	57	0,50	0,09	0,78	W	49	0,46	0,15	1,51			
24	W	50	0,64	0,14	0,99	W	58	0,48	0,11	0,83	W	48	0,48	0,16	1,25			
26	W	52	0,64	0,14	1,03	W	63	0,47	0,10	0,66	W	50	0,48	0,15	1,17			
29	W	53	0,64	0,13	1,01	W	59	0,48	0,12	0,74	W	49	0,48	0,16	1,27			
31	W	54	0,64	0,13	1,02	W	59	0,48	0,12	0,80	W	48	0,49	0,16	1,36			
33	W	55	0,64	0,13	1,03	W	61	0,47	0,13	0,83	W	49	0,50	0,16	1,38			
36	W	54	0,62	0,13	1,04	W	59	0,45	0,13	0,81	W	48	0,51	0,17	1,19			
38	W	55	0,62	0,13	1,04	W	58	0,44	0,12	0,76	W	47	0,50	0,16	1,21			
41	W	55	0,62	0,13	1,04	W	59	0,43	0,12	0,73	W	49	0,50	0,15	1,16			
43	W	55	0,62	0,13	1,04	W	59	0,44	0,13	0,76	W	49	0,51	0,16	1,30			
46	W	55	0,62	0,13	0,97	W	60	0,43	0,13	0,75	W	49	0,52	0,16	1,21			
49	W	57	0,61	0,13	0,97	W	60	0,43	0,13	0,75	W	51	0,53	0,15	1,22			
51	W	58	0,62	0,13	1,02	W	56	0,42	0,14	0,89	W	53	0,53	0,15	1,18			
55	W	56	0,61	0,14	1,11	W	59	0,41	0,13	0,73	W	53	0,53	0,15	1,24			



Prof. (m)	Julho					Agosto					Setembro				
	Dir. (°)	Freq. (%)	Intensidade (m/s)			Dir. (°)	Freq. (%)	Intensidade (m/s)			Dir. (°)	Freq. (%)	Intensidade (m/s)		
			Méd.	Máx.	DP			Méd.	Máx.	DP			Méd.	Máx.	DP
6	SW	50	0,21	0,07	0,44	SW	51	0,36	0,11	0,62	W	66	0,37	0,09	0,67
9	SW	49	0,31	0,12	0,68	SW	51	0,53	0,15	0,90	W	69	0,57	0,14	1,01
11	SW	48	0,31	0,13	0,70	SW	51	0,53	0,16	0,91	W	70	0,57	0,14	1,02
14	SW	47	0,31	0,13	0,73	SW	50	0,54	0,15	0,89	W	74	0,58	0,14	1,02
16	SW	47	0,31	0,13	0,76	SW	51	0,54	0,15	0,89	W	73	0,58	0,14	1,00
19	SW	48	0,32	0,13	0,75	SW	51	0,54	0,14	0,87	W	73	0,59	0,15	1,00
21	SW	50	0,33	0,13	0,78	SW	51	0,54	0,14	0,88	W	72	0,59	0,15	0,93
24	SW	49	0,33	0,14	0,76	SW	50	0,53	0,14	0,90	W	72	0,59	0,15	0,92
26	SW	48	0,33	0,14	0,79	SW	50	0,52	0,15	0,90	W	71	0,60	0,15	0,94
29	SW	48	0,35	0,14	0,79	SW	50	0,53	0,14	0,94	W	70	0,61	0,16	1,03
31	SW	48	0,35	0,14	0,78	SW	50	0,53	0,14	0,91	W	70	0,62	0,16	1,01
33	SW	48	0,35	0,14	0,79	SW	51	0,53	0,14	0,90	W	70	0,62	0,16	1,04
36	SW	48	0,35	0,14	0,80	SW	50	0,53	0,14	0,89	W	69	0,62	0,17	1,03
38	SW	47	0,36	0,14	0,79	SW	50	0,52	0,14	0,87	W	69	0,62	0,17	1,07
41	SW	45	0,37	0,14	0,82	W	51	0,51	0,16	0,83	W	72	0,63	0,17	1,08
43	SW	46	0,37	0,14	0,80	W	52	0,51	0,16	0,86	W	71	0,63	0,17	1,07
46	SW	45	0,37	0,15	0,81	W	51	0,52	0,16	0,84	W	72	0,62	0,17	1,06
49	W	45	0,35	0,13	0,76	W	53	0,51	0,16	0,83	W	72	0,63	0,17	1,06
51	W	45	0,35	0,13	0,72	W	52	0,52	0,16	0,85	W	74	0,63	0,17	1,06
55	W	49	0,35	0,13	0,74	W	52	0,51	0,16	0,84	W	73	0,63	0,17	1,04



Prof. (m)	Outubro					Novembro					Dezembro				
	Dir. (°)	Freq. (%)	Intensidade (m/s)			Dir. (°)	Freq. (%)	Intensidade (m/s)			Dir. (°)	Freq. (%)	Intensidade (m/s)		
			Méd.	Máx.	DP			Méd.	Máx.	DP			Méd.	Máx.	DP
6	SW	26	0,36	0,17	0,65	SW	60	0,48	0,11	0,72	W	68	0,48	0,10	0,72
9	SW	26	0,54	0,27	1,00	SW	60	0,72	0,17	1,08	W	69	0,72	0,16	1,10
11	NW	26	0,25	0,11	0,52	SW	59	0,72	0,17	1,07	W	69	0,72	0,16	1,12
14	NW	25	0,25	0,11	0,51	SW	58	0,72	0,16	1,06	W	70	0,72	0,16	1,09
16	SW	24	0,56	0,28	1,01	SW	56	0,71	0,16	1,03	W	72	0,72	0,15	1,12
19	SW	25	0,57	0,28	1,01	SW	54	0,71	0,16	1,06	W	72	0,72	0,15	1,10
21	NW	24	0,25	0,11	0,56	SW	54	0,71	0,16	1,05	W	71	0,72	0,15	1,10
24	SW	24	0,59	0,27	0,99	SW	52	0,70	0,16	1,03	W	71	0,71	0,15	1,10
26	SW	23	0,60	0,27	0,99	SW	51	0,69	0,17	1,05	W	70	0,71	0,16	1,07
29	SW	23	0,60	0,27	0,99	SW	51	0,69	0,18	1,03	W	71	0,72	0,16	1,10
31	SW	23	0,60	0,27	0,96	SW	51	0,68	0,18	1,03	W	71	0,72	0,16	1,09
33	W	23	0,31	0,14	0,85	SW	49	0,69	0,18	1,06	W	72	0,73	0,16	1,13
36	NW	26	0,25	0,11	0,50	SW	49	0,68	0,18	1,06	W	72	0,73	0,16	1,14
38	NW	24	0,25	0,11	0,53	SW	49	0,67	0,19	1,07	W	71	0,73	0,16	1,09
41	W	25	0,32	0,15	0,84	SW	48	0,65	0,20	1,04	W	73	0,73	0,16	1,11
43	W	24	0,32	0,15	0,80	SW	47	0,65	0,19	1,04	W	73	0,73	0,16	1,10
46	NW	25	0,25	0,10	0,53	SW	46	0,64	0,19	1,01	W	73	0,73	0,16	1,10
49	NW	26	0,26	0,11	0,57	SW	46	0,62	0,18	1,09	W	73	0,72	0,16	1,10
51	W	26	0,33	0,14	0,74	SW	44	0,60	0,19	1,01	W	74	0,71	0,16	1,08
55	NW	25	0,26	0,12	0,75	SW	47	0,59	0,18	1,01	W	75	0,70	0,16	1,09

Fonte de dados: Fundeio PETROBRAS BS500.



Coordenador da Equipe



Técnico Responsável

Revisão 00  
06/2014

### Análise de extremos

Da **Tabela II.5.1.2-298** a **Tabela II.5.1.2-300** são apresentadas as estatísticas das correntes na direção com maior intensidade média, em todas as profundidades amostradas, para todos os meses amostrados, para os fundeios BW333, BM334 e BS500, respectivamente.

No fundeio BW333 as correntes mais frequentes nas profundidades de 230 e 475 m estão alinhadas com a direção e sentido da CB. Mesmo nos meses em que a direção mais frequente não foi a mais intensa, a mais intensa continua alinhada para os sub-quadrantes S, SE e SW, que denotam a direção da CB na região. Exceção foi observada no mês de junho, em que a direção NW foi a mais intensa. Entretanto a frequência de ocorrência de correntes nesta direção é próxima a 0%. Nas outras duas profundidades, 680 e 885 m, alteram-se ao longo dos meses as direções mais intensas, com relação a mais frequente. Para 680 m, nos meses de fevereiro, março, abril, junho e novembro as correntes mais intensas e frequentes apresentam praticamente a mesma direção. Já nos demais meses do ano, direções opostas às mais frequentes são as mais intensas. Para a profundidade de 885 m, fevereiro, abril e dezembro são os meses em que as correntes mais intensas são opostas as correntes mais frequentes. Na profundidade de 870 m, nos meses de fevereiro, junho, julho e setembro as direções das correntes mais intensas e frequentes são opostas. Em 1370 m este fenômeno ocorre em abril e setembro e em 2140 m em maio, junho, agosto e outubro. Estes valores extremos que apresentam direção oposta à direção mais frequente apresentam frequência de ocorrência nesta direção sempre inferior a 30% das observações.

Para o fundeio BS500 as direções em que a corrente teve a intensidade média mais elevada são as para sul, sudoeste ou oeste, predominantemente, coincidindo com a direção de deslocamento da CB. Isto foi observado em todos os meses do ano, com exceção de junho. Neste mês as correntes com maiores intensidades médias estiveram apontadas para norte, leste e nordeste em quase todas as camadas observadas. Entretanto as frequências de ocorrência nestas direções foram de no máximo 4%.

**Tabela II.5.1.2-298 –** Características das correntes na direção com maior intensidade média no fundeio BW333.

Prof. (m)	Janeiro					Fevereiro					Março				
	Dir. (°)	Freq. (%)	Intensidade (m/s)			Dir. (°)	Freq. (%)	Intensidade (m/s)			Dir. (°)	Freq. (%)	Intensidade (m/s)		
			Méd.	Máx.	DP			Méd.	Máx.	DP			Méd.	Máx.	DP
230	S	25	0,50	0,21	0,94	S	35	0,33	0,12	0,58	S	45	0,48	0,16	0,85
475	S	26	0,29	0,10	0,57	S	31	0,19	0,09	0,47	S	42	0,29	0,13	0,68
680	N	18	0,20	0,06	0,29	S	27	0,14	0,11	0,54	S	45	0,17	0,11	0,50
885	N	28	0,20	0,06	0,32	NE	4	0,13	0,06	0,22	S	46	0,12	0,09	0,37
Prof. (m)	Abril					Maio					Junho				
230	S	26	0,29	0,16	0,70	SW	50	0,34	0,15	0,66	NW	0	0,46	0,01	0,46
475	S	25	0,17	0,13	0,52	SW	34	0,19	0,10	0,42	W	8	0,21	0,08	0,39
680	S	33	0,12	0,11	0,36	SW	15	0,14	0,09	0,37	SE	6	0,16	0,15	0,46
885	S	24	0,16	0,08	0,31	N	35	0,20	0,08	0,41	S	16	0,15	0,12	0,43
Prof. (m)	Julho					Agosto					Setembro				
230	SE	1	0,37	0,11	0,47	W	11	0,39	0,12	0,58	SW	40	0,40	0,72	0,54
475	S	32	0,21	0,08	0,45	S	22	0,19	0,08	0,47	S	31	0,28	0,12	0,53
680	N	1	0,19	0,14	0,35	NW	11	0,09	0,06	0,25	N	8	0,20	0,10	0,40
885	N	21	0,15	0,09	0,37	N	29	0,12	0,07	0,27	N	31	0,15	0,07	0,36
Prof. (m)	Outubro					Novembro					Dezembro				
230	S	17	0,42	0,17	0,79	S	58	0,47	0,15	0,87	SW	68	0,45	0,13	0,68
475	S	16	0,26	0,12	0,59	S	47	0,28	0,09	0,58	SW	68	0,23	0,06	0,37
680	S	20	0,18	0,10	0,40	S	50	0,16	0,08	0,34	N	1	0,23	0,04	0,27
885	N	38	0,17	0,06	0,30	S	41	0,13	0,08	0,31	N	19	0,09	0,07	0,23

Fonte: Fundeio WOCE BW333.



Coordenador da Equipe



Técnico Responsável

Revisão 00  
06/2014

**Tabela II.5.1.2-299 – Características das correntes na direção com maior intensidade média no fundeio BM334.**

Prof. (m)	Janeiro					Fevereiro					Março				
	Dir. (°)	Freq. (%)	Intensidade (m/s)			Dir. (°)	Freq. (%)	Intensidade (m/s)			Dir. (°)	Freq. (%)	Intensidade (m/s)		
			Méd.	Máx.	DP			Méd.	Máx.	DP			Méd.	Máx.	DP
230	W	23	0,40	0,15	0,63	E	24	0,33	0,20	0,57	S	59	0,24	0,10	0,55
470	W	23	0,24	0,12	0,45	S	23	0,26	0,08	0,37	S	53	0,21	0,11	0,53
870	W	16	0,21	0,11	0,41	S	15	0,20	0,06	0,32	S	51	0,15	0,10	0,40
1370	SW	28	0,10	0,05	0,22	SW	12	0,14	0,06	0,28	S	50	0,12	0,07	0,30
2140	N	31	0,10	0,07	0,32	NE	20	0,08	0,07	0,27	NE	17	0,09	0,06	0,25
Prof. (m)	Abril					Maio					Junho				
230	SW	32	0,16	0,11	0,41	W	15	0,20	0,10	0,40	S	23	0,25	0,11	0,51
470	SW	31	0,12	0,10	0,40	SW	32	0,14	0,07	0,29	S	23	0,16	0,07	0,36
870	SW	24	0,07	0,08	0,29	S	14	0,07	0,05	0,17	N	2	0,09	0,04	0,17
1370	SE	12	0,11	0,06	0,21	S	12	0,09	0,05	0,19	S	28	0,07	0,06	0,23
2140	NE	39	0,07	0,06	0,26	N	15	0,10	0,07	0,35	NE	15	0,11	0,07	0,29
Prof. (m)	Julho					Agosto					Setembro				
230	SW	35	0,11	0,07	0,27	S	37	0,15	0,10	0,41	S	26	0,21	0,09	0,38
470	SW	29	0,10	0,05	0,23	S	31	0,11	0,08	0,30	S	23	0,13	0,07	0,28
870	N	6	0,08	0,04	0,17	S	26	0,07	0,07	0,36	N	12	0,09	0,06	0,22
1370	SW	21	0,07	0,04	0,17	S	29	0,09	0,05	0,21	NE	7	0,09	0,04	0,19
2140	NE	22	0,07	0,06	0,20	NE	16	0,10	0,08	0,33	NE	19	0,06	0,05	0,21
Prof. (m)	Outubro					Novembro					Dezembro				
230	S	32	0,21	0,10	0,39	S	34	0,20	0,07	0,33	SW	68	0,19	0,06	0,30
470	S	35	0,13	0,06	0,27	S	28	0,15	0,06	0,28	SW	80	0,15	0,04	0,26
870	S	34	0,07	0,05	0,20	SE	5	0,10	0,07	0,24	S	24	0,08	0,05	0,19
1370	S	32	0,07	0,04	0,17	SW	33	0,08	0,05	0,19	S	33	0,07	0,05	0,21
2140	N	18	0,07	0,06	0,22	SW	23	0,05	0,04	0,20	SW	38	0,06	0,05	0,25

Fonte: Fundeio WOCE BM334.



Coordenador da Equipe



Técnico Responsável

 Revisão 00  
 06/2014

**Tabela II.5.1.2-300 –** Características das correntes na direção com maior intensidade média no fundo BS500.

Prof. (m)	Janeiro					Fevereiro					Junho				
	Dir. (°)	Freq. (%)	Intensidade (m/s)			Dir. (°)	Freq. (%)	Intensidade (m/s)			Dir. (°)	Freq. (%)	Intensidade (m/s)		
			Méd.	Máx.	DP			Méd.	Máx.	DP			Méd.	Máx.	DP
6	W	45	0,46	0,11	0,77	W	44	0,34	0,10	0,52	N	4	0,55	0,19	0,90
9	W	47	0,68	0,16	1,13	W	50	0,50	0,14	0,76	E	2	0,91	0,20	1,43
11	SW	51	0,68	0,16	1,07	W	55	0,48	0,15	0,78	E	2	0,91	0,14	1,13
14	SW	51	0,68	0,16	1,05	W	51	0,50	0,12	0,72	NE	2	0,83	0,29	1,30
16	SW	51	0,68	0,16	1,08	W	50	0,50	0,11	0,72	E	2	0,95	0,14	1,14
19	SW	49	0,68	0,16	1,05	W	54	0,49	0,10	0,69	NE	2	0,85	0,25	1,26
21	SW	49	0,68	0,16	1,05	W	57	0,50	0,09	0,78	NE	2	0,83	0,31	1,19
24	SW	50	0,67	0,16	1,03	W	58	0,48	0,11	0,83	E	2	0,91	0,28	1,30
26	SW	48	0,67	0,16	1,04	W	63	0,47	0,10	0,66	E	2	0,95	0,17	1,20
29	SW	47	0,66	0,16	1,06	W	59	0,48	0,12	0,74	NE	2	0,83	0,26	1,23
31	SW	46	0,66	0,16	1,02	W	59	0,48	0,12	0,80	E	2	0,96	0,26	1,49
33	SW	45	0,66	0,16	1,00	W	61	0,47	0,13	0,83	E	1	0,93	0,21	1,30
36	SW	46	0,67	0,16	1,02	S	0	0,65	0,00	0,65	E	2	0,95	0,29	1,30
38	SW	44	0,67	0,16	1,04	SW	37	0,44	0,10	0,67	NE	2	0,88	0,25	1,30
41	SW	44	0,66	0,16	1,06	W	59	0,43	0,12	0,73	S	3	0,86	0,38	1,37
43	SW	45	0,66	0,16	1,09	S	0	0,56	0,00	0,56	NE	3	0,89	0,22	1,47
46	SW	45	0,65	0,17	1,06	W	60	0,43	0,13	0,75	NE	3	0,94	0,20	1,29
49	S	1	0,67	0,04	0,71	S	0	0,45	0,00	0,45	E	2	0,96	0,21	1,26
51	SW	42	0,65	0,17	1,09	NW	0	0,45	0,00	0,45	S	3	0,91	0,28	1,26
55	S	1	0,68	0,18	0,98	NW	1	0,71	0,73	1,80	E	1	0,90	0,24	1,27



Prof. (m)	Julho					Agosto					Setembro				
	Dir. (°)	Freq. (%)	Intensidade (m/s)			Dir. (°)	Freq. (%)	Intensidade (m/s)			Dir. (°)	Freq. (%)	Intensidade (m/s)		
			Méd.	Máx.	DP			Méd.	Máx.	DP			Méd.	Máx.	DP
6	SW	50	0,21	0,07	0,44	SW	51	0,36	0,11	0,62	SW	30	0,44	0,11	0,66
9	SW	49	0,31	0,12	0,68	SW	51	0,53	0,15	0,90	SW	30	0,65	0,15	1,00
11	SW	48	0,31	0,13	0,70	SW	51	0,53	0,16	0,91	SW	29	0,64	0,16	1,01
14	W	39	0,31	0,11	0,56	SW	50	0,54	0,15	0,89	SW	26	0,64	0,16	1,00
16	W	41	0,33	0,10	0,54	SW	51	0,54	0,15	0,89	SW	26	0,65	0,16	0,99
19	W	41	0,33	0,11	0,56	SW	51	0,54	0,14	0,87	SW	27	0,64	0,16	1,01
21	W	39	0,34	0,11	0,58	SW	51	0,54	0,14	0,88	SW	27	0,65	0,15	0,96
24	SW	49	0,33	0,14	0,76	SW	50	0,53	0,14	0,90	SW	27	0,65	0,15	0,94
26	SW	48	0,33	0,14	0,79	SW	50	0,52	0,15	0,90	SW	28	0,67	0,15	0,94
29	SW	48	0,35	0,14	0,79	SW	50	0,53	0,14	0,94	SW	29	0,67	0,16	0,92
31	SW	48	0,35	0,14	0,78	SW	50	0,53	0,14	0,91	SW	28	0,69	0,15	0,95
33	SW	48	0,35	0,14	0,79	SW	51	0,53	0,14	0,90	SW	29	0,70	0,15	0,97
36	SW	48	0,35	0,14	0,80	SW	50	0,53	0,14	0,89	SW	29	0,71	0,15	1,03
38	SW	47	0,36	0,14	0,79	SW	50	0,52	0,14	0,87	SW	29	0,71	0,15	1,06
41	SW	45	0,37	0,14	0,82	SW	49	0,52	0,14	0,86	SW	27	0,71	0,16	1,02
43	SW	46	0,37	0,14	0,80	SW	48	0,52	0,14	0,85	SW	27	0,72	0,15	1,02
46	SW	45	0,37	0,15	0,81	W	51	0,52	0,16	0,84	SW	26	0,73	0,14	0,97
49	SW	43	0,37	0,15	0,82	SW	46	0,52	0,14	0,85	SW	26	0,72	0,16	0,97
51	SW	42	0,37	0,14	0,81	W	52	0,52	0,16	0,85	SW	24	0,73	0,15	1,03
55	SW	39	0,37	0,15	0,85	W	52	0,51	0,16	0,84	SW	25	0,72	0,16	1,06



Prof. (m)	Outubro					Novembro					Dezembro				
	Dir. (°)	Freq. (%)	Intensidade (m/s)			Dir. (°)	Freq. (%)	Intensidade (m/s)			Dir. (°)	Freq. (%)	Intensidade (m/s)		
			Méd.	Máx.	DP			Méd.	Máx.	DP			Méd.	Máx.	DP
6	SW	26	0,36	0,17	0,65	SW	60	0,48	0,11	0,72	SW	29	0,50	0,10	0,78
9	SW	26	0,54	0,27	1,00	SW	60	0,72	0,17	1,08	SW	30	0,74	0,16	1,25
11	SW	26	0,55	0,28	1,01	SW	59	0,72	0,17	1,07	SW	29	0,75	0,15	1,22
14	SW	24	0,56	0,28	1,00	SW	58	0,72	0,16	1,06	SW	29	0,74	0,15	1,19
16	SW	24	0,56	0,28	1,01	SW	56	0,71	0,16	1,03	SW	28	0,74	0,15	1,18
19	SW	25	0,57	0,28	1,01	SW	54	0,71	0,16	1,06	SW	28	0,74	0,14	1,16
21	SW	23	0,60	0,27	0,99	SW	54	0,71	0,16	1,05	SW	28	0,73	0,14	1,11
24	SW	24	0,59	0,27	0,99	SW	52	0,70	0,16	1,03	SW	28	0,72	0,13	1,09
26	SW	23	0,60	0,27	0,99	SW	51	0,69	0,17	1,05	SW	29	0,72	0,13	1,04
29	SW	23	0,60	0,27	0,99	SW	51	0,69	0,18	1,03	W	71	0,72	0,16	1,10
31	SW	23	0,60	0,27	0,96	SW	51	0,68	0,18	1,03	W	71	0,72	0,16	1,09
33	SW	22	0,61	0,25	0,97	SW	49	0,69	0,18	1,06	W	72	0,73	0,16	1,13
36	SW	21	0,62	0,24	0,96	SW	49	0,68	0,18	1,06	W	72	0,73	0,16	1,14
38	SW	21	0,61	0,23	0,92	SW	49	0,67	0,19	1,07	W	71	0,73	0,16	1,09
41	SW	20	0,60	0,23	0,92	W	43	0,66	0,19	1,02	W	73	0,73	0,16	1,11
43	SW	20	0,59	0,21	0,90	SW	47	0,65	0,19	1,04	W	73	0,73	0,16	1,10
46	SW	19	0,59	0,20	0,86	W	44	0,64	0,20	1,02	W	73	0,73	0,16	1,10
49	SW	18	0,59	0,19	0,89	W	43	0,63	0,19	0,95	W	73	0,72	0,16	1,10
51	SW	18	0,58	0,19	0,87	W	44	0,64	0,19	1,10	W	74	0,71	0,16	1,08
55	SW	19	0,57	0,18	0,86	W	41	0,63	0,19	0,98	W	75	0,70	0,16	1,09

Fonte: Fundeio PETROBRAS BS500.



Coordenador da Equipe



Técnico Responsável

Revisão 00  
06/2014

Da **Tabela II.5.1.2-301** a **Tabela II.5.1.2-303** são mostrados os eventos de máxima intensidade nos fundeios BW333, BM334 e BS500.

No fundeio BS333 a maioria dos eventos máximos estão orientados para sul, sudeste ou sudoeste, em todas as profundidades e meses, com exceção da profundidade de 885 m, que em 6 meses do ano a intensidade máxima observada ocorreu na direção norte. Em 230 m a intensidade máxima ocorreu nos meses de janeiro, março, outubro e novembro, em 475 m em março, em 680 m fevereiro, março e junho e em 885 m em março, maio, junho, julho e setembro.

**Tabela II.5.1.2-301** – Intensidades máximas registradas pelo fundeio BW333 do WOCE em todas as profundidades amostradas.

Mês	230 m			475 m		
	Int. (m/s)	Dir. (°)	Data	Int. (m/s)	Dir. (°)	Data
Janeiro	0,9	189 (S)	9/1/1992 18h	0,6	216 (SW)	1/1/1992 20h
Fevereiro	0,6	198 (S)	22/2/1992 10h	0,5	188 (S)	27/2/1991 0h
Março	0,9	199 (S)	29/3/1991 22h	0,7	180 (S)	30/3/1991 8h
Abril	0,7	189 (S)	1/4/1991 10h	0,5	189 (S)	1/4/1991 4h
Maio	0,7	229 (SW)	26/5/1991 2h	0,5	281 (W)	24/5/1991 6h
Junho	0,7	186 (S)	7/6/1991 18h	0,5	193 (S)	7/6/1992 14h
Julho	0,8	212 (SW)	30/7/1991 12h	0,4	193 (S)	9/7/1991 8h
Agosto	0,8	199 (S)	30/8/1991 12h	0,5	169 (S)	1/9/1992 0h
Setembro	0,7	197 (S)	25/9/1991 20h	0,5	204 (SW)	5/9/1991 8h
Outubro	0,9	225 (SW)	11/10/1991 20h	0,6	219 (SW)	12/10/1991 12h
Novembro	0,9	198 (SW)	14/11/1991 0h	0,6	201 (S)	16/11/1991 22h
Dezembro	0,7	212 (SW)	15/12/1991 0h	0,4	201 (S)	13/12/1991 4h
Mês	680 m			885 m		
	Int. (m/s)	Dir. (°)	Data	Int. (m/s)	Dir. (°)	Data
Janeiro	0,4	197 (S)	8/1/1992 4h	0,3	0 (N)	24/1/1991 12h
Fevereiro	0,5	164 (S)	26/2/1991 22h	0,3	161 (S)	27/2/1991 10h
Março	0,5	168 (S)	30/3/1991 22h	0,4	163 (S)	31/3/1991 8h
Abril	0,4	181 (S)	1/4/1991 14h	0,3	197 (S)	4/4/1991 18h
Maio	0,4	258 (W)	30/5/1992 14h	0,4	358 (N)	16/5/1991 22h
Junho	0,5	151 (SE)	9/6/1992 16h	0,4	146 (SE)	9/6/1992 18h
Julho	0,4	168 (S)	10/7/1991 2h	0,4	339 (N)	16/7/1992 14h
Agosto	0,3	223 (SW)	31/8/1991 18h	0,3	350 (N)	14/8/1992 2h
Setembro	0,4	9 (N)	21/9/1991 6h	0,4	5 (N)	20/9/1991 18h
Outubro	0,4	188 (S)	14/10/1991 20h	0,3	330 (N)	23/10/1992 0h
Novembro	0,4	207 (SW)	6/11/1992 22h	0,3	185 (S)	21/11/1991 10h
Dezembro	0,3	208 (SW)	8/12/1991 2h	0,2	204 (SE)	7/12/1991 14h

Fonte: Fundeio WOCE BW333.

**Tabela II.5.1.2-302 – Intensidades máximas registradas pelo fundeio BM334 do WOCE.**

Mês	230 m			470 m		
	Int. (m/s)	Dir. (°)	Data	Int. (m/s)	Dir. (°)	Data
Janeiro	0,6	250 (SW)	9/1/1991 7h	0,5	266 (W)	6/1/1991 15h
Fevereiro	0,6	99 (E)	3/2/1991 3h	0,5	88 (E)	9/2/1991 9h
Março	0,6	163 (S)	29/3/1991 11h	0,5	168 (S)	28/3/1991 23h
Abril	0,4	240 (SW)	3/4/1991 3h	0,4	229 (SW)	2/4/1991 5h
Mai	0,4	236 (SW)	24/5/1991 23h	0,3	250 (W)	24/5/1991 5h
Junho	0,5	203 (SW)	4/6/1991 19h	0,4	193 (S)	3/6/1992 3h
Julho	0,3	233 (SW)	30/7/1991 21h	0,2	207 (SW)	14/7/1992 13h
Agosto	0,4	163 (S)	29/8/1992 9h	0,3	185 (S)	30/8/1992 13h
Setembro	0,4	173 (S)	2/9/1992 1h	0,3	158 (S)	3/9/1992 3h
Outubro	0,4	201 (S)	24/10/1992 15h	0,3	180 (S)	27/10/1992 19h
Novembro	0,4	142 (SE)	3/11/1992 9h	0,3	219 (SW)	17/11/1991 23h
Dezembro	0,3	223 (SW)	16/12/1991 3h	0,3	217 (SW)	15/12/1991 15h
Mês	870 m			1370 m		
	Int. (m/s)	Dir. (°)	Data	Int. (m/s)	Dir. (°)	Data
Janeiro	0,4	286 (W)	8/1/1991 13h	0,2	206 (SW)	25/1/1992 5h
Fevereiro	0,3	91 (E)	9/2/1991 13h	0,3	213 (SW)	18/2/1991 5h
Março	0,4	168 (S)	28/3/1991 21h	0,4	221 (SW)	30/3/1991 5h
Abril	0,3	249 (W)	4/4/1991 21h	0,3	177 (S)	1/4/1991 15h
Mai	0,2	214 (SW)	11/5/1992 23h	0,2	23 (NE)	24/5/1992 9h
Junho	0,2	265 (W)	29/6/1991 1h	0,2	187 (S)	15/6/1991 13h
Julho	0,2	293 (NW)	1/7/1991 5h	0,2	200 (S)	7/7/1991 21h
Agosto	0,4	195 (S)	31/8/1992 1h	0,2	191 (S)	29/8/1992 11h
Setembro	0,2	352 (N)	15/9/1992 9h	0,2	26 (NE)	24/9/1992 3h
Outubro	0,2	176 (S)	27/10/1992 11h	0,2	232 (SW)	4/10/1992 15h
Novembro	0,3	256 (W)	7/11/1992 21h	0,2	204 (SW)	20/11/1991 9h
Dezembro	0,2	212 (SW)	29/12/1991 13h	0,2	190 (S)	28/12/1991 19h
Mês	2140 m					
	Int. (m/s)	Dir. (°)	Data			
Janeiro	0,3	27 (NE)	13/1/1992 1h			
Fevereiro	0,3	21 (N)	20/2/1992 21h			
Março	0,3	48 (NE)	11/3/1992 5h			
Abril	0,3	36 (NE)	19/4/1991 9h			
Mai	0,4	25 (NE)	29/5/1991 1h			
Junho	0,3	34 (NE)	5/6/1991 11h			
Julho	0,2	180 (S)	9/7/1991 9h			
Agosto	0,3	212 (SW)	25/8/1992 21h			
Setembro	0,3	156 (SE)	2/9/1992 19h			
Outubro	0,2	216 (SW)	6/10/1992 21h			
Novembro	0,3	32 (NE)	25/11/1992 19h			
Dezembro	0,2	218 (SW)	26/12/1991 3h			

Para o fundeio BM334 nas profundidades de 230 m e 475 m em praticamente todos os meses do ano a intensidade máxima ocorreu em correntes com sentido sudoeste, sul ou sudeste, coincidindo com a direção da CB. Nas demais profundidades os máximos de intensidade das correntes alternaram de direção ao longo dos meses analisados. Em 230 m e em 470 m os máximos foram observados em janeiro, fevereiro e março, em 870 m em janeiro, março e agosto, em 1370 m em março e 2140 m em maio.

No fundeio BS500 predominantemente as correntes máximas observadas estão alinhadas na direção da CB. Mesmo no mês de outubro onde foram observadas correntes fluindo para norte e nordeste, os picos de intensidade estiveram centrados na direção sudoeste. O mês de junho foi o que teve a maior intensidade registrada em todas as profundidades, momento este em que a direção das correntes variou em todas as direções e os máximos em todas as profundidades estão dispersos em um período de aproximadamente 4 dias (04/06/2008 a 07/06/2008), podendo denotar a presença de um vórtice da CB sobre a região.

**Tabela II.5.1.2-303 – Intensidades máximas registradas pelo fundeio BS500 da PETROBRAS em todas as profundidades amostradas.**

Mês	6 m			9 m			11 m			14 m		
	Int. (m/s)	Dir. (°)	Data	Int. (m/s)	Dir. (°)	Data	Int. (m/s)	Dir. (°)	Data	Int. (m/s)	Dir. (°)	Data
Janeiro	0,8	254 (W)	16/1/2009 1h	1,1	253 (W)	16/1/2009 0h	1,1	250 (W)	16/1/2009 1h	1,1	250 (W)	16/1/2009 1h
Fevereiro	0,5	272 (W)	5/2/2009 5h	0,8	246 (SW)	7/2/2009 22h	0,8	247 (SW)	7/2/2009 22h	0,8	247 (SW)	7/2/2009 22h
Junho	0,9	352 (N)	7/6/2008 19h	1,5	198 (S)	5/6/2008 3h	1,4	201 (S)	4/6/2008 21h	1,4	201 (S)	4/6/2008 21h
Julho	0,4	217 (SW)	31/7/2008 9h	0,7	218 (SW)	31/7/2008 9h	0,7	219 (SW)	31/7/2008 8h	0,7	219 (SW)	31/7/2008 8h
Agosto	0,6	257 (W)	10/8/2008 8h	0,9	256 (W)	10/8/2008 8h	0,9	254 (W)	10/8/2008 9h	0,9	254 (W)	10/8/2008 9h
Setembro	0,7	255 (W)	22/9/2008 12h	1,0	257 (W)	22/9/2008 11h	1,0	254 (W)	22/9/2008 10h	1,0	254 (W)	22/9/2008 10h
Outubro	0,7	250 (W)	31/10/2008 4h	1,0	236 (SW)	28/10/2008 6h	1,0	244 (SW)	31/10/2008 5h	1,0	244 (SW)	31/10/2008 5h
Novembro	0,7	229 (SW)	24/11/2008 2h	1,1	229 (SW)	24/11/2008 2h	1,1	232 (SW)	23/11/2008 20h	1,1	232 (SW)	23/11/2008 20h
Dezembro	0,8	226 (SW)	23/12/2008 5h	1,2	226 (SW)	23/12/2008 4h	1,2	227 (SW)	23/12/2008 4h	1,2	227 (SW)	23/12/2008 4h
Mês	16 m			19 m			21 m			24 m		
	Int. (m/s)	Dir. (°)	Data	Int. (m/s)	Dir. (°)	Data	Int. (m/s)	Dir. (°)	Data	Int. (m/s)	Dir. (°)	Data
Janeiro	1,1	246 (SW)	16/1/2009 1h	1,1	239 (SW)	5/1/2009 7h	1,1	246 (SW)	5/1/2009 5h	1,0	247 (SW)	5/1/2009 4h
Fevereiro	0,7	254 (W)	5/2/2009 7h	0,8	244 (SW)	7/2/2009 23h	0,9	241 (SW)	7/2/2009 22h	0,8	257 (W)	7/2/2009 22h
Junho	1,5	36 (NE)	6/6/2008 17h	1,4	337 (NW)	7/6/2008 8h	1,5	282 (W)	7/6/2008 22h	1,3	217 (SW)	5/6/2008 0h
Julho	0,8	220 (SW)	31/7/2008 8h	0,8	220 (SW)	31/7/2008 8h	0,8	221 (SW)	31/7/2008 8h	0,8	221 (SW)	31/7/2008 8h
Agosto	0,9	253 (W)	10/8/2008 9h	0,9	258 (W)	10/8/2008 7h	0,9	260 (W)	10/8/2008 7h	0,9	247 (SW)	18/8/2008 7h
Setembro	1,0	253 (W)	22/9/2008 10h	1,0	243 (SW)	22/9/2008 12h	1,0	241 (SW)	22/9/2008 12h	0,9	238 (SW)	22/9/2008 12h
Outubro	1,0	236 (SW)	28/10/2008 6h	1,0	236 (SW)	28/10/2008 6h	1,0	234 (SW)	28/10/2008 6h	1,0	225 (SW)	27/10/2008 10h
Novembro	1,0	272 (W)	8/11/2008 0h	1,1	239 (SW)	25/11/2008 1h	1,1	223 (SW)	15/11/2008 22h	1,0	223 (SW)	15/11/2008 22h
Dezembro	1,2	228 (SW)	23/12/2008 4h	1,2	229 (SW)	23/12/2008 5h	1,1	233 (SW)	23/12/2008 5h	1,1	272 (W)	16/12/2008 0h



Mês	26 m			29 m			31 m			33 m		
	Int. (m/s)	Dir. (°)	Data	Int. (m/s)	Dir. (°)	Data	Int. (m/s)	Dir. (°)	Data	Int. (m/s)	Dir. (°)	Data
Janeiro	1,0	245 (SW)	5/1/2009 5h	1,1	240 (SW)	7/1/2009 14h	1,0	239 (SW)	7/1/2009 14h	1,0	255	7/1/2009 7h
Fevereiro	0,8	219 (SW)	7/2/2009 22h	0,9	247 (SW)	7/2/2009 23h	0,8	275 (W)	5/2/2009 4h	1,0	211	7/2/2009 22h
Junho	1,2	330 (N)	7/6/2008 3h	1,4	201 (S)	5/6/2008 10h	1,5	72 (E)	6/6/2008 1h	1,6	198	5/6/2008 1h
Julho	0,8	224 (SW)	31/7/2008 7h	0,8	225 (SW)	31/7/2008 7h	0,8	225 (SW)	31/7/2008 7h	0,8	227	31/7/2008 7h
Agosto	0,9	240 (SW)	18/8/2008 9h	0,9	247 (SW)	18/8/2008 7h	0,9	247 (SW)	18/8/2008 7h	0,9	247	18/8/2008 7h
Setembro	0,9	239 (SW)	22/9/2008 12h	1,0	255 (W)	25/9/2008 12h	1,0	257 (W)	25/9/2008 12h	1,0	258	25/9/2008 12h
Outubro	1,0	221 (SW)	27/10/2008 13h	1,0	217 (SW)	27/10/2008 12h	1,0	217 (SW)	27/10/2008 12h	1,0	217	27/10/2008 13h
Novembro	1,0	223 (SW)	15/11/2008 21h	1,0	241 (SW)	25/11/2008 2h	1,1	256 (W)	11/11/2008 6h	1,1	254	11/11/2008 6h
Dezembro	1,1	264 (W)	16/12/2008 3h	1,1	255 (SW)	21/12/2008 4h	1,1	252 (W)	21/12/2008 5h	1,1	255	21/12/2008 4h
Mês	36 m			38 m			41 m			43 m		
	Int. (m/s)	Dir. (°)	Data	Int. (m/s)	Dir. (°)	Data	Int. (m/s)	Dir. (°)	Data	Int. (m/s)	Dir. (°)	Data
Janeiro	1,0	252 (W)	7/1/2009 8h	1,0	255 (W)	7/1/2009 9h	1,1	242 (SW)	7/1/2009 14h	1,1	239	7/1/2009 16h
Fevereiro	0,8	270 (W)	5/2/2009 4h	0,8	260 (W)	5/2/2009 6h	0,7	276 (W)	5/2/2009 0h	0,8	276	5/2/2009 1h
Junho	1,3	71 (E)	6/6/2008 5h	1,5	200 (SW)	5/6/2008 3h	1,5	215 (SW)	4/6/2008 23h	1,5	63	6/6/2008 13h
Julho	0,8	224 (SW)	31/7/2008 7h	0,8	225 (SW)	31/7/2008 7h	0,8	230 (SW)	31/7/2008 5h	0,8	229	31/7/2008 5h
Agosto	0,9	244 (SW)	18/8/2008 8h	0,9	243 (SW)	10/8/2008 16h	0,9	244 (SW)	10/8/2008 16h	0,9	267	11/8/2008 13h
Setembro	1,0	261 (W)	25/9/2008 11h	1,1	261 (W)	25/9/2008 12h	1,1	260 (W)	25/9/2008 12h	1,1	261	25/9/2008 12h
Outubro	1,0	220 (SW)	27/10/2008 11h	0,9	239 (SW)	27/10/2008 6h	0,9	218 (SW)	27/10/2008 10h	0,9	218	27/10/2008 9h
Novembro	1,1	250 (W)	11/11/2008 6h	1,1	247 (SW)	11/11/2008 7h	1,0	243 (SW)	11/11/2008 7h	1,0	240	16/11/2008 12h
Dezembro	1,1	252 (W)	21/12/2008 4h	1,1	252 (W)	21/12/2008 4h	1,1	255 (W)	21/12/2008 3h	1,1	252	22/12/2008 3h

Mês	46 m			49 m			51 m			55 m		
	Int. (m/s)	Dir. (°)	Data	Int. (m/s)	Dir. (°)	Data	Int. (m/s)	Dir. (°)	Data	Int. (m/s)	Dir. (°)	Data
<b>Janeiro</b>	1,1	242 (SW)	7/1/2009 16h	1,1	240 (SW)	7/1/2009 15h	1,1	241 (SW)	7/1/2009 15h	1,4	236	8/1/2009 15h
<b>Fevereiro</b>	0,9	245 (SW)	7/2/2009 22h	1,0	215 (SW)	7/2/2009 22h	0,9	269 (W)	7/2/2009 23h	1,8	293	7/2/2009 22h
<b>Junho</b>	1,4	341 (NW)	7/6/2008 2h	1,4	343 (N)	7/6/2008 2h	1,3	81 (E)	6/6/2008 11h	1,3	68	5/6/2008 15h
<b>Julho</b>	0,8	228 (SW)	31/7/2008 5h	0,8	230 (SW)	31/7/2008 5h	0,8	224 (SW)	31/7/2008 7h	0,8	230	31/7/2008 5h
<b>Agosto</b>	0,8	265 (W)	11/8/2008 16h	0,9	240 (SW)	18/8/2008 9h	0,8	268 (W)	11/8/2008 13h	0,8	269	11/8/2008 13h
<b>Setembro</b>	1,1	253 (W)	25/9/2008 16h	1,1	261 (W)	25/9/2008 12h	1,1	262 (W)	25/9/2008 12h	1,1	240	27/9/2008 6h
<b>Outubro</b>	0,9	218 (SW)	27/10/2008 9h	0,9	210 (SW)	27/10/2008 10h	0,9	214 (SW)	27/10/2008 10h	0,9	227	30/10/2008 21h
<b>Novembro</b>	1,0	250 (W)	24/11/2008 4h	1,1	245 (SW)	24/11/2008 13h	1,1	262 (W)	24/11/2008 2h	1,0	243	16/11/2008 11h
<b>Dezembro</b>	1,1	251 (W)	22/12/2008 3h	1,1	263 (W)	16/12/2008 1h	1,1	267 (W)	18/12/2008 22h	1,1	272	18/12/2008 20h

Fonte: Fundeio PETROBRAS BS500.



Coordenador da Equipe



Técnico Responsável

Revisão 00  
06/2014

Considerando eventos extremos anuais aqueles que apresentam intensidade superior à média anual, mais duas vezes o desvio padrão anual, da **Tabela II.5.1.2-304** a **Tabela II.5.1.2-306** são apresentadas a porcentagens de excedências de eventos extremos para os fundeios BW333, BM334 e BS500.

**Tabela II.5.1.2-304** – Porcentagem de eventos extremos considerando a excedência da intensidade média anual da corrente na profundidade, mais duas vezes o desvio padrão. Dados para o fundeio WOCE BW333.

Mês	230 m	475 m
	Média anual = 0,4 m/s	Média anual = 0,2 m/s
	Valor superior = 0,7 m/s	Valor superior = 0,4 m/s
	Porcentagem de excedência	Porcentagem de excedência
Janeiro	9,3	3,6
Fevereiro	0,0	0,4
Março	6,6	9,1
Abril	0,1	1,9
Maio	0,0	0,9
Junho	0,6	0,3
Julho	0,9	0,4
Agosto	0,7	0,4
Setembro	2,4	4,0
Outubro	6,0	5,9
Novembro	7,5	7,3
Dezembro	0,0	0,0
Mês	680 m	885 m
	Média anual = 0,1 m/s	Média anual = 0,1 m/s
	Valor superior = 0,3 m/s	Valor superior = 0,3 m/s
	Porcentagem de excedência	Porcentagem de excedência
Janeiro	6,1	4,6
Fevereiro	2,8	2,0
Março	8,1	2,8
Abril	3,5	1,4
Maio	1,7	5,9
Junho	4,7	5,4
Julho	5,0	4,0
Agosto	0,0	0,1
Setembro	2,2	3,2
Outubro	6,2	4,3
Novembro	2,7	1,3
Dezembro	0,0	0,0

Fonte: Fundeio WOCE BW333.



**Tabela II.5.1.2-305** – *Porcentagem de eventos extremos considerando a excedência da intensidade média anual da corrente na profundidade, mais duas vezes o desvio padrão. Dados para o fundeio WOCE BM334.*

Mês	230 m	470 m
	Média anual = 0,2 m/s	Média anual = 0,1 m/s
	Valor superior = 0,4 m/s	Valor superior = 0,3 m/s
	Porcentagem de excedência	Porcentagem de excedência
Janeiro	26,5	13,3
Fevereiro	16,8	19,2
Março	4,2	12,8
Abril	0,3	4,7
Maio	0,1	0,0
Junho	2,1	3,8
Julho	0,0	0,0
Agosto	0,4	0,3
Setembro	0,0	0,0
Outubro	0,0	0,0
Novembro	0,0	0,1
Dezembro	0,0	0,0
Mês	870 m	1370 m
	Média anual = 0,1 m/s	Média anual = 0,1 m/s
	Valor superior = 0,2 m/s	Valor superior = 0,2 m/s
	Porcentagem de excedência	Porcentagem de excedência
Janeiro	16,0	3,6
Fevereiro	23,5	10,5
Março	14,2	15,5
Abril	4,7	6,8
Maio	0,0	1,3
Junho	0,7	2,1
Julho	0,0	0,0
Agosto	1,6	1,1
Setembro	0,1	0,4
Outubro	0,0	0,4
Novembro	2,5	0,7
Dezembro	0,0	2,4

Mês	2140 m
	Média anual = 0,1 m/s
	Valor superior = 0,3 m/s
	Porcentagem de excedência
Janeiro	8,1
Fevereiro	7,3
Março	7,4
Abril	3,1
Maio	5,6
Junho	8,8
Julho	2,7
Agosto	6,2
Setembro	1,4
Outubro	3,5
Novembro	1,3
Dezembro	2,4

Fonte: Fundeio WOCE BM334.

Para o fundeio BW33, na profundidade de 230 m janeiro foi o mês com maior quantidade de eventos extremos, em 475 m e 680 março e em 885 maio. Para o fundeio BM334 janeiro foi o mês com maior quantidade de eventos extremos na profundidade de 230 m, fevereiro em 470 m e 870 m, março em 1370 m e junho em 2140 m.

Para o fundeio BS500, com exceção da profundidade de 6 m, em todas as outras o mês de março foi o que obteve a maior quantidade de eventos extremos. Na camada de superfície o mês com maior quantidade de eventos extremos anuais foi dezembro. Em todas as demais profundidades o mês de dezembro foi o segundo mês com maior quantidade de eventos extremos anuais.

**Tabela II.5.1.2-306** – Porcentagem de eventos extremos considerando a excedência da intensidade média anual da corrente na profundidade, mais duas vezes o desvio padrão. Dados para o fundeio PETROBRAS BS500.

Mês	6 m	9 m	11 m	14 m
	Média anual = 0,4 m/s	Média anual = 0,5 m/s	Média anual = 0,5 m/s	Média anual = 0,5 m/s
	Valor superior = 0,7 m/s	Valor superior = 1,0 m/s	Valor superior = 1,0 m/s	Valor superior = 1,0 m/s
	Porcentagem de excedência	Porcentagem de excedência	Porcentagem de excedência	Porcentagem de excedência
Janeiro	2,0	2,3	2,0	1,3
Fevereiro	0,0	0,0	0,0	0,0
Junho	3,2	4,7	5,0	5,3
Julho	0,0	0,0	0,0	0,0
Agosto	0,0	0,0	0,0	0,0
Setembro	0,0	0,0	0,1	0,1
Outubro	0,0	0,0	0,0	0,0
Novembro	2,7	1,5	1,4	1,5
Dezembro	3,5	3,8	3,6	4,2
Mês	16 m	19 m	21 m	24 m
	Média anual = 0,5 m/s	Média anual = 0,5 m/s	Média anual = 0,5 m/s	Média anual = 0,5 m/s
	Valor superior = 1,0 m/s	Valor superior = 1,0 m/s	Valor superior = 1,0 m/s	Valor superior = 1,0 m/s
	Porcentagem de excedência	Porcentagem de excedência	Porcentagem de excedência	Porcentagem de excedência
Janeiro	0,9	0,6	0,8	0,5
Fevereiro	0,0	0,0	0,0	0,0
Junho	5,0	4,0	3,7	5,2
Julho	0,0	0,0	0,0	0,0
Agosto	0,0	0,0	0,0	0,0
Setembro	0,0	0,1	0,0	0,0
Outubro	0,0	0,2	0,0	0,0
Novembro	1,4	1,5	1,0	1,4
Dezembro	3,9	3,7	3,1	3,3

Mês	26 m	29 m	31 m	33 m
	Média anual = 0,5 m/s	Média anual = 0,5 m/s	Média anual = 0,5 m/s	Média anual = 0,5 m/s
	Valor superior = 1,0 m/s	Valor superior = 1,0 m/s	Valor superior = 1,0 m/s	Valor superior = 1,0 m/s
	Porcentagem de excedência	Porcentagem de excedência	Porcentagem de excedência	Porcentagem de excedência
Janeiro	0,9	1,1	0,7	0,4
Fevereiro	0,0	0,0	0,0	0,0
Junho	4,7	4,1	5,5	6,7
Julho	0,0	0,0	0,0	0,0
Agosto	0,0	0,0	0,0	0,0
Setembro	0,0	0,3	0,3	0,3
Outubro	0,0	0,0	0,0	0,0
Novembro	0,9	1,0	0,8	1,0
Dezembro	3,5	3,3	2,1	2,3
Mês	36 m	38 m	41 m	43 m
	Média anual = 0,5 m/s	Média anual = 0,5 m/s	Média anual = 0,5 m/s	Média anual = 0,5 m/s
	Valor superior = 1,0 m/s	Valor superior = 1,0 m/s	Valor superior = 1,0 m/s	Valor superior = 1,0 m/s
	Porcentagem de excedência	Porcentagem de excedência	Porcentagem de excedência	Porcentagem de excedência
Janeiro	0,8	1,5	1,6	2,0
Fevereiro	0,0	0,0	0,0	0,0
Junho	5,3	4,9	5,8	5,0
Julho	0,0	0,0	0,0	0,0
Agosto	0,0	0,0	0,0	0,0
Setembro	1,2	1,2	1,7	1,4
Outubro	0,0	0,0	0,0	0,0
Novembro	0,7	0,9	0,7	0,6
Dezembro	2,8	4,1	4,1	4,8

Mês	46 m	49 m	51 m	55 m
	Média anual = 0,5 m/s	Média anual = 0,5 m/s	Média anual = 0,5 m/s	Média anual = 0,5 m/s
	Valor superior = 1,0 m/s	Valor superior = 1,0 m/s	Valor superior = 1,0 m/s	Valor superior = 1,0 m/s
	Porcentagem de excedência	Porcentagem de excedência	Porcentagem de excedência	Porcentagem de excedência
Janeiro	1,8	1,6	2,3	2,8
Fevereiro	0,0	0,3	0,0	0,3
Junho	5,5	4,7	6,6	3,8
Julho	0,0	0,0	0,0	0,0
Agosto	0,0	0,0	0,0	0,0
Setembro	1,3	1,2	1,2	1,4
Outubro	0,0	0,0	0,0	0,0
Novembro	1,3	0,6	0,9	0,4
Dezembro	5,0	5,2	4,6	5,6

Fonte: Fundeio PETROBRAS BS500.



Coordenador da Equipe



Técnico Responsável

Revisão 00  
06/2014

Considerando os eventos extremos mensais aqueles em que a intensidade da corrente é superior a média mensal mais duas vezes o desvio padrão, da **Tabela II.5.1.2-307** a **Tabela II.5.1.2-309** são apresentadas as porcentagens de excedência de intensidades de correntes para todas as profundidades e meses de coleta dos fundeios BW333, BM334 e BS500, respectivamente.

**Tabela II.5.1.2-307** – Porcentagem de eventos extremos considerando a excedência da intensidade média mensal da corrente na profundidade, mais duas vezes o desvio padrão. Dados para o fundeio WOCE BW333.

Mês	230 m			475 m		
	Média mensal (m/s)	Valor superior (m/s)	% de excedência	Média mensal (m/s)	Valor superior (m/s)	% de excedência
Janeiro	0,4	0,7	6,7	0,2	0,4	2,9
Fevereiro	0,3	0,5	3,1	0,2	0,3	1,8
Março	0,4	0,8	1,9	0,3	0,5	5,4
Abril	0,2	0,5	4,2	0,1	0,3	4,0
Maio	0,3	0,6	1,3	0,2	0,4	2,8
Junho	0,4	0,6	5,4	0,2	0,3	2,8
Julho	0,3	0,6	2,8	0,2	0,3	2,7
Agosto	0,4	0,6	3,5	0,2	0,3	3,4
Setembro	0,4	0,7	0,1	0,2	0,4	3,2
Outubro	0,3	0,7	4,8	0,2	0,4	5,6
Novembro	0,5	0,8	1,6	0,3	0,4	3,1
Dezembro	0,4	0,7	0,0	0,2	0,3	3,2
Mês	680 m			885 m		
	Média mensal (m/s)	Valor superior (m/s)	% de excedência	Média mensal (m/s)	Valor superior (m/s)	% de excedência
Janeiro	0,2	0,3	2,5	0,1	0,3	1,7
Fevereiro	0,1	0,3	3,1	0,1	0,2	3,4
Março	0,1	0,3	5,2	0,1	0,3	4,3
Abril	0,1	0,3	5,8	0,1	0,3	3,2
Maio	0,1	0,3	2,6	0,1	0,3	3,1
Junho	0,1	0,3	5,1	0,1	0,3	6,1
Julho	0,1	0,3	5,1	0,1	0,3	3,6
Agosto	0,1	0,2	3,6	0,1	0,2	3,6
Setembro	0,1	0,3	2,8	0,1	0,2	4,4
Outubro	0,1	0,3	5,2	0,1	0,3	1,9
Novembro	0,1	0,3	1,3	0,1	0,2	3,0
Dezembro	0,1	0,3	2,2	0,1	0,2	3,2

Fonte: Fundeio WOCE BW333.

**Tabela II.5.1.2-308** – Porcentagem de eventos extremos considerando a excedência da intensidade média mensal da corrente na profundidade, mais duas vezes o desvio padrão. Dados para o fundeio WOCE BM334.

Mês	230 m			470 m		
	Média mensal (m/s)	Valor superior (m/s)	% de excedência	Média mensal (m/s)	Valor superior (m/s)	% de excedência
Janeiro	0,3	0,6	1,4	0,2	0,4	3,8
Fevereiro	0,2	0,6	0,3	0,2	0,4	1,3
Março	0,2	0,4	4,2	0,2	0,4	5,1
Abril	0,1	0,3	4,7	0,1	0,3	5,8
Maio	0,2	0,4	3,2	0,1	0,3	2,4
Junho	0,2	0,4	1,4	0,1	0,3	3,2
Julho	0,1	0,2	3,0	0,1	0,2	2,0
Agosto	0,1	0,3	6,2	0,1	0,2	4,7
Setembro	0,2	0,4	0,1	0,1	0,2	1,9
Outubro	0,2	0,4	1,2	0,1	0,2	1,6
Novembro	0,2	0,3	0,7	0,1	0,3	1,0
Dezembro	0,2	0,3	0,0	0,1	0,2	2,4
Mês	870 m			1370 m		
	Média mensal (m/s)	Valor superior (m/s)	% de excedência	Média mensal (m/s)	Valor superior (m/s)	% de excedência
Janeiro	0,1	0,3	4,4	0,1	0,2	3,8
Fevereiro	0,1	0,3	1,2	0,1	0,2	3,7
Março	0,1	0,3	5,8	0,1	0,2	4,0
Abril	0,1	0,2	6,1	0,1	0,2	3,3
Maio	0,1	0,2	2,6	0,1	0,2	2,8
Junho	0,1	0,2	4,7	0,1	0,2	4,2
Julho	0,1	0,1	3,0	0,1	0,1	4,3
Agosto	0,1	0,2	4,0	0,1	0,2	2,7
Setembro	0,1	0,2	4,2	0,1	0,1	3,9
Outubro	0,1	0,2	4,6	0,1	0,1	3,6
Novembro	0,1	0,2	4,2	0,1	0,2	3,3
Dezembro	0,1	0,2	1,9	0,1	0,2	3,0

Mês	2140 m		
	Média mensal (m/s)	Valor superior (m/s)	% de excedência
Janeiro	0,1	0,2	4,3
Fevereiro	0,1	0,2	5,4
Março	0,1	0,2	4,7
Abril	0,1	0,2	4,2
Mai	0,1	0,2	4,2
Junho	0,1	0,2	5,7
Julho	0,1	0,2	6,2
Agosto	0,1	0,2	4,8
Setembro	0,0	0,1	5,7
Outubro	0,1	0,2	5,0
Novembro	0,0	0,1	5,5
Dezembro	0,0	0,1	5,9

Fonte: Fundeio WOCE BM334.

Para o fundeio BW333, em 230 m janeiro é o mês com a maior quantidade de eventos extremos mensais. Em 475 m a maior quantidade destes eventos é observada em março. Em 680 m em abril ocorre a maior quantidade de eventos extremos mensais, e em 885 m em junho. Para o fundeio BM334 abril é o mês com maior quantidade de eventos extremos mensais para as profundidades de 230, 470 m e 830 m. Em 1370 maior quantidade de eventos extremos é observada em junho e em 2140 m em julho.



**Tabela II.5.1.2-309** – Porcentagem de eventos extremos considerando a excedência da intensidade média mensal da corrente na profundidade, mais duas vezes o desvio padrão. Dados para o fundeio PETROBRAS BS500.

Mês	6 m			9 m			11 m			14 m		
	Média mensal (m/s)	Valor superior (m/s)	% de excedência	Média mensal (m/s)	Valor superior (m/s)	% de excedência	Média mensal (m/s)	Valor superior (m/s)	% de excedência	Média mensal (m/s)	Valor superior (m/s)	% de excedência
Janeiro	0,5	0,7	2,1	0,7	1,0	2,8	0,7	1,0	2,7	0,7	1,0	2,3
Fevereiro	0,3	0,5	1,4	0,5	0,8	1,4	0,5	0,7	0,7	0,5	0,7	0,3
Junho	0,3	0,6	4,6	0,5	1,0	5,9	0,5	1,0	6,4	0,5	1,0	6,3
Julho	0,2	0,4	3,2	0,3	0,5	3,1	0,3	0,5	3,0	0,3	0,5	3,2
Agosto	0,3	0,6	1,3	0,5	0,8	1,9	0,5	0,8	1,6	0,5	0,8	1,7
Setembro	0,4	0,6	3,0	0,6	0,9	2,6	0,6	0,9	2,6	0,6	0,9	2,2
Outubro	0,2	0,5	6,5	0,3	0,8	7,7	0,3	0,8	8,0	0,3	0,8	7,9
Novembro	0,5	0,7	0,4	0,7	1,1	0,1	0,7	1,1	0,3	0,7	1,0	0,2
Dezembro	0,5	0,7	2,2	0,7	1,0	2,7	0,7	1,0	2,7	0,7	1,0	3,3
Mês	16 m			19 m			21 m			24 m		
	Média mensal (m/s)	Valor superior (m/s)	% de excedência	Média mensal (m/s)	Valor superior (m/s)	% de excedência	Média mensal (m/s)	Valor superior (m/s)	% de excedência	Média mensal (m/s)	Valor superior (m/s)	% de excedência
Janeiro	0,7	1,0	2,5	0,7	1,0	2,1	0,7	1,0	2,6	0,7	1,0	3,0
Fevereiro	0,5	0,7	0,0	0,5	0,7	1,0	0,5	0,7	1,0	0,5	0,7	0,7
Junho	0,5	1,0	5,9	0,5	0,9	5,9	0,5	0,9	5,5	0,5	1,0	6,1
Julho	0,3	0,6	3,1	0,3	0,6	3,0	0,3	0,6	3,0	0,3	0,6	2,8
Agosto	0,5	0,8	2,0	0,5	0,8	1,9	0,5	0,8	2,2	0,5	0,8	2,3
Setembro	0,6	0,9	2,0	0,6	0,9	1,3	0,6	0,9	0,9	0,6	0,9	0,3
Outubro	0,3	0,8	8,0	0,3	0,8	7,6	0,3	0,8	7,5	0,3	0,8	7,4
Novembro	0,7	1,0	0,3	0,7	1,0	0,1	0,7	1,0	0,1	0,7	1,0	0,3
Dezembro	0,7	1,0	3,3	0,7	1,0	2,5	0,7	1,0	2,8	0,7	1,0	2,9



Mês	26 m			29 m			31 m			33 m		
	Média mensal (m/s)	Valor superior (m/s)	% de excedência	Média mensal (m/s)	Valor superior (m/s)	% de excedência	Média mensal (m/s)	Valor superior (m/s)	% de excedência	Média mensal (m/s)	Valor superior (m/s)	% de excedência
Janeiro	0,7	0,9	3,2	0,7	0,9	3,4	0,6	0,9	2,6	0,6	0,9	2,5
Fevereiro	0,5	0,7	0,3	0,5	0,7	1,7	0,5	0,7	3,1	0,5	0,7	3,5
Junho	0,5	0,9	6,3	0,5	1,0	5,5	0,5	1,0	6,9	0,5	1,0	6,7
Julho	0,3	0,6	3,6	0,3	0,6	3,2	0,3	0,6	3,6	0,3	0,6	2,8
Agosto	0,5	0,8	2,2	0,5	0,8	2,3	0,5	0,8	2,0	0,5	0,8	1,7
Setembro	0,6	0,9	0,4	0,6	1,0	0,4	0,6	1,0	0,8	0,6	1,0	0,9
Outubro	0,3	0,8	8,0	0,3	0,8	7,9	0,3	0,8	7,5	0,3	0,8	8,0
Novembro	0,7	1,0	0,3	0,7	1,0	0,0	0,7	1,1	0,0	0,6	1,1	0,2
Dezembro	0,7	1,0	2,5	0,7	1,0	1,7	0,7	1,0	1,6	0,7	1,0	1,6
Mês	36 m			38 m			41 m			43 m		
	Média mensal (m/s)	Valor superior (m/s)	% de excedência	Média mensal (m/s)	Valor superior (m/s)	% de excedência	Média mensal (m/s)	Valor superior (m/s)	% de excedência	Média mensal (m/s)	Valor superior (m/s)	% de excedência
Janeiro	0,6	0,9	3,5	0,6	0,9	3,1	0,6	0,9	2,7	0,6	0,9	3,1
Fevereiro	0,4	0,7	2,8	0,4	0,7	3,1	0,4	0,7	3,8	0,4	0,7	4,5
Junho	0,5	1,0	5,9	0,5	1,0	5,2	0,5	1,0	6,1	0,5	1,0	5,6
Julho	0,3	0,6	2,8	0,3	0,6	2,6	0,3	0,6	2,3	0,3	0,6	2,7
Agosto	0,5	0,8	1,5	0,5	0,8	1,3	0,5	0,8	1,3	0,5	0,8	1,5
Setembro	0,6	1,0	1,4	0,6	1,0	1,3	0,6	1,0	1,8	0,6	1,0	1,3
Outubro	0,3	0,8	7,9	0,3	0,7	7,5	0,3	0,7	7,0	0,3	0,7	6,6
Novembro	0,6	1,1	0,3	0,6	1,1	0,3	0,6	1,0	0,0	0,6	1,0	0,0
Dezembro	0,7	1,0	1,5	0,7	1,0	1,8	0,7	1,0	2,3	0,7	1,0	1,6

Mês	46 m			49 m			51 m			55 m		
	Média mensal (m/s)	Valor superior (m/s)	% de excedência	Média mensal (m/s)	Valor superior (m/s)	% de excedência	Média mensal (m/s)	Valor superior (m/s)	% de excedência	Média mensal (m/s)	Valor superior (m/s)	% de excedência
<b>Janeiro</b>	0,6	0,9	3,4	0,6	0,9	2,8	0,6	0,9	4,6	0,6	0,9	3,4
<b>Fevereiro</b>	0,4	0,7	4,5	0,4	0,7	3,8	0,4	0,7	5,6	0,4	0,7	1,4
<b>Junho</b>	0,6	1,0	5,9	0,6	1,0	5,2	0,6	1,0	5,9	0,5	0,9	5,0
<b>Julho</b>	0,3	0,6	2,6	0,3	0,6	2,4	0,3	0,6	3,1	0,3	0,6	3,0
<b>Agosto</b>	0,5	0,8	1,2	0,5	0,8	1,2	0,5	0,8	1,3	0,5	0,8	1,5
<b>Setembro</b>	0,6	1,0	0,7	0,6	1,0	0,7	0,6	1,0	0,7	0,6	1,0	0,8
<b>Outubro</b>	0,3	0,7	5,9	0,3	0,7	6,0	0,3	0,7	4,8	0,3	0,7	5,5
<b>Novembro</b>	0,6	1,0	0,0	0,6	1,0	0,2	0,6	1,0	0,3	0,6	1,0	0,1
<b>Dezembro</b>	0,7	1,0	2,7	0,7	1,0	3,2	0,7	1,0	2,8	0,7	1,0	3,7

Fonte: Fundeio PETROBRAS BS500.



Coordenador da Equipe



Técnico Responsável

Revisão 00  
06/2014

No fundeio BS500 outubro é o mês que ocorre a maior quantidade de eventos extremos mensais, em todas as profundidades. Outubro, comparativamente aos outros meses de coleta, foi um mês atípico com correntes mais frequentes sendo em direção oposta a CB. Este mês apresentou 0% de eventos extremos quando comparados a média anual. Com exceção do mês de outubro, o mês de junho foi o que apresentou maior quantidade de eventos extremos mensais, em todas as profundidades amostradas, coincidindo com o mês que teve a maior quantidade de eventos extremos anuais. Este mês foi caracterizado como sendo aquele em que a direção com as maiores intensidades médias não foi coincidente com a direção da CB (em sentido oposto). Comparativamente ao observado para os eventos extremos de ventos, este mês foi um dos que apresentou maior quantidade de excedência de eventos, anuais e mensais, para ventos provenientes de frentes frias, e um dos meses que tem maior quantidade de eventos de passagem de frentes frias. Destaca-se que esta análise de correntes foi realizada somente com 9 meses de dados, enquanto que as análises de ventos com séries de 30 anos.